

Д. П. Голоскоков

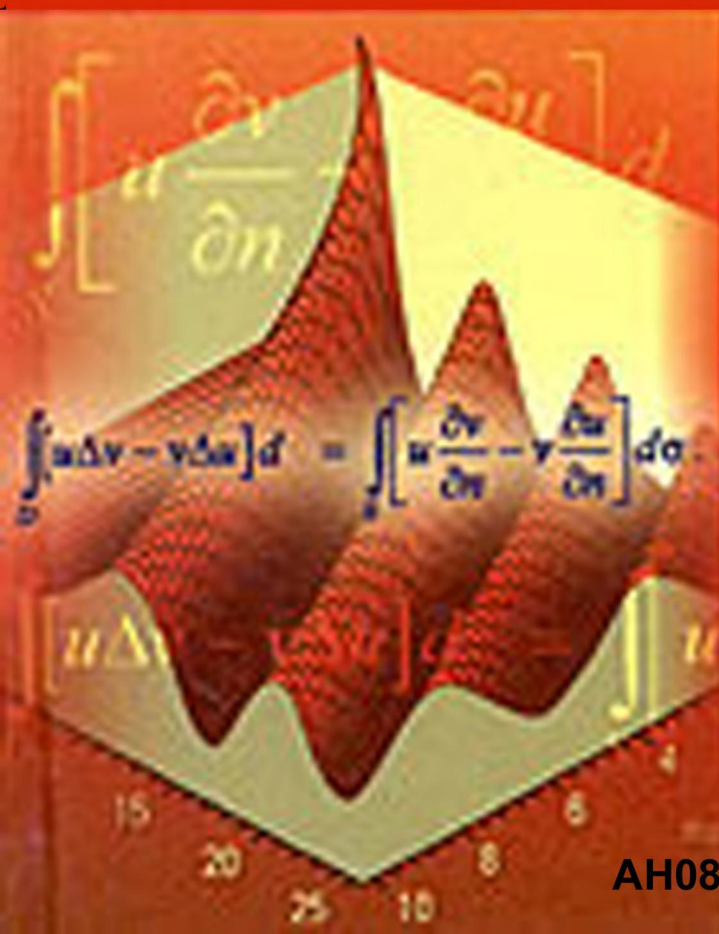
 ПИТЕР

УРАВНЕНИЯ МАТЕМАТИЧЕСКОЙ ФИЗИКИ

Решение задач в системе Maple

УЧЕБНИК

ДЛЯ ВУЗОВ



- для студентов и преподавателей высших учебных заведений
- уравнения математической физики, интегральные уравнения и вариационное исчисление
- теоретический материал и задачи для самостоятельного решения
- примеры решения типовых задач на компьютере

ББК 22.162.6я7
УДК 517.958(075)
Г61

Рецензенты:

*Колгатын С. Н. — доктор технических наук, профессор кафедры
экспериментальной физики СПбГПУ.*

*Кафедра прикладной математики Академии гражданской авиации,
Береславский Э. Н. — доктор физико-математических наук, профессор, зав. кафедрой.*

Голоскоков Д. П.

Г61 Уравнения математической физики. Решение задач в системе Maple. Учебник для вузов — СПб.: Питер, 2004. — 539 с.: ил.

ISBN 5-94723-670-2

В книге рассмотрены классические методы интегрирования дифференциальных уравнений в частных производных второго порядка, метод интегральных преобразований в конечных и бесконечных пределах, а также элементы вариационного исчисления и теории интегральных уравнений. Особенностью учебного курса является широкое использование системы аналитических вычислений Maple при решении учебных задач математической физики. В конце глав приводится большое количество задач для самостоятельного решения и примеры решения задач в Maple с текстами программ, что делает этот учебник удобным пособием для практических и лабораторных занятий по математической физике.

Учебник может быть также рекомендован студентам и аспирантам технических университетов и высших технических учебных заведений физико-математических и инженерно-физических специальностей.

ББК 22.162.6я7
УДК 517.958(075)

Все права защищены. Никакая часть данной книги не может быть воспроизведена в какой бы то ни было форме без письменного разрешения владельцев авторских прав.

Краткое содержание

Предисловие	9
1. Введение	13
2. Уравнения математической физики	26
3. Метод Фурье	92
4. Специальные функции математической физики	170
5. Неоднородные задачи математической физики	243
6. Преобразование Лапласа	322
7. Интегральные уравнения в математической физике	389
8. Элементы вариационного исчисления	465
Приложение	531
Литература	533

Содержание

Предисловие	9
От издательства	12
1. Введение	13
Предмет и задачи математической физики	13
Основные дифференциальные операторы математической физики	14
Основные интегральные тождества	18
Криволинейные координаты	21
2. Уравнения математической физики	26
Уравнение колебаний	26
Уравнение малых поперечных колебаний струны	27
Уравнение малых продольных колебаний упругого стержня	28
Уравнение малых поперечных колебаний мембраны	32
Телеграфное уравнение	35
Уравнение диффузии	38
Уравнение теплопроводности	38
Уравнение диффузии	40
Стационарное уравнение	41
Вывод уравнения электростатики	41
Вывод уравнения гидродинамики	42
Основные уравнения математической физики	43
Классификация уравнений второго порядка	46
Классификация уравнений в точке	46
Классификация уравнений с двумя независимыми переменными	50
Преобразование уравнений второго порядка с помощью замены переменных	51
Уравнение гиперболического типа	53
Уравнение параболического типа	54
Уравнение эллиптического типа	55
Классификация задач математической физики	55
Задача Коши	57
Краевая задача для уравнений эллиптического типа	57
Смешанная задача	59
Понятие о корректно поставленной задаче математической физики	59
Замечание о классе функций, среди которых ищется решение задачи	60
О единственности решения задач математической физики	61

Понятие об общем интеграле уравнения в частных производных	об
Примеры	67
Применение общего интеграла к решению некоторых задач математической физики	69
Вопросы к главе 2	71
Задачи с примерами решений	73
Примеры решения типовых задач	76
3. Метод Фурье	92
Уравнения с разделяющимися переменными	92
Задача об охлаждении пластины	97
Задача Дирихле для круга	101
Преобразование решения задачи Дирихле для круга. Интеграл Пуассона	103
Задача Штурма—Лиувилля	106
Некоторые свойства собственных значений регулярной задачи Штурма—Лиувилля	109
Фундаментальная система решений Штурма—Лиувилля	111
Асимптотическое поведение фундаментальных решений Штурма—Лиувилля при $\lambda \rightarrow +\infty$	113
Определение собственных значений и собственных функций регулярной задачи Штурма—Лиувилля	116
Разложение в ряд по собственным функциям регулярной задачи Штурма—Лиувилля	119
Регулярная задача Штурма—Лиувилля с граничными условиями четвертого рода	123
Сингулярная задача Штурма—Лиувилля	127
Общее изложение метода Фурье для случая двух независимых переменных	129
Задача об охлаждении пластины, излучающей тепло	132
Вопросы к главе 3	135
Задачи с примерами решения	137
Примеры решения типовых задач	142
4. Специальные функции математической физики	170
Эйлеровы интегралы	171
Эйлеров интеграл первого рода	171
Эйлеров интеграл второго рода	173
Интеграл вероятности	176
Функция Бесселя	179
Функция Вебера	182
Представление функции Вебера в виде ряда	185
Рекуррентные формулы для функций Бесселя	188
Интегральные представления для цилиндрических функций	189
Примеры использования интегрального представления Пуассона	191
Асимптотические представления цилиндрических функций для больших значений аргумента	193
Модифицированные цилиндрические функции	195
Задача Штурма—Лиувилля, связанная с цилиндрическими функциями	199
Разложение функции в ряды Фурье—Бесселя и Дини	202
Приложения цилиндрических функций в математической физике	205
Задача о колебаниях круглой мембраны	205
Решение задачи Дирихле для цилиндра	208

Сферические функции. Полиномы Лежандра	211
Производящая функция для полиномов Лежандра	214
Рекуррентные формулы для полиномов Лежандра	217
Задача Штурма—Лиувилля, связанная с полиномами Лежандра	219
Вычисление нормы для полиномов Лежандра	220
Приложение полиномов Лежандра в математической физике	222
Вопросы к главе 4	224
Задачи с примерами решения	226
Примеры решения типовых задач	228
5. Неоднородные задачи математической физики	243
Метод приведения к однородной задаче	243
Задача о распределении температуры в бесконечной пластине	244
Задача о нагревании бесконечного цилиндра	245
Задача о вынужденных колебаниях круглой мембраны	246
Задача Дирихле для прямоугольника	247
Метод Гринберга	248
Краткая схема решения задачи методом Гринберга	251
Связь метода Гринберга с методом Фурье	251
Замечания о сходимости рядов, полученных методом Гринберга	252
Способы улучшения сходимости	253
Примеры задач математической физики, разрешимых с помощью метода Гринберга	254
Задача Дирихле для прямоугольника	254
Задача о вынужденных колебаниях круглой мембраны	256
Задачи с непрерывным спектром	259
Некоторые интегральные разложения, связанные с сингулярной задачей Штурма—Лиувилля	260
Примеры задач с непрерывным спектром	264
Задача об охлаждении полубесконечного тела	265
Задача Дирихле для полуплоскости	267
Задача Дирихле для полупространства	270
Задача о радиальных колебаниях газа	272
Метод интегральных преобразований	275
Интегральные преобразования	275
Неоднородные задачи с непрерывным спектром	279
Примеры решения неоднородных задач с непрерывным спектром	281
Задача Дирихле для полуполосы	281
Задача об изгибе плиты	283
Вопросы к главе 5	285
Задачи с примерами решения	286
Примеры решения типовых задач	291
6. Преобразование Лапласа	322
Определение преобразования Лапласа	322
Поведение преобразования Лапласа при больших по модулю значениях параметра ($ \rho \rightarrow \infty$).	326
Свойства преобразования Лапласа	328
Обращение преобразования Лапласа	333

Леммы Жордана	336
Методы вычисления интеграла Римана—Меллина	340
Специальные методы обращения	344
Интегрирование линейных дифференциальных уравнений с постоянными коэффициентами и систем таких уравнений	346
Интегрирование линейных дифференциальных уравнений с переменными коэффициентами	350
Интегрирование дифференциальных уравнений в частных производных	353
Построение метода преобразования Лапласа на случай большего числа независимых переменных	355
Приложение преобразования Лапласа к задачам математической физики	356
Задача о движении заряженной частицы в магнитном поле	356
Задача о нагреве полубесконечного тела	358
Задача о нагреве пластины конечной толщины	362
Задача о продольных колебаниях полубесконечного стержня	366
Задача о продольных колебаниях конечного стержня	367
Вопросы к главе 6	369
Задачи с примерами решения	370
Примеры решения типовых задач	372

7. Интегральные уравнения в математической физике 389

Основные классы интегральных уравнений	389
Некоторые классы уравнений, допускающие явное решение при помощи специальных приемов	394
Уравнения Вольтерры второго рода с ядром, зависящим от разности	394
Уравнения Вольтерры первого рода с ядром, зависящим от разности. Уравнения Абеля	397
Уравнения Фредгольма с ядром, зависящим от разности и пределами от $-\infty$ до $+\infty$	399
Уравнения Фредгольма с ядрами, зависящими от суммы и произведения	401
Интегральные уравнения Фредгольма с вырожденным ядром	403
Примеры	407
Общее решение уравнения Вольтерры разложением в ряд по степеням параметра λ	410
Общее решение уравнения Фредгольма разложением в ряд по степеням параметра λ	414
Примеры	415
Замечание о решении уравнения Фредгольма при произвольном значении параметра λ	417
Общее понятие резольвенты для уравнений Фредгольма	418
Однородные уравнения Фредгольма	419
Определение собственных значений и собственных функций для некоторых интегральных уравнений	420
Альтернатива Фредгольма	424
Интегральные уравнения Фредгольма с симметричным ядром	425
Краткий обзор теории уравнений с симметричным ядром	426
Приближенные методы решения интегральных уравнений	427
Сведение интегрального уравнения к уравнению с вырожденным ядром	427
Сведение интегрального уравнения к системе линейных алгебраических уравнений	429
Приложения интегральных уравнений в математической физике	430
Сведение задачи Штурма—Лиувилля к интегральному уравнению	430

Сведение плоской задачи гидродинамики к интегральному уравнению Фредгольма	433
Вопросы к главе 7	437
Задачи с примерами решения	438
Примеры решения типовых задач	442
8. Элементы вариационного исчисления	465
Примеры вариационных задач	465
Задача Дидоны	466
Задача о брахистохроне	467
Задача о геодезических линиях	469
Задача о распространении света в неоднородной среде	470
Задача об изгибе стержня	471
Понятие функционала	471
Основные леммы вариационного исчисления	473
Простейшая вариационная задача. Метод Эйлера	475
Методы интегрирования уравнения Эйлера	479
Примеры решения вариационных задач	481
Задача о брахистохроне	481
Задача о распространении света в неоднородной среде	482
Задача со свободной вариацией на границе	483
Вариационная задача для функционалов, содержащих производные высших порядков	488
Пример. Решение задачи об изгибе балки	489
Вариационная задача для функционалов, зависящих от нескольких функциональных аргументов	490
Пример. Вывод уравнений Лагранжа	491
Изопериметрическая задача	492
Пример. Задача о провисании каната	494
Решение вариационной задачи, функционал которой представляется кратным интегралом	496
Пример. Связь задачи Дирихле с вариационной задачей	498
Вторая вариация	499
Прямые методы решения вариационных задач	501
Метод Ритца	502
Приложения вариационного исчисления в математической физике	504
Задача о стационарном распределении температуры в брусе прямоугольного сечения	504
Вывод уравнения колебаний струны	507
Задача об установившихся колебаниях мембраны	508
Вопросы к главе 8	509
Задачи с примерами решения	511
Примеры решения типовых задач	514
Приложение	531
Литература	533
Алфавитный указатель	535

Предисловие

Математическая физика — это математический аппарат изучения физических полей — одного из центральных объектов современной физики. Термин «математическая физика» имеет и более узкий, классический, смысл. Именно, под математической физикой часто понимают только такой математический аппарат изучения физических полей, который не связан непосредственно со сравнительно более поздними атомными, статистическими, релятивистскими и квантовыми представлениями. Этот аппарат является основой теоретической гидромеханики, теории теплопроводности, теории упругости, классической части теории электромагнитного поля. Поля, рассматриваемые в этих классических разделах физики, оказывается возможным в том или ином смысле трактовать как механические системы с бесконечным числом степеней свободы, что и обусловило общность соответствующего математического аппарата.

Как отмечают в предисловии авторы книги «Элементы математической физики»¹, математическая физика является, быть может, одним из самых значительных достижений человеческого разума. Открытия огромного значения возникли благодаря математической формулировке физических явлений и математическому анализу и обобщению результатов опыта.

Математическая физика не ограничивается только получением математических соотношений, описывающих найденные из опыта зависимости между физическими величинами. Нужно подчеркнуть ее роль в формировании понятий, идей, образов. Упорные занятия математической физикой ведут к появлению своеобразной интуиции: общие свойства решений становятся столь же наглядно очевидными, как очевидно падение подброшенного камня.

Математическая физика имеет свою эстетику, свои понятия о красоте формулы, результата, теории. Подобно тому, как древние греки выработали определенные каноны и пропорции идеального человеческого тела, в математической физике установились определенные формальные требования к возводимой теории. Так, если какие-либо объекты являются в рамках данной теории в том или ином

¹ Зельдович Я. Б., Мьшкис А. Д. Элементы математической физики. — М.: Наука, 1973. 352 с.

смысле инвариантными, то эта инвариантность должна наглядно проявляться и в формулах, связывающих эти объекты. Теория должна удовлетворять общим принципам сохранения количества движения и энергии. Заметим, кстати, что оба этих принципа тесно связаны между собой, и выявление этой связи также есть заслуга математической физики.

Но выполнение формальных требований отнюдь не исчерпывает понятия красоты теории, подобно тому, как соблюдение анатомических пропорций не исчерпывает понятия красоты человека. Лучшие, гениальные воплощения математической физики замечательны тем, что они ведут дальше, чем предполагали их авторы. Классический пример здесь представляет история открытия античастиц. Как известно, первым был открыт позитрон. Его существование было предсказано Полем Дираком в 1929 г. с помощью чисто теоретических построений, оно получилось как математическое следствие квантовой теории движения электронов. И только позже, в 1932 г., позитроны были фактически наблюдаемы. Это крупнейшее физическое открытие было одновременно триумфом математической физики!

Настоящий курс является учебником, в котором излагаются основные разделы математической физики: уравнения математической физики, интегральные уравнения и вариационное исчисление. Курс написан на основе лекций, которые автор читал с 1998 г. в Санкт-Петербургском государственном университете водных коммуникаций на факультете информационных технологий для студентов, обучающихся по специальности «Прикладная математика и информатика».

Запас сведений, сообщаемых в предлагаемой книге, автор старался сделать по возможности минимальным. Он состоит из изложения лишь тех фактов, которые рассматриваются обычно на лекциях, и необходимых дополнений к ним, которые касаются более углубленного рассмотрения некоторых понятий и предназначены ответить на вопросы и рассеять неясности, которые могут возникнуть у части слушателей лекций, и этим помочь преодолеть неизбежные затруднения.

Книга не является просто записью лекций, поэтому не все содержащееся в ней целесообразно излагать на лекциях. Так, например, при изложении теории специальных функций можно вполне ограничиться лишь перечислением их основных свойств, опуская в ряде случаев подробные выкладки и доказательства. При изложении вопросов, связанных с применением преобразования Лапласа, можно ограничиться такими задачами, которые допускают использование таблиц и не рассматривать задач, в которых требуется вычисление интеграла Римана—Меллина. Некоторые главы можно целиком исключить из лекционного курса — они могут составить отдельные небольшие курсы по методам математической физики. Это, в первую очередь, касается глав, посвященных интегральным преобразованиям, интегральным уравнениям и вариационному исчислению.

Материал в книге автор старался изложить так, чтобы максимально помочь учащемуся овладеть различными математическими методами, сделать их простыми и естественными, научить свободно их применять. С этой целью в учебнике много места отводится разбору решения задач на основе рассмотренных общих методов. Имеется также много задач и упражнений для самостоятельной работы, которые позволяют лучше усвоить изложенный материал, по существу разобраться в его содержании, проконтролировать его понимание, развить математическую

культуру мышления, научить применять математический аппарат к решению практических задач. Изложение материала ведется на уровне строгости, принятом в настоящее время в классической математике, излагаемой в технических университетах.

Отметим некоторые особенности построения нашего курса. Он должен, по замыслу автора, служить студентам инженерно-физических специальностей технических университетов руководством при изучении тех научных дисциплин, которые в учебных планах именуется «уравнения математической физики», «методы математической физики» или «математическая физика». Последнее наименование лучше отвечает существу рассматриваемых в книге вопросов.

Как обычно, курс содержит только теорию линейных уравнений в частных производных, почти исключительно второго порядка — уравнений математической физики. Естественным образом основное место в книге занимают наиболее разработанные и наиболее важные для приложений три классических типа уравнений: эллиптические, параболические и гиперболические. Дается вывод основных уравнений математической физики; классификация уравнений второго порядка и задач математической физики; дается понятие о корректно поставленной задаче математической физики; доказывается единственность решения задач математической физики для основных уравнений.

В книге рассматриваются следующие методы решения задач, связанных с уравнениями в частных производных второго порядка: метод Даламбера, метод Фурье с сопутствующей теорией задачи Штурма—Лиувилля (регулярной и сингулярной), метод интегральных преобразований в конечных и бесконечных пределах. Подробно излагается метод преобразования Лапласа.

Кроме того, в учебнике излагаются начальные сведения по специальным функциям, элементы теории интегральных уравнений и вариационного исчисления. Эти разделы математики становятся все более необходимы инженеру-исследователю и инженеру-математику, использующим в своей работе методы прикладной математики. Подробно содержание учебника отражено в оглавлении.

Следует сказать еще об одной особенности книги. В настоящее время специалист по прикладной математике не мыслится без хорошего знания компьютера. Современные вычислительные системы и базирующиеся на них информационные технологии совершенно изменили все стороны человеческого бытия. Пожалуй, в наибольшей степени изменился характер и повысилась производительность умственного труда. Теперь уже невозможно представить себе квалифицированного ученого, инженера, конструктора, не использующего Internet для получения самой свежей информации и обмена ею, получения программ для автоматизации выполнения и высококачественного оформления проектов. К числу наиболее замечательных программ такого типа можно отнести программу Maple. Этот пакет ныне широко используется для преподавания математики во многих учебных заведениях мира, в том числе и России. Его можно с успехом использовать для преподавания технических дисциплин: теоретической механики, сопротивления материалов, строительной механики и т. п. Для студентов Maple является неоценимым помощником в изучении разнообразных математических методов, освобождая их от рутинных математических вычислений и сосредоточивая их внимание на существе изучаемого метода. В этой книге в конце

каждой главы после перечня задач для самостоятельного решения приводятся решения типовых примеров с использованием замечательных возможностей пакета Maple. Обучающийся может использовать и другие математические пакеты, например Matlab, MathCad, Mathematica и т. п. Во всех примерах подробно описано составление программ для решения задач, и студенты смогут повторить эти программы на других языках программирования.

Трудно перечислить те учебники, монографии, статьи, под влиянием которых сложились методические взгляды автора. Очень важно здесь также влияние собственного опыта научной и преподавательской работы, научного и педагогического опыта петербургских коллег и друзей автора. Список литературы, которая наиболее широко использовалась, дан в конце книги. Некоторые монографии и учебники упомянуты в подстрочных замечаниях.

Д. Голоскоков

Санкт-Петербург, февраль—июнь 2003 г.

От издательства

Ваши замечания, предложения и вопросы отправляйте по адресу электронной почты comp@piter.com (издательство «Питер», компьютерная редакция).

Мы будем рады узнать ваше мнение!

Подробную информацию о наших книгах вы найдете на web-сайте издательства <http://www.piter.com>

1 Введение

Эта глава носит вспомогательный характер. Здесь кратко напоминаются некоторые понятия математического анализа, приводятся основные дифференциальные операторы и основные интегральные тождества, вводится произвольная криволинейная система координат.

Предмет и задачи математической физики

Построение и исследование математических моделей физических явлений составляют предмет математической физики. Уместно проследить основные этапы зарождения и развития математической физики [4]. Математическая физика развивалась со времен Ньютона параллельно развитию физики и математики. В конце XVII в. было открыто дифференциальное и интегральное исчисление (И. Ньютон, Г. Лейбниц) и сформулированы основные законы классической механики и закон всемирного тяготения (И. Ньютон). В XVIII в. методы математической физики начали формироваться при изучении колебаний струн и стержней, а также решении задач, связанных с акустикой и гидродинамикой. В это же время закладываются основы аналитической механики (Ж. Даламбер, Л. Эйлер, Д. Бернулли, Ж. Лагранж, П. Лаплас). В XIX в. идеи математической физики получили новое развитие в связи с задачами теплопроводности, диффузии, упругости, оптики, электродинамики. В этот период создаются теория потенциала и теория устойчивости движения (Ж. Фурье, С. Пуассон, К. Гаусс, О. Коши, М. В. Остроградский, П. Дирихле, Б. Риман, С. В. Ковалевская, Д. Стокс, А. Пуанкаре, А. М. Ляпунов, В. А. Стеклов, Д. Гильберт). В XX в. в математическую физику включаются задачи квантовой физики и теории относительности, а также новые проблемы газовой динамики, переноса частиц и физики плазмы.

Многие задачи классической математической физики сводятся к *краевым задачам для дифференциальных (интегро-дифференциальных) уравнений — уравнений математической физики.*

Основными математическими средствами исследования этих задач служат теория дифференциальных уравнений (включая родственные области — интегральные уравнения и вариационное исчисление), теория функций, функциональный

анализ, теория вероятностей, приближенные методы и вычислительная математика.

Изучение математических моделей квантовой физики потребовало привлечения новых областей математики, таких как теория обобщенных функций, теория функций многих комплексных переменных, топологических и алгебраических методов.

С появлением ЭВМ существенно расширился класс математических моделей, допускающих детальный анализ; появилась реальная возможность ставить вычислительный эксперимент.

Среди задач математической физики выделяется важный класс *корректно поставленных задач*, то есть задач, для которых решение существует, единственно и непрерывно зависит от данных задачи. Хотя эти требования на первый взгляд кажутся совершенно естественными, их, тем не менее, *необходимо доказывать в рамках принятой математической модели*. Доказательство корректности — это первая апробация математической модели: модель непротиворечива (решение существует), модель однозначно описывает физический процесс (решение единственно), модель мало чувствительна к погрешностям измерений физических величин (решение непрерывно зависит от данных задачи).

В этой книге мы будем изучать корректно поставленные краевые задачи для дифференциальных уравнений классической математической физики в терминах *классических решений*. В современной математической физике большое значение имеет понятие *обобщенного решения*. Обобщенные решения возникают при изучении интегральных соотношений типа локального баланса, и учет этих решений приводит к *обобщенным постановкам краевых задач* математической физики. Точное определение обобщенного решения опирается на понятие *обобщенной производной* и вообще, *обобщенной функции*. Аппарат теории обобщенных функций служит удобным средством для исследования линейных краевых задач математической физики как в обобщенной, так и в классической постановках. Однако эти вопросы выходят за рамки классической высшей математики, изучаемой в технических университетах и знание только которой мы предполагаем. В случае необходимости мы отсылаем к соответствующим учебникам [4]¹.

Основные дифференциальные операторы математической физики

Напомним некоторые понятия и определения анализа. Пусть A — произвольное множество. Если элемент a принадлежит множеству A (содержится во множестве A), то это будем записывать так: $a \in A$. Если элемент a не принадлежит множеству A (не содержится во множестве A), то это записывается так: $a \notin A$ или так: $a \bar{\in} A$. Пусть B — другое множество. Обозначим $A \subset B$ *включение* A в B , $A = B$ — *совпадение* A с B , $A \cup B$ — *объединение* A и B , $A \cap B$ — *пересечение* A и B , $A \setminus B$ —

¹ См. также *Владимиров В. С.* Обобщенные функции в математической физике. — М.: Наука, 1979. 320 с.

дополнение B до A (рис. 1.1), $A \times B$ — произведение A и B (множество пар (a, b) , $a \in A, b \in B$), \emptyset — пустое множество.

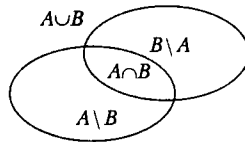


Рис. 1.1. Операции над множествами

Обозначим n -мерное вещественное евклидово пространство через R^n , а его точки через $x = (x_1, x_2, \dots, x_n)$, где x_i ($i = 1, 2, \dots, n$) — координаты точки x . Символами (x, y) и $|x|$ обозначим скалярное произведение и длину (норму) в R^n :

$$(x, y) = x_1 y_1 + x_2 y_2 + \dots + x_n y_n,$$

$$|x| = \sqrt{(x, x)} = \sqrt{x_1^2 + x_2^2 + \dots + x_n^2}.$$

Таким образом, число $|x - y|$ есть евклидово расстояние между точками x и y . Множество точек $x \in R^n$, удовлетворяющих неравенству $|x - x_0| < r$, называется *открытым шаром* радиуса r с центром в точке x_0 . Этот шар обозначают так: $U(x_0; r)$. Множество называется *ограниченным* в R^n , если существует шар, содержащий это множество. Точка x_0 называется *внутренней* точкой множества, если существует шар с центром в точке x_0 , содержащийся в этом множестве. Множество называется *открытым*, если все его точки внутренние. Множество называется *связным*, если любые две его точки можно соединить кусочно-гладкой кривой, лежащей в этом множестве. Связное открытое множество называется *областью*.

Последовательность точек $x_k = (x_1^k, x_2^k, \dots, x_n^k)$ называется сходящейся к точке $x \in R^n$, $x_k \rightarrow x, k \rightarrow \infty$, если $|x - x_k| \rightarrow 0, k \rightarrow \infty$. Точка x_0 называется *предельной точкой* множества A , если существует последовательность x_k такая, что $x_k \in A, x_k \neq x_0, x_k \rightarrow x_0, k \rightarrow \infty$. Если к множеству A добавить все его предельные точки, то полученное множество называется *замыканием* множества A и обозначается \bar{A} ; ясно, что $A \subset \bar{A}$. Если множество совпадает со своим замыканием, то оно называется *замкнутым*. Замкнутое ограниченное множество называется *компактом*. *Окрестностью* множества A называется всякое открытое множество, содержащее A .

Пусть G — область, то есть связное открытое множество. Точки замыкания \bar{G} , не принадлежащие G , образуют замкнутое множество S , называемое границей области G , так что $S = \bar{G} \setminus G$. Например, границей открытого шара $U(x_0; r)$ является сфера $|x - x_0| = r$. Эту сферу обозначают $S(x_0; r)$.

Множество функций f , непрерывных в области G вместе с производными до некоторого порядка p включительно ($0 \leq p < \infty$), образует *класс* $C^{(p)}(G)$. Таким образом, класс $C^{(0)}(G)$ состоит из всех непрерывных функций в G ; этот класс часто обозначают просто $C(G)$.

В математической физике часто рассматривается величина, которая зависит не только от положения точки $x = (x_1, x_2, \dots, x_n)$, то есть от ее n (часто $n = 1, 2, 3$) пространственных координат, но и еще от какой-либо переменной, в большинстве случаев от времени t . Если рассматриваемая величина является числом, то принято говорить, что речь идет о скалярной функции точки; если же рассматриваемая величина — вектор, то говорят о векторной функции точки.

Вместо терминов «числовая функция точки», «вектор-функция точки» употребляются равнозначные: *скалярное поле*, *векторное поле*. Эта терминология подчеркивает, что значения рассматриваемых функций зависят именно от точек пространства (в которых эти функции определены), а не от их координат, при выборе той или иной системы координат.

Например, плотность заряда в различных точках изолированного наэлектризованного тела представляет собой скалярную функцию точки; электрическое поле, которое создается этими зарядами в различных точках тела, представляет собой векторную функцию точки. Электрические заряды создают скалярное поле плотности и векторное поле электрических сил. Если электрические заряды изменяются в зависимости от времени, то скалярное и векторное поля являются не только функциями координат рассматриваемой точки, но также и функциями времени.

Употребляя эту терминологию, можно сказать, например, что всякое скалярное поле $u = u(M)$, определенное и дифференцируемое в некоторой области G , порождает векторное поле его градиентов: $\vec{a}(M) = \text{grad}(u)$.

Напомним основные дифференциальные операторы теории поля — операторы математической физики. Наиболее важные поля характеризуют следующие три функции:

- **градиент** — векторная функция, аргументом которой является скалярная функция точки;
- **дивергенция** — скалярная функция, аргументом которой является векторная функция точки;
- **вихрь** — векторная функция, аргументом которой является векторная функция точки.

Оператор-градиент функции u : дана скалярная функция $u(x, y, z)$; градиентом этой функции называется вектор с координатами $\partial u/\partial x$, $\partial u/\partial y$, $\partial u/\partial z$:

$$\text{grad}(u) = \vec{i} \frac{\partial u}{\partial x} + \vec{j} \frac{\partial u}{\partial y} + \vec{k} \frac{\partial u}{\partial z}.$$

С этим оператором тесно связан оператор — производная (градиент) по направлению \vec{l} :

$$[\text{grad}(u)]_l \equiv \frac{\partial u}{\partial l} = \frac{\partial u}{\partial x} \cos(\vec{l}, x) + \frac{\partial u}{\partial y} \cos(\vec{l}, y) + \frac{\partial u}{\partial z} \cos(\vec{l}, z).$$

Здесь $\cos(\vec{l}, x)$, $\cos(\vec{l}, y)$, $\cos(\vec{l}, z)$ — направляющие косинусы, то есть косинусы углов, составляемых направлением \vec{l} с положительными направлениями координатных осей.

Очевидно,

$$\frac{\partial u}{\partial l} = \vec{l} \cdot \text{grad}(u).$$

Оператор-дивергенция векторной функции \vec{A} : дана векторная функция \vec{A} точки $M(x, y, z)$; дивергенция вектора \vec{A} — это скалярная величина

$$\text{div } \vec{A} = \frac{\partial A_x}{\partial x} + \frac{\partial A_y}{\partial y} + \frac{\partial A_z}{\partial z}.$$

Здесь предполагается, что $\vec{A}(A_x, A_y, A_z) = \vec{i}A_x + \vec{j}A_y + \vec{k}A_z$.

Оператор-ротор (или *вихрь*) вектора \vec{A} — это векторная величина

$$\text{rot } \vec{A} = \vec{i} \left(\frac{\partial A_z}{\partial y} - \frac{\partial A_y}{\partial z} \right) + \vec{j} \left(\frac{\partial A_x}{\partial z} - \frac{\partial A_z}{\partial x} \right) + \vec{k} \left(\frac{\partial A_y}{\partial x} - \frac{\partial A_x}{\partial y} \right).$$

Удобно символическое представление этого вектора в виде определителя третьего порядка¹:

$$\text{rot } \vec{A} = \begin{vmatrix} \vec{i} & \vec{j} & \vec{k} \\ \frac{\partial}{\partial x} & \frac{\partial}{\partial y} & \frac{\partial}{\partial z} \\ A_x & A_y & A_z \end{vmatrix}.$$

ПРИМЕЧАНИЕ

Дивергенция представима в виде следующих скалярных произведений:

$$\text{div } \vec{A} = \vec{i} \cdot \frac{\partial \vec{A}}{\partial x} + \vec{j} \cdot \frac{\partial \vec{A}}{\partial y} + \vec{k} \cdot \frac{\partial \vec{A}}{\partial z}.$$

Вихрь представим в виде суммы следующих векторных произведений:

$$\text{rot } \vec{A} = \vec{i} \times \frac{\partial \vec{A}}{\partial x} + \vec{j} \times \frac{\partial \vec{A}}{\partial y} + \vec{k} \times \frac{\partial \vec{A}}{\partial z}.$$

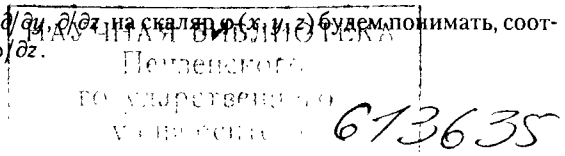
Оператором Лапласа (лапласианом) называют оператор

$$\Delta = \frac{\partial^2}{\partial x^2} + \frac{\partial^2}{\partial y^2} + \frac{\partial^2}{\partial z^2}.$$

Если применить его к скалярной функции u , то

$$\Delta u = \frac{\partial^2 u}{\partial x^2} + \frac{\partial^2 u}{\partial y^2} + \frac{\partial^2 u}{\partial z^2}.$$

¹ Под «произведением» символов $\partial/\partial x, \partial/\partial y, \partial/\partial z$ на скаляр $\varphi(x, y, z)$ будем понимать, соответственно, скаляры $\partial\varphi/\partial x, \partial\varphi/\partial y, \partial\varphi/\partial z$.



Применим оператор Лапласа к вектору \vec{A} . Имеем

$$\Delta \vec{A} = \frac{\partial^2 \vec{A}}{\partial x^2} + \frac{\partial^2 \vec{A}}{\partial y^2} + \frac{\partial^2 \vec{A}}{\partial z^2}.$$

Так как $\vec{A} = \vec{i}A_x + \vec{j}A_y + \vec{k}A_z$, то для вектора $\Delta \vec{A}$ получаем следующее выражение:

$$\Delta \vec{A} = \vec{i}\Delta A_x + \vec{j}\Delta A_y + \vec{k}\Delta A_z.$$

Оператором Гамильтона (символическим вектором лабла) называют векторный оператор

$$\nabla = \vec{i} \frac{\partial}{\partial x} + \vec{j} \frac{\partial}{\partial y} + \vec{k} \frac{\partial}{\partial z}$$

Применяя его к скаляру u , получаем

$$\nabla u = \vec{i} \frac{\partial u}{\partial x} + \vec{j} \frac{\partial u}{\partial y} + \vec{k} \frac{\partial u}{\partial z} = \text{grad}(u).$$

Скалярное произведение векторов ∇ и \vec{A} равно

$$\nabla \cdot \vec{A} = \frac{\partial A_x}{\partial x} + \frac{\partial A_y}{\partial y} + \frac{\partial A_z}{\partial z} = \text{div} \vec{A}.$$

Векторное произведение векторов ∇ и \vec{A} равно

$$\nabla \times \vec{A} = \vec{i} \left(\frac{\partial A_z}{\partial y} - \frac{\partial A_y}{\partial z} \right) + \vec{j} \left(\frac{\partial A_x}{\partial z} - \frac{\partial A_z}{\partial x} \right) + \vec{k} \left(\frac{\partial A_y}{\partial x} - \frac{\partial A_x}{\partial y} \right) = \text{rot} \vec{A}.$$

Аналогично получаем

$$\Delta u = \nabla^2 u,$$

где скалярный оператор $\nabla^2 = \nabla \cdot \nabla$ обозначен через Δ , то есть существует очевидная связь между операторами: $\text{div}(\text{grad}(u)) = \Delta u$.

Если от одной системы координат $Oxyz$ перейти к другой системе координат $O'x'y'z'$, то форма основных операторов математической физики не изменится — операторы инвариантны по отношению к повороту и переносу координатных осей.

Основные интегральные тождества

Пусть заданы система координат $Oxyz$ и область D , ограниченная поверхностью S , гладкой или кусочно-гладкой. Под кусочно-гладкой поверхностью мы будем понимать поверхность, которая состоит из конечного числа кусков с непрерывно меняющейся на них касательной плоскостью.

Пусть \vec{A} — векторная функция точки $M \in D$. Предполагается, что эта функция непрерывна вместе со своими первыми производными в любой точке объема D и его границы S . Тогда, как известно, справедлива формула Остроградского

$$\int_D \operatorname{div} \vec{A} \, d\tau = \int_S A_n \, d\sigma, \quad (1.1)$$

где $d\sigma$ — элемент поверхности S ; $d\tau$ — элемент объема D ; $A_n = \vec{A} \cdot \vec{n}$, \vec{n} — вектор внешней нормали к поверхности S . Формула (1.1) верна, если $\vec{A} \in C^{(1)}(\bar{D})$, $\bar{D} = D \cup S$.

Положим в формуле (1.1) $\vec{A} = \operatorname{grad}(u)$, тогда, очевидно,

$$\operatorname{div} \vec{A} = \operatorname{div}(\operatorname{grad}(u)) = \Delta u;$$

с другой стороны,

$$A_n = \vec{A} \cdot \vec{n} = \operatorname{grad}(u) \cdot \vec{n} = \frac{\partial u}{\partial n}.$$

Таким образом, будем иметь

$$\int_D \Delta u \, d\tau = \int_S \frac{\partial u}{\partial n} \, d\sigma. \quad (1.2)$$

Формула (1.2) верна, если $u \in C^{(2)}(\bar{D})$.

Заменим в (1.2) функцию u на функцию $u^2/2$. Имеем

$$\frac{\partial}{\partial x} \left(\frac{u^2}{2} \right) = u \frac{\partial u}{\partial x}; \quad \frac{\partial^2}{\partial x^2} \left(\frac{u^2}{2} \right) = u \frac{\partial^2 u}{\partial x^2} + \left(\frac{\partial u}{\partial x} \right)^2;$$

$$\frac{\partial}{\partial y} \left(\frac{u^2}{2} \right) = u \frac{\partial u}{\partial y}; \quad \frac{\partial^2}{\partial y^2} \left(\frac{u^2}{2} \right) = u \frac{\partial^2 u}{\partial y^2} + \left(\frac{\partial u}{\partial y} \right)^2;$$

$$\frac{\partial}{\partial z} \left(\frac{u^2}{2} \right) = u \frac{\partial u}{\partial z}; \quad \frac{\partial^2}{\partial z^2} \left(\frac{u^2}{2} \right) = u \frac{\partial^2 u}{\partial z^2} + \left(\frac{\partial u}{\partial z} \right)^2.$$

Откуда получим

$$\Delta \left(\frac{u^2}{2} \right) = u \Delta u + (\operatorname{grad}(u))^2; \quad \frac{\partial}{\partial n} \left(\frac{u^2}{2} \right) = u \frac{\partial u}{\partial n},$$

и, следовательно, вместо формулы (1.2) будем иметь

$$\int_D [u \Delta u + (\operatorname{grad}(u))^2] \, d\tau = \int_S u \frac{\partial u}{\partial n} \, d\sigma. \quad (1.3)$$

Формула (1.3) верна, если $u \in C^{(2)}(\bar{D})$.

Рассмотрим теперь плоскость Oxy и плоскую область D , ограниченную контуром Γ . В этом случае вместо формул (1.2) и (1.3) будем иметь формулы

$$\int_D \Delta u d\sigma = \int_{\Gamma} \frac{\partial u}{\partial n} dl,$$

$$\int_D [u\Delta u + (\text{grad}(u))^2] d\sigma = \int_{\Gamma} u \frac{\partial u}{\partial n} dl.$$

Здесь

$$\Delta u = \frac{\partial^2 u}{\partial x^2} + \frac{\partial^2 u}{\partial y^2},$$

$$\frac{\partial u}{\partial n} = \frac{\partial u}{\partial x} \cos(\vec{n}, x) + \frac{\partial u}{\partial y} \cos(\vec{n}, y);$$

$d\sigma$ — элемент плоской области D ; dl — элемент дуги границы Γ .

Приведем еще одну полезную формулу, известную в литературе как формула Грина. Пусть S — замкнутая поверхность, ограничивающая область D . Пусть u и v — две скалярные функции точки $M \in D$. Покажем, что имеет место формула

$$\int_D [u\Delta v - v\Delta u] d\tau = \int_S \left[u \frac{\partial v}{\partial n} - v \frac{\partial u}{\partial n} \right] d\sigma. \quad (1.4)$$

Воспользуемся легко проверяемой формулой (читателю рекомендуем проверить эту формулу!), определяющей дивергенцию произведения скалярного поля f на векторное поле \vec{A} :

$$\text{div}(f\vec{A}) = \vec{A} \cdot \text{grad}(f) + f \text{div}(\vec{A}).$$

Будем иметь

$$\text{div}(u \text{grad}(v)) = \text{grad}(v) \cdot \text{grad}(u) + u \text{div}(\text{grad}(v)) = \text{grad}(v) \cdot \text{grad}(u) + u\Delta v.$$

Подставим в формулу (1.1) вместо вектора \vec{A} вектор $u \text{grad}(v)$. Имеем

$$\int_D [u\Delta v + \text{grad}(u) \cdot \text{grad}(v)] d\tau = \int_S u \frac{\partial v}{\partial n} d\sigma.$$

Меняя роли функций u и v , находим

$$\int_D [v\Delta u + \text{grad}(v) \cdot \text{grad}(u)] d\tau = \int_S v \frac{\partial u}{\partial n} d\sigma.$$

Вычитая последнее выражение из предыдущего, получим формулу (1.4).

Из формулы Остроградского (1.1), кроме перечисленных интегральных тождеств, вытекает важное следствие, которое мы сформулируем в виде леммы [25].

ЛЕММА. Пусть F — непрерывная функция, заданная в некоторой области трехмерного евклидова пространства. Для того чтобы для любой замкнутой поверхности S , проведенной внутри области задания векторной функции \vec{T} и ограничивающей область Ω , имело место равенство

$$\int_{\Omega} F d\tau = \int_S T_n d\sigma, \quad (1.5)$$

необходимо и достаточно, чтобы

$$\operatorname{div} \vec{T} = F. \quad (1.6)$$

Действительно, применяя формулу (1.1), равенство (1.5) можно привести к виду

$$\int_{\Omega} [\operatorname{div} \vec{T} - F] d\tau = 0.$$

После этого достаточность условия леммы становится очевидной. Установим его необходимость. Будем рассуждать от противного. Допустим, что в некоторой точке, а тем самым в силу непрерывности и в ее окрестности, функция $\operatorname{div} \vec{T} - F$ отлична от нуля, например, положительна. Тогда интеграл, распространенный по малой области ω вокруг упомянутой точки, будет отличен от нуля:

$$\int_{\omega} [\operatorname{div} \vec{T} - F] d\tau \neq 0,$$

и равенство (1.5) невозможно. Следовательно, наше предположение противоречит условию. Таким образом, необходимость равенства (1.6) доказана.

Точно так же может быть доказана аналогичная лемма для двумерной области, лежащей на плоскости.

Эта лемма часто используется в математической физике при получении дифференциальных уравнений (представляющих собой локальную форму законов сохранения) из законов сохранения в интегральной форме.

Криволинейные координаты

До сих пор, желая задать аналитически скалярное или векторное поле, мы пользовались декартовой системой координат. Так, например, скалярное поле мы задавали с помощью функции трех переменных; этими переменными были абсцисса, ордината и аппликата переменной точки пространства. Прямоугольная, декартова, система координат является широко рассматриваемой. Однако ясно, что задание абсциссы, ординаты и аппликаты точки — не единственный способ определения положения точки в пространстве. При решении ряда физических задач удобнее применять *криволинейную систему координат*.

Пусть даны трехмерное пространство и система декартовых координат $Oxyz$. Введем новые независимые переменные q^1, q^2, q^3 :

$$\begin{aligned}x &= x(q^1, q^2, q^3), \\y &= y(q^1, q^2, q^3), \\z &= z(q^1, q^2, q^3).\end{aligned}$$

Будем предполагать, что данные функции однозначны, непрерывны и дифференцируемы, причем $\alpha_i \leq q^i \leq \beta_i$ ($i = 1, 2, 3$). Будем предполагать также, что функциональный определитель М. В. Остроградского¹ отличен от нуля (за исключением, быть может, отдельных точек пространства), то есть

$$\begin{vmatrix} \frac{\partial x}{\partial q^1} & \frac{\partial y}{\partial q^1} & \frac{\partial z}{\partial q^1} \\ \frac{\partial x}{\partial q^2} & \frac{\partial y}{\partial q^2} & \frac{\partial z}{\partial q^2} \\ \frac{\partial x}{\partial q^3} & \frac{\partial y}{\partial q^3} & \frac{\partial z}{\partial q^3} \end{vmatrix} \neq 0. \quad (1.7)$$

При сформулированных условиях можно утверждать о взаимно однозначном соответствии между переменными q^1, q^2, q^3 и x, y, z . Таким образом, положение точки в пространстве можно характеризовать переменными q^1, q^2, q^3 . Эти величины называются *криволинейными координатами* точки.

Важной характеристикой любой криволинейной системы координат является ее метрика, то есть выражение квадрата линейного элемента, определяющего расстояние между двумя бесконечно близкими точками

$$\begin{aligned}(dl)^2 &= (dx)^2 + (dy)^2 + (dz)^2 = \\ &= \left(\sum_{i=1}^3 \frac{\partial x}{\partial q^i} dq^i \right)^2 + \left(\sum_{i=1}^3 \frac{\partial y}{\partial q^i} dq^i \right)^2 + \left(\sum_{i=1}^3 \frac{\partial z}{\partial q^i} dq^i \right)^2 = \sum_{i=1}^3 \sum_{k=1}^3 g_{ik} dq^i dq^k,\end{aligned}$$

где

$$g_{ik} = \frac{\partial x}{\partial q^i} \frac{\partial x}{\partial q^k} + \frac{\partial y}{\partial q^i} \frac{\partial y}{\partial q^k} + \frac{\partial z}{\partial q^i} \frac{\partial z}{\partial q^k}, \quad i, k = 1, 2, 3.$$

Система криволинейных координат называется ортогональной, если $g_{ik} = 0$ при $i \neq k$. Для ортогональной системы имеем

¹ Здесь уместно сделать небольшое историческое отступление. В учебниках, авторы которых не интересуются историей математики, определитель (1.7) ошибочно называется якобианом. Немецкий математик К. Г. Якоби (1804–1851), который жил некоторое время в Петербурге и был знаком с М. В. Остроградским (1801–1862), в письме к своему брату Б. С. Якоби (физик и электротехник) подтверждал, что функциональный определитель (1.7) является частным случаем функционального определителя, впервые введенного М. В. Остроградским. Именно Остроградский первым указал на роль функциональных определителей типа (1.7) при замене переменных в кратных интегралах и при решении дифференциальных уравнений с частными производными. И только советский математик А. Я. Хинчин (1894–1959), опубликовавший свыше 150 работ по математике и ее истории, в своем учебнике «Краткий курс математического анализа» функциональные определители типа (1.7) называет определителями Остроградского.

$$\begin{aligned}(dl)^2 &= g_{11}(dq^1)^2 + g_{22}(dq^2)^2 + g_{33}(dq^3)^2 = \\ &= H_1^2(dq^1)^2 + H_2^2(dq^2)^2 + H_3^2(dq^3)^2,\end{aligned}$$

где величины $H_i = \sqrt{g_{ii}}$, $i = 1, 2, 3$, называются коэффициентами Лямэ

$$H_i^2 = g_{ii} = \left(\frac{\partial x}{\partial q^i}\right)^2 + \left(\frac{\partial y}{\partial q^i}\right)^2 + \left(\frac{\partial z}{\partial q^i}\right)^2.$$

Заметим, что каждая из величин H_i имеет смысл коэффициента пропорциональности в равенстве, выражающем связь между элементарным приращением dl_i длины отрезка вдоль i -й координатной линии и приращением соответствующей криволинейной координаты dq^i : $dl_i = H_i dq^i$.

Приведем для справки аналитические выражения основных операторов математической физики в ортогональных криволинейных координатах:

□ оператор-градиент

$$(\text{grad}(u))_{q^i} = \frac{1}{H_i} \frac{\partial u}{\partial q^i} \quad (i = 1, 2, 3);$$

□ оператор Лапласа

$$\Delta u = \frac{1}{H_1 H_2 H_3} \left[\frac{\partial}{\partial q^1} \frac{H_2 H_3}{H_1} \left(\frac{\partial u}{\partial q^1} \right) + \frac{\partial}{\partial q^2} \frac{H_1 H_3}{H_2} \left(\frac{\partial u}{\partial q^2} \right) + \frac{\partial}{\partial q^3} \frac{H_1 H_2}{H_3} \left(\frac{\partial u}{\partial q^3} \right) \right];$$

□ оператор-дивергенция

$$\text{div} \vec{A} = \frac{1}{H_1 H_2 H_3} \left[\frac{\partial}{\partial q^1} (A_{q_1} H_2 H_3) + \frac{\partial}{\partial q^2} (A_{q_2} H_1 H_3) + \frac{\partial}{\partial q^3} (A_{q_3} H_1 H_2) \right];$$

□ оператор-ротор

$$\text{rot}_{q_1} \vec{A} = \frac{1}{H_2 H_3} \left[\frac{\partial (A_{q_3} H_3)}{\partial q^2} - \frac{\partial (A_{q_2} H_2)}{\partial q^3} \right],$$

$$\text{rot}_{q_2} \vec{A} = \frac{1}{H_1 H_3} \left[\frac{\partial (A_{q_1} H_1)}{\partial q^3} - \frac{\partial (A_{q_3} H_3)}{\partial q^1} \right],$$

$$\text{rot}_{q_3} \vec{A} = \frac{1}{H_2 H_1} \left[\frac{\partial (A_{q_2} H_2)}{\partial q^1} - \frac{\partial (A_{q_1} H_1)}{\partial q^2} \right].$$

В заключение рассмотрим две важнейших системы ортогональных криволинейных координат в пространстве. Эти системы будут использованы при изучении уравнений распространения волн и Лапласа.

Цилиндрические координаты. Координатные поверхности: круговые цилиндры с осью вращения Oz , плоскости, перпендикулярные оси Oz , и полуплоскости, проходящие через Oz (рис. 1.2).

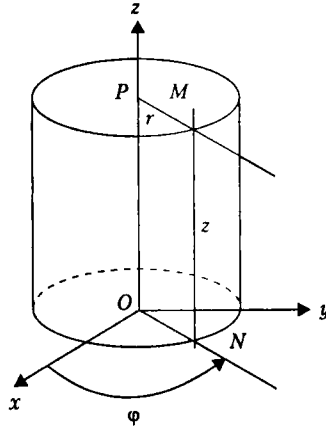


Рис. 1.2. Цилиндрические координаты

Цилиндрические координаты r , φ , z связаны с прямоугольными координатами x , y , z соотношениями

$$x = r \cos(\varphi), y = r \sin(\varphi), z = z.$$

Коэффициенты Лямэ: $H_r = 1$, $H_\varphi = r$, $H_z = 1$.

Оператор Лапласа

$$\Delta u = \frac{1}{r} \frac{\partial}{\partial r} \left(r \frac{\partial u}{\partial r} \right) + \frac{1}{r^2} \frac{\partial^2 u}{\partial \varphi^2} + \frac{\partial^2 u}{\partial z^2}.$$

Сферические координаты. Координатные поверхности: сферы с центром O и радиусом ρ , круговые конусы с вершиной O , образующие которых составляют с осью вращения Oz угол θ , и полуплоскости, проходящие через Oz под углом φ к плоскости Oxz (рис. 1.3).

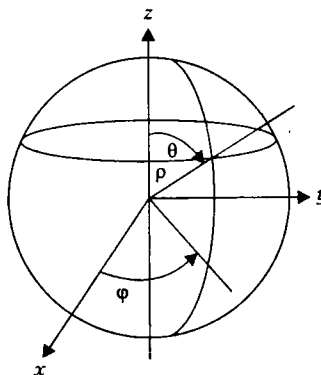


Рис. 1.3. Сферические координаты

Сферические координаты ρ , θ , φ связаны с прямоугольными координатами x , y , z соотношениями

$$x = \rho \sin(\theta) \cos(\varphi), \quad y = \rho \sin(\theta) \sin(\varphi), \quad z = \rho \cos(\theta).$$

Коэффициенты Лямэ: $H_\rho = 1$, $H_\varphi = \rho \sin(\theta)$, $H_\theta = \rho$.

Оператор Лапласа в сферических координатах имеет вид

$$\Delta u = \frac{1}{\rho^2} \frac{\partial}{\partial \rho} \left(\rho^2 \frac{\partial u}{\partial \rho} \right) + \frac{1}{\rho^2 \sin(\theta)} \frac{\partial}{\partial \theta} \left(\sin(\theta) \frac{\partial u}{\partial \theta} \right) + \frac{1}{\rho^2 \sin^2(\theta)} \frac{\partial^2 u}{\partial \varphi^2}.$$

2 Уравнения математической физики

Математическое описание физических процессов приводит к дифференциальным и интегральным уравнениям или даже к интегро-дифференциальным уравнениям. Широкий класс физических процессов описывается линейными дифференциальными уравнениями второго порядка

$$\sum_{i=1}^n \sum_{j=1}^n a_{ij}(x) \frac{\partial^2 u}{\partial x_i \partial x_j} + \sum_{i=1}^n b_i(x) \frac{\partial u}{\partial x_i} + c(x)u = F(x). \quad (2.1)$$

В этой главе мы рассмотрим характерные физические процессы, сводящиеся к различным краевым задачам для дифференциальных уравнений типа (2.1), классификацию таких уравнений и постановки задач математической физики.

Уравнение колебаний

Многие задачи механики (колебания струн, стержней, мембран и трехмерных объемов) и физики (электромагнитные колебания) описываются уравнением колебаний следующего вида:

$$p(x) \frac{\partial^2 u}{\partial t^2} = \nabla \cdot (p(x) \nabla u) - q(x)u + F(x, t), \quad (2.2)$$

где неизвестная функция $u(x, t)$ зависит от n пространственных координат (обычно $n = 1, 2, 3$) и времени t ; коэффициенты $p(x)$, $q(x)$ определяются свойствами среды, где происходит колебательный процесс; свободный член $F(x, t)$ выражает интенсивность внешнего возмущения. В уравнении (2.2), в соответствии с определением операторов дивергенции и градиента,

$$\nabla \cdot (p(x) \nabla u) = \sum_{i=1}^n \frac{\partial}{\partial x_i} \left(p(x) \frac{\partial u}{\partial x_i} \right).$$

Уравнение малых поперечных колебаний струны

Продemonстрируем вывод уравнения (2.2) на примере малых поперечных колебаний струны. *Струной* называется натянутая нить, не сопротивляющаяся изгибу.

Пусть в плоскости (x, u) струна совершает малые поперечные колебания около своего положения равновесия, совпадающего с осью x . Величину отклонения струны от положения равновесия в точке x в момент времени t обозначим через $u(x, t)$, так что $u = u(x, t)$ есть уравнение струны в момент времени t . Ограничиваясь рассмотрением лишь малых колебаний струны, мы будем пренебрегать величинами высшего порядка малости по сравнению с $\operatorname{tg} \alpha = \partial u / \partial x$.

Так как струна не сопротивляется изгибу, то ее натяжение $\vec{T}(x, t)$ в точке x в момент времени t направлено по касательной к струне в точке x (рис. 2.1). Любой участок струны (a, b) после отклонения от положения равновесия в рамках нашего приближения не изменит своей длины:

$$l = \int_a^b \sqrt{1 + \left(\frac{\partial u}{\partial x}\right)^2} dx \cong b - a,$$

и, следовательно, в соответствии с законом Гука, величина натяжения $|\vec{T}(x, t)|$ будет оставаться постоянной, не зависящей от x и t : $|\vec{T}(x, t)| = T_0$.

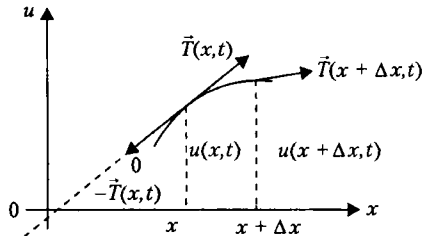


Рис. 2.1. Натянутая струна

Обозначим через $F(x, t)$ плотность внешних сил, действующих на струну в точке x в момент времени t и направленных перпендикулярно оси x в плоскости (x, u) . Наконец, пусть $\rho(x)$ обозначает линейную плотность струны в точке x , так что приблизительно $\rho(x)\Delta x$ — масса элемента струны $(x, x + \Delta x)$.

Составим уравнение движения струны. На ее элемент $(x, x + \Delta x)$ действуют силы натяжения $\vec{T}(x + \Delta x, t)$ и $-\vec{T}(x, t)$ (рис. 2.1) и внешняя сила, сумма которых, согласно законам Ньютона, должна быть равна произведению массы этого элемента на его ускорение. Проецируя это векторное равенство на ось u , на основании всего сказанного получим равенство

$$T_0 \sin(\alpha)|_{x+\Delta x} - T_0 \sin(\alpha)|_x + F(x, t)\Delta x = \rho(x)\Delta x \frac{\partial^2 u}{\partial t^2}. \quad (2.3)$$

Но в рамках нашего приближения

$$\sin(\alpha) = \frac{\operatorname{tg}(\alpha)}{\sqrt{1 + \operatorname{tg}^2(\alpha)}} \approx \operatorname{tg}(\alpha) = \frac{\partial u}{\partial x},$$

а потому из (2.3) имеем

$$\rho(x) \frac{\partial^2 u}{\partial t^2} = T_0 \frac{1}{\Delta x} \left[\frac{\partial u(x + \Delta x, t)}{\partial x} - \frac{\partial u(x, t)}{\partial x} \right] + F(x, t),$$

откуда при $\Delta x \rightarrow 0$ следует равенство

$$\rho(x) \frac{\partial^2 u}{\partial t^2} = T_0 \frac{\partial^2 u}{\partial x^2} + F.$$

Это и есть *уравнение малых поперечных колебаний струны*. При $F \neq 0$ колебания струны называются *вынужденными*, а при $F = 0$ — *свободными*. Если плотность ρ постоянна, $\rho(x) = \rho$, то уравнение колебаний струны принимает вид

$$\frac{\partial^2 u}{\partial t^2} = v^2 \frac{\partial^2 u}{\partial x^2} + f, \quad (2.4)$$

где $f = F/\rho$, а $v^2 = T_0/\rho$ — постоянная. Уравнение (2.4) называется *одномерным волновым уравнением*. Впервые это уравнение было получено Ж. Л. Даламбером в 1743 г. Им же было предложено и общее решение уравнения (2.4).

Уравнение малых продольных колебаний упругого стержня

Уравнение вида (2.2) описывает также *малые продольные колебания упругого стержня* (*стержнем* называется тело цилиндрической формы, для растяжения или изгибающего которого надо приложить известное усилие; это отличает даже самый тонкий стержень от струны, которая гнется свободно)

$$\rho S \frac{\partial^2 u}{\partial t^2} = \frac{\partial}{\partial x} \left(ES \frac{\partial u}{\partial x} \right) + F(x, t), \quad (2.5)$$

где $S(x)$ — площадь поперечного сечения стержня и $E(x)$ — модуль Юнга в точке x . Если $S(x)$, $E(x)$ и $\rho(x)$ постоянны, то уравнение (2.5) приводится к виду (2.4), где $f = F/(\rho S)$, а $v^2 = E/\rho$.

Дадим вывод уравнения (2.5). Представим себе прямолинейный стержень, диаметр поперечного сечения которого много меньше его длины. Допустим далее, что один конец этого стержня закреплен, а второй — свободен (рис. 2.2). Эти условия несущественны и принимаются для конкретности.

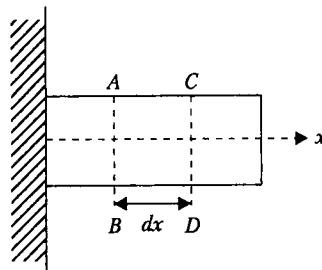


Рис. 2.2. Стержень

Будем считать, что все поперечные сечения стержня одинаковы. Выберем ось стержня как линию, проходящую через центры тяжести поперечных сечений. Координату вдоль оси стержня обозначим x . Каждому поперечному сечению стержня отвечает своя координата x . Реальный стержень является трехмерным телом, то есть занимает некоторый объем в пространстве. Однако если диаметр поперечного сечения стержня значительно меньше его длины, то при взгляде на стержень издалека он воспринимается как линия. Поэтому естественно рассматривать тонкий стержень как материальную линию, то есть объект, лишенный объема, но наделенный массой. Массу стержня удобно задавать посредством линейной массовой плотности, которую можно вычислить так. Если $S(x)$ — площадь поперечного сечения стержня, то объем материала стержня, заключенного между поперечными сечениями AB и CD , вычисляется по очевидной формуле $dV = Sdx$. Масса этого бесконечно малого объема $dm = \rho Sdx$, где ρ — массовая плотность материала, из которого изготовлен стержень. Реальный стержень моделируется линией. Мы должны считать, что массы реального стержня и модели одинаковы. Если через ρ_c обозначить линейную плотность массы стержня-модели, то масса его элемента dx равна $dm = \rho_c dx$. Получаем соотношение для определения ρ_c через трехмерную плотность ρ

$$dm = \rho_c dx = \rho Sdx \Rightarrow \rho_c = \rho S.$$

Представим себе, что мы ухватили за правый конец стержня, оттянули его вдоль оси x и отпустили. Ясно, что при этом точки стержня придут в движение и стержень начнет колебаться вдоль оси x . Такие колебания стержня называются *продольными колебаниями*. Чтобы описать состояние колеблющегося стержня, введем в рассмотрение функцию двух переменных $u(x, t)$ — перемещение точки стержня с координатой x в момент времени t вдоль оси стержня. В процессе движения стержня в момент времени t поперечное сечение AB стержня сместится вдоль оси на расстояние $u(x, t)$, так что его координата будет равна $x + u(x, t)$. Поперечное сечение CD стержня также сместится, и его координата будет

$$x + dx + u(x + dx, t) = x + dx + u(x, t) + \frac{\partial u}{\partial x} dx.$$

Расстояние между сечениями AB и CD в момент времени t будет

$$\left[x + u(x, t) + dx + \frac{\partial u}{\partial x} dx \right] - [x + u(x, t)] = \left[1 + \frac{\partial u}{\partial x} \right] dx.$$

Продольной деформацией стержня называется относительное изменение длины бесконечно малых отрезков стержня. В нашем случае относительное удлинение отрезка dx между сечениями AB и CD , согласно последней формуле, равно

$$\varepsilon(x, t) = \frac{\left[\left(1 + \frac{\partial u}{\partial x} \right) dx - dx \right]}{dx} = \frac{\partial u}{\partial x}.$$

Составим уравнение движения стержня. На элемент стержня $(x, x + dx)$ действуют силы натяжения $\bar{T}(x + dx, t)$, $-\bar{T}(x, t)$ и внешняя массовая сила, распределен-

ная по длине стержня и изменяющаяся с течением времени (рис. 2.3). Усилие $\vec{T} = T(x, t)\vec{i}$ моделирует воздействие части стержня, находящейся правее точки с координатой x , на часть стержня, находящуюся левее точки с координатой x . Плотность массовой силы в момент времени t в сечении x обозначим $\vec{F} = F(x, t)\vec{i}$. Если $T(x, t) > 0$, то усилие $T(x, t)$ называется *растягивающим*, если $T(x, t) < 0$, то усилие $T(x, t)$ называется *сжимающим*, или усилием сжатия. Сумма всех этих сил, согласно законам Ньютона, должна быть равна произведению массы рассматриваемого элемента на ускорение.

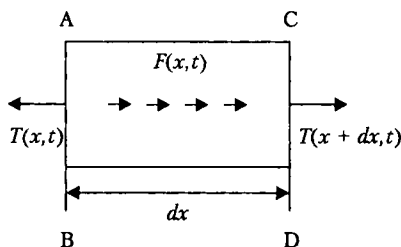


Рис. 2.3. Усилия в стержне

На основании сказанного будем иметь

$$\begin{aligned}
 T(x + dx, t) - T(x, t) + F(x, t) dx &= \rho(x) S(x) dx \frac{\partial^2 u}{\partial t^2} \Rightarrow \\
 \frac{\partial T}{\partial x} dx + F(x, t) dx &= \rho(x) S(x) dx \frac{\partial^2 u}{\partial t^2} \Rightarrow \\
 \frac{\partial T}{\partial x} + F(x, t) &= \rho(x) S(x) \frac{\partial^2 u}{\partial t^2}. \quad (2.6)
 \end{aligned}$$

Последнее уравнение содержит две неизвестные функции: усилие $\vec{T} = T(x, t)\vec{i}$ и перемещение $u(x, t)$. Таким образом, для решения задачи необходимо дополнительное условие. Мы будем рассматривать малые продольные колебания, поэтому таким дополнительным условием является закон Гука, устанавливающий пропорциональность силы и перемещения; в нашем случае

$$T(x, t) = ES\varepsilon = ES \frac{\partial u}{\partial x}, \quad (2.7)$$

где коэффициент пропорциональности ES называется *жесткостью стержня на растяжение*. Соотношение (2.7) называется *определяющим уравнением*, или *соотношением упругости*, справедливым только для малых деформаций ε и упругих стержней. Подставляя (2.7) в (2.6), получаем (2.5).

Из физических соображений следует, что для однозначного описания процесса колебаний струны или стержня необходимо дополнительно задать величины смещения u и скорости $u_t \equiv \partial u / \partial t$ в начальный момент времени (*начальные условия*) и режим на концах (*граничные условия*).

Рассмотрим некоторые примеры граничных условий:

а) если конец x_0 струны или стержня движется по закону $\mu(t)$, то

$$u|_{x=x_0} = \mu(t);$$

б) если на правый конец x_0 струны действует заданная сила $v(t)$, то

$$\frac{\partial u}{\partial x}\bigg|_{x=x_0} = \frac{v(t)}{T_0}.$$

Действительно, в этом случае

$$T_0 \frac{\partial u}{\partial x}\bigg|_{x=x_0} \approx T_0 \sin(\alpha)\bigg|_{x=x_0} = v(t);$$

в) если правый конец x_0 закреплен упруго и α — коэффициент жесткости закрепления, то в соответствии с законом Гука

$$E \frac{\partial u}{\partial x} + \alpha u\bigg|_{x=x_0} = 0.$$

Таким образом, желая полностью охарактеризовать физическую задачу, мы не можем ограничиться только дифференциальным уравнением; необходимо добавить некоторые дополнительные соотношения — начальные и граничные условия.

Поясним необходимость добавления дополнительных соотношений на следующем примере. Колебания струны, как нам уже известно, описываются дифференциальным уравнением (2.4). Допустим, что струна имеет длину l и в состоянии равновесия занимает отрезок $[0, l]$ оси x . Далее допустим, что струна в момент времени $t = 0$ была выведена из положения равновесия и начала колебаться. Задача состоит в том, чтобы исследовать отклонение $u(x, t)$ точки струны с произвольной абсциссой $x \in [0, l]$ в произвольный момент времени, следующий за начальным, то есть в момент времени $t > 0$. Иначе говоря, функция $u(x, t)$, удовлетворяющая уравнению (2.4), должна быть определена на плоскости переменных x и t в области $D: t > 0, 0 \leq x \leq l$. Граница этой области состоит из отрезка $[0, l]$ оси x и из двух лучей $x = 0, t > 0$, и $x = l, t > 0$. Единственными данными в уравнении (2.4) являются величина v^2 , которая определенным образом зависит от физических особенностей струны (от ее плотности и натяжения), и функция $f(x, t)$, характеризующая внешнюю силу, которая в момент времени t действует на точку x струны. Уравнение (2.4) не содержит никакой информации о том, каким образом струна была выведена из положения равновесия, а также о том, каково состояние концов струны (они могут быть закреплены или, наоборот, свободны или их перемещения стеснены теми или иными ограничениями). Указанная информация должна быть сообщена особо. Вывести струну из состояния равновесия можно, сообщив ее точкам либо начальное отклонение, либо начальную скорость, либо и то и другое вместе. Пусть точке x струны, $0 \leq x \leq l$, сообщены начальное отклонение $\varphi(x)$ и начальная скорость $\psi(x)$. Тогда искомая функция $u(x, t)$ должна удовлетворять соотношениям

$$u|_{t=0} = \varphi(x), \quad \frac{\partial u}{\partial t}\Big|_{t=0} = \psi(x), \quad 0 \leq x \leq l. \quad (\text{A})$$

Пусть еще известны законы колебания концов струны: пусть в момент времени $t \geq 0$ смещение левого конца струны равно $\mu_0(t)$, а смещение правого конца — $\mu_l(t)$. Тогда должны выполняться еще соотношения

$$u|_{x=0} = \mu_0(t), \quad u|_{x=l} = \mu_l(t). \quad (\text{B})$$

Условия (B) нет необходимости ставить, если струна бесконечная, то есть если она в состоянии равновесия заполняет всю ось x .

Дополнительные условия (A) и (B) должны выполняться на линиях $t = 0$, $x = 0$, $x = l$, то есть на границе области D , в которой определена функция $u(x, t)$. По этой причине такие условия и называются граничными или краевыми условиями.

Заметим, что условия (A) и (B) не вполне независимы. Если требовать, чтобы функция $u(x, t)$ была непрерывной не только внутри области D , но и на ее границе, то необходимо, чтобы выполнялись соотношения

$$\varphi(0) = \mu_0(0), \quad \varphi(l) = \mu_l(0). \quad (\text{B})$$

Соотношения (B) называются *условиями согласования*. Они вытекают из требования, чтобы смещение концов струны было непрерывным в начальный момент времени. Если требовать, чтобы на границе области D были непрерывны также и некоторые из производных функции $u(x, t)$, то могут возникнуть новые условия согласования. Например, если требовать непрерывности первых производных, то необходимо, чтобы

$$\psi(0) = \mu'_0(0), \quad \psi(l) = \mu'_l(0).$$

Если требовать непрерывности вторых производных, то появляются условия

$$\mu''_0(0) - v^2 \varphi''(0) = f(0, 0), \quad \mu''_l(0) - v^2 \varphi''(0) = f(l, 0).$$

Далее мы покажем, что при достаточно слабых ограничениях уравнение (2.4) имеет одно и только одно решение, удовлетворяющее условиям (A) и (B). Это означает, что уравнения (2.4), (A) и (B) содержат всю информацию, необходимую для исследования колебаний струны (решение единственно) и не содержат избыточной, противоречивой информации (решение существует).

Уравнение малых поперечных колебаний мембраны

Аналогично выводится *уравнение малых поперечных колебаний мембраны* (мембраной называется тонкая натянутая плоская пленка, не сопротивляющаяся изгибу и сдвигу, но оказывающая сопротивление растяжению)

$$\rho(x) \frac{\partial^2 u}{\partial t^2} = T_0 \left(\frac{\partial^2 u}{\partial x_1^2} + \frac{\partial^2 u}{\partial x_2^2} \right) + F(x, t), \quad x = (x_1, x_2). \quad (2.8)$$

Если плотность ρ постоянна, то уравнение колебаний мембраны

$$\frac{\partial^2 u}{\partial t^2} = v^2 \left(\frac{\partial^2 u}{\partial x_1^2} + \frac{\partial^2 u}{\partial x_2^2} \right) + f(x, t), \quad v^2 = \frac{T_0}{\rho}, \quad f = \frac{F}{\rho},$$

называется *двумерным волновым уравнением*.

Дадим вывод уравнения (2.8). Будем рассматривать малые поперечные колебания мембраны, в которых смещение перпендикулярно плоскости мембраны, за которую мы примем плоскость Oxy . Пусть $u = u(x, y, t)$ — величина смещения точки с координатами (x, y) в момент времени t . Критерием малости колебаний служат условия

$$\left(\frac{\partial u}{\partial x}\right)^2 \ll 1, \quad \left(\frac{\partial u}{\partial y}\right)^2 \ll 1.$$

Пусть ds — элемент дуги некоторого контура, лежащего на поверхности мембраны, M — точка этого элемента. На этот элемент действуют силы натяжения $\vec{T}ds$. Отсутствие сопротивления мембраны изгибу и сдвигу математически выражается в том, что вектор натяжения \vec{T} лежит в плоскости, касательной к поверхности мембраны в точке M , и перпендикулярен элементу ds , а натяжение T в этой точке не зависит от направления элемента ds , содержащего точку M . Из предположения о малости колебаний следует:

- Проекция $T_{\text{пр}}$ вектора натяжения \vec{T} на плоскость (x, y) равна T .
- Натяжение T не зависит от времени t .

Действительно, $T_{\text{пр}} = T \cos(\alpha)$, где α — угол между вектором \vec{T} и плоскостью (x, y) . Но α не больше угла γ между касательной плоскостью к поверхности мембраны, в которой лежит вектор \vec{T} , и плоскостью (x, y) : $\alpha \leq \gamma$. Поэтому

$$\cos(\alpha) \geq \cos(\gamma) = \frac{1}{\sqrt{1 + \left(\frac{\partial u}{\partial x}\right)^2 + \left(\frac{\partial u}{\partial y}\right)^2}} \approx 1.$$

Следовательно, $\cos(\alpha) \approx 1$, и значит, $T_{\text{пр}} \approx T$.

Далее рассмотрим участок S невозмущенной мембраны. Его площадь равна

$$\iint_S dx dy.$$

Площадь этого участка в момент времени t равна

$$\iint_S \frac{dx dy}{\cos(\gamma)} \approx \iint_S dx dy.$$

Таким образом, площадь фиксированного участка мембраны не меняется со временем, то есть участок не растягивается. Поэтому в силу закона Гука и T не меняется со временем. Из того, что вектор \vec{T} направлен по перпендикуляру к элементу дуги ds , следует, что T не зависит также от x и y .

Рассмотрим элемент мембраны, для которого точка $N(x, y, u)$ — средняя точка. На этот элемент, кроме сил натяжения \vec{T} , действует внешняя распределенная по

поверхности нагрузка $q(x, y, t)$, рассчитанная на единицу площади и перпендикулярная к поверхности мембраны (рис. 2.4). Равнодействующая внешних сил будет равна $q(x, y, t) dx dy$. Равнодействующая сил натяжения

$$\left[T dy \left(\frac{\partial u}{\partial x} \right) \Big|_{x+\frac{dx}{2}} - T dy \left(\frac{\partial u}{\partial x} \right) \Big|_{x-\frac{dx}{2}} \right] + \left[T dx \left(\frac{\partial u}{\partial y} \right) \Big|_{y+\frac{dy}{2}} - T dx \left(\frac{\partial u}{\partial y} \right) \Big|_{y-\frac{dy}{2}} \right] =$$

$$= T dy \frac{\partial^2 u}{\partial x^2} dx + T dx \frac{\partial^2 u}{\partial y^2} dy = T \left(\frac{\partial^2 u}{\partial x^2} + \frac{\partial^2 u}{\partial y^2} \right) dx dy.$$

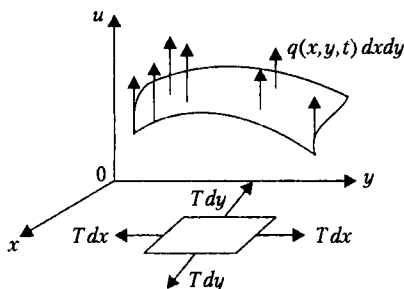


Рис. 2.4. Натянутая мембрана

Обозначим через $\rho(x, y)$ поверхностную плотность мембраны (плотность, рассчитанную на единицу площади). Тогда масса рассматриваемого элемента мембраны будет $\rho(x, y) dx dy$. Таким образом, в силу законов Ньютона мы можем написать уравнение

$$\rho(x, y) dx dy \frac{\partial^2 u}{\partial t^2} = q(x, y, t) dx dy + T \left(\frac{\partial^2 u}{\partial x^2} + \frac{\partial^2 u}{\partial y^2} \right) \Rightarrow$$

$$\frac{1}{v^2} \frac{\partial^2 u}{\partial t^2} = \left(\frac{\partial^2 u}{\partial x^2} + \frac{\partial^2 u}{\partial y^2} \right) + \frac{q(x, y, t)}{T}, \quad v = \sqrt{\frac{T}{\rho}}. \quad (2.9)$$

Величина v имеет размерность скорости. Она характеризует скорость распространения колебаний. В частном случае может быть $q(x, y, t) = 0$, тогда мы имеем уравнение свободных колебаний мембраны

$$\frac{1}{v^2} \frac{\partial^2 u}{\partial t^2} = \left(\frac{\partial^2 u}{\partial x^2} + \frac{\partial^2 u}{\partial y^2} \right). \quad (2.10)$$

Для завершения постановки задачи о колебаниях мембраны зададим начальные и граничные условия.

Начальные условия:

$$u \Big|_{t=0} = \varphi(x, y), \quad \frac{\partial u}{\partial t} \Big|_{t=0} = \psi(x, y). \quad (2.11)$$

Граничные условия на контуре Γ :

$$u|_{\Gamma} = 0. \quad (2.12)$$

Итак, задача о колебаниях мембраны сводится к интегрированию уравнений (2.9) и (2.10) при начальных и граничных условиях (2.11) и (2.12).

Задача о равновесии мембраны

Если считать, что $q = q(x, y)$, то есть внешняя поперечная нагрузка не зависит от времени, то можно ставить задачу о равновесии мембраны. Уравнение равновесия можно вывести непосредственно либо его можно получить из уравнения колебаний. Уравнение равновесия мембраны имеет вид

$$\left(\frac{\partial^2 u}{\partial x^2} + \frac{\partial^2 u}{\partial y^2} \right) = -\frac{q(x, y)}{T}.$$

Это уравнение надлежит интегрировать с граничным условием, например, с условием вида (2.12). Начальные условия не ставятся.

Задача об установившихся синусоидальных колебаниях мембраны

Пусть $q = q(x, y, t)$ зависит от времени специальным образом

$$q(x, y, t) = Q(x, y) \cos(\omega t)$$

либо

$$q(x, y, t) = Q(x, y) \sin(\omega t),$$

где ω — частота внешней возмущающей силы.

В этом случае и решение задачи целесообразно искать в виде

$$u(x, y, t) = U(x, y) \cos(\omega t)$$

либо

$$u(x, y, t) = U(x, y) \sin(\omega t)$$

соответственно.

После подстановки этих функций $u(x, y, t)$ в уравнение колебаний мембраны получим уравнение

$$\frac{\partial^2 U}{\partial x^2} + \frac{\partial^2 U}{\partial y^2} + \frac{\omega^2}{v^2} U = -\frac{Q(x, y)}{T},$$

которое надлежит интегрировать при граничных условиях, например, в виде (2.12).

Телеграфное уравнение

В качестве еще одного примера волнового уравнения рассмотрим *телеграфное уравнение*, которое применяется в теории распространения квазистационарных электрических колебаний по кабелям.

Если протяженность электрической цепи *велика* (например, телеграфные линии или линии передачи энергии), то такую цепь нельзя характеризовать сосредото-

точными параметрами (сопротивлением, емкостью, катушкой самоиндукции). В простейшем случае, когда электрическая цепь имеет большую протяженность, можно говорить о *линиях с распределенными параметрами*¹. При изучении таких линий учитывают сопротивление проводов, индуктивность линии, утечку тока в атмосферу вследствие отсутствия изоляции провода или ее несовершенства, а также взаимную емкость между проводами (или между проводом и землей). Мы будем рассматривать однородную линию, то есть линию, для которой сопротивление, индуктивность, утечка и емкость распределены вдоль провода непрерывно и равномерно; для наглядности будем считать линию *двухпроводной* (рис. 2.5). Будем считать, что линия электропередачи обладает омическим сопротивлением R , самоиндукцией L , емкостью C и утечкой изоляции g , рассчитанными на единицу длины. Пусть напряжение между проводами и ток на расстоянии x от начала линии $x = 0$ в момент времени t равны, соответственно, $u(x, t)$ и $I(x, t)$. Эти функции и являются искомыми; они связаны двумя дифференциальными уравнениями, которые мы сейчас выведем.

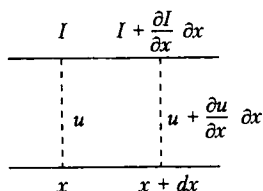


Рис. 2.5. Линия электропередач

Напомним, что самоиндукция L — коэффициент пропорциональности, связывающий электродвижущую силу самоиндукции со скоростью изменения тока, то есть $u_c = L \partial I / \partial t$. Емкость C — коэффициент пропорциональности между током смещения и скоростью изменения напряжения, то есть $I_{cm} = C \partial u / \partial t$. Последнее равенство получается дифференцированием соотношения $q = Cu$, где q — количество электричества, остающегося на участке провода, рассматриваемого как обкладка конденсатора, а u — напряжение. Наконец, утечка g есть коэффициент пропорциональности между током утечки и напряжением: $I_y = gu$.

Для составления дифференциальных уравнений, которым должны удовлетворять функции $u(x, t)$ и $I(x, t)$, выделим участок провода от точки с абсциссой x до точки с абсциссой $x + dx$. Если напряжение и ток в точке x в момент времени t равны, соответственно, $u(x, t)$ и $I(x, t)$, то в точке $x + dx$ в тот же момент времени значения этих величин (с точностью до бесконечно малых высших порядков по сравнению с dx) будут равны $u + (\partial u / \partial t) dx$ и $I + (\partial I / \partial t) dx$. Падение напряжения на рассматриваемом участке будет вызываться потерей напряжения в проводе, то есть величиной $R dx I$, и возникновением противодействующей электродвижущей силы самоиндукции $u_c = L dx (\partial I / \partial t)$. Поэтому

¹ Если длина электромагнитной волны настолько мала, что она сравнима с поперечными размерами проводника, то полученные здесь уравнения становятся неприменимы. В этом случае необходимо прибегнуть к решению уравнений электромагнитного поля, излагаемому в специальных курсах.

$$u - \left(u + \frac{\partial u}{\partial x} dx \right) = R dx I + L dx \frac{\partial I}{\partial t},$$

то есть

$$\frac{\partial u}{\partial x} + L \frac{\partial I}{\partial t} + RI = 0. \quad (2.13)$$

Далее изменение тока на этом же участке обусловлено током утечки и током смещения. Следовательно,

$$I - \left(I + \frac{\partial I}{\partial x} dx \right) = g dx u + C dx \frac{\partial u}{\partial t},$$

откуда

$$\frac{\partial I}{\partial x} + C \frac{\partial u}{\partial t} + gu = 0. \quad (2.14)$$

Большое значение имеют начальные и граничные условия, которые должны выполняться на концах линии. Начальные условия в общем случае формулируются так:

$$u|_{t=0} = \varphi(x), \quad I|_{t=0} = \psi(x).$$

Пользуясь уравнениями (2.13) и (2.14), легко найти $\partial u/\partial t$ и $\partial I/\partial t$ при $t = 0$.

Если в начале линии $x = 0$ включен источник питания с электродвижущей силой E , а на конце $x = l$ имеется приемник тока с сопротивлением R_l , то граничные условия будут

$$u|_{x=0} = E(t), \quad u|_{x=l} = R_l I|_{x=l}.$$

В частности, если, например, один конец $x = 0$ поддерживается под напряжением E , а другой $x = l$ замкнут накоротко, мы имеем

$$u|_{x=0} = E(t), \quad u|_{x=l} = 0.$$

Если, например, конец $x = 0$ линии открыт, то в этом конце мы должны иметь

$$I|_{x=0} = 0.$$

Вообще, если в конце ($x = l$) линии включены внешняя электродвижущая сила E , сопротивление R и самоиндукция L , то в этом конце мы должны иметь

$$u|_{x=l} = \left(E + RI + L \frac{\partial I}{\partial t} \right) \Big|_{x=l}.$$

Разумеется, можно рассматривать любую комбинацию условий при $x = 0$ и $x = l$.

Исключим ток из уравнений (2.13) и (2.14), получим

$$\frac{\partial^2 u}{\partial x^2} = \frac{1}{v^2} \frac{\partial^2 u}{\partial t^2} + (Lg + CR) \frac{\partial u}{\partial t} + Rgu, \quad v = \frac{1}{\sqrt{LC}}. \quad (2.15)$$

Уравнение (2.15) называется *телеграфным уравнением*; v — скорость передачи сигнала по кабелю.

В силу симметрии уравнений (2.13) и (2.14) аналогичное уравнение получается и для тока I (заменой в (2.15) напряжения u на ток I).

Если считать $R = 0$, $g = 0$, то вместо уравнения (2.15) мы будем иметь уравнение для линии без потерь

$$\frac{\partial^2 u}{\partial x^2} = \frac{1}{v^2} \frac{\partial^2 u}{\partial t^2}.$$

Это — одномерное волновое уравнение.

В завершение рассмотрения уравнений колебаний отметим еще, что в трехмерном координатном пространстве рассматривается *трехмерное волновое уравнение*

$$\frac{\partial^2 u}{\partial t^2} = v^2 \left(\frac{\partial^2 u}{\partial x_1^2} + \frac{\partial^2 u}{\partial x_2^2} + \frac{\partial^2 u}{\partial x_3^2} \right) + f(x, t), \quad x = (x_1, x_2, x_3). \quad (2.16)$$

Это уравнение описывает процессы распространения звука в однородной среде и электромагнитных волн в однородной непроводящей среде. Ему удовлетворяют плотность и давление газа, потенциал скоростей, а также составляющие напряженности электрического и магнитного полей и соответствующие потенциалы.

Уравнение диффузии

Процессы распространения тепла или диффузии частиц в среде описываются следующим общим *уравнением диффузии*:

$$\rho(x) \frac{\partial u}{\partial t} = \nabla \cdot (p(x) \nabla u) - q(x) u + F(x, t). \quad (2.17)$$

Уравнение теплопроводности

Выведем уравнение распространения тепла. Обозначим через $u(x, t)$ температуру среды в точке $x = (x_1, x_2, x_3)$ в момент времени t . Считая среду изотропной, обозначим через $\rho(x)$, $c(x)$ и $k(x)$, соответственно, ее плотность, удельную теплоемкость и коэффициент теплопроводности в точке x . Обозначим через $F(x, t)$ интенсивность источников тепла в точке x в момент времени t . Если различные точки среды имеют различную температуру, то в этой среде будет происходить естественный процесс передачи тепла от участков более нагретых к участкам менее нагретым. Этот процесс передачи тепла можно характеризовать вектором плотности потока тепла \vec{q} — вектором, направление которого совпадает с направлением потока тепла в данный момент времени. Величина этого вектора — количество тепла, протекающего за единицу времени через единичную площадку, перпендикулярную к направлению потока тепла. Экспериментально установлено, что

$$\vec{q} = -k \nabla u. \quad (2.18)$$

Соотношение (2.18) называется законом Фурье. Выделим в среде бесконечно малый объем, средняя точка которого (x_1, x_2, x_3) : $d\tau = dx_1 dx_2 dx_3$. Составим баланс тепла для этого объема. Количество тепла, выделяемого в объеме $d\tau$ за время Δt , будет $dQ_1 = F(x, t) d\tau \Delta t$. Количество тепла, израсходованного в $d\tau$ за Δt на нагрев этого объема,

$$dQ_2 = c\rho d\tau [u(x, t + \Delta t) - u(x, t)] = c\rho d\tau \frac{\partial u}{\partial t} \Delta t.$$

Количество тепла, вытекающего из объема dt за Δt , будет

$$\begin{aligned} dQ_3 &= \left[q_{x_1} \Big|_{x_1 + \frac{dx_1}{2}} - q_{x_1} \Big|_{x_1 - \frac{dx_1}{2}} \right] dx_2 dx_3 \Delta t + \\ &+ \left[q_{x_2} \Big|_{x_2 + \frac{dx_2}{2}} - q_{x_2} \Big|_{x_2 - \frac{dx_2}{2}} \right] dx_1 dx_3 \Delta t + \left[q_{x_3} \Big|_{x_3 + \frac{dx_3}{2}} - q_{x_3} \Big|_{x_3 - \frac{dx_3}{2}} \right] dx_1 dx_2 \Delta t = \\ &= \left(\frac{\partial q_{x_1}}{\partial x_1} + \frac{\partial q_{x_2}}{\partial x_2} + \frac{\partial q_{x_3}}{\partial x_3} \right) dx_1 dx_2 dx_3 \Delta t = (\nabla \cdot \vec{q}) dt \Delta t. \end{aligned}$$

Из закона сохранения энергии $dQ_1 = dQ_2 + dQ_3$, откуда получаем уравнение

$$(\nabla \cdot \vec{q}) + c\rho \frac{\partial u}{\partial t} = F(x, t). \quad (2.19)$$

Уравнения (2.18) и (2.19) содержат две неизвестные функции \vec{q} и $u(x, t)$. Исключив \vec{q} , будем иметь

$$c\rho \frac{\partial u}{\partial t} - \nabla \cdot (k \nabla u) = F(x, t). \quad (2.20)$$

Если среда однородна, то есть c , ρ и k — постоянные, то уравнение (2.20) принимает вид

$$\frac{\partial u}{\partial t} = v^2 \Delta u + f(x, t), \quad v^2 = \frac{k}{c\rho}, \quad f = \frac{F}{c\rho}. \quad (2.21)$$

Уравнение (2.21) называется *уравнением теплопроводности*, или *уравнением Фурье*.

Как и в случае уравнения колебаний, для полного описания процесса распространения тепла необходимо задать начальное распределение температуры в среде (начальное условие) и режим на границе этой среды (граничное условие).

Рассмотрим некоторые примеры граничных условий:

а) если на границе S поддерживается заданное распределение температуры u_0 , то

$$u|_S = u_0; \quad (2.22)$$

б) если на границе S поддерживается заданный поток тепла q , то

$$-k \frac{\partial u}{\partial n} \Big|_S = q; \quad (2.23)$$

в) если на границе S происходит теплообмен согласно закону Ньютона, то

$$k \frac{\partial u}{\partial n} + h(u - u_0) \Big|_S = 0, \quad (2.24)$$

где h — коэффициент теплообмена, u_0 — температура окружающей среды;

г) если граница S является границей раздела двух сред (теплообмен соприкасающихся твердых тел или конвективный теплообмен тела с жидкостью),

когда температура соприкасающихся поверхностей одинакова, то в этом случае граничные условия задаются как условия равенства температуры и плотностей теплового потока на поверхности соприкосновения двух сред (или тел)

$$u_1|_S = u_2|_S, \quad k_1 \frac{\partial u_1}{\partial n} \Big|_S = k_2 \frac{\partial u_2}{\partial n} \Big|_S. \quad (2.25)$$

Возможны и многие другие граничные условия.

Уравнение диффузии

Аналогично выводится и *уравнение диффузии* частиц. При этом вместо закона Фурье нужно пользоваться законом Нернста

$$\vec{q} = -D\nabla u, \quad (2.26)$$

где $D(x)$ — коэффициент диффузии и $u(x, t)$ — плотность частиц в точке x в момент времени t . Уравнение для плотности $u(x, t)$ будет иметь вид (2.17), где ρ обозначает коэффициент пористости, $p = D$ и q характеризует поглощение среды.

Представим себе, что имеется некий объем, заполненный жидкостью или газом. Пусть C — концентрация диффундирующего вещества в этом объеме; \vec{q} — вектор плотности потока диффундирующего вещества. Согласно закону Нернста (2.26)

$$\vec{q} = -D\nabla C. \quad (2.27)$$

Выделяем малый элемент объема $d\tau$ и составляем баланс вещества. Пусть $Q(x, y, z, t)$ — плотность выделения вещества, тогда $Q(x, y, z, t)d\tau dt$ — количество вещества, выделившегося в объеме $d\tau$ за время dt . Имеем

$$Q(x, y, z, t)d\tau dt = [C|_{t+dt} - C|_t] d\tau + \operatorname{div}(\vec{q})d\tau dt.$$

Здесь первое слагаемое в правой части последнего уравнения характеризует увеличение вещества в объеме $d\tau$ за время dt , а второе слагаемое — количество вещества, вытекающего из объема $d\tau$ за время dt .

Таким образом, получаем следующее уравнение:

$$\frac{\partial C}{\partial t} + \operatorname{div}(\vec{q}) = Q(x, y, z, t). \quad (2.28)$$

Исключим теперь из уравнений (2.27) и (2.28) вектор плотности потока диффундирующего вещества \vec{q} . Окончательно будем иметь основное уравнение теории диффузии в виде

$$\Delta C - \frac{1}{D} \frac{\partial C}{\partial t} = -\frac{Q(x, y, z, t)}{D}.$$

Это уравнение надлежит интегрировать с начальными условиями

$$C|_{t=0} = \varphi(x, y, z)$$

и какими-нибудь граничными условиями на поверхности S . Например, в случае непроницаемых стенок такими условиями будут

$$\left. \frac{\partial C}{\partial n} \right|_s = 0.$$

Могут быть и другие условия.

Стационарное уравнение

Для стационарных процессов $F(x, t) = F(x)$, $u(x, t) = u(x)$ уравнения колебаний (2.2) и диффузии (2.17) принимают вид

$$-\nabla \cdot (p(x)\nabla u) + q(x)u = F(x, t). \tag{2.29}$$

При $p = \text{const}$ и $q = 0$ уравнение (2.29) называется *уравнением Пуассона*

$$\Delta u = -f, \quad f = \frac{F}{p}; \tag{2.30}$$

при $f = 0$ уравнение (2.30) переходит в *уравнение Лапласа*

$$\Delta u = 0.$$

Для полного описания стационарного процесса необходимо задать режим на границе — одно из граничных условий (2.22)–(2.25).

Пусть в волновом уравнении (2.16) внешнее возмущение $f(x, t)$ периодическое с частотой ω и амплитудой $a^2 f(x)$, то есть

$$f(x, t) = a^2 f(x) e^{i\omega t}.$$

Если искать периодические возмущения $u(x, t)$ с той же частотой и неизвестной амплитудой $u(x)$,

$$u(x, t) = a^2 u(x) e^{i\omega t},$$

то для функции $u(x)$ получим стационарное уравнение

$$\Delta u + k^2 u = -f(x), \quad k^2 = \frac{\omega^2}{a^2},$$

которое называется *уравнением Гельмгольца*. К такому уравнению, как мы видели, сводится задача об установившихся синусоидальных колебаниях мембраны.

Вывод уравнения электростатики

Предположим, что в пространстве распределен электрический заряд с плотностью $\rho = \rho(x, y, z)$ — заряд в единице объема. Этот заряд создает электрическое поле, которое характеризуется вектором напряженности \vec{E} . Известно, что поле является потенциальным, то есть

$$\vec{E} = -\text{grad}(u),$$

где u — потенциал.

Выделим малый элемент объема со средней точкой $M(x, y, z)$ со сторонами dx, dy, dz : $d\tau = dx dy dz$. Подсчитаем поток вектора \vec{E} через поверхность объема $d\tau$

$$E_x \Big|_{x+\frac{dx}{2}} dy dz - E_x \Big|_{x-\frac{dx}{2}} dy dz + E_y \Big|_{y+\frac{dy}{2}} dx dz - E_y \Big|_{y-\frac{dy}{2}} dx dz +$$

$$+ E_z \Big|_{z+\frac{dz}{2}} dx dy - E_z \Big|_{z-\frac{dz}{2}} dx dy = \operatorname{div}(\vec{E}) d\tau.$$

Согласно теореме Остроградского—Гаусса¹, поток через замкнутую поверхность пропорционален заряду, заключенному в этот объем

$$\operatorname{div}(\vec{E}) d\tau = 4\pi\rho(x, y, z) d\tau,$$

откуда

$$\operatorname{div}(\vec{E}) = 4\pi\rho(x, y, z)$$

или

$$\Delta u = -4\pi\rho(x, y, z). \quad (2.31)$$

Уравнение (2.31) — уравнение Пуассона. Если $\rho = 0$, то уравнение (2.31) принимает вид

$$\Delta u = 0. \quad (2.32)$$

Уравнение (2.32) — уравнение Лапласа.

Вывод уравнения гидродинамики

Пусть в пространстве имеется стационарный поток жидкости. Будем считать жидкость несжимаемой (плотность $\rho = \text{const}$). Такой поток характеризуется скоростью \vec{v} , причем, если течение жидкости не вихревое, то скорость является потенциальным вектором, то есть

$$\vec{v} = -\operatorname{grad}(u), \quad (2.33)$$

где u — потенциал скорости.

Рассмотрим элементарный объем в форме параллелепипеда и подсчитаем поток через поверхность этого объема за единицу времени

$$\begin{aligned} v_x \Big|_{x+\frac{dx}{2}} dy dz - v_x \Big|_{x-\frac{dx}{2}} dy dz + v_y \Big|_{y+\frac{dy}{2}} dx dz - v_y \Big|_{y-\frac{dy}{2}} dx dz + \\ + v_z \Big|_{z+\frac{dz}{2}} dx dy - v_z \Big|_{z-\frac{dz}{2}} dx dy = \operatorname{div}(\vec{v}) d\tau. \end{aligned}$$

Условие стационарности потока (сколько жидкости втекает в объем, столько же и вытекает из него) дает

$$\operatorname{div}(\vec{v}) = 0. \quad (2.34)$$

Учитывая соотношение (2.33), получим из (2.34)

$$\Delta u = 0, \quad (2.35)$$

то есть потенциал скорости удовлетворяет уравнению Лапласа.

Рассмотрим задачу об обтекании твердого тела потоком жидкости. Пусть некое тело, ограниченное поверхностью S , помещено в поток жидкости, движущейся

¹ Калашиков С. Г. Электричество. — М.: Наука, 1970. 667 с.

с заданной скоростью \vec{v}_0 . Поток жидкости предполагается однородным. Наша задача — определить поле скоростей в этом потоке.

Представим потенциал скоростей в любой точке потока как сумму $u = u_0 + u_1$, где u_0 — потенциал однородного невозмущенного потока (когда тело отсутствует)

$$u_0 = -v_0 [x \cos(\alpha) + y \cos(\beta) + z \cos(\gamma)],$$

а u_1 — возмущение из-за присутствия тела в потоке. Здесь, очевидно, α, β, γ — углы, которые составляет вектор скорости \vec{v}_0 с координатными осями.

Потенциал u_1 удовлетворяет уравнению (2.35) во всем пространстве, то есть

$$\Delta u_1 = 0.$$

Условие на границе S имеет вид

$$v_n|_S = 0 \Rightarrow \frac{\partial u}{\partial n}|_S = 0 \Rightarrow \frac{\partial u_1}{\partial n}|_S = -\frac{\partial u_0}{\partial n}|_S = f(P), \quad (2.36)$$

где $f(P)$ — заданная функция точки $P \in S$.

Граничное условие вытекает из требования, что нормальная составляющая скорости на границе тела равна нулю. Кроме того, должно выполняться условие затухания возмущений на бесконечности, то есть

$$u_1 \Big|_{\sqrt{x^2+y^2+z^2} \rightarrow \infty} = 0. \quad (2.37)$$

Таким образом, задача об обтекании твердого тела потоком жидкости сводится к интегрированию уравнения Лапласа при условиях (2.36) и (2.37).

Основные уравнения математической физики

В предыдущих параграфах мы достаточно подробно познакомились с разнообразными задачами физики и механики, которые приводят к уравнениям с частными производными. Можно привести еще много примеров подобного рода. Но основная наша цель состоит не в выводе уравнений в частных производных, а в исследовании и решении их.

В этом параграфе мы просто еще раз перечислим основные наиболее часто применяемые уравнения математической физики.

1. Мы начнем с самого простого и, быть может, одного из важнейших уравнений математической физики — *уравнения Лапласа*

$$\frac{\partial^2 u}{\partial x^2} + \frac{\partial^2 u}{\partial y^2} + \frac{\partial^2 u}{\partial z^2} = 0. \quad (2.38)$$

Левая часть уравнения (2.38) обозначается, как мы видели ранее, символом Δu и называется *оператором Лапласа* над функцией u . Помимо уравнения Лапласа, оператор Лапласа входит в волновое уравнение, в уравнения теплопроводности и диффузии и в ряд других уравнений. Уравнение Лапласа встречается в электростатике, магнитостатике, гидро- и аэродинамике, теории теплопроводности, теории упругости и в других науках. Уравнению (2.38) должен удовлетворять

потенциал сил тяготения или сил взаимодействия электрических зарядов во всех точках пространства, находящихся вне притягивающих масс или вне зарядов, создающих поле. Этому уравнению должен удовлетворять потенциал скорости безвихревого течения несжимаемой жидкости. Уравнению (2.38) должна удовлетворять температура в однородном теле, если теплообмен является стационарным, то есть температура u зависит только от места, но не от времени.

2. Уравнение Пуассона

$$\frac{\partial^2 u}{\partial x^2} + \frac{\partial^2 u}{\partial y^2} + \frac{\partial^2 u}{\partial z^2} = -f(x, y, z).$$

Область применимости — та же, что и для уравнения Лапласа. Уравнение Лапласа описывает поля, не имеющие внутренних источников, а уравнение Пуассона — поля с распределенными внутренними источниками. Эти уравнения встречаются почти во всех областях прикладной физики.

3. Волновое уравнение

$$\Delta u - \frac{1}{v^2} \frac{\partial^2 u}{\partial t^2} = -f(x, y, z, t).$$

Это уравнение встречается при описании волновых процессов. Волны могут иметь разную природу.

4. Уравнение теплопроводности Фурье

$$\Delta u - \frac{1}{v^2} \frac{\partial u}{\partial t} = -f(x, y, z, t).$$

Это уравнение встречается в теории теплопроводности, теории диффузии, теории ядерных реакторов.

5. Уравнение Гельмгольца

$$\Delta u + k^2 u = -f(x, y, z), \quad k = \text{const.}$$

Это — уравнение для амплитуд установившихся периодических колебаний заданной частоты; $k = \omega/v$ — волновое число.

6. Уравнение Шредингера

$$\Delta \psi + \frac{2m}{\hbar^2} (E - V) \psi = 0.$$

Это одно из уравнений квантовой механики. Здесь $\psi(x)$ — волновая функция; m — масса частицы; E — энергия частицы; $V(x)$ — потенциал внешнего силового поля; \hbar — постоянная Планка ($\hbar = 1,054 \cdot 10^{-27}$ эрг · с).

7. Распространение волн в средах с поглощением энергии описывается уравнением

$$\Delta u - \frac{1}{v^2} \frac{\partial^2 u}{\partial t^2} - b \frac{\partial u}{\partial t} - cu = -f(x, y, z, t).$$

Все перечисленные уравнения представляют собой линейные уравнения в частных производных второго порядка. Эти уравнения стали уже классическими уравнениями математической физики. Однако уравнений второго порядка недостаточно для того, чтобы изучать даже важнейшие стационарные явления.

В качестве примеров приведем уравнения, которые используются в теории упругости. Так, теория изгиба упругой призматической балки приводит к обыкновенному дифференциальному уравнению равновесия *четвертого* порядка относительно функции нормального прогиба u

$$\frac{d^2}{dx^2} \left(EJ \frac{d^2 u}{dx^2} \right) = q(x).$$

Если нагрузка q зависит не только от координаты x , но и от времени, то балка будет совершать колебательное движение, которое описывается *уравнением поперечных колебаний* призматической балки в частных производных

$$\frac{\partial^2}{\partial x^2} \left(EJ \frac{\partial^2 u}{\partial x^2} \right) = q(x, t) - \rho S \frac{\partial^2 u}{\partial t^2}.$$

Здесь E — модуль упругости балки; J — момент инерции площади поперечного сечения S относительно центральной оси, перпендикулярной к плоскости колебаний; ρ — плотность. Если $EJ = \text{const}$, то, полагая $EJ/(\rho S) = a^2$ и $f(x, t) = q(x, t)/(\rho S)$, получим окончательно уравнение колебаний в виде

$$\frac{\partial^2 u}{\partial t^2} + a^2 \frac{\partial^4 u}{\partial x^4} = f(x, t).$$

Задача о поперечных колебаниях упругой призматической балки сводится к интегрированию данного уравнения с начальными и граничными условиями, зависящими от вида закрепления концов балки.

Начальные условия

$$u|_{t=0} = \varphi(x), \quad \frac{\partial u}{\partial t} \Big|_{t=0} = \psi(x).$$

Приведем три вида наиболее распространенных граничных условий. В случае жесткой заделки конца балки граничные условия на этом конце имеют вид (прогиб и угол поворота — нулевые)

$$u = 0, \quad \frac{\partial u}{\partial x} = 0.$$

В случае свободной опоры конца балки (прогиб и изгибающий момент на опоре — нулевые) граничные условия сводятся к уравнениям

$$u = 0, \quad \frac{\partial^2 u}{\partial x^2} = 0.$$

В случае свободного конца балки (изгибающий момент и перерезывающая сила — нулевые) граничные условия сводятся к уравнениям

$$\frac{\partial^2 u}{\partial x^2} = 0, \quad \frac{\partial^3 u}{\partial x^3} = 0.$$

Второй пример. Теория изгиба тонких пластин приводит к уравнению равновесия четвертого порядка в частных производных относительно функции нормального прогиба u

$$D \nabla^4 u = q(x, y). \tag{2.39}$$

Здесь D — так называемая цилиндрическая жесткость пластины, $\nabla^4 = \Delta^2$ — бигармонический оператор, который в декартовых координатах имеет вид

$$\nabla^4 u \equiv \frac{\partial^4 u}{\partial x^4} + 2 \frac{\partial^4 u}{\partial x^2 \partial y^2} + \frac{\partial^4 u}{\partial y^4}.$$

Уравнение (2.39) называется уравнением Софи Жермен—Лагранжа

Если нагрузка q зависит не только от координат x, y , но и от времени, то пластинка будет совершать колебательное движение, которое описывается уравнением в частных производных

$$\frac{1}{a^4} \frac{\partial^2 u}{\partial t^2} + \nabla^4 u = \frac{q(x, y, t)}{D}, \quad a^4 = \frac{D}{\rho h}. \quad (2.40)$$

Здесь ρ — плотность, h — толщина пластинки.

Интегрирование уравнения (2.40) необходимо вести с учетом начальных и граничных условий. Рассмотрим наиболее распространенные граничные условия. Если один из краев прямоугольной пластинки шарнирно оперт, тогда прогиб и изгибающий момент вдоль этого края равны нулю. Это приводит к условиям

$$u = 0, \quad \frac{\partial^2 u}{\partial x^2} = 0.$$

Если край жестко заделан, то прогиб и угол поворота сечения в точках края равны нулю

$$u = 0, \quad \frac{\partial u}{\partial x} = 0.$$

Если край свободен, то на этом краю обычно ставятся следующие условия:

$$\frac{\partial^2 u}{\partial x^2} + \nu \frac{\partial^2 u}{\partial y^2} = 0, \quad \frac{\partial^3 u}{\partial x^3} + (2 - \nu) \frac{\partial^2 u}{\partial x \partial y^2} = 0.$$

Здесь ν — коэффициент Пуассона материала, из которого изготовлена пластинка.

Классификация уравнений второго порядка

В этом параграфе мы дадим классификацию квазилинейных (линейных относительно всех старших производных) дифференциальных уравнений второго порядка в частных производных.

Классификация уравнений в точке

Будем рассматривать функции n независимых переменных $u = u(x_1, x_2, \dots, x_n)$. Рассмотрим квазилинейное дифференциальное уравнение второго порядка

$$\sum_{i,j=1}^n a_{ij}(x) \frac{\partial^2 u}{\partial x_i \partial x_j} + \Phi(x, u, \nabla u) = 0' \quad (2.41)$$

с непрерывными коэффициентами $a_{ij}(x)$ в области D . Можно считать без потери общности, что $a_{ij} = a_{ji}$. Зафиксируем определенную точку $(x_1^0, x_2^0, \dots, x_n^0)$ в области D и составим квадратичную форму

$$g(X_1, X_2, \dots, X_n) = \sum_{i,j=1}^n a_{ij}(x^0) X_i X_j. \quad (2.42)$$

Квадратичная форма (2.42) называется квадратичной формой, связанной с уравнением (2.41). Составим определитель формы (2.42)

$$\Delta = \begin{vmatrix} a_{11} & a_{12} & \cdots & a_{1n} \\ a_{21} & a_{22} & \cdots & a_{2n} \\ \vdots & \vdots & \ddots & \vdots \\ a_{n1} & a_{n2} & \cdots & a_{nn} \end{vmatrix}.$$

Будем говорить, что квадратичная форма (2.42) определенная, если она сохраняет знак при любых изменениях переменных X , и неопределенная, если ее знак меняется.

Мы скажем, что уравнение (2.41) принадлежит *эллиптическому типу* в точке $(x_1^0, x_2^0, \dots, x_n^0)$, если $\Delta \neq 0$ и g — определенная форма; уравнение (2.41) принадлежит *гиперболическому типу*, если $\Delta \neq 0$ и g — неопределенная форма; уравнение (2.41) принадлежит *параболическому типу*, если $\Delta = 0$. Уравнение (2.41) принадлежит эллиптическому типу (соответственно, гиперболическому или параболическому) в области D , если во всех точках этой области оно принадлежит эллиптическому (соответственно, гиперболическому или параболическому) типу. Если коэффициенты a_{ij} постоянные, то принадлежность уравнения к тому или иному типу не зависит от значений независимых переменных.

Отметим, что приведенная классификация не зависит от выбора переменных и остается неизменной при замене переменных. Введем вместо переменной x новые независимые переменные

$$\xi_i = \xi_i(x_1, x_2, \dots, x_n), \quad i = 1, 2, \dots, n,$$

при этом

$$J = \begin{vmatrix} \frac{\partial \xi_1}{\partial x_1} & \frac{\partial \xi_2}{\partial x_1} & \cdots & \frac{\partial \xi_n}{\partial x_1} \\ \frac{\partial \xi_1}{\partial x_2} & \frac{\partial \xi_2}{\partial x_2} & \cdots & \frac{\partial \xi_n}{\partial x_2} \\ \vdots & \vdots & \ddots & \vdots \\ \frac{\partial \xi_1}{\partial x_n} & \frac{\partial \xi_2}{\partial x_n} & \cdots & \frac{\partial \xi_n}{\partial x_n} \end{vmatrix} \neq 0.$$

Так как $J \neq 0$, то в некоторой окрестности можно выразить переменные x через переменные ξ : $x = x(\xi)$. Обозначим $u(x(\xi)) = \tilde{u}(\xi)$; тогда $\tilde{u}(\xi(x)) = u(x)$. Имеем

$$\frac{\partial u}{\partial x_i} = \sum_{l=1}^n \frac{\partial \tilde{u}}{\partial \xi_l} \frac{\partial \xi_l}{\partial x_i},$$

$$\frac{\partial^2 u}{\partial x_i \partial x_j} = \frac{\partial}{\partial x_j} \left(\frac{\partial u}{\partial x_i} \right) = \sum_{k,l=1}^n \frac{\partial^2 \tilde{u}}{\partial \xi_l \partial \xi_k} \frac{\partial \xi_l}{\partial x_i} \frac{\partial \xi_k}{\partial x_j} + \sum_{l=1}^n \frac{\partial \tilde{u}}{\partial \xi_l} \frac{\partial^2 \xi_l}{\partial x_i \partial x_j}.$$

Здесь мы, конечно, предполагаем, что функции $\xi = \xi(x)$ обладают непрерывными вторыми производными. После подстановки последних выражений в уравнение (2.41), получим

$$\sum_{k,l=1}^n \frac{\partial^2 \tilde{u}}{\partial \xi_l \partial \xi_k} \sum_{i,j=1}^n a_{ij} \frac{\partial \xi_l}{\partial x_i} \frac{\partial \xi_k}{\partial x_j} + \sum_{l=1}^n \frac{\partial \tilde{u}}{\partial \xi_l} \sum_{i,j=1}^n a_{ij} \frac{\partial^2 \xi_l}{\partial x_i \partial x_j} + \tilde{\Phi}(\xi, \tilde{u}, \nabla \tilde{u}) = 0. \quad (2.43)$$

Обозначив теперь новые коэффициенты при вторых производных через

$$\tilde{a}_{kl}(\xi) = \sum_{i,j=1}^n a_{ij}(x) \frac{\partial \xi_l}{\partial x_i} \frac{\partial \xi_k}{\partial x_j}, \quad (2.44)$$

перепишем уравнение (2.43) в виде

$$\sum_{k,l=1}^n \tilde{a}_{kl}(\xi) \frac{\partial^2 \tilde{u}}{\partial \xi_l \partial \xi_k} + \tilde{\Phi}(\xi, \tilde{u}, \nabla \tilde{u}) = 0.$$

В фиксированной точке $(x_1^0, x_2^0, \dots, x_n^0)$ обозначим $\xi^0 = \xi(x^0)$, $\alpha_{hi} = \partial \xi_l(x^0) / \partial x_i$; тогда формула (2.44) запишется в виде

$$\tilde{a}_{kl}(\xi^0) = \sum_{i,j=1}^n a_{ij}(x^0) \alpha_{kj} \alpha_{li}. \quad (2.45)$$

Формула (2.45) преобразования коэффициентов $a_{ij}(x^0)$ совпадает с формулой преобразования квадратичной формы (2.42) при неособенном линейном преобразовании

$$X_i = \sum_{j=1}^n \alpha_{ji} Y_j, \quad \det(\alpha_{ji}) \neq 0, \quad (2.46)$$

переводящем форму (2.42) в форму

$$\sum_{i,j=1}^n \tilde{a}_{ij}(\xi^0) Y_i Y_j.$$

В курсе линейной алгебры доказывается, что всегда существует неособенное преобразование (2.46), при котором квадратичная форма (2.42) принимает следующий канонический вид

$$\sum_{i=1}^r Y_i^2 - \sum_{i=r+1}^m Y_i^2, \quad m \leq n. \quad (2.47)$$

Кроме того, в силу закона инерции квадратичных форм, целые числа r и m не зависят от преобразования (2.46).¹

Приведенная классификация зависит от точки x^0 , так как числа r и m зависят от x^0 .

¹ См., например, Мальцев А. И. Основы линейной алгебры. — М.: Наука, 1970. 400 с.; Беклемишев Д. В. Курс аналитической геометрии и линейной алгебры. — М.: Наука, 1980. 336 с.

Пусть коэффициенты a_{ij} в уравнении (2.41) постоянны, и пусть преобразование (2.46) приводит квадратичную форму (2.42) к каноническому виду (2.47). Тогда линейная замена независимых переменных

$$\xi_i = \sum_{j=1}^n \alpha_{ij} x_j$$

преобразует уравнение (2.41) к следующему каноническому виду:

$$\sum_{i=1}^r \frac{\partial^2 \tilde{u}}{\partial \xi_i^2} - \sum_{i=r+1}^m \frac{\partial^2 \tilde{u}}{\partial \xi_i^2} + \tilde{\Phi}(\xi, \tilde{u}, \nabla \tilde{u}) = 0.$$

Уравнения разных типов описывают разные по характеру явления и процессы и, наоборот, уравнения одного типа описывают схожие явления. Например, гиперболические уравнения описывают процессы распространения волн и колебания; параболические уравнения описывают явления переноса; эллиптические уравнения — статические процессы, задачи об установившихся стационарных движениях.

Рассмотрим ряд примеров.

1. Уравнение Лапласа

$$\Delta u = \frac{\partial^2 u}{\partial x^2} + \frac{\partial^2 u}{\partial y^2} + \frac{\partial^2 u}{\partial z^2} = 0.$$

Составим для него квадратичную форму $g = X^2 + Y^2 + Z^2$; определитель этой формы

$$\Delta = \begin{vmatrix} 1 & 0 & 0 \\ 0 & 1 & 0 \\ 0 & 0 & 1 \end{vmatrix} = 1 \neq 0.$$

Ясно, что g — определенная форма (положительно определенная). Следовательно, уравнение Лапласа принадлежит к эллиптическому типу. К этому же типу относятся уравнения Пуассона и Гельмгольца.

2. Волновое уравнение

$$\frac{\partial^2 u}{\partial x^2} + \frac{\partial^2 u}{\partial y^2} + \frac{\partial^2 u}{\partial z^2} - \frac{1}{a^2} \frac{\partial^2 u}{\partial t^2} = 0.$$

Составим для него квадратичную форму $g = X^2 + Y^2 + Z^2 - T^2/a^2$; определитель этой формы

$$\Delta = \begin{vmatrix} 1 & 0 & 0 & 0 \\ 0 & 1 & 0 & 0 \\ 0 & 0 & 1 & 0 \\ 0 & 0 & 0 & -\frac{1}{a^2} \end{vmatrix} = -\frac{1}{a^2} \neq 0.$$

Очевидно, что g — неопределенная форма; тип уравнения — гиперболический.

3. Уравнение Фурье

$$\frac{\partial^2 u}{\partial x^2} + \frac{\partial^2 u}{\partial y^2} + \frac{\partial^2 u}{\partial z^2} - \frac{1}{a^2} \frac{\partial u}{\partial t} = 0.$$

Квадратичная форма $g = X^2 + Y^2 + Z^2$; определитель этой формы

$$\Delta = \begin{vmatrix} 1 & 0 & 0 & 0 \\ 0 & 1 & 0 & 0 \\ 0 & 0 & 1 & 0 \\ 0 & 0 & 0 & 0 \end{vmatrix} = 0.$$

Уравнение относится к параболическому типу.

4. Уравнение Трикоми

$$y \frac{\partial^2 u}{\partial x^2} + \frac{\partial^2 u}{\partial y^2} = 0.$$

Квадратичная форма $g = yX^2 + Y^2$; определитель этой формы

$$\Delta = \begin{vmatrix} y & 0 \\ 0 & 1 \end{vmatrix} = y.$$

Это уравнение *смешанного типа*. Если $y < 0$ — тип уравнения гиперболический; если $y > 0$ — эллиптический тип, а если $y = 0$, то уравнение параболического типа.

Классификация уравнений с двумя независимыми переменными

В предыдущем разделе мы рассмотрели вопрос о приведении квазилинейного дифференциального уравнения второго порядка к каноническому виду в каждой отдельной точке, где задано это уравнение. Для каждой точки x^0 имеется свое преобразование независимых переменных, приводящее уравнение к каноническому виду. Дифференциальное уравнение с числом независимых переменных больше двух (если исключить случай постоянных коэффициентов), вообще говоря, невозможно привести с помощью преобразования независимых переменных к каноническому виду даже в сколь угодно малой области. В случае же двух независимых переменных такое преобразование независимых переменных существует при достаточно общих предположениях о коэффициентах уравнения.

Для случаев двух, трех или четырех независимых переменных классификацию уравнений можно упростить.

Рассмотрим квазилинейное уравнение второго порядка с двумя независимыми переменными

$$A(x, y) \frac{\partial^2 u}{\partial x^2} + 2B(x, y) \frac{\partial^2 u}{\partial x \partial y} + C(x, y) \frac{\partial^2 u}{\partial y^2} + \Phi \left(x, y, u, \frac{\partial u}{\partial x}, \frac{\partial u}{\partial y} \right) = 0, \quad (2.48)$$

где коэффициенты A , B и C суть функции от x и y , имеющие непрерывные производные до второго порядка включительно. Будем предполагать, что A , B и C не обращаются одновременно в нуль. Уравнению (2.48) соответствует квадратичная форма

$$g = AX^2 + 2BXY + CY^2,$$

определитель которой есть

$$\Delta = \begin{vmatrix} A & B \\ B & C \end{vmatrix} = AC - B^2.$$

Пусть $\Delta = AC - B^2 > 0 \Rightarrow A \neq 0$. Тогда можно записать

$$g = \frac{1}{A} [(AX + BY)^2 + (AC - B^2)Y^2]. \quad (2.49)$$

Форма (2.49), очевидно, определенная. Следовательно, уравнение принадлежит эллиптическому типу.

Пусть $\Delta = AC - B^2 < 0$. Возможны два случая:

1. $A \neq 0$, тогда имеет место равенство (2.49), но в зависимости от Y знак g меняется; форма неопределенная. Следовательно, уравнение (2.48) — гиперболического типа.
2. $A = 0$, тогда запишем g в виде $g = (2BX + CY)Y$. Ясно, что g — неопределенная форма, тип уравнения — гиперболический.

Пусть $\Delta = AC - B^2 = 0$. Тип уравнения — параболический.

Таким образом, окончательно получаем: если $\Delta > 0$, то уравнение эллиптического типа; если $\Delta < 0$, то уравнение гиперболического типа; если $\Delta = 0$, то уравнение параболического типа.

Преобразование уравнений второго порядка с помощью замены переменных

Всякое линейное дифференциальное уравнение второго порядка с двумя независимыми переменными может быть записано в виде

$$A \frac{\partial^2 u}{\partial x^2} + 2B \frac{\partial^2 u}{\partial x \partial y} + C \frac{\partial^2 u}{\partial y^2} + D \frac{\partial u}{\partial x} + E \frac{\partial u}{\partial y} + Fu + G = 0, \quad (2.50)$$

где A, B, C, D, E, F, G — заданные функции от x и y (или, в частном случае, постоянные).

Попытаемся упростить это уравнение с помощью замены переменных

$$\begin{cases} \xi = \varphi(x, y); \\ \eta = \psi(x, y). \end{cases} \quad (2.51)$$

Здесь ξ и η — новые независимые переменные. Функции φ и ψ , связывающие новые переменные со старыми переменными, будут подобраны позднее. Пока же мы будем считать, что отображение (2.51) является взаимно однозначным. Сделаем требуемую замену переменных:

$$\frac{\partial u}{\partial x} = \frac{\partial u}{\partial \xi} \frac{\partial \xi}{\partial x} + \frac{\partial u}{\partial \eta} \frac{\partial \eta}{\partial x}; \quad \frac{\partial u}{\partial y} = \frac{\partial u}{\partial \xi} \frac{\partial \xi}{\partial y} + \frac{\partial u}{\partial \eta} \frac{\partial \eta}{\partial y}; \quad (2.52)$$

$$\frac{\partial^2 u}{\partial x^2} = \frac{\partial u}{\partial \xi} \frac{\partial^2 \xi}{\partial x^2} + \frac{\partial u}{\partial \eta} \frac{\partial^2 \eta}{\partial x^2} + \left[\frac{\partial^2 u}{\partial \xi^2} \left(\frac{\partial \xi}{\partial x} \right)^2 + 2 \frac{\partial^2 u}{\partial \xi \partial \eta} \frac{\partial \xi}{\partial x} \frac{\partial \eta}{\partial x} + \frac{\partial^2 u}{\partial \eta^2} \left(\frac{\partial \eta}{\partial x} \right)^2 \right]; \quad (2.53)$$

$$\frac{\partial^2 u}{\partial y^2} = \frac{\partial u}{\partial \xi} \frac{\partial^2 \xi}{\partial y^2} + \frac{\partial u}{\partial \eta} \frac{\partial^2 \eta}{\partial y^2} + \left[\frac{\partial^2 u}{\partial \xi^2} \left(\frac{\partial \xi}{\partial y} \right)^2 + 2 \frac{\partial^2 u}{\partial \xi \partial \eta} \frac{\partial \xi}{\partial y} \frac{\partial \eta}{\partial y} + \frac{\partial^2 u}{\partial \eta^2} \left(\frac{\partial \eta}{\partial y} \right)^2 \right]; \quad (2.54)$$

$$\begin{aligned} \frac{\partial^2 u}{\partial x \partial y} &= \frac{\partial u}{\partial \xi} \frac{\partial^2 \xi}{\partial x \partial y} + \frac{\partial u}{\partial \eta} \frac{\partial^2 \eta}{\partial x \partial y} + \\ &+ \left[\frac{\partial^2 u}{\partial \xi^2} \frac{\partial \xi}{\partial x} \frac{\partial \xi}{\partial y} + \frac{\partial^2 u}{\partial \xi \partial \eta} \left(\frac{\partial \xi}{\partial x} \frac{\partial \eta}{\partial y} + \frac{\partial \xi}{\partial y} \frac{\partial \eta}{\partial x} \right) + \frac{\partial^2 u}{\partial \eta^2} \frac{\partial \eta}{\partial x} \frac{\partial \eta}{\partial y} \right]. \end{aligned} \quad (2.55)$$

Правые части формул (2.52)–(2.55) представляют собой линейные функции относительно частных производных $u'_\xi, u'_\eta, u''_{\xi\xi}, u''_{\xi\eta}, u''_{\eta\eta}$. Подставляя u'_x, u'_y, u''_{xx} ... из этих формул в уравнение (2.50), мы получим снова *линейное уравнение второго порядка* с неизвестной функцией u и независимыми переменными ξ и η

$$\bar{A} \frac{\partial^2 u}{\partial \xi^2} + 2\bar{B} \frac{\partial^2 u}{\partial \xi \partial \eta} + \bar{C} \frac{\partial^2 u}{\partial \eta^2} + \Phi \left(\xi, \eta, u, \frac{\partial u}{\partial \xi}, \frac{\partial u}{\partial \eta} \right) = 0, \quad (2.56)$$

где

$$\begin{aligned} \bar{A} &= A \left(\frac{\partial \xi}{\partial x} \right)^2 + 2B \frac{\partial \xi}{\partial x} \frac{\partial \xi}{\partial y} + C \left(\frac{\partial \xi}{\partial y} \right)^2; \\ \bar{B} &= A \frac{\partial \xi}{\partial x} \frac{\partial \eta}{\partial x} + B \left(\frac{\partial \xi}{\partial x} \frac{\partial \eta}{\partial y} + \frac{\partial \eta}{\partial x} \frac{\partial \xi}{\partial y} \right) + C \frac{\partial \xi}{\partial y} \frac{\partial \eta}{\partial y}; \\ \bar{C} &= A \left(\frac{\partial \eta}{\partial x} \right)^2 + 2B \frac{\partial \eta}{\partial x} \frac{\partial \eta}{\partial y} + C \left(\frac{\partial \eta}{\partial y} \right)^2, \end{aligned}$$

а функция Φ линейна относительно u, u'_ξ, u'_η .

Уравнение (2.56) становится особенно простым, если в нем коэффициенты \bar{A} и \bar{C} окажутся равными нулю. Для того чтобы первоначально заданное уравнение (2.50) можно было привести к такому простому виду, надо в нем сделать замену переменных (2.51), подобрав функции φ и ψ так, чтобы они являлись решениями уравнения

$$A \left(\frac{\partial z}{\partial x} \right)^2 + 2B \frac{\partial z}{\partial x} \frac{\partial z}{\partial y} + C \left(\frac{\partial z}{\partial y} \right)^2 = 0. \quad (2.57)$$

Это уравнение является нелинейным уравнением в частных производных первого порядка. Следующая теорема показывает, как связаны его решения с общим решением некоторого обыкновенного уравнения.

ТЕОРЕМА. Для того чтобы функция $z = f(x, y)$ во всех точках области Ω удовлетворяла уравнению (2.57), необходимо и достаточно, чтобы семейство $f(x, y) = \text{const}$ было общим интегралом уравнения

$$A(dy)^2 - 2Bdx dy + C(dx)^2 = 0 \quad (2.58)$$

в той же области Ω .

Доказательство этой теоремы можно найти, например, в книге Ю. С. Очана [19]. Теорема открывает путь для упрощения исходного уравнения (2.50). Для этого сначала составляем вспомогательное уравнение (2.58); оно называется *характеристическим уравнением* для данного уравнения (2.50). Характеристическое уравнение есть *обыкновенное* дифференциальное уравнение первого порядка, но второй степени. Разрешая его относительно производной y' , получим два уравнения

$$y' = \frac{B + \sqrt{B^2 - AC}}{A}; \quad (2.59)$$

$$y' = \frac{B - \sqrt{B^2 - AC}}{A}; \quad (2.60)$$

Если общий интеграл уравнения (2.59) имеет вид $\varphi(x, y) = \text{const}$, то, полагая $\xi = \varphi(x, y)$, мы обращаем в нуль коэффициент при производной $u''_{\xi\xi}$. Если $\psi(x, y) = \text{const}$ является общим интегралом уравнения (2.60), независимым от интеграла $\varphi(x, y) = \text{const}$, то, полагая $\eta = \psi(x, y)$, мы обратим в нуль также и коэффициент при производной $u''_{\eta\eta}$.

Интегральные кривые характеристического уравнения, то есть все кривые, входящие в семейства $\varphi(x, y) = \text{const}$ и $\psi(x, y) = \text{const}$, называются *характеристиками* заданного дифференциального уравнения (2.50). В связи с этим рассматриваемый метод упрощения уравнения (2.50) называется *методом характеристик*.

Уравнение гиперболического типа

Семейства $\varphi(x, y) = \text{const}$ и $\psi(x, y) = \text{const}$ можно рассматривать, как общие интегралы уравнения (2.58) — это уравнение распадается на два уравнения (2.59) и (2.60). Правые части уравнений (2.59) и (2.60) действительны и различны. Следовательно, согласно указанной теореме, функции $z = \varphi(x, y)$ и $z = \psi(x, y)$ являются решениями уравнения в частных производных (2.57). Функции $\varphi(x, y)$ и $\psi(x, y)$ линейно независимы (можно доказать, что их определитель Вронского отличен от нуля, если $AC - B^2 < 0$). Поэтому, возвращаясь к уравнению (2.50), мы можем в нем сделать замену переменных по формулам (2.51). Так как функции $\varphi(x, y)$ и $\psi(x, y)$ удовлетворяют уравнению (2.58), то в результате этой замены переменных окажется $\bar{A} = 0$ и $\bar{C} = 0$. Следовательно, уравнение (2.50) преобразуется к виду

$$2\bar{B} \frac{\partial^2 u}{\partial \xi \partial \eta} + \Phi \left(\xi, \eta, u, \frac{\partial u}{\partial \xi}, \frac{\partial u}{\partial \eta} \right) = 0,$$

или, после деления на $2\bar{B}$ и переноса в другую часть равенства, к виду

$$\frac{\partial^2 u}{\partial \xi \partial \eta} = \bar{\Phi} \left(\xi, \eta, u, \frac{\partial u}{\partial \xi}, \frac{\partial u}{\partial \eta} \right). \quad (2.61)$$

Полученное уравнение имеет более простой вид, чем исходное уравнение (2.50); если мы его сможем решить, то для того, чтобы найти решение исходного уравнения, достаточно вернуться к старым переменным.

Уравнение (2.61) представляет собой каноническую форму уравнения гиперболического типа. Иногда пользуются другой канонической формой уравнения гиперболического типа. Сделаем в уравнении (2.61) замену переменных по закону $\xi = t + \tau$, $\eta = t - \tau$, где t и τ — новые переменные. В результате этого преобразования уравнение (2.61) примет вид

$$\frac{\partial^2 u}{\partial t^2} - \frac{\partial^2 u}{\partial \tau^2} = \tilde{\Phi},$$

где $\tilde{\Phi} = 4\bar{\Phi}$. (Проверьте самостоятельно!)

Уравнение параболического типа

В этом случае уравнения (2.59) и (2.60) совпадают, и мы получаем один общий интеграл $\varphi(x, y) = \text{const}$, определяющий одно семейство характеристик. Тогда можно принять $\xi = \varphi(x, y)$, $\eta = \psi(x, y)$, где $\psi(x, y)$ — любая функция, независимая от функции $\varphi(x, y)$, лишь бы она была дифференцируема нужное число раз. Очевидно, при выбранной замене переменных коэффициент \bar{A} в уравнении (2.56) обращается в нуль, то есть

$$\bar{A} = A \left(\frac{\partial \xi}{\partial x} \right)^2 + 2B \frac{\partial \xi}{\partial x} \frac{\partial \xi}{\partial y} + C \left(\frac{\partial \xi}{\partial y} \right)^2 = 0.$$

С учетом того, что $AC - B^2 = 0$ или $B = \sqrt{A}\sqrt{C}$, последнее равенство можно переписать в виде

$$A \left(\frac{\partial \xi}{\partial x} \right)^2 + 2B \frac{\partial \xi}{\partial x} \frac{\partial \xi}{\partial y} + C \left(\frac{\partial \xi}{\partial y} \right)^2 = \left(\sqrt{A} \frac{\partial \xi}{\partial x} + \sqrt{C} \frac{\partial \xi}{\partial y} \right)^2 = 0.$$

Это поможет доказать, что коэффициент $\bar{B} = 0$. Действительно,

$$\begin{aligned} \bar{B} &= A \frac{\partial \xi}{\partial x} \frac{\partial \eta}{\partial x} + B \left(\frac{\partial \xi}{\partial x} \frac{\partial \eta}{\partial y} + \frac{\partial \eta}{\partial x} \frac{\partial \xi}{\partial y} \right) + C \frac{\partial \xi}{\partial y} \frac{\partial \eta}{\partial y} = \\ &= A \frac{\partial \xi}{\partial x} \frac{\partial \eta}{\partial x} + \sqrt{A}\sqrt{C} \frac{\partial \xi}{\partial x} \frac{\partial \eta}{\partial y} + \sqrt{A}\sqrt{C} \frac{\partial \eta}{\partial x} \frac{\partial \xi}{\partial y} + C \frac{\partial \xi}{\partial y} \frac{\partial \eta}{\partial y} = \\ &= \sqrt{A} \frac{\partial \xi}{\partial x} \left(\sqrt{A} \frac{\partial \eta}{\partial x} + \sqrt{C} \frac{\partial \eta}{\partial y} \right) + \sqrt{C} \frac{\partial \xi}{\partial y} \left(\sqrt{A} \frac{\partial \eta}{\partial x} + \sqrt{C} \frac{\partial \eta}{\partial y} \right) = \\ &= \left(\sqrt{A} \frac{\partial \xi}{\partial x} + \sqrt{C} \frac{\partial \xi}{\partial y} \right) \left(\sqrt{A} \frac{\partial \eta}{\partial x} + \sqrt{C} \frac{\partial \eta}{\partial y} \right) = 0. \end{aligned}$$

Итак, уравнение (2.56) принимает вид

$$\bar{C} \frac{\partial^2 u}{\partial \eta^2} + \Phi \left(\xi, \eta, u, \frac{\partial u}{\partial \xi}, \frac{\partial u}{\partial \eta} \right) = 0.$$

После деления на \bar{C} окончательно получим

$$\frac{\partial^2 u}{\partial \eta^2} = \tilde{\Phi} \left(\xi, \eta, u, \frac{\partial u}{\partial \xi}, \frac{\partial u}{\partial \eta} \right). \quad (2.62)$$

Уравнение (2.62) называется *канонической формой уравнения параболического типа*. Интересно отметить, что если правая часть уравнения (2.62) не содержит производной $\partial u / \partial \xi$, то оно становится обыкновенным дифференциальным уравнением, где роль параметра играет ξ .

Уравнение эллиптического типа

Правые части уравнений (2.59) и (2.60) комплексно сопряжены. Пусть $\varphi(x, y)$ — комплексный интеграл уравнения (2.59). Тогда $\varphi^*(x, y) = \text{const}$ — интеграл уравнения (2.60), где $\varphi^*(x, y)$ — функция, комплексно сопряженная с функцией $\varphi(x, y)$. Если теперь перейти к комплексным переменным $\xi = \varphi(x, y)$, $\eta = \varphi^*(x, y)$, то, согласно общей теории, уравнение (2.50) приведет к виду

$$\frac{\partial^2 u}{\partial \xi \partial \eta} = \Phi \left(\xi, \eta, u, \frac{\partial u}{\partial \xi}, \frac{\partial u}{\partial \eta} \right),$$

то есть точно к такому же виду, как и гиперболическое уравнение. Чтобы остаться в действительной области, сделаем еще одну замену переменных:

$$\alpha = \frac{\varphi + \varphi^*}{2}, \quad \beta = \frac{\varphi - \varphi^*}{2i}, \quad i = \sqrt{-1},$$

где α и β — новые переменные. Тогда $\xi = \alpha + i\beta$, $\eta = \alpha - i\beta$. Нетрудно показать, что при такой замене переменных $\bar{A} = \bar{C}$, $\bar{B} = 0$. Таким образом, уравнение (2.50) приводится к виду

$$\frac{\partial^2 u}{\partial \alpha^2} + \frac{\partial^2 u}{\partial \beta^2} = \Theta \left(\alpha, \beta, u, \frac{\partial u}{\partial \alpha}, \frac{\partial u}{\partial \beta} \right),$$

который называется *каноническим видом уравнения эллиптического типа*.

Классификация задач математической физики

В этом параграфе мы сформулируем математические модели для ряда характерных физических процессов, которые сводятся к различным краевым задачам для линейных дифференциальных уравнений второго порядка.

Классификация задач математической физики осуществляется по характеру дополнительных условий, которые ставятся при решении задачи.

Ранее было отмечено, что линейное дифференциальное уравнение второго порядка

$$\rho(x) \frac{\partial^2 u}{\partial t^2} = \nabla \cdot (p(x) \nabla u) - q(x)u + F(x, t) \quad (2.63)$$

описывает процессы колебаний, уравнение

$$\rho(x) \frac{\partial u}{\partial t} = \nabla \cdot (p(x) \nabla u) - q(x)u + F(x, t) \quad (2.64)$$

описывает процессы диффузии, и, наконец, уравнение

$$-\nabla \cdot (p(x) \nabla u) + q(x)u = F(x) \quad (2.65)$$

описывает соответствующие стационарные процессы.

Пусть $G \in R^n$ — область, где происходит процесс, и S — ее граница, которую считаем кусочно-гладкой поверхностью. Таким образом, G есть область изменения аргументов x в уравнении (2.65) — область задания уравнения (2.65). Областью задания уравнений (2.63) и (2.64) будем считать цилиндр $\Pi_T = G \times (0, T)$ высоты T с основанием G (рис. 2.6).

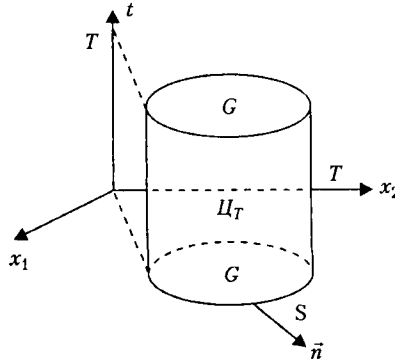


Рис. 2.6. Область задания уравнений

Его граница состоит из боковой поверхности $S \times [0, T]$ и двух оснований: нижнего $\bar{G} \times \{0\}$ и верхнего $\bar{G} \times \{T\}$. Будем предполагать, что коэффициенты уравнений (2.63)–(2.65) не зависят от времени. В соответствии с их физическим смыслом, будем считать, что $\rho(x) > 0$, $p(x) > 0$, $q(x) \geq 0$, $x \in \bar{G}$. Наконец, в соответствии с математическим смыслом уравнений (2.63)–(2.65), необходимо считать, что $\rho \in C(\bar{G})$, $p \in C^{(1)}(\bar{G})$, $q \in C(\bar{G})$. При этих предположениях уравнение колебаний (2.63) — гиперболического типа, уравнение диффузии (2.64) — параболического типа, стационарное уравнение (2.65) — эллиптического типа. Таким образом, различие в математических типах уравнений тесно связано с различием физических процессов, описываемых этими уравнениями. Чтобы полностью описать тот или иной процесс, необходимо, кроме самого уравнения, задать начальное состояние этого процесса (*начальные условия*) и режим на границе области, в которой происходит процесс (*граничные условия*). Математически это связано с неединственностью решения дифференциальных уравнений. Поэтому, чтобы выделить решение, описывающее реальный процесс, необходимо задать дополнительные условия. Такими дополнительными условиями и являются *краевые*

условия — начальные и граничные условия. Соответствующая задача называется *краевой задачей*. Различают три основных типа краевых задач для дифференциальных уравнений:

- *Задача Коши* для уравнений гиперболического и параболического типов: задаются начальные условия; область G совпадает со всем пространством R^n ; граничные условия отсутствуют.
- *Краевая задача* для уравнений эллиптического типа: задаются граничные условия на границе S ; начальные условия, естественно, отсутствуют.
- *Смешанная задача* для уравнений гиперболического и параболического типов. В этом случае задаются как начальные, так и граничные условия, $G \neq R^n$.

Опишем подробнее постановку перечисленных задач для уравнений (2.63)–(2.65).

Задача Коши

Для уравнения колебаний (2.63) гиперболического типа задача Коши ставится следующим образом: найти функцию

$$u(x, t) \in C^{(2)}(t > 0) \cap C^{(1)}(t \geq 0),$$

удовлетворяющую уравнению (2.63) в полупространстве $t > 0$ и начальным условиям при $t = +0$

$$u|_{t=0} = u_0(x), \quad \frac{\partial u}{\partial t} \Big|_{t=0} = u_1(x). \quad (2.66)$$

При этом необходимо, чтобы $F \in C(t > 0)$, $u_0 \in C^{(1)}(R^n)$, $u_1 \in C(R^n)$.

Для уравнения диффузии (2.64) параболического типа задача Коши ставится следующим образом: найти функцию

$$u(x, t) \in C^{(2)}(t > 0) \cap C(t \geq 0),$$

удовлетворяющую уравнению (2.64) в полупространстве $t > 0$ и начальным условиям при $t = +0$

$$u|_{t=0} = u_0(x). \quad (2.67)$$

При этом необходимо, чтобы $F \in C(t > 0)$, $u_0 \in C(R^n)$.

Краевая задача для уравнений эллиптического типа

Краевая задача для уравнения (2.65) эллиптического типа ставится следующим образом: найти функцию $u(x) \in C^{(2)}(G) \cap C^{(1)}(\bar{G})$, удовлетворяющую уравнению (2.65) в области G и граничному условию на S вида

$$\alpha u + \beta \frac{\partial u}{\partial n} \Big|_S = v, \quad (2.68)$$

где α, β, v — заданные непрерывные функции на S , причем $\alpha \geq 0, \beta \geq 0, \alpha + \beta > 0$.

Выделяют следующие три типа граничных условий (2.68):

Граничное условие первого рода ($\alpha = 1, \beta = 0$)

$$u|_S = u_0. \quad (2.69)$$

Граничное условие второго рода ($\alpha = 0, \beta = 1$)

$$\frac{\partial u}{\partial n}\Big|_S = u_1. \quad (2.70)$$

Граничное условие третьего рода ($\alpha \geq 0, \beta = 1$)

$$\alpha u + \frac{\partial u}{\partial n}\Big|_S = u_2. \quad (2.71)$$

Соответствующие краевые задачи называются *краевыми задачами первого, второго и третьего рода*.

Для уравнений Лапласа и Пуассона краевая задача первого рода называется *задачей Дирихле*: найти функцию $u \in C^{(2)}(G) \cap C(\bar{G})$, удовлетворяющую в области G уравнению

$$\Delta u = -f$$

и граничному условию (2.69) на поверхности S . Функция u_0 непрерывна на S . Точный смысл граничного условия (2.69) таков:

$$\lim_{M \rightarrow P} u(M) = u_0(P), \quad M \in G, \quad P \in S.$$

Краевая задача второго рода

$$\Delta u = -f, \quad \frac{\partial u}{\partial n}\Big|_S = u_1,$$

называется *задачей Неймана*: найти функцию $u \in C^{(2)}(G) \cap C^{(1)}(\bar{G})$, удовлетворяющую в области G уравнению Пуассона (или Лапласа) и граничному условию (2.70) на поверхности S . Функция u_1 непрерывна на S . Точный смысл граничного условия (2.70) таков:

$$\lim_{M \rightarrow P} \left(\frac{\partial u}{\partial n} \right)\Big|_M = u_1(P), \quad M \in G, \quad P \in S.$$

Функция $u_1(P)$ должна также удовлетворять дополнительному условию разрешимости задачи Неймана. Действительно, воспользуемся равенством

$$\int_G \Delta u \, d\tau = \int_S \frac{\partial u}{\partial n} \, d\sigma \Rightarrow - \int_G f \, d\tau = \int_S u_1 \, d\sigma.$$

В случае уравнения Лапласа условие разрешимости принимает вид

$$\int_S u_1 \, d\sigma = 0;$$

последнее обычно пишут в виде

$$\bar{u}_1|_S = \frac{1}{S} \int_S u_1 \, d\sigma = 0,$$

то есть среднее значение функции $u_1(P)$ на поверхности должно быть равно нулю.

Краевые задачи первого, второго и третьего рода для уравнения Лапласа носят названия *гармонических краевых задач*.

Аналогично ставятся краевые задачи для уравнения (2.65) и во внешности ограниченной области G (*внешние краевые задачи*). Отличие состоит в том, что, помимо граничного условия (2.68) на S , задаются еще условия на бесконечности. Такими условиями, например, могут быть условия вида $u(x) = O(1)$ или $u(x) = o(1)$ при $|x| \rightarrow \infty$ для уравнения Пуассона.

Смешанная задача

Для уравнения колебаний (2.63) гиперболического типа смешанная задача ставится следующим образом: найти функцию $u(x, t) \in C^{(2)}(C_T) \cap C^{(1)}(\bar{C}_T)$, удовлетворяющую уравнению (2.63) в цилиндре C_T , начальным условиям (2.66) при $t = 0, x \in \bar{G}$ (на нижнем основании цилиндра C_T) и граничному условию (2.68) (на боковой поверхности цилиндра C_T). При этом должны быть выполнены условия гладкости

$$F \in C(C_T), u_0 \in C^{(1)}(\bar{G}), u_1 \in C(\bar{G}), v \in C(S \times [0, T])$$

и условия согласованности

$$\alpha u_0 + \beta \frac{\partial u_0}{\partial n} \Big|_S = v|_{t=0}.$$

Аналогично для уравнения диффузии (2.64) параболического типа смешанная задача ставится так: найти функцию $u(x, t) \in C^{(2)}(C_T) \cap C(\bar{C}_T)$, $\text{grad}_x(u) \in C(\bar{C}_T)$, удовлетворяющую уравнению (2.64) в цилиндре C_T , начальному условию (2.67) и граничному условию (2.68).

Понятие о корректно поставленной задаче математической физики

Поскольку задачи математической физики представляют собой математические модели реальных физических процессов, то их постановки должны удовлетворять следующим естественным требованиям:

1. Решение должно *существовать* в каком-то классе функций M_1 .
2. Решение должно быть единственным в некотором классе функций M_2 .
3. Решение должно *непрерывно* зависеть от данных задачи (начальных и граничных данных, свободного члена, коэффициентов уравнения и т. д.).

Непрерывная зависимость решения u от данного задачи \tilde{u} означает следующее: пусть последовательность данных $\tilde{u}_k, k = 1, 2, \dots$, в каком-то смысле стремится к \tilde{u} и $u_k (k = 1, 2, \dots)$, u — соответствующие решения задачи. Тогда должно быть $u_k \rightarrow u$ при $k \rightarrow \infty$ в смысле сходимости, выбранной надлежащим образом. Требование непрерывной зависимости решения обуславливается тем обстоятельством, что физические данные, как правило, определяются из эксперимента прибли-

женно, и поэтому нужно быть уверенным в том, что решение задачи в рамках выбранной математической модели не будет существенно зависеть от погрешностей измерений.

Задача, удовлетворяющая перечисленным требованиям, называется *корректно поставленной* (по Адамару), а множество функций $M_1 \cap M_2$ — *классом корректности*. Задача, не удовлетворяющая хотя бы одному из условий 1–3, называется *некорректно поставленной*.

К некорректно поставленным задачам часто приводят обратные задачи математической физики: по некоторой информации о решении прямой задачи восстановить некоторые неизвестные физические величины, определяющие эту задачу (источники, краевые условия, коэффициенты уравнения и т. д.).

Замечание о классе функций, среди которых ищется решение задачи

Исследование корректности постановки задач математической физики представляет важнейшую и притом весьма трудную задачу теории уравнений в частных производных. Каждый тип задач имеет свои условия, обеспечивающие корректность постановки той или иной краевой задачи. Например, для уравнения Лапласа можно выделить группу условий, гарантирующих корректность постановки соответствующей краевой задачи. Искомая функция, дающая решение краевой задачи для уравнения в частных производных второго порядка, должна удовлетворять следующим условиям:

1. Быть непрерывной в области, в которой ставится задача, вплоть до границы области.
2. Внутри области иметь непрерывные вторые производные и удовлетворять заданному уравнению.
3. Удовлетворять заданному краевому условию.
4. Если область трехмерна и бесконечна, то при перемещении к бесконечно удаленной точке вдоль любого луча, принадлежащего области, стремиться к нулю.

Таким образом, наиболее естественное требование — производные существуют и непрерывны во всей области; порядок производных определяется порядком уравнения.

Изложенные в предыдущих пунктах постановки краевых задач характеризуются тем, что решения их предполагаются достаточно гладкими и они должны удовлетворять уравнению в каждой точке области задания этого уравнения. Такие решения называются *классическими*, а постановки соответствующих краевых задач — *классическими постановками*. Таким образом, классические постановки задач уже предполагают достаточную гладкость входящих в задачу данных.

Если в уравнениях эллиптического и гиперболического типов решения всегда гладкие, то в уравнениях параболического типа производные не всегда непрерывны, а могут даже и не существовать в некоторых точках области.

В наиболее интересных задачах данные могут иметь довольно сильные особенности. Поэтому для таких задач классические постановки уже оказываются

недостаточными. Чтобы поставить такие задачи, приходится отказываться (частично или полностью) от требований гладкости решения в области или вплоть до границы вводить так называемые *обобщенные решения*. Но тогда встает вопрос о том, какие функции можно называть решениями уравнения. Чтобы сделать это, необходимо существенно обобщить понятие производной и вообще понятие функции, то есть ввести так называемые *обобщенные функции*. Концепция обобщенного решения широко используется в книге В. С. Владимирова [4]¹.

О единственности решения задач математической физики

Докажем единственность решения основных краевых задач для уравнения Пуассона, а также для уравнений теплопроводности и колебаний.

Единственность решения задачи Дирихле

Решение задачи Дирихле ищется в классе функций $u \in C^{(2)}(G) \cap C(\bar{G})$. Утверждается, что решение задачи Дирихле в этом классе функций единственно. Докажем эту теорему в случае, когда $u \in C^{(2)}(G) \cap C^{(1)}(\bar{G})$.

Допустим, что существует два решения задачи u_1 и u_2 . Пусть $\Psi = u_1 - u_2$. Очевидно, что

$$\begin{aligned} \Delta \Psi &= 0, \quad \Psi \in C^{(2)}(G), \\ \Psi|_S &= 0, \quad \Psi \in C^{(1)}(S). \end{aligned} \quad (2.72)$$

Доказательство теоремы сводится к доказательству того, что в данном классе функций нет другого решения задачи (2.72), кроме как решения $\Psi \equiv 0$. Это последнее решение очевидно в силу однородности задачи (2.72).

Воспользуемся тождеством

$$\int_G [\Psi \Delta \Psi + (\nabla \Psi)^2] d\tau = \int_S \Psi \frac{\partial \Psi}{\partial n} d\sigma, \quad \Psi \in C^{(2)}(G) \cap C^{(1)}(\bar{G}). \quad (2.73)$$

В силу (2.72), из тождества (2.73) находим

$$\int_G (\nabla \Psi)^2 d\tau = 0 \Rightarrow \nabla \Psi = 0 \Rightarrow \Psi = \text{const}, \quad x \in G.$$

Так как функция Ψ предполагается непрерывной и $\Psi = 0$ на S , то $\Psi = 0$ в G , следовательно, $u_1 = u_2$ в G . Утверждение доказано.

Единственность решения задачи Неймана

Решение задачи Неймана ищется в классе функций $u \in C^{(2)}(G) \cap C^{(1)}(\bar{G})$. Утверждается, что в этом классе функций задача Неймана имеет единственное решение, определяемое с точностью до аддитивной постоянной.

¹ См. также *Владимиров В. С. Обобщенные функции в математической физике*. — М.: Наука, 1979. 320 с.

Допустим, что существует два решения задачи u_1 и u_2 . Пусть $\Psi = u_1 - u_2$. Очевидно, что

$$\begin{aligned} \Delta\Psi &= 0, \quad \Psi \in C^{(2)}(G), \\ \frac{\partial\Psi}{\partial n}\Big|_S &= 0, \quad \Psi \in C^{(1)}(S). \end{aligned}$$

Применяем тождество (2.73). Будем иметь

$$\int_G (\nabla\Psi)^2 d\tau = 0 \Rightarrow \nabla\Psi = 0 \Rightarrow \Psi = \text{const} \Rightarrow u_1 = u_2 + \text{const}, \quad x \in G.$$

Таким образом, решение задачи Неймана определяется с точностью до аддитивной постоянной.

Единственность решения третьей краевой задачи

Третья краевая задача формулируется следующим образом: найти функцию $u \in C^{(2)}(G) \cap C^{(1)}(\bar{G})$, удовлетворяющую в области G уравнению Пуассона (или Лапласа) и граничному условию (2.71) на поверхности S

$$\begin{aligned} \Delta u &= -f, \quad x \in G, \\ \alpha u + \frac{\partial u}{\partial n}\Big|_S &= u_2, \quad x \in S. \end{aligned} \quad (2.74)$$

Утверждается, что задача (2.74) в рассматриваемом классе функций имеет единственное решение.

Допустим, что существует два решения задачи u_1 и u_2 . Пусть $\Psi = u_1 - u_2$. Очевидно, что

$$\begin{aligned} \Delta\Psi &= 0, \quad \Psi \in C^{(2)}(G), \\ \frac{\partial\Psi}{\partial n} + \alpha\Psi\Big|_S &= 0, \quad \Psi \in C^{(1)}(S). \end{aligned} \quad (2.75)$$

Задача (2.75) всегда имеет тривиальное решение $\Psi = 0$. Покажем, что другого решения не существует. Воспользуемся тождеством (2.73). С учетом (2.75), будем иметь

$$\int_G (\nabla\Psi)^2 d\tau = -\int_S \alpha\Psi^2 d\sigma \Rightarrow \int_G (\nabla\Psi)^2 d\tau + \int_S \alpha\Psi^2 d\sigma = 0 \quad (\alpha \geq 0),$$

последнее равенство возможно лишь, если каждый из интегралов будет равен нулю. Следовательно,

$$\left. \begin{aligned} \nabla\Psi &= 0, \quad x \in G \\ \Psi &= 0, \quad x \in S \end{aligned} \right\} \Rightarrow \Psi = 0, \quad x \in \bar{G} \Rightarrow u_1 = u_2, \quad x \in \bar{G}.$$

Таким образом, единственность решения третьей краевой задачи доказана.

О единственности краевых задач, связанных с уравнением Гельмгольца

В случае уравнения Гельмгольца единственность решения задачи может не иметь места для некоторых определенных значений волнового числа k . Рассмотрим,

например, первую краевую задачу для уравнения Гельмгольца: найти функцию $u \in C^{(2)}(G) \cap C(\bar{G})$, удовлетворяющую следующим условиям

$$\begin{aligned} \Delta u + k^2 u &= f, \quad x \in G, \\ u|_S &= g, \quad x \in S. \end{aligned} \quad (2.76)$$

Пусть u_1 и u_2 — решения задачи (2.76). Пусть $\Psi = u_1 - u_2$. Очевидно, что

$$\begin{aligned} \Delta \Psi + k^2 \Psi &= 0, \\ \Psi|_S &= 0, \quad \Psi \in C^{(2)}(G) \cap C(\bar{G}). \end{aligned} \quad (2.77)$$

Задача (2.77), очевидно, имеет решение $\Psi = 0$. Утверждается, что, кроме тривиального решения существуют другие решения при некоторых значениях волнового числа k . Построим такие ненулевые решения. Рассмотрим область в виде параллелепипеда со сторонами a, b, c . Будем искать решение задачи (2.77) в виде

$$\Psi = A \sin\left(\frac{l\pi x}{a}\right) \sin\left(\frac{m\pi y}{b}\right) \sin\left(\frac{n\pi z}{c}\right), \quad A = \text{const}, \quad l, m, n = 1, 2, 3, \dots \quad (2.78)$$

После подстановки (2.78) в уравнение (2.77) получим

$$A \left[k^2 - \left(\frac{l^2 \pi^2}{a^2} + \frac{m^2 \pi^2}{b^2} + \frac{n^2 \pi^2}{c^2} \right) \right] \sin\left(\frac{l\pi x}{a}\right) \sin\left(\frac{m\pi y}{b}\right) \sin\left(\frac{n\pi z}{c}\right) = 0. \quad (2.79)$$

Уравнение (2.79) удовлетворится, если

$$k = \pi \sqrt{\left(\frac{l}{a}\right)^2 + \left(\frac{m}{b}\right)^2 + \left(\frac{n}{c}\right)^2};$$

кроме того, удовлетворяются все граничные условия

$$\Psi|_{x=0,a} = 0, \quad \Psi|_{y=0,b} = 0, \quad \Psi|_{z=0,c} = 0.$$

Таким образом, видим, что имеется ненулевое решение задачи (2.77).

Единственность решения задачи для уравнения теплопроводности

Рассмотрим уравнение теплопроводности

$$\Delta u - \frac{1}{a^2} \frac{\partial u}{\partial t} = -f, \quad x \in G, \quad t > 0.$$

Пусть начальные условия имеют вид

$$u|_{t=0} = \varphi(x).$$

Граничные условия будем рассматривать первого, второго или третьего рода, то есть

$$u|_S = \varphi_1(t),$$

либо

$$\left. \frac{\partial u}{\partial n} \right|_S = \varphi_2(t),$$

либо

$$\left. \frac{\partial u}{\partial n} + hu \right|_S = \varphi_3(t), \quad h > 0$$

Докажем, что решение задачи единственно в классе A . Мы скажем, что функция $u \in A$, если:

- 1) функция u непрерывна вместе с первой и второй производной по $x = (x_1, x_2, x_3)$ во всех точках области G при $t > 0$;
- 2) производная $\partial u / \partial t$ непрерывна в G при $t > 0$;
- 3) функция u непрерывна вместе с первой производной по $x = (x_1, x_2, x_3)$ в замкнутой области $G + S$, $t \geq 0$.

Предположим, что существуют два решения $u_1, u_2 \in A$; Пусть $\Psi = u_1 - u_2$. Ясно, что $\Psi \in A$, и для Ψ будем иметь следующее однородное уравнение:

$$\Delta \Psi - \frac{1}{a^2} \frac{\partial \Psi}{\partial t} = 0, \quad x \in G, \quad t > 0, \quad (2.80)$$

с однородными начальными

$$\Psi|_{t=0} = 0, \quad (2.81)$$

и граничными условиями

$$\Psi|_S = 0, \quad (2.82)$$

либо

$$\left. \frac{\partial \Psi}{\partial n} \right|_S = 0, \quad (2.83)$$

либо

$$\left. \frac{\partial \Psi}{\partial n} + h\Psi \right|_S = 0. \quad (2.84)$$

Задача (2.80)–(2.84), очевидно, имеет тривиальное решение. Покажем, что другого решения не существует. Рассмотрим следующий интеграл, который в силу (2.81) равен нулю:

$$J = \int_0^t dt \iiint_G \Psi \left[\Delta \Psi - \frac{1}{a^2} \frac{\partial \Psi}{\partial t} \right] d\tau = 0.$$

Преобразуем этот интеграл с помощью тождества (2.73). Будем иметь

$$\begin{aligned} J &= \int_0^t dt \left\{ -\iiint_G (\nabla \Psi)^2 d\tau + \iint_S \Psi \frac{\partial \Psi}{\partial n} d\sigma - \iiint_G \frac{1}{a^2} \Psi \frac{\partial \Psi}{\partial t} d\tau \right\} = \\ &= -\int_0^t dt \iiint_G (\nabla \Psi)^2 d\tau + \int_0^t dt \iint_S \Psi \frac{\partial \Psi}{\partial n} d\sigma - \int_0^t \frac{\partial}{\partial t} \left(\iiint_G \frac{\Psi^2}{2a^2} d\tau \right) dt = \\ &= -\int_0^t dt \iiint_G (\nabla \Psi)^2 d\tau + \int_0^t dt \iint_S \Psi \frac{\partial \Psi}{\partial n} d\sigma - \iiint_G \frac{\Psi^2}{2a^2} d\tau + \iiint_G \frac{\Psi^2}{2a^2} \Big|_{\tau=0} d\tau. \end{aligned}$$

Для условий первого и второго рода будем иметь

$$0 = -\int_0^t dt \iiint_G (\nabla \Psi)^2 d\tau - \iiint_G \frac{\Psi^2}{2a^2} d\tau \Rightarrow \int_0^t dt \iiint_G (\nabla \Psi)^2 d\tau + \iiint_G \frac{\Psi^2}{2a^2} d\tau = 0.$$

Здесь оба интеграла положительны, следовательно, каждый из них равен нулю, а значит, $\Psi = 0, x \in \bar{G}, t \geq 0 \Rightarrow u_1 = u_2$. В случае условий третьего рода будем иметь

$$\int_0^t dt \iiint_G (\nabla \Psi)^2 d\tau + \int_0^t dt \iint_S h \Psi^2 d\sigma + \iiint_G \frac{\Psi^2}{2a^2} d\tau = 0 \Rightarrow$$

$$\Psi = 0, x \in \bar{G}, t \geq 0 \Rightarrow u_1 = u_2.$$

Таким образом, единственность решения задачи для уравнения теплопроводности в классе функций A доказана.

Единственность решения задачи о колебаниях струны

Рассмотрим следующую задачу

$$\frac{\partial^2 u}{\partial x^2} - \frac{1}{a^2} \frac{\partial^2 u}{\partial t^2} = -f, \quad 0 < x < l, \quad t > 0, \quad (2.85)$$

$$u|_{x=0} = 0, \quad u|_{x=l} = 0, \quad (2.86)$$

$$u|_{t=0} = \varphi(x), \quad \frac{\partial u}{\partial t}|_{t=0} = g(x). \quad (2.87)$$

Докажем единственность решения задачи (2.85)–(2.87) в классе функций A . Функция $u \in A$, если:

- 1) функция u непрерывна вместе с первой и второй производными по x и t в открытой области $G = 0 < x < l, t > 0$;
- 2) функция u непрерывна и имеет непрерывные производные по x и t первого порядка в замкнутой области $G + S = 0 \leq x \leq l, t \geq 0$.

Предположим, что существуют два решения задачи u_1 и u_2 . Пусть $\Psi = u_1 - u_2$. Тогда $\Psi \in A$, и для Ψ будем иметь следующую однородную задачу:

$$\frac{\partial^2 \Psi}{\partial x^2} - \frac{1}{a^2} \frac{\partial^2 \Psi}{\partial t^2} = 0, \quad 0 < x < l, \quad t > 0, \quad (2.88)$$

$$\Psi|_{x=0} = 0, \quad \Psi|_{x=l} = 0,$$

$$\Psi|_{t=0} = 0, \quad \frac{\partial \Psi}{\partial t}|_{t=0} = 0.$$

Рассмотрим интеграл (который равен нулю в силу (2.88))

$$0 = \int_0^t dt \int_0^l \frac{\partial \Psi}{\partial t} \left[\frac{\partial^2 \Psi}{\partial x^2} - \frac{1}{a^2} \frac{\partial^2 \Psi}{\partial t^2} \right] dx = \int_0^t dt \int_0^l \frac{\partial \Psi}{\partial t} \frac{\partial^2 \Psi}{\partial x^2} dx - \int_0^t dt \int_0^l \frac{1}{a^2} \frac{\partial \Psi}{\partial t} \frac{\partial^2 \Psi}{\partial t^2} dx =$$

$$= \int_0^t dt \left[\frac{\partial \Psi}{\partial t} \frac{\partial \Psi}{\partial x} \Big|_{x=0}^{x=l} - \int_0^l \frac{\partial \Psi}{\partial x} \frac{\partial^2 \Psi}{\partial t \partial x} dx \right] - \int_0^t dt \int_0^l \frac{1}{a^2} \frac{\partial \Psi}{\partial t} \frac{\partial^2 \Psi}{\partial t^2} dx =$$

$$\begin{aligned}
&= \int_0^l \frac{\partial \Psi}{\partial t} \frac{\partial \Psi}{\partial x} \Big|_{x=0}^{x=l} dt - \int_0^l dt \frac{1}{2} \frac{\partial}{\partial t} \int_0^l \left[\left(\frac{\partial \Psi}{\partial x} \right)^2 + \frac{1}{a^2} \left(\frac{\partial \Psi}{\partial t} \right)^2 \right] dx = \\
&= \int_0^l \frac{\partial \Psi}{\partial t} \frac{\partial \Psi}{\partial x} \Big|_{x=0}^{x=l} dt - \frac{1}{2} \int_0^l \left[\left(\frac{\partial \Psi}{\partial x} \right)^2 + \frac{1}{a^2} \left(\frac{\partial \Psi}{\partial t} \right)^2 \right] dx + \frac{1}{2} \int_0^l \left[\left(\frac{\partial \Psi}{\partial x} \right)^2 + \frac{1}{a^2} \left(\frac{\partial \Psi}{\partial t} \right)^2 \right] \Big|_{t=0} dx.
\end{aligned}$$

Учитывая условия, накладываемые на функцию Ψ , будем иметь

$$\begin{aligned}
\Psi|_{x=0} = 0, \quad \Psi|_{x=l} = 0 \Rightarrow \frac{\partial \Psi}{\partial t} \Big|_{x=0} = 0, \quad \frac{\partial \Psi}{\partial t} \Big|_{x=l} = 0 \Rightarrow \int_0^l \frac{\partial \Psi}{\partial t} \frac{\partial \Psi}{\partial x} \Big|_{x=0}^{x=l} dt = 0, \\
\int_0^l \left[\left(\frac{\partial \Psi}{\partial x} \right)^2 + \frac{1}{a^2} \left(\frac{\partial \Psi}{\partial t} \right)^2 \right] \Big|_{t=0} dx = 0.
\end{aligned}$$

Таким образом, будем иметь

$$\int_0^l \left[\left(\frac{\partial \Psi}{\partial x} \right)^2 + \frac{1}{a^2} \left(\frac{\partial \Psi}{\partial t} \right)^2 \right] dx = 0.$$

Последнее равенство возможно в том случае, когда

$$\frac{\partial \Psi}{\partial x} = 0, \quad \frac{\partial \Psi}{\partial t} = 0; \quad 0 < x < l; \quad t > 0.$$

Это означает, что $\Psi = \text{const}$. Функция Ψ непрерывна, и на границе $\Psi = 0$, следовательно, $\Psi = 0$ в области, а тогда $u_1 = u_2$ для $0 < x < l$, $t > 0$.

Таким образом, единственность решения задачи о колебаниях струны доказана в классе функций A .

Понятие об общем интеграле уравнения в частных производных

Как мы знаем, для обыкновенного дифференциального уравнения n -го порядка вся совокупность решений (за исключением «особых» решений) представляется функцией от независимой переменной x , а также от n произвольных постоянных интегрирования C_1, C_2, \dots, C_n . Наоборот, для любого семейства функций $u = \varphi(x, C_1, C_2, \dots, C_n)$, зависящего от n параметров, существует дифференциальное уравнение n -го порядка, решение которого $u = \varphi$ получается исключением параметров C_1, C_2, \dots, C_n из уравнения $u = \varphi(x, C_1, C_2, \dots, C_n)$ и n уравнений

$$\begin{aligned}
u' &= \varphi'(x, C_1, C_2, \dots, C_n) \\
&\vdots \\
u^{(n)} &= \varphi^{(n)}(x, C_1, C_2, \dots, C_n).
\end{aligned}$$

Для дифференциальных уравнений с частными производными дело обстоит сложнее. Здесь тоже можно искать всю совокупность решений, или «общее ре-

шение», то есть такое решение, которое дает любое частное решение после того, как фиксированы некоторые «произвольные» элементы (опять за исключением некоторых «особых» решений). В случае дифференциальных уравнений с частными производными эти произвольные элементы уже не могут быть постоянными интегрирования, а должны содержать произвольные функции; вообще говоря, число этих произвольных функций равно порядку дифференциального уравнения. Число аргументов этих произвольных функций на единицу меньше числа аргументов решения u . Более точная формулировка этого утверждения содержится в теореме существования Коши—Ковалевской [4], [21]. Здесь мы только получим некоторые сведения, разобрав несколько примеров.

Пожалуй, самое яркое отличие здесь заключается в том, что задачи, приводящие к дифференциальным уравнениям в частных производных, почти нигде не встречаются в такой форме, чтобы искомым являлось общее решение. Мало того, если вы располагаете таким решением, то знание его, за редким исключением, почти ничего не дает для решения основной частной задачи. Ведь общее решение уравнения в частных производных зависит от произвольных функций, и для нахождения частного решения придется рассматривать систему сложных функциональных соотношений, так что отыскание произвольных функций часто оказывается практически невозможным.

Примеры

Рассмотрим определение общих интегралов некоторых дифференциальных уравнений в частных производных. Следует отметить, что этот вопрос тесно связан с преобразованием дифференциального уравнения в частных производных к каноническому виду.

Пример 1. Пусть $u = u(x, y)$. Дифференциальное уравнение

$$\frac{\partial u}{\partial y} = 0$$

для функции $u(x, y)$ означает, что u не зависит от y ; следовательно, $u = w(x)$, где $w(x)$ — произвольная функция x .

Пример 2. Для уравнения

$$\frac{\partial^2 u}{\partial x \partial y} = 0,$$

где $u = u(x, y)$, можно сразу получить общее решение вида $u = w(x) + v(y)$. Здесь $w(x)$ и $v(y)$ — произвольные дифференцируемые функции.

Пример 3. Пусть $u = u(x, y)$. Рассмотрим дифференциальное уравнение

$$\frac{\partial u}{\partial x} = \frac{\partial u}{\partial y}.$$

Найдем общий интеграл этого уравнения. Для этого сделаем замену переменных

$$x + y = \xi, \quad x - y = \eta.$$

Тогда

$$\begin{aligned}\frac{\partial u}{\partial x} &= \frac{\partial u}{\partial \xi} \frac{\partial \xi}{\partial x} + \frac{\partial u}{\partial \eta} \frac{\partial \eta}{\partial x} = \frac{\partial u}{\partial \xi} + \frac{\partial u}{\partial \eta}, \\ \frac{\partial u}{\partial y} &= \frac{\partial u}{\partial \xi} \frac{\partial \xi}{\partial y} + \frac{\partial u}{\partial \eta} \frac{\partial \eta}{\partial y} = \frac{\partial u}{\partial \xi} - \frac{\partial u}{\partial \eta},\end{aligned}$$

и уравнение принимает вид

$$\frac{\partial u}{\partial \eta} = 0.$$

Значит, $u = f(\xi)$. Возвращаясь к старым переменным, получим $u = f(x + y)$, причем f — любая дифференцируемая функция.

Пример 4. Пусть $u = u(x, y)$. Рассмотрим дифференциальное уравнение

$$x \frac{\partial u}{\partial x} + y \frac{\partial u}{\partial y} = 0.$$

Сделаем замену переменных

$$\frac{y}{x} = \xi, \quad y = \eta.$$

Тогда

$$\begin{aligned}\frac{\partial u}{\partial x} &= -\frac{\partial u}{\partial \xi} \frac{y}{x^2} + \frac{\partial u}{\partial \eta} \cdot 0 = -\frac{\partial u}{\partial \xi} \frac{y}{x^2}, \\ \frac{\partial u}{\partial y} &= \frac{\partial u}{\partial \xi} \frac{1}{x} + \frac{\partial u}{\partial \eta} \cdot 1\end{aligned}$$

и уравнение принимает вид

$$\frac{\partial u}{\partial \eta} = 0.$$

Значит, $u = f(\xi)$. Следовательно, общий интеграл уравнения будет $u = f(y/x)$, причем f — любая дифференцируемая функция.

Пример 5. Пусть $u = u(x, y)$. Рассмотрим дифференциальное уравнение

$$\frac{\partial^2 u}{\partial x^2} - \frac{\partial^2 u}{\partial y^2} = 0.$$

Сделаем замену переменных

$$x + y = \xi, \quad x - y = \eta.$$

Тогда

$$\begin{aligned}\frac{\partial u}{\partial x} &= \frac{\partial u}{\partial \xi} + \frac{\partial u}{\partial \eta}, \\ \frac{\partial u}{\partial y} &= \frac{\partial u}{\partial \xi} - \frac{\partial u}{\partial \eta},\end{aligned}$$

$$\frac{\partial^2 u}{\partial x^2} = \frac{\partial}{\partial x} \left(\frac{\partial u}{\partial x} \right) = \frac{\partial}{\partial \xi} \left(\frac{\partial u}{\partial \xi} + \frac{\partial u}{\partial \eta} \right) + \frac{\partial}{\partial \eta} \left(\frac{\partial u}{\partial \xi} + \frac{\partial u}{\partial \eta} \right) = \frac{\partial^2 u}{\partial \xi^2} + 2 \frac{\partial^2 u}{\partial \xi \partial \eta} + \frac{\partial^2 u}{\partial \eta^2},$$

$$\frac{\partial^2 u}{\partial y^2} = \frac{\partial}{\partial y} \left(\frac{\partial u}{\partial y} \right) = \frac{\partial^2 u}{\partial \xi^2} - 2 \frac{\partial^2 u}{\partial \xi \partial \eta} + \frac{\partial^2 u}{\partial \eta^2},$$

и уравнение принимает вид

$$4 \frac{\partial^2 u}{\partial \xi \partial \eta} = 0.$$

Значит, $u = F(\xi) + G(\eta)$. Следовательно, общий интеграл уравнения будет

$$u = F(x + y) + G(x - y),$$

где F и G — произвольные дважды дифференцируемые функции.

Пример 6. Пусть $u = u(x, y)$. Общий интеграл дифференциального уравнения

$$\frac{\partial^2 u}{\partial x^2} + \frac{\partial^2 u}{\partial y^2} = 0$$

дается функцией $u = F(x + iy) + G(x - iy)$, где F и G — произвольные дважды дифференцируемые функции, $i = \sqrt{-1}$.

Применение общего интеграла к решению некоторых задач математической физики

1. Пусть некоторый процесс описывается одномерным волновым уравнением

$$\frac{\partial^2 u}{\partial x^2} - \frac{1}{v^2} \frac{\partial^2 u}{\partial t^2} = 0.$$

Обозначим $vt = y$, тогда уравнение примет вид

$$\frac{\partial^2 u}{\partial x^2} - \frac{\partial^2 u}{\partial y^2} = 0.$$

Следовательно, общий интеграл волнового уравнения будет

$$u = F(x + vt) + G(x - vt).$$

Причем здесь $F(x + vt)$ — плоская волна, распространяющаяся влево от начала координат со скоростью v , форма которой (профиль) определяется функцией F . Такая волна называется обратной волной. Функция $G(x - vt)$ описывает плоскую волну, распространяющуюся вправо от начала координат со скоростью v — прямая волна. Таким образом, рассматриваемый процесс представляет собой результат наложения двух волн.

2. Рассмотрим процесс, описываемый уравнением

$$\frac{1}{r^2} \frac{\partial}{\partial r} \left(r^2 \frac{\partial u}{\partial r} \right) - \frac{1}{v^2} \frac{\partial^2 u}{\partial t^2} = 0.$$

Это трехмерное волновое уравнение, записанное в сферических координатах в предположении, что процесс не зависит от угловых координат (радиальные колебания).

Сделаем замену переменных $u = \frac{w}{r}$, тогда

$$\frac{\partial u}{\partial r} = \frac{1}{r} \frac{\partial w}{\partial r} - \frac{1}{r^2} w, \quad r^2 \frac{\partial u}{\partial r} = r \frac{\partial w}{\partial r} - w, \quad \frac{1}{r^2} \frac{\partial}{\partial r} \left(r^2 \frac{\partial u}{\partial r} \right) = \frac{1}{r} \frac{\partial^2 w}{\partial r^2}, \quad \frac{\partial^2 u}{\partial t^2} = \frac{1}{r} \frac{\partial^2 w}{\partial t^2}.$$

В результате получим уравнение

$$\frac{\partial^2 w}{\partial r^2} - \frac{1}{v^2} \frac{\partial^2 w}{\partial t^2} = 0.$$

Откуда

$$w = F(r + vt) + G(r - vt) \Rightarrow u = \frac{F(r + vt)}{r} + \frac{G(r - vt)}{r}.$$

Первое слагаемое представляет собой сферическую волну, распространяющуюся из бесконечности в начало координат со скоростью v (обратная волна), второе слагаемое — сферическая волна, распространяющаяся со скоростью v от начала координат в бесконечность (прямая волна). Таким образом, и в этом случае общее решение уравнения представляет собой наложение прямой и обратной волны.

Колебания неограниченной струны. Метод Даламбера

Пусть требуется найти функцию $u = u(x, t)$, непрерывную в замкнутой области $-\infty < x < \infty, t \geq 0$, удовлетворяющую уравнению

$$\frac{\partial^2 u}{\partial x^2} - \frac{1}{v^2} \frac{\partial^2 u}{\partial t^2} = 0, \quad -\infty < x < \infty, t > 0, \quad (2.89)$$

и начальным условиям

$$u(x, 0) = \Phi(x), \quad \left. \frac{\partial u}{\partial t} \right|_{t=0} = \Psi(x), \quad -\infty < x < \infty. \quad (2.90)$$

Общий интеграл уравнения имеет вид

$$u = F(x + vt) + G(x - vt) \Rightarrow \frac{\partial u}{\partial t} = vF'(x + vt) - vG'(x - vt).$$

При $t = 0$ будем иметь

$$F(x) + G(x) = \Phi(x), \quad F'(x) - G'(x) = \frac{1}{v} \Psi(x).$$

Откуда находим

$$2F'(x) = \Phi'(x) + \frac{1}{v} \Psi(x), \quad 2G'(x) = \Phi'(x) - \frac{1}{v} \Psi(x),$$

или

$$F(x) = \frac{1}{2} \Phi(x) + \frac{1}{2v} \int_0^x \Psi(\xi) d\xi + c_1, \quad G(x) = \frac{1}{2} \Phi(x) - \frac{1}{2v} \int_0^x \Psi(\xi) d\xi + c_2.$$

После подстановки в выражение для u получим

$$u = \frac{1}{2} \Phi(x + vt) + \frac{1}{2v} \int_0^{x+vt} \Psi(\xi) d\xi + \frac{1}{2} \Phi(x - vt) - \frac{1}{2v} \int_0^{x-vt} \Psi(\xi) d\xi + c,$$

где $c = c_1 + c_2$. Легко видеть, что $c = 0$. Это следует из начального условия $u(x, 0) = \Phi(x)$.

Итак,

$$u = \frac{1}{2} [\Phi(x + vt) + \Phi(x - vt)] + \frac{1}{2v} \int_{x-vt}^{x+vt} \Psi(\xi) d\xi. \quad (2.91)$$

Формулу (2.91) называют формулой Даламбера решения задачи Коши для волнового уравнения (2.89).

До сих пор мы не накладывали никаких ограничений на функции $\Phi(x)$ и $\Psi(x)$, фигурирующие в начальных условиях (2.90). Формула (2.91) будет давать решение задачи Коши в том случае, если функция $\Phi(x)$ обладает производными первого и второго порядков, а функция $\Psi(x)$ — производной первого порядка. К этому выводу мы придем, когда захотим убедиться в правильности полученного решения путем подстановки его в уравнение (2.89). (Проверьте!)

Решение u зависит от начальной функции $\Psi(x)$ только в интервале $(x - vt, x + vt)$. Значение функции $\Psi(x)$ за пределами этого интервала не играют роли при определении решения u .

Метод Даламбера допускает распространение и на более сложные случаи.

Вопросы к главе 2

1. Напишите общий вид линейного дифференциального уравнения второго порядка.
2. Напишите общий вид уравнения колебаний.
3. Что называется струной? Выведите уравнение колебаний струны.
4. Что называется стержнем? Выведите уравнение продольных колебаний стержня.
5. Напишите уравнение поперечных колебаний стержня. Приведите примеры граничных условий.
6. Что называется мембраной? Выведите уравнение поперечных колебаний мембраны.
7. Напишите уравнение поперечных колебаний тонкой пластинки. Приведите примеры граничных условий.
8. Сформулируйте задачу о равновесии мембраны.
9. Сформулируйте задачу об установившихся синусоидальных колебаниях мембраны.
10. Выведите телеграфное уравнение.
11. Напишите трехмерное волновое уравнение. Какие дополнительные условия ставятся при решении волнового уравнения?
12. Напишите общий вид уравнения диффузии. Выведите уравнение диффузии.
13. Выведите уравнение теплопроводности.
14. Напишите общий вид стационарного уравнения.

15. Выведите уравнение электростатики.
16. Выведите уравнение гидродинамики.
17. Сформулируйте задачу об обтекании твердого тела потоком жидкости.
18. Сформулируйте краевые задачи для уравнения теплопроводности.
19. Сформулируйте краевые задачи для одномерного волнового уравнения на примерах поперечных колебаний струны и продольных колебаний стержня.
20. Напишите уравнение Лапласа и уравнение Пуассона. Сформулируйте основные краевые задачи для этих уравнений.
21. К какому типу уравнений относится уравнение Лапласа? Пуассона?
22. Напишите уравнение Гельмгольца. Какие процессы описывает это уравнение?
23. К какому типу уравнений относится уравнение Гельмгольца?
24. Какое уравнение называется уравнением гиперболического типа? Приведите примеры.
25. Какие физические процессы описывает гиперболическое уравнение?
26. Какое уравнение называется уравнением параболического типа? Приведите примеры.
27. Какие физические процессы описывает параболическое уравнение?
28. Какое уравнение называется уравнением эллиптического типа? Приведите примеры.
29. Какие физические процессы описывает эллиптическое уравнение?
30. Запишите характеристическое уравнение. Что называется характеристикой дифференциального уравнения?
31. Какие характеристики имеет одномерное волновое уравнение?
32. Какие характеристики имеет двухмерное уравнение Лапласа?
33. Напишите каноническую форму уравнения гиперболического типа.
34. Напишите каноническую форму уравнения параболического типа.
35. Напишите каноническую форму уравнения эллиптического типа.
36. Дайте понятие об общем интеграле уравнения в частных производных. Приведите примеры.
37. Дайте физическое истолкование общего решения уравнения колебаний струны.
38. Выведите формулу Даламбера решения задачи Коши для волнового уравнения.
39. Расскажите о корректности постановки задач математической физики.
40. Что такое начальные и граничные условия? С чем связана необходимость в постановке дополнительных условий? Приведите примеры.
41. Что называется задачей Коши? Для какого типа уравнений ставится задача Коши? Приведите примеры.
42. Что называется краевой задачей? Для какого типа уравнений ставится краевая задача? Приведите примеры.

43. Что называется смешанной задачей? Для какого типа уравнений ставится смешанная задача? Приведите примеры.
44. Докажите единственность решения задачи Дирихле для уравнения Пуассона.
45. Докажите единственность решения задачи Неймана для уравнения Пуассона. В чем особенность решения этой задачи?
46. Докажите единственность решения третьей краевой задачи для уравнения Пуассона.
47. Что можно сказать о единственности решения краевых задач, связанных с уравнением Гельмгольца?
48. Докажите единственность решения задачи для уравнения теплопроводности.
49. Докажите единственность решения задачи о колебаниях струны.
50. Дайте общее решение волнового уравнения в сферических координатах в случае радиальных колебаний. Каково физическое истолкование этого решения?

Задачи с примерами решений

1. Рассмотреть случай, когда уравнение (2.50) имеет постоянные коэффициенты. Показать, что после соответствующей замены переменных это уравнение приводится к одной из простейших форм

$$\frac{\partial^2 u}{\partial \xi \partial \eta} + b_1 \frac{\partial u}{\partial \xi} + b_2 \frac{\partial u}{\partial \eta} + cu + f = 0$$

или

$$\frac{\partial^2 u}{\partial \xi^2} - \frac{\partial^2 u}{\partial \eta^2} + b_1 \frac{\partial u}{\partial \xi} + b_2 \frac{\partial u}{\partial \eta} + cu + f = 0,$$

когда $B^2 - AC > 0$ — гиперболический тип;

$$\frac{\partial^2 u}{\partial \xi^2} + b_1 \frac{\partial u}{\partial \xi} + b_2 \frac{\partial u}{\partial \eta} + cu + f = 0,$$

когда $B^2 - AC = 0$ — параболический тип;

$$\frac{\partial^2 u}{\partial \xi^2} + \frac{\partial^2 u}{\partial \eta^2} + b_1 \frac{\partial u}{\partial \xi} + b_2 \frac{\partial u}{\partial \eta} + cu + f = 0,$$

когда $B^2 - AC < 0$ — эллиптический тип.

2. Показать, что уравнения, полученные в п. 1, можно еще более упростить, если ввести новую неизвестную функцию $v(\xi, \eta)$, по формуле

$$u(\xi, \eta) = e^{\lambda \xi + \mu \eta} v(\xi, \eta), \quad \lambda, \mu = \text{const}$$

и числа λ, μ подобрать так, чтобы исчезли члены с производными первого порядка в уравнениях гиперболического и эллиптического типов, а в уравнении параболического типа исчез один из членов с производной первого порядка

и член с неизвестной функцией. В результате таких преобразований привести уравнение гиперболического типа к виду

$$\frac{\partial^2 v}{\partial \xi \partial \eta} + \gamma v + f_1 = 0$$

или

$$\frac{\partial^2 v}{\partial \xi^2} - \frac{\partial^2 v}{\partial \eta^2} + \gamma u + f_1 = 0;$$

уравнение параболического типа -- к виду

$$\frac{\partial^2 v}{\partial \xi^2} + b_2 \frac{\partial v}{\partial \eta} + f_1 = 0;$$

уравнение эллиптического типа -- к виду

$$\frac{\partial^2 v}{\partial \xi^2} + \frac{\partial^2 v}{\partial \eta^2} + \gamma v + f_1 = 0.$$

3. Привести к каноническому виду уравнения:

$$1) 3 \frac{\partial^2 u}{\partial x^2} + 2 \frac{\partial^2 u}{\partial x \partial y} - \frac{\partial^2 u}{\partial y^2} + 2 \frac{\partial u}{\partial x} + 3 \frac{\partial u}{\partial y} = 0;$$

$$2) \frac{\partial^2 u}{\partial x^2} + 4 \frac{\partial^2 u}{\partial x \partial y} + 5 \frac{\partial^2 u}{\partial y^2} + \frac{\partial u}{\partial x} + 2 \frac{\partial u}{\partial y} = 0;$$

$$3) \frac{\partial^2 u}{\partial x^2} + 2 \frac{\partial^2 u}{\partial x \partial y} + \frac{\partial^2 u}{\partial y^2} + 3 \frac{\partial u}{\partial x} - 5 \frac{\partial u}{\partial y} + 4u = 0;$$

$$4) \frac{\partial^2 u}{\partial x^2} - 2 \frac{\partial^2 u}{\partial x \partial y} + \frac{\partial^2 u}{\partial y^2} + 2 \frac{\partial u}{\partial x} + \frac{\partial u}{\partial y} + 4u = 0;$$

$$5) \frac{\partial^2 u}{\partial x^2} + 4 \frac{\partial^2 u}{\partial x \partial y} + 3 \frac{\partial^2 u}{\partial y^2} + 5 \frac{\partial u}{\partial x} + \frac{\partial u}{\partial y} + 4u = 0;$$

$$6) x^2 \frac{\partial^2 u}{\partial x^2} + 2xy \frac{\partial^2 u}{\partial x \partial y} + y^2 \frac{\partial^2 u}{\partial y^2} = 0;$$

$$7) 4y^2 \frac{\partial^2 u}{\partial x^2} - e^{2x} \frac{\partial^2 u}{\partial y^2} - 4y^2 \frac{\partial u}{\partial x} = 0;$$

$$8) y^2 \frac{\partial^2 u}{\partial x^2} + 2xy \frac{\partial^2 u}{\partial x \partial y} + 2x^2 \frac{\partial^2 u}{\partial y^2} + y \frac{\partial u}{\partial y} = 0;$$

$$9) 2 \frac{\partial^2 u}{\partial x^2} + 2 \frac{\partial^2 u}{\partial x \partial y} + \frac{\partial^2 u}{\partial y^2} + 4 \frac{\partial u}{\partial x} + 4 \frac{\partial u}{\partial y} + u = 0;$$

$$10) \frac{\partial^2 u}{\partial x^2} - 2x \frac{\partial^2 u}{\partial x \partial y} + x^2 \frac{\partial^2 u}{\partial y^2} - 2 \frac{\partial u}{\partial y} = 0.$$

4. Найти общее решение уравнений:

$$1) \frac{\partial^2 u}{\partial x^2} - 2 \sin(x) \frac{\partial^2 u}{\partial x \partial y} - \cos^2(x) \frac{\partial^2 u}{\partial y^2} - \cos(x) \frac{\partial u}{\partial y} = 0;$$

$$2) x^2 \frac{\partial^2 u}{\partial x^2} - y^2 \frac{\partial^2 u}{\partial y^2} - 2y \frac{\partial u}{\partial y} = 0;$$

$$3) x^2 \frac{\partial^2 u}{\partial x^2} - 2xy \frac{\partial^2 u}{\partial x \partial y} + y^2 \frac{\partial^2 u}{\partial y^2} + x \frac{\partial u}{\partial x} + y \frac{\partial u}{\partial y} = 0;$$

$$4) 3 \frac{\partial^2 u}{\partial x^2} + 2 \frac{\partial^2 u}{\partial x \partial y} - \frac{\partial^2 u}{\partial y^2} + 2 \frac{\partial u}{\partial x} + 3 \frac{\partial u}{\partial y} = 0;$$

$$5) 4y^2 \frac{\partial^2 u}{\partial x^2} - e^{2x} \frac{\partial^2 u}{\partial y^2} - 4y^2 \frac{\partial u}{\partial x} = 0.$$

5. Найти решение уравнения

$$\frac{\partial^2 u}{\partial t^2} = \frac{\partial^2 u}{\partial x^2}, \quad -\infty < x < +\infty, \quad t > 0,$$

удовлетворяющее начальным условиям

$$u|_{t=0} = \sin(x), \quad \frac{\partial u}{\partial t}|_{t=0} = 0$$

(задача Коши).

6. Найти решение уравнения

$$\frac{\partial^2 u}{\partial t^2} = 4 \frac{\partial^2 u}{\partial x^2}, \quad -\infty < x < +\infty, \quad t > 0,$$

удовлетворяющее начальным условиям

$$u|_{t=0} = 0, \quad \frac{\partial u}{\partial t}|_{t=0} = A \sin(x)$$

(задача Коши).

7. Бесконечной струне сообщена только на отрезке $(-c, c)$ поперечная начальная скорость $V_0 = \text{const}$. Решить задачу о колебаниях этой струны. Построить профиль струны для моментов времени $t_k = (c/2v)k$, $k = 1, 2, 3$.

8. Найти решение уравнения

$$\frac{\partial^2 u}{\partial t^2} = \frac{\partial^2 u}{\partial x^2}, \quad -\infty < x < +\infty, \quad t > 0,$$

если

$$u|_{t=0} = x^2, \quad \frac{\partial u}{\partial t}|_{t=0} = 0.$$

9. Найти решение уравнения

$$\frac{\partial^2 u}{\partial t^2} = 4 \frac{\partial^2 u}{\partial x^2}, \quad -\infty < x < +\infty, \quad t > 0,$$

если

$$u|_{t=0} = 0, \quad \frac{\partial u}{\partial t}|_{t=0} = x.$$

10. Найти форму струны, определяемой уравнением

$$\frac{\partial^2 u}{\partial t^2} = v^2 \frac{\partial^2 u}{\partial x^2}, \quad -\infty < x < +\infty, \quad t > 0,$$

в момент времени $t = \pi/2v$, если

$$u|_{t=0} = \sin(x), \quad \frac{\partial u}{\partial t}|_{t=0} = 1.$$

11. Найти решение уравнения

$$\frac{\partial^2 u}{\partial t^2} = \frac{\partial^2 u}{\partial x^2}, \quad -\infty < x < +\infty, \quad t > 0,$$

если

$$u|_{t=0} = x, \quad \frac{\partial u}{\partial t}|_{t=0} = -x.$$

12. Найти решение уравнения

$$\frac{\partial^2 u}{\partial t^2} = v^2 \frac{\partial^2 u}{\partial x^2}, \quad -\infty < x < +\infty, \quad t > 0,$$

если

$$u|_{t=0} = 0, \quad \frac{\partial u}{\partial t}|_{t=0} = \cos(x).$$

13. Найти форму струны, определяемой уравнением

$$\frac{\partial^2 u}{\partial t^2} = \frac{\partial^2 u}{\partial x^2}, \quad -\infty < x < +\infty, \quad t > 0,$$

в момент времени $t = \pi$, если

$$u|_{t=0} = \sin(x), \quad \frac{\partial u}{\partial t}|_{t=0} = \cos(x).$$

Примеры решения типовых задач

Пример 1. Привести к каноническому виду уравнение

$$x^2 \frac{\partial^2 u}{\partial x^2} - y^2 \frac{\partial^2 u}{\partial y^2} = 0, \quad x > 0, \quad y > 0,$$

и найти его общее решение.

Решение. Определим сначала тип уравнения. Имеем

$$A = x^2, \quad B = 0, \quad C = -y^2 \Rightarrow \Delta = AC - B^2 = -x^2 y^2 < 0.$$

Следовательно, тип уравнения – гиперболический.

Составим характеристическое уравнение

$$x^2 dy^2 - y^2 dx^2 = 0.$$

Это уравнение распадается на два уравнения с разделяющимися переменными

$$x dy - y dx = 0, \quad x dy + y dx = 0.$$

Откуда находим

$$xy = C_1, \quad \frac{y}{x} = C_2.$$

Таким образом, прямые $y = C_2x$ и гиперболы $y = \frac{C_1}{x}$ являются характеристиками заданного уравнения.

Преобразуем теперь заданное уравнение к каноническому виду. Для этого, согласно общей теории, введем новые переменные по формулам

$$\xi = xy, \quad \eta = \frac{y}{x}.$$

Используя формулы (2.53) и (2.54), найдем $\frac{\partial^2 u}{\partial x^2}$ и $\frac{\partial^2 u}{\partial y^2}$:

$$\begin{aligned} \frac{\partial^2 u}{\partial x^2} &= y^2 \frac{\partial^2 u}{\partial \xi^2} - 2 \frac{y^2}{x^2} \frac{\partial^2 u}{\partial \xi \partial \eta} + \frac{y^2}{x^4} \frac{\partial^2 u}{\partial \eta^2} + 2 \frac{y}{x^3} \frac{\partial u}{\partial \eta}, \\ \frac{\partial^2 u}{\partial y^2} &= x^2 \frac{\partial^2 u}{\partial \xi^2} + 2 \frac{\partial^2 u}{\partial \xi \partial \eta} + \frac{1}{x^2} \frac{\partial^2 u}{\partial \eta^2}. \end{aligned}$$

Подставляя эти значения вторых производных в исходное уравнение, окончательно получим

$$\frac{\partial^2 u}{\partial \xi \partial \eta} - \frac{1}{2\xi} \frac{\partial u}{\partial \eta} = 0, \quad \xi > 0, \quad \eta > 0.$$

Последнее уравнение можно проинтегрировать. Для этого перепишем его в виде

$$\frac{\partial}{\partial \xi} \left(\frac{\partial u}{\partial \eta} \right) - \frac{1}{2\xi} \frac{\partial u}{\partial \eta} = 0.$$

Введем теперь новую неизвестную функцию $v(\xi, \eta) = \frac{\partial u}{\partial \eta}$. Будем иметь

$$\frac{\partial v}{\partial \xi} - \frac{v}{2\xi} = 0 \Rightarrow \frac{dv}{v} = \frac{d\xi}{2\xi} \Rightarrow \ln|v| = \frac{1}{2} \ln|\xi| + \ln|f(\eta)|,$$

где $f(\eta)$ — произвольная функция η . После потенцирования получим

$$v = f(\eta) \sqrt{\xi}.$$

Далее,

$$\frac{\partial u}{\partial \eta} = v(\xi, \eta) \Rightarrow \frac{\partial u}{\partial \eta} = f(\eta) \sqrt{\xi} \Rightarrow u = \sqrt{\xi} \int f(\eta) d\eta + \psi(\xi),$$

где $\psi(\xi)$ — произвольная функция ξ . Обозначив

$$\varphi(\eta) = \int f(\eta) d\eta,$$

окончательно получим

$$u = \sqrt{\xi} \varphi(\eta) + \psi(\xi),$$

где $\psi(\xi)$ и $\varphi(\eta)$ — произвольные функции ξ и η соответственно.

Возвращаясь к старым переменным x и y , получим

$$u = \sqrt{xy} \varphi\left(\frac{y}{x}\right) + \psi(xy).$$

Пример 2. Привести к каноническому виду уравнение

$$x^2 \frac{\partial^2 u}{\partial x^2} + 2xy \frac{\partial^2 u}{\partial x \partial y} + y^2 \frac{\partial^2 u}{\partial y^2} = 0, \quad x > 0,$$

и найти его общее решение.

Решение. Определим тип уравнения. Имеем

$$A = x^2, B = xy, C = y^2 \Rightarrow \Delta = AC - B^2 = x^2 y^2 - x^2 y^2 = 0.$$

Следовательно, тип уравнения — параболический.

Составим характеристическое уравнение

$$x^2 dy^2 - 2xy dx dy + y^2 dx^2 = 0 \Rightarrow (x dy - y dx)^2 = 0 \Rightarrow x dy - y dx = 0.$$

Разделяя переменные и интегрируя, получим одно семейство характеристик

$$\frac{y}{x} = C.$$

Это — семейство прямых. Новые переменные вводим по формулам

$$\xi = \frac{y}{x}, \eta = y.$$

Выбор второй функции сделан с учетом того, чтобы она была наиболее простой, но так, чтобы функциональный определитель Остроградского для преобразования переменных был отличен от нуля.

Находим теперь

$$\begin{aligned} \frac{\partial^2 u}{\partial x^2} &= \frac{y^2}{x^4} \frac{\partial^2 u}{\partial \xi^2} + 2 \frac{y}{x^3} \frac{\partial u}{\partial \xi}; \\ \frac{\partial^2 u}{\partial x \partial y} &= -\frac{y}{x^3} \frac{\partial^2 u}{\partial \xi^2} - \frac{y}{x^2} \frac{\partial^2 u}{\partial \xi \partial \eta} - \frac{1}{x^2} \frac{\partial u}{\partial \xi}; \\ \frac{\partial^2 u}{\partial y^2} &= \frac{1}{x^2} \frac{\partial^2 u}{\partial \xi^2} + \frac{2}{x} \frac{\partial^2 u}{\partial \xi \partial \eta} + \frac{\partial^2 u}{\partial \eta^2}. \end{aligned}$$

Подставляя полученные выражения производных в заданное уравнение, окончательно получим каноническую форму этого уравнения

$$\frac{\partial^2 u}{\partial \eta^2} = 0.$$

Полученное уравнение легко интегрируется. Будем иметь

$$\frac{\partial u}{\partial \eta} = f(\xi) \Rightarrow u = \int f(\xi) d\eta + \varphi(\xi)$$

или

$$u = f(\xi)\eta + \varphi(\xi),$$

где f и φ — произвольные функции.

Возвращаясь к старым переменным, получим общее решение заданного уравнения

$$u = f\left(\frac{y}{x}\right)y + \varphi\left(\frac{y}{x}\right).$$

Пример 3. Привести к каноническому виду уравнение

$$\frac{\partial^2 u}{\partial x^2} - 4 \frac{\partial^2 u}{\partial x \partial y} + 5 \frac{\partial^2 u}{\partial y^2} = 0.$$

Решение. Определим тип уравнения. Имеем

$$A = 1, B = -2, C = 5 \Rightarrow \Delta = AC - B^2 = 5 - 4 = 1 > 0.$$

Следовательно, тип уравнения — эллиптический.

Составим характеристическое уравнение

$$dy^2 + 4dx dy + 5dx^2 = 0.$$

Это уравнение распадается на два следующих уравнения

$$y' = -2 + i, \quad y' = -2 - i.$$

Интегрируя их, найдем два общих интеграла характеристического уравнения

$$y = (-2 + i)x + C_1, \quad y = (-2 - i)x + C_2.$$

Введем обозначения

$$\begin{aligned} \varphi &= y - (-2 + i)x, \quad \varphi^* = y + (2 + i)x, \\ \alpha &= \frac{\varphi + \varphi^*}{2} = y + 2x, \quad \beta = \frac{\varphi - \varphi^*}{2i} = -x. \end{aligned}$$

Согласно общей теории, нужно ввести новые переменные α и β по формулам

$$\xi = \alpha + i\beta = y + 2x - ix, \quad \eta = \alpha - i\beta = y + 2x + ix.$$

Вычисляя производные по формулам (2.53)–(2.55), после всех преобразований окончательно получим канонический вид заданного уравнения

$$\frac{\partial^2 u}{\partial \xi^2} + \frac{\partial^2 u}{\partial \eta^2} = 0.$$

(Проверьте!)

Пример 4. Привести к каноническому виду уравнение

$$\frac{\partial^2 u}{\partial x^2} - 6 \frac{\partial^2 u}{\partial x \partial y} + 10 \frac{\partial^2 u}{\partial y^2} + \frac{\partial u}{\partial x} - 3 \frac{\partial u}{\partial y} = 0.$$

Решение. Воспользуемся для решения задачи системой аналитических вычислений Maple. Для знакомства с этой системой можно рекомендовать книги [7] и [17]. Будем рассматривать уравнение общего вида

$$a_1 \frac{\partial^2 u}{\partial x^2} + a_2 \frac{\partial^2 u}{\partial x \partial y} + a_3 \frac{\partial^2 u}{\partial y^2} + a_4 \frac{\partial u}{\partial x} + a_5 \frac{\partial u}{\partial y} + a_6 u + a_7 = 0.$$

Зададим коэффициенты нашего уравнения

$$\mathbf{a} := 1, -6, 10, 1, -3, 0, 0;$$

$$\mathbf{a} := 1, -6, 10, 1, -3, 0, 0$$

и само уравнение

```
> equ:=a[1]*diff(u(x,y),x,x)+a[2]*diff(u(x,y),x,y)+
a[3]*diff(u(x,y),y,y)+a[4]*diff(u(x,y),x)+
a[5]*diff(u(x,y),y)+a[6]*u(x,y)+a[7]=0:
```

$$equ := \left(\frac{\partial^2}{\partial x^2} u(x, y) \right) - 6 \left(\frac{\partial^2}{\partial y \partial x} u(x, y) \right) + 10 \left(\frac{\partial^2}{\partial y^2} u(x, y) \right) + \left(\frac{\partial}{\partial x} u(x, y) \right) - 3 \left(\frac{\partial}{\partial y} u(x, y) \right) = 0$$

Вычисляем матрицу старших коэффициентов и ее определитель

```
> eq:=lhs(equ):
```

$$eq := \left(\frac{\partial^2}{\partial x^2} u(x, y) \right) - 6 \left(\frac{\partial^2}{\partial y \partial x} u(x, y) \right) + 10 \left(\frac{\partial^2}{\partial y^2} u(x, y) \right) + \left(\frac{\partial}{\partial x} u(x, y) \right) - 3 \left(\frac{\partial}{\partial y} u(x, y) \right)$$

```
> A:= linalg[matrix](2,2,[coeff(eq,diff(u(x,y),x,x)),
coeff(eq,diff(u(x,y),x,y))/2,coeff(eq,diff(u(x,y),x,y))/2,
coeff(eq,diff(u(x,y),y,y))]);
> Delta:=simplify(linalg[det](A)):
```

$$A := \begin{bmatrix} 1 & -3 \\ -3 & 10 \end{bmatrix}$$

$$\Delta := 1$$

Так как определитель матрицы старших коэффициентов $\Delta > 0$, то тип уравнения — эллиптический.

Формируем характеристическое уравнение и решаем его

```
> A[1,1]*z^2-2*A[1,2]*z+A[2,2]=0:
res1:=solve(A[1,1]*z^2-2*A[1,2]*z+A[2,2],z):
```

$$z^2 + 6z + 10 = 0$$

$$res1 := -3 + I, -3 - I$$

```
> res2:={seq(dsolve(diff(y(x),x)=res1[i],y(x)),i=1..2)}:
```

$$res2 := \{y(x) = -(3 - I)x + _C1, y(x) = -(3 + I)x + _C1\}$$

Таким образом, мы получили две комплексные характеристики.

Выполняем замену переменных

```
> res2:=subs(y(x)=y,res2):
```

$$res2 := \{y = -(3 - I)x + _C1, y = -(3 + I)x + _C1\}$$

```
> {seq(solve(res2[i],\_C1),i=1..nops(res2))};
```

$$\{y + 3x + xI, y + 3x - xI\}$$

```
itr:= {xi=coeff(%[1],I).eta=%[1]-coeff(%[1],I)*I};
```

$$itr := \{\eta = y + 3x, \xi = x\}$$

Теперь приводим заданное уравнение к канонической форме

```
> tr:=solve(itr,{x,y}):
```

```
PDEtools[dchange](tr,eq,itr,[eta,x1],simplify)=0:
```

$$tr := \{y = \eta - 3\xi, x = \xi\}$$

$$\left(\frac{\partial^2}{\partial \eta^2} u(\eta, \xi)\right) + \left(\frac{\partial^2}{\partial \xi^2} u(\eta, \xi)\right) + \left(\frac{\partial}{\partial \xi} u(\eta, \xi)\right) = 0$$

Пример 5. Привести к каноническому виду уравнение

$$4 \frac{\partial^2 u}{\partial x^2} + 4 \frac{\partial^2 u}{\partial x \partial y} + \frac{\partial^2 u}{\partial y^2} - 2 \frac{\partial u}{\partial y} = 0.$$

Решение. Решаем задачу в системе аналитических вычислений Maple. Задаем уравнение

> a:= 4.4,1.0.-2.0.0;

$$a := 4, 4, 1, 0, -2, 0, 0$$

> equ:=a[1]*diff(u(x,y),x,x)+a[2]*diff(u(x,y),x,y)+
a[3]*diff(u(x,y),y,y)+a[4]*diff(u(x,y),x)+
a[5]*diff(u(x,y),y)+a[6]*u(x,y)+a[7]=0;

$$equ := 4 \left(\frac{\partial^2}{\partial x^2} u(x, y)\right) + 4 \left(\frac{\partial^2}{\partial y \partial x} u(x, y)\right) + \left(\frac{\partial^2}{\partial y^2} u(x, y)\right) - 2 \left(\frac{\partial}{\partial y} u(x, y)\right) = 0$$

Вычисляем матрицу старших коэффициентов и ее определитель

> eq:=lhs(equ);

$$eq := 4 \left(\frac{\partial^2}{\partial x^2} u(x, y)\right) + 4 \left(\frac{\partial^2}{\partial y \partial x} u(x, y)\right) + \left(\frac{\partial^2}{\partial y^2} u(x, y)\right) - 2 \left(\frac{\partial}{\partial y} u(x, y)\right)$$

> A:= linalg[matrix](2,2,[coeff(eq,diff(u(x,y),x,x)),
coeff(eq,diff(u(x,y),x,y))/2,coeff(eq,diff(u(x,y),x,y))/2,
coeff(eq,diff(u(x,y),y,y))]);
> Delta:=simplify(linalg[det](A));

$$A := \begin{bmatrix} 4 & 2 \\ 2 & 1 \end{bmatrix}$$

$$\Delta := 0$$

Так как определитель матрицы старших коэффициентов $\Delta = 0$, то тип уравнения — параболический.

Формируем характеристическое уравнение и решаем его

> A[1,1]*z^2-2*A[1,2]*z+A[2,2]=0;
res1:=solve(A[1,1]*z^2-2*A[1,2]*z+A[2,2].z);

$$4z^2 - 4z + 1 = 0$$

$$res1 := \frac{1}{2}, \frac{1}{2}$$

> subs(y=y(x),res1[1]);res2:=dsolve(diff(y(x),x)=%,y(x));

$$\frac{1}{2}$$

$$res2 := y(x) = \frac{x}{2} + _C1$$

Получили одно семейство характеристик. Вводим замену переменных

```
> res2:=subs(y(x)=y,res2):
```

$$res2 := y = \frac{x}{2} + _C1$$

```
> itr:={xi=solve(res2,_C1).eta=y}:
```

$$itr := \{ \xi = y - \frac{x}{2}, \eta = y \}$$

Приводим заданное уравнение к каноническому виду

```
> tr:=solve(itr,{x,y}):
```

```
PDEtools[dchange](tr.eq,itr,[eta,xi],simplify)=0:
```

$$tr := \{ y = \eta, x = -2\xi + 2\eta \}$$

$$\left(\frac{\partial^2}{\partial \eta^2} u(\eta, \xi) \right) - 2 \left(\frac{\partial}{\partial \xi} u(\eta, \xi) \right) - 2 \left(\frac{\partial}{\partial \eta} u(\eta, \xi) \right) = 0$$

Обратим внимание: если выбрать другую замену переменных

```
> itr:={xi=solve(res2,_C1).eta=x}:
```

$$itr := \{ \xi = y - \frac{x}{2}, \eta = x \}$$

то приходим к уравнению вида

```
> tr:=solve(itr,{x,y}):
```

```
PDEtools[dchange](tr.eq,itr,[eta,xi],simplify)=0:
```

$$tr := \{ x = \eta, y = \xi + \frac{\eta}{2} \}$$

$$4 \left(\frac{\partial^2}{\partial \eta^2} u(\eta, \xi) \right) - 2 \left(\frac{\partial}{\partial \xi} u(\eta, \xi) \right) = 0$$

Приведем программу, автоматизирующую преобразования по приведению линейных уравнений второго порядка с двумя независимыми переменными к канонической форме. Программа приводит к канонической форме уравнение следующего общего вида:

$$a_1 \frac{\partial^2 u}{\partial x^2} + a_2 \frac{\partial^2 u}{\partial x \partial y} + a_3 \frac{\partial^2 u}{\partial y^2} + a_4 \frac{\partial u}{\partial x} + a_5 \frac{\partial u}{\partial y} = 0.$$

Формальным параметром программы служит именно это уравнение, так как при замене переменных преобразовывается только та часть уравнения, которая содержит производные. Если уравнение содержит еще и члены с отличными от нуля коэффициентами a_6 и a_7 , то эти члены просто необходимо добавить в преобразованное уравнение (после окончания работы программы), конечно, с учетом преобразования независимых переменных.

Программа имеет два глобальных параметра: параметр, который содержит формулы замены переменных, и параметр, который содержит преобразованное уравнение. Эти переменные можно независимо использовать в последующей работе. Например, можно перейти к другой канонической форме гиперболического уравнения, содержащей смешанную вторую производную (программа преобразо-

ывает квадратичную форму, соответствующую матрице старших коэффициентов, к сумме квадратов).

Еще одна особенность программы — классификация типов уравнений выполняется не по определителю квадратичной формы, он может зависеть от переменных, а по характеристикам, которые тоже однозначно определяют тип уравнения.

Алгоритм программы достаточно прозрачен. При необходимости ее можно легко модернизировать под те или иные нужды.

```
> canonical_form:=proc(equ)
> global change_of_variables.eq_can;
> local
> k,A,B,it,J,eq_n,r,tr,i,itr,eq_type,mu,eq;
> characteristics;
> eq:= lhs(equ);
> A:= linalg[matrix](2,2,[coeff(eq,diff(u(x,y),x,x)),
> coeff(eq,diff(u(x,y),x,y))/2,
> coeff(eq,diff(u(x,y),x,y))/2,
> coeff(eq,diff(u(x,y),y,y))]);
> simplify({solve(A[1,1]*z^2-2*A[1,2]*z+A[2,2],z)});
> simplify(% ,power):simplify(% ,power,symbolic);
> subs(y=y(x),%);
> if type(%[1],***) and has(%[1],y) and has(%[1],I) then
> mu:= 1/select(has,%[1],y);
> {seq(int(expand((diff(y(x),x)+%%[i])*mu),x)=_C1,
> i=1..nops(%%))};
> else
> {seq(dsolve(diff(y(x),x)=%[i],y(x)),i=1..nops(%%))};
> end if;
> characteristics:=subs(y(x)=y,%);
> print(`Характеристики`):print(characteristics);
> {seq(solve(characteristics[i],_C1),
> i=1..nops(characteristics))};
> if nops(%)=1 and not hastype(% ,nonreal) then
> itr:={xi=%[1],eta=x}; # либо eta=y
> eq_type:=`параболический тип`;
> elif not hastype(% ,nonreal) then
> itr:={xi=(%[1]+%[2])/2,eta=(%[2]-%[1])/2};
> eq_type:=`гиперболический тип`;
> else
> itr:={xi=coeff(%[1],I),eta=%[1]-coeff(%[1],I)*I};
> eq_type:=`эллиптический тип`;
> end if;
> itr:=simplify(itr):indets(itr);
> select(has,% ,[x,y]);
> k:= solve(itr,%);
> it:= convert(itr,list);
> if has(%[1],eta) then it:= [%[2],%[1]] end if;
> J:= jacobian([rhs(it[1]),rhs(it[2])],[x,y]);
> B:= map(simplify,evalm(J&*A&*transpose(J)));
> eq_n:= B[1,1]*Diff(u,xi,xi)+2*B[1,2]*Diff(u,xi,eta)+
> B[2,2]*Diff(u,eta,eta)+
> simplify(subs(u(x,y)=rhs(it[1]),eq))*Diff(u,xi)+
```

```

> simplify(subs(u(x,y)=rhs(it[2]),eq))*Diff(u,eta);
> eq_n:= expand(eq_n);
> k union map(x->1/lhs(x)=1/rhs(x),k);
> subs(%eq_n);
> if eq_type=`параболический тип` then
> simplify(solve(%Diff(u,eta,eta)));
> r:= simplify(subs(k,numer(%))/subs(k,denom(%)));
> if has(%,[x,y]) then
> tr:= solve(itr,{x,y});
> if has(%RootOf) then tr:= allvalues(%)[1] end if;
> simplify(expand(subs(tr,r)));
> end if;
> eq_can:= Diff(u,eta,eta)-%=0;
> end if;
> if eq_type=`гиперболический тип` then
> simplify(solve(eq_n,Diff(u,eta,eta)));
> r:= simplify(subs(k,numer(%))/subs(k,denom(%)));
> if has(%,[x,y]) then tr:= solve(itr,{x,y});
> if has(%RootOf) then tr:= allvalues(%)[1] end if;
> simplify(expand(subs(tr,r)));
> end if;
> eq_can:= Diff(u,eta,eta)-Diff(u,xi,xi)-
> simplify(%-Diff(u,xi,xi))=0;
> end if;
> if eq_type=`эллиптический тип` then
> simplify(solve(%Diff(u,xi,xi)));
> r:= simplify(subs(k,numer(%))/subs(k,denom(%)));
> if has(%,[x,y]) then tr:= solve(itr,{x,y});
> if has(%RootOf) then tr:= allvalues(%)[1] end if;
> map(simplify,subs(tr,r),trig.power.symbolic);
> end if;
> eq_can:= Diff(u,eta,eta)+Diff(u,xi,xi)-
> simplify(%+Diff(u,eta,eta))=0;
> end if;
> change_of_variables:=itr;
> print(eq_type);print(`Замена переменных:`);print(itr);
> print(`Каноническая форма:`);
> eq_can:= value(subs(u=u(eta,xi),eq_can));
> RETURN(eq_can);
> end proc:

```

При выборе замены переменных в случае уравнения параболического типа одна из переменных назначается произвольно: $\eta = x$ либо $\eta = y$ (лишь бы она была независима от ξ и дифференцируема нужное число раз). От этого выбора иногда зависит окончательный вид уравнения.

Рассмотрим применение этой программы к решению задач.

Пример 6. Привести к каноническому виду уравнение

$$x^2 \frac{\partial^2 u}{\partial x^2} - 2x \frac{\partial^2 u}{\partial x \partial y} + \frac{\partial^2 u}{\partial y^2} = 0.$$

Решение. Для решения задачи воспользуемся программой `canonical_form`.

```
> a:= x^2, -2*x, 1, 0, 0;
equ:=a[1]*diff(u(x,y).x,x)+a[2]*diff(u(x,y).x,y)+
a[3]*diff(u(x,y).y,y)+a[4]*diff(u(x,y).x)+
a[5]*diff(u(x,y).y)=0;
canonical_form(equ):
```

$$a := x^2, -2x, 1, 0, 0$$

$$equ := x^2 \left(\frac{\partial^2}{\partial x^2} u(x, y) \right) - 2x \left(\frac{\partial^2}{\partial y \partial x} u(x, y) \right) + \left(\frac{\partial^2}{\partial y^2} u(x, y) \right) = 0$$

Характеристики:

$$\{y = -\ln(x) + _C1\}$$

параболический тип

Замена переменных:

$$\{\eta = y, \xi = y + \ln(x)\}$$

Каноническая форма:

$$\left(\frac{\partial^2}{\partial \eta^2} u(\eta, \xi) \right) - \left(\frac{\partial}{\partial \xi} u(\eta, \xi) \right) = 0$$

Тот же пример, но другая замена переменных

```
> canonical_form(equ):
```

Характеристики:

$$\{y = -\ln(x) + _C1\}$$

параболический тип

Замена переменных:

$$\{\eta = x, \xi = y + \ln(x)\}$$

Каноническая форма:

$$\left(\frac{\partial^2}{\partial \eta^2} u(\eta, \xi) \right) - \frac{\frac{\partial}{\partial \xi} u(\eta, \xi)}{\eta^2} = 0$$

Пример 7. В каждой области, где сохраняется тип уравнения, привести к каноническому виду уравнение

$$y \frac{\partial^2 u}{\partial x^2} - x \frac{\partial^2 u}{\partial y^2} = 0.$$

Решение. Для решения задачи воспользуемся программой `canonical_form`. Задаем уравнение

```
> a:= y, 0, -x, 0, 0;
```

$$a := y, 0, -x, 0, 0$$

```
> equ:= a[1]*diff(u(x,y).x,x)+a[2]*diff(u(x,y).x,y)+
a[3]*diff(u(x,y).y,y)+a[4]*diff(u(x,y).x)+
```

a[5]*diff(u(x,y),y)=0:

$$\text{equ} := y \left(\frac{\partial^2}{\partial x^2} u(x, y) \right) - x \left(\frac{\partial^2}{\partial y^2} u(x, y) \right) = 0$$

Рассматриваем уравнение в области $x < 0, y < 0$:

> assume(x<0,y<0):canonical_form(equ):

Характеристики:

$$\left\{ -\frac{2(-x)^{(3/2)}}{3} + \frac{2(-y)^{(3/2)}}{3} + _Cl = 0, -\frac{2(-x)^{(3/2)}}{3} - \frac{2(-y)^{(3/2)}}{3} + _Cl = 0 \right\}$$

гиперболический тип

Замена переменных:

$$\left\{ \xi = -\frac{2x\sqrt{-x}}{3}, \eta = -\frac{2y\sqrt{-y}}{3} \right\}$$

Каноническая форма:

$$\left(\frac{\partial^2}{\partial \eta^2} u(\eta, \xi) \right) - \left(\frac{\partial^2}{\partial \xi^2} u(\eta, \xi) \right) - \frac{1}{3} \frac{\left(\frac{\partial}{\partial \xi} u(\eta, \xi) \right) \eta - \left(\frac{\partial}{\partial \eta} u(\eta, \xi) \right) \xi}{\eta \xi} = 0$$

Рассматриваем уравнение в области $x > 0, y > 0$:

> assume(x>0,y>0):canonical_form(equ):

Характеристики:

$$\left\{ y^{(3/2)} + x^{(3/2)} - _Cl = 0, y^{(3/2)} - x^{(3/2)} - _Cl = 0 \right\}$$

гиперболический тип

Замена переменных:

$$\left\{ \xi = y^{(3/2)}, \eta = -x^{(3/2)} \right\}$$

Каноническая форма:

$$\left(\frac{\partial^2}{\partial \eta^2} u(\eta, \xi) \right) - \left(\frac{\partial^2}{\partial \xi^2} u(\eta, \xi) \right) - \frac{1}{3} \frac{\left(\frac{\partial}{\partial \xi} u(\eta, \xi) \right) \eta - \left(\frac{\partial}{\partial \eta} u(\eta, \xi) \right) \xi}{\eta \xi} = 0$$

Рассматриваем уравнение в области $x > 0, y < 0$:

> assume(x>0,y<0):canonical_form(equ):

Характеристики:

$$\left\{ \frac{2(-y)^{(3/2)}}{3} - \frac{2}{3} I x^{(3/2)} = _Cl, \frac{2(-y)^{(3/2)}}{3} + \frac{2}{3} I x^{(3/2)} = _Cl \right\}$$

эллиптический тип

Замена переменных:

$$\left\{ \xi = \frac{2x^{(3/2)}}{3}, \eta = -\frac{2y\sqrt{-y}}{3} \right\}$$

Каноническая форма:

$$\left(\frac{\partial^2}{\partial \eta^2} u(\eta, \xi)\right) + \left(\frac{\partial^2}{\partial \xi^2} u(\eta, \xi)\right) + \frac{1}{3} \frac{\left(\frac{\partial}{\partial \xi} u(\eta, \xi)\right) \eta + \left(\frac{\partial}{\partial \eta} u(\eta, \xi)\right) \xi}{\xi \eta} = 0$$

Рассматриваем уравнение в области $x < 0, y > 0$:

> assume(x<0,y>0):canonical_form(equ):

Характеристики:

$$\left\{ \frac{2y^{(3/2)}}{3} - \frac{2}{3} I(-x^{(3/2)}) = -CI, \frac{2y^{(3/2)}}{3} + \frac{2}{3} I(-x^{(3/2)}) = -CI \right\}$$

эллиптический тип

Замена переменных:

$$\left\{ \eta = \frac{2y^{(3/2)}}{3}, \xi = -\frac{2x\sqrt{-x}}{3} \right\}$$

Каноническая форма:

$$\left(\frac{\partial^2}{\partial \eta^2} u(\eta, \xi)\right) + \left(\frac{\partial^2}{\partial \xi^2} u(\eta, \xi)\right) + \frac{1}{3} \frac{\left(\frac{\partial}{\partial \xi} u(\eta, \xi)\right) \eta + \left(\frac{\partial}{\partial \eta} u(\eta, \xi)\right) \xi}{\xi \eta} = 0$$

Пример 8. Привести к каноническому виду уравнение

$$x^2 \frac{\partial^2 u}{\partial x^2} - y^2 \frac{\partial^2 u}{\partial y^2} = 0.$$

Решение. Для решения задачи воспользуемся программой `canonical_form`. Задаем уравнение

```
> a:= x^2.0,-y^2.0.0;
eq:=a[1]*diff(u(x,y).x,x)+a[2]*diff(u(x,y).x,y)+a[3]*diff(u(x,y).y,y)+a[4]*diff(u(x,y).
x)+a[5]*diff(u(x,y).y)=0;
canonical_form(eq):
```

$a := x^2, 0, -y^2, 0, 0$

$$eq := x^2 \left(\frac{\partial^2}{\partial x^2} u(x, y) \right) - y^2 \left(\frac{\partial^2}{\partial y^2} u(x, y) \right) = 0$$

Характеристики:

$$\left\{ y = \frac{CI}{x}, y = -CI x \right\}$$

гиперболический тип

Замена переменных:

$$\left\{ \xi = \frac{y(1+x^2)}{2x}, \eta = -\frac{y(-1+x^2)}{2x} \right\}$$

Каноническая форма:

$$\left(\frac{\partial^2}{\partial \eta^2} u(\eta, \xi)\right) - \left(\frac{\partial^2}{\partial \xi^2} u(\eta, \xi)\right) + \frac{\left(\frac{\partial}{\partial \xi} u(\eta, \xi)\right) + \left(\frac{\partial}{\partial \eta} u(\eta, \xi)\right)}{-\eta + \xi} = 0$$

Иногда бывает удобнее другая форма канонического уравнения

> eq_can:

$$\left(\frac{\partial^2}{\partial \eta^2} u(\eta, \xi)\right) - \left(\frac{\partial^2}{\partial \xi^2} u(\eta, \xi)\right) + \frac{\left(\frac{\partial}{\partial \xi} u(\eta, \xi)\right) + \left(\frac{\partial}{\partial \eta} u(\eta, \xi)\right)}{-\eta + \xi} = 0$$

> tr:={xi=t+tau,eta=t-tau};

> itr:={t=(xi+eta)/2,tau=(xi-eta)/2};

$$tr := \{\xi = t + \tau, \eta = t - \tau\}$$

$$itr := \left\{t = \frac{\eta}{2} + \frac{\xi}{2}, \tau = -\frac{\eta}{2} + \frac{\xi}{2}\right\}$$

> PDEtools[dchange](tr.lhs(eq_can),itr,[t,tau],simplify)=0:

$$\frac{1}{2} \frac{2 \left(\frac{\partial^2}{\partial \tau \partial t} u(t, \tau)\right) \tau - \left(\frac{\partial}{\partial t} u(t, \tau)\right)}{\tau} = 0$$

Последнее уравнение легко интегрируется (как в примере 1). Впрочем, общие решения этих канонических уравнений можно найти и с помощью Maple

> pdsolve(%):

$$u(t, \tau) = _F1(\tau) + _F2(t) \sqrt{\tau}$$

> pdsolve(eq_can):

$$u(\eta, \xi) = _F1(-\eta + \xi) + _F2(\eta + \xi) \sqrt{-\eta + \xi}$$

Пример 9. Найти общее решение уравнения с постоянными коэффициентами

$$\frac{\partial^2 u}{\partial x^2} - 2 \frac{\partial u}{\partial x \partial y} - 3 \frac{\partial^2 u}{\partial y^2} = 0.$$

Решение. Для решения задачи воспользуемся стандартными средствами Maple. Зададим уравнение

> eq:=diff(u(x,y).x,x)-2*diff(u(x,y).x,y)-3*diff(u(x,y).y,y)=0:

$$eq := \left(\frac{\partial^2}{\partial x^2} u(x, y)\right) - 2 \left(\frac{\partial^2}{\partial y \partial x} u(x, y)\right) - 3 \left(\frac{\partial^2}{\partial y^2} u(x, y)\right) = 0$$

Воспользуемся стандартной программой Maple — mapde(eq,canon). Эта программа преобразовывает исходное уравнение в возможно более простое, которое можно решить. Фактически, это еще один способ приведения заданного уравнения к каноническому виду. Разработчики системы, правда, предупреждают, что

команда всегда будет успешно выполнена, когда коэффициенты уравнения постоянны. С переменными коэффициентами команда успешно выполняется только иногда. Для того чтобы воспользоваться этой командой, надо подключить пакет PDEtools

```
> with(PDEtools):
```

```
> mapde(eq, canom):
```

$$\sqrt{16} \left(\frac{\partial^2}{\partial_{\xi_2} \partial_{\xi_1}} u(\xi_1, \xi_2) \right) \&where \{ \xi_1 = 3x + y, \xi_2 = \frac{x}{4} - \frac{y}{4} \}$$

```
> op(%):
```

$$\sqrt{16} \left(\frac{\partial^2}{\partial_{\xi_2} \partial_{\xi_1}} u(\xi_1, \xi_2) \right), \{ \xi_1 = 3x + y, \xi_2 = \frac{x}{4} - \frac{y}{4} \}$$

Найдем теперь общее решение полученного уравнения гиперболического типа с помощью команды pdsolve

```
> pdsolve(%[1]):
```

$$u(\xi_1, \xi_2) = _F2(\xi_1) + _F1(\xi_2)$$

Вернемся к старым переменным

```
> sol:=u(x,y)=subs(%[2],rhs(%)):
```

$$sol := u(x, y) = _F2(3x + y) + _F1\left(\frac{x}{4} - \frac{y}{4}\right)$$

Проверим найденное решение

```
> simplify(subs(sol,eq)):
```

$$\left(\frac{\partial^2}{\partial x^2} \left(_F2(3x + y) + _F1\left(\frac{x}{4} - \frac{y}{4}\right) \right) \right) - 2 \left(\frac{\partial^2}{\partial y \partial x} \left(_F2(3x + y) + _F1\left(\frac{x}{4} - \frac{y}{4}\right) \right) \right) - 3 \left(\frac{\partial^2}{\partial y^2} \left(_F2(3x + y) + _F1\left(\frac{x}{4} - \frac{y}{4}\right) \right) \right) = 0$$

```
> simplify(lhs(%)):
```

0

Пример 10. Найти общее решение уравнения с постоянными коэффициентами

$$3 \frac{\partial^2 u}{\partial x^2} - 5 \frac{\partial u}{\partial x \partial y} - 2 \frac{\partial^2 u}{\partial y^2} + 3 \frac{\partial u}{\partial x} + \frac{\partial u}{\partial y} = 2.$$

Решение. Зададим уравнение

```
> eq:=
```

```
3*diff(u(x,y),x,x)-5*diff(u(x,y),x,y)-2*diff(u(x,y),y,y)+3*diff(u(x,y),x)+diff(u(x,y),y)=2:
```

$$eq := 3 \left(\frac{\partial^2}{\partial x^2} u(x, y) \right) - 5 \left(\frac{\partial^2}{\partial y \partial x} u(x, y) \right) - 2 \left(\frac{\partial^2}{\partial y^2} u(x, y) \right) + 3 \left(\frac{\partial}{\partial x} u(x, y) \right) + \left(\frac{\partial}{\partial y} u(x, y) \right) = 2$$

Преобразуем к канонической форме

> mapde(eq, canom):

$$\left(\frac{1}{98} (3\sqrt{49} - 21)\sqrt{49} \left(\frac{\partial}{\partial \xi_2} u(\xi_1, \xi_2) \right) + \frac{1}{6} (3\sqrt{49} + 21) \left(\frac{\partial}{\partial \xi_1} u(\xi_1, \xi_2) \right) - 2 + \sqrt{49} \left(\frac{\partial^2}{\partial \xi_2 \partial \xi_1} u(\xi_1, \xi_2) \right) \right) \&where \{ \xi_1 = 2x + y, \xi_2 = \frac{x}{7} - \frac{3y}{7} \}$$

> op(%):

$$\frac{1}{98} (3\sqrt{49} - 21)\sqrt{49} \left(\frac{\partial}{\partial \xi_2} u(\xi_1, \xi_2) \right) + \frac{1}{6} (3\sqrt{49} + 21) \left(\frac{\partial}{\partial \xi_1} u(\xi_1, \xi_2) \right) - 2 + \sqrt{49} \left(\frac{\partial^2}{\partial \xi_2 \partial \xi_1} u(\xi_1, \xi_2) \right), \{ \xi_1 = 2x + y, \xi_2 = \frac{x}{7} - \frac{3y}{7} \}$$

Решим уравнение

> pdsolve(%[1]):

$$u(\xi_1, \xi_2) = _F1(\xi_2) + e^{(-\xi_2)} _F2(\xi_1) + \frac{2\xi_1}{7}$$

> sol:=u(x,y)=subs(%[2],rhs(%)):

$$sol := u(x, y) = _F1\left(\frac{x}{7} - \frac{3y}{7}\right) + e^{\left(-\frac{x}{7} + \frac{3y}{7}\right)} _F2(2x + y) + \frac{4x}{7} + \frac{2y}{7}$$

Проверим полученное решение

> simplify(subs(sol,eq)):

$$\begin{aligned} & 3 \left(\frac{\partial^2}{\partial x^2} \left(_F1\left(\frac{x}{7} - \frac{3y}{7}\right) + e^{\left(-\frac{x}{7} + \frac{3y}{7}\right)} _F2(2x + y) + \frac{4x}{7} + \frac{2y}{7} \right) \right) \\ & - 5 \left(\frac{\partial^2}{\partial y \partial x} \left(_F1\left(\frac{x}{7} - \frac{3y}{7}\right) + e^{\left(-\frac{x}{7} + \frac{3y}{7}\right)} _F2(2x + y) + \frac{4x}{7} + \frac{2y}{7} \right) \right) \\ & - 2 \left(\frac{\partial^2}{\partial y^2} \left(_F1\left(\frac{x}{7} - \frac{3y}{7}\right) + e^{\left(-\frac{x}{7} + \frac{3y}{7}\right)} _F2(2x + y) + \frac{4x}{7} + \frac{2y}{7} \right) \right) \\ & + 3 \left(\frac{\partial}{\partial x} \left(_F1\left(\frac{x}{7} - \frac{3y}{7}\right) + e^{\left(-\frac{x}{7} + \frac{3y}{7}\right)} _F2(2x + y) + \frac{4x}{7} + \frac{2y}{7} \right) \right) \\ & + \left(\frac{\partial}{\partial y} \left(_F1\left(\frac{x}{7} - \frac{3y}{7}\right) + e^{\left(-\frac{x}{7} + \frac{3y}{7}\right)} _F2(2x + y) + \frac{4x}{7} + \frac{2y}{7} \right) \right) = 2 \end{aligned}$$

> simplify(lhs(%)):

2

Пример 11. Найти общее решение уравнения с постоянными коэффициентами

$$\frac{\partial u}{\partial x \partial y} - 2 \frac{\partial u}{\partial x} - 3 \frac{\partial u}{\partial y} + 6u = 2e^{x+y}.$$

Решение. Зададим уравнение

> eq:=diff(u(x,y),x,y)-2*diff(u(x,y),x)-3*diff(u(x,y),y)+6*u(x,y)=2*exp(x+y):

$$eq := \left(\frac{\partial^2}{\partial y \partial x} u(x, y) \right) - 2 \left(\frac{\partial}{\partial x} u(x, y) \right) - 3 \left(\frac{\partial}{\partial y} u(x, y) \right) + 6 u(x, y) = 2 e^{(x+y)}$$

> mapde(eq, canom):

$$\left(\left(\frac{\partial^2}{\partial x \partial y} u(x, y) \right) - 2 \left(\frac{\partial}{\partial x} u(x, y) \right) - 3 \left(\frac{\partial}{\partial y} u(x, y) \right) + 6 u(x, y) - 2 e^{(x+y)} \right) \&where$$

the received pde is already in canom form

Система Maple сообщает нам, что уравнение уже имеет канонический вид. Решим это уравнение

> sol:=pdsolve(eq):

$$sol := u(x, y) = e^{(2y)} _F1(x) + e^{(3x)} _F2(y) + e^{(x+y)}$$

Выполним проверку найденного решения

> simplify(subs(sol, eq)):

$$\left(\frac{\partial^2}{\partial y \partial x} (e^{(2y)} _F1(x) + e^{(3x)} _F2(y) + e^{(x+y)}) \right) - 2 \left(\frac{\partial}{\partial x} (e^{(2y)} _F1(x) + e^{(3x)} _F2(y) + e^{(x+y)}) \right) - 3 \left(\frac{\partial}{\partial y} (e^{(2y)} _F1(x) + e^{(3x)} _F2(y) + e^{(x+y)}) \right) + 6 e^{(2y)} _F1(x) + 6 e^{(3x)} _F2(y) + 6 e^{(x+y)} = 2 e^{(x+y)}$$

> simplify(lhs(%)):

$$2 e^{(x+y)}$$

3 Метод Фурье

В этой главе мы приступаем к изучению одного из основных аналитических методов решения краевых задач математической физики — метода Фурье. *Метод Фурье*, или *метод разделения переменных*, является одним из наиболее распространенных методов решения уравнений с частными производными. Применение метода Фурье будет иметь успех, если уравнение задачи является линейным и относится к классу дифференциальных уравнений с разделяющимися переменными.

Помимо метода Фурье следует отметить и другие аналитические методы, базирующиеся на интегральных преобразованиях. Это — методы преобразования Фурье, Лапласа и другие методы интегральных преобразований в бесконечных пределах, метод Гринберга интегральных преобразований в конечных пределах, метод функций Грина. Некоторые из этих методов мы также изучим в дальнейшем.

Все перечисленные методы относятся к аналитическим методам решения задач математической физики. Они позволяют получить точное решение задачи в формульном виде. Правда, не всегда такое точное решение бывает удобно для исследования. Следует также иметь в виду, что не всегда точное решение может быть получено, и поэтому на практике часто бывает необходимо использовать приближенные методы решения краевых задач математической физики. В этих случаях могут быть использованы асимптотические или численные методы.

Уравнения с разделяющимися переменными

Как мы отметили ранее, метод Фурье основан на разделении переменных и применяется для решения линейных дифференциальных уравнений в частных производных. Именно последние уравнения занимают особое место в общей теории дифференциальных уравнений с частными производными. Это объясняется тем, что, с одной стороны, они составляют наиболее разработанную часть этой теории, а с другой стороны, описывая реальные физические процессы, линейные дифференциальные уравнения в частных производных находят многочисленные применения в физике и технике. Решения этих уравнений обладают рядом заме-

чательных свойств, напоминающих соответствующие свойства решений обыкновенных дифференциальных уравнений.

Напомним, что дифференциальное уравнение называется *линейным*, если неизвестная функция и все ее производные входят в это уравнение в первой степени и если оно не содержит членов с произведениями этих величин. Так, например, дифференциальное уравнение в частных производных второго порядка, линейное и *однородное* относительно неизвестной функции и ее производных, имеет вид

$$L(u) \equiv \sum_{i=1}^n \sum_{j=1}^n a_{ij}(x) \frac{\partial^2 u}{\partial x_i \partial x_j} + \sum_{i=1}^n b_i(x) \frac{\partial u}{\partial x_i} + c(x)u = 0, \quad (3.1)$$

где L — линейный дифференциальный оператор, $u = u(x_1, x_2, \dots, x_n)$ — искомая функция, коэффициенты этого уравнения — заданные функции от $x = (x_1, x_2, \dots, x_n)$.

Если правая часть уравнения отлична от нуля, то есть

$$L(u) = F(x),$$

где $F(x)$ — известная функция от $x = (x_1, x_2, \dots, x_n)$, то линейное уравнение называется *неоднородным*.

В основе важнейших методов интегрирования линейных уравнений в частных производных лежит общая для всех таких уравнений идея. Она заключается в свойстве решений, которое называется *принципом суперпозиции (наложения)*. Этот принцип можно высказать в виде следующей теоремы.

Принцип суперпозиции. *Если каждая из функций*

$$u_1(x), u_2(x), \dots, u_n(x)$$

является решением однородного линейного дифференциального уравнения $L(u) = 0$, то и их линейная комбинация

$$u(x) = C_1 u_1(x) + C_2 u_2(x) + \dots + C_n u_n(x),$$

где C_1, C_2, \dots, C_n — произвольные постоянные, также является решением этого уравнения.

Действительно, достаточно проверить, что $L(u) = 0$, если

$$L(u_1) = 0, L(u_2) = 0, \dots, L(u_n) = 0.$$

Используя правила дифференцирования, легко получаем цепочку равенств

$$L(u) = C_1 L(u_1) + C_2 L(u_2) + \dots + C_n L(u_n) = 0,$$

что и требовалось доказать.

Принцип суперпозиции допускает следующее важное обобщение на случай бесконечных рядов.

Обобщенный принцип суперпозиции. *Если каждая из функций*

$$u_1(x), u_2(x), \dots, u_n(x), \dots$$

является решением однородного линейного дифференциального уравнения ... , то ряд

$$u(x) = \sum_{n=1}^{\infty} C_n u_n(x)$$

также является решением этого уравнения, если он сходится к некоторой функции $u(x)$ и допускает почленное дифференцирование.

В самом деле, если все производные функции u , фигурирующие в уравнении $L(u) = 0$, вычисляются почленным дифференцированием ряда, то в силу линейности уравнения

$$L(u) = L\left(\sum_{n=1}^{\infty} C_n u_n\right) = \sum_{n=1}^{\infty} C_n L(u_n) = 0,$$

так как сходящиеся ряды можно складывать почленно. Тем самым доказано, что функция u удовлетворяет уравнению. В качестве достаточного условия для возможности почленного дифференцирования ряда мы постоянно будем пользоваться условием равномерной сходимости ряда

$$\sum_{n=1}^{\infty} C_n L(u_n),$$

получаемого после дифференцирования.

Как известно, принцип суперпозиции, аналогичный сформулированному ранее принципу для уравнения (3.1), имеет место и для обыкновенных линейных дифференциальных уравнений. Из теории этих уравнений известно также, что линейное уравнение n -го порядка имеет не более n линейно независимых решений. Поэтому в этом случае имеет смысл говорить лишь о линейной комбинации этих решений в числе не более n .

В случае же линейного уравнения в частных производных можно выбрать бесконечное множество линейно независимых частных решений¹. Это обстоятельство совместно с обобщенным принципом суперпозиции играет чрезвычайно важную роль в образовании решения уравнения в частных производных. Именно большой набор частных решений такого уравнения даст возможность выделить из общего решения то, которое должно удовлетворять, вообще говоря, произвольным дополнительным условиям.

Обобщение принципа суперпозиции идет еще дальше. Может оказаться, что решение уравнения в частных производных $L(u) = 0$ имеет вид $u(x, \xi)$, то есть зависит от некоторого параметра, изменяющегося в конечном или бесконечном промежутке (a, b) . Эта зависимость понимается так, что при всех значениях $\xi \in (a, b)$ функция $u(x, \xi)$ является решением уравнения, то есть $L(u(x, \xi)) \equiv 0$. Из предыдущего следует, что, в свою очередь, функция $v(\xi)u(x, \xi)$, где $v(\xi)$ — произвольная функция, будет также решением уравнения $L(u) = 0$. Как и ранее, интерес представляет бесконечная сумма выписанных решений. Но так как $v(\xi)$ зависит от непрерывно меняющегося параметра ξ , то это суммирование должно осуществляться при помощи интеграла. Таким образом, мы приходим к рассмотрению интеграла

¹ Бесконечное множество функций называется линейно независимым, если любое конечное множество этих функций линейно независимо.

$$\int_a^b v(\xi)u(x, \xi) d\xi.$$

Нетрудно убедиться, что этот интеграл является решением уравнения в частных производных $L(u) = 0$, конечно, при условиях его существования и законности выполнения операции дифференцирования по x под знаком интеграла.

Рассмотрим однородное линейное уравнение (3.1): $L(u) = 0$. Мы скажем, что это уравнение относится к классу уравнений с разделяющимися переменными, если оно допускает бесконечное множество решений в виде

$$u = \prod_{i=1}^n X_i(x_i), \quad (3.2)$$

причем все решения $X_i(x_i)$ получаются из обыкновенных дифференциальных уравнений подстановкой (3.2) в (3.1).

Для того чтобы переменные в уравнении (3.1) разделялись, необходимо, чтобы оператор L имел определенную структуру. В частности, переменные разделяются, если уравнение имеет вид

$$L(u) = L_1(u) + L_2(u) + \dots + L_n(u) = 0,$$

где L_1 — зависит только от x_1 , L_2 — зависит только от x_2 , L_n — зависит только от x_n . Например, если $n = 2$, то будем иметь

$$L(u) = L_1(u) + L_2(u) = 0. \quad (3.3)$$

Переменные разделяются, если оператор L имеет такой вид (в случае $n = 3$)

$$L(u) = L_1(u) + L_2(u) + g(x_2)L_3(u) = 0. \quad (3.4)$$

Рассмотрим подробнее методику разделения переменных на конкретных примерах. Если дано уравнение (3.1) с разделяющимися переменными, то все решения $X_i(x_i)$ в формуле (3.2) мы получим из обыкновенных дифференциальных уравнений путем подстановки (3.2) в (3.1). Пусть, например, уравнение имеет вид (3.3). Тогда это уравнение должно иметь решения вида $u(x_1, x_2) = X_1(x_1)X_2(x_2)$. Подставим это представление решения в уравнение (3.3), получим

$$X_2L_1(X_1) + X_1L_2(X_2) = 0 \Rightarrow \frac{L_1(X_1)}{X_1} + \frac{L_2(X_2)}{X_2} = 0. \quad (3.5)$$

В последнем уравнении одно слагаемое зависит только от x_1 , а другое — только от x_2 . Равенство (3.5) возможно лишь в случае, когда

$$\frac{L_1(X_1)}{X_1} = -\lambda, \quad \frac{L_2(X_2)}{X_2} = \lambda,$$

где $\lambda = \text{const}$. Таким образом, имеем обыкновенные дифференциальные уравнения

$$L_1(X_1) + \lambda X_1 = 0, \quad L_2(X_2) - \lambda X_2 = 0, \quad (3.6)$$

и разделение переменных осуществлено (число λ называется *параметром разделения*). Интегралы уравнений (3.6) зависят от параметра λ и постоянных интегрирования, то есть получаем бесконечную совокупность частных решений.

Рассмотрим уравнение (3.4). Покажем, что это уравнение допускает решение в виде $u(x_1, x_2, x_3) = X_1(x_1)X_2(x_2)X_3(x_3)$. После подстановки этого представления в (3.4) получим

$$X_2 X_3 L_1(X_1) + X_1 X_3 L_2(X_2) + g(x_2) X_1 X_2 L_3(X_3) = 0,$$

или

$$\frac{L_1(X_1)}{X_1} + \frac{L_2(X_2)}{X_2} + \frac{g(x_2)L_3(X_3)}{X_3} = 0. \quad (3.7)$$

Равенство (3.7) возможно лишь в случае

$$\frac{L_1(X_1)}{X_1} = -\lambda, \quad \frac{L_2(X_2)}{X_2} + \frac{g(x_2)L_3(X_3)}{X_3} = \lambda.$$

Таким образом, получаем одно обыкновенное дифференциальное уравнение

$$L_1(X_1) + \lambda X_1 = 0.$$

Имеем далее

$$\frac{L_2(X_2)}{g(x_2)X_2} - \frac{\lambda}{g(x_2)} + \frac{L_3(X_3)}{X_3} = 0. \quad (3.8)$$

Равенство (3.8) возможно лишь в случае, когда

$$\frac{L_3(X_3)}{X_3} = -\mu, \quad \frac{L_2(X_2)}{g(x_2)X_2} - \frac{\lambda}{g(x_2)} = \mu.$$

Откуда получаем еще два обыкновенных дифференциальных уравнения

$$L_3(X_3) + \mu X_3 = 0, \quad L_2(X_2) - [\mu g(x_2) + \lambda] X_2 = 0.$$

Иногда, чтобы добиться разделения переменных в некотором заданном уравнении, можно принять $u = f(x_1, x_2, \dots, x_n)w$. После подстановки такого выражения в уравнение $L(u) = 0$ с не разделяющимися переменными можно получить новое уравнение вида $M(w) = 0$, у которого переменные разделяются.

В задачах математической физики часто приходится сталкиваться с оператором Лапласа. Помимо уравнения Лапласа, как мы знаем, оператор Лапласа входит в уравнение теплопроводности, в волновое уравнение и в ряд других. Поэтому в случае, если в некоторой системе криволинейных координат переменные могут быть разделены в уравнении Лапласа, есть основания надеяться на то, что и многие более общие краевые задачи (в которые входит оператор Лапласа) могут быть решены методом Фурье. Самой простой и наиболее распространенной системой координат, в которой переменные в операторе Лапласа разделяются, является декартова прямоугольная система координат. В цилиндрической и сферической системах координат переменные в уравнении Лапласа также разделяются (читателю мы рекомендуем убедиться в этом самостоятельно). Существует одиннадцать координатных систем, в которых возможно разделение переменных в операторе Лапласа. Использование специальных координатных систем может оказаться удобным в том случае, если граничные условия заданы на поверхностях, являющихся координатными поверхностями в соответствующей системе

ортогональных координат. Так, например, если граничные условия заданы на сфере, удобно использовать сферические координаты, если границами являются цилиндрические и плоские области, следует перейти к цилиндрическим координатам, а если границей является сфероид, полезно использовать сфероидальную систему координат.

Задача об охлаждении пластины

Прежде чем начать систематическое изложение теории метода Фурье и общего алгоритма применения этого метода к решению краевых задач математической физики, рассмотрим пример, иллюстрирующий основные идеи, положенные в его основу.

Дана пластина толщиной a и бесконечной протяженности в двух других направлениях (рис. 3.1). Пусть задано некоторое начальное распределение температуры, зависящее только от координаты x . Требуется определить дальнейшее распределение температуры в пластине при условии, что стенки поддерживаются при нулевой температуре.

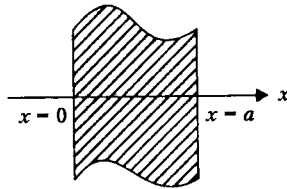


Рис. 3.1. Бесконечная пластина

Математическая постановка задачи. Процесс, очевидно, описывается следующим уравнением теплопроводности

$$\Delta T - \frac{c\rho}{k} \frac{\partial T}{\partial t} = 0,$$

которое рассматривается в области $0 < x < a$, $t > 0$.

Обозначим лишь для простоты записи $\tau = kt/(c\rho)$ (напомним, что здесь ρ — плотность, c — удельная теплоемкость, k — коэффициент теплопроводности). Тогда уравнение теплопроводности переписывается в виде

$$\frac{\partial^2 T}{\partial x^2} - \frac{\partial T}{\partial \tau} = 0, \quad 0 < x < a, \quad \tau > 0. \quad (3.9)$$

Сформулируем граничные и начальные условия. Граничные условия:

$$T|_{x=0} = 0, \quad T|_{x=a} = 0. \quad (3.10)$$

Начальное условие:

$$T|_{\tau=0} = \Phi(x). \quad (3.11)$$

В нашем случае уравнение (3.9) является уравнением с разделяющимися переменными, так как оператор этого уравнения имеет вид

$$L(T) = \frac{\partial^2 T}{\partial x^2} - \frac{\partial T}{\partial \tau} = L_x(T) + L_\tau(T), \quad L_x(T) = \frac{\partial^2 T}{\partial x^2}, \quad L_\tau(T) = -\frac{\partial T}{\partial \tau}.$$

Будем строить частное решение уравнения (3.9) в виде

$$T = X(x)Y(\tau). \quad (3.12)$$

Подставим (3.12) в (3.9), получим

$$YX'' - XY' = 0 \Rightarrow \frac{X''}{X} = \frac{Y'}{Y} = -\lambda.$$

Здесь штрих означает дифференцирование по соответствующей координате. Таким образом, получили два обыкновенных дифференциальных уравнения

$$X'' + \lambda X = 0, \quad Y' + \lambda Y = 0. \quad (3.13)$$

В силу граничных условий (3.10) будем иметь также

$$X(0) = 0, \quad X(a) = 0.$$

Рассмотрим следующую краевую задачу:

$$X'' + \lambda X = 0, \quad X(0) = 0, \quad X(a) = 0. \quad (3.14)$$

Особенностью этой задачи является то, что дифференциальное уравнение и граничные условия — однородные. Поэтому такая задача всегда имеет нулевое решение $X(x) = 0$. Это решение называется *тривиальным* решением. Очевидно, нас будут интересовать нетривиальные решения, не равные тождественно нулю $X(x) \neq 0$. Такие нетривиальные решения называются *собственными функциями* рассматриваемой краевой задачи (3.14). Нетривиальные решения существуют при определенных значениях параметра λ . Значения λ , при которых существуют нетривиальные решения задачи, называются *собственными значениями* этой задачи.

Найдем собственные значения и собственные функции задачи (3.14). Общее решение уравнения (3.14), очевидно, имеет вид

$$X(x) = A \cos(\sqrt{\lambda}x) + B \sin(\sqrt{\lambda}x), \quad A, B = \text{const}.$$

Из граничных условий находим

$$X(0) = 0 \Rightarrow A = 0, \quad X(a) = 0 \Rightarrow B \sin(\sqrt{\lambda}a) = 0.$$

Нас интересует нетривиальное решение, поэтому считаем, что $B \neq 0$. Тогда будем иметь

$$\sin(\sqrt{\lambda}a) = 0.$$

Откуда находим собственные значения задачи (3.14)

$$\lambda_n = \left(\frac{n\pi}{a}\right)^2, \quad n = 1, 2, \dots \quad (n \in N),$$

где N — множество натуральных чисел. Собственными функциями задачи (3.14) будут следующие функции, которые определяются с точностью до постоянного множителя:

$$X_n(x) = B_n \sin\left(\frac{n\pi x}{a}\right), \quad n = 1, 2, \dots$$

Отдельно следует рассмотреть случай $\lambda = 0$. В этом случае общее решение уравнения (3.14) дается формулой

$$X(x) = A + Bx.$$

Из граничных условий теперь будем иметь $A = 0$, $B = 0$. Таким образом, при $\lambda = 0$ получаем только тривиальное решение. Значит, $\lambda = 0$ не является собственным значением задачи (3.14).

Рассмотрим теперь второе уравнение (3.13)

$$Y' + \left(\frac{n\pi}{a}\right)^2 Y = 0. \quad (3.15)$$

Общий интеграл уравнения (3.15) имеет вид

$$Y_n(\tau) = C_n e^{\left(-\frac{n^2\pi^2}{a^2}\tau\right)}.$$

Таким образом, мы получили бесконечное множество частных решений исходного уравнения (3.9)

$$T = T_n = M_n e^{\left(-\frac{n^2\pi^2}{a^2}\tau\right)} \sin\left(\frac{n\pi}{a}x\right), \quad n = 1, 2, \dots$$

Каждое из этих решений удовлетворяет исходному уравнению (3.9) и граничным условиям (3.10), но не удовлетворяет начальному условию (3.11). Чтобы удовлетворить этому начальному условию, воспользуемся принципом суперпозиции и составим формальный ряд. Решение задачи запишем в виде

$$T = \sum_{n=1}^{\infty} M_n e^{\left(-\frac{n^2\pi^2}{a^2}\tau\right)} \sin\left(\frac{n\pi}{a}x\right). \quad (3.16)$$

Мы постулируем «достаточно хорошую» сходимость ряда (3.16), которая означает, что возможно почленное дифференцирование по x и τ под знаком суммы. Можно утверждать, что полученное решение удовлетворяет граничным условиям (3.10) при условии, что можно переходить к пределу под знаком суммы при $x \rightarrow 0$ и $x \rightarrow a$. Будем также предполагать, что под знаком суммы возможен предельный переход при $\tau \rightarrow 0$. Имеем тогда

$$T|_{\tau=0} = \sum_{n=1}^{\infty} M_n \sin\left(\frac{n\pi}{a}x\right), \quad 0 < x < a. \quad (3.17)$$

Основываясь на теории рядов Фурье и допуская, что функция $\Phi(x)$ разлагается в ряд Фурье, можно записать

$$M_n = \frac{2}{a} \int_0^a \Phi(x) \sin\left(\frac{n\pi}{a}x\right) dx.$$

Формально задача решена, при некоторых допущениях. Сделаем обоснование всех этих допущений. Проведем обоснование в предположении, что

$$\Phi(x) \in C^{(1)}([0, a]), \quad \Phi(0) = 0, \quad \Phi(a) = 0. \quad (3.18)$$

Простота обоснования определяется тем фактом, что при выполнении условий (3.18) функция $\Phi(x)$ разлагается в ряд Фурье, то есть

$$\Phi(x) = \sum_{n=1}^{\infty} M_n \sin\left(\frac{n\pi}{a} x\right),$$

$$M_n = \frac{2}{a} \int_0^a \Phi(x) \sin\left(\frac{n\pi}{a} x\right) dx, \quad x \in [0, a].$$

При этом сходится ряд

$$\sum_{n=1}^{\infty} |M_n|. \quad (3.19)$$

Опираясь на эти факты, докажем, что (3.16) есть решение нашей задачи. Будем рассматривать область $0 \leq x \leq a, \tau \geq 0$. Легко видеть, что ряд (3.16) мажорируется сходящимся рядом. Действительно,

$$\sum_{n=1}^{\infty} \left| M_n e^{\left(-\frac{n^2 \kappa^2}{a^2} \tau\right)} \sin\left(\frac{n\pi}{a} x\right) \right| \leq \sum_{n=1}^{\infty} |M_n|$$

для всех x и $\tau: 0 \leq x \leq a, \tau \geq 0$. Ряд (3.19) сходится, сходится и ряд (3.16). Так как мажорирующий ряд является числовым, то ряд (3.16) сходится равномерно по Вейерштрассу относительно x и $\tau: 0 \leq x \leq a, \tau \geq 0$. В силу этого законны предельные переходы при $x \rightarrow 0, x \rightarrow a, \tau \rightarrow 0$, то есть можно записать

$$\lim_{x \rightarrow 0} T = \lim_{x \rightarrow 0} \sum_{n=1}^{\infty} M_n e^{\left(-\frac{n^2 \kappa^2}{a^2} \tau\right)} \sin\left(\frac{n\pi}{a} x\right) = \sum_{n=1}^{\infty} M_n e^{\left(-\frac{n^2 \kappa^2}{a^2} \tau\right)} \lim_{x \rightarrow 0} \sin\left(\frac{n\pi}{a} x\right) = 0.$$

Аналогично устанавливается, что

$$\lim_{x \rightarrow a} T = 0, \quad \lim_{\tau \rightarrow 0} T = \Phi(x).$$

Покажем, что (3.16) удовлетворяет уравнению (3.9). Для этого рассмотрим ряды, полученные формальным дифференцированием по x и τ :

$$\frac{\partial T}{\partial x} = \sum_{n=1}^{\infty} M_n e^{\left(-\frac{n^2 \kappa^2}{a^2} \tau\right)} \frac{n\pi}{a} \cos\left(\frac{n\pi}{a} x\right),$$

$$\frac{\partial^2 T}{\partial x^2} = -\sum_{n=1}^{\infty} M_n e^{\left(-\frac{n^2 \kappa^2}{a^2} \tau\right)} \left(\frac{n\pi}{a}\right)^2 \sin\left(\frac{n\pi}{a} x\right), \quad (3.20)$$

$$\frac{\partial T}{\partial \tau} = -\sum_{n=1}^{\infty} M_n e^{\left(-\frac{n^2 \kappa^2}{a^2} \tau\right)} \left(\frac{n\pi}{a}\right)^2 \sin\left(\frac{n\pi}{a} x\right).$$

Покажем, что дифференцирование возможно. Выделим небольшую полоску (рис. 3.2) шириной δ и рассмотрим область $D: 0 \leq x \leq a, \tau \geq \delta > 0$.

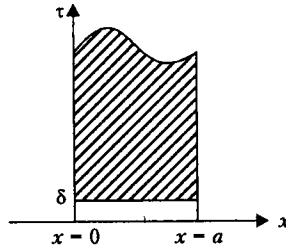


Рис. 3.2. К обоснованию решения

В этой области ряды (3.20) мажорируются числовыми рядами

$$\sum_{n=1}^{\infty} |M_n| \left| e^{\left(\frac{n^2 \pi^2}{a^2} \delta\right)} \left(\frac{n\pi}{a}\right) \right| \leq A \sum_{n=1}^{\infty} |M_n|, \quad \left| e^{\left(\frac{n^2 \pi^2}{a^2} \delta\right)} \left(\frac{n\pi}{a}\right) \right| \leq A,$$

$$\sum_{n=1}^{\infty} |M_n| \left| e^{\left(\frac{n^2 \pi^2}{a^2} \delta\right)} \left(\frac{n\pi}{a}\right)^2 \right| \leq B \sum_{n=1}^{\infty} |M_n|, \quad \left| e^{\left(\frac{n^2 \pi^2}{a^2} \delta\right)} \left(\frac{n\pi}{a}\right)^2 \right| \leq B.$$

Значит, ряды (3.20) сходятся, причем сходимость равномерная в области D^* . Следовательно, почленное дифференцирование законно и полученные выражения (3.20) действительно являются производными функции (3.16). Таким образом, в области D^*

$$\frac{\partial^2 T}{\partial x^2} - \frac{\partial T}{\partial \tau} \equiv 0.$$

Величина δ произвольно мала, следовательно, последнее равенство справедливо в открытой области $D: 0 < x < a, \tau > 0$. Таким образом, все условия задачи проверены. Кроме того, мы можем утверждать, что $T \in C^{(2)}(D)$.

Задача Дирихле для круга

Рассмотрим еще один пример. Решим первую краевую задачу для уравнения Лапласа в круге: найти функцию u , удовлетворяющую уравнению Лапласа внутри круга радиуса a :

$$\Delta u = 0$$

и граничному условию на границе круга

$$u|_{\Gamma} = f,$$

где f — заданная функция.

Мы предположим сначала, что функция f непрерывна и дифференцируема и решение u непрерывно в замкнутой области.

Введем полярную систему координат (r, φ) с началом в центре круга. Уравнение Лапласа в полярных координатах имеет вид

$$\frac{1}{r} \frac{\partial}{\partial r} \left(\frac{\partial u}{\partial r} \right) + \frac{1}{r^2} \frac{\partial^2 u}{\partial \varphi^2} = 0, \quad 0 \leq r < a, \quad -\pi < \varphi \leq \pi. \quad (3.21)$$

Граничные условия:

$$u|_{r=0} = O(1), \quad u|_{r=a} = f(\varphi). \quad (3.22)$$

Кроме того, мы должны поставить дополнительные условия, вытекающие из характера задачи — условия периодичности:

$$u|_{\varphi=-\pi} = u|_{\varphi=\pi}, \quad \frac{\partial u}{\partial \varphi} \Big|_{\varphi=-\pi} = \frac{\partial u}{\partial \varphi} \Big|_{\varphi=\pi}. \quad (3.23)$$

Уравнение (3.21) допускает разделение переменных. Будем искать решение в виде

$$u = R(r)\Phi(\varphi). \quad (3.24)$$

После подстановки (3.24) в (3.21) и разделения переменных получим

$$\Phi''(\varphi) + \lambda\Phi(\varphi) = 0, \quad (3.25)$$

$$r(rR'(r))' - \lambda R(r) = 0. \quad (3.26)$$

В силу условий периодичности (3.23)

$$\Phi|_{\varphi=-\pi} = \Phi|_{\varphi=\pi}, \quad \Phi'|_{\varphi=-\pi} = \Phi'|_{\varphi=\pi}. \quad (3.27)$$

Найдем собственные значения и собственные функции краевой задачи (3.25) и (3.27). Общее решение уравнения (3.25) имеет вид

$$\Phi(\varphi) = A \cos(\sqrt{\lambda} \varphi) + B \sin(\sqrt{\lambda} \varphi), \quad \lambda \neq 0.$$

Из граничных условий (3.27) находим

$$2B \sin(\sqrt{\lambda} \pi) = 0, \quad 2A\sqrt{\lambda} \sin(\sqrt{\lambda} \pi) = 0.$$

Если $\sin(\sqrt{\lambda} \pi) \neq 0$, то $A = B = 0$ и мы имеем только тривиальное решение. Следовательно,

$$\sin(\sqrt{\lambda} \pi) = 0 \Rightarrow \lambda = \lambda_n = n^2, \quad n \in \mathbb{N}.$$

Собственные функции будут

$$\Phi_n(\varphi) = B_n \sin(n\varphi) + A_n \cos(n\varphi).$$

Нетрудно убедиться (читателю рекомендуем это проверить!), что $\lambda = 0$ есть собственное число, которому отвечает собственная функция $\Phi_0(\varphi) = A_0 = \text{const}$.

Рассмотрим теперь уравнение (3.26) при $\lambda = \lambda_n = n^2$. Это — уравнение типа Эйлера. Будем искать решение уравнения (3.26) в виде $R(r) = r^s$. Соответствующее характеристическое уравнение имеет вид $s^2 - n^2 = 0$. Откуда $s = \pm n$. Следовательно, общее решение уравнения (3.26) будет

$$R_n(r) = C_n r^n + D_n r^{-n}, \quad n \in \mathbb{N}.$$

В случае, когда $\lambda = 0$, будем иметь

$$R_0(r) = C_0 + D_0 \ln(r).$$

Итак,

$$\begin{aligned} u_n &= (C_n r^n + D_n r^{-n})(B_n \sin(n\varphi) + A_n \cos(n\varphi)), \quad n \in N, \\ u_0 &= (C_0 + D_0 \ln(r))A_0, \quad n = 0. \end{aligned}$$

Так как функция u должна оставаться конечной, то необходимо принять $D_0 = 0$, $D_n = 0 \quad \forall n \in N$. Таким образом, окончательно получаем

$$\begin{aligned} u_n &= (N_n \sin(n\varphi) + M_n \cos(n\varphi))r^n, \quad n \in N, \\ u_0 &= M_0, \quad n = 0. \end{aligned}$$

Построенные частные решения отвечают всем условиям задачи, кроме второго граничного условия (3.22). Чтобы удовлетворить этому условию, воспользуемся принципом суперпозиции и составим формальный ряд

$$u = M_0 + \sum_{n=1}^{\infty} (N_n \sin(n\varphi) + M_n \cos(n\varphi))r^n. \quad (3.28)$$

Будем постулировать «хорошую» сходимость ряда (3.28). Из второго граничного условия (3.22) находим

$$u|_{r=a} = M_0 + \sum_{n=1}^{\infty} (N_n \sin(n\varphi) + M_n \cos(n\varphi))a^n = f(\varphi). \quad (3.29)$$

Равенство (3.29) должно быть верно для всего интервала изменения φ . Предполагается, что возможен предельный переход при $r \rightarrow a$ под знаком суммы. Если функция $f(\varphi)$ удовлетворяет условиям разложения в ряд Фурье, то можно написать

$$\begin{aligned} a^n M_n &= \frac{1}{\pi} \int_{-\pi}^{\pi} f(\varphi) \cos(n\varphi) d\varphi, \\ a^n N_n &= \frac{1}{\pi} \int_{-\pi}^{\pi} f(\varphi) \sin(n\varphi) d\varphi, \\ M_0 &= \frac{1}{2\pi} \int_{-\pi}^{\pi} f(\varphi) d\varphi. \end{aligned} \quad (3.30)$$

Таким образом, получено формальное решение задачи.

Сейчас следовало бы доказать, что все наши рассуждения законны и ряд (3.28) действительно сходится к функции $u(r, \varphi)$, удовлетворяющей уравнению (3.21) и краевому условию (3.22). Оставляя в стороне эти доказательства, укажем лишь, что если функция $f(\varphi)$ будет непрерывна и дифференцируема, то ряд (3.28) дает непрерывное решение рассматриваемой краевой задачи.

Преобразование решения задачи Дирихле для круга. Интеграл Пуассона

Решение задачи Дирихле для круга может быть записано в другой форме. Получим соответствующую формулу. С этой целью подставим выражения для коэффициентов Фурье (3.30) в формулу (3.28). Меняя порядок суммирования и интегрирования, можно записать

$$u = \frac{1}{2\pi} \int_{-\pi}^{\pi} f(\psi) d\psi + \sum_{n=1}^{\infty} \left(\frac{r}{a}\right)^n \left[\cos(n\varphi) \frac{1}{\pi} \int_{-\pi}^{\pi} f(\psi) \cos(n\psi) d\psi + \sin(n\varphi) \times \right. \\ \left. \times \frac{1}{\pi} \int_{-\pi}^{\pi} f(\psi) \sin(n\psi) d\psi \right] = \frac{1}{2\pi} \int_{-\pi}^{\pi} f(\psi) d\psi \left\{ 1 + 2 \sum_{n=1}^{\infty} \left(\frac{r}{a}\right)^n \cos(n(\psi - \varphi)) \right\}.$$

Для удобства введем обозначения $r/a = \rho$, $\psi - \varphi = \alpha$; найдем сумму

$$S = 1 + 2 \sum_{n=1}^{\infty} \rho^n \cos(n\alpha), \quad 0 < \rho < 1.$$

Можно записать, используя формулу геометрической прогрессии со знаменателем $|\rho e^{i\alpha}| = \rho < 1$

$$S = 1 + 2 \operatorname{Re} \sum_{n=1}^{\infty} (\rho e^{i\alpha})^n = 1 + 2 \operatorname{Re} \frac{\rho e^{i\alpha}}{1 - \rho e^{i\alpha}} = \frac{1 - \rho^2}{1 + \rho^2 - 2\rho \cos(\alpha)}.$$

Решение задачи Дирихле для круга теперь можно записать в форме

$$u = \frac{1}{2\pi} \int_{-\pi}^{\pi} \frac{1 - \left(\frac{r}{a}\right)^2}{1 + \left(\frac{r}{a}\right)^2 - 2\frac{r}{a} \cos(\psi - \varphi)} f(\psi) d\psi$$

или

$$u = \frac{1}{2\pi} \int_{-\pi}^{\pi} \frac{a^2 - r^2}{a^2 - 2ar \cos(\psi - \varphi) + r^2} f(\psi) d\psi. \quad (3.31)$$

Формула (3.31) называется *интегралом Пуассона*. Решение в форме (3.31) легче обосновать, и для этого требуется меньше ограничений, накладываемых на функцию $f(\varphi)$. Функция $f(\varphi)$ может быть только непрерывной или даже кусочно-непрерывной.

Замечание об обосновании формулы (3.31). Обозначим

$$K(r, \varphi, \psi) = \frac{a^2 - r^2}{a^2 + r^2 - 2ar \cos(\psi - \varphi)}. \quad (3.32)$$

Тогда

$$u = \frac{1}{2\pi} \int_{-\pi}^{\pi} K(r, \varphi, \psi) f(\psi) d\psi. \quad (3.33)$$

Нетрудно видеть, что функция (3.32) непрерывна и дифференцируема, пока $r < a$. Функция $u(r, \varphi)$ непрерывная и дифференцируемая функция своих аргументов. Можно показать, что

$$\Delta_{(r, \varphi)} K \equiv \frac{1}{r} \frac{\partial}{\partial r} \left(\frac{\partial K}{\partial r} \right) + \frac{1}{r^2} \frac{\partial^2 K}{\partial \varphi^2} = 0.$$

Следовательно, $\Delta u = 0$ при $r < a$. Более сложно проверить граничное условие: $u \rightarrow f(\varphi)$ при $r \rightarrow a$. Из-за расходимости интеграла при $\psi = \varphi$ предельный переход недопустим. Перепишем (3.33) в виде

$$u = \frac{1}{2\pi} \int_{-\pi}^{\pi} K(r, \varphi, \psi) [f(\psi) - f(\varphi)] d\psi + f(\varphi) \frac{1}{2\pi} \int_{-\pi}^{\pi} K(r, \varphi, \psi) d\psi. \quad (3.34)$$

Тогда

$$\frac{1}{2\pi} \int_{-\pi}^{\pi} K(r, \varphi, \psi) [f(\psi) - f(\varphi)] d\psi \xrightarrow{r \rightarrow a} 0,$$

а второй интеграл в формуле (3.34) можно вычислить

$$\frac{1}{2\pi} \int_{-\pi}^{\pi} K(r, \varphi, \psi) d\psi = 1.$$

Таким образом,

$$\lim_{r \rightarrow a} u(r, \varphi) = f(\varphi).$$

Интеграла Пуассона может быть использован для решения задачи Дирихле для произвольной плоской области. Рассмотрим следующую задачу Дирихле: найти функцию $u \in C^{(2)}(D), u \in C(\bar{D})$, удовлетворяющую уравнению Лапласа в области D (рис. 3.3) и принимающую заданные значения на границе этой области Γ , то есть

$$\Delta u = \frac{\partial^2 u}{\partial x^2} + \frac{\partial^2 u}{\partial y^2} = 0, \quad (3.35)$$

$$u|_{\Gamma} = f(P), \quad P \in \Gamma.$$

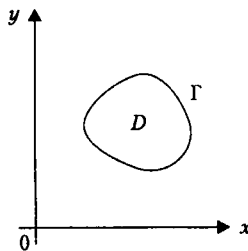


Рис. 3.3. Произвольная плоская область

Будем рассматривать плоскость Oxy как комплексную плоскость $z = x + iy$. Предположим, что известна функция $z = F(\sigma), \sigma = \xi + i\eta$, осуществляющая конформное отображение области D на круг D^* (рис. 3.4).

При этом предполагается однозначность отображения. Функция $z = F(\sigma)$ равносильна замене переменных

$$x = x(\xi, \eta), \quad y = y(\xi, \eta).$$

Произведем эту замену

$$\begin{aligned} ds^2 &= dx^2 + dy^2 = |dz|^2 = |F'(\sigma) d\sigma|^2 = \\ &= |F'(\sigma)|^2 (d\xi^2 + d\eta^2) = H_\xi^2 d\xi^2 + H_\eta^2 d\eta^2. \end{aligned}$$

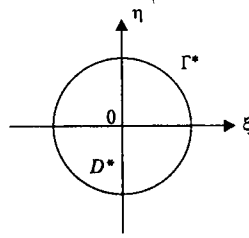


Рис. 3.4. Круг

Тогда

$$\begin{aligned} \Delta u &= \frac{1}{H_\xi H_\eta} \left\{ \frac{\partial H_\eta}{\partial \xi} \frac{\partial u}{\partial \xi} + \frac{\partial H_\xi}{\partial \eta} \frac{\partial u}{\partial \eta} \right\} = \\ &= \frac{1}{|F'(\sigma)|^2} \left(\frac{\partial^2 u}{\partial \xi^2} + \frac{\partial^2 u}{\partial \eta^2} \right) = \frac{1}{|F'(\sigma)|^2} \Delta_{(\xi, \eta)} u. \end{aligned}$$

Следовательно, уравнение (3.35) в области D^* примет вид

$$\Delta u = \frac{\partial^2 u}{\partial \xi^2} + \frac{\partial^2 u}{\partial \eta^2} = 0,$$

то есть уравнение Лапласа инвариантно по отношению к конформному преобразованию. Кроме того, имеем

$$u|_{\Gamma^*} = f(P^*), \quad P^* \in \Gamma^*.$$

При конформном отображении области D на круг D^* задача Дирихле для области D переходит в задачу Дирихле для круга D^* . Для круга D^* мы имеем интеграл Пуассона. После решения задачи Дирихле для круга D^* результат можно перевести на исходную область D .

В заключение отметим, что приведенные здесь рассуждения могут быть с успехом применены и для решения других краевых задач для уравнения Лапласа, как двумерного, так и трехмерного. При этом метод разделения переменных даст опять должный эффект, если область, на границе которой будет задаваться краевое условие, является достаточно «хорошей»: граница ее должна совпадать с координатными линиями или поверхностями системы координат, в которой задается уравнение Лапласа. К таким областям можно отнести прямоугольник, цилиндр, параллелепипед, шар и др.

Задача Штурма—Лиувилля

В математической физике, как мы видели на рассмотренных ранее примерах, важны методы, при которых решение задачи получается в форме ряда (или, как мы увидим дальше, интеграла), то есть в виде разложения по некоторой системе функций. Такие разложения хорошо изучены, когда каждая из функций, по которым осуществляется разложение, зависит только от одной из переменных,

встречающихся в задаче. Чтобы найти естественную систему функций, по которой можно осуществить разложение, обычно необходимо найти решение некоторой граничной задачи для обыкновенного дифференциального уравнения, получившей название задачи Штурма—Лиувилля. Здесь и далее мы рассмотрим элементы теории задачи Штурма—Лиувилля и сформулируем соответствующие теоремы разложения. При этом, опуская доказательства, будем стремиться к изложению результатов в виде, диктуемом практическими потребностями¹

Рассмотрим обыкновенное однородное линейное дифференциальное уравнение второго порядка

$$[p(x)X'(x)]' + [\lambda r(x) - q(x)]X(x) = 0, \quad a < x < b, \quad (3.36)$$

где $p(x)$, $q(x)$, $r(x)$ — вещественные функции от x . Будем предполагать, что $p(x)$, $p'(x)$, $q(x)$, $r(x)$ непрерывны в (a, b) ; $p(x)$ и $r(x)$ положительны в (a, b) ; λ — параметр, принимающий любые значения. Уравнение (3.36) можно записать в виде

$$p(x)X''(x) + p'(x)X'(x) + [\lambda r(x) - q(x)]X(x) = 0 \quad (3.37)$$

или в виде

$$X''(x) + \frac{p'(x)}{p(x)}X'(x) + \left[\lambda \frac{r(x)}{p(x)} - \frac{q(x)}{p(x)} \right] X(x) = 0.$$

Коэффициенты уравнения (3.37) в силу сделанных предположений непрерывны в интервале (a, b) . Каждая внутренняя точка интервала (a, b) — обыкновенная точка уравнения (3.37). Концы интервала (a, b) могут быть как обыкновенными точками, так и особыми (сингулярными). Напомним, что если при некотором x хотя бы один из коэффициентов уравнения (3.37) имеет бесконечный разрыв или $p(x) = 0$, то говорят, что коэффициенты уравнения имеют особенность в точке x .

Нас будут интересовать решения уравнения (3.36), удовлетворяющие однородным линейным граничным условиям с вещественными коэффициентами. Граничную задачу с такими условиями называют задачей Штурма—Лиувилля. Таким образом, под задачей Штурма—Лиувилля понимается следующая задача: найти решения уравнения (3.36), принадлежащие классу $C^{(2)}((a, b))$ и удовлетворяющие некоторым однородным граничным условиям, заданным на концах интервала (a, b) . Примером таких условий могут быть условия

$$X|_{x \rightarrow a+0} = 0, \quad X|_{x \rightarrow b-0} = 0.$$

Различают задачи двух типов — *регулярную задачу* и *сингулярную задачу*. Задача Штурма—Лиувилля называется регулярной, если интервал (a, b) конечен, концы интервала (a, b) — обыкновенные точки рассматриваемого уравнения. Задача называется сингулярной, если хотя бы одно из этих условий не выполнено. Сингу-

¹ Полную теорию можно найти в книгах: Коддингтон Э. А., Левинсон Н. Теория обыкновенных дифференциальных уравнений. — М.: Изд-во иностр. л-ры, 1958; Курат П., Гильберт Д. Методы математической физики. Т. 1–2. — М.: Гостехиздат, 1957; Титчмарш Э. Ч. Разложения по собственным функциям, связанным с дифференциальными уравнениями второго порядка. Т. 1–2. — М.: Изд-во иностр. л-ры, 1960–1961.

лярная задача может быть с одним или двумя сингулярными концами. Характер однородных граничных условий регулярной и сингулярной задач разный.

Сформулируем типовые граничные условия. В случае регулярной задачи различают: *граничные условия первого рода*

$$X(a) = 0, X(b) = 0; \quad (I)$$

граничные условия второго рода

$$X'(a) = 0, X'(b) = 0; \quad (II)$$

граничные условия третьего рода

$$X'(a) - h_a X(a) = 0, X'(b) + h_b X(b) = 0, h_a, h_b \geq 0; \quad (III)$$

граничные условия четвертого рода

$$X(a) = X(b), X'(a) = X'(b), p(a) = p(b). \quad (IV)$$

Граничные условия четвертого рода называются *условиями периодичности*. Точный смысл сформулированных условий таков:

$$X(a) = \lim_{x \rightarrow a+0} X(x), X(b) = \lim_{x \rightarrow b-0} X(x), X'(a) = \lim_{x \rightarrow a+0} X'(x),$$

и т. д. Поэтому они иногда называются предельными условиями.

Все перечисленные условия — *однородные*.

В случае сингулярной задачи различают два варианта задач в зависимости от того, один или два конца сингулярны. Пусть $x = a$ — сингулярный конец, $x = b$ — регулярный конец. Тогда на сингулярном конце ставится условие ограниченности функции

$$X|_{x \rightarrow a+0} = O(1), \quad (V)$$

а на регулярном конце могут быть условия первого, второго или третьего рода, например,

$$X'(b) + h_b X(b) = 0, h_b \geq 0.$$

Если оба конца сингулярны, то ставятся условия ограниченности функции

$$X|_{x \rightarrow a+0} = O(1), X|_{x \rightarrow b-0} = O(1). \quad (VI)$$

Иногда указывают порядок роста функции на сингулярном конце. В частности, это можно реализовать так

$$\int_a^b r(x) |X(x)|^2 dx = O(1).$$

Перечисленные условия V и VI также однородны.

Задача Штурма—Лиувилля всегда имеет не представляющее интереса решение $X \equiv 0$, называемое *тривиальным*. Нас будут интересовать *нетривиальные* решения задачи. Однако нетривиальных решений при данном произвольном λ может и не быть. Поэтому содержанием задачи Штурма—Лиувилля является не только отыскание решений при данном λ , но и определение совокупности значений λ ,

при которых существуют нетривиальные решения. Всякое нетривиальное решение задачи Штурма—Лиувилля называется *собственной функцией* данной задачи. При этом параметр λ должен принимать некоторые определенные значения, которые называются *собственными значениями* (или *числами*) задачи. Собственные функции, по определению, находятся с точностью до произвольной константы. Иногда накладывается условие

$$\int_a^b r(x)|X(x)|^2 dx = 1,$$

тогда мы имеем дело с нормированными собственными функциями. Данному собственному значению могут соответствовать одна или две (не более) собственные функции. Множество всех собственных значений называется *спектром* данной задачи.

Некоторые свойства собственных значений регулярной задачи Штурма—Лиувилля

Рассмотрим регулярную задачу Штурма—Лиувилля с граничными условиями первого, второго, третьего или четвертого рода.

Уравнение Штурма—Лиувилля:

$$[p(x)X'(x)]' + [\lambda r(x) - q(x)]X(x) = 0, \quad a < x < b, \quad (3.38)$$

где $p(x)$, $p'(x)$, $q(x)$, $r(x)$ непрерывны в $[a, b]$; $p(x)$ и $r(x)$ — положительны в $[a, b]$. Граничные условия: либо

$$X(a) = 0, \quad X(b) = 0, \quad (I)$$

либо

$$X'(a) = 0, \quad X'(b) = 0, \quad (II)$$

либо

$$X'(a) - h_a X(a) = 0, \quad X'(b) + h_b X(b) = 0, \quad h_a, h_b \geq 0, \quad (III)$$

либо

$$X(a) = X(b), \quad X'(a) = X'(b), \quad p(a) = p(b). \quad (IV)$$

ТЕОРЕМА 1. Все собственные значения регулярной задачи Штурма—Лиувилля вещественны.

Доказательство. Рассуждаем от противного. Допустим, имеется комплексное собственное значение $\lambda = \alpha + i\beta$. Этому значению отвечает собственная функция $X(x) = A(x) + iB(x)$. Так как все коэффициенты уравнения и граничных условий вещественны, можно утверждать, что существуют комплексно сопряженное собственное значение $\bar{\lambda} = \alpha - i\beta$ и соответствующая ему собственная функция $\bar{X}(x) = A(x) - iB(x)$. Запишем тождества

$$[p(x)X'(x)]' + [\lambda r(x) - q(x)]X(x) \equiv 0, \quad a < x < b,$$

$$[p(x)\bar{X}'(x)]' + [\bar{\lambda} r(x) - q(x)]\bar{X}(x) \equiv 0, \quad a < x < b.$$

Первое из этих тождеств умножим на $\bar{X}(x)$, а второе — на $X(x)$. После вычитания получим

$$\bar{X}[p(x)X'(x)]' - X[p(x)\bar{X}'(x)]' + (\lambda - \bar{\lambda})r(x)X(x)\bar{X}(x) \equiv 0.$$

Проинтегрируем последнее тождество по (a, b) . При этом учтем легко проверяемое соотношение

$$\frac{d}{dx}(p(x)[\bar{X}(x)X'(x) - X(x)\bar{X}'(x)]) = \bar{X}[p(x)X'(x)]' - X[p(x)\bar{X}'(x)]'.$$

Получим

$$p(X'\bar{X} - X\bar{X}')\Big|_{x=a}^{x=b} + (\lambda - \bar{\lambda})\int_a^b r(x)X(x)\bar{X}(x) dx \equiv 0.$$

Нетрудно убедиться, что слагаемое вне интеграла в последней формуле для всех типов условий (первого, второго, третьего или четвертого рода) обращается в нуль. А тогда будем иметь

$$(\lambda - \bar{\lambda})\int_a^b r(x)X(x)\bar{X}(x) dx \equiv 0.$$

После подстановки выражений

$$\lambda = \alpha + i\beta, \bar{\lambda} = \alpha - i\beta, X(x) = A(x) + iB(x), \bar{X}(x) = A(x) - iB(x)$$

получим

$$2i\beta\int_a^b r(x)[A^2(x) + B^2(x)] dx \equiv 0.$$

Так как $[A^2(x) + B^2(x)] \neq 0$ тождественно в $[a, b]$, то последнее тождество означает, что $\beta = 0$ и, следовательно, $\lambda = \alpha$ — вещественное число. \square

ПРИМЕЧАНИЕ

Из вещественности собственных значений нельзя сделать заключение о вещественности собственных функций, так как собственная функция определяется с точностью до произвольной постоянной. Однако, не умаляя общности, можно ограничиться рассмотрением вещественных собственных функций.

ТЕОРЕМА 2. Все собственные значения регулярной задачи Штурма—Лиувилля ограничены снизу.

Доказательство. Пусть λ — собственное значение (вещественное число), $X(x)$ — соответствующая собственная функция (вещественная функция). Эта функция удовлетворяет уравнению (3.38). Умножим (3.38) на $X(x)$ и проинтегрируем по (a, b) :

$$\begin{aligned} \int_a^b X(pX')' dx + \lambda \int_a^b rX^2 dx - \int_a^b qX^2 dx &= 0 \Rightarrow \\ pXX'\Big|_{x=a}^{x=b} - \int_a^b pX'^2 dx + \lambda \int_a^b rX^2 dx - \int_a^b qX^2 dx &= 0 \Rightarrow \\ \lambda \int_a^b rX^2 dx = -pXX'\Big|_{x=a}^{x=b} + \int_a^b pX'^2 dx + \int_a^b qX^2 dx. \end{aligned} \quad (3.39)$$

Нетрудно видеть, что в случае условий первого, второго и четвертого рода

$$-pXX'|_{x=a}^{x=b} = 0.$$

В случае условий третьего рода

$$-pXX'|_{x=a}^{x=b} = p(b)h_bX^2(b) + p(a)h_aX^2(a) > 0.$$

Далее

$$\int_a^b pX'^2 dx > 0.$$

Равенство (3.39) превращается в неравенство, если выбросить неотрицательные слагаемые справа

$$\lambda \int_a^b rX^2 dx \geq \int_a^b qX^2 dx = \int_a^b \frac{q}{r} rX^2 dx. \tag{3.40}$$

Функция q/r непрерывна на $[a, b]$, следовательно, она имеет нижнюю грань, то есть $q/r \geq m$ при $x \in [a, b]$. Неравенство (3.40) превращается в следующее:

$$\lambda \int_a^b rX^2 dx \geq m \int_a^b rX^2 dx.$$

Откуда $\lambda \geq m$, то есть все собственные значения расположены справа от m . В частности, если $q = 0$, то $m = 0$, и следовательно, все собственные значения положительны. □

Фундаментальная система решений Штурма—Лиувилля

Рассмотрим регулярную задачу Штурма—Лиувилля для уравнения

$$[p(x)X'(x)]' + [\lambda r(x) - q(x)]X(x) = 0, \quad a < x < b, \tag{3.41}$$

где $p(x), p'(x), q(x), r(x)$ вещественны и непрерывны в $[a, b]$; $p(x)$ и $r(x)$ положительны в $[a, b]$; каждая точка $[a, b]$ — обыкновенная точка уравнения.

В соответствии с общей теоремой Коши, можно утверждать, что существует интеграл $X(x) \in C^{(2)}$ уравнения (3.41), удовлетворяющий условиям $X(c) = \alpha, X'(c) = \beta, \alpha, \beta$ — любые числа, $c \in (a, b)$. Если числа α, β не зависят от параметра λ , то решение $X(x)$ при фиксированном x является *целой функцией* от λ .

Напомним, что под *целой функцией* комплексного переменного λ подразумевается такая функция, которая разлагается в ряд Тейлора во всей плоскости (радиус сходимости равен ∞), то есть $f(\lambda)$ — целая функция, если

$$f(\lambda) = \sum_{n=0}^{\infty} C_n \lambda^n = \sum_{n=0}^{\infty} \frac{f^{(n)}(0)}{n!} \lambda^n, \quad |\lambda| < \infty.$$

Целыми функциями, например, являются следующие функции: $f(\lambda) = (1 + \lambda); f(\lambda) = P_n(\lambda)$ — произвольный полином степени $n; f(\lambda) = e^\lambda, f(\lambda) = \cos(\lambda), f(\lambda) = \sin(\lambda)$ и другие. Примеры не целых функций: $f(\lambda) = \operatorname{tg}(\lambda), f(\lambda) = 1/(1 - \lambda)$.

В качестве точки $x = c$ возьмем граничную точку $x = a$. Тогда существуют два интеграла $\varphi(x, \lambda)$ и $\psi(x, \lambda)$, удовлетворяющие условиям

$$\varphi(x, \lambda): X(a) = 1, X'(a) = 0,$$

$$\psi(x, \lambda): X(a) = 0, X'(a) = 1.$$

Можно записать

$$\varphi(a, \lambda) = 1, \varphi'(a, \lambda) = 0,$$

$$\psi(a, \lambda) = 0, \psi'(a, \lambda) = 1. \quad (3.42)$$

При этом интегралы $\varphi(x, \lambda), \psi(x, \lambda) \in C^{(2)}((a, b))$ и являются, при фиксированном x , целыми функциями от λ . Про такую систему функций $\{\varphi(x), \psi(x)\}$ иногда говорят, что она обладает единичной матрицей в точке $x = a$ или что она нормирована в точке $x = a$.

Докажем, что эти интегралы линейно независимы. Для этого рассмотрим определитель Вронского

$$W\{\varphi(x, \lambda), \psi(x, \lambda)\} = \begin{vmatrix} \varphi(x, \lambda) & \psi(x, \lambda) \\ \varphi'(x, \lambda) & \psi'(x, \lambda) \end{vmatrix}. \quad (3.43)$$

Можно записать

$$[p(x)\varphi'(x, \lambda)]' + [\lambda r(x) - q(x)]\varphi(x, \lambda) \equiv 0,$$

$$[p(x)\psi'(x, \lambda)]' + [\lambda r(x) - q(x)]\psi(x, \lambda) \equiv 0.$$

Умножим первое тождество на $\psi(x, \lambda)$, а второе — на $\varphi(x, \lambda)$ и вычтем одно из другого; получим

$$\psi(x, \lambda)[p(x)\varphi'(x, \lambda)]' - \varphi(x, \lambda)[p(x)\psi'(x, \lambda)]' = 0 \Rightarrow$$

$$[p(x)\{\psi(x, \lambda)\varphi'(x, \lambda) - \varphi(x, \lambda)\psi'(x, \lambda)\}]' = 0 \Rightarrow$$

$$\frac{d}{dx}(pW) = 0 \Rightarrow pW = C (= \text{const}).$$

Для определения константы C примем $x = a$, тогда

$$p(a)W|_{x=a} = p(a) \begin{vmatrix} \varphi(a, \lambda) & \psi(a, \lambda) \\ \varphi'(a, \lambda) & \psi'(a, \lambda) \end{vmatrix} = p(a) \begin{vmatrix} 1 & 0 \\ 0 & 1 \end{vmatrix} = p(a) = C.$$

Таким образом, можно записать

$$W\{\varphi(x, \lambda), \psi(x, \lambda)\} = \frac{p(a)}{p(x)}. \quad (3.44)$$

У нас $p(a) \neq 0$, так как точка $x = a$ — обыкновенная, следовательно, $W \neq 0$, а значит, $\varphi(x, \lambda)$ и $\psi(x, \lambda)$ — линейно независимы. Эти функции называются *фундаментальной системой решений Штурма—Лиувилля*.

Общий интеграл уравнения Штурма—Лиувилля (3.41) можно представить в виде

$$X(x, \lambda) = A\varphi(x, \lambda) + B\psi(x, \lambda), \quad A, B = \text{const}. \quad (3.45)$$

Покажем, что всегда можно построить систему функций, удовлетворяющих условиям (3.42). Пусть $\tilde{\varphi}(x, \lambda)$ и $\tilde{\psi}(x, \lambda)$ — некоторые линейно независимые решения уравнения (3.41). Тогда можно записать

$$\varphi(x, \lambda) = M\tilde{\varphi}(x, \lambda) + N\tilde{\psi}(x, \lambda).$$

Выберем M и N так, чтобы были удовлетворены условия (3.42), то есть

$$\begin{aligned} M\tilde{\varphi}(a, \lambda) + N\tilde{\psi}(a, \lambda) &= 1, \\ M\tilde{\varphi}'(a, \lambda) + N\tilde{\psi}'(a, \lambda) &= 0. \end{aligned} \quad (3.46)$$

Определитель системы (3.46) есть определитель Вронского

$$\Delta = \begin{vmatrix} \tilde{\varphi}(a, \lambda) & \tilde{\psi}(a, \lambda) \\ \tilde{\varphi}'(a, \lambda) & \tilde{\psi}'(a, \lambda) \end{vmatrix} = W\{\tilde{\varphi}(a, \lambda), \tilde{\psi}(a, \lambda)\},$$

который отличен от нуля, так как решения $\tilde{\varphi}(x, \lambda)$ и $\tilde{\psi}(x, \lambda)$ линейно независимы. Значит, система (3.46) разрешима, и всегда можно построить систему функций, удовлетворяющих условиям (3.42).

Если невозможно записать решение уравнения (3.41) через известные функции, то для определения функций $\varphi(x, \lambda)$ и $\psi(x, \lambda)$ остается какой-нибудь приближенный метод, например, метод последовательных приближений.

Пример. Нетрудно построить фундаментальную систему решений Штурма—Лиувилля для уравнения

$$X''(x) + \lambda X(x) = 0, \quad 0 < x < l.$$

Эта система решений будет, очевидно, такой

$$\varphi(\sqrt{\lambda}x) = \cos(\sqrt{\lambda}x), \quad \psi(\sqrt{\lambda}x) = \frac{\sin(\sqrt{\lambda}x)}{\sqrt{\lambda}},$$

причем функции $\varphi(\sqrt{\lambda}x)$ и $\psi(\sqrt{\lambda}x)$ разлагаются в ряды Тейлора

$$\varphi(\sqrt{\lambda}x) = \sum_{n=0}^{\infty} \frac{(-1)^n x^{2n} \lambda^n}{(2n)!}, \quad \psi(\sqrt{\lambda}x) = \sum_{n=0}^{\infty} \frac{(-1)^n x^{2n+1} \lambda^n}{(2n+1)!}, \quad |\lambda| < \infty,$$

то есть это целые функции от λ при всяком фиксированном x .

Асимптотическое поведение фундаментальных решений Штурма—Лиувилля при $\lambda \rightarrow +\infty$

Будем считать, что $p(x) = r(x) = 1$, тогда уравнение Штурма—Лиувилля принимает вид

$$X''(x) + (\lambda - q(x))X(x) = 0, \quad a < x < b. \quad (3.47)$$

Пусть $\varphi(x, \lambda)$ и $\psi(x, \lambda)$ — интегралы уравнения (3.47), удовлетворяющие условиям

$$\begin{aligned}\varphi(a, \lambda) &= 1, \quad \varphi'(a, \lambda) = 0, \\ \psi(a, \lambda) &= 0, \quad \psi'(a, \lambda) = 1.\end{aligned}\tag{3.48}$$

Изучим поведение функций $\varphi(x, \lambda)$ и $\psi(x, \lambda)$ при $\lambda \rightarrow +\infty$.

При исследовании асимптотического поведения, как и при изучении других свойств, особенно полезным оказывается метод Стеклова—Лиувилля—Фубини [28], [29]; он состоит в «сравнении» заданного дифференциального уравнения с помощью интегрального уравнения типа Вольтерры с подходящим «приближающим» уравнением, которое можно проинтегрировать явно или для которого известны некоторые специальные свойства решений.

Запишем (3.47) в виде

$$X''(x) + \lambda X(x) = q(x) X(x) (= f(x)).\tag{3.49}$$

Здесь мы обозначили правую часть уравнения (3.49) через $f(x)$. Будем формально считать, что $f(x)$ — известная функция и применим к уравнению (3.49) метод Лагранжа вариации произвольных постоянных. Тогда можно записать

$$\begin{aligned}X(x) &= A \cos(\sqrt{\lambda}(x-a)) + B \frac{\sin(\sqrt{\lambda}(x-a))}{\sqrt{\lambda}} + \\ &+ \frac{1}{\sqrt{\lambda}} \int_a^x f(y) \sin(\sqrt{\lambda}(x-y)) dy.\end{aligned}\tag{3.50}$$

Подберем теперь константы A и B так, чтобы удовлетворялись начальные условия (3.48). Потребуем, например, чтобы выполнялись условия

$$X(x, \lambda) = \varphi(x, \lambda): \quad \varphi(a, \lambda) = 1, \quad \varphi'(a, \lambda) = 0;$$

получим $A = 1, B = 0$. Аналогично, для функции $\psi(x, \lambda)$ получим $A = 0, B = 1$. Равенство (3.50) можно записать в виде

$$\varphi(x, \lambda) = \cos(\sqrt{\lambda}(x-a)) + \frac{1}{\sqrt{\lambda}} \int_a^x q(y) \varphi(y, \lambda) \sin(\sqrt{\lambda}(x-y)) dy.\tag{3.51}$$

Аналогично, для функции $\psi(x, \lambda)$ будем иметь

$$\psi(x, \lambda) = \frac{\sin(\sqrt{\lambda}(x-a))}{\sqrt{\lambda}} + \frac{1}{\sqrt{\lambda}} \int_a^x q(y) \psi(y, \lambda) \sin(\sqrt{\lambda}(x-y)) dy.\tag{3.52}$$

Уравнения (3.51) и (3.52) — интегральные уравнения Вольтерры второго рода.

Пусть $x \in [a, b]$. Функция $\varphi(x, \lambda) \in C^{(2)}([a, b])$ как интеграл уравнения (3.47). Следовательно, так как функция $\varphi(x, \lambda)$ непрерывна в $[a, b]$, можно записать

$$|\varphi(x, \lambda)| \leq M_\lambda, \quad x \in [a, b].\tag{3.53}$$

Здесь M_λ , вообще говоря, какая-то функция от λ . Из уравнения (3.51) получим для всех $x \in [a, b]$ и $\lambda > 0, \lambda \rightarrow +\infty$

$$|\varphi(x, \lambda)| \leq 1 + \frac{1}{\sqrt{\lambda}} \int_a^x |q(y)| |\varphi(y, \lambda)| dy \leq 1 + \frac{M_\lambda}{\sqrt{\lambda}} \int_a^x |q(y)| dy \leq 1 + \frac{M_\lambda}{\sqrt{\lambda}} \int_a^b |q(y)| dy.$$

Пусть $|\varphi(c, \lambda)| = M_\lambda$, $c \in [a, b]$. Тогда

$$M_\lambda \leq 1 + \frac{M_\lambda}{\sqrt{\lambda}} \int_a^b |q(y)| dy. \quad (3.54)$$

Решая (3.54) относительно M_λ , получим

$$M_\lambda \leq \frac{1}{1 - \frac{1}{\sqrt{\lambda}} \int_a^b |q(y)| dy}.$$

Это верно при всех достаточно больших λ ($\lambda \rightarrow +\infty$). Следовательно, $M_\lambda \leq M$ при $\lambda \rightarrow +\infty$. Константа M уже не зависит от λ . Таким образом, можно записать $|\varphi(x, \lambda)| \leq M$, $x \in [a, b]$. Тогда второе слагаемое справа в формуле (3.51) можно оценить так

$$\left| \frac{1}{\sqrt{\lambda}} \int_a^x q(y) \varphi(y, \lambda) \sin(\sqrt{\lambda}(x-y)) dy \right| \leq \frac{M}{\sqrt{\lambda}} \int_a^b |q(y)| dy, \quad \lambda \rightarrow \infty.$$

Поэтому (3.51) можно записать в виде

$$\varphi(x, \lambda) = \cos(\sqrt{\lambda}(x-a)) + O(\lambda^{-\frac{1}{2}}), \quad \lambda \rightarrow +\infty, \quad x \in [a, b].$$

Дифференцируя уравнение (3.51), получим

$$\varphi'(x, \lambda) = -\sqrt{\lambda} \sin(\sqrt{\lambda}(x-a)) + \int_a^x q(y) \varphi(y, \lambda) \cos(\sqrt{\lambda}(x-y)) dy,$$

причем

$$\left| \int_a^x q(y) \varphi(y, \lambda) \cos(\sqrt{\lambda}(x-y)) dy \right| \leq M \int_a^b |q(y)| dy, \quad \lambda \rightarrow \infty.$$

В последнем неравенстве справа стоит некоторое постоянное число. Таким образом,

$$\varphi'(x, \lambda) = -\sqrt{\lambda} \sin(\sqrt{\lambda}(x-a)) + O(1), \quad \lambda \rightarrow +\infty, \quad x \in [a, b].$$

Аналогично, для функции $\psi(x, \lambda)$ получим

$$\psi(x, \lambda) = \frac{\sin(\sqrt{\lambda}(x-a))}{\sqrt{\lambda}} + O(\lambda^{-1}), \quad \lambda \rightarrow +\infty, \quad x \in [a, b],$$

$$\psi'(x, \lambda) = \cos(\sqrt{\lambda}(x-a)) + O(\lambda^{-\frac{1}{2}}), \quad \lambda \rightarrow +\infty, \quad x \in [a, b].$$

Читателю мы рекомендуем доказать эти формулы самостоятельно.

Рассмотрим теперь общий случай:

$$[p(x)X'(x)]' + [\lambda r(x) - q(x)]X(x) = 0, \quad a < x < b, \quad (3.55)$$

где $p(x)$, $p'(x)$, $q(x)$, $r(x)$ — вещественные и непрерывные функции в $[a, b]$; $p(x)$ и $r(x)$ — положительные в $[a, b]$.

Пусть $\varphi(x, \lambda)$ и $\psi(x, \lambda)$ — интегралы уравнения (3.55), удовлетворяющие условиям (3.48). Путем надлежащей замены переменных уравнение (3.55) можно превратить в уравнение рассмотренного случая¹. Например, в случае, когда $p(x) = r(x)$, формула преобразования имеет вид

$$X(x) = \sqrt{\frac{p(a)}{p(x)}} Y(x).$$

Уравнение (3.55) переходит в уравнение

$$Y''(x) + (\lambda - q^*(x))Y(x) = 0, \quad a < x < b,$$

причем

$$q^* = \frac{q}{p} + \frac{p''}{2p} - \frac{p'^2}{4p^2}.$$

В этом случае для функций $\varphi(x, \lambda)$ и $\psi(x, \lambda)$ справедливы следующие асимптотические формулы:

$$\varphi(x, \lambda) = \sqrt{\frac{p(a)}{p(x)}} \cos(\sqrt{\lambda}(x-a)) + O(\lambda^{-\frac{1}{2}}), \quad \lambda \rightarrow +\infty, \quad x \in [a, b],$$

$$\psi(x, \lambda) = \sqrt{\frac{p(a)}{p(x)}} \frac{\sin(\sqrt{\lambda}(x-a))}{\sqrt{\lambda}} + O(\lambda^{-1}), \quad \lambda \rightarrow +\infty, \quad x \in [a, b].$$

Определение собственных значений и собственных функций регулярной задачи Штурма—Лиувилля

Рассмотрим регулярную задачу Штурма—Лиувилля для уравнения

$$[p(x)X'(x)]' + [\lambda r(x) - q(x)]X(x) = 0, \quad a < x < b, \quad (3.56)$$

где $p(x)$, $p'(x)$, $q(x)$, $r(x)$ вещественные и непрерывные функции в $[a, b]$; кроме того, $p(x)$ и $r(x)$ положительные в $[a, b]$; каждая точка $[a, b]$ — обыкновенная точка уравнения.

Будем рассматривать граничные условия трех типов:

$$X(a) = 0, \quad X(b) = 0, \quad (I)$$

$$X'(a) = 0, \quad X'(b) = 0, \quad (II)$$

$$X'(a) - h_a X(a) = 0, \quad X'(b) + h_b X(b) = 0, \quad h_a, h_b \geq 0. \quad (III)$$

¹ Камке Э. Справочник по обыкновенным дифференциальным уравнениям. — М.: Физматгиз, 1961.

Найдем собственные значения и собственные функции этой задачи. Пусть $\varphi(x, \lambda)$ и $\psi(x, \lambda)$ — фундаментальные решения уравнения (3.56), удовлетворяющие условиям

$$\begin{aligned}\varphi(a, \lambda) &= 1, \quad \varphi'(a, \lambda) = 0, \\ \psi(a, \lambda) &= 0, \quad \psi'(a, \lambda) = 1.\end{aligned}$$

Такие решения существуют, причем $\varphi(x, \lambda) \in C^{(2)}([a, b])$, $\psi(x, \lambda) \in C^{(2)}([a, b])$, $\varphi(x, \lambda)$, $\psi(x, \lambda)$ — целые функции от λ при фиксированном $x \in [a, b]$. Будем считать $\varphi(x, \lambda)$, $\psi(x, \lambda)$ известными функциями. Запишем общий интеграл уравнения (3.56)

$$X(x, \lambda) = A\varphi(x, \lambda) + B\psi(x, \lambda).$$

Ясно, что $X(x, \lambda) \in C^{(2)}([a, b])$. Задача заключается в том, чтобы выбрать числа A , B , λ так, чтобы полученное решение отвечало граничным условиям. В случае условий первого рода (I)

$$\begin{aligned}A\varphi(a, \lambda) + B\psi(a, \lambda) &= 0, \\ A\varphi(b, \lambda) + B\psi(b, \lambda) &= 0;\end{aligned}$$

или

$$\begin{aligned}A = 0, \quad B\psi(b, \lambda) = 0, \quad B \neq 0 \Rightarrow \\ \psi(b, \lambda) = 0.\end{aligned}\tag{3.57}$$

Уравнение (3.57) — уравнение для определения λ .

В случае условий второго рода (II)

$$\begin{aligned}A\varphi'(a, \lambda) + B\psi'(a, \lambda) &= 0, \\ A\varphi'(b, \lambda) + B\psi'(b, \lambda) &= 0;\end{aligned}$$

или

$$\begin{aligned}B = 0, \quad A\varphi'(b, \lambda) = 0, \quad A \neq 0 \Rightarrow \\ \varphi'(b, \lambda) = 0.\end{aligned}\tag{3.58}$$

Уравнение (3.58) — уравнение для определения λ .

В случае условий третьего рода (III)

$$\begin{aligned}A[\varphi'(a, \lambda) - h_a\varphi(a, \lambda)] + B[\psi'(a, \lambda) - h_a\psi(a, \lambda)] &= 0, \\ A[\varphi'(b, \lambda) + h_b\varphi(b, \lambda)] + B[\psi'(b, \lambda) + h_b\psi(b, \lambda)] &= 0;\end{aligned}$$

или

$$\begin{aligned}-Ah_a + B = 0, \quad A[\varphi'(b, \lambda) + h_b\varphi(b, \lambda) + h_a\psi'(b, \lambda) + h_a h_b\psi(b, \lambda)] = 0, \quad A \neq 0 \Rightarrow \\ \varphi'(b, \lambda) + h_b\varphi(b, \lambda) + h_a\psi'(b, \lambda) + h_a h_b\psi(b, \lambda) = 0.\end{aligned}\tag{3.59}$$

Уравнение (3.59) — уравнение для определения λ .

Заранее неизвестно, имеют ли уравнения (3.57)–(3.59) решения. Покажем, что все эти уравнения имеют бесчисленное множество решений. Доказательство проведем для случая, когда $p(x) = r(x) = 1$. Воспользуемся асимптотическими формулами. В случае условий первого рода

$$\psi(b, \lambda) = \frac{\sin(\sqrt{\lambda}(b-a))}{\sqrt{\lambda}} + O(\lambda^{-1}), \quad \lambda \rightarrow \infty.$$

Видим, что функция $\psi(b, \lambda)$ имеет колебательный характер при достаточно больших λ . Следовательно, она бесчисленное множество раз проходит через нуль, то есть существует бесчисленное множество решений уравнения (3.57).

В случае условий второго рода

$$\varphi'(b, \lambda) = -\sqrt{\lambda} \sin(\sqrt{\lambda}(b-a)) + O(1), \quad \lambda \rightarrow \infty.$$

При $\lambda \rightarrow \infty$ функция $\varphi'(b, \lambda)$ — непрерывная функция, которая бесчисленное множество раз меняет свой знак, то есть проходит через нуль. Следовательно, уравнение (3.58) имеет бесчисленное множество решений.

В случае условий третьего рода

$$\begin{aligned} \varphi'(b, \lambda) + h_b \varphi(b, \lambda) + h_a \psi'(b, \lambda) + h_a h_b \psi(b, \lambda) &= \\ &= -\sqrt{\lambda} \sin(\sqrt{\lambda}(b-a)) + O(1) + h_b \left[\cos(\sqrt{\lambda}(b-a)) + O\left(\lambda^{-\frac{1}{2}}\right) \right] + \\ &+ h_a \left[\cos(\sqrt{\lambda}(b-a)) + O\left(\lambda^{-\frac{1}{2}}\right) \right] + h_a h_b \left[\frac{\sin(\sqrt{\lambda}(b-a))}{\sqrt{\lambda}} + O(\lambda^{-1}) \right] = \\ &= -\sqrt{\lambda} \sin(\sqrt{\lambda}(b-a)) + O(1), \quad \lambda \rightarrow \infty. \end{aligned}$$

Видим, что этот случай эквивалентен случаю условий второго рода.

Рассмотрим теперь вопрос о распределении собственных значений и о природе спектра собственных значений регулярной задачи Штурма—Лиувилля. Ранее было доказано, что все собственные значения вещественны и имеют левую грань m .

Справедлива следующая **теорема**¹:

ТЕОРЕМА. Если целая функция комплексного переменного не равна тождественно нулю, то ее нули есть изолированные точки.

У нас функции, стоящие в левых частях уравнений (3.57)–(3.59), — целые функции от λ , не равные тождественно нулю. Следовательно, спектр регулярной задачи Штурма—Лиувилля состоит из множества собственных значений, отделенных друг от друга, и не имеет точек сгущения (рис. 3.5).

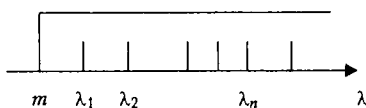


Рис. 3.5. Дискретный спектр

¹ См., например: Гитчмарш Е. Теория функций. — М.: Наука, 1980; Фукс Б. А., Шабат Б. Б. Функции комплексного переменного и некоторые их приложения. — М.: Физматгиз, 1959.

Такой спектр называется *дискретным*: $\lambda_1 < \lambda_2 < \dots < \lambda_n < \dots$ — последовательность собственных значений. Противоположность дискретному спектру представляет *непрерывный спектр* или *смешанный спектр*. Таким образом, спектр регулярной задачи Штурма—Лиувилля — счетное множество вещественных чисел без точек сгущения.

Рассмотрим теперь вопрос о построении собственных функций регулярной задачи Штурма—Лиувилля. Пусть $\lambda_1 < \lambda_2 < \dots < \lambda_n < \dots$ — последовательность собственных значений. Найдем собственные функции. В случае условий первого рода будем иметь

$$X_n(x) = B_n \psi(x, \lambda_n), \quad n = 1, 2, 3, \dots$$

В случае условий второго рода будем иметь

$$X_n(x) = A_n \varphi(x, \lambda_n), \quad n = 1, 2, 3, \dots$$

В случае условий третьего рода будем иметь

$$X_n(x) = A_n [\varphi(x, \lambda_n) + h_a \psi(x, \lambda_n)], \quad n = 1, 2, 3, \dots$$

Мы видим, что каждому собственному значению соответствует одна собственная функция, определенная с точностью до произвольного постоянного множителя. Таким образом, можно построить бесконечную последовательность собственных функций $X_1(x), X_2(x), X_3(x), \dots, X_n(x), \dots$

Разложение в ряд по собственным функциям регулярной задачи Штурма—Лиувилля

Предварительно установим одно важное свойство собственных функций задачи Штурма—Лиувилля. Пусть дана система функций $\varphi_1(x), \varphi_2(x), \dots, \varphi_n(x), \dots$. Будем предполагать, что все функции $\varphi_n(x)$ этой системы вещественны и непрерывны на $[a, b]$. Мы скажем, что рассматриваемая система функций *ортogonalна* на $[a, b]$ с весом $\rho(x)$, если существует такая функция $\rho(x) \geq 0$, что

$$\int_a^b \rho(x) \varphi_m(x) \varphi_n(x) dx = 0, \quad m \neq n.$$

Если $m = n$, то величина

$$\|\varphi_n\| = \sqrt{\int_a^b \rho(x) \varphi_n^2(x) dx} > 0$$

называется *нормой* для данной системы функций. Таким образом, для данной системы функций

$$\int_a^b \rho(x) \varphi_m(x) \varphi_n(x) dx = \begin{cases} 0, & m \neq n, \\ \|\varphi_n\|^2, & m = n. \end{cases}$$

Система функций $\{\varphi_n(x)\}_{n=1}^{n=\infty}$ называется *ортонормированной*, если

$$\int_a^b \rho(x) \varphi_m(x) \varphi_n(x) dx = \begin{cases} 0, & m \neq n, \\ 1, & m = n. \end{cases}$$

Хорошо известным примером ортогональной системы функций на отрезке $[0, a]$ является система синусов

$$\left\{ \sin\left(\frac{n\pi x}{a}\right) \right\}_{n=1}^{n=\infty},$$

причем

$$\int_0^a \sin\left(\frac{m\pi x}{a}\right) \sin\left(\frac{n\pi x}{a}\right) dx = \begin{cases} 0, & m \neq n, \\ \frac{a}{2}, & m = n. \end{cases}$$

Соответствующая ей ортонормированная система функций будет такой:

$$\left\{ \sqrt{\frac{2}{a}} \sin\left(\frac{n\pi x}{a}\right) \right\}_{n=1}^{n=\infty}.$$

Рассмотрим регулярную задачу Штурма—Лиувилля для уравнения

$$[p(x)X'(x)]' + [\lambda r(x) - q(x)]X(x) = 0, \quad a < x < b.$$

Относительно коэффициентов этого уравнения принимаем те же предположения, что и ранее: функции $p(x)$, $p'(x)$, $q(x)$, $r(x)$ будем считать вещественными и непрерывными в $[a, b]$; кроме того, $p(x)$ и $r(x)$ положительные в $[a, b]$; каждая точка $[a, b]$ — обыкновенная точка уравнения.

Будем рассматривать граничные условия трех типов:

$$X(a) = 0, \quad X(b) = 0, \quad (\text{I})$$

$$X'(a) = 0, \quad X'(b) = 0, \quad (\text{II})$$

$$X'(a) - h_a X(a) = 0, \quad X'(b) + h_b X(b) = 0, \quad h_a, h_b \geq 0. \quad (\text{III})$$

Пусть $\{X_n(x)\}_{n=1}^{n=\infty}$ — система собственных функций данной задачи, а $\{\lambda_n\}_{n=1}^{n=\infty}$ — соответствующие собственные значения.

ТЕОРЕМА. Система собственных функций регулярной задачи Штурма—Лиувилля ортогональна на $[a, b]$ с весом $\rho(x) = r(x)$, то есть

$$\int_a^b r(x) X_m(x) X_n(x) dx = \begin{cases} 0, & m \neq n, \\ \|X_n\|^2, & m = n. \end{cases}$$

Доказательство. Имеем

$$[p(x)X'_m(x)]' + [\lambda_m r(x) - q(x)]X_m(x) = 0, \quad (3.60)$$

$$[p(x)X'_n(x)]' + [\lambda_n r(x) - q(x)]X_n(x) = 0. \quad (3.61)$$

Умножим уравнение (3.60) на $X_n(x)$, а уравнение (3.61) — на $X_m(x)$ и вычтем одно из другого, получим

$$X_n(x)[p(x)X'_m(x)]' - X_m(x)[p(x)X'_n(x)]' + (\lambda_m - \lambda_n)r(x)X_m(x)X_n(x) = 0.$$

Последнее равенство можно переписать так:

$$\frac{d}{dx} \{p(x)[X_n(x)X'_m(x) - X_m(x)X'_n(x)]\} + (\lambda_m - \lambda_n)r(x)X_m(x)X_n(x) = 0.$$

Проинтегрируем теперь полученное равенство по $[a, b]$:

$$p(x)[X_n(x)X'_m(x) - X_m(x)X'_n(x)] \Big|_{x=a}^{x=b} + (\lambda_m - \lambda_n) \int_a^b r(x)X_m(x)X_n(x) dx = 0. \tag{3.62}$$

Нетрудно убедиться, что для условий первого, второго и третьего рода будем иметь

$$p(x)(X_n(x)X'_m(x) - X_m(x)X'_n(x)) \Big|_{x=a}^{x=b} = 0.$$

Таким образом, для этих условий из (3.62) получаем

$$(\lambda_m - \lambda_n) \int_a^b r(x)X_m(x)X_n(x) dx = 0,$$

а следовательно,

$$\int_a^b r(x)X_m(x)X_n(x) dx = 0, \quad m \neq n. \quad \square$$

Таким образом, если $\{X_n(x)\}_{n=1}^{n=\infty}$ — система собственных функций регулярной задачи Штурма—Лиувилля, отвечающих граничным условиям первого, второго или третьего рода, то

$$\int_a^b r(x)X_m(x)X_n(x) dx = \begin{cases} 0, & m \neq n, \\ \|X_n\|^2, & m = n. \end{cases} \tag{3.63}$$

Пусть $f(x)$ определена на $[a, b]$. Будем предполагать, что эта функция удовлетворяет некоторым условиям, которые мы уточним в дальнейшем. Поставим задачу: представить функцию $f(x)$ в виде ряда

$$f(x) = \sum_{n=1}^{\infty} C_n X_n(x). \tag{3.64}$$

Если предположить, что такое разложение существует и ряд (3.64) сходится так, что он допускает почленное интегрирование, то можно найти коэффициенты разложения C_n . Действительно, умножим (3.64) на $r(x)X_m(x)$ и проинтегрируем по $[a, b]$

$$\int_a^b f(x)r(x)X_m(x) dx = \sum_{n=1}^{\infty} C_n \int_a^b r(x)X_m(x)X_n(x) dx.$$

В силу (3.63) будем иметь

$$\int_a^b f(x)r(x)X_m(x)dx = C_m \|X_m(x)\|^2 \Rightarrow$$

$$C_m = \frac{\int_a^b f(x)r(x)X_m(x)dx}{\|X_m(x)\|^2}, \quad m = 1, 2, \dots$$

Таким образом, окончательно получаем

$$C_n = \frac{\int_a^b f(x)r(x)X_n(x)dx}{\|X_n(x)\|^2}.$$

Итак, мы формально получили следующее разложение:

$$f(x) = \sum_{n=1}^{\infty} C_n X_n(x), \quad C_n = \frac{\int_a^b f(x)r(x)X_n(x)dx}{\|X_n(x)\|^2}. \quad (3.65)$$

Для обоснования этого разложения наложим на функцию $f(x)$ определенные условия. Справедлива следующая теорема разложения

ТЕОРЕМА. Пусть функция $f(x)$ определена на $[a, b]$ и удовлетворяет там условиям Дирихле:

- 1) $f(x)$ кусочно-непрерывна на $[a, b]$;
- 2) $f(x)$ имеет конечное число максимумов и минимумов на $[a, b]$.

Тогда ряд (3.65) сходится к значению функции $f(x)$ во всех точках $x \in [a, b]$, где функция непрерывна. В точке разрыва ряд (3.65) сходится и его сумма равна

$$\frac{f(c+0) + f(c-0)}{2},$$

где $x = c$ — точка разрыва первого рода.

Пример. Разложить функцию $f(x)$ по собственным функциям следующей задачи Штурма—Лиувилля:

$$X''(x) + \lambda X(x) = 0, \quad 0 < x < l; \quad X(0) = 0, \quad X(l) = 0.$$

Собственными функциями данной задачи, очевидно, будут функции

$$X_n(x) = \sin\left(\frac{n\pi}{l}x\right), \quad n = 1, 2, \dots,$$

а собственными значениями

$$\lambda_n = \left(\frac{n\pi}{l}\right)^2, \quad n = 1, 2, \dots$$

Мы знаем, что

$$\int_0^l \sin\left(\frac{m\pi}{l}x\right) \sin\left(\frac{n\pi}{l}x\right) dx = \begin{cases} 0, & m \neq n, \\ \frac{l}{2}, & m = n. \end{cases}$$

Таким образом, разложение будет иметь вид

$$f(x) = \sum_{n=1}^{\infty} C_n \sin\left(\frac{n\pi}{l}x\right), \quad C_n = \frac{2}{l} \int_0^l f(x) \sin\left(\frac{n\pi}{l}x\right) dx.$$

Регулярная задача Штурма—Лиувилля с граничными условиями четвертого рода

Рассмотрим регулярную задачу Штурма—Лиувилля для уравнения

$$[p(x)X'(x)]' + [\lambda r(x) - q(x)]X(x) = 0, \quad a < x < b, \quad (3.66)$$

где функции $p(x)$, $p'(x)$, $q(x)$, $r(x)$ вещественные и непрерывные в $[a, b]$; $p(x)$ и $r(x)$ положительные в $[a, b]$; каждая точка $[a, b]$ — обыкновенная точка уравнения.

Будем предполагать, что $p(a) = p(b)$ и будем рассматривать следующие граничные условия (условия четвертого рода или условия периодичности):

$$X(a) = X(b), \quad X'(a) = X'(b). \quad (3.67)$$

Пусть $\varphi(x, \lambda)$, $\psi(x, \lambda)$ — фундаментальная система решений Штурма—Лиувилля, удовлетворяющая условиям

$$\varphi(a, \lambda) = 1, \quad \varphi'(a, \lambda) = 0; \quad \psi(a, \lambda) = 0, \quad \psi'(a, \lambda) = 1.$$

Общий интеграл уравнения (3.66) запишем в виде

$$X(x, \lambda) = A\varphi(x, \lambda) + B\psi(x, \lambda).$$

Из граничных условий (3.67) будем иметь

$$\begin{aligned} A[\varphi(a, \lambda) - \varphi(b, \lambda)] + B[\psi(a, \lambda) - \psi(b, \lambda)] &= 0, \\ A[\varphi'(a, \lambda) - \varphi'(b, \lambda)] + B[\psi'(a, \lambda) - \psi'(b, \lambda)] &= 0; \end{aligned}$$

или

$$\begin{aligned} A[1 - \varphi(b, \lambda)] - B\psi(b, \lambda) &= 0, \\ -A\varphi'(b, \lambda) + B[1 - \psi'(b, \lambda)] &= 0. \end{aligned} \quad (3.68)$$

Система (3.68) — однородная алгебраическая система относительно констант A и B . Эта система всегда имеет тривиальное решение $A = B = 0$, которое соответствует решению $X(x) \equiv 0$ уравнения (3.66). Поэтому собственные значения задачи (3.66)–(3.67) совпадают с решениями уравнения

$$\Delta(\lambda) = \begin{vmatrix} 1 - \varphi(b, \lambda) & -\psi(b, \lambda) \\ -\varphi'(b, \lambda) & 1 - \psi'(b, \lambda) \end{vmatrix} = 0.$$

Раскрывая этот определитель и учитывая, что, с одной стороны,

$$W\{\varphi, \psi\} = \frac{p(a)}{p(x)} \Big|_{x=b} = \frac{p(a)}{p(b)} = 1,$$

а с другой стороны

$$W\{\varphi, \psi\} = \varphi(b, \lambda)\psi'(b, \lambda) - \psi(b, \lambda)\varphi'(b, \lambda),$$

будем иметь

$$\Delta(\lambda) = 2 - \varphi(b, \lambda) - \psi'(b, \lambda) = 0. \quad (3.69)$$

Уравнение (3.69) — уравнение для определения собственных значений. Можно показать, что при $\lambda \rightarrow \infty$ это уравнение имеет бесконечное множество решений. Все собственные значения расположены на оси λ правее некоторого числа m . Соседние собственные значения разделены конечными интервалами, то есть спектр задачи — дискретный.

Пусть $\lambda = \lambda_n$ — собственное значение, тогда из системы (3.68) получим

$$A[1 - \varphi(b, \lambda_n)] - B\psi(b, \lambda_n) = 0. \quad (3.70)$$

Могут реализоваться следующие случаи:

1. $\psi(b, \lambda_n) \neq 0$; тогда

$$B = \frac{[1 - \varphi(b, \lambda_n)]A}{\psi(b, \lambda_n)},$$

следовательно, собственные функции будут

$$X_n(x) = A_n \left[\varphi(x, \lambda_n) + \frac{1 - \varphi(b, \lambda_n)}{\psi(b, \lambda_n)} \psi(x, \lambda_n) \right].$$

2. $\psi(b, \lambda_n) = 0$, $\varphi(b, \lambda_n) \neq 1$; тогда из (3.70) находим $A = 0$. Собственные функции будут иметь вид

$$X_n(x) = B_n \psi(x, \lambda_n).$$

3. $\psi(b, \lambda_n) = 0$, $\varphi(b, \lambda_n) = 1$; тогда собственные функции будут

$$X_n(x) = A_n \varphi(x, \lambda_n) + B_n \psi(x, \lambda_n).$$

Каждая из функций $\varphi(x, \lambda_n)$, $\psi(x, \lambda_n)$ здесь сама является собственной функцией; $\lambda = \lambda_n$ — кратное собственное значение. В дальнейшем собственные функции будем обозначать

$$X_n(x) = A_n X_n^{(1)}(x) + B_n X_n^{(2)}(x).$$

Рассмотрим вопрос об ортогональности собственных функций регулярной задачи Штурма—Лиувилля при граничных условиях четвертого рода. Пусть $\lambda = \lambda_n$ — собственное значение, которому соответствует собственная функция $X_n(x)$, $\lambda = \lambda_m$ — собственное значение, которому соответствует собственная функция $X_m(x)$. Будем иметь

$$\begin{aligned} [p(x)X_m'(x)]' + [\lambda_m r(x) - q(x)]X_m(x) &= 0, \\ [p(x)X_n'(x)]' + [\lambda_n r(x) - q(x)]X_n(x) &= 0. \end{aligned}$$

Умножим первое уравнение на $X_n(x)$, а второе уравнение — на $X_m(x)$ и вычтем одно из другого; затем проинтегрируем полученное равенство по $[a, b]$. В результате получим

$$(\lambda_m - \lambda_n) \int_a^b r(x) X_m(x) X_n(x) dx = 0.$$

Следовательно,

$$\int_a^b r(x) X_m(x) X_n(x) dx = 0, \quad m \neq n.$$

Значит, собственные функции ортогональны с весом $r(x)$ на $[a, b]$.

Сформулируем соответствующую теорему:

Собственные функции регулярной задачи Штурма—Лиувилля с условиями четвертого рода, соответствующие различным собственным значениям, ортогональны друг другу на $[a, b]$ с весом $r(x)$.

Собственные функции, соответствующие одному и тому же (кратному) собственному значению, вообще говоря, не ортогональны, но могут быть ортогонализированы с помощью следующего процесса ортогонализации. Пусть $\lambda = \lambda_n$ — кратное собственное значение, которому соответствуют собственные функции $X_n^{(1)}(x)$ и $X_n^{(2)}(x)$. Тогда, вообще говоря,

$$\int_a^b r(x) X_n^{(1)}(x) X_n^{(2)}(x) dx \neq 0.$$

Образует две новые функции

$$\tilde{X}_n^{(1)}(x) = X_n^{(1)}(x), \quad \tilde{X}_n^{(2)}(x) = X_n^{(2)}(x) - \gamma X_n^{(1)}(x).$$

Ясно, что эти функции будут тоже собственными функциями. Покажем, что γ всегда можно выбрать так, что функции $\tilde{X}_n^{(1)}(x)$, $\tilde{X}_n^{(2)}(x)$ будут ортогональны. Действительно, потребуем, чтобы

$$\begin{aligned} & \int_a^b r(x) \tilde{X}_n^{(1)}(x) \tilde{X}_n^{(2)}(x) dx = \\ &= \int_a^b r(x) X_n^{(1)}(x) X_n^{(2)}(x) dx - \gamma \int_a^b r(x) [X_n^{(1)}(x)]^2 dx = 0. \end{aligned}$$

Откуда

$$\gamma = \frac{\int_a^b r(x) X_n^{(1)}(x) X_n^{(2)}(x) dx}{\int_a^b r(x) [X_n^{(1)}(x)]^2 dx}.$$

Это всегда можно сделать, так как знаменатель в последней формуле отличен от нуля. Таким образом, не умаляя общности, можно всегда считать собственные функции ортогональными.

Сформулируем теперь теорему разложения произвольной функции в ряд по собственным функциям задачи Штурма–Лиувилля. Существо теоремы остается прежним: *всякая функция $f(x)$, удовлетворяющая условиям Дирихле в замкнутом интервале, разложима по собственным функциям*. Коэффициенты разложения определяются из условий ортогональности собственных функций.

Пример. Рассмотрим следующую задачу Штурма–Лиувилля:

$$X''(x) + \lambda X(x) = 0, \quad 0 < x < 2\pi;$$

$$X(0) = X(2\pi), \quad X'(0) = X'(2\pi).$$

Фундаментальная система решений, очевидно, будет такой:

$$\varphi(x, \lambda) = \cos(\sqrt{\lambda}x), \quad \psi(x, \lambda) = \frac{\sin(\sqrt{\lambda}x)}{\sqrt{\lambda}}.$$

Общий интеграл уравнения Штурма–Лиувилля

$$X(x) = A \cos(\sqrt{\lambda}x) + B \frac{\sin(\sqrt{\lambda}x)}{\sqrt{\lambda}}.$$

Подставив этот интеграл в граничные условия, получим

$$A[1 - \cos(\sqrt{\lambda}2\pi)] - B \frac{\sin(\sqrt{\lambda}2\pi)}{\sqrt{\lambda}} = 0,$$

$$A\sqrt{\lambda} \sin(\sqrt{\lambda}2\pi) + B[1 - \cos(\sqrt{\lambda}2\pi)] = 0.$$

Собственные значения находим из условия разрешимости однородной системы

$$\Delta(\lambda) = \begin{vmatrix} 1 - \cos(\sqrt{\lambda}2\pi) & -\frac{\sin(\sqrt{\lambda}2\pi)}{\sqrt{\lambda}} \\ \sqrt{\lambda} \sin(\sqrt{\lambda}2\pi) & 1 - \cos(\sqrt{\lambda}2\pi) \end{vmatrix} = 0 \Rightarrow$$

$$\Delta(\lambda) = 2(1 - \cos(\sqrt{\lambda}2\pi)) = 0 \Rightarrow$$

$$\cos(\sqrt{\lambda}2\pi) = 1 \Rightarrow \lambda_n = n^2, \quad n = 0, 1, 2, \dots$$

Собственные функции будут иметь вид

$$X_n(x) = A_n \cos(nx) + B_n \frac{\sin(nx)}{n}.$$

Или, можно записать

$$X_0(x) = 1, \quad X_n^{(1)}(x) = \cos(nx), \quad X_n^{(2)}(x) = \sin(nx), \quad n = 1, 2, \dots$$

Таким образом, $\lambda_0 = 0$ – простое собственное значение, все остальные собственные значения имеют кратность 2.

Разложение произвольной функции $f(x)$, удовлетворяющей условиям Дирихле в замкнутом промежутке $[0, 2\pi]$, имеет вид

$$f(x) = a_0 + \sum_{n=1}^{\infty} [a_n \cos(nx) + b_n \sin(nx)],$$

$$a_0 = \frac{1}{2\pi} \int_0^{2\pi} f(x) dx, \quad a_n = \frac{1}{\pi} \int_0^{2\pi} f(x) \cos(nx) dx, \quad b_n = \frac{1}{\pi} \int_0^{2\pi} f(x) \sin(nx) dx.$$

Сингулярная задача Штурма—Лиувилля

Подробно эта задача будет изучена в главе 5 «Неоднородные задачи математической физики». Здесь мы ограничимся только рассмотрением ряда примеров.

Пример 1. Рассмотрим задачу

$$X''(x) + \lambda X(x) = 0, \quad 0 < x < \infty; \quad X(0) = 0, \quad X|_{x \rightarrow \infty} = O(1).$$

Общий интеграл уравнения Штурма—Лиувилля

$$X(x) = A \cos(\sqrt{\lambda}x) + B \sin(\sqrt{\lambda}x).$$

Из первого граничного условия находим: $X(0) = 0 \Rightarrow A = 0$. Таким образом,

$$X(x) = B \sin(\sqrt{\lambda}x).$$

Из второго граничного условия $X|_{x \rightarrow \infty} = O(1)$ следует, что $\sqrt{\lambda}$ — вещественное число, значит, $\lambda > 0$. Отдельно проверим значение $\lambda = 0$. В этом случае общий интеграл уравнения имеет вид $X(x) = A + Bx$; из граничных условий находим $A = 0$, $B = 0$, следовательно, $\lambda = 0$ не есть собственное число задачи.

Таким образом, $\lambda \in (0, +\infty)$. Данная задача имеет непрерывный спектр собственных значений. Удобно принять $\lambda = \lambda_\nu = \nu^2$, $0 < \nu < \infty$; тогда собственные функции будут $X_\nu(x) = \sin(\nu x)$.

Пример 2. Рассмотрим задачу

$$(r^2 R'(r))' + \lambda r^2 R(r) = 0, \quad 0 < r < a; \quad R|_{r \rightarrow 0} = O(1), \quad R(a) = 0.$$

Прежде чем записать общий интеграл заданного уравнения Штурма—Лиувилля, преобразуем это уравнение следующим образом:

$$r^2 R'' + 2rR' + \lambda r^2 R = 0 \Rightarrow rR'' + 2R' + \lambda rR = 0.$$

Легко проверяется формула

$$(rR)'' = rR'' + 2R'.$$

С учетом этой формулы наше уравнение преобразовывается в следующее:

$$(rR)'' + \lambda rR = 0.$$

Общий интеграл последнего уравнения имеет вид

$$rR(r) = A \cos(\sqrt{\lambda}r) + B \sin(\sqrt{\lambda}r).$$

Таким образом, общий интеграл исходного уравнения имеет вид

$$R(r) = A \frac{\cos(\sqrt{\lambda}r)}{r} + B \frac{\sin(\sqrt{\lambda}r)}{r}.$$

Из граничных условий находим

$$R|_{r \rightarrow 0} = O(1) \Rightarrow A = 0,$$

$$R(a) = 0 \Rightarrow B \frac{\sin(\sqrt{\lambda}a)}{a} = 0 \Rightarrow \sin(\sqrt{\lambda}a) = 0 \quad (B \neq 0).$$

Таким образом, собственные значения будут

$$\sqrt{\lambda}a = n\pi \Rightarrow \lambda_n = \left(\frac{n\pi}{a}\right)^2, \quad n = 1, 2, \dots$$

Соответствующие собственные функции будут

$$R_n(r) = \frac{\sin\left(\frac{n\pi}{a}r\right)}{r}.$$

Если $\lambda = 0$, то общий интеграл имеет вид $R(r) = A/r + B$; из граничных условий находим $A = 0$, $B = 0$, следовательно, $\lambda = 0$ не есть собственное число задачи. Данная задача имеет дискретный спектр.

Пример 3. Рассмотрим задачу

$$(rR'(r))' + \frac{\lambda}{r}R(r) = 0, \quad 0 < r < a, \quad R|_{r \rightarrow 0} = O(1), \quad R(a) = 0.$$

Преобразуем уравнение задачи следующим образом:

$$rR'' + R' + \frac{\lambda}{r}R = 0 \Rightarrow r^2R'' + rR' + \lambda R = 0.$$

Последнее уравнение есть уравнение Эйлера; решение его ищем в виде $R = r^s$. После подстановки в уравнение получим характеристическое уравнение для определения s

$$s(s-1) + s + \lambda = 0 \Rightarrow s = \pm i\sqrt{\lambda}, \quad i = \sqrt{-1}.$$

Таким образом, решение имеет вид

$$R(r) = r^{\pm i\sqrt{\lambda}} = e^{\pm i\sqrt{\lambda} \ln(r)}.$$

Удобно взять фундаментальные решения в виде $\cos(\sqrt{\lambda} \ln(r))$ и $\sin(\sqrt{\lambda} \ln(r))$. Тогда общий интеграл уравнения можно записать так:

$$R(r) = A \cos\left(\sqrt{\lambda} \ln\left(\frac{r}{a}\right)\right) + B \sin\left(\sqrt{\lambda} \ln\left(\frac{r}{a}\right)\right).$$

Из граничного условия $R(a) = 0$ находим $A = 0$; из условия $R(0) = O(1)$ вытекает, что $\sqrt{\lambda}$ — вещественное число, следовательно, $\lambda > 0$. Полагая $\lambda = \lambda_v = v^2$, $0 < v < \infty$, получим собственные функции в виде

$$R_v(r) = \sin\left(v \ln\left(\frac{r}{a}\right)\right).$$

Если $\lambda = 0$, то общий интеграл имеет вид $R(r) = A \ln(r) + B$; из граничных условий находим $A = 0$, $B = 0$, следовательно, $\lambda = 0$ не есть собственное число задачи. Данная задача имеет непрерывный спектр $\lambda \in (0, +\infty)$.

Пример 4. Рассмотрим еще одну задачу

$$X''(x) + (\lambda - x^2)X(x) = 0, \quad -\infty < x < +\infty; \quad X|_{x \rightarrow \pm\infty} = O(1).$$

Можно показать, что собственными значениями этой задачи будут $\lambda = \lambda_n = 2n + 1$, $n = 0, 1, 2, \dots$, а собственными функциями будут функции

$$X_n(x) = e^{-\frac{x^2}{2}} H_n(x),$$

где $H_n(x) = (-1)^n e^{x^2} \frac{d^n}{dx^n} e^{-x^2}$, $n = 0, 1, 2, \dots$ — полиномы Эрмита. Спектр задачи — дискретный.

Подведем некоторые итоги рассмотренным примерам. Характер спектра сингулярной задачи зависит от граничных условий на концах интервала. Если спектр задачи оказывается дискретным, то можно перенести теорию регулярной задачи на случай сингулярной задачи. Если же спектр оказывается непрерывным или смешанным, то теория регулярной задачи не верна для сингулярной задачи.

Общее изложение метода Фурье для случая двух независимых переменных

Сформулируем следующую задачу. Пусть требуется найти функцию $u = u(x, y)$, которая удовлетворяет следующим условиям: линейному дифференциальному уравнению

$$L_x(u) + M_y(u) = 0, \quad a < x < b, \quad c < y < d, \quad (3.71)$$

где

$$L_x(u) = \frac{1}{r(x)} \left[\frac{\partial}{\partial x} \left(p(x) \frac{\partial u}{\partial x} \right) - q(x)u \right];$$

$$M_y(u) = A \frac{\partial^2 u}{\partial y^2} + B \frac{\partial u}{\partial y} + Cu.$$

Функции p, q, r — вещественные функции от x ; A, B, C — вещественные функции от y . Предполагается, что p, p', q, r непрерывны на $[a, b]$; $p > 0, r > 0$; A, B, C непрерывны на (c, d) (интервал (c, d) может быть и бесконечным).

По переменной x выполняется одно из условий первого, второго или третьего рода, то есть

$$u|_{x=a} = 0, \quad u|_{x=b} = 0, \quad (3.72-I)$$

либо

$$\frac{\partial u}{\partial x} \Big|_{x=a} = 0, \quad \frac{\partial u}{\partial x} \Big|_{x=b} = 0, \quad (3.72-II)$$

либо

$$\frac{\partial u}{\partial x} - h_a u \Big|_{x=a} = 0, \quad \frac{\partial u}{\partial x} + h_b u \Big|_{x=b} = 0, \quad h_a > 0, \quad h_b > 0. \quad (3.72-III)$$

По переменной y выполняются определенные условия, которые зависят от типа уравнения (3.71). Квадратичная форма, связанная с уравнением (3.71), имеет вид

$$G = \frac{P}{r} X^2 + AY^2$$

Тип уравнения определяется знаком A . Если $A > 0$, то уравнение (3.71) эллиптического типа и условия на концах интервала (c, d) имеют характер условий первого, второго или третьего рода, например,

$$u \Big|_{y=c} = f_c(x), \quad u \Big|_{y=d} = f_d(x).$$

Если $A < 0$, то уравнение (3.71) гиперболического типа. Этот тип встречается в случае, когда переменная y — время, $y \in (c, +\infty)$. Условия имеют вид

$$u \Big|_{y=c} = \varphi(x), \quad \frac{\partial u}{\partial y} \Big|_{y=c} = \psi(x).$$

Если $A = 0$, то уравнение (3.71) параболического типа; переменная y — время, $y \in (c, +\infty)$. Условия имеют вид

$$u \Big|_{y=c} = \varphi(x).$$

Таким образом, уравнение (3.71) должно быть однородным и допускать разделение переменных; условия по переменной x — однородные, по переменной y — обязательно.

Будем искать решение задачи в виде

$$u = X(x)Y(y). \quad (3.73)$$

После подстановки (3.73) в (3.71) получим

$$YL_x(X) + XM_y(Y) = 0 \Rightarrow \frac{L_x(X)}{X} = -\frac{M_y(Y)}{Y} = -\lambda.$$

Таким образом, уравнение (3.71) распадается на два обыкновенных дифференциальных уравнения

$$L_x(X) + \lambda X = 0, \quad (3.74)$$

$$M_y(Y) - \lambda Y = 0. \quad (3.75)$$

Уравнение (3.74) в явном виде записывается так:

$$(pX')' + (\lambda r - q)X = 0. \quad (3.76)$$

Это уравнение Штурма—Лиувилля. В соответствии с граничными условиями (3.72) для функции $X(x)$ должно выполняться одно из трех условий

$$X \Big|_{x=a} = 0, \quad X \Big|_{x=b} = 0, \quad (3.77-I)$$

либо

$$\left. \frac{dX}{dx} \right|_{x=a} = 0, \quad \left. \frac{dX}{dx} \right|_{x=b} = 0, \quad (3.77-II)$$

либо

$$\frac{dX}{dx} - h_a X \Big|_{x=a} = 0, \quad \frac{dX}{dx} + h_b X \Big|_{x=b} = 0, \quad h_a > 0, \quad h_b > 0. \quad (3.77-III)$$

Таким образом, мы имеем дело с регулярной задачей Штурма—Лиувилля. Согласно рассмотренной ранее теории, задача имеет дискретный спектр собственных значений $\lambda = \lambda_n$, причем $n = 1, 2, 3, \dots, \infty$. Каждому собственному значению соответствует собственная функция $X = X_n(x)$. Эти собственные функции ортогональны на $[a, b]$ с весом $r(x)$, то есть

$$\int_a^b r(x) X_m(x) X_n(x) dx = \begin{cases} 0, & m \neq n; \\ \|X_n\|^2, & m = n. \end{cases} \quad (3.78)$$

Подставляя собственные значения $\lambda = \lambda_n$ в уравнение (3.75), получим

$$M_y(Y) - \lambda_n Y = 0. \quad (3.79)$$

Для определенности будем считать, что мы имеем дело с гиперболическим случаем ($A < 0$). Тогда общий интеграл уравнения (3.79) имеет вид

$$Y_n(y) = C_n Y_n^{(1)}(y) + D_n Y_n^{(2)}(y),$$

где $Y_n^{(1)}(y), Y_n^{(2)}(y)$ — линейно независимые решения уравнения (3.79), то есть их определитель Вронского отличен от нуля

$$W\{Y_n^{(1)}, Y_n^{(2)}\} \neq 0.$$

Таким образом, мы получили бесконечную совокупность частных решений уравнения (3.71)

$$u = u_n = [M_n Y_n^{(1)}(y) + N_n Y_n^{(2)}(y)] X_n(x), \quad n = 1, 2, 3, \dots, \infty.$$

Каждое из этих решений удовлетворяет уравнению (3.71) и однородным граничным условиям по переменной x . Для того чтобы удовлетворить неоднородным условиям по переменной y , мы применяем принцип суперпозиции и составляем решение в виде ряда

$$u = \sum_{n=1}^{\infty} u_n = \sum_{n=1}^{\infty} [M_n Y_n^{(1)}(y) + N_n Y_n^{(2)}(y)] X_n(x). \quad (3.80)$$

Мы постулируем здесь сходимость ряда (3.80), допускающую предельный переход и дифференцирование под знаком суммы. Таким образом, можно написать

$$u \Big|_{y=c} = \varphi(x) = \sum_{n=1}^{\infty} [M_n Y_n^{(1)}(c) + N_n Y_n^{(2)}(c)] X_n(x), \quad a < x < b, \quad (3.81)$$

$$\frac{\partial u}{\partial y} \Big|_{y=c} = \psi(x) = \sum_{n=1}^{\infty} [M_n Y_n^{(1)'}(c) + N_n Y_n^{(2)'}(c)] X_n(x), \quad a < x < b. \quad (3.82)$$

Равенства (3.81) и (3.82) означают разложения функций φ и ψ по собственным функциям задачи Штурма—Лиувилля (3.76)–(3.77). Если имеет место такое разложение, то можно написать

$$M_n Y_n^{(1)}(c) + N_n Y_n^{(2)}(c) = \frac{\int_a^b r(x) \varphi(x) X_n(x) dx}{\|X_n\|^2} = \varphi_n, \quad (3.83)$$

$$M_n Y_n^{(1)'}(c) + N_n Y_n^{(2)'}(c) = \frac{\int_a^b r(x) \psi(x) X_n(x) dx}{\|X_n\|^2} = \psi_n. \quad (3.84)$$

Таким образом, мы имеем систему уравнений (3.83) и (3.84) для определения неизвестных констант M_n, N_n . Определитель этой системы есть определитель Вронского, который отличен от нуля в силу линейной независимости функций $Y_n^{(1)}(y), Y_n^{(2)}(y)$

$$\Delta = \begin{vmatrix} Y_n^{(1)}(c) & Y_n^{(2)}(c) \\ Y_n^{(1)'}(c) & Y_n^{(2)'}(c) \end{vmatrix} = W\{Y_n^{(1)}, Y_n^{(2)}\} \neq 0.$$

Следовательно, система разрешима относительно M_n, N_n , и формула (3.80) дает формальное решение задачи.

В заключение укажем краткую схему решения задачи методом Фурье:

1. Произвести разделение переменных и свести задачу к интегрированию двух обыкновенных дифференциальных уравнений.
2. Сформулировать задачу Штурма—Лиувилля и найти совокупность собственных значений и собственных функций рассматриваемой задачи.
3. Проинтегрировать второе уравнение и построить совокупность частных решений задачи, удовлетворяющих однородным граничным условиям.
4. Составить формальный ряд из частных решений и, пользуясь теоремой разложения по собственным функциям, найти коэффициенты разложения.
5. Дать строгое обоснование полученному формальному решению для определенного класса функций.

Данная схема остается в силе для случая условий четвертого рода регулярной задачи Штурма—Лиувилля. Схема также переносится и на сингулярный случай, если спектр задачи оказывается дискретным. Если спектр задачи будет непрерывным или смешанным, то возникают некоторые изменения в схеме.

Задача об охлаждении пластины, излучающей тепло

Завершим изложение метода Фурье рассмотрением еще одного примера. Рассмотрим тонкую однородную пластину толщины a и бесконечных размеров в двух других измерениях. Будем предполагать, что задано начальное распределение температуры $\varphi(x)$; левая стенка ($x = 0$) теплоизолирована, а правая ($x = a$) излу-

чает тепло в окружающую среду, температура которой равна нулю. Требуется определить температуру пластинки в любой момент времени $t > 0$.

Математическая формулировка задачи:

$$\frac{\partial^2 T}{\partial x^2} - \frac{\partial T}{\partial \tau} = 0, \quad 0 < x < a, \quad \tau > 0, \quad \tau = \frac{kt}{c\rho}, \quad (3.85)$$

$$\left. \frac{\partial T}{\partial x} \right|_{x=0} = 0, \quad \left. \frac{\partial T}{\partial x} + hT \right|_{x=a} = 0, \quad h > 0, \quad (3.86)$$

$$T|_{\tau=0} = \varphi(x). \quad (3.87)$$

Будем искать решение в виде

$$T(x, \tau) = X(x)Y(\tau).$$

После подстановки в (3.85) получим

$$\frac{X''(x)}{X(x)} = \frac{Y'(\tau)}{Y(\tau)} = -\lambda.$$

Откуда находим

$$X''(x) + \lambda X(x) = 0, \quad X'(0) = 0, \quad X'(a) + hX(a) = 0; \quad (3.88)$$

$$Y'(\tau) + \lambda Y(\tau) = 0. \quad (3.89)$$

Общее решение уравнения (3.88) имеет вид

$$X(x) = A \cos(\sqrt{\lambda}x) + B \sin(\sqrt{\lambda}x), \quad \lambda \neq 0.$$

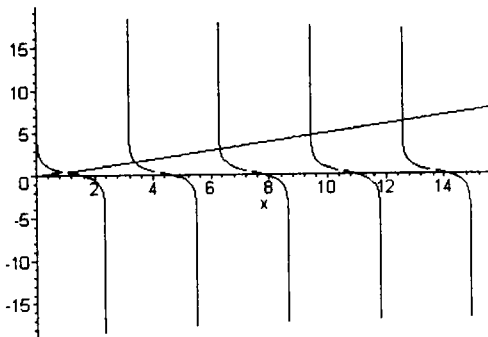
Из граничных условий находим $B = 0$,

$$\operatorname{ctg}(\sqrt{\lambda}a) = \frac{\sqrt{\lambda}a}{ha}, \quad A \neq 0.$$

Обозначим $\gamma = \sqrt{\lambda}a$; тогда последнее соотношение принимает вид

$$\operatorname{ctg}(\gamma) = \frac{\gamma}{ha}. \quad (3.90)$$

На основании общей теории можно утверждать, что все собственные значения вещественны и положительны, поэтому γ вещественно. Решение уравнения (3.90) можно найти графически.



Пусть $\gamma = \gamma_n$ ($n = 1, 2, 3, \dots, \infty$) — положительные корни уравнения (3.90). Тогда собственные значения будут

$$\lambda = \lambda_n = \frac{\gamma_n^2}{a^2}.$$

Соответствующие собственные функции будут

$$X(x) = X_n(x) = \cos\left(\gamma_n \frac{x}{a}\right).$$

Отрицательные значения n и γ не дают новых собственных значений и собственных функций.

Если $\lambda = 0$, то общее решение уравнения (3.88) имеет вид $X(x) = A + Bx$. Из граничных условий находим $B = 0$; $A = 0$. Следовательно, $\lambda = 0$ — не собственное значение задачи (3.88).

Рассмотрим теперь уравнение (3.89); оно принимает вид

$$Y'(\tau) + \left(\frac{\gamma_n}{a}\right)^2 Y(\tau) = 0 \Rightarrow Y = Y_n(\tau) = M_n e^{-\frac{\gamma_n^2}{a^2} \tau}.$$

Совокупность частных решений исходного уравнения (3.85) имеет вид

$$T = T_n = M_n e^{-\frac{\gamma_n^2}{a^2} \tau} \cos\left(\gamma_n \frac{x}{a}\right).$$

Каждое такое решение удовлетворяет однородным граничным условиям (3.86) и однородному уравнению (3.85) и не удовлетворяет начальному условию (3.87). Чтобы удовлетворить этому начальному условию, мы, в соответствии с принципом суперпозиции, составляем сумму

$$T = \sum_{n=1}^{\infty} M_n e^{-\frac{\gamma_n^2}{a^2} \tau} \cos\left(\gamma_n \frac{x}{a}\right).$$

Откуда, постулируя «хорошую» сходимость написанного ряда, находим

$$T|_{\tau=0} = \varphi(x) = \sum_{n=1}^{\infty} M_n \cos\left(\gamma_n \frac{x}{a}\right).$$

Последнее соотношение — разложение функции $\varphi(x)$ по собственным функциям задачи Штурма—Лиувилля (3.88). Следовательно,

$$M_n = \frac{1}{\|X_n\|^2} \int_0^a \varphi(x) \cos\left(\gamma_n \frac{x}{a}\right) dx,$$

причем

$$\|X_n\|^2 = \int_0^a \cos^2\left(\gamma_n \frac{x}{a}\right) dx = \frac{a}{2} \left[1 + \frac{\sin(2\gamma_n)}{2\gamma_n}\right].$$

Окончательно, формальное решение задачи будет иметь вид

$$T = \frac{2}{a} \sum_{n=1}^{\infty} \frac{\int_0^a \varphi(x) \cos\left(\gamma_n \frac{x}{a}\right) dx}{\left[1 + \frac{\sin(2\gamma_n)}{2\gamma_n}\right]} e^{-\frac{\gamma_n^2}{a^2} \tau} \cos\left(\gamma_n \frac{x}{a}\right).$$

Например, в частном случае, когда $\varphi(x) = T_0 = \text{const}$, будем иметь

$$\int_0^a \varphi(x) \cos\left(\gamma_n \frac{x}{a}\right) dx = T_0 \int_0^a \cos\left(\gamma_n \frac{x}{a}\right) dx = T_0 a \frac{\sin(\gamma_n)}{\gamma_n},$$

и тогда

$$T = 4T_0 \sum_{n=1}^{\infty} \frac{\sin(\gamma_n)}{[2\gamma_n + \sin(2\gamma_n)]} e^{-\frac{\gamma_n^2}{a^2} \tau} \cos\left(\gamma_n \frac{x}{a}\right).$$

Замечание о вычислении корней уравнения (3.90). Корни уравнения (3.90) можно найти методом последовательных приближений, например, по схеме

$$\gamma^{(m)} = \text{arccctg}\left(\frac{\gamma^{(m-1)}}{ha}\right), \quad m = 1, 2, \dots,$$

причем, в качестве нулевого приближения можно снять значение $\gamma^{(0)}$ с графика. Если величина ha не мала, то процесс последовательных приближений сходится быстро. Вычисления следует продолжать до тех пор, пока десятичные знаки начнут повторяться.

Вопросы к главе 3

1. Какое уравнение называется однородным линейным дифференциальным уравнением в частных производных второго порядка? Приведите примеры таких уравнений.
2. Перечислите свойства решений линейного уравнения в частных производных (принцип суперпозиции).
3. Какое уравнение в частных производных называется уравнением с разделяющимися переменными? Приведите примеры.
4. Выполните процесс разделения переменных в случае уравнения с двумя независимыми переменными. Что такое параметр разделения?
5. Выполните процесс разделения переменных в случае уравнения с тремя независимыми переменными. Сколько параметров разделения мы будем иметь в этом случае?
6. Выполните процесс разделения переменных в случае уравнения Лапласа в декартовых координатах.
7. Выполните процесс разделения переменных в случае уравнения Лапласа в цилиндрических координатах.
8. Выполните процесс разделения переменных в случае уравнения Лапласа в сферических координатах.

9. Выполните процесс разделения переменных в случае одномерного волнового уравнения с двумя независимыми переменными.
10. Выполните процесс разделения переменных в случае одномерного уравнения теплопроводности с двумя независимыми переменными.
11. Дайте решение задачи об охлаждении пластины методом разделения переменных.
12. Сформулируйте задачу Дирихле для круга. Получите решение этой задачи методом разделения переменных.
13. Напишите интеграл Пуассона. В чем преимущества такого представления решения задачи Дирихле для круга?
14. Как можно использовать интеграл Пуассона для решения задачи Дирихле для произвольной плоской области?
15. Сформулируйте задачу Штурма—Лиувилля.
16. Что называется собственной функцией задачи? Что такое собственное значение задачи?
17. Какая задача Штурма—Лиувилля называется регулярной? Сингулярной?
18. Что называется спектром задачи Штурма—Лиувилля? Какие спектры возможны?
19. Сколько собственных функций могут отвечать данному собственному значению?
20. Приведите примеры граничных условий для регулярной задачи Штурма—Лиувилля.
21. Какие граничные условия ставятся в случае сингулярной задачи Штурма—Лиувилля?
22. Перечислите свойства собственных значений регулярной задачи Штурма—Лиувилля.
23. Докажите теорему об ограниченности снизу множества собственных значений регулярной задачи Штурма—Лиувилля.
24. Докажите теорему о вещественности собственных значений регулярной задачи Штурма—Лиувилля.
25. Что называется фундаментальной системой решений Штурма—Лиувилля? Приведите пример.
26. Какими свойствами обладают фундаментальные решения задачи Штурма—Лиувилля?
27. Докажите свойство линейной независимости фундаментальных решений Штурма—Лиувилля.
28. Получите асимптотические формулы фундаментальных решений Штурма—Лиувилля при $\lambda \rightarrow \infty$.
29. В чем заключается основная идея метода Стеклова—Лиувилля—Фубини?
30. Изложите в общем виде вопрос об определении собственных значений и собственных функций регулярной задачи Штурма—Лиувилля.

31. Сколько собственных функций могут отвечать данному собственному значению в случае регулярной задачи Штурма—Лиувилля с граничными условиями первого, второго или третьего рода?
32. Какие функции называются ортогональными? Приведите примеры ортогональных систем функций.
33. Что называется нормой для данной системы функций?
34. Сформулируйте и докажите теорему об ортогональности собственных функций регулярной задачи Штурма—Лиувилля.
35. Сформулируйте условия Дирихле.
36. Сформулируйте теорему о разложении функции в ряд по собственным функциям регулярной задачи Штурма—Лиувилля. Приведите пример.
37. Сформулируйте регулярную задачу Штурма—Лиувилля с граничными условиями четвертого рода. Приведите пример.
38. Изложите в общем виде вопрос об определении собственных значений и собственных функций регулярной задачи Штурма—Лиувилля с граничными условиями четвертого рода. В чем особенность этой задачи?
39. Сформулируйте и докажите теорему об ортогональности собственных функций регулярной задачи Штурма—Лиувилля с граничными условиями четвертого рода.
40. В чем особенность собственных функций, отвечающих граничным условиям четвертого рода? Сколько собственных функций могут отвечать данному собственному значению?
41. В чем состоит процесс ортогонализации?
42. Приведите пример задачи Штурма—Лиувилля с граничными условиями четвертого рода.
43. Приведите примеры сингулярных задач Штурма—Лиувилля с дискретным спектром.
44. Приведите примеры сингулярных задач Штурма—Лиувилля с непрерывным спектром.
45. Дайте общее изложение метода Фурье для случая двух независимых переменных.
46. Дайте решение задачи об охлаждении пластины, излучающей тепло, методом Фурье.
47. Приведите краткую схему применения метода Фурье.

Задачи с примерами решения

1. Найти собственные значения и собственные функции краевой задачи
 - 1) $y'' + \lambda y = 0$, $y(0) = 0$, $y(l) = 0$, $x \in [0, l]$;
 - 2) $y'' + \lambda y = 0$, $y(0) = 0$, $y'(l) + hy(l) = 0$, $x \in [0, l]$, $h > 0$;
 - 3) $y'' + \lambda y = 0$, $y(l) = 0$, $-y'(0) + hy(0) = 0$, $x \in [0, l]$, $h > 0$;

- 4) $y'' + \lambda y = 0, y(0) = 0, y'(l) = 0, x \in [0, l];$
- 5) $y'' + \lambda y = 0, y'(0) = 0, y(l) = 0, x \in [0, l];$
- 6) $y'' + \lambda y = 0, y'(0) = 0, y'(l) = 0, x \in [0, l];$
- 7) $y'' + \lambda y = 0, y'(0) = 0, y'(l) + hy(l) = 0, x \in [0, l], h > 0;$
- 8) $y'' + \lambda y = 0, y'(l) = 0, -y'(0) + hy(0) = 0, x \in [0, l], h > 0;$
- 9) $y'' + \lambda y = 0, -y'(0) + hy(0) = 0, y'(l) + hy(l) = 0, x \in [0, l], h > 0;$
- 10) $\frac{d}{dx} \left(x \frac{dy}{dx} \right) + \frac{\lambda}{x} y = 0, y(a) = 0, y(b) = 0, x \in [a, b], a \neq 0, b \neq 0;$
- 11) $\frac{d}{dx} \left(x^2 \frac{dy}{dx} \right) + \lambda x^2 y = 0, y(a) = 0, y(b) = 0, x \in [a, b], a \neq 0, b \neq 0;$
- 12) $y'' + \lambda y = 0, y(-l) = 0, y(l) = 0, x \in [-l, l];$
- 13) $y'' + \lambda y = 0, y'(-l) = 0, y'(l) = 0, x \in [-l, l];$
- 14) $y'' + \lambda y = 0, -y'(-l) + hy(-l) = 0, y'(l) + hy(l) = 0, x \in [-l, l], h > 0;$
- 15) $\frac{d}{dx} \left(x \frac{dy}{dx} \right) + \frac{\lambda}{x} y = 0, y'(a) = 0, y'(b) = 0, x \in [a, b], a \neq 0, b \neq 0.$

2. Разложить функцию $f(x) = x^2$ в ряд по собственным функциям задачи

$$y'' + \lambda y = 0, y(-l) = y(l), y'(-l) = y'(l), x \in [-l, l].$$

3. Разложить функцию

$$f(x) = \begin{cases} 0, & -l \leq x \leq 0, \\ x^2, & 0 \leq x \leq l \end{cases}$$

в ряд по собственным функциям задачи

$$y'' + \lambda y = 0, y(-l) = y(l), y'(-l) = y'(l), x \in [-l, l].$$

4. Разложить функцию $f(x) = x^2$ в ряд по собственным функциям задачи

$$y'' + \lambda y = 0, y(0) = 0, y(l) = 0, x \in [0, l].$$

5. Разложить функцию $f(x) = 1$ в ряд по собственным функциям задачи 1.10.

6. Разложить функцию $f(x) = x^2$ в ряд по собственным функциям задачи

$$\frac{d}{dx} \left(x^2 \frac{dy}{dx} \right) + \lambda x^2 y = 0, y(0) = O(1), y'(a) = 0, x \in [0, a].$$

7. Разложить функцию $f(x) = c^2 - x^2$ в ряд по собственным функциям задачи

$$\frac{d}{dx} \left(x^2 \frac{dy}{dx} \right) + \lambda x^2 y = 0, y(0) = O(1), y'(a) + hy(a) = 0, x \in [0, a], h > 0.$$

8. Разложить функцию $f(x) = 1 + cx$ в ряд по собственным функциям задачи

$$y'' + \lambda y = 0, -y'(0) + hy(0) = 0, y(a) = 0, x \in [0, a], h > 0.$$

9. Разложить функцию $f(x) = x$ в ряд по собственным функциям задачи 1.10.
 10. Решить сингулярные задачи Штурма—Лиувилля для уравнения

$$\frac{d}{dx} \left(x^2 \frac{dy}{dx} \right) + \lambda x^2 y = 0, \quad x \in (0, a), \quad h > 0$$

при условиях

$$\begin{aligned} y|_{x=a} &= 0, & y|_{x=0} &= O(1); \\ y'|_{x=a} &= 0, & y'|_{x=0} &= O(1); \\ y' + hy|_{x=a} &= 0, & y|_{x=0} &= O(1), \quad h > 0. \end{aligned}$$

11. Струна $0 \leq x \leq l$ с жестко закрепленными концами до момента $t = 0$ находилась в состоянии равновесия под действием поперечной силы $F_0 = \text{const}$, приложенной к точке x_0 струны перпендикулярно к невозмущенному положению струны. В начальный момент времени $t = 0$ действие силы F_0 мгновенно прекращается. Найти колебания струны при $t > 0$.
 12. Концы струны закреплены жестко, а начальное отклонение имеет форму квадратичной параболы, симметричной относительно перпендикуляра к середине струны. Найти колебания струны, если начальные скорости равны нулю, а начальное максимальное смещение равно h .
 13. Струна с жестко закрепленными концами возбуждается ударом жесткого плоского молоточка, сообщаящего ей следующее начальное распределение скоростей:

$$\left. \frac{\partial u}{\partial t} \right|_{t=0} = \psi(x) = \begin{cases} 0, & 0 \leq x \leq x_0 - \delta \\ v_0, & x_0 - \delta \leq x \leq x_0 + \delta \\ 0, & x_0 + \delta \leq x \leq l. \end{cases}$$

Найти колебания струны, если начальное отклонение равно нулю.

14. Струна с жестко закрепленными концами возбуждается ударом жесткого выпуклого молоточка, сообщаящего ей следующее начальное распределение скоростей:

$$\left. \frac{\partial u}{\partial t} \right|_{t=0} = \psi(x) = \begin{cases} 0, & 0 \leq x \leq x_0 - \delta, \\ v_0 \cos \left(\frac{\pi(x - x_0)}{2\delta} \right), & x_0 - \delta \leq x \leq x_0 + \delta, \\ 0, & x_0 + \delta \leq x \leq l. \end{cases}$$

Найти колебания струны, если начальное отклонение равно нулю.

15. Струна с жестко закрепленными концами возбуждается ударом острого молоточка, передающего ей импульс I в точке x_0 . Найти колебания струны, если начальное отклонение равно нулю.
 16. Найти продольные колебания стержня, один конец которого ($x = 0$) закреплен жестко, а другой ($x = l$) свободен, при начальных условиях:

$$u(x, 0) = kx, \quad \left. \frac{\partial u}{\partial t} \right|_{t=0} = 0, \quad 0 \leq x \leq l.$$

17. Стержень длины l , закрепленный в точке ($x = 0$), растянут силой $F_0 = \text{const}$, приложенной на его другом конце. В момент $t = 0$ действие силы F_0 мгновенно прекращается. Найти колебания стержня, если начальные скорости равны нулю.
18. Найти колебания упругого стержня со свободными концами, если начальные скорости и начальные смещения в продольном направлении произвольны.
19. Найти колебания упругого стержня со свободными концами, получившего в начальный момент времени продольный импульс I в один из концов.
20. Найти колебания упругого стержня, один конец которого жестко закреплен, а другой конец свободен и получает в начальный момент времени продольный импульс I .
21. Найти распределение температуры в стержне $0 \leq x \leq l$ с теплоизолированной боковой поверхностью, если температура его концов поддерживается равной нулю, а начальная температура равна $T_0 = \text{const}$.
22. Дать решение первой краевой задачи для уравнения Лапласа вне круга.
23. Дать решение второй краевой задачи для уравнения Лапласа вне круга.
24. Дать решение второй краевой задачи для уравнения Лапласа внутри круга.
25. Дать решение третьей внутренней краевой задачи для уравнения Лапласа в круге, если граничное условие записывается в виде

$$\frac{\partial u}{\partial r} - hu|_{r=a} = -f.$$

26. Дать решение третьей внешней краевой задачи для уравнения Лапласа для круга.
27. Дать решение внутренней краевой задачи для уравнения Лапласа, если на границе круга задано условие

$$u|_{r=a} = A \sin \varphi.$$

28. Дать решение внутренней краевой задачи для уравнения Лапласа, если на границе круга задано условие

$$u|_{r=a} = A \sin^3 \varphi + B.$$

29. Найти функцию, гармоническую внутри круга радиуса R с центром в начале координат и такую, что

$$1) \left. \frac{\partial u}{\partial r} \right|_{r=R} = A \cos(\varphi);$$

$$2) \left. \frac{\partial u}{\partial r} \right|_{r=R} = A \cos(2\varphi);$$

$$3) \left. \frac{\partial u}{\partial r} \right|_{r=R} = \sin^3(\varphi).$$

30. Найти стационарное распределение температуры $u(r, \varphi)$ внутри бесконечного цилиндра радиуса R , если на его поверхности поддерживается температура

$$u|_{r=R} = A \sin \varphi.$$

31. Найти функцию, гармоническую внутри единичного круга с центром в начале координат и такую, что

1) $u|_{r=1} = \cos^2(\varphi);$

2) $u|_{r=1} = \cos^4(\varphi);$

3) $u|_{r=1} = \sin^3(\varphi);$

4) $u|_{r=1} = \cos^6(\varphi) + \sin^6(\varphi).$

32. Решить задачу о колебаниях струны $0 < x < l$ с закрепленными концами, если начальные скорости точек струны равны нулю, а начальное отклонение имеет форму синусоиды

$$u|_{t=0} = A \sin\left(\frac{\pi n x}{l}\right), \quad (n - \text{целое}).$$

33. Найти закон выравнивания заданного начального распределения температуры $f(x)$ в пластине, грани которой $x = 0$ и $x = a$ не пропускают тепла.

34. Дать общее решение задачи об охлаждении шара радиуса a при условии, что начальное распределение температуры задано

$$u(r, t)|_{t=0} = f(r),$$

а температура поверхности равна нулю. Рассмотреть случай $f(r) = T_0 = \text{const}$.

35. Найти распределение температуры в шаре радиуса a , поверхность которого, начиная с момента времени $t = 0$, излучает тепло по закону Ньютона, а начальная температура равна $T_0 = \text{const}$.

36. Пластина толщины $2a$ ($-a \leq x \leq a$) с заданным начальным распределением температуры $u(x, 0) = f(x)$, начиная с момента времени $t = 0$, излучает тепло в окружающую среду, температура которой принимается равной нулю. Считается, что излучение подчиняется закону Ньютона. Найти распределение температуры в пластине в произвольный момент времени.

37. Найти закон колебаний струны длиной l , расположенной на отрезке $[0, l]$ и закрепленной на концах, если в начальный момент струне придана форма кривой $f(x) = x(l-x)/(8l)$, а затем струна отпущена без начальной скорости.

38. Однородная струна длиной l натянута между точками $x = 0$ и $x = l$. В точке $x = c$ струна оттягивается на небольшое расстояние h от положения равновесия и в момент времени $t = 0$ отпускается без начальной скорости. Определить отклонение $u(x, t)$ струны для любого момента времени.

39. Решить задачу:

$$\frac{1}{a^2} \frac{\partial u}{\partial t} = \frac{\partial^2 u}{\partial x^2}, \quad 0 < x < l, \quad t > 0;$$

$$u(0, t) = 0, \quad \left. \frac{\partial u}{\partial x} \right|_{x=l} = 0, \quad u(x, 0) = T_0.$$

40. Решить задачу:

$$\frac{1}{a^2} \frac{\partial^2 u}{\partial t^2} = \frac{\partial^2 u}{\partial x^2}, \quad 0 < x < l, \quad t > 0;$$

$$\left. \frac{\partial u}{\partial x} \right|_{x=0} = 0, \quad \left. \frac{\partial u}{\partial x} \right|_{x=l} = 0, \quad u(x,0) = x(l-x), \quad \left. \frac{\partial u}{\partial t} \right|_{t=0} = 0.$$

41. Решить задачу Дирихле для уравнения Лапласа в квадрате $D\{0 \leq x \leq l; 0 \leq y \leq l\}$ при краевых условиях: $u(x,0) = u(x,l) = x(l-x)$, $u(0,y) = u(l,y) = 0$.

Примеры решения типовых задач

Пример 1. Разложить функцию $f(x) = x^2$ в обобщенный ряд Фурье по собственным функциям сингулярной задачи Штурма—Лиувилля

$$\frac{d}{dx} \left(x^2 \frac{dy}{dx} \right) + \lambda x^2 y = 0, \quad y(0) = O(1), \quad y'(a) = 0, \quad x \in [0, a].$$

Решение. Воспользуемся системой аналитических вычислений Maple. Зададим уравнение. При этом, рассмотрим два случая, $\lambda \neq 0$ и $\lambda = 0$:

```
> eq:=diff(x^2*diff(y(x),x),x)+lambda*x^2*y(x)=0;
> lambda:=0: eq0:=subs(y(x)=y0(x),eq);
> lambda:='lambda':
```

$$eq := 2x \left(\frac{d}{dx} y(x) \right) + x^2 \left(\frac{d^2}{dx^2} y(x) \right) + \lambda x^2 y(x) = 0$$

$$\lambda := 0$$

$$eq0 := 2x \left(\frac{d}{dx} y0(x) \right) + x^2 \left(\frac{d^2}{dx^2} y0(x) \right) = 0$$

$$\lambda := \lambda$$

Рассматриваем случай, когда $\lambda \neq 0$. Находим общее решение заданного уравнения:

```
> dsol:=solve(eq,y(x)):assign(dsol):
```

$$dsol := y(x) = \frac{C1 \sin(\sqrt{\lambda} x)}{x} + \frac{C2 \cos(\sqrt{\lambda} x)}{x}$$

Проверяем правильность этого решения:

```
> simplify(value(eq)):
```

$$0 = 0$$

Видим, что решение будет ограниченным в нуле, если принять константу при косинусе равной нулю:

```
> y:=subs(_C2=0,y(x)):
```

$$y := \frac{C1 \sin(\sqrt{\lambda} x)}{x}$$

Находим производную:

```
> y1:=simplify(diff(y,x));
```

$$y1 := \frac{-C1(-\sin(\sqrt{\lambda}x) + \cos(\sqrt{\lambda}x)\sqrt{\lambda}x)}{x^2}$$

Получаем уравнение для определения собственных значений задачи:

```
> eq1:=expand(subs(x=a,y1)/_C1*a^2)=0;
```

```
> eq1:=expand(lhs(eq1)/cos(lambda^(1/2)*a))=0;
```

$$eq1 := -\sin(\sqrt{\lambda}a) + \cos(\sqrt{\lambda}a)\sqrt{\lambda}a = 0$$

$$eq1 := -\frac{\sin(\sqrt{\lambda}a)}{\cos(\sqrt{\lambda}a)} + \sqrt{\lambda}a = 0$$

Преобразовываем это уравнение и определяем функцию, нулями которой задаются собственные значения:

```
> eq1:=convert(eq1,tan)s;
```

```
> f:=subs(lambda^(1/2)*a=mu,lhs(eq1));
```

$$eq1 := -\tan(\sqrt{\lambda}a) + \sqrt{\lambda}a = 0$$

$$f := -\tan(\mu) + \mu$$

Здесь мы ввели обозначение $f(\mu) = -\tan(\mu) + \mu$, причем $\mu = \sqrt{\lambda}a$.

Пусть μ_k , $k = 1, 2, 3, \dots$ — положительные корни уравнения $f(\mu) = 0$. Тогда собственные значения задачи определяются по формуле $\lambda_k = (\mu_k/a)^2$. Собственные функции будут $\sin(\mu_k x/a)/x$. Определяем эти функции:

```
> y:=(x,n)->sin((mu[n]/a)*x)/x;
```

$$y := (x, n) \rightarrow \frac{\sin\left(\frac{\mu_n x}{a}\right)}{x}$$

Согласно общей теории, эти функции ортогональны на $[0, a]$ с весом x^2 . Проверим это:

```
> Int(x^2*y(x,n)*y(x,m),x=0..a):res:=value(%);
```

```
> simplify(res,{sin(mu[m])=mu[m]*cos(mu[m]),
```

```
> sin(mu[n])=mu[n]*cos(mu[n])});
```

$$\int_0^a \sin\left(\frac{\mu_n x}{a}\right) \sin\left(\frac{\mu_m x}{a}\right) dx$$

$$res := -\frac{a(\mu_n \cos(\mu_n) \sin(\mu_m) - \mu_m \sin(\mu_n) \cos(\mu_m))}{\mu_n^2 - \mu_m^2}$$

Вычисляем квадрат нормы:

```
> Int(x^2*y(x,n)^2,x=0..a):Norma:=simplify(value(%)):
```

$$\int_0^a \sin\left(\frac{\mu_n x}{a}\right)^2 dx$$

$$Norma := \frac{1}{2} \frac{a (\cos(\mu_n) \sin(\mu_n) - \mu_n)}{\mu_n}$$

Упрощаем полученный результат:

```
> Norma:=subs(sin(mu[n])=mu[n]*cos(mu[n]),Norma);
> Norma:=simplify(Norma,{cos(mu[n])^2=-sin(mu[n])^2+1}):
```

$$Norma := -\frac{1}{2} \frac{a (\cos(\mu_n)^2 \mu_n - \mu_n)}{\mu_n}$$

$$Norma := \frac{1}{2} a \sin(\mu_n)^2$$

таким образом, искомое разложение имеет вид

$$x^2 \sim C_0 + \sum_{n=1}^{\infty} C_n \frac{\sin\left(\frac{\mu_n x}{a}\right)}{x}. \quad (3.91)$$

Необходимость нулевого члена C_0 мы установим далее.

Вычисляем коэффициенты разложения C_n , $n = 1, 2, \dots$:

```
> c:=Int(x^2*x^2*y(x,n),x=0..a):
```

$$c := \int_0^a x^3 \sin\left(\frac{\mu_n x}{a}\right) dx$$

```
> c:=value(c):
```

```
> c:=subs(sin(mu[n])=mu[n]*cos(mu[n]),c):
```

$$c := -\frac{a^4 (-6 \mu_n \cos(\mu_n) + 6 \sin(\mu_n) + \mu_n^3 \cos(\mu_n) - 3 \mu_n^2 \sin(\mu_n))}{\mu_n^4}$$

$$c := \frac{2 a^4 \cos(\mu_n)}{\mu_n}$$

```
> C:=simplify(subs(sin(mu[n])=mu[n]*cos(mu[n]),c/Norma)):
```

$$C := \frac{4 a^3}{\mu_n^3 \cos(\mu_n)}$$

```
> C:=unapply(C,n):
```


$$C := n \rightarrow \frac{4 a^3}{\mu_n^3 \cos(\mu_n)}$$

Итак, мы получили $C_n = 4a^3 / [\mu_n^3 \cos(\mu_n)]$, $n = 1, 2, \dots$

Отдельно проверим, будет ли $\lambda = 0$ собственным значением задачи:

```
> sol0:=dsolve(eq0.y0(x)):assign(sol0);
> simplify(value(eq0)):
```

$$\text{sol0} := y0(x) = _C1 + \frac{C2}{x}$$

$$0 = 0$$

Мы получили общее решение уравнения при $\lambda = 0$ в виде $y_0(x) = C_1 + C_2/x$. Видим, что это решение будет ограниченным в нуле, если $C_2 = 0$, а тогда оно удовлетворяет второму краевому условию при любом C_1 . Таким образом, получаем, что $\lambda = 0$ является собственным значением задачи, которому отвечает собственная функция, равная единице. Отсюда и вытекает необходимость нулевого члена C_0 в формуле (3.91).

Вычисляем теперь коэффициент C_0 искомого разложения. Для этого мы интегрируем выражение (3.91) на $[0, a]$ с весом x^2 :

```
> Int(x^2*y(x,n),x=0..a):value(%);
> simplify(subs(sin(mu[n])=mu[n]*cos(mu[n]),%)):
```

$$\frac{\int_0^a x \sin\left(\frac{\mu_n x}{a}\right) dx}{\mu_n^2} - \frac{a^2(-\sin(\mu_n) + \mu_n \cos(\mu_n))}{\mu_n^2}$$

```
> C0:=Int(x^4,x=0..a)/Int(x^2,x=0..a):C0:=value(C0):
```

$$C0 := \frac{\int_0^a x^4 dx}{\int_0^a x^2 dx}$$

$$C0 := \frac{3 a^2}{5}$$

Таким образом, искомое разложение имеет вид

$$x^2 \sim \frac{3a^2}{5} + \frac{4a^3}{x} \sum_{n=1}^{\infty} \frac{\sin\left(\frac{\mu_n x}{a}\right)}{\mu_n^3 \cos(\mu_n)}. \quad (3.92)$$

Выполним теперь некоторые численные расчеты для конкретного интервала $[0, a]$. Определим функцию, стоящую в правой части (3.92), в Maple:

```
> g:=(x,K)->C0+sum(C(k)*y(x,k),k=1..K):g(x,K):
```

$$g := (x, K) \rightarrow C0 + \left(\sum_{k=1}^K C(k) y(x, k) \right)$$

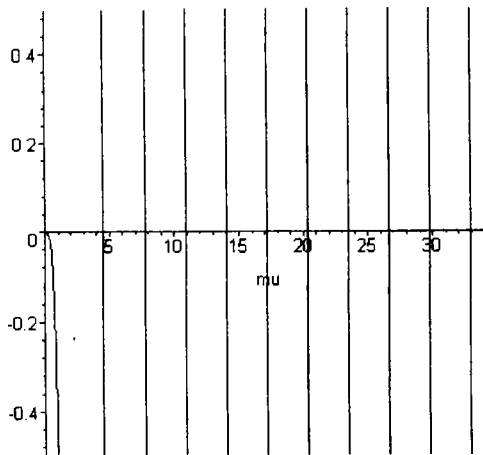
$$\frac{3a^2}{5} + \left(\sum_{k=1}^K \left(\frac{4a^3 \sin\left(\frac{\mu_k x}{a}\right)}{\mu_k^3 \cos(\mu_k x)} \right) \right)$$

Посмотрим на распределение корней характеристического уравнения

$$f(\mu) = -\operatorname{tg}(\mu) + \mu = 0;$$

построим график левой части этого уравнения:

```
> plot(f,mu=0..11*Pi,-0.5..0.5,discont=true,color=black):
```



Найдем, например, первые сто корней характеристического уравнения:

```
> K:=100:mu:=array(1..K):
> for i from 1 to K do
> mu[i]:=fsolve(f=0,mu,i*Pi..(i+1)*Pi):
> end do:
```

$$\mu_1 := 4.493409458$$

$$\mu_2 := 7.725251837$$

$$\mu_3 := 10.90412166$$

$$\mu_4 := 14.06619391$$

$$\mu_5 := 17.22075527$$

$$\mu_6 := 20.37130296$$

$$\mu_7 := 23.51945250$$

$$\mu_8 := 26.66605426$$

$$\mu_9 := 29.81159879$$

$$\mu_{10} := 32.95638904$$

и так далее. Все последующие значения корней мы, по понятным причинам, напечатать не можем. Но мы можем посмотреть, скажем, на 87-й или 100-й корни:

```
> mu[87]:mu[100]:
```

274.8857193

315.7268944

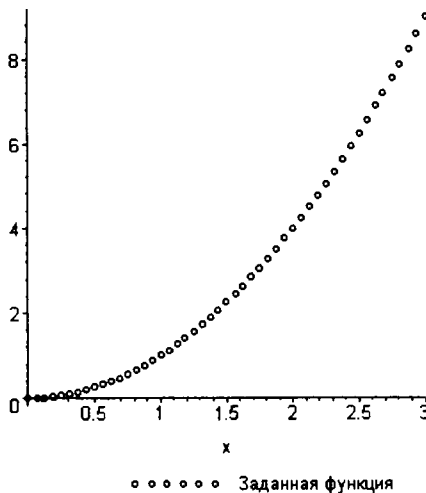
Зададим теперь конкретный интервал, на котором мы хотим разложить функцию x^2 ; пусть, например,

```
> a:=3;
```

$$a := 3$$

Построим график заданной функции x^2 :

```
> pt:=
> plot(x^2,x=0..a,style=point,symbol=circle,color=black,
> legend=`Заданная функция`):
> plots[display]({pt}):
```



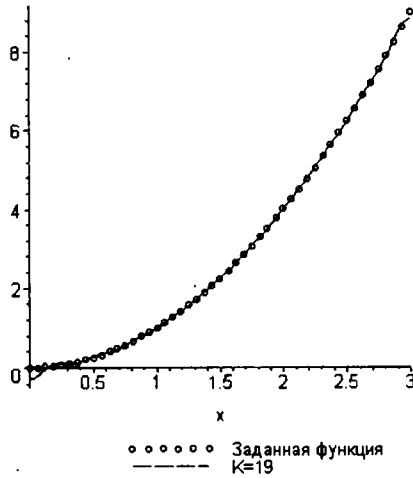
Посмотрим, как аппроксимируют эту функцию частичные суммы ряда (3.92):

```
> p21:=
```

```

> plot(g(x,21),x=0..a,linestyle=3,color=blue,
> legend='K=21'):
> p20:=
> plot(g(x,20),x=0..a,linestyle=4,color=brown,
> legend='K=20'):
> p19:=
> plot(g(x,19),x=0..a,linestyle=5,color=black,
> legend='K=19'):
> plots[display]({pt,p19}):

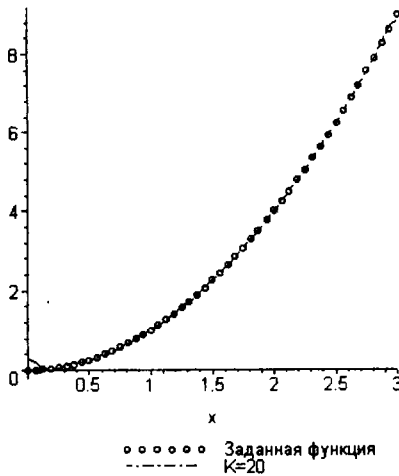
```



```

> plots[display]({pt,p20}):

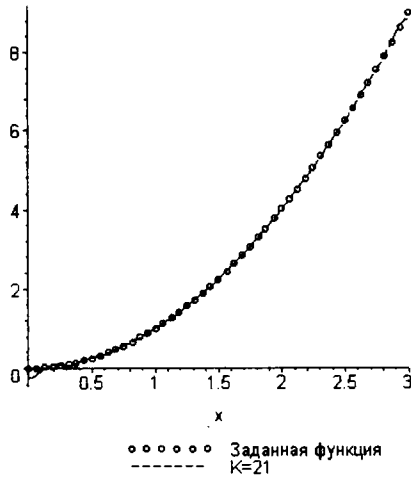
```



```

> plots[display]({pt,p21}):

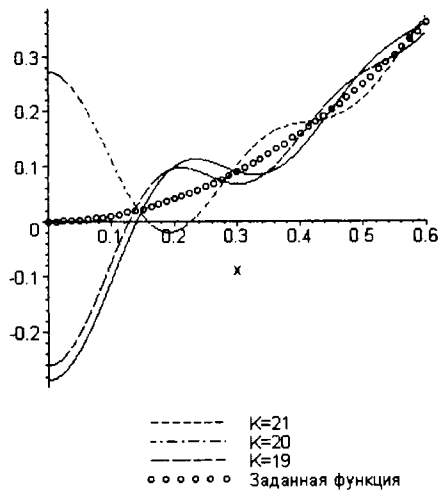
```



Видим, что сходимость ряда хорошая, однако она ухудшается вблизи сингулярной границы:

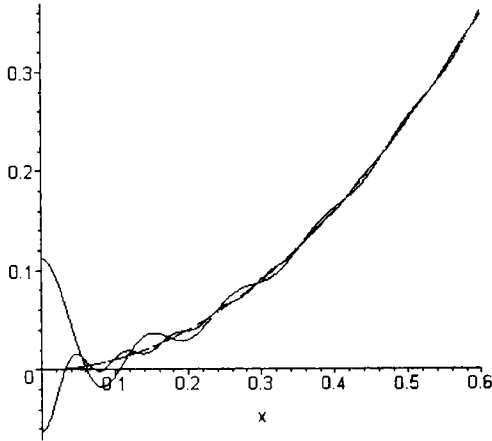
```

> p_21:=plot(g(x,21),x=0..a/5,linestyle=3,color=blue,
> legend=`K=21`):
> p_20:=plot(g(x,20),x=0..a/5,linestyle=4,color=brown,
> legend=`K=20`):
> p_19:=plot(g(x,19),x=0..a/5,linestyle=5,color=black,
> legend=`K=19`):
> pt_:=plot(x^2,x=0..a/5,style=point,symbol=circle,
> color=black,legend=`Заданная функция`):
> plots[display]({pt_,p_19,p_20,p_21}):
  
```



С увеличением числа удерживаемых членов ряда аппроксимация улучшается:

```
> plot({g(x,100),g(x,91),g(x,50),x^2},x=0..a/5,
> color=[blue,red,black,brown]);
```



Пример 2. Найти собственные значения и собственные функции задачи Штурма—Лиувилля:

$$y'' + \lambda y = 0, \quad -y'(0) + hy(0) = 0, \quad y'(a) + hy(a) = 0, \quad x \in [0, a], \quad h > 0.$$

Решение. Воспользуемся системой аналитических вычислений Maple. Зададим уравнение. При этом рассмотрим два случая, $\lambda \neq 0$ и $\lambda = 0$:

```
> eq:=diff(y(x),x$2)+lambda*y(x)=0;
> lambda:=0: eq0:=subs(y(x)=y0(x),eq): lambda:='lambda':
```

$$eq := \left(\frac{d^2}{dx^2} y(x) \right) + \lambda y(x) = 0$$

$$\lambda := 0$$

$$eq0 := \frac{d^2}{dx^2} y0(x) = 0$$

$$\lambda := \lambda$$

Рассматриваем случай, когда $\lambda \neq 0$. Находим общее решение заданного уравнения:

```
> assume(a>0):assume(lambda>0):
> dsol:=dsolve(eq,y(x)):assign(dsol):
dsol := y(x) = _C1 sin(√λ~ x) + _C2 cos(√λ~ x)
> simplify(value(eq)):
```

$$0 = 0$$

Вычисляем производную:

```
> y:=y(x):y1:=simplify(diff(y,x)):
y := _C1 sin(√λ~ x) + _C2 cos(√λ~ x)
```

$$y1 := \sqrt{\lambda\sim} (_C1 \cos(\sqrt{\lambda\sim} x) - _C2 \sin(\sqrt{\lambda\sim} x))$$

Получаем уравнение для определения собственных значений. Для этого состав-
ляем систему уравнений по граничным условиям:

$$> \text{eq1} := \text{simplify}(\text{subs}(x=0, -y1+h*y))=0;$$

$$> \text{eq2} := \text{simplify}(\text{subs}(x=a, y1+h*y))=0;$$

$$\text{eq1} := -\sqrt{\lambda\sim} _C1 + h _C2 = 0$$

$$\text{eq2} := \sqrt{\lambda\sim} _C1 \cos(\sqrt{\lambda\sim} a) - \sqrt{\lambda\sim} _C2 \sin(\sqrt{\lambda\sim} a) + h _C1 \sin(\sqrt{\lambda\sim} a) + h _C2 \cos(\sqrt{\lambda\sim} a) = 0$$

Формируем матрицу системы и находим ее определитель:

$$> A := \text{linalg}[\text{genmatrix}]((\{\text{eq1}, \text{eq2}\}, \{_C1, _C2\}));$$

$$> \text{Delta} := \text{simplify}(\text{linalg}[\text{det}](A));$$

$$A := \begin{bmatrix} \sqrt{\lambda\sim} \cos(\sqrt{\lambda\sim} a) + h \sin(\sqrt{\lambda\sim} a) & -\sqrt{\lambda\sim} \sin(\sqrt{\lambda\sim} a) + h \cos(\sqrt{\lambda\sim} a) \\ -\sqrt{\lambda\sim} & h \end{bmatrix}$$

$$\Delta := 2 h \sqrt{\lambda\sim} \cos(\sqrt{\lambda\sim} a) + h^2 \sin(\sqrt{\lambda\sim} a) - \lambda\sim \sin(\sqrt{\lambda\sim} a)$$

Равенство нулю определителя и будет характеристическим уравнением для
определения собственных значений задачи. Преобразуем полученный опреде-
литель в уравнение:

$$> \text{eq} := \text{expand}(\text{Delta}/\cos(\lambda\sim^{(1/2)*a}))=0;$$

$$\text{eq} := 2 h \sqrt{\lambda\sim} + \frac{h^2 \sin(\sqrt{\lambda\sim} a)}{\cos(\sqrt{\lambda\sim} a)} - \frac{\lambda\sim \sin(\sqrt{\lambda\sim} a)}{\cos(\sqrt{\lambda\sim} a)} = 0$$

$$> \text{eq} := \text{convert}(\text{eq}, \text{tan});$$

$$\text{eq} := 2 h \sqrt{\lambda\sim} + h^2 \tan(\sqrt{\lambda\sim} a) - \lambda\sim \tan(\sqrt{\lambda\sim} a) = 0$$

Упростим найденное уравнение — сначала решим его относительно тангенса, ,
а затем введем новую переменную:

$$> \text{solve}(\text{eq}, \text{tan}(\lambda\sim^{(1/2)*a}));$$

$$\frac{2 h \sqrt{\lambda\sim}}{-h^2 + \lambda\sim}$$

Делаем замену $\lambda = (\mu/a)^2$:

$$> \text{assume}(\mu>0): \text{simplify}(\text{subs}(\lambda=(\mu/a)^2, \%));$$

$$-\frac{2 h \mu a}{h^2 a^2 - \mu^2}$$

Таким образом, удобно ввести новую переменную по формуле $\mu = \sqrt{\lambda} a$, причем
значения μ определяются из уравнения $f(\mu) = \text{tg}(\mu) - \frac{2 h a \mu}{\mu^2 - h^2 a^2} = 0$. Определим

эту функцию в Maple

$$> f := \text{tan}(\mu) - \%;$$

$$f := \text{tan}(\mu) + \frac{2 h \mu a}{h^2 a^2 - \mu^2}$$

Пусть $\mu_k, k = 1, 2, 3, \dots$ — положительные корни уравнения $f(\mu) = 0$. Тогда собственные значения задачи определяются по формуле $\lambda_k = (\mu_k/a)^2$. Определяем теперь собственные функции:

```
> _C2:=solve(eq1, _C2);
```

```
> _C2:=simplify(subs(lambda=(mu/a)^2, _C2));
```

$$_C2 := \frac{\sqrt{\lambda} - C1}{h}$$

$$_C2 := \frac{\mu - C1}{a - h}$$

```
> y:=collect(simplify(subs(lambda=(mu/a)^2,y)), _C1):
```

$$y := \frac{-C1 \left(\sin\left(\frac{\mu x}{a}\right) a - h + \mu \cos\left(\frac{\mu x}{a}\right) \right)}{a - h}$$

```
> y:=unapply(subs(mu=mu[n],select(has,y,x)).x,n):
```

$$y := (x, n) \rightarrow \sin\left(\frac{\mu_n x}{a}\right) a - h + \mu_n \cos\left(\frac{\mu_n x}{a}\right)$$

Таким образом, собственные функции будут

$$y_n(x) = ah \sin\left(\frac{\mu_n x}{a}\right) + \mu_n \cos\left(\frac{\mu_n x}{a}\right).$$

Согласно общей теории, эти функции должны быть ортогональны на отрезке $[0, a]$; проверим это

```
> Int(y(x,n)*y(x,m), x=0..a):res:=value(%):
```

$$\int_0^a \left(\sin\left(\frac{\mu_n x}{a}\right) a - h + \mu_n \cos\left(\frac{\mu_n x}{a}\right) \right) \left(\sin\left(\frac{\mu_m x}{a}\right) a - h + \mu_m \cos\left(\frac{\mu_m x}{a}\right) \right) dx$$

$$\begin{aligned} res := & -a - (h^2 a^{-2} \mu_n \cos(\mu_n) \sin(\mu_m) + \mu_n \mu_m^2 \cos(\mu_n) \sin(\mu_m) - h^2 a^{-2} \mu_m \sin(\mu_n) \cos(\mu_m) \\ & - a h \mu_n^2 \sin(\mu_n) \sin(\mu_m) - \mu_n^2 \mu_m \sin(\mu_n) \cos(\mu_m) + a h \mu_m^2 \sin(\mu_n) \sin(\mu_m)) / (\\ & \mu_n^2 - \mu_m^2) \end{aligned}$$

Упростим результат с учетом характеристического уравнения $f(\mu) = 0$:

```
> res_cos:=solve(Delta.cos(lambda^(1/2)*a):
```

$$res_cos := \frac{1}{2} \frac{\sin(\sqrt{\lambda} a) (-h^2 + \lambda)}{h \sqrt{\lambda}}$$

```
> simplify(
```

```
> subs(cos(mu[m])=subs(lambda=(mu[m]/a)^2,res_cos),res):
```

```
> simplify(subs(
```

```
> cos(mu[n])=subs(lambda=(mu[n]/a)^2,res_cos),%):
```


Все в порядке. Вычислим теперь норму нашей системы собственных функций:

```
> Int(y(x,n)^2,x=0..a);Norma:=simplify(value(%));
```

$$\int_0^{a\sim} \left(\sin\left(\frac{\mu\sim_n x}{a\sim}\right) a\sim h + \mu\sim_n \cos\left(\frac{\mu\sim_n x}{a\sim}\right) \right)^2 dx$$

$$\begin{aligned} \text{Norma} := & \frac{1}{2} a\sim (a\sim^2 h^2 \cos(\mu\sim_n) \sin(\mu\sim_n) - \mu\sim_n^3 - \mu\sim_n^2 \cos(\mu\sim_n) \sin(\mu\sim_n) - h^2 a\sim^2 \mu\sim_n \\ & + 2 a\sim \mu\sim_n h \cos(\mu\sim_n)^2 - 2 \mu\sim_n a\sim h) / \mu\sim_n \end{aligned}$$

Упростим результат:

```
> Norma:=simplify(
subs(cos(mu[n])=subs(lambda=(mu[n]/a)^2,res_cos),Norma));
```

$$\text{Norma} := \frac{1}{2} a\sim (2 a\sim h + \mu\sim_n^2 + h^2 a\sim^2)$$

Проверим теперь число $\lambda = 0$:

```
> sol0:=dsolve(eq0,y0(x));assign(sol0);
> simplify(value(eq0));
```

$$\begin{aligned} \text{sol0} := & y0(x) = _C1 x + _C3 \\ & 0 = 0 \end{aligned}$$

```
> y1_0:=diff(y0(x),x);
```

$$y1_0 := _C1$$

```
> eq1_0:=-y1_0+h*subs(x=0,y0(x));
> eq2_0:=y1_0+h*subs(x=a,y0(x));
```

$$\text{eq1_0} := -_C1 + h_C3$$

$$\text{eq2_0} := _C1 + h(_C1 a + _C3)$$

```
> A0:=linalg[genmatrix]({eq1_0,eq2_0},{_C1,_C3});
> Delta0:=simplify(linalg[det](A0));
```

$$A0 := \begin{bmatrix} -1 & h \\ 1 + h a & h \end{bmatrix}$$

$$\Delta 0 := -2 h - a h^2$$

Определитель не равен нулю, следовательно, имеем только тривиальное решение. Значит, число $\lambda = 0$ не является собственным значением задачи.

Пример 3. Найти собственные значения и собственные функции задачи Штурма–Лиувилля:

$$y'' + \lambda y = 0, \quad y(a) = 0, \quad y'(b) = 0, \quad x \in [a, b].$$

Решение. Зададим уравнение. Рассмотрим сначала случай $\lambda \neq 0$:

```
> eq:=diff(y(x),x,x)+lambda*y(x)=0;
```

$$\text{eq} := \left(\frac{d^2}{dx^2} y(x) \right) + \lambda y(x) = 0$$

Находим общее решение уравнения:

```
> dsolve(eq, y(x)):y:=unapply(rhs(%), x):
```

$$y(x) = _C1 \sin(\sqrt{\lambda} x) + _C2 \cos(\sqrt{\lambda} x)$$

$$y := x \rightarrow _C1 \sin(\sqrt{\lambda} x) + _C2 \cos(\sqrt{\lambda} x)$$

Задаем граничные условия:

```
> assume(b>a):
```

```
> eq1:-y(a)=0: eq2:=D[1](y)(b)=0:
```

$$eq1 := _C1 \sin(\sqrt{\lambda} a) + _C2 \cos(\sqrt{\lambda} a) = 0$$

$$eq2 := _C1 \cos(\sqrt{\lambda} b) \sqrt{\lambda} - _C2 \sin(\sqrt{\lambda} b) \sqrt{\lambda} = 0$$

Формируем матрицу коэффициентов и вычисляем ее определитель:

```
> linalg[genmatrix]({eq1, eq2}, {_C1, _C2}):
```

```
> linalg[det](%):Delta:=combine(%):
```

$$\begin{bmatrix} \sin(\sqrt{\lambda} a) & \cos(\sqrt{\lambda} a) \\ \cos(\sqrt{\lambda} b) \sqrt{\lambda} & -\sin(\sqrt{\lambda} b) \sqrt{\lambda} \end{bmatrix}$$

$$-\sin(\sqrt{\lambda} a) \sin(\sqrt{\lambda} b) \sqrt{\lambda} - \cos(\sqrt{\lambda} a) \cos(\sqrt{\lambda} b) \sqrt{\lambda}$$

$$\Delta := -\sqrt{\lambda} \cos(\sqrt{\lambda} a - \sqrt{\lambda} b)$$

Приравниваем нулю этот определитель и решаем полученное характеристическое уравнение:

```
> Delta:=select(has, Delta, [cos]):
```

$$\Delta := \cos(\sqrt{\lambda} a - \sqrt{\lambda} b)$$

```
> _EnvAllSolutions:=true:
```

```
> lambda:=solve(Delta, lambda):
```

$$\lambda := \frac{\pi^2 (1 + 2 _Z1)^2}{4 (-b + a)^2}$$

```
> lambda:=subs(_Z1='k', lambda):
```

$$\lambda := \frac{\pi^2 (1 + 2 k)^2}{4 (-b + a)^2}$$

Находим собственные функции:

```
> assume(k, posint):y(x):
```

$$_C1 \sin\left(\frac{\sqrt{4} \sqrt{\frac{\pi^2 (1 + 2 k)^2}{(-b + a)^2}} x}{4}\right) + _C2 \cos\left(\frac{\sqrt{4} \sqrt{\frac{\pi^2 (1 + 2 k)^2}{(-b + a)^2}} x}{4}\right)$$

```
> C1:=solve(eq1, _C1):
```

$$C1 := \frac{_C2 \cos\left(\frac{\pi (1 + 2 k) a}{2 (-b + a)}\right)}{\sin\left(\frac{\pi (1 + 2 k) a}{2 (-b + a)}\right)}$$

> simplify(subs(C1=C1,y(x))):

$$\frac{-C2 \left(\cos\left(\frac{\pi(1+2k) a}{2(-b+a)}\right) \sin\left(\frac{\pi(1+2k)x}{2(-b+a)}\right) - \cos\left(\frac{\pi(1+2k)x}{2(-b+a)}\right) \sin\left(\frac{\pi(1+2k) a}{2(-b+a)}\right) \right)}{\sin\left(\frac{\pi(1+2k) a}{2(-b+a)}\right)}$$

> combine(%):

$$\frac{-C2 \sin\left(\frac{-\pi a + \pi x - 2 \pi a k + 2 \pi x k}{-2 b + 2 a}\right)}{\sin\left(\frac{\pi a + 2 \pi a k}{-2 b + 2 a}\right)}$$

> Yn:=unapply(select(has.%.[x]),x,k):

$$Y_n := (x, k) \rightarrow \sin\left(\frac{-\pi a + \pi x - 2 \pi a k + 2 \pi x k}{-2 b + 2 a}\right)$$

Проверим дифференциальное уравнение:

> y:='y':Yn(x,k);simplify(subs(y(x)=%,eq)):

$$\sin\left(\frac{-\pi a + \pi x - 2 \pi a k + 2 \pi x k}{-2 b + 2 a}\right)$$

$$0 = 0$$

Проверим граничные условия:

> Yn(a,k)=0:simplify(D[1](Yn)(b,k))=0:

$$0 = 0$$

$$0 = 0$$

Проверим ортогональность собственных функций на отрезке [a, b]:

> assume(n, posint):assume(m, posint):

> Int(Yn(x,n)*Yn(x,m),x=a..b):simplify(value(%)):

$$\int_a^b \sin\left(\frac{-\pi a + \pi x - 2 \pi a n + 2 \pi x n}{-2 b + 2 a}\right) \sin\left(\frac{-\pi a + \pi x - 2 \pi a m + 2 \pi x m}{-2 b + 2 a}\right) dx$$

$$0$$

Вычислим норму собственных функций:

> Norma:=Int(Yn(x,n)^2,x=a..b):simplify(value(%)):

$$Norma := \int_a^b \sin\left(\frac{-\pi a + \pi x - 2 \pi a n + 2 \pi x n}{-2 b + 2 a}\right)^2 dx$$

$$\frac{b}{2} - \frac{a}{2}$$

Можно преобразовать аргумент у собственных функций к более удобному виду:

```
> simplify(collect(
(-Pi*a+Pi*x-2*Pi*a*k+2*Pi*x*k)/(-2*b+2*a).x));
```

$$\frac{(1 + 2k)\pi(-a + x)}{2(-b + a)}$$

Таким образом, собственные значения задачи будут

$$\lambda_k = \frac{(2k+1)^2 \pi^2}{4(b-a)^2}, \quad k = 1, 2, 3, \dots$$

а собственные функции —

$$y_k(x) = \sin\left(\frac{(2k+1)\pi(a-x)}{2(b-a)}\right), \quad k = 1, 2, 3, \dots$$

Рассмотрим теперь случай $\lambda = 0$:

```
> lambda:=0: eq:
```

$$\lambda := 0$$

$$\frac{d^2}{dx^2} y(x) = 0$$

```
> dsolve(eq.y(x)):assign(%):y0:=unapply(y(x),x):
```

$$y(x) = _C1 x + _C2$$

$$y0 := x \rightarrow _C1 x + _C2$$

```
> eq0_1:=y0(a)=0; eq0_2:=0(y0)(b)=0;
```

$$eq0_1 := _C1 a + _C2 = 0$$

$$eq0_2 := _C1 = 0$$

```
> linalg[genmatrix]({eq0_1,eq0_2},{_C1,_C2}):
```

```
> Delta0:=linalg[det](%):
```

$$\begin{bmatrix} 0 & 1 \\ 1 & a \end{bmatrix}$$

$$\Delta 0 := -1$$

Видим, что определитель отличен от нуля, значит, существует только тривиальное решение. Следовательно, $\lambda = 0$ — не есть собственное значение задачи.

Пример 4. Решить задачу о колебаниях струны $0 < x < l$ с закрепленными концами, если начальные скорости точек струны равны нулю, а начальное отклонение имеет форму синусоиды

$$u|_{t=0} = A \sin\left(\frac{\pi x}{l}\right).$$

Решение. Эта задача может быть решена методом Фурье. Мы рекомендуем читателю построить решение задачи этим методом. Можно, однако, использовать для решения данной задачи и формулу Даламбера. Покажем, как это сделать.

Нам необходимо проинтегрировать уравнение колебаний струны при начальных данных

$$u|_{t=0} = \varphi(x) = A \sin\left(\frac{\pi x}{l}\right), \quad \frac{\partial u}{\partial t}\Big|_{t=0} = \psi(x) = 0,$$

и при краевых условиях

$$u|_{x=0} = 0, \quad u|_{x=l} = 0.$$

Продолжим функции $\varphi(x)$ и $\psi(x)$ на отрезок $[-l, 0]$ нечетным образом, а затем периодически на всю ось. В результате получим функции

$$\Phi(x) = A \sin\left(\frac{\pi x}{l}\right), \quad \Psi(x) = 0, \quad -\infty < x < \infty,$$

совпадающие на отрезке $[0, l]$ с функциями $\varphi(x)$ и $\psi(x)$.

Подставляя функции $\Phi(x)$ и $\Psi(x)$ в формулу Даламбера (2.91), находим решение уравнения колебаний в виде

$$u(x, t) = \frac{1}{2} A \sin\left[\frac{\pi}{l}(x - at)\right] + A \sin\left[\frac{\pi}{l}(x + at)\right],$$

или

$$u(x, t) = A \sin\left(\frac{\pi x}{l}\right) \cos\left(\frac{\pi at}{l}\right).$$

Пример 5. Решить задачу для уравнения теплопроводности

$$\frac{\partial u}{\partial t} - a^2 \frac{\partial^2 u}{\partial x^2} = 0, \quad 0 < x < l, \quad t > 0,$$

с начальными

$$u(x, 0) = x(l - x)$$

и граничными условиями

$$u(0, t) = 0, \quad u(l, t) = 0.$$

Решение. Эта задача может быть решена методом Фурье. Мы воспользуемся для ее решения системой Maple.

Определяем задачу в Maple:

```
> eq:=diff(u(x,t),t)-a^2*diff(u(x,t),x,x)=0:0<x,x<l,t>0:
```

$$eq := \left(\frac{\partial}{\partial t} u(x, t)\right) - a^2 \left(\frac{\partial^2}{\partial x^2} u(x, t)\right) = 0$$

$$0 < x, x < l, 0 < t$$

```
> init_c:=u(x,0)=phi(x):
```

$$init_c := u(x, 0) = \phi(x)$$

> bound_c:=u(0,t)=0,u(1,t)=0:

$$\text{bound_c} := u(0, t) = 0, u(1, t) = 0$$

> phi:=x->x*(1-x):

$$\phi := x \rightarrow x(1-x)$$

Выполняем разделение переменных:

> res:=pdsolve(eq,HINT='*'):

$$\text{res} := (u(x, t) = _F1(x) _F2(t)) \&\text{where} \left[\left\{ \frac{d}{dt} _F2(t) = a^2 _c1 _F2(t), \frac{d^2}{dx^2} _F1(x) = _c1 _F1(x) \right\} \right]$$

> res1:=op(1,res):res2:=op(2,res):

$$\text{res1} := u(x, t) = _F1(x) _F2(t)$$

$$\text{res2} := \left[\left\{ \frac{d}{dt} _F2(t) = a^2 _c1 _F2(t), \frac{d^2}{dx^2} _F1(x) = _c1 _F1(x) \right\} \right]$$

> res2[1]:

$$\left\{ \frac{d}{dt} _F2(t) = a^2 _c1 _F2(t), \frac{d^2}{dx^2} _F1(x) = _c1 _F1(x) \right\}$$

> s1:=op(1,res2[1]):s2:=op(2,res2[1]):

$$s1 := \frac{d^2}{dx^2} _F1(x) = _c1 _F1(x)$$

$$s2 := \frac{d}{dt} _F2(t) = a^2 _c1 _F2(t)$$

Таким образом, мы получили два обыкновенных дифференциальных уравнения. Сформулируем теперь соответствующую задачу Штурма—Лиувилля. Мы имеем однородные условия по переменной x . Поэтому рассматриваем уравнение $s1$, которое удобно записать в виде

> eq1:=lhs(s1)+lambda*_F1(x):

$$\text{eq1} := \left(\frac{d^2}{dx^2} _F1(x) \right) + \lambda _F1(x)$$

Находим общее решение этого уравнения и формируем систему однородных уравнений по граничным условиям:

> assume(lambda>0):dsolve(eq1,_F1(x)):

$$_F1(x) = _C1 \sin(\sqrt{\lambda} x) + _C2 \cos(\sqrt{\lambda} x)$$

> _F1:=unapply(rhs(%),x):

> e1:=_F1(0)=0: e2:=_F1(1)=0:

> sist:={e1,e2}:

$$_F1 := x \rightarrow _C1 \sin(\sqrt{\lambda} x) + _C2 \cos(\sqrt{\lambda} x)$$

$$e1 := _C2 = 0$$

$$e2 := _C1 \sin(\sqrt{\lambda} l) + _C2 \cos(\sqrt{\lambda} l) = 0$$

$$sist := \{ _C1 \sin(\sqrt{\lambda} l) + _C2 \cos(\sqrt{\lambda} l) = 0, _C2 = 0 \}$$

Вычисляем определитель этой системы:

```
> A:=linalg[genmatrix](sist, {_C1, _C2}):
```

$$A := \begin{bmatrix} \sin(\sqrt{\lambda} l) & \cos(\sqrt{\lambda} l) \\ 0 & 1 \end{bmatrix}$$

```
> Delta:=convert(linalg[det](A), trig):
```

$$\Delta := \sin(\sqrt{\lambda} l)$$

Приравниваем определитель нулю — это будет уравнение для определения собственных значений; решаем полученное уравнение и находим собственные значения задачи:

```
> _EnvAllSolutions:= true:
```

```
> solve(Delta, lambda):
```

$$\frac{\pi^2 _Z1^2}{l^2}$$

```
> indets(%) minus {1}:
```

$$\{ _Z1 \}$$

```
> subs(%[1]='k', %):
```

```
> ev:=unapply(%, k):
```

$$ev := k \rightarrow \frac{\pi^2 k^2}{l^2}$$

Определяем теперь соответствующие собственные функции:

```
> _F1:='_F1':assume(k, posint):
```

```
> subs(lambda=ev(k), eq1):
```

$$\left(\frac{d^2}{dx^2} _F1(x) \right) + \frac{\pi^2 k^2}{l^2} _F1(x)$$

```
> dsolve({%, _F1(0)=0, _F1(l)=0}, _F1(x)):
```

$$_F1(x) = _C1 \sin\left(\frac{\pi k x}{l}\right)$$

Нормируем эти функции:

```
> rhs(%) / sqrt(int(rhs(%)^2, x=0..l)):
```

$$\frac{_C1 \sin\left(\frac{\pi k x}{l}\right) \sqrt{2}}{\sqrt{_C1^2 l}}$$

```
> simplify(% , radical, symbolic):
```

```
> ef:=unapply(%, (k, x)):
```

Итак, собственные значения и нормированные собственные функции задачи Штурма—Лиувилля найдены:

> ev(k):ef(k,x);

$$\frac{\pi^2 k^2}{l^2} \frac{\sin\left(\frac{\pi k x}{l}\right) \sqrt{2}}{\sqrt{l}}$$

Читателю мы предоставляем возможность самостоятельно убедиться в том, что $\lambda = 0$ не является собственным значением рассматриваемой задачи Штурма—Лиувилля.

Найдем теперь общее решение второго дифференциального уравнения s2:

> eq2:=lhs(s2)+a^2*ev(k)*_F2(t);

$$eq2 := \left(\frac{d}{dt} - F2(t) \right) + \frac{a^2 \pi^2 k^2}{l^2} F2(t)$$

> dsolve(eq2, _F2(t));

$$_F2(t) = _C1 e^{\left(-\frac{a^2 \pi^2 k^2 t}{l^2} \right)}$$

Решение исходной задачи ищем в виде ряда:

> spr:=Sum(C(k)*exp(-ev(k)*a^2*t)*ef(k,x),k=1..infinity);

$$spr := \sum_{k=1}^{\infty} \frac{C(k) e^{\left(-\frac{a^2 \pi^2 k^2 t}{l^2} \right)} \sin\left(\frac{\pi k x}{l}\right) \sqrt{2}}{\sqrt{l}}$$

Коэффициенты этого ряда определяем согласно теореме разложения из начальных условий. Будем иметь формулу для коэффициентов Фурье:

> Ck:=Int((phi(x))*ef(k,x),x=0..l);Ck:=value(Ck);

$$Ck := \int_0^l \frac{x(l-x) \sin\left(\frac{\pi k x}{l}\right) \sqrt{2}}{\sqrt{l}} dx$$

$$Ck := -\frac{2 l^{(5/2)} \sqrt{2} ((-1)^k - 1)}{\pi^3 k^3}$$

> C:=unapply(Ck,k);

$$C := k \rightarrow -\frac{2 l^{(5/2)} \sqrt{2} ((-1)^k - 1)}{\pi^3 k^3}$$

Итак, мы получили формальное решение задачи:

> sol:=spr:

$$sol := \sum_{k=1}^{\infty} \left(\frac{4 l^2 ((-1)^k - 1) e^{\left(-\frac{a^2 \pi^2 k^2 t}{l^2} \right)} \sin\left(\frac{\pi k x}{l} \right)}{\pi^3 k^3} \right)$$

Преобразуем это решение к другому виду. Индекс k заменим на $2m+1$:

> subs(k=2*m+1,op(1,sol)):assume(m,integer):

$$\frac{4 l^2 ((-1)^{(2m+1)} - 1) e^{\left(-\frac{a^2 \pi^2 (2m+1)^2 t}{l^2} \right)} \sin\left(\frac{\pi (2m+1) x}{l} \right)}{\pi^3 (2m+1)^3}$$

> simplify(%):factor(%):

$$\frac{8 l^2 e^{\left(-\frac{a^2 \pi^2 (2m+1)^2 t}{l^2} \right)} \sin\left(\frac{\pi (2m+1) x}{l} \right)}{\pi^3 (2m+1)^3}$$

> Sum(% ,m=0..infinity):

> solution:=subs(a='a',k='k',l='l',m='m',%):

$$solution := \sum_{m=0}^{\infty} \left(\frac{8 l^2 e^{\left(-\frac{a^2 \pi^2 (2m+1)^2 t}{l^2} \right)} \sin\left(\frac{\pi (2m+1) x}{l} \right)}{\pi^3 (2m+1)^3} \right)$$

Таким образом, мы окончательно получили решение задачи в виде

$$u(x,t) = \frac{8l^2}{\pi^3} \sum_{m=0}^{\infty} \frac{e^{\left(-\frac{a^2 \pi^2 (2m+1)^2 t}{l^2} \right)} \sin\left(\frac{\pi (2m+1) x}{l} \right)}{(2m+1)^3}.$$

Пример 6. Рассмотрим продольные колебания стержня, конец которого $x = 0$ жестко закреплен, а свободный конец $x = l$ получает в начальный момент времени продольный ударный импульс P . До удара стержень находился в состоянии покоя.

Решение. Поставим задачу — найти решение уравнения колебаний

$$\frac{\partial^2 u}{\partial x^2} - \frac{1}{v^2} \frac{\partial^2 u}{\partial t^2} = 0, \quad 0 < x < l, \quad t > 0,$$

подчиняющееся граничным условиям

$$u|_{x=0} = 0, \quad \left. \frac{\partial u}{\partial x} \right|_{x=l} = 0$$

и начальным условиям. Начальные условия мы можем записать в следующем виде:

$$u|_{t=0} = 0, \quad \left. \frac{\partial u}{\partial t} \right|_{t=0} = \begin{cases} 0, & 0 < x < l - \varepsilon; \\ v_0 = \frac{P}{\rho \varepsilon S}, & l - \varepsilon < x < l. \end{cases}$$

Здесь S — площадь поперечного сечения стержня, ρ — плотность.

После того как решение сформулированной задачи будет получено, необходимо перейти к пределу при $\varepsilon \rightarrow 0$.

Можно начальные условия сформулировать в другом виде, использующем понятие дельта-функции Дирака:

$$u|_{t=0} = 0, \quad \left. \frac{\partial u}{\partial t} \right|_{t=0} = v_0(x) = \frac{P}{\rho S} \delta(x - l).$$

Коэффициент при дельта-функции $\delta(x - l)$ выбирается так, чтобы суммарный импульс, передаваемый стержню в момент $t = 0$, был равен P , то есть

$$\int_0^l \frac{\partial u(x, 0)}{\partial t} \rho S dx = P.$$

Рассмотрим обе возможности задания начальных условий. Для решения задачи воспользуемся Maple. Поставим задачу — дифференциальное уравнение колебаний:

```
> eq:=diff(u(x,t),t,t)/v^2-diff(u(x,t),x,x)=0:0<x,x<l,t>0:
```

$$eq := \frac{\partial^2 u(x, t)}{\partial t^2} - \frac{\partial^2 u(x, t)}{\partial x^2} = 0$$

$$0 < x, x < l, 0 < t$$

Начальные условия:

```
> init_c:=u(x,0)=0.D[2](u)(x,0)=phi(x):
```

$$init_c := u(x, 0) = 0, D_2(u)(x, 0) = \phi(x)$$

Функцию $\phi(x)$ определим двумя способами:

```
> phi1:=piecewise(0<x and x<l-epsilon,0,l-epsilon<x and x<l,P/rho/epsilon/S):
```

$$\phi 1 := \begin{cases} 0 & -x < 0 \text{ and } x - l + \varepsilon < 0 \\ \frac{P}{\rho \varepsilon S} & -x + l - \varepsilon < 0 \text{ and } x - l < 0 \end{cases}$$

или

```
> phi2:=x->P/rho/S*Dirac(x-l):
```

$$\phi 2 := x \rightarrow \frac{P \operatorname{Dirac}(x - l)}{\rho S}$$

Граничные условия:

> bound_c:=u(0,t)=0,D[1](u)(0,t)=0:

$$\text{bound_c} := u(0, t) = 0, D_1(u)(0, t) = 0$$

Выполним разделение переменных в уравнении колебаний:

> subs(u(x,t)=X(x)*T(t),eq):

$$\frac{\frac{\partial^2}{\partial t^2} (X(x) T(t))}{v^2} - \left(\frac{\partial^2}{\partial x^2} (X(x) T(t)) \right) = 0$$

> expand(lhs(%)/X(x)/T(t))=0:

$$\frac{\frac{d^2}{dt^2} T(t)}{T(t) v^2} - \frac{\frac{d^2}{dx^2} X(x)}{X(x)} = 0$$

> s1:=op(1,lhs(%))=-lambda;s2:=op(2,lhs(%))=lambda:

$$s1 := \frac{\frac{d^2}{dt^2} T(t)}{T(t) v^2} = -\lambda$$

$$s2 := -\frac{\frac{d^2}{dx^2} X(x)}{X(x)} = \lambda$$

Таким образом, мы получили два обыкновенных дифференциальных уравнения. Сформулируем теперь соответствующую задачу Штурма–Лиувилля. Мы имеем однородные условия по переменной x . Поэтому рассматриваем уравнение $s2$. Находим общее решение этого уравнения и формируем систему однородных уравнений по граничным условиям:

> assume(lambda>0):dsolve(s2,X(x)):

$$X(x) = _C1 \sin(\sqrt{\lambda} x) + _C2 \cos(\sqrt{\lambda} x)$$

> X:=unapply(rhs(%),x):

$$X := x \rightarrow _C1 \sin(\sqrt{\lambda} x) + _C2 \cos(\sqrt{\lambda} x)$$

> e1:=X(0)=0:e2:=D(X)(1)=0:

> sist:={e1,e2}:

$$e1 := _C2 = 0$$

$$e2 := _C1 \cos(\sqrt{\lambda} l) \sqrt{\lambda} - _C2 \sin(\sqrt{\lambda} l) \sqrt{\lambda} = 0$$

$$\text{sist} := \{ _C2 = 0, _C1 \cos(\sqrt{\lambda} l) \sqrt{\lambda} - _C2 \sin(\sqrt{\lambda} l) \sqrt{\lambda} = 0 \}$$

Вычисляем определитель этой системы:

> A:=inalg[genmatrix](sist,[_C1,_C2]):

$$A := \begin{bmatrix} 0 & 1 \\ \cos(\sqrt{\lambda} l) \sqrt{\lambda} & -\sin(\sqrt{\lambda} l) \sqrt{\lambda} \end{bmatrix}$$

```
> Delta:=convert(linalg[det](A).trig):
```

$$\Delta := -\cos(\sqrt{\lambda \sim} l) \sqrt{\lambda \sim}$$

```
> Delta:=op(2,Delta):
```

$$\Delta := \cos(\sqrt{\lambda \sim} l)$$

Приравниваем определитель нулю — это будет уравнение для определения собственных значений; решаем полученное уравнение и находим собственные значения задачи:

```
> _EnvAllSolutions:= true:
```

```
> solve(Delta.lambd):
```

$$\frac{\pi^2 (1 + 2 _Zl \sim)^2}{4 l^2}$$

```
> indets(%) minus {1};
```

$$\{ _Zl \sim \}$$

```
> subs(%[1]='k',%%):
```

```
> ev:=unapply(%,k):
```

$$ev := k \rightarrow \frac{1}{4} \frac{\pi^2 (1 + 2 k)^2}{l^2}$$

Определяем теперь соответствующие собственные функции:

```
> assume(k, posint):
```

```
> X:='X':subs(lambda=ev(k),s2):
```

$$X := X$$

$$-\frac{\frac{d^2}{dx^2} X(x)}{X(x)} = \frac{\pi^2 (1 + 2 k \sim)^2}{4 l^2}$$

```
> dsolve({%,X(0)=0,D(X)(l)=0},X(x)):
```

$$X(x) = _C1 \sin\left(\frac{\pi (1 + 2 k \sim) x}{2 l}\right)$$

Нормируем эти функции:

```
> rhs(%) / sqrt(int(rhs(%)^2, x=0..l)):
```

$$\frac{_C1 \sin\left(\frac{\pi (1 + 2 k \sim) x}{2 l}\right) \sqrt{2}}{\sqrt{_C1^2 l}}$$

```
> simplify(% radical, symbolic):
```

```
> ef:=unapply(%,(k,x)):
```

Итак, собственные значения и нормированные собственные функции задачи Штурма—Лиувилля найдены:

```
> ev(k):ef(k,x):
```

$$\frac{\pi^2 (1 + 2 k\sim)^2}{4 l^2} \frac{\sin\left(\frac{\pi (1 + 2 k\sim) x}{2 l}\right) \sqrt{2}}{\sqrt{l}}$$

Читателю мы рекомендуем самостоятельно убедиться в том, что $\lambda = 0$ не является собственным значением рассматриваемой задачи Штурма—Лиувилля.

Найдем теперь общее решение второго дифференциального уравнения s1:

> s1:=lhs(s1)-ev(k):

$$s1 := \frac{d^2 T(t)}{dt^2} - \frac{\pi^2 (1 + 2 k\sim)^2}{4 l^2} T(t)$$

> dsolve({s1,T(0)=0},T(t)):

$$T(t) = -C1 \sin\left(\frac{\pi v (1 + 2 k\sim) t}{2 l}\right)$$

Здесь мы сразу учли одно из начальных условий. Решение исходной задачи будем строить в виде ряда:

> spr:=Sum(C(k)*op(2,rhs(%))*ef(k,x),k=1..infinity):

$$spr := \sum_{k\sim=1}^{\infty} \frac{C(k\sim) \sin\left(\frac{\pi v (1 + 2 k\sim) t}{2 l}\right) \sin\left(\frac{\pi (1 + 2 k\sim) x}{2 l}\right) \sqrt{2}}{\sqrt{l}}$$

Определим теперь неизвестные константы в формуле решения. Рассмотрим первый случай задания начальных условий — с предельным переходом. Пользуясь соответствующей теоремой разложения и учитывая второе начальное условие (на производную), будем иметь формулу для коэффициентов Фурье:

> assume(l>0):
 > Ck1:=P/rho/epsilon/S*
 > Int(ef(k,x),x=1-epsilon..1)/ev(k)^(1/2)/v:

$$Ck1 := \frac{P \sqrt{4}}{\rho \epsilon S \sqrt{\frac{\pi^2 (1 + 2 k\sim)^2}{l^2} v}} \int_{l-\epsilon}^{l} \frac{\sin\left(\frac{\pi (1 + 2 k\sim) x}{2 l\sim}\right) \sqrt{2}}{\sqrt{l\sim}} dx$$

> Ck1:=simplify(value(Ck1)):

$$Ck1 := \frac{4 P \sqrt{2} l\sim^{(3/2)} (-1)^{k\sim} \left(\sin\left(\frac{\pi \epsilon}{2 l\sim}\right) \cos\left(\frac{\pi \epsilon k\sim}{l\sim}\right) + \cos\left(\frac{\pi \epsilon}{2 l\sim}\right) \sin\left(\frac{\pi \epsilon k\sim}{l\sim}\right) \right)}{\rho \epsilon S \pi^2 (1 + 2 k\sim)^2 v}$$

Осуществим теперь предельный переход:

> Ck1:=Limit(Ck1,epsilon=0):Ck1:=factor(value(Ck1)):

$$Ck1 := \lim_{\varepsilon \rightarrow 0} \frac{4 P \sqrt{2} l^{-} (3/2) (-1)^{k-} \left(\sin\left(\frac{\pi \varepsilon}{2 l^{-}}\right) \cos\left(\frac{\pi \varepsilon k^{-}}{l^{-}}\right) + \cos\left(\frac{\pi \varepsilon}{2 l^{-}}\right) \sin\left(\frac{\pi \varepsilon k^{-}}{l^{-}}\right) \right)}{\rho \varepsilon S \pi^2 (1 + 2 k^{-})^2 v}$$

$$Ck1 := \frac{2 \sqrt{l^{-}} P \sqrt{2} (-1)^{k-}}{\pi (1 + 2 k^{-}) \rho S v}$$

Рассмотрим второй вариант задания начальных условий — с дельта-функцией. В этом случае будем иметь формулу для коэффициентов Фурье:

> Ck2:=Int(phi2(x)*ef(k,x),x=0..1)/ev(k)^(1/2)/v;

$$Ck2 := \frac{\sqrt{4}}{\sqrt{\frac{\pi^2 (1 + 2 k^{-})^2}{l^{-2}} v}} \int_0^{l^{-}} \frac{P \operatorname{Dirac}(x - l^{-}) \sin\left(\frac{\pi (1 + 2 k^{-}) x}{2 l^{-}}\right) \sqrt{2}}{\rho S \sqrt{l^{-}}} dx$$

> assume(epsilon>0):Ck2:=simplify(value(Ck2));

$$Ck2 := \frac{2 \sqrt{l^{-}} P \sqrt{2} (-1)^{k-}}{\pi (1 + 2 k^{-}) \rho S v}$$

Результат, как и следовало ожидать, один и тот же!

> C:=unapply(Ck2,k);

$$C := k^{-} \rightarrow \frac{2 \sqrt{l^{-}} P \sqrt{2} (-1)^{k-}}{\pi (1 + 2 k^{-}) \rho S v}$$

Итак, мы получили формальное решение задачи:

> sol:=spr:

$$sol := \sum_{k^{-}=1}^{\infty} \left(\frac{4 P (-1)^{k-} \sin\left(\frac{\pi v (1 + 2 k^{-}) t}{2 l^{-}}\right) \sin\left(\frac{\pi (1 + 2 k^{-}) x}{2 l^{-}}\right)}{\pi (1 + 2 k^{-}) \rho S v} \right)$$

Это решение можно преобразовать, введя в рассмотрение массу стержня $M = \rho S l$:

> subs(rho=M/l/S.op(1,sol));

$$\frac{4 P l^{-} (-1)^{k-} \sin\left(\frac{\pi v (1 + 2 k^{-}) t}{2 l^{-}}\right) \sin\left(\frac{\pi (1 + 2 k^{-}) x}{2 l^{-}}\right)}{\pi (1 + 2 k^{-}) M v}$$

> solution:=Sum(%k=1..infinity):

$$solution := \sum_{k^{-}=1}^{\infty} \left(\frac{4 P l^{-} (-1)^{k-} \sin\left(\frac{\pi v (1 + 2 k^{-}) t}{2 l^{-}}\right) \sin\left(\frac{\pi (1 + 2 k^{-}) x}{2 l^{-}}\right)}{\pi (1 + 2 k^{-}) M v} \right)$$

Таким образом, мы окончательно получили решение задачи в виде

$$u(x, t) = \frac{4 P l}{\pi v M} \sum_{k=1}^{\infty} \frac{(-1)^k \sin\left(\frac{\pi(2k+1)}{2l} vt\right) \sin\left(\frac{\pi(2k+1)}{2l} x\right)}{(2k+1)}$$

Пример 7. Найти функцию, гармоническую внутри круга радиуса R и такую, что $u|_{r=R} = f(\varphi)$, где:

$$1) f(\varphi) = \cos^2(\varphi), R = 1;$$

$$2) f(\varphi) = \sin^3(\varphi), R = 1;$$

$$3) f(\varphi) = \cos^6(\varphi) + \sin^6(\varphi), R = 1;$$

$$4) f(\varphi) = \cos(3\varphi), R = 1.$$

Решение. Воспользуемся готовым решением задачи Дирихле для круга и реализуем решения наших задач в Maple. Для этого разработаем процедуру, реализующую известное решение рассматриваемой задачи в рядах:

```
> Dirichlet:=proc(f,R)
> local a,b;
> a:=n->1/Pi*Int(f*cos(n*phi),phi=-Pi..Pi);
> b:=n->1/Pi*Int(f*sin(n*phi),phi=-Pi..Pi);
> a(0)/2+
> add(r^n/R^n*(a(n)*cos(n*phi)+b(n)*sin(n*phi)),
> n=1..Order);
> RETURN(map(simplify,value(%)));end proc;
```

Эта процедура-функция строит отрезок ряда до порядка `Order` или точное решение в виде сравнительно простой формулы, если это возможно.

Применим нашу программу для решения поставленных задач. Пример первый:

```
> f:=cos(phi)^2;R:=1;
```

$$f := \cos(\phi)^2$$

$$R := 1$$

```
> sol:=Dirichlet(f,R);
```

$$sol := \frac{1}{2} + \frac{1}{2} r^2 \cos(2\phi)$$

Проверим найденное решение:

```
> linalg[laplacian](sol,[r,phi],coords=polar);
> simplify(subs(r=R,sol)-f);
```

0

0

Пример второй:

```
> f:=sin(phi)^3;R:=1;
```

$$f := \sin(\phi)^3$$

$$R := 1$$

```
> sol:=Dirichlet(f,R);
```

$$sol := \frac{3}{4} r \sin(\phi) - \frac{1}{4} r^3 \sin(3\phi)$$

Проверка:

```
> combine(linalg[laplacian](sol,[r,phi],coords=polar));
> simplify(subs(r=R,sol)-f);
```

0

0

Пример третий:

```
> f:=sin(phi)^6+cos(phi)^6;R:=1:
> sol:=Dirichlet(f,R):
```

$$f := \sin(\phi)^6 + \cos(\phi)^6$$

$$R := 1$$

$$sol := \frac{5}{8} + \frac{3}{8} r^4 \cos(4\phi)$$

Проверка:

```
> linalg[laplacian](sol,[r,phi],coords=polar):
> simplify(subs(r=R,sol)-f):
```

0

0

Пример четвертый:

```
> f:=cos(3*phi);R:=1:
> sol:=Dirichlet(f,R):
```

$$f := \cos(3\phi)$$

$$R := 1$$

$$sol := r^3 \cos(3\phi)$$

Проверка:

```
> linalg[laplacian](sol,[r,phi],coords=polar):
> simplify(subs(r=R,sol)-f):
```

0

0

Рассмотрим еще примеры. Зададим теперь функцию $f(\phi)$ случайным полиномом:

```
> f:=randpoly([x,y]);R:=3:
```

$$f := 19xy^2 - 50y^3 + 88xy^3 - 53x^4y + 85x^3y^2 + 49x^2y^3$$

$$R := 3$$

Перейдем к полярным координатам:

```
> f:=subs(x=r*cos(phi),y=r*sin(phi),r=R,f):
```

$$f := 513 \cos(\phi) \sin(\phi)^2 - 1350 \sin(\phi)^3 + 7128 \cos(\phi) \sin(\phi)^3 - 12879 \cos(\phi)^4 \sin(\phi) \\ + 20655 \cos(\phi)^3 \sin(\phi)^2 + 11907 \cos(\phi)^2 \sin(\phi)^3$$

```
> sol:=Dirichlet(f,R):
```

$$sol := \frac{9}{8} r (803 \cos(\phi) - 336 \sin(\phi)) + 198 r^2 \sin(2\phi) - \frac{1}{16} r^3 (841 \cos(3\phi) + 790 \sin(3\phi)) - 11 r^4 \sin(4\phi) \\ - \frac{17}{16} r^5 (5 \cos(5\phi) + 6 \sin(5\phi))$$

Проверка:

```
> combine(linalg[laplacian](sol,[r,phi],coords=polar));
> combine(subs(r=R,sol)-f):
0
0
```

Решим еще один пример:

```
> f:=phi^2+phi+1;R:=1;
```

$$f := \phi^2 + \phi + 1$$

$$R := 1$$

```
> Order:=6:sol6:=Dirichlet(f,R);
```

$$\text{sol6} := \frac{\pi^2}{3} + 1 + 2r(-2\cos(\phi) + \sin(\phi)) + r^2(\cos(2\phi) - \sin(2\phi)) - \frac{2}{9}r^3(2\cos(3\phi) - 3\sin(3\phi))$$

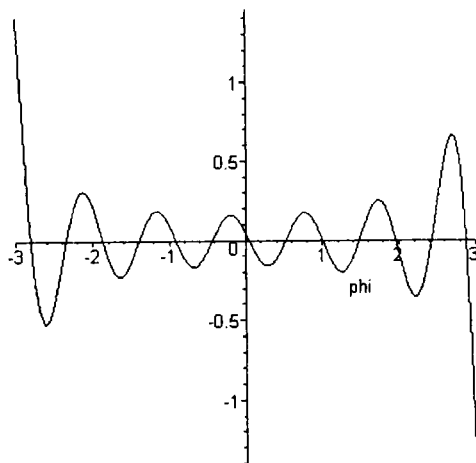
$$+ \frac{1}{4}r^4(\cos(4\phi) - 2\sin(4\phi)) - \frac{2}{25}r^5(2\cos(5\phi) - 5\sin(5\phi)) + \frac{1}{9}r^6(\cos(6\phi) - 3\sin(6\phi))$$

Проверка:

```
> simplify(linalg[laplacian](sol6,[r,phi],coords=polar));
> err6:=simplify(subs(r=R,sol6)-f):
0
```

Теперь посмотрим, как выглядит ошибка при удержании только шести членов ряда:

```
> plot([err6],phi=-3..3,color=black);
```



Читатель может самостоятельно проверить, как уменьшается эта ошибка с удержанием большего числа членов ряда.

4 Специальные функции математической физики

Настоящая глава посвящена одному из разделов математики, знание которого представляется весьма существенным для научных работников и инженеров-исследователей, имеющих дело с математическими расчетами.

В ряде случаев, например, при пользовании методом Фурье разделения переменных в цилиндрических и сферических координатах, мы приходим к так называемым *специальным* функциям: *цилиндрическим*, *сферическим* и др. Специальными (или *высшими трансцендентными*) функциями называются все не элементарные функции. Характерная особенность этих функций состоит в том, что многие из них являются решениями уравнений с особыми точками вида

$$\frac{d}{dx} \left[p(x) \frac{dy}{dx} \right] - q(x)y = 0,$$

где коэффициент $p(x)$ обращается в нуль в одной или нескольких точках промежутка изменения переменной x . Решения таких уравнений имеют ряд специфических свойств.

Специальные функции находят применения в широком круге задач. В этой главе мы рассмотрим основные свойства цилиндрических и сферических функций, а точнее, простейшего их класса — полиномов Лежандра. Изложение элементов теории специальных функций мы начнем с описания гамма-функции, что стало уже традиционным в учебной литературе.

Приведем примеры специальных функций:

$$\Gamma(x) = \int_0^{\infty} e^{-t} t^{x-1} dt \text{ — гамма-функция;}$$

$$\Phi(x) = \frac{2}{\sqrt{\pi}} \int_0^x e^{-t^2} dt \text{ — интеграл вероятности;}$$

$$\text{Si}(x) = \int_0^x \frac{\sin(t)}{t} dt \text{ — интегральный синус;}$$

$$\text{Ci}(x) = -\int_x^{\infty} \frac{\cos(t)}{t} dt - \text{интегральный косинус};$$

$$K(x) = \int_0^1 \frac{dt}{\sqrt{(1-t^2)(1-x^2t^2)}} - \text{эллиптический интеграл первого рода};$$

$$E(x) = \int_0^1 \sqrt{\frac{(1-x^2t^2)}{(1-t^2)}} dt - \text{эллиптический интеграл второго рода};$$

Цилиндрическими функциями называются решения уравнения Бесселя

$$u'' + \frac{1}{x}u' + \left(1 - \frac{\nu^2}{x^2}\right)u = 0.$$

Специальные классы цилиндрических функций известны в литературе как *функции Бесселя*, и иногда это название присваивается всему классу цилиндрических функций: $u(x) = J_\nu(x)$ — *функция Бесселя или цилиндрическая функция первого рода*.

Сферическими функциями называются решения уравнения

$$(1-x^2)u'' - 2xu' + \nu(\nu+1)u = 0,$$

$u(x) = P_\nu(x)$ — *сферическая функция Лежандра первого рода*.

Гипергеометрическая функция $u(x) = F(\alpha, \beta, \gamma, x)$, где α, β, γ — параметры, является решением уравнения

$$x(1-x)u'' + [\gamma - (\alpha + \beta + 1)x]u' - \alpha\beta u = 0.$$

Эйлеровы интегралы

Эйлеров интеграл первого рода

Так называется (по предложению Лежандра) интеграл вида

$$B(x, y) = \int_0^1 t^{x-1} (1-t)^{y-1} dt, \quad (4.1)$$

$x > 0, y > 0$. Он представляет функцию от двух переменных параметров x и y : функцию B — *бета-функцию*.

Заметим, что если одновременно $x \geq 1, y \geq 1$, то $B(x, y)$ — интеграл собственный. Если же хотя бы одно из этих двух неравенств нарушается, то $B(x, y)$ — несобственный интеграл. Покажем, что $B(x, y)$ сходится, если одновременно $x > 0, y > 0$. Имеем

$$B(x, y) = \int_0^{1/2} t^{x-1} (1-t)^{y-1} dt + \int_{1/2}^1 t^{x-1} (1-t)^{y-1} dt.$$

Рассмотрим интеграл

$$J_1 = \int_0^{1/2} t^{x-1} (1-t)^{y-1} dt.$$

Точка $t = 0$ — особая точка, если $x < 1$:

$$f(t) = t^{x-1} (1-t)^{y-1} \approx \frac{1}{t^{1-x}}, \quad \forall y, \text{ при } t \rightarrow 0.$$

Мы знаем, что интеграл

$$\int_0^{1/2} \frac{dt}{t^{1-x}}$$

сходится, если $1-x < 1 \Leftrightarrow x > 0$. Итак, J_1 сходится при $x > 0$ и $\forall y$.

Рассмотрим интеграл

$$J_2 = \int_{1/2}^1 t^{x-1} (1-t)^{y-1} dt.$$

Точка $t = 1$ — особая, если $y < 1$:

$$f(t) = t^{x-1} (1-t)^{y-1} \approx \frac{1}{(1-t)^{1-y}}, \quad \forall x, \text{ при } t \rightarrow 1.$$

Мы знаем, что интеграл

$$\int_{1/2}^1 \frac{dt}{(1-t)^{1-y}}$$

сходится, если $1-y < 1 \Leftrightarrow y > 0$. Итак, J_2 сходится при $y > 0$ и $\forall x$.

Откуда заключаем, что $B(x, y)$ сходится, если одновременно $x > 0, y > 0$.

Отметим некоторые свойства бета-функции.

1. Свойство симметрии:

$$B(x, y) = B(y, x).$$

Доказательство. Сделаем замену $t = 1 - \tau \Rightarrow -dt = d\tau$

$$B(x, y) = \int_0^1 \tau^{y-1} (1-\tau)^{x-1} d\tau = B(y, x).$$

2. Пусть $y > 1$,

$$B(x, y) = \int_0^1 (1-t)^{y-1} d\left(\frac{t^x}{x}\right) = \underbrace{(1-t)^{y-1} \frac{t^x}{x}}_{=0} \Big|_{t=0}^{t=1} + \frac{y-1}{x} \int_0^1 t^x (1-t)^{y-2} dt.$$

Можно записать $t^x = t^{x-1} - t^{x-1}(1-t)$, тогда

$$\begin{aligned} B(x, y) &= \frac{y-1}{x} \left[\int_0^1 t^{x-1} (1-t)^{y-2} dt - \int_0^1 t^{x-1} (1-t)^{y-1} dt \right] = \\ &= \frac{y-1}{x} [B(x, y-1) - B(x, y)]. \end{aligned}$$

Итак,

$$B(x, y) = \frac{y-1}{x} B(x, y-1) - \frac{y-1}{x} B(x, y),$$

или

$$B(x, y) = \frac{(y-1)B(x, y-1)}{x+y-1}. \quad (4.2)$$

Формула (4.2) позволяет второй аргумент бета-функции уменьшить на единицу.

По свойству симметрии можно записать

$$B(x, y) = \frac{(x-1)B(x-1, y)}{x+y-1}, \quad x > 1.$$

Пусть теперь $y = n$ (n — натуральное), тогда

$$B(x, n) = \frac{n-1}{x+n-1} \cdot \frac{n-2}{x+n-2} \cdot \frac{n-3}{x+n-3} \cdots \frac{1}{x+1} \cdot B(x, 1),$$

но

$$B(x, 1) = \int_0^1 t^{x-1} dt = \frac{1}{x},$$

откуда

$$B(x, n) = \frac{(n-1)!}{x(x+1)\dots(x+n-1)}.$$

Пусть далее $x = m$ (m — натуральное), тогда

$$B(m, n) = \frac{(n-1)!}{m(m+1)\dots(m+n-1)} = \frac{(n-1)!(m-1)!}{(m+n-1)!}.$$

3. Другое выражение для бета-функции — сделаем в (4.1) замену, приняв

$$t = \frac{\xi}{1+\xi} \Rightarrow \xi = \frac{t}{1-t} \Rightarrow dt = \frac{d\xi}{(1+\xi)^2}.$$

Тогда

$$B(x, y) = \int_0^{+\infty} \frac{\xi^{x-1}}{(1+\xi)^{x-1}} \frac{1}{(1+\xi)^{y-1}} \frac{d\xi}{(1+\xi)^2} = \int_0^{+\infty} \frac{\xi^{x-1} d\xi}{(1+\xi)^{x+y}}.$$

4. Отметим без доказательства еще одно свойство¹

$$B(x, 1-x) = \frac{\pi}{\sin(\pi x)}.$$

Эйлеров интеграл второго рода

Это название было присвоено Лежандром замечательному интегралу

¹ Доказательство можно найти, например, в книге: Фихтенгольц Г. М. Курс дифференциального и интегрального исчисления. Т. 2. — М.: Физматгиз, 1962.

$$\Gamma(x) = \int_0^{\infty} e^{-t} t^{x-1} dt,$$

который сходится при любом $x > 0$ и определяет функцию Γ — гамма-функцию. Покажем, что $\Gamma(x)$ сходится при $x > 0$. В самом деле,

$$\Gamma(x) = \int_0^{\infty} e^{-t} t^{x-1} dt = \underbrace{\int_0^1 e^{-t} t^{x-1} dt}_{J_1} + \underbrace{\int_1^{\infty} e^{-t} t^{x-1} dt}_{J_2}.$$

Рассмотрим интеграл J_1 . Точка $t = 0$ — особая, если $x < 1$,

$$f(t) = e^{-t} t^{x-1} = \frac{e^{-t}}{t^{1-x}} \approx \frac{1}{t^{1-x}}, \quad t \rightarrow 0;$$

интеграл

$$\int_0^1 \frac{dt}{t^{1-x}}$$

сходится, если $1-x < 1 \Leftrightarrow x > 0$, то есть J_1 сходится, если $x > 0$.

Рассмотрим интеграл J_2 . Для любого x

$$f(t) = e^{-t} t^{x-1} = \frac{t^{x-1}}{e^t} \rightarrow 0, \quad t \rightarrow +\infty.$$

Это означает, что существует число b такое, что для $t \geq b$ будет, например,

$$\frac{t^{x+1}}{e^t} < 1.$$

Можно считать, что это справедливо для $b > 1$, а тогда для $t \geq b$

$$\frac{t^{x-1}}{e^t} \leq \frac{1}{t^2}.$$

Мы знаем, что

$$\int_b^{\infty} \frac{dt}{t^2} \quad (b > 1)$$

сходится, следовательно, J_2 сходится для любого x , а тогда $\Gamma(x)$ сходится при $x > 0$.

Рассмотрим выражение $x\Gamma(x)$:

$$\begin{aligned} x\Gamma(x) &= x \int_0^{\infty} e^{-t} t^{x-1} dt = x \int_0^{\infty} e^{-t} d\left(\frac{t^x}{x}\right) = \int_0^{\infty} e^{-t} d(t^x) = \\ &= \underbrace{e^{-t} t^x \Big|_0^{+\infty}}_{=0} + \int_0^{\infty} e^{-t} t^x dt = \int_0^{\infty} e^{-t} t^x dt = \Gamma(x+1). \end{aligned}$$

Итак,

$$x \Gamma(x) = \Gamma(x + 1). \quad (4.3)$$

Применяя формулу (4.3) повторно, получим

$$\begin{aligned} \Gamma(x + n) &= \Gamma((x + n - 1) + 1) = (x + n - 1)\Gamma(x + n - 1) = \\ &= (x + n - 1)(x + n - 2) \cdots (x + 1)x\Gamma(x), \end{aligned}$$

в частности, при $x = 1$, будем иметь

$$\Gamma(n + 1) = n(n - 1)(n - 2) \cdots 2 \cdot 1 \cdot \Gamma(1),$$

но

$$\Gamma(1) = \int_0^{\infty} e^{-t} dt = -e^{-t} \Big|_0^{\infty} = 1,$$

потому

$$\Gamma(n + 1) = n!. \quad (4.4)$$

Справедливо следующее соотношение, связывающее между собой функции Γ и B :

$$B(x, y) = \frac{\Gamma(x)\Gamma(y)}{\Gamma(x + y)}. \quad (4.5)$$

Отсюда, в частности, получаем, если $0 < x < 1$, $y = 1 - x$

$$\begin{aligned} B(x, 1 - x) &= \frac{\pi}{\sin(\pi x)} = \frac{\Gamma(x)\Gamma(1 - x)}{\Gamma(1)} \Rightarrow \\ \Gamma(x)\Gamma(1 - x) &= \frac{\pi}{\sin(\pi x)}. \end{aligned} \quad (4.6)$$

На рис. 4.1 приведен график гамма-функции, построенный в Maple:

```
> p1:=plots[textplot]([1.10, '\Gamma(x)'], align={ABOVE, RIGHT});
> p2:=plot(GAMMA(x), x=-5..5, y=-10..10, color=black,
> labels=['x', '\Gamma(x)'], xtickmarks=5, ytickmarks=4);
> plots[display]({p1, p2});
```

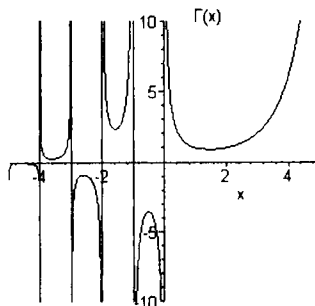


Рис. 4.1. Гамма-функция

Эйлеровы интегралы первого и второго рода определяются и для комплексных значений аргументов. В случае комплексных x и y интеграл (4.1) сходится, когда $\operatorname{Re}(x) > 0$ и $\operatorname{Re}(y) > 0$.

Гамма-функция — одна из важнейших трансцендентных функций математического анализа, распространяющая понятие факториала $z! = 1 \cdot 2 \cdot 3 \cdots z$ на случай комплексных значений z . Знание ее свойств необходимо для изучения многих других специальных функций, например, цилиндрических.

Под гамма-функцией (или эйлеровым интегралом второго рода) понимается значение интеграла

$$\Gamma(z) = \int_0^{\infty} e^{-t} t^{z-1} dt \quad (4.7)$$

для всех комплексных значений z , для которых $\operatorname{Re}(z) > 0$ или его аналитическое продолжение на всю комплексную плоскость за исключением точек $z = 0, -1, -2, -3, \dots, -\infty$. Эти точки, в которых функция не определена, называются особыми точками. Можно показать, что гамма-функция (4.7) является регулярной функцией от z в полуплоскости $\operatorname{Re}(z) > 0$. Кроме перечисленных свойств гамма-функции, отметим еще следующие:

$$2^{2z-1} \Gamma(z) \Gamma\left(z + \frac{1}{2}\right) = \sqrt{\pi} \Gamma(2z), \quad (4.8)$$

$$\Gamma\left(n + \frac{1}{2}\right) = \sqrt{\pi} \frac{1 \cdot 3 \cdots (2n-1)}{2^n}, \quad n = 0, 1, 2, \dots,$$

$$\Gamma\left(\frac{1}{2}\right) = \sqrt{\pi},$$

$$\Gamma(-n) = \infty, \quad n = 0, 1, 2, \dots, \infty.$$

С гамма-функцией тесно связана еще одна специальная функция — *пси-функция* или логарифмическая производная гамма-функции:

$$\Psi(z) = \frac{\Gamma'(z)}{\Gamma(z)} = \frac{d}{dz} \ln[\Gamma(z)], \quad \Psi(1) = \Gamma'(1) = -\gamma, \quad \gamma = 0,5772\dots,$$

где γ — постоянная Эйлера–Маскерони

Интеграл вероятности

Интегралом вероятности $\Phi(z)$ называется функция, которая для любых комплексных z определяется равенством

$$\Phi(z) = \frac{2}{\sqrt{\pi}} \int_0^z e^{-t^2} dt, \quad (4.9)$$

где интегрирование производится по произвольному пути, соединяющему начало координат с точкой $t = z$. Так как подынтегральное выражение является целой функцией комплексного переменного t , вид пути интегрирования не играет роли,

и можно считать, что интегрирование производится вдоль отрезка прямой, соединяющей точки $t = 0$ и $t = z$. В таком случае, как известно¹, $\Phi(z)$ представляет целую функцию, которая может быть разложена в степенной ряд, сходящийся при любых значениях переменного z . Для того, чтобы получить это разложение, достаточно подставить в (4.9) соответствующий ряд для экспоненты и проинтегрировать его почленно. Мы получим тогда

$$\Phi(z) = \frac{2}{\sqrt{\pi}} \int_0^z \sum_{k=0}^{\infty} \frac{(-1)^k t^{2k}}{k!} dt = \frac{2}{\sqrt{\pi}} \sum_{k=0}^{\infty} \frac{(-1)^k z^{2k+1}}{k!(2k+1)}, \quad |z| < \infty, \quad (4.10)$$

так как процесс интегрирования степенного ряда является законным.

Из формулы (4.10) видно, что $\Phi(z)$ — нечетная функция от z .

Интеграл вероятности не может быть выражен через элементарные функции, однако его производная — элементарная функция

$$\Phi'(z) = \frac{2}{\sqrt{\pi}} e^{-z^2}.$$

В частности, при вещественных значениях аргумента $z = x$ функция $\Phi(x)$ представляет собой вещественную монотонно возрастающую функцию, так как

$$\Phi'(x) = \frac{2}{\sqrt{\pi}} e^{-x^2} > 0, \quad x \in (-\infty, +\infty).$$

Значение функции при нуле $\Phi(0) = 0$, а при возрастании x быстро приближается к предельному значению $\Phi(\infty) = 1$, ибо

$$\int_0^{\infty} e^{-t^2} dt = \frac{\sqrt{\pi}}{2}.$$

Разница между $\Phi(x)$ и этим предельным значением может быть представлена в форме

$$1 - \Phi(x) = \frac{2}{\sqrt{\pi}} \int_0^{\infty} e^{-t^2} dt - \frac{2}{\sqrt{\pi}} \int_0^x e^{-t^2} dt = \frac{2}{\sqrt{\pi}} \int_x^{\infty} e^{-t^2} dt, \quad x > 0. \quad (4.11)$$

Получим асимптотическую формулу. Для этого воспользуемся формулой (4.11) и преобразуем входящий в нее интеграл с помощью интегрирования по частям. Мы находим последовательно

$$\begin{aligned} 1 - \Phi(x) &= -\frac{2}{2\sqrt{\pi}} \int_x^{\infty} \frac{1}{t} d(e^{-t^2}) = -\frac{1}{\sqrt{\pi}} \left[\frac{e^{-t^2}}{t} \Big|_{t=x}^{t=\infty} + \int_x^{\infty} \frac{e^{-t^2}}{t^2} dt \right] = \\ &= \frac{1}{\sqrt{\pi}} \frac{e^{-x^2}}{x} - \frac{1}{\sqrt{\pi}} \int_x^{\infty} \frac{e^{-t^2}}{t^2} dt = \frac{1}{\sqrt{\pi}} \frac{e^{-x^2}}{x} [1 + r(x)], \quad x > 0, \end{aligned}$$

¹ Интеграл $\varphi(z) = \int_a^z f(t) dt$, взятый по произвольному пути, принадлежащему односвязной области, в которой $f(t)$ регулярна, есть регулярная функция в этой области. См., например, *Смирнов В. И.* Курс высшей математики. Т. 3, ч. 2. — М.: Гостехиздат, 1956.

где

$$r(x) = -xe^{x^2} \int_x^{\infty} \frac{e^{-t^2}}{t^2} dt.$$

Оценим $r(x)$.

$$\begin{aligned} |r(x)| &\leq xe^{x^2} \int_x^{\infty} \frac{e^{-t^2}}{t^2} dt = \int_x^{\infty} \frac{e^{x^2-t^2} x}{t^2} dt \quad (t \geq x) \leq \\ &\leq \int_x^{\infty} \frac{e^{x^2-t^2} t}{x^2} dt = -\frac{e^{x^2}}{x^2} \frac{e^{-t^2}}{2} \Big|_{t=0}^{t=\infty} = \frac{1}{2x^2}. \end{aligned}$$

Таким образом, будем иметь

$$|r(x)| \leq \frac{1}{2x^2}.$$

Следовательно, можно записать

$$1 - \Phi(x) = \frac{1}{\sqrt{\pi}} \frac{e^{-x^2}}{x} \left[1 + O\left(\frac{1}{x^2}\right) \right], \quad x \rightarrow +\infty.$$

График функции $\Phi(x)$ изображен на рис. 4.2, построенном в Maple:

```
> p1:=plots[textplot]([0.1,1,`\Phi(x)`],align={ABOVE,RIGHT}):
> p2:=
> plots[textplot]([3.95,0.05,`x`],align={ABOVE,RIGHT}):
> p3:=
> plot(erf(x),x=-4..4,color=black,labels=[``,``],
> xtickmarks=5,ytickmarks=8):
> plots[display]({p1,p2,p3}):
```

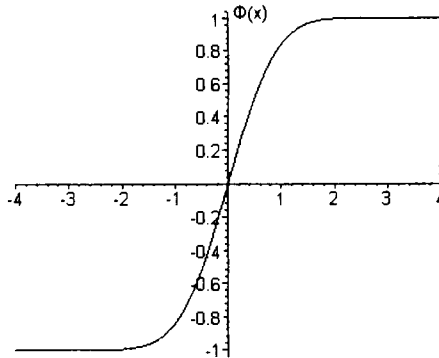


Рис. 4.2. Интеграл вероятности

Интеграл вероятности встречается в различных разделах прикладной математики, в частности, в теории вероятностей и теории ошибок, в математической теории теплопроводности и в других разделах математической физики.

Функция Бесселя

Многие задачи приводят к необходимости решать уравнение вида

$$u'' + \frac{1}{z}u' + \left(1 - \frac{v^2}{z^2}\right)u = 0. \tag{4.12}$$

К такому уравнению мы придем, например, при решении задач методом разделения переменных, если будем пользоваться цилиндрическими (или полярными) координатами (задача о колебании круглой мембраны, об остывании круглого цилиндра и др.).

Уравнение (4.12) называется *уравнением Бесселя*. Решения этого уравнения, не равные тождественно нулю, называются *цилиндрическими (или бесселевыми) функциями*. Здесь z — комплексное переменное, v — некоторый параметр, вообще говоря, комплексный.

Один класс цилиндрических функций мы построим следующим образом. Будем искать решение уравнения (4.12) в виде обобщенного степенного ряда

$$u = z^\sigma (a_0 + a_1 z + a_2 z^2 + \dots), \tag{4.13}$$

где $a_0 \neq 0$. Тогда

$$\begin{aligned} zu' &= z^\sigma [a_0 \sigma + a_1 (\sigma + 1)z + a_2 (\sigma + 2)z^2 + \dots], \\ z^2 u'' &= z^\sigma [a_0 \sigma (\sigma - 1) + a_1 (\sigma + 1)\sigma z + a_2 (\sigma + 1)(\sigma + 2)z^2 + \dots]. \end{aligned}$$

Перепишем уравнение (4.12) в виде

$$z^2 u'' + zu' + (z^2 - v^2)u = 0; \tag{4.14}$$

подставим значения u , zu' , и $z^2 u''$ в уравнение (4.14) и соберем члены с одинаковыми степенями z :

$$\begin{aligned} z^\sigma [a_0 \sigma^2 - a_0 v^2] + z^{\sigma+1} [a_1 (\sigma + 1)^2 - a_1 v^2] + z^{\sigma+2} [a_2 (\sigma + 2)^2 - a_2 v^2 + a_0] + \dots \\ \dots + z^{\sigma+n} [a_n (\sigma + n)^2 - a_n v^2 + a_{n-2}] + \dots \equiv 0. \end{aligned}$$

Чтобы ряд (4.13) был решением уравнения (4.14), необходимо выполнение равенств

$$\begin{aligned} a_0 [\sigma^2 - v^2] &= 0; \\ a_1 [(\sigma + 1)^2 - v^2] &= 0; \\ a_2 [(\sigma + 2)^2 - v^2] + a_0 &= 0; \\ \vdots & \\ a_n [(\sigma + n)^2 - v^2] + a_{n-2} &= 0; \\ \vdots & \end{aligned}$$

Из первого равенства находим $\sigma = \pm v$, так как $a_0 \neq 0$. Возьмем $\sigma = v$. Тогда из второго равенства находим $a_1 = 0$. Далее,

$$a_n = \frac{-a_{n-2}}{(\sigma + n)^2 - \nu^2} = \frac{-a_{n-2}}{(2\nu + n)n}, \quad n = 2, 3, \dots$$

Очевидно $a_{2k+1} = 0$ для всех целых неотрицательных k , а

$$a_{2k} = \frac{-a_{2k-2}}{2^2(\nu + k)k} = \frac{(-1)^k a_0}{2^{2k}(\nu + k)(\nu + k - 1)\dots(\nu + 1)k!}.$$

Полагая

$$a_0 = \frac{1}{2^\nu \Gamma(\nu + 1)}$$

и используя формулы (4.3) и (4.4), получим

$$a_{2k} = \frac{(-1)^k}{2^{2k+\nu} \Gamma(k+1)\Gamma(k+\nu+1)}.$$

Таким образом, мы построили одно формальное решение уравнения (4.12) в виде обобщенного степенного ряда

$$u = u_1 = \sum_{k=0}^{\infty} \frac{(-1)^k \left(\frac{z}{2}\right)^{2k+\nu}}{k! \Gamma(k+\nu+1)}, \quad (4.15)$$

где z — комплексное переменное, принадлежащее плоскости с разрезом $(-\infty, 0)$: $|z| < \infty$, $|\arg z| < \pi$; ν — параметр, который может принимать любые вещественные или комплексные значения. Ограничение, наложенное на z , необходимо для однозначности функции z^ν и может быть отброшено, если ν — целое число.

Докажем, что ряд (4.15) сходится. Обозначим общий член этого ряда

$$u_k = \frac{(-1)^k \left(\frac{z}{2}\right)^{2k+\nu}}{k! \Gamma(k+\nu+1)}.$$

Будем иметь

$$\left| \frac{u_{k+1}}{u_k} \right| = \left| \frac{\left(\frac{z}{2}\right)^{2k+2+\nu} k! \Gamma(k+\nu+1)}{\left(\frac{z}{2}\right)^{2k+\nu} (k+1)! \Gamma(k+\nu+2)} \right| = \left| \frac{\left(\frac{z}{2}\right)^2}{(k+1)(k+\nu+1)} \right|, \quad (4.16)$$

$$\lim_{k \rightarrow \infty} \left| \frac{\left(\frac{z}{2}\right)^2}{(k+1)(k+\nu+1)} \right| = 0, \quad |z| < \infty.$$

Следовательно, по признаку Даламбера, ряд (4.15) сходится при любых конечных z .

В плоскости с разрезом $(-\infty, 0)$ каждый член ряда (4.15) — однозначная и регулярная функция комплексного переменного z . Данный ряд сходится при любых z и ν , причем в области $|z| < R$ и $|\nu| < N$ (R, N — произвольно большие фиксированные числа) сходимость равномерна по отношению к каждому из переменных. Действительно, начиная с достаточно большого k , отношение модулей последующего члена ряда к предыдущему, равное на основании (4.16) величине

$$\left| \frac{u_{k+1}}{u_k} \right| = \left| \frac{\left(\frac{z}{2}\right)^2}{(k+1)(k+\nu+1)} \right| \leq \frac{R^2}{4(k+1)(k+1-N)},$$

не будет превосходить некоторой правильной положительной дроби q , не зависящей от z и ν . Отсюда, согласно известному признаку сходимости, следует, что рассматриваемый ряд сходится равномерно в указанной области¹.

Так как члены ряда представляют собой регулярные функции в плоскости с разрезом $(-\infty, 0)$, то сумма ряда определяет некоторую функцию комплексного переменного z , регулярную в рассматриваемой области. Эта функция называется *функцией Бесселя первого рода с индексом ν* и обозначается символом $J_\nu(z)$. Таким образом,

$$J_\nu(z) = \sum_{k=0}^{\infty} \frac{(-1)^k \left(\frac{z}{2}\right)^{2k+\nu}}{k! \Gamma(k+\nu+1)}, \quad |z| < \infty, \quad |\arg z| < \pi, \quad (4.17)$$

Покажем, что этот ряд в его области сходимости является фактическим решением уравнения (4.12). Имеем²

$$u = \sum_{k=0}^{\infty} \frac{(-1)^k \left(\frac{z}{2}\right)^{2k+\nu}}{k! \Gamma(k+\nu+1)},$$

$$u' = \sum_{k=0}^{\infty} \frac{(-1)^k (2k+\nu) \left(\frac{z}{2}\right)^{2k+\nu-1}}{k! \Gamma(k+\nu+1)},$$

¹ Функциональный ряд $\sum_{k=1}^{\infty} u_k(z)$ сходится равномерно в некоторой области, если для всякого z , принадлежащего этой области и $k \geq m$, выполняется неравенство

$$\left| \frac{u_{k+1}}{u_k} \right| \leq q < 1,$$

где q не зависит от z .

² Равномерно сходящийся ряд регулярных функций можно дифференцировать почленно.

$$u'' = \sum_{k=0}^{\infty} \frac{(-1)^k (2k+v)(2k+v-1) \left(\frac{z}{2}\right)^{2k+v-2}}{k! \Gamma(k+v+1)}.$$

Умножаем функцию u на $\left(1 - \frac{v^2}{z^2}\right)$, функцию u' — на $\frac{1}{z}$, функцию u'' — на 1 и складываем, получим

$$\begin{aligned} L(u) &\equiv u'' + \frac{1}{z}u' + \left(1 - \frac{v^2}{z^2}\right)u = \\ &= \sum_{k=0}^{\infty} \frac{(-1)^k [(2k+v)(2k+v-1) + (2k+v) - v^2] z^{2k+v-2}}{2^{2k+v} k! \Gamma(k+v+1)} + \\ &\quad + \sum_{k=0}^{\infty} \frac{(-1)^k z^{2k+v}}{2^{2k+v} k! \Gamma(k+v+1)}. \end{aligned}$$

Далее имеем

$$[(2k+v)(2k+v-1) + (2k+v) - v^2] = 2^2 k(k+v).$$

Тогда

$$\begin{aligned} L(u) &= \sum_{\substack{k=0 \\ (k=1)}}^{\infty} \frac{(-1)^k k(k+v) z^{2k+v-2}}{2^{2k+v-2} k! \Gamma(k+v+1)} + \sum_{k=0}^{\infty} \frac{(-1)^k z^{2k+v}}{2^{2k+v} k! \Gamma(k+v+1)} = \\ &= \sum_{\substack{k=1 \\ (k-1) \rightarrow k}}^{\infty} \frac{(-1)^k z^{2k+v-2}}{2^{2k+v-2} (k-1)! \Gamma(k+v)} + \sum_{k=0}^{\infty} \frac{(-1)^k z^{2k+v}}{2^{2k+v} k! \Gamma(k+v+1)} = \\ &= - \sum_{k=0}^{\infty} \frac{(-1)^k z^{2k+v}}{2^{2k+v} k! \Gamma(k+v+1)} + \sum_{k=0}^{\infty} \frac{(-1)^k z^{2k+v}}{2^{2k+v} k! \Gamma(k+v+1)} \equiv 0. \end{aligned}$$

Функция Вебера

По определению, цилиндрическая функция есть произвольное решение дифференциального уравнения второго порядка (4.12), поэтому общее ее выражение содержится в формуле

$$u = Z_\nu(z) = C_1 u_1(z) + C_2 u_2(z),$$

где u_1 и u_2 — какие-нибудь линейно независимые решения уравнения (4.12), C_1 и C_2 — постоянные, являющиеся, вообще говоря, произвольными функциями параметра ν . Легко получить общее выражение цилиндрической функции для случая, когда ν отлично от целого числа. Действительно, для того чтобы записать общий интеграл уравнения (4.12), необходимо получить второе линейно независимое решение. Поскольку уравнение (4.12) не меняется при замене ν на $-\nu$, то функция $J_{-\nu}(z)$ также является решением уравнения (4.12), то есть второе решение может быть записано так:

$$u_2 = J_{-\nu}(z) = \sum_{k=0}^{\infty} \frac{(-1)^k \left(\frac{z}{2}\right)^{2k-\nu}}{\Gamma(k+1)\Gamma(k-\nu+1)}. \quad (4.18)$$

Рассмотрим поведение функций (4.17) и (4.18) в окрестности начала координат. Если ν не равно целому числу, асимптотическое поведение рассматриваемых решений при $z \rightarrow 0$ будет

$$J_{\nu}(z) \approx \frac{\left(\frac{z}{2}\right)^{\nu}}{\Gamma(\nu+1)}, \quad |z| \rightarrow 0. \quad (4.19)$$

$$J_{-\nu}(z) \approx \frac{\left(\frac{z}{2}\right)^{-\nu}}{\Gamma(-\nu+1)}, \quad |z| \rightarrow 0. \quad (4.20)$$

Эти формулы верны для всех ν за исключением тех значений ν , когда знаменатель обращается в бесконечность, то есть $\nu \neq -1, -2, -3, \dots$ для (4.19) и $\nu \neq 1, 2, 3, \dots$ для (4.20). Таким образом, при $\nu \neq \pm 1, \pm 2, \pm 3, \dots$ справедливы обе формулы. Далее,

$$\frac{J_{\nu}(z)}{J_{-\nu}(z)} = \left(\frac{z}{2}\right)^{2\nu} \frac{\Gamma(-\nu+1)}{\Gamma(\nu+1)} \neq \text{const}, \quad \nu \neq 0, \pm 1, \pm 2, \dots$$

Таким образом, функции (4.17) и (4.18) будут линейно независимы, если $\nu \neq 0, \pm 1, \pm 2, \pm 3, \dots$, то есть общее выражение цилиндрической функции при условии, что $\nu \neq 0, \pm 1, \pm 2, \pm 3, \dots$, будет таким:

$$u = A_{\nu} J_{\nu}(z) + B_{\nu} J_{-\nu}(z). \quad (4.21)$$

Рассмотрим теперь случай, когда $\nu = n$ ($n = 0, 1, 2, \dots$). В этом случае

$$J_n(z) = \sum_{k=0}^{\infty} \frac{(-1)^k \left(\frac{z}{2}\right)^{2k+n}}{k!(k+n)!}, \quad |z| < \infty, \quad n = 0, 1, 2, \dots \quad (4.22)$$

Функция (4.22) регулярна на всей плоскости без разреза. Это целая функция. Далее

$$J_{-n}(z) = \sum_{k=0}^{\infty} \frac{(-1)^k \left(\frac{z}{2}\right)^{2k-n}}{k!\Gamma(k-n+1)} = \sum_{k=n}^{\infty} \frac{(-1)^k \left(\frac{z}{2}\right)^{2k-n}}{k!\Gamma(k-n+1)},$$

поскольку $\Gamma(k-n+1) = \infty$ для всех $k = 0, 1, 2, \dots, n-1$. В последней сумме произведем замену переменной суммирования $k = s+n$. Получим

$$J_{-n}(z) = \sum_{s=0}^{\infty} \frac{(-1)^{n+s} \left(\frac{z}{2}\right)^{2s+n}}{s!(s+n)!} = (-1)^n J_n(z).$$

Таким образом, бесселевы функции с целым индексом линейно зависимы

$$J_{-n}(z) = (-1)^n J_n(z), \quad n = 0, \pm 1, \pm 2, \dots$$

Поэтому выражение (4.21) не является общим интегралом уравнения (4.12) в этом случае. Следовательно, для целых n надо построить еще одно решение уравнения (4.12).

Будем предполагать, что ν не является целым. Введем в рассмотрение функцию Бесселя второго рода $Y_\nu(z)$, которую для произвольных z , принадлежащих плоскости с разрезом $(-\infty, 0)$, определим выражением

$$u = u_3 = Y_\nu(z) = \frac{J_\nu(z) \cos(\nu\pi) - J_{-\nu}(z)}{\sin(\nu\pi)}, \quad |z| < \infty, \quad |\arg z| < \pi. \quad (4.23)$$

Это выражение для ν не целого — цилиндрическая функция, линейно независимая с функцией Бесселя (4.17). Функция (4.23) — *цилиндрическая функция второго рода* или *функция Вебера*. В некоторых работах, посвященных теории функций Бесселя, для обозначения этой функции вместо $Y_\nu(z)$ используется символ $N_\nu(z)$, а сама функция называется *функцией Неймана*.

При ν , равном целому числу, правая часть рассматриваемого выражения (4.23) приобретает неопределенный вид, и мы условимся понимать под значением функции в этом случае предел

$$Y_n(z) = \lim_{\nu \rightarrow n} Y_\nu(z).$$

Так как числитель и знаменатель в (4.23) — целые функции ν , то рассматриваемый предел существует и может быть вычислен по правилу Лопиталья, применение которого дает

$$Y_n(z) = \frac{1}{\pi} \left[\frac{\partial J_\nu(z)}{\partial \nu} \right]_{\nu=n} - (-1)^n \left[\frac{\partial J_{-\nu}(z)}{\partial \nu} \right]_{\nu=n}. \quad (4.24)$$

Из определения функции $Y_\nu(z)$ следует, что эта функция регулярна в плоскости с разрезом $(-\infty, 0)$, а при фиксированном z представляет собой целую функцию параметра ν . Выражение (4.23) удовлетворяет уравнению Бесселя. Докажем, что функция $Y_n(z)$ удовлетворяет уравнению Бесселя. Имеем

$$L(J_\nu) \equiv J_\nu'' + \frac{1}{z} J_\nu' + \left(1 - \frac{\nu^2}{z^2}\right) J_\nu \equiv 0,$$

$$L(J_{-\nu}) \equiv J_{-\nu}'' + \frac{1}{z} J_{-\nu}' + \left(1 - \frac{\nu^2}{z^2}\right) J_{-\nu} \equiv 0.$$

Продифференцируем каждое из этих тождеств по ν . Получим

$$L\left(\frac{\partial J_\nu}{\partial \nu}\right) - \frac{2\nu}{z^2} J_\nu \equiv 0,$$

$$L\left(\frac{\partial J_{-\nu}}{\partial \nu}\right) - \frac{2\nu}{z^2} J_{-\nu} \equiv 0.$$

Умножим теперь первое соотношение на 1, а второе — на $(-1)^n$ и вычтем одно из другого. Получим

$$L\left(\frac{\partial J_{\nu}}{\partial \nu}\right) - (-1)^n L\left(\frac{\partial J_{-\nu}}{\partial \nu}\right) - \frac{2\nu}{z^2} [J_{\nu} - (-1)^n J_{-\nu}] \equiv 0.$$

Разделим теперь последнее соотношение на π и перейдем к пределу при $\nu \rightarrow n$. Получим

$$L(Y_n) \equiv 0,$$

это и доказывает, что функция $Y_n(z)$ — решение уравнения (4.12).

Решения $u_1 = J_{\nu}(z)$ и $u_3 = Y_{\nu}(z)$ линейно независимы между собой. Для $\nu \neq 0, \pm 1, \pm 2, \pm 3, \dots$ этот результат является следствием линейной независимости решений $J_{\nu}(z)$ и $J_{-\nu}(z)$. Линейная независимость для $\nu = n$ ($n = 0, 1, 2, \dots$) вытекает из сопоставления поведения рассматриваемых функций при $z \rightarrow 0$.

Таким образом, общее выражение цилиндрической функции, пригодное при любых значениях ν , будет

$$u = Z_{\nu}(z) = C_1 J_{\nu}(z) + C_2 Y_{\nu}(z).$$

Введем в рассмотрение еще две новые функции

$$\begin{aligned} u_4 &= H_{\nu}^{(1)} = J_{\nu}(z) + iY_{\nu}(z), \\ u_5 &= H_{\nu}^{(2)} = J_{\nu}(z) - iY_{\nu}(z). \end{aligned}$$

Это — *цилиндрические функции третьего рода (функции Ханкеля)*. Очевидно, эти функции линейно независимы с функцией первого рода и между собой. Они определены для $|z| < \infty$, $|\arg z| < \pi$. Все цилиндрические функции при фиксированном z есть целые функции параметра ν .

Представление функции Вебера в виде ряда

Ряд для функции Вебера $Y_{\nu}(z)$, где ν — не целое, получается непосредственно из формул (4.17), (4.18) и (4.23). Для того чтобы получить разложение в ряд функции $Y_n(z)$, достаточно воспользоваться формулой (4.24) и вычислить производные по значку ν , исходя из разложения (4.17), причем ввиду соотношения

$$Y_{-n}(z) = (-1)^n Y_n(z), \quad n = 0, 1, 2, \dots,$$

являющегося следствием (4.24), можно ограничиться рассмотрением случая целых положительных $n = 0, 1, 2, \dots$

Так как ряд (4.17) сходится равномерно по отношению к ν , мы можем дифференцировать его почленно¹, получая

¹ Переход к пределу при $\nu \rightarrow n$ под знаком суммы законен, так как ряд, полученный почленным дифференцированием равномерно сходящегося ряда регулярных функций, сходится равномерно.

$$\left[\frac{\partial J_{\nu}(z)}{\partial \nu} \right] \Big|_{\nu=n} = \sum_{k=0}^{\infty} \frac{(-1)^k \left(\frac{z}{2}\right)^{2k+n}}{k!(k+n)!} \left[\ln \frac{z}{2} - \psi(k+n+1) \right],$$

где $\psi(z)$ — логарифмическая производная гамма-функции. Аналогично имеем

$$\frac{\partial J_{-\nu}(z)}{\partial \nu} = \sum_{k=0}^{\infty} \frac{(-1)^k \left(\frac{z}{2}\right)^{2k-\nu}}{k! \Gamma(k-\nu+1)} \left[-\ln \frac{z}{2} + \psi(k-\nu+1) \right].$$

При $k=0, 1, 2, \dots, n-1$ и $\nu \rightarrow n$ $\Gamma(k-\nu+1) \rightarrow \infty$, $\psi(k-\nu+1) \rightarrow \infty$, поэтому первые n членов ряда принимают неопределенный вид. Воспользовавшись формулами (4.4), (4.6), получим для таких k

$$\lim_{\nu \rightarrow n} \frac{1}{\Gamma(k-\nu+1)} = \begin{cases} 0, & k=0, 1, \dots, n-1; \\ \frac{1}{(k-n)!}, & k=n, n+1, \dots, \infty. \end{cases}$$

Имеем далее

$$\Gamma(z)\Gamma(1-z) = \frac{\pi}{\sin(\pi z)} \Rightarrow \frac{1}{\Gamma(1-z)} = \frac{\Gamma(z)\sin(\pi z)}{\pi} \Rightarrow$$

$$\frac{\Gamma'(1-z)}{\Gamma^2(1-z)} = \frac{1}{\pi} [\Gamma'(z)\sin(\pi z) + \pi \cos(\pi z)\Gamma(z)] \Rightarrow$$

$$\frac{\psi(1-z)}{\Gamma(1-z)} = \frac{1}{\pi} [\Gamma'(z)\sin(\pi z) + \pi \cos(\pi z)\Gamma(z)].$$

Будем здесь предполагать, что $k=0, 1, 2, \dots, n-1$, $z=n-k$. Тогда из последней формулы получаем

$$\begin{aligned} \lim_{\nu \rightarrow n} \frac{\psi(k-\nu+1)}{\Gamma(k-\nu+1)} &= \frac{1}{\pi} [\Gamma'(n-k)\underbrace{\sin(\pi(n-k))}_{=0} + \pi \cos(\pi(n-k))\Gamma(n-k)] = \\ &= (-1)^{n-k}(n-k-1)! \end{aligned}$$

Таким образом,

$$\lim_{\nu \rightarrow n} \frac{\psi(k-\nu+1)}{\Gamma(k-\nu+1)} = \begin{cases} (-1)^{n-k}(n-k-1)!, & k=0, 1, 2, \dots, n-1; \\ \frac{\psi(k-n+1)}{\Gamma(k-n+1)}, & k=n, n+1, \dots, \infty. \end{cases}$$

Тогда

$$\begin{aligned} \left[\frac{\partial J_{-\nu}(z)}{\partial \nu} \right] \Big|_{\nu=n} &= \sum_{k=0}^{n-1} \frac{(-1)^{n-k}(n-k-1)!(-1)^k \left(\frac{z}{2}\right)^{2k-n}}{k!} - \\ &- \sum_{k=n}^{\infty} \frac{(-1)^k \left(\frac{z}{2}\right)^{2k-n}}{k!(k-n)!} \left[\ln \frac{z}{2} - \psi(k-n+1) \right] \end{aligned}$$

или

$$\left[\frac{\partial J_{-v}(z)}{\partial v} \right] \Big|_{v=n} = (-1)^n \sum_{k=0}^{n-1} \frac{(n-k-1)!}{k!} \left(\frac{z}{2} \right)^{2k-n} -$$

$$- (-1)^n \sum_{k=0}^{\infty} \frac{(-1)^k \left(\frac{z}{2} \right)^{2k+n}}{k!(k+n)!} \left[\ln \frac{z}{2} - \psi(k+1) \right].$$

Таким образом, можно записать (согласно (4.24))

$$Y_n(z) = -\frac{1}{\pi} \sum_{k=0}^{n-1} \frac{(n-k-1)!}{k!} \left(\frac{z}{2} \right)^{2k-n} +$$

$$+ \frac{1}{\pi} \sum_{k=0}^{\infty} \frac{(-1)^k \left(\frac{z}{2} \right)^{2k+n}}{k!(k+n)!} \left[2 \ln \frac{z}{2} - \psi(k+n+1) - \psi(k+1) \right], \quad (4.25)$$

причем $|z| < \infty$, $|\arg z| < \pi$, $n = 0, 1, 2, \dots$ Если принять во внимание, что $\sum_{k=0}^{-1} \equiv 0$, то окончательный результат верен и для $n = 0$. Можно также записать

$$Y_n(z) = -\frac{1}{\pi} \sum_{k=0}^{n-1} \frac{(n-k-1)!}{k!} \left(\frac{z}{2} \right)^{2k-n} + \frac{2}{\pi} J_n(z) \ln \frac{z}{2} -$$

$$- \frac{1}{\pi} \sum_{k=0}^{\infty} \frac{(-1)^k \left(\frac{z}{2} \right)^{2k+n}}{k!(k+n)!} [\psi(k+n+1) + \psi(k+1)],$$

Полученный результат показывает, что функция Вебера есть регулярная функция в плоскости с разрезом по отрицательной части вещественной оси. Далее, $Y_n(z)$ есть решение, линейно независимое от решения $J_n(z)$.Из (4.25) вытекает, что при $z \rightarrow 0$ справедливы асимптотические формулы

$$Y_0(z) \underset{z \rightarrow 0}{\approx} \frac{2}{\pi} \ln \frac{z}{2}, \quad Y_n(z) \underset{z \rightarrow 0}{\approx} -\frac{(n-1)!}{\pi} \left(\frac{z}{2} \right)^{-n}, \quad n = 1, 2, \dots,$$

показывающие, что $Y_n(z) \rightarrow \infty$, когда $z \rightarrow 0$.

Отметим также формулы

$$J_0(z) \underset{z \rightarrow 0}{\approx} 1, \quad J_n(z) \underset{z \rightarrow 0}{\approx} \frac{1}{n!} \left(\frac{z}{2} \right)^n, \quad n = 1, 2, \dots$$

Следовательно, функция $J_n(z)$ ограничена, когда $z \rightarrow 0$.Асимптотическое поведение функций Ханкеля при $z \rightarrow 0$ такое:

$$H_n^{(1)}(z) \underset{z \rightarrow 0}{\approx} i Y_n(z), \quad H_n^{(2)}(z) \underset{z \rightarrow 0}{\approx} -i Y_n(z), \quad n = 0, 1, 2, \dots$$

Таким образом, ограниченной при $z \rightarrow 0$ остается только функция Бесселя первого рода.

Рекуррентные формулы для функций Бесселя

Будем исходить из представления (4.17)

$$J_\nu(z) = \sum_{k=0}^{\infty} \frac{(-1)^k \left(\frac{z}{2}\right)^{2k+\nu}}{k! \Gamma(k+\nu+1)}, \quad |z| < \infty, \quad |\arg z| < \pi.$$

Умножим это равенство на z^ν и продифференцируем по z , получим

$$\begin{aligned} \frac{d}{dz} z^\nu J_\nu(z) &= \frac{d}{dz} \sum_{k=0}^{\infty} \frac{(-1)^k z^{2k+2\nu}}{2^{2k+\nu} k! \Gamma(k+\nu+1)} = \sum_{k=0}^{\infty} \frac{(-1)^k 2(k+\nu) z^{2k+2\nu-1}}{2^{2k+\nu} k! \Gamma(k+\nu+1)} = \\ &= z^\nu \sum_{k=0}^{\infty} \frac{(-1)^k z^{2k+\nu-1} (k+\nu)}{k! 2^{2k+\nu-1} \Gamma(k+\nu+1)} = z^\nu \sum_{k=0}^{\infty} \frac{(-1)^k \left(\frac{z}{2}\right)^{2k+\nu-1}}{k! \Gamma(k+\nu)} = z^\nu J_{\nu-1}(z). \end{aligned}$$

Таким образом,

$$\frac{d}{dz} z^\nu J_\nu(z) = z^\nu J_{\nu-1}(z). \quad (4.26)$$

Аналогично получаем

$$\frac{d}{dz} z^{-\nu} J_\nu(z) = -z^{-\nu} J_{\nu+1}(z). \quad (4.27)$$

Продифференцировав в левых частях (4.26) и (4.27), получим

$$z^\nu \frac{d}{dz} J_\nu(z) + \nu z^{\nu-1} J_\nu(z) = z^\nu J_{\nu-1}(z), \quad (4.28)$$

$$z^{-\nu} \frac{d}{dz} J_\nu(z) - \nu z^{-\nu-1} J_\nu(z) = -z^{-\nu} J_{\nu+1}(z). \quad (4.29)$$

Откуда

$$\frac{d}{dz} J_\nu(z) + \frac{\nu}{z} J_\nu(z) = J_{\nu-1}(z), \quad (4.30)$$

$$\frac{d}{dz} J_\nu(z) - \frac{\nu}{z} J_\nu(z) = -J_{\nu+1}(z). \quad (4.31)$$

Складывая и вычитая равенства (4.30) и (4.31), получим

$$2 \frac{d}{dz} J_\nu(z) = J_{\nu-1}(z) - J_{\nu+1}(z), \quad (4.32)$$

$$\frac{2\nu}{z} J_\nu(z) = J_{\nu-1}(z) + J_{\nu+1}(z). \quad (4.33)$$

Функции Бесселя второго и третьего рода удовлетворяют тем же рекуррентным соотношениям, что и функции первого рода, то есть соотношениям (4.26)–(4.33). При ν , отличном от целого числа, справедливость этих формул для функций Бесселя второго рода (функций Вебера) вытекает из определения функции Вебера и соответствующих формул для функций первого рода. Для целого ν требуемый

результат следует из непрерывности рассматриваемых функций по отношению к индексу ν , что позволяет осуществить в соотношениях (4.26)–(4.33) предельный переход при $\nu \rightarrow n$. Отметим еще формулы

$$\left(\frac{d}{z dz}\right)^m z^\nu J_\nu(z) = z^{\nu-m} J_{\nu-m}(z), \quad (4.34)$$

$$\left(\frac{d}{z dz}\right)^m z^{-\nu} J_\nu(z) = (-1)^m z^{-\nu-m} J_{\nu+m}(z). \quad (4.35)$$

Формулы (4.34) и (4.35) получаются путем повторного применения равенств (4.26) и (4.27). Приняв $\nu = 0$ из (4.32), (4.33), получим

$$\frac{d}{dz} J_0(z) = J_{-1}(z), \quad J_{-1}(z) = -J_1(z).$$

Интегральные представления для цилиндрических функций

Цилиндрические функции допускают простые интегральные представления, которые бывают двух типов: интегралы по некоторому отрезку (определенные интегралы) и контурные интегралы. Контурные интегралы удобнее, требуют меньше ограничений, но они более сложны. Определенные интегралы наиболее часто встречаются в приложениях, поэтому мы ограничимся рассмотрением формул этого типа.

Одно из наиболее простых интегральных представлений для функций Бесселя принадлежит Пуассону. Будем исходить из формул (4.1) и (4.5)

$$B(x, y) = \int_0^1 t^{x-1} (1-t)^{y-1} dt,$$

$$B(x, y) = \frac{\Gamma(x)\Gamma(y)}{\Gamma(x+y)}.$$

Возьмем в этих формулах $x = k + 1/2$, $y = \nu + 1/2$. Тогда

$$\int_0^1 s^{k-\frac{1}{2}} (1-s)^{\nu-\frac{1}{2}} ds = \frac{\Gamma\left(k+\frac{1}{2}\right)\Gamma\left(\nu+\frac{1}{2}\right)}{\Gamma(k+\nu+1)}, \quad k=0, 1, 2, \dots, \infty; \quad \operatorname{Re}(\nu) > -\frac{1}{2}.$$

Делаем замену $s = t^2 \Rightarrow ds = 2t dt$, тогда

$$2 \int_0^1 t^{2k-1} (1-t^2)^{\nu-\frac{1}{2}} t dt = \frac{\Gamma\left(k+\frac{1}{2}\right)\Gamma\left(\nu+\frac{1}{2}\right)}{\Gamma(k+\nu+1)}.$$

Откуда

$$\frac{1}{\Gamma(k+\nu+1)} = \frac{2}{\Gamma\left(k+\frac{1}{2}\right)\Gamma\left(\nu+\frac{1}{2}\right)} \int_0^1 t^{2k} (1-t^2)^{\nu-\frac{1}{2}} dt.$$

Теперь можно записать

$$J_\nu(z) = \sum_{k=0}^{\infty} \frac{(-1)^k \left(\frac{z}{2}\right)^{2k+\nu}}{\Gamma(k+1)\Gamma(k+\nu+1)} =$$

$$= \sum_{k=0}^{\infty} \frac{(-1)^k}{k!} \left(\frac{z}{2}\right)^{2k+\nu} \frac{2}{\Gamma\left(k+\frac{1}{2}\right)\Gamma\left(\nu+\frac{1}{2}\right)} \int_0^1 t^{2k}(1-t^2)^{\nu-\frac{1}{2}} dt, \quad \operatorname{Re}(\nu) > -\frac{1}{2}.$$

Меняем порядок суммирования и интегрирования, тогда

$$J_\nu(z) = \frac{2\left(\frac{z}{2}\right)^\nu}{\Gamma\left(\nu+\frac{1}{2}\right)} \int_0^1 (1-t^2)^{\nu-\frac{1}{2}} dt \sum_{k=0}^{\infty} \frac{(-1)^k (zt)^{2k}}{k! \Gamma\left(k+\frac{1}{2}\right) 2^{2k}}. \quad (4.36)$$

Воспользуемся формулой (4.8), в которой примем $z = k + 1/2$. Тогда

$$2^{2k} \Gamma\left(k+\frac{1}{2}\right) \Gamma(k+1) = \sqrt{\pi} \Gamma(2k+1)$$

или

$$2^{2k} \Gamma\left(k+\frac{1}{2}\right) k! = \sqrt{\pi} (2k)!$$

Тогда из (4.36) находим

$$J_\nu(z) = \frac{2\left(\frac{z}{2}\right)^\nu}{\sqrt{\pi} \Gamma\left(\nu+\frac{1}{2}\right)} \int_0^1 (1-t^2)^{\nu-\frac{1}{2}} dt \underbrace{\sum_{k=0}^{\infty} \frac{(-1)^k (zt)^{2k}}{(2k)!}}_{=\cos(zt)}.$$

Окончательно получаем

$$J_\nu(z) = \frac{2\left(\frac{z}{2}\right)^\nu}{\sqrt{\pi} \Gamma\left(\nu+\frac{1}{2}\right)} \int_0^1 (1-t^2)^{\nu-\frac{1}{2}} \cos(zt) dt, \quad |\arg z| < \pi, \quad \operatorname{Re}(\nu) > -\frac{1}{2}. \quad (4.37)$$

Так как подынтегральная функция четная, то формулу (4.37) можно переписать в виде

$$J_\nu(z) = \frac{\left(\frac{z}{2}\right)^\nu}{\sqrt{\pi} \Gamma\left(\nu+\frac{1}{2}\right)} \int_{-1}^1 (1-t^2)^{\nu-\frac{1}{2}} \cos(zt) dt, \quad |\arg z| < \pi, \quad \operatorname{Re}(\nu) > -\frac{1}{2}. \quad (4.38)$$

Применяя к формуле (4.38) подстановку $t = \cos(\theta)$, $dt = -\sin(\theta)d\theta$, при которой $(1-t^2)^{\nu-\frac{1}{2}} = \sin^{2\nu}(\theta)/\sin(\theta)$ и $\theta = \pi$ при $t = -1$; $\theta = 0$ при $t = 1$, получаем

$$J_\nu(z) = \frac{\left(\frac{z}{2}\right)^\nu}{\sqrt{\pi} \Gamma\left(\nu + \frac{1}{2}\right)} \int_0^\pi \sin^{2\nu}(\theta) \cos(z \cos \theta) dt, \quad |\arg z| < \pi, \quad \operatorname{Re}(\nu) > -\frac{1}{2}. \quad (4.39)$$

Формула (4.38) или равносильная ей формула (4.39) — *интегральное представление Пуассона*.

Отметим еще основные интегральные представления для функций Ханкеля

$$H_\nu^{(1)}(z) = \frac{e^{-\frac{\nu\pi i}{2}}}{\pi i} \int_{-\infty}^{+\infty} e^{iz \operatorname{ch}(t) - \nu t} dt, \quad \operatorname{Im} z > 0, \quad (4.40)$$

$$H_\nu^{(2)}(z) = -\frac{e^{\frac{\nu\pi i}{2}}}{\pi i} \int_{-\infty}^{+\infty} e^{-iz \operatorname{ch}(t) - \nu t} dt, \quad \operatorname{Im} z < 0,$$

ν — любое.

Примеры использования интегрального представления Пуассона

Примем в (4.37) $\nu = 0$, $z = x$ — вещественное число. Тогда

$$J_0(x) = \frac{2}{\pi} \int_0^1 (1-t^2)^{-\frac{1}{2}} \cos(xt) dt, \quad -\infty < x < \infty. \quad (4.41)$$

Отсюда, в частности, следует

$$|J_0(x)| \leq \frac{2}{\pi} \int_0^1 \frac{dt}{\sqrt{1-t^2}} = \frac{2}{\pi} \arcsin t \Big|_0^1 = 1.$$

Таким образом, для вещественных значений x

$$|J_0(x)| \leq 1.$$

Примем теперь $\nu = n + 1/2$, $n = 0, 1, 2, \dots$ Тогда

$$J_{n+\frac{1}{2}}(z) = \frac{2\left(\frac{z}{2}\right)^{n+\frac{1}{2}}}{\sqrt{\pi} n!} \int_0^1 (1-t^2)^n \cos(zt) dt.$$

Отсюда следует, что функции Бесселя с положительным половинным индексом выражаются через элементарные функции. Но зная функции Бесселя с положительным половинным индексом, с помощью рекуррентных соотношений легко получить и функции с отрицательным половинным индексом. Например,

$$J_{\frac{1}{2}}(z) = \frac{2\left(\frac{z}{2}\right)^{\frac{1}{2}}}{\sqrt{\pi}} \int_0^1 \cos(zt) dt = \left(\frac{2}{\pi z}\right)^{\frac{1}{2}} \sin(z).$$

Таким образом,

$$J_{\frac{1}{2}}(z) = \left(\frac{2}{\pi z}\right)^{\frac{1}{2}} \sin(z).$$

В качестве упражнения предлагаем самостоятельно получить формулы

$$J_{-\frac{1}{2}}(z) = \left(\frac{2}{\pi z}\right)^{\frac{1}{2}} \cos(z),$$

$$Y_{\frac{1}{2}}(z) = -J_{-\frac{1}{2}}(z) = -\left(\frac{2}{\pi z}\right)^{\frac{1}{2}} \cos(z),$$

$$H_{\frac{1}{2}}^{(1)}(z) = -i \left(\frac{2}{\pi z}\right)^{\frac{1}{2}} e^{iz}, \quad H_{\frac{1}{2}}^{(2)}(z) = i \left(\frac{2}{\pi z}\right)^{\frac{1}{2}} e^{-iz}.$$

Лиувиллем доказано, что случай полуцелого индекса является единственным, когда цилиндрические функции приводятся к элементарным.

В качестве еще одного примера применения интегрального представления для цилиндрических функций рассмотрим вычисление интеграла

$$I = \int_0^{\infty} e^{-ax} J_0(bx) dx, \quad a > 0, \quad b \geq 0. \quad (4.42)$$

Для этого воспользуемся формулой (4.41) и в интеграле сделаем замену $t = \sin \varphi$. Будем иметь

$$J_0(x) = \frac{2}{\pi} \int_0^{\pi/2} \cos(x \sin(\varphi)) d\varphi.$$

Тогда интеграл (4.42) примет вид

$$I = \int_0^{\infty} e^{-ax} dx \frac{2}{\pi} \int_0^{\pi/2} \cos(bx \sin(\varphi)) d\varphi = \frac{2}{\pi} \int_0^{\pi/2} d\varphi \int_0^{\infty} e^{-ax} \cos(bx \sin(\varphi)) dx.$$

Воспользуемся известной формулой

$$\int_0^{\infty} e^{-ax} \cos(bx) dx = \frac{a}{a^2 + b^2}, \quad a > 0, \quad b \geq 0.$$

Тогда

$$I = \frac{2a}{\pi} \int_0^{\pi/2} \frac{d\varphi}{a^2 + b^2 \sin^2(\varphi)} = \frac{2a}{\pi} \int_0^{\pi/2} \frac{1}{\frac{a^2}{\sin^2(\varphi)} + b^2} \frac{d\varphi}{\sin^2(\varphi)} =$$

(делаем замену $\operatorname{ctg} \varphi = t$)

$$\begin{aligned}
 &= -\frac{2a}{\pi} \int_0^\infty \frac{dt}{a^2 + b^2 + a^2 t^2} = \frac{2}{\pi} \int_0^\infty \frac{d(at)}{a^2 + b^2 + (at)^2} = \\
 &= \frac{2}{\pi} \frac{1}{\sqrt{a^2 + b^2}} \operatorname{arctg} \left(\frac{at}{\sqrt{a^2 + b^2}} \right) \Big|_0^\infty = \frac{1}{\sqrt{a^2 + b^2}}.
 \end{aligned}$$

Итак,

$$\int_0^\infty e^{-ax} J_0(bx) dx = \frac{1}{\sqrt{a^2 + b^2}}.$$

Асимптотические представления цилиндрических функций для больших значений аргумента

Цилиндрические функции обладают простыми асимптотическими представлениями, удобными для аппроксимации этих функций при больших по модулю значениях z и фиксированном значении индекса ν . Главные члены этих формул можно получить, исходя из дифференциальных уравнений, которым удовлетворяют рассматриваемые функции. Более точные выражения можно получить исходя из интегральных представлений. Мы здесь не будем рассматривать строгий вывод асимптотических представлений, а ограничимся следующими интуитивными соображениями.

Рассмотрим уравнение Бесселя (4.12)

$$u'' + \frac{1}{z} u' + \left(1 - \frac{\nu^2}{z^2} \right) u = 0.$$

Сделаем подстановку

$$u = \frac{w}{\sqrt{z}} \Rightarrow u' = \frac{w'}{\sqrt{z}} - \frac{w}{2\sqrt{z^3}} \Rightarrow u'' = \frac{w''}{\sqrt{z}} - \frac{w'}{\sqrt{z^3}} + \frac{3w}{4\sqrt{z^5}}.$$

Уравнение Бесселя примет вид

$$w'' + \left[1 + \frac{\frac{1}{4} - \nu^2}{z^2} \right] w = 0. \tag{4.43}$$

Если ν ограничено, $|z| \rightarrow \infty$, то вместо уравнения (4.43) можно рассматривать уравнение

$$w'' + w \cong 0.$$

Откуда

$$w \cong A \cos(z) + B \sin(z) = C e^{iz} + D e^{-iz} \Rightarrow$$

$$u \cong \frac{A \cos(z) + B \sin(z)}{\sqrt{z}} = \frac{C e^{iz} + D e^{-iz}}{\sqrt{z}}, \quad |z| \rightarrow \infty.$$

Коэффициенты A, B, C, D зависят от индекса ν , а также от вида рассматриваемой цилиндрической функции.

Можно получить следующие асимптотические формулы [15]:

$$H_{\nu}^{(1)}(z) = \sqrt{\frac{2}{\pi z}} e^{i\left(z - (2\nu+1)\frac{\pi}{4}\right)} + O\left(\frac{1}{|z|^{3/2}}\right),$$

$$H_{\nu}^{(2)}(z) = \sqrt{\frac{2}{\pi z}} e^{-i\left(z - (2\nu+1)\frac{\pi}{4}\right)} + O\left(\frac{1}{|z|^{3/2}}\right),$$

при этом $|z| \rightarrow \infty$, $|\arg z| \leq \pi - \delta$, ν ограничено.

Из определения функций Ханкеля следует

$$J_{\nu}(z) = \frac{H_{\nu}^{(1)}(z) + H_{\nu}^{(2)}(z)}{2}, \quad Y_{\nu}(z) = \frac{H_{\nu}^{(1)}(z) - H_{\nu}^{(2)}(z)}{2}.$$

Тогда

$$J_{\nu}(z) = \sqrt{\frac{2}{\pi z}} \cos\left(z - (2\nu+1)\frac{\pi}{4}\right) + O\left(\frac{1}{|z|^{3/2}}\right), \quad (4.44)$$

$$Y_{\nu}(z) = \sqrt{\frac{2}{\pi z}} \sin\left(z - (2\nu+1)\frac{\pi}{4}\right) + O\left(\frac{1}{|z|^{3/2}}\right), \quad (4.45)$$

Таким образом, если функции Ханкеля на бесконечности имеют экспоненциальный характер, то функции $J_{\nu}(z)$ и $Y_{\nu}(z)$ на бесконечности описываются формулами (4.44) и (4.45). В частности, для вещественных $z = x$ и $\nu = 0$

$$J_0(x) = \sqrt{\frac{2}{\pi x}} \cos\left(x - \frac{\pi}{4}\right) + O\left(\frac{1}{x^{3/2}}\right).$$

Далее $J_1(x) = -J'_0(x)$, следовательно, нули функции $J_1(x)$ совпадают с экстремумами функции $J_0(x)$. Отсюда, в частности, вытекает, что уравнение $J_0(x) = 0$ имеет бесчисленное множество корней. На рис. 4.3 представлены графики Бесселевых функций, полученные в Maple.

```
> p0:=
> plots[textplot]([1.1,`J[0](x)`,`],align={ABOVE,RIGHT}):
> p1:=
> plots[textplot]([5.1,`J[1](x)`,`],align={ABOVE,RIGHT}):
> p:=plots[textplot]([23.5,0.05,`x`,`],align={ABOVE,RIGHT}):
> pp0:=
> plot(BesselJ(0,x),x=-4..25,color=black,labels=[````],
> tickmarks=[10,10],legend=`J[0](x)``):
> pp1:=plot(BesselJ(1,x),x=-4..25,color=blue,linestyle=4,
> labels=[````],tickmarks=[10,10],legend=`J[1](x)``):
> plots[display]({p,p0,p1,pp0,pp1}):
```

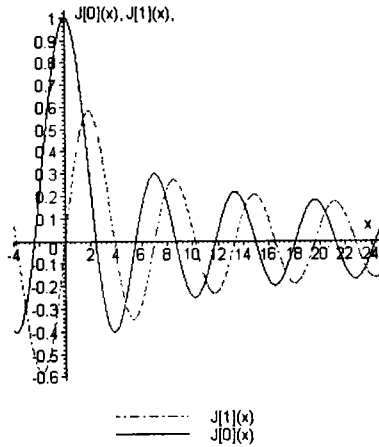


Рис. 4.3. Бесселевы функции $J_0(x), J_1(x)$

На рис. 4.4 представлена поверхность $z = f(x, \nu) = J_\nu(x)$, которая показывает, как изменяются функции $J_\nu(x)$, если непрерывно изменять переменные x и ν .

```
> plot3d(BesselJ(nu,x),nu=0..150,x=0..25,numpoints=1200);
```

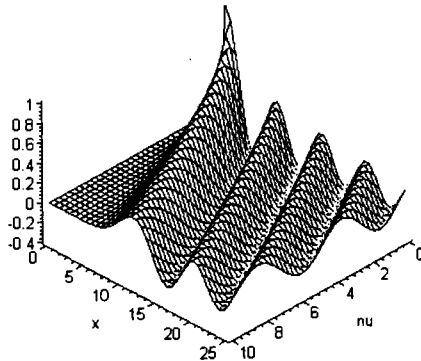


Рис. 4.4. Поверхность $z = f(x, \nu) = J_\nu(x)$

Для $\nu = 0$ функция $J_0(x)$ равна единице при $x = 0$. Это единственная функция Бесселя, имеющая при $x = 0$ конечное значение, не равное нулю. Для $\nu > 0$ все функции $J_\nu(x)$ равны нулю при $x = 0$.

Модифицированные цилиндрические функции

Рассмотрим уравнение

$$u'' + \frac{1}{x}u' - \left(1 + \frac{\nu^2}{x^2}\right)u = 0, \quad 0 < x < \infty. \tag{4.46}$$

Сделаем замену переменной $z = ix$, тогда

$$\frac{du}{dx} = \frac{du}{dz} i, \quad \frac{d^2u}{dx^2} = \frac{d^2u}{dz^2} i^2,$$

и уравнение (4.46) примет вид

$$\frac{d^2u}{dz^2} + \frac{1}{z} \frac{du}{dz} + \left(1 - \frac{\nu^2}{z^2}\right)u = 0.$$

Таким образом, мы пришли к уравнению Бесселя. Откуда

$$u = AJ_\nu(z) + BH_\nu^{(1)}(z) = AJ_\nu\left(xe^{i\frac{\pi}{2}}\right) + BH_\nu^{(1)}\left(xe^{i\frac{\pi}{2}}\right). \quad (4.47)$$

Таким образом, уравнение (4.46) интегрируется через цилиндрические функции мнимого аргумента. Однако пользоваться решением в форме (4.47) неудобно, так как при вещественном ν функция (4.47) является комплексной.

Вводятся в рассмотрение функции

$$I_\nu(x) = e^{-i\frac{\pi\nu}{2}} J_\nu\left(xe^{i\frac{\pi}{2}}\right), \quad (4.48)$$

$$K_\nu(x) = \frac{i\pi}{2} e^{i\frac{\pi\nu}{2}} H_\nu^{(1)}\left(xe^{i\frac{\pi}{2}}\right), \quad (4.49)$$

которые называются *модифицированными цилиндрическими функциями*; функция (4.49) называется *функцией Макдональда*. Общее решение уравнения (4.46) теперь может быть записано в виде

$$u(x) = AI_\nu(x) + BK_\nu(x).$$

Рассмотрим вкратце теорию этих функций.

Из формул (4.17) и (4.48) следует

$$I_\nu(x) = \sum_{k=0}^{\infty} \frac{\left(\frac{x}{2}\right)^{2k+\nu}}{k! \Gamma(k+\nu+1)}; \quad 0 < x < \infty.$$

Таким образом, $I_\nu(x)$ вещественно, когда $x > 0$, ν вещественно. Получим вспомогательную формулу (будем пока считать, что $\nu \neq 0, \pm 1, \pm 2, \dots$)

$$\begin{aligned} H_\nu^{(1)}(z) &= J_\nu(z) + iY_\nu(z) = J_\nu(z) + i \frac{J_\nu(z) \cos(\nu\pi) - J_{-\nu}(z)}{\sin(\nu\pi)} = \\ &= ie^{-\frac{i\nu\pi}{2}} \frac{e^{\frac{i\nu\pi}{2}} J_\nu(z) - e^{\frac{i\nu\pi}{2}} J_{-\nu}(z)}{\sin(\nu\pi)}. \end{aligned}$$

Следовательно,

$$K_\nu(z) = \frac{i\pi}{2} e^{\frac{i\nu\pi}{2}} ie^{-\frac{i\nu\pi}{2}} \frac{e^{\frac{i\nu\pi}{2}} J_\nu(ix) - e^{\frac{i\nu\pi}{2}} J_{-\nu}(ix)}{\sin(\nu\pi)} = \frac{-\pi[I_\nu(x) - I_{-\nu}(x)]}{2\sin(\nu\pi)}.$$

Итак,

$$K_\nu(z) = \frac{\pi [I_{-\nu}(x) - I_\nu(x)]}{2 \sin(\nu\pi)}, \tag{4.50}$$

причем $0 < x < \infty, \nu \neq 0, \pm 1, \pm 2, \dots$

Отсюда следует, что $K_\nu(x)$ вещественно, если ν вещественно. Покажем, что (4.50) приобретает неопределенный вид, если ν стремится к целому числу. Действительно, имеем

$$J_{-n}\left(xe^{\frac{i\pi}{2}}\right) = (-1)^n J_n\left(xe^{\frac{i\pi}{2}}\right) \Rightarrow \underbrace{e^{\frac{in\pi}{2}} J_{-n}\left(xe^{\frac{i\pi}{2}}\right)}_{=I_{-n}(x)} = \underbrace{e^{-\frac{in\pi}{2}} J_n\left(xe^{\frac{i\pi}{2}}\right)}_{=I_n(x)}.$$

Таким образом,

$$I_{-n}(x) = I_n(x), \quad n = 0, 1, 2, \dots,$$

и следовательно, формула (4.50) обращается в неопределенность при целом индексе ν .

Доопределим функцию Макдональда для целых индексов по формуле

$$K_n(x) = \lim_{\nu \rightarrow n} K_\nu(x) = \frac{(-1)^n}{2} \left[\frac{\partial I_{-\nu}(x)}{\partial \nu} \right]_{\nu=n} - \left[\frac{\partial I_\nu(x)}{\partial \nu} \right]_{\nu=n}, \quad n = 0, 1, 2, \dots$$

Из формулы (4.50) следует

$$K_{-\nu}(x) = K_\nu(x),$$

то есть функция Макдональда есть четная функция индекса ν .

Для модифицированных цилиндрических функций существуют интегральные представления, аналогичные представлениям цилиндрических функций. Так, например, исходя из формулы (4.37)

$$J_\nu(z) = \frac{2\left(\frac{z}{2}\right)^\nu}{\sqrt{\pi} \Gamma\left(\nu + \frac{1}{2}\right)} \int_0^1 (1-t^2)^{\nu-\frac{1}{2}} \cos(zt) dt, \quad |\arg z| < \pi, \quad \operatorname{Re}(\nu) > -\frac{1}{2},$$

находим

$$I_\nu(x) = \frac{e^{-\frac{i\nu\pi}{2}} 2\left(\frac{x}{2}\right)^\nu e^{\frac{i\nu\pi}{2}}}{\sqrt{\pi} \Gamma\left(\nu + \frac{1}{2}\right)} \int_0^1 (1-t^2)^{\nu-\frac{1}{2}} \cos(ixt) dt,$$

или

$$I_\nu(x) = \frac{2\left(\frac{x}{2}\right)^\nu}{\sqrt{\pi} \Gamma\left(\nu + \frac{1}{2}\right)} \int_0^1 (1-t^2)^{\nu-\frac{1}{2}} \operatorname{ch}(xt) dt.$$

Из формулы (4.40)

$$H_\nu^{(1)}(z) = \frac{e^{-\frac{\nu\pi i}{2}}}{\pi i} \int_{-\infty}^{+\infty} e^{iz\operatorname{ch}(t)-\nu t} dt, \quad \operatorname{Im} z > 0$$

находим

$$\begin{aligned} K_\nu(x) &= \frac{\pi i}{2} e^{\frac{i\pi\nu}{2}} \frac{e^{-\frac{i\pi\nu}{2}}}{i\pi} \int_{-\infty}^{+\infty} e^{-x\operatorname{ch}(t)-\nu t} dt = \\ &= \frac{1}{2} \int_{-\infty}^{+\infty} e^{-x\operatorname{ch}(t)-\nu t} dt = \int_0^{+\infty} e^{-x\operatorname{ch}(t)} \operatorname{ch}(\nu t) dt, \quad x > 0, \end{aligned}$$

так как $e^{-\nu t} = \operatorname{ch}(\nu t) - \operatorname{sh}(\nu t)$. Таким образом,

$$K_\nu(x) = \frac{1}{2} \int_{-\infty}^{+\infty} e^{-x\operatorname{ch}(t)-\nu t} dt = \int_0^{+\infty} e^{-x\operatorname{ch}(t)} \operatorname{ch}(\nu t) dt, \quad x > 0,$$

ν — любое.

Отметим рекуррентные формулы, которые легко получаются из формул (4.32) и (4.33),

$$2 \frac{dI_\nu(x)}{dx} = I_{\nu-1}(x) + I_{\nu+1}(x),$$

$$\frac{2\nu}{x} I_\nu(x) = I_{\nu-1}(x) - I_{\nu+1}(x).$$

Аналогично

$$-2 \frac{dK_\nu(x)}{dx} = K_{\nu-1}(x) + K_{\nu+1}(x),$$

$$-\frac{2\nu}{x} K_\nu(x) = K_{\nu-1}(x) - K_{\nu+1}(x).$$

Отметим также асимптотические формулы

$$I_\nu(x) \cong \frac{\left(\frac{x}{2}\right)^\nu}{\Gamma(1+\nu)}, \quad x \rightarrow 0; \quad \lim_{x \rightarrow 0} K_\nu(x) = \infty,$$

поэтому функция $I_\nu(x)$ ограничена при $\nu \geq 0$;

$$I_\nu(x) \cong \frac{e^x}{\sqrt{2\pi x}}, \quad K_\nu(x) \cong \sqrt{\frac{\pi}{2x}} e^{-x}, \quad x \rightarrow \infty.$$

На рис. 4.5 приведены графики функций $K_0(x)$ и $I_0(x)$, полученные в Maple.

```
> q0:=
plots[textplot]([0.2.5.5.`K[0](x)`,`],align={ABOVE,RIGHT}):
> q1:=
plots[textplot]([0.7.5.5.`I[0](x)`,`],align={ABOVE,RIGHT}):
> p:=plots[textplot]([2.9.0.3.`x`,`],align={ABOVE,RIGHT}):
> qq0:=
> plot(BesselK(0,x),x=0..3,color=black,labels=[``,``]).
```

```
> tickmarks=[5,5].legend='K[0](x)':
> qq1:=
> plot(BesselI(0,x).x=0..3,color=black,linestyle=3,
> labels=['`,`'],tickmarks=[5,5].legend='I[0](x)':
> plots[display]({p.q0.q1.qq0.qq1}):
```

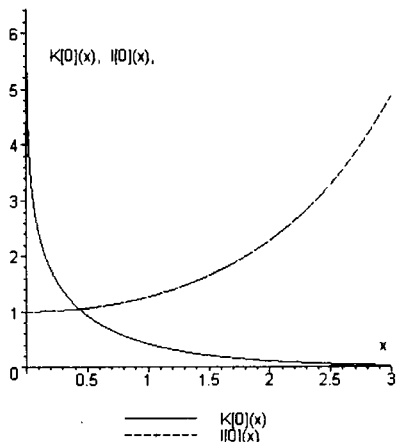


Рис. 4.5. Модифицированные цилиндрические функции

Задача Штурма—Лиувилля, связанная с цилиндрическими функциями

Рассмотрим следующую задачу на собственные значения

$$\frac{d}{dr} \left(r \frac{dR}{dr} \right) + \lambda r R = 0, \quad 0 < r < a, \tag{4.51}$$

$$R|_{r=0} = O(1), \quad R|_{r=a} = 0, \tag{4.52}$$

либо

$$R|_{r=0} = O(1), \quad \left. \frac{dR}{dr} + hR \right|_{r=a} = 0, \quad h \geq 0. \tag{4.53}$$

Чтобы записать общий интеграл уравнения (4.51), сделаем замену переменной

$$x = \sqrt{\lambda} r \Rightarrow \frac{dR}{dr} = \frac{dR}{dx} \sqrt{\lambda}, \quad \frac{d^2 R}{dr^2} = \frac{d^2 R}{dx^2} (\sqrt{\lambda})^2.$$

Уравнение (4.51) примет вид

$$\frac{d^2 R}{dx^2} + \frac{1}{x} \frac{dR}{dx} + R = 0. \tag{4.54}$$

Уравнение (4.54) — уравнение Бесселя нулевого порядка ($\nu = 0$). Общий интеграл этого уравнения имеет вид

$$R = A J_0(x) + B Y_0(x), \quad \lambda \neq 0,$$

следовательно, общий интеграл уравнения (4.51) будет иметь вид

$$R(r) = AJ_0(\sqrt{\lambda}r) + BY_0(\sqrt{\lambda}r), \quad \lambda \neq 0.$$

Мы знаем, что

$$\lim_{r \rightarrow 0} J_0(\sqrt{\lambda}r) = 1, \quad \lim_{r \rightarrow 0} Y_0(\sqrt{\lambda}r) = \infty,$$

следовательно, в силу ограниченности функции в нуле, $B = 0$.

Таким образом, для условий первого рода будем иметь

$$J_0(\sqrt{\lambda}a) = 0 \quad (A \neq 0), \quad (4.55)$$

а для условий третьего рода

$$haJ_0(\sqrt{\lambda}a) - \sqrt{\lambda}aJ_1(\sqrt{\lambda}a) = 0 \quad (A \neq 0). \quad (4.56)$$

Докажем, что полученные уравнения (4.55) и (4.56) имеют бесчисленное множество решений. Будем считать, что λ вещественное и $\lambda \rightarrow \infty$. Воспользуемся асимптотическими формулами

$$J_\nu(x) = \sqrt{\frac{2}{\pi x}} \cos\left(x - (2\nu + 1)\frac{\pi}{4}\right) + O\left(\frac{1}{x^{3/2}}\right), \quad x \rightarrow \infty.$$

Тогда в случае условий первого рода

$$J_0(\sqrt{\lambda}a) = \sqrt{\frac{2}{\pi\sqrt{\lambda}a}} \cos\left(\sqrt{\lambda}a - \frac{\pi}{4}\right) + O\left(\frac{1}{x^{3/2}}\right), \quad \lambda \rightarrow \infty.$$

Видим, что при достаточно больших λ функция $J_0(\sqrt{\lambda}a)$ имеет колебательный характер, и, следовательно, она бесконечное число раз обращается в нуль, то есть имеет бесконечное число корней.

В случае условий третьего рода будем иметь

$$\begin{aligned} haJ_0(\sqrt{\lambda}a) - \sqrt{\lambda}aJ_1(\sqrt{\lambda}a) &= ha\sqrt{\frac{2}{\pi\sqrt{\lambda}a}} \cos\left(\sqrt{\lambda}a - \frac{\pi}{4}\right) + O\left(\frac{1}{\lambda^{3/4}}\right) - \\ &- \sqrt{\lambda}a\sqrt{\frac{2}{\pi\sqrt{\lambda}a}} \cos\left(\sqrt{\lambda}a - \frac{\pi}{2} - \frac{\pi}{4}\right) + O\left(\frac{1}{\lambda^{1/4}}\right) = \\ &= -(\sqrt{\lambda}a)^{\frac{1}{2}} \sqrt{\frac{2}{\pi}} \cos\left(\sqrt{\lambda}a - \frac{3\pi}{4}\right) + O\left(\frac{1}{\lambda^{1/4}}\right). \end{aligned}$$

Видим, что и в этом случае при достаточно больших λ рассматриваемая функция имеет колебательный характер, то есть имеет бесконечное число корней.

Покажем, что все собственные значения вещественны. Предположим, что $\lambda = \sigma + it$ — собственное значение и ему отвечает собственная функция $R = A + iB$. Тогда вследствие вещественности функций и констант, входящих в дифференциальное уравнение (4.51) и граничные условия (4.52) и (4.53), существует собственное значение $\bar{\lambda} = \sigma - it$, которому отвечает собственная функция $\bar{R} = A - iB$. Можно записать

$$(rR)' + \lambda rR = 0,$$

$$(r\bar{R})' + \bar{\lambda} r\bar{R} = 0.$$

Первое соотношение умножим на \bar{R} , а второе — на R и вычтем одно из другого, получим

$$\bar{R}(rR')' - R(r\bar{R}')' + (\lambda - \bar{\lambda})rR\bar{R} = 0.$$

Учитывая легко проверяемое соотношение

$$\bar{R}(rR')' - R(r\bar{R}')' = \frac{d}{dr}[r(\bar{R}R' - R\bar{R}')],$$

будем иметь

$$\frac{d}{dr}[r(\bar{R}R' - R\bar{R}')] + (\lambda - \bar{\lambda})rR\bar{R} = 0.$$

Проинтегрировав последнее соотношение на $[0, a]$, получим

$$[r(\bar{R}R' - R\bar{R}')]_{r=0}^{r=a} + (\lambda - \bar{\lambda}) \int_0^a rR\bar{R} dr = 0.$$

Внеинтегральный член равен нулю, следовательно,

$$(\lambda - \bar{\lambda}) \int_0^a rR\bar{R} dr = 0 \Rightarrow 2i\tau \int_0^a r(A^2 + B^2) dr = 0 \Rightarrow \tau = 0.$$

Следовательно, $\lambda = \sigma$ — вещественное число.

Докажем теперь, что все собственные значения неотрицательны. Допустим, что $\lambda = \sigma$ — собственное значение, причем $\sigma < 0$. Тогда для условий первого рода будем иметь

$$J_0(\sqrt{\lambda}a) = J_0(i\sqrt{|\sigma|}a) = I_0(\sqrt{|\sigma|}a).$$

Последнее выражение заведомо положительно, так как

$$I_0(x) = \sum_{k=0}^{\infty} \frac{\left(\frac{x}{2}\right)^{2k}}{(k!)^2} > 0.$$

Следовательно, $J_0(i\sqrt{|\sigma|}a) \neq 0$ и отрицательных собственных значений быть не может.

В случае условий третьего рода будем иметь

$$haJ_0(\sqrt{\lambda}a) - \sqrt{\lambda}aJ_1(\sqrt{\lambda}a) = haI_0(\sqrt{|\sigma|}a) + \sqrt{|\sigma|}aI_1(\sqrt{|\sigma|}a) > 0,$$

так как

$$I_1(x) = \sum_{k=0}^{\infty} \frac{\left(\frac{x}{2}\right)^{2k+1}}{k!(k+1)!} > 0.$$

Следовательно, отрицательных собственных значений не существует.

Покажем, наконец, что спектр задачи дискретный. Это вытекает из того, что функции, стоящие в левых частях уравнений (4.55) и (4.56), есть целые функции от λ . Эти функции не равны нулю тождественно, следовательно, их нули — изолированные точки. Таким образом, спектр задачи дискретный.

Удобно принять в уравнениях (4.55) и (4.56) $\sqrt{\lambda}a = \gamma$, тогда будем иметь для условий первого рода

$$J_0(\gamma) = 0, \quad (4.57)$$

а для условий третьего рода

$$h a J_0(\gamma) - \gamma J_1(\gamma) = 0. \quad (4.58)$$

Так как $\lambda \geq 0$, то γ — вещественные; это позволяет находить корни уравнений (4.57) и (4.58) графически. Пусть $\gamma_1, \gamma_2, \gamma_3, \dots, \gamma_n, \dots$ — положительные корни уравнений (4.57) или (4.58), тогда собственные значения будут

$$\lambda_1 = \left(\frac{\gamma_1}{a}\right)^2, \lambda_2 = \left(\frac{\gamma_2}{a}\right)^2, \lambda_3 = \left(\frac{\gamma_3}{a}\right)^2, \dots, \lambda_n = \left(\frac{\gamma_n}{a}\right)^2, \dots, \quad (4.59)$$

а собственные функции будут иметь вид

$$R_1(r) = J_0\left(\gamma_1 \frac{r}{a}\right), R_2(r) = J_0\left(\gamma_2 \frac{r}{a}\right), \dots, R_n(r) = J_0\left(\gamma_n \frac{r}{a}\right), \dots \quad (4.60)$$

Рассмотрим отдельно случай $\lambda = 0$. В этом случае уравнение имеет вид

$$\frac{d}{dr}\left(r \frac{dR}{dr}\right) = 0, \quad 0 < r < a.$$

Откуда

$$R = A + B \ln r.$$

В случае условий первого и третьего рода, как легко видеть, будем иметь $A = 0$, $B = 0$ ($h \neq 0$); таким образом, $\lambda = 0$ не является собственным значением задачи. В случае условий второго рода $R'(a) = 0$ ($h = 0$), и мы будем иметь $\lambda = \lambda_0 = 0$ собственное значение; $R = R_0(r) = 1$ — соответствующая собственная функция.

Разложение функции в ряды Фурье—Бесселя и Дини

Рассмотрим следующую задачу на собственные значения

$$\frac{d}{dr}\left(r \frac{dR}{dr}\right) + \lambda r R = 0, \quad 0 < r < a, \quad (4.61)$$

$$R|_{r=0} = O(1), \quad R|_{r=a} = 0, \quad (4.62)$$

либо

$$R|_{r=0} = O(1), \quad \frac{dR}{dr} + hR|_{r=a} = 0, \quad h \geq 0. \quad (4.63)$$

Пусть $\lambda_n = \left(\frac{\gamma_n}{a}\right)^2$; $n = 1, 2, \dots$ — собственные значения, $R_n = J_0\left(\frac{\gamma_n r}{a}\right)$, $n = 1, 2, \dots$ — собственные функции задачи (4.61)–(4.63), причем γ_n — положительные корни уравнений

$$J_0(\gamma) = 0$$

в случае условий первого рода и

$$h\alpha J_0(\gamma) - \gamma J_1(\gamma) = 0$$

в случае условий третьего рода.

Докажем, что собственные функции ортогональны на $[0, a]$ с весом r . Имеем

$$(rR'_n)' + \lambda_n rR_n = 0,$$

$$(rR'_m)' + \lambda_m rR_m = 0.$$

Первое соотношение умножим на R_m , а второе — на R_n и вычтем одно из другого, получим

$$\begin{aligned} R_m (rR'_n)' - R_n (rR'_m)' + (\lambda_n - \lambda_m) r R_n R_m &= 0 \Rightarrow \\ \frac{d}{dr} [r(R_m R'_n - R_n R'_m)] + (\lambda_n - \lambda_m) r R_n R_m &= 0. \end{aligned}$$

Проинтегрируем последнее соотношение на $[0, a]$, получим

$$[r(R_m R'_n - R_n R'_m)]_{r=0}^{r=a} + (\lambda_n - \lambda_m) \int_0^a r R_n R_m dr = 0.$$

Внеинтегральные члены равны нулю, следовательно,

$$(\lambda_n - \lambda_m) \int_0^a r R_n R_m dr = 0.$$

Откуда получаем, если $m \neq n$,

$$\int_0^a r R_n R_m dr = 0,$$

что и требовалось доказать.

Последнее соотношение можно записать в виде

$$\int_0^a r J_0\left(\frac{\gamma_n r}{a}\right) J_0\left(\frac{\gamma_m r}{a}\right) dr = 0, \quad m \neq n.$$

В дальнейшем нам понадобится норма собственных функций, то есть необходимо уметь вычислять интеграл

$$\int_0^a r R_n^2 dr = \|R_n\|^2. \quad (4.64)$$

Для вывода формулы вычисления интеграла (4.64) удобно ввести обозначения $R_\lambda(r) = J_0(\sqrt{\lambda}r)$, $R_\mu(r) = J_0(\sqrt{\mu}r)$. Тогда можно записать

$$(rR'_\lambda)' + \lambda rR_\lambda = 0,$$

$$(rR'_\mu)' + \mu rR_\mu = 0.$$

Далее, повторяя все рассуждения, как и при доказательстве ортогональности собственных функций, мы придем к соотношению

$$[r(R_\mu R'_\lambda - R_\lambda R'_\mu)]_{r=0}^{r=a} + (\lambda - \mu) \int_0^a r R_\lambda R_\mu dr = 0 \Rightarrow$$

$$(\lambda - \mu) \int_0^a r R_\lambda R_\mu dr = -a[R_\mu(a)R'_\lambda(a) - R_\lambda(a)R'_\mu(a)].$$

Имеем далее

$$R'_\lambda(r) = -\sqrt{\lambda} J_1(\sqrt{\lambda} r),$$

$$R'_\mu(r) = -\sqrt{\mu} J_1(\sqrt{\mu} r).$$

Откуда

$$\int_0^a r J_0(\sqrt{\mu} r) J_0(\sqrt{\lambda} r) dr = \frac{a[\sqrt{\lambda} J_0(\sqrt{\mu} a) J_1(\sqrt{\lambda} a) - \sqrt{\mu} J_0(\sqrt{\lambda} a) J_1(\sqrt{\mu} a)]}{(\lambda - \mu)}.$$

Перейдем теперь к пределу в последнем равенстве при $\lambda \rightarrow \mu$; неопределенность раскроем по правилу Лопиталья. При этом воспользуемся формулами

$$\frac{d}{dx} x J_1(x) = x J_0(x), \quad \frac{d}{dx} J_0(x) = -J_1(x).$$

Будем иметь

$$\int_0^a r J_0^2(\sqrt{\mu} r) dr = \left[J_0(\sqrt{\mu} a) \sqrt{\mu} a J_0(\sqrt{\mu} a) \frac{a}{2\sqrt{\mu}} + \sqrt{\mu} a J_1(\sqrt{\mu} a) J_1(\sqrt{\mu} a) \frac{a}{2\sqrt{\mu}} \right] =$$

$$= \frac{a^2}{2} [J_0^2(\sqrt{\mu} a) + J_1^2(\sqrt{\mu} a)].$$

Примем в последнем равенстве $\sqrt{\mu} a = \gamma_n$, $n = 1, 2, \dots$. Тогда

$$\int_0^a r J_0^2\left(\frac{\gamma_n r}{a}\right) dr = \frac{a^2}{2} [J_0^2(\gamma_n) + J_1^2(\gamma_n)]. \quad (4.65)$$

Здесь γ_n — положительные корни уравнений

$$J_0(\gamma) = 0,$$

в случае условий первого рода и

$$h a J_0(\gamma) - \gamma J_1(\gamma) = 0$$

в случае условий третьего рода.

Таким образом, мы имеем

$$\int_0^a r J_0\left(\frac{\gamma_n r}{a}\right) J_0\left(\frac{\gamma_m r}{a}\right) dr = \begin{cases} 0, & m \neq n; \\ \frac{a^2}{2} [J_0^2(\gamma_n) + J_1^2(\gamma_n)], & m = n. \end{cases}$$

Пусть теперь задана некоторая функция $f(r)$, определенная на $[0, a]$. Предположим, что эта функция допускает разложение в ряд следующего вида

$$f(r) = \sum_{n=1}^{\infty} C_n J_0\left(\frac{\gamma_n r}{a}\right), \quad 0 < r < a.$$

Тогда мы можем записать

$$C_n = \frac{\int_0^a r f(r) J_0\left(\frac{\gamma_n r}{a}\right) dr}{\left\| J_0\left(\frac{\gamma_n r}{a}\right) \right\|^2} = \frac{\int_0^a r f(r) J_0\left(\frac{\gamma_n r}{a}\right) dr}{\frac{a^2}{2} [J_0^2(\gamma_n) + J_1^2(\gamma_n)]}.$$

Полученные таким образом ряды называются *рядами Дини*. Ряды Дини связаны с граничными условиями третьего рода. Частным случаем, отвечающим граничным условиям первого рода, является *ряд Фурье–Бесселя*. Для этого частного случая будем иметь

$$f(r) = \sum_{n=1}^{\infty} C_n J_0\left(\gamma_n \frac{r}{a}\right), \quad 0 < r < a;$$

$$C_n = \frac{2}{a^2 J_1^2(\gamma_n)} \int_0^a r f(r) J_0\left(\frac{\gamma_n r}{a}\right) dr.$$

Полученные ряды носят формальный характер. Сформулируем условия, при которых эти ряды справедливы:

- 1) $f(r)$ — кусочно-непрерывна на $(0, a)$ и имеет конечное число максимумов и минимумов на любом $[\alpha, \beta] \subset (0, a)$.
- 2) $\int_0^a \sqrt{r} |f(r)| dr$ существует.

Условие 2 допускает обращение функции $f(r)$ в бесконечность при $r \rightarrow 0$.

При сформулированных условиях функция $f(r)$ разлагается в ряд Дини при любом $r \in (0, a)$. Условия являются достаточными. В точках разрыва будем иметь

$$\frac{f(r+0) + f(r-0)}{2} = \sum_{n=1}^{\infty} C_n J_0\left(\frac{\gamma_n r}{a}\right).$$

Приложения цилиндрических функций в математической физике

Как уже упоминалось, цилиндрические функции имеют весьма широкую область применения в математической физике и технике. Настоящий параграф посвящен приложениям цилиндрических функций к некоторым задачам математической физики, причем выбор задач рассчитан главным образом на то, чтобы иллюстрировать различные стороны применения аппарата цилиндрических функций.

Задача о колебаниях круглой мембраны

Рассмотрим малые колебания круглой мембраны радиуса a , закрепленной по контуру. Будем предполагать колебания осесимметричными, то есть $u = u(r, t)$. Изучение таких колебаний сводится к решению следующей задачи:

$$\frac{1}{r} \frac{\partial}{\partial r} \left(r \frac{\partial u}{\partial r} \right) - \frac{1}{v^2} \frac{\partial^2 u}{\partial t^2} = 0, \quad 0 < r < a, \quad t > 0;$$

$$u|_{r \rightarrow 0} = O(1), \quad u|_{r=a} = 0; \tag{4.66}$$

$$u|_{t=0} = \varphi(r), \quad \left. \frac{\partial u}{\partial t} \right|_{t=0} = \psi(r).$$

Ищем решение в виде

$$u = R(r)T(t) \Rightarrow \frac{(rR)'}{rR} = \frac{T''}{v^2 T} = -\lambda.$$

Таким образом, приходим к двум обыкновенным дифференциальным уравнениям

$$(rR)' + \lambda rR = 0, \tag{4.67}$$

$$T'' + \lambda v^2 T = 0. \tag{4.68}$$

В силу граничных условий (4.66) будем иметь

$$R|_{r \rightarrow 0} = O(1), \quad R|_{r=a} = 0. \tag{4.69}$$

Таким образом, получили задачу Штурма—Лиувилля (4.67), (4.69). Мы знаем, что собственными значениями этой задачи будут числа (4.59)

$$\lambda_1 = \left(\frac{\gamma_1}{a} \right)^2, \quad \lambda_2 = \left(\frac{\gamma_2}{a} \right)^2, \quad \lambda_3 = \left(\frac{\gamma_3}{a} \right)^2, \quad \dots, \quad \lambda_n = \left(\frac{\gamma_n}{a} \right)^2, \quad \dots,$$

а собственные функции будут иметь вид (4.60)

$$R_1(r) = J_0 \left(\gamma_1 \frac{r}{a} \right), \quad R_2(r) = J_0 \left(\gamma_2 \frac{r}{a} \right), \quad \dots, \quad R_n(r) = J_0 \left(\gamma_n \frac{r}{a} \right), \quad \dots,$$

где γ_n — положительные корни уравнения $J_0(\gamma) = 0$.

Теперь уравнение (4.68) примет вид

$$T'' + \frac{\gamma_n^2}{a^2} v^2 T = 0.$$

Откуда

$$T = T_n = C_n \cos \left(\frac{\gamma_n v}{a} t \right) + D_n \sin \left(\frac{\gamma_n v}{a} t \right).$$

Таким образом, мы получили совокупность частных решений

$$u = u_n = \left[C_n \cos \left(\frac{\gamma_n v}{a} t \right) + D_n \sin \left(\frac{\gamma_n v}{a} t \right) \right] J_0 \left(\frac{\gamma_n}{a} r \right), \quad n = 1, 2, 3, \dots$$

Чтобы удовлетворить начальным условиям, воспользуемся принципом суперпозиции и составим ряд

$$u = \sum_{n=1}^{\infty} \left[C_n \cos \left(\frac{\gamma_n v}{a} t \right) + D_n \sin \left(\frac{\gamma_n v}{a} t \right) \right] J_0 \left(\frac{\gamma_n}{a} r \right).$$

Будем считать, что ряд сходится так, что его можно дифференцировать, и переходить к пределу под знаком суммы. Тогда будем иметь

$$u|_{t=0} = \varphi(r) = \sum_{n=1}^{\infty} C_n J_0\left(\frac{\gamma_n}{a} r\right), \quad 0 < r < a.$$

$$\frac{\partial u}{\partial t}\Big|_{t=0} = \psi(r) = \sum_{n=1}^{\infty} D_n \frac{\gamma_n v}{a} J_0\left(\frac{\gamma_n}{a} r\right), \quad 0 < r < a.$$

Откуда

$$C_n = \frac{2}{a^2 J_1^2(\gamma_n)} \int_0^a r \varphi(r) J_0\left(\frac{\gamma_n}{a} r\right) dr = \varphi_n.$$

$$D_n \frac{\gamma_n v}{a} = \frac{2}{a^2 J_1^2(\gamma_n)} \int_0^a r \psi(r) J_0\left(\frac{\gamma_n}{a} r\right) dr = \psi_n.$$

Таким образом, окончательно формальное решение задачи будет иметь вид

$$u = \sum_{n=1}^{\infty} \left[\varphi_n \cos\left(\frac{\gamma_n v}{a} t\right) + \frac{a}{\gamma_n v} \psi_n \sin\left(\frac{\gamma_n v}{a} t\right) \right] J_0\left(\frac{\gamma_n}{a} r\right).$$

Рассмотрим пример. Пусть начальные условия имеют вид

$$u|_{t=0} = \varphi(r) = u_0 \left(1 - \frac{r^2}{a^2}\right), \quad \frac{\partial u}{\partial t}\Big|_{t=0} = \psi(r) = 0.$$

Тогда очевидно $\psi_n = 0$,

$$\varphi_n = \frac{2u_0}{a^2 J_1^2(\gamma_n)} \int_0^a \left(1 - \frac{r^2}{a^2}\right) r J_0\left(\frac{\gamma_n}{a} r\right) dr. \quad (4.70)$$

Для вычисления интеграла в (4.70) удобно воспользоваться уравнением Бесселя

$$\frac{d}{dr} \left(r \frac{d}{dr} J_0\left(\frac{\gamma_n}{a} r\right) \right) + \left(\frac{\gamma_n}{a}\right)^2 r J_0\left(\frac{\gamma_n}{a} r\right) = 0.$$

Откуда

$$r J_0\left(\frac{\gamma_n}{a} r\right) dr = -\left(\frac{a}{\gamma_n}\right)^2 d\left(r \frac{d}{dr} J_0\left(\frac{\gamma_n}{a} r\right)\right). \quad (4.71)$$

После подстановки (4.71) в (4.70) интегрирование производим по частям. Разбивать интеграл на два интеграла не следует:

$$\begin{aligned} \varphi_n &= -\frac{2u_0 a^2}{\gamma_n^2 a^2 J_1^2(\gamma_n)} \left\{ \underbrace{\left(1 - \frac{r^2}{a^2}\right) r \frac{d}{dr} J_0\left(\gamma_n \frac{r}{a}\right)}_{=0} \Big|_{r=0}^{r=a} + \frac{2}{a^2} \int_0^a r^2 \frac{d}{dr} J_0\left(\gamma_n \frac{r}{a}\right) dr \right\} = \\ &= -\frac{2u_0}{\gamma_n^2 J_1^2(\gamma_n)} \frac{2}{a^2} \left\{ \underbrace{r^2 J_0\left(\gamma_n \frac{r}{a}\right)}_{=0} \Big|_{r=0}^{r=a} - 2 \int_0^a r J_0\left(\gamma_n \frac{r}{a}\right) dr \right\} = \end{aligned}$$

$$\begin{aligned}
 &= -\frac{8u_0}{\gamma_n^2 a^2 J_1^2(\gamma_n)} \frac{a^2}{\gamma_n^2} r \frac{d}{dr} J_0 \left(\gamma_n \frac{r}{a} \right) \Big|_{r=0}^{r=a} = \\
 &= \frac{8u_0}{\gamma_n^4 J_1^2(\gamma_n)} \frac{\gamma_n}{a} r J_1 \left(\gamma_n \frac{r}{a} \right) \Big|_{r=0}^{r=a} = \frac{8u_0}{\gamma_n^3 J_1(\gamma_n)}.
 \end{aligned}$$

Таким образом,

$$\varphi_n = \frac{8u_0}{\gamma_n^3 J_1(\gamma_n)}.$$

Окончательно решение задачи примет вид

$$u = 8u_0 \sum_{n=1}^{\infty} \frac{J_0 \left(\frac{\gamma_n}{a} r \right)}{\gamma_n^3 J_1(\gamma_n)} \cos \left(\frac{\gamma_n v}{a} t \right).$$

Решение задачи Дирихле для цилиндра

Важный класс задач математической физики составляют краевые задачи теории потенциала, которые заключаются в определении функции u , гармонической в некоторой трехмерной области τ , удовлетворяющей на ее границе условию одного из трех типов

$$(I) \ u|_{\sigma} = f, \quad (II) \ \frac{\partial u}{\partial n} \Big|_{\sigma} = f, \quad (III) \ \frac{\partial u}{\partial n} + hu|_{\sigma} = f,$$

где f — заданная функция точки на поверхности σ , n — внешняя нормаль к поверхности.

В качестве простого примера рассмотрим задачу об отыскании стационарного распределения температуры в теле, которое имеет форму цилиндра, по известному распределению температуры на его поверхности. Эта задача эквивалентна первой краевой задаче, соответствующей условию вида (I). Такая краевая задача может быть решена при помощи метода разделения переменных, если предположить, что функция равна нулю на боковой поверхности или на торцах цилиндра. Общий случай произвольных граничных условий первого рода может быть сведен к этим частным случаям путем разложения задачи на две вспомогательные, с граничными условиями указанного специального вида.

Введем систему цилиндрических координат (r, φ, z) , ось z которой совпадает с осью цилиндра, а начало координат лежит в плоскости одного из торцов. В соответствии с замечанием, сделанным ранее, достаточно ограничиться рассмотрением двух частных случаев, когда граничные условия имеют вид

$$u|_{r=a} = 0, \quad u|_{z=0} = f_0, \quad u|_{z=l} = f_1; \quad (4.72a)$$

$$u|_{r=a} = F, \quad u|_{z=0} = 0, \quad u|_{z=l} = 0. \quad (4.72b)$$

Для упрощения предположим, что граничные условия не содержат переменной φ , то есть $f_0 = f_0(r)$, $f_1 = f_1(r)$, $F = F(z)$. Искомая функция u тогда также не будет зависеть от φ , поэтому частные решения уравнения Лапласа могут быть пред-

ставлены в форме $u = R(r)Z(z)$, где множители — интегралы дифференциальных уравнений

$$(rR')' + \lambda rR = 0, \quad Z'' - \lambda Z = 0$$

Выполнив интегрирование, находим

$$R(r) = AJ_0(\sqrt{\lambda}r) + BY_0(\sqrt{\lambda}r), \quad \lambda \neq 0, \tag{4.73}$$

$$\begin{aligned} Z(z) &= C \operatorname{ch}(\sqrt{\lambda}z) + D \operatorname{sh}(\sqrt{\lambda}z) = \\ &= \tilde{C} \operatorname{sh}(\sqrt{\lambda}(l-z)) + \tilde{D} \operatorname{sh}(\sqrt{\lambda}z), \quad \lambda \neq 0. \end{aligned} \tag{4.74}$$

Предположим, что граничные условия имеют вид (4.72a). В силу ограниченности решения на оси цилиндра мы должны принять $B = 0$. А тогда допустимыми значениями параметра λ будут числа

$$\lambda_1 = \left(\frac{\gamma_1}{a}\right)^2, \quad \lambda_2 = \left(\frac{\gamma_2}{a}\right)^2, \quad \lambda_3 = \left(\frac{\gamma_3}{a}\right)^2, \dots, \quad \lambda_n = \left(\frac{\gamma_n}{a}\right)^2, \dots,$$

где γ_n — положительные корни уравнения (4.57): $J_0(\gamma) = 0$. Таким образом, получаем следующую совокупность частных решений уравнения Лапласа

$$u = u_n = \left[M_n \operatorname{sh}\left(\frac{\gamma_n}{a}(l-z)\right) + N_n \operatorname{sh}\left(\frac{\gamma_n}{a}z\right) \right] J_0\left(\frac{\gamma_n}{a}r\right), \quad n = 1, 2, \dots, \tag{4.75}$$

из которых путем их суперпозиции может быть построено решение рассматриваемой задачи. Действительно, предположим, что каждая из функций $f_0(r)$, $f_l(r)$ может быть разложена в ряд Фурье—Бесселя

$$\begin{aligned} f_0(r) &= \sum_{n=1}^{\infty} f_{0,n} J_0\left(\frac{\gamma_n}{a}r\right), \quad f_{0,n} = \frac{2}{a^2 J_1^2(\gamma_n)} \int_0^a r f_0(r) J_0\left(\frac{\gamma_n}{a}r\right) dr, \\ f_l(r) &= \sum_{n=1}^{\infty} f_{l,n} J_0\left(\frac{\gamma_n}{a}r\right), \quad f_{l,n} = \frac{2}{a^2 J_1^2(\gamma_n)} \int_0^a r f_l(r) J_0\left(\frac{\gamma_n}{a}r\right) dr, \end{aligned}$$

и рассмотрим ряд

$$u = \sum_{n=1}^{\infty} \left[f_{0,n} \frac{\operatorname{sh}\left(\frac{\gamma_n}{a}(l-z)\right)}{\operatorname{sh}\left(\frac{\gamma_n}{a}l\right)} + f_{l,n} \frac{\operatorname{sh}\left(\frac{\gamma_n}{a}z\right)}{\operatorname{sh}\left(\frac{\gamma_n}{a}l\right)} \right] J_0\left(\frac{\gamma_n}{a}r\right), \tag{4.76}$$

составленный из членов вида (4.75). Тогда граничные условия будут удовлетворены, и ряд (4.76) дает формальное решение поставленной задачи.

В случае граничных условий типа (4.72б) для того, чтобы удовлетворить однородным граничным условиям, необходимо принять $C = 0$ и выбрать $\lambda < 0$, то есть $\sqrt{\lambda}$ будет чисто мнимым числом, равным $i n \pi / l$, $n = 1, 2, \dots$. Интегралы уравнений (4.73), (4.74) принимают в этом случае вид

$$R(r) = AI_0\left(\frac{n\pi}{l}r\right) + BK_0\left(\frac{n\pi}{l}r\right), \quad Z(z) = D \sin\left(\frac{n\pi}{l}z\right).$$

В силу ограниченности функции в нуле следует принять $B = 0$; следовательно, подходящая система частных решений уравнения Лапласа будет

$$u = u_n = M_n I_0\left(\frac{n\pi}{l}r\right) \sin\left(\frac{n\pi}{l}z\right); \quad n = 1, 2, \dots$$

Искомое решение может быть построено в форме ряда

$$u = \sum_{n=1}^{\infty} F_n \frac{I_0\left(\frac{n\pi}{l}r\right)}{I_0\left(\frac{n\pi}{l}a\right)} \sin\left(\frac{n\pi}{l}z\right), \quad (4.77)$$

где F_n — коэффициенты Фурье в разложении функции $F(z)$ в ряд по синусам

$$F_n = \frac{2}{l} \int_0^l F(z) \sin\left(\frac{n\pi z}{l}\right) dz.$$

Решение краевых задач с граничными условиями других типов получается аналогичным образом, причем подходящим аппаратом, заменяющим ряды Фурье—Бесселя, являются в этом случае ряды Дини.

Несколько слов о сходимости рядов (4.76) и (4.77)

В обоих случаях мы имеем разложение по колеблющимся функциям. Сходимость ряда (4.76) определяется соотношениями

$$\frac{\operatorname{sh}\left(\frac{\gamma_n}{a}(l-z)\right)}{\operatorname{sh}\left(\frac{\gamma_n}{a}l\right)} \approx e^{\gamma_n \left[\frac{(l-z)}{a} - \frac{l}{a}\right]} = e^{-\gamma_n \frac{z}{a}}, \quad n \rightarrow \infty,$$

$$\frac{\operatorname{sh}\left(\frac{\gamma_n}{a}z\right)}{\operatorname{sh}\left(\frac{\gamma_n}{a}l\right)} \approx e^{\gamma_n \left[\frac{z}{a} - \frac{l}{a}\right]} = e^{-\gamma_n \frac{(l-z)}{a}}, \quad n \rightarrow \infty.$$

Таким образом, видим, что множители в формуле (4.76) убывают по экспоненте, пока z не слишком близко к 0 и l .

Для ряда (4.77) будем иметь

$$\frac{I_0\left(\frac{n\pi}{l}r\right)}{I_0\left(\frac{n\pi}{l}a\right)} \approx \sqrt{\frac{a}{r}} e^{\frac{n\pi}{l}(r-a)} = \sqrt{\frac{a}{r}} e^{-\frac{n\pi}{l}(a-r)}, \quad n \rightarrow \infty.$$

Ряд сходится экспоненциально в области $0 < r < \dot{a}$.

Таким образом, ряды (4.76) и (4.77) сходятся плохо около тех участков границы, где условия неоднородные.

Общий случай произвольных граничных условий первого рода

Представим функцию u в виде $u = u_1 + u_2$. Функцию u_1 будем определять из следующих условий:

$$\Delta u_1 = 0, \quad u_1|_{z=0} = f_0(r), \quad u_1|_{z=l} = f_l(r), \quad u_1|_{r \rightarrow 0} = O(1), \quad u_1|_{r=a} = 0,$$

а функцию u_2 — из условий

$$\Delta u_2 = 0, \quad u_2|_{z=0} = 0, \quad u_2|_{z=l} = 0, \quad u_2|_{r \rightarrow 0} = O(1), \quad u_2|_{r=a} = F(z).$$

Функция u_1 удовлетворяется формулой (4.76), а функция u_2 — формулой (4.77). Таким образом, общая задача сводится к рассмотренным случаям (4.72а) и (4.72б).

Сферические функции. Полиномы Лежандра

Сферическими функциями называются решения линейного дифференциального уравнения

$$[(1-z^2)u']' + \left[v(v+1) - \frac{\mu^2}{1-z^2} \right] u = 0 \quad (4.78)$$

где z — комплексное переменное, μ и ν — параметры, которые могут принимать любые вещественные или комплексные значения.

Уравнение (4.78) встречается в математической физике в связи с интегрированием уравнения Лапласа в специальных системах ортогональных криволинейных координат — сферических, сфероидальных, тороидальных и других, которые применяются при рассмотрении краевых задач для областей соответствующего вида. Простейшими среди них являются краевые задачи для сферической области, что служит основанием для того, чтобы называть рассматриваемый класс функций *сферическими* или *шаровыми функциями*. В этом случае переменная z принимает вещественные значения из промежутка $(-1, 1)$, а параметры μ и ν имеют целые положительные значения.

Простейший класс сферических функций составляют *полиномы Лежандра*, которые являются решениями уравнения (4.78) при $\mu = 0$ и целых положительных $\nu = n$ ($n = 0, 1, 2, 3, \dots$). Следующий по степени сложности класс сферических функций образуют *сферические функции Лежандра*, которые представляют собой решения уравнения (4.78) при $\mu = 0$ и произвольном вещественном или комплексном ν .

Рассмотрим уравнение (4.78) в предположении, что $z = x \in [-1, 1]$: $\mu = 0$, $\nu = n = 0, 1, 2, \dots, \infty$, то есть уравнение

$$[(1-x^2)u']' + n(n+1)u = 0. \quad (4.79)$$

Построим интегралы уравнения (4.79). Покажем, что одним из интегралов уравнения (4.79) является функция

$$u = u_1 = P_n(x) = \frac{1}{2^n n!} \frac{d^n}{dx^n} (x^2 - 1)^n, \quad n = 0, 1, 2, \dots \quad (4.80)$$

Функции (4.80) называются *полиномами Лежандра*, а формула (4.80) — *формулой Родрига* для полиномов Лежандра.

Обозначим

$$W = (x^2 - 1)^n.$$

Тогда

$$W' = n(x^2 - 1)^{n-1} 2x = \frac{2nx}{x^2 - 1} W,$$

или

$$(1 - x^2)W' + 2nxW \equiv 0. \quad (4.81)$$

Продифференцируем равенство (4.81) $(n + 1)$ раз. Получим

$$[(1 - x^2)W']^{(n+1)} + 2n(xW)^{(n+1)} = 0.$$

Дифференцирование можно выполнить по формуле Лейбница

$$(UV)^{(m)} = U^{(m)}V + \frac{m}{1!} U^{(m-1)}V' + \frac{m(m-1)}{2!} U^{(m-2)}V'' + \dots + UV^{(m)}. \quad (4.82)$$

Примем в (4.82) для первого слагаемого $U = W'$, $V = (1 - x^2)$, $m = n + 1$; для второго слагаемого $U = W$, $V = x$, $m = n + 1$.

Будем иметь

$$\begin{aligned} (1 - x^2)W^{(n+2)} + \frac{(n+1)}{1!} W^{(n+1)}(-2x) + \frac{(n+1)n}{2!} W^{(n)}(-2) + \\ + 2nW^{(n+1)}x + 2n\frac{(n+1)}{1!} W^{(n)} \equiv 0, \end{aligned}$$

или

$$(1 - x^2)W^{(n+2)} - 2xW^{(n+1)} + n(n+1)W^{(n)} \equiv 0. \quad (4.83)$$

Умножим (4.83) на $\frac{1}{2^n n!}$, получим

$$(1 - x^2)P_n''(x) - 2xP_n'(x) + n(n+1)P_n(x) \equiv 0,$$

или, что то же самое,

$$[(1 - x^2)P_n'(x)]' + n(n+1)P_n(x) \equiv 0.$$

Итак, мы показали, что полиномы Лежандра удовлетворяют уравнению (4.79).

Найдем второе решение уравнения (4.79), которое было бы линейно независимо от решения $u_1 = P_n(x)$. Пусть u_1 и u_2 — решения уравнения (4.79). Тогда

$$[(1-x^2)u_1'] + n(n+1)u_1 \equiv 0,$$

$$[(1-x^2)u_2'] + n(n+1)u_2 \equiv 0.$$

Умножим первое уравнение на u_2 , второе — на u_1 и вычтем одно из другого. Получим

$$u_2[(1-x^2)u_1'] - u_1[(1-x^2)u_2'] \equiv 0 \Leftrightarrow \\ \frac{d}{dx}[(1-x^2)(u_1u_2' - u_2u_1')] \equiv 0.$$

Проинтегрируем полученное тождество:

$$(1-x^2)(u_1u_2' - u_2u_1') = C = \text{const} \Rightarrow \frac{(u_1u_2' - u_2u_1')}{u_1^2} = \frac{C}{u_1^2(1-x^2)} \Rightarrow$$

$$\frac{d}{dx} \left(\frac{u_2}{u_1} \right) = \frac{C}{u_1^2(1-x^2)} \Rightarrow$$

$$\frac{u_2}{u_1} = C \int \frac{dx}{u_1^2(1-x^2)} + D, \quad D = \text{const} \Rightarrow$$

$$u_2 = Cu_1 \int \frac{dx}{u_1^2(1-x^2)} + Du_1. \quad (4.84)$$

Таким образом, если u_1 и u_2 — решения уравнения (4.79), то они связаны соотношением (4.84), в котором C и D могут быть любыми. Если $C \neq 0$, то u_1 и u_2 линейно независимы. Возьмем в качестве u_1 полиномы Лежандра: $u_1 = P_n(x)$. Тогда на основании (4.84) будем иметь

$$u_2 = C_n P_n(x) \int \frac{dx}{(1-x^2)P_n^2(x)} + D_n P_n(x) = Q_n(x).$$

Здесь $Q_n(x)$ — линейно независимая функция с $P_n(x)$. Функция $Q_n(x)$ называется *функцией Лежандра второго рода* ($C_n \neq 0$).

Пусть $n = 0$. Тогда

$$P_0(x) = 1,$$

$$Q_0(x) = C_0 \int \frac{dx}{1-x^2} + D_0 = \frac{C_0}{2} \int \left(\frac{1}{1-x} + \frac{1}{1+x} \right) dx + D_0 = \\ = \frac{C_0}{2} \ln \frac{1+x}{1-x} + D_0.$$

Возьмем $C_0 = 1$, $D_0 = 0$. Тогда

$$Q_0(x) = \frac{1}{2} \ln \frac{1+x}{1-x}.$$

Пусть $n = 1$. Тогда

$$P_1(x) = x,$$

$$Q_1(x) = C_1 x \int \frac{dx}{(1-x^2)x^2} + D_1 x = \frac{x}{2} \ln \frac{1+x}{1-x} - 1.$$

Здесь константы C_1 и D_1 выбраны надлежащим образом. И вообще,

$$Q_n(x) = \frac{P_n(x)}{2} \ln \frac{1+x}{1-x} - f_{n-1}(x),$$

где $f_{-1}(x) \equiv 0$, $f_0(x) = 0$, $f_{n-1}(x)$ — полином степени $(n-1)$.

Выпишем первые несколько функций $P_n(x)$ и $Q_n(x)$:

$$P_0(x) = 1, \quad Q_0(x) = \frac{1}{2} \ln \frac{1+x}{1-x},$$

$$P_1(x) = x, \quad Q_1(x) = \frac{x}{2} \ln \frac{1+x}{1-x} - 1,$$

$$P_2(x) = \frac{1}{2}(3x^2 - 1), \quad Q_2(x) = \frac{3x^2 - 1}{4} \ln \frac{1+x}{1-x} - \frac{3}{2}x,$$

$$P_3(x) = \frac{1}{2}(5x^3 - 3x), \quad Q_3(x) = \frac{5x^3 - 3x}{4} \ln \frac{1+x}{1-x} - \frac{5}{2}x^2 + \frac{2}{3}.$$

Так как функции $P_n(x)$ и $Q_n(x)$ линейно независимы, то общее решение уравнения (4.79) может быть записано в виде

$$u(x) = C_1 P_n(x) + C_2 Q_n(x), \quad x \in [-1, 1], \quad n = 0, 1, 2, \dots, \infty,$$

где C_1 и C_2 — произвольные константы.

ПРИМЕЧАНИЕ

Уравнение (4.79) называется уравнением Лежандра; оно имеет особые точки $x = -1$ и $x = 1$. Полиномы Лежандра $P_n(x)$ являются собственными функциями для уравнения (4.79) в промежутке $[-1, 1]$, ограниченными в особых точках $x = \pm 1$, то есть $P_n(x)|_{x \rightarrow \pm 1}$ — ограничены. Очевидно, $Q_n(x) \rightarrow \infty$, $x \rightarrow \pm 1$.

Производящая функция для полиномов Лежандра

Функция

$$W(x, z) = \frac{1}{\sqrt{1 - 2xz + z^2}} \quad (4.85)$$

является производящей для полиномов Лежандра, то есть полиномы Лежандра — коэффициенты разложения этой функции в ряд по положительным степеням z :

$$\frac{1}{\sqrt{1 - 2xz + z^2}} = \sum_{n=0}^{\infty} P_n(x) z^n. \quad (4.86)$$

Здесь z — комплексная переменная, $x \in [-1, +1]$, x — параметр.

Докажем формулу (4.86). Имеем $W(x, 0) = 1$. Особые точки (критические точки или точки разветвления) функции (4.85) — корни уравнения

$$z^2 - 2xz + 1 = 0,$$

то есть

$$z_{1,2} = x \pm \sqrt{x^2 - 1} = x \pm i\sqrt{1 - x^2}, \quad |z_{1,2}| = 1.$$

Следовательно, особые точки лежат на круге радиуса 1; z_1 и z_2 — особые точки функции $W(x, z)$ (рис. 4.6).

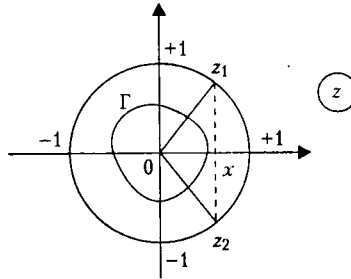


Рис. 4.6. Особые точки $W(x, z)$

Внутри круга $|z| < 1$ особых точек нет. Функция $W(x, z)$ — регулярная функция переменного $z, |z| < 1$. Следовательно, внутри круга $|z| < 1$ функция $W(x, z)$ допускает разложение в ряд Тейлора. Таким образом, можно записать

$$\frac{1}{\sqrt{1 - 2xz + z^2}} = \sum_{n=0}^{\infty} C_n z^n, \quad |z| < 1, \quad x \in [-1, 1].$$

Коэффициенты разложения C_n определяются равенством

$$C_n = \frac{W^{(n)}(x, 0)}{n!}, \quad n = 0, 1, 2, \dots$$

или, в силу интеграла типа Коши,

$$C_n = \frac{1}{2\pi i} \oint_{\Gamma} \frac{1}{\sqrt{1 - 2xz + z^2}} \frac{dz}{z^{n+1}}. \tag{4.87}$$

Напомним, что коэффициенты разложения функции $f(z)$ в ряд Тейлора

$$f(z) = \sum_{n=0}^{\infty} C_n (z - a)^n$$

вычисляются по формуле

$$C_n = \frac{f^{(n)}(a)}{n!},$$

а в силу интеграла типа Коши будем иметь

$$f^{(n)}(a) = \frac{n!}{2\pi i} \oint_{\Gamma} \frac{f(\xi) d\xi}{(\xi - a)^{n+1}}. \tag{4.88}$$

В качестве контура Γ в формуле (4.87) можно взять любой замкнутый контур, лежащий целиком в пределах круга $|z| < 1$ и охватывающий точку $(0, 0)$. Вычислим интеграл (4.87) с помощью подстановки Эйлера. Имеем

$$\begin{aligned}\sqrt{1-2xz+z^2} &= 1-zu \Rightarrow \\ 1-2xz+z^2 &= 1-2zu+z^2u^2 \Rightarrow \\ z(u^2-1) &= 2(u-x) \Rightarrow \\ z &= 2\frac{u-x}{u^2-1}.\end{aligned}$$

Таким образом,

$$\begin{aligned}\sqrt{1-2xz+z^2} &= 1-2u\frac{u-x}{u^2-1} = -\frac{u^2-2ux+1}{u^2-1}, \\ dz &= 2\frac{(u^2-1)-(u-x)2u}{(u^2-1)^2} du = -2\frac{u^2-2ux+1}{(u^2-1)^2} du.\end{aligned}$$

Откуда

$$C_n = \frac{1}{2\pi i} \oint_{\Gamma} \frac{(u^2-1)2(u^2-2ux+1)(u^2-1)^{n+1}}{(u^2-2ux+1)(u^2-1)^2 2^{n+1}(u-x)^{n+1}} du = \frac{1}{2^n} \frac{1}{2\pi i} \int_{\Gamma} \frac{(u^2-1)^n}{(u-x)^{n+1}} du.$$

Здесь Γ^* — замкнутый контур вокруг точки x в плоскости U , соответствующий замкнутому контуру Γ вокруг точки $O(0,0)$ в плоскости z (рис. 4.7).

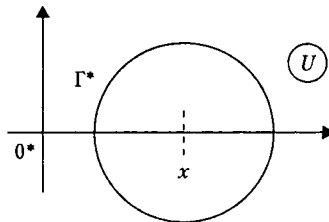


Рис. 4.7. Комплексная плоскость U : особая точка x

Можно записать в соответствии с формулой (4.88)

$$C_n = \frac{1}{2^n n!} \frac{d^n}{du^n} (u^2-1)^n \Big|_{u=x} = \frac{1}{2^n n!} \frac{d^n}{dx^n} (x^2-1)^n = P_n(x).$$

Окончательно будем иметь

$$W(x, z) = \sum_{n=0}^{\infty} P_n(x) z^n.$$

Рассмотрим некоторые примеры применения производящей функции:

$$W(1, z) = \frac{1}{1-z} = \sum_{n=0}^{\infty} P_n(1) z^n = \sum_{n=0}^{\infty} z^n, \quad |z| < 1,$$

откуда находим

$$P_n(1) = 1, \quad n = 0, 1, 2, \dots;$$

$$W(-1, z) = \frac{1}{1+z} = \sum_{n=0}^{\infty} P_n(-1)z^n = \sum_{n=0}^{\infty} (-1)^n z^n, \quad |z| < 1,$$

откуда находим

$$P_n(-1) = (-1)^n;$$

$$W(-x, -z) = W(x, z) \Rightarrow \sum_{n=0}^{\infty} P_n(-x)(-z)^n = \sum_{n=0}^{\infty} P_n(x)z^n,$$

откуда находим

$$P_n(-x) = (-1)^n P_n(x), \quad n = 0, 1, 2, \dots$$

Из последней формулы, в частности, следует, что $P_{2n-1}(0) = 0$.

Рекуррентные формулы для полиномов Лежандра

Исходя из производящей функции, легко получить рекуррентные соотношения между полиномами Лежандра.

Имеем

$$\frac{1}{\sqrt{1-2xz+z^2}} = \sum_{n=0}^{\infty} P_n(x)z^n. \quad (4.89)$$

Продифференцируем (4.85) по z , получим

$$\frac{\partial W}{\partial z} = -\frac{1}{1-2xz+z^2} \frac{-2x+2z}{2\sqrt{1-2xz+z^2}} = \frac{x-z}{1-2xz+z^2} W$$

или

$$(1-2xz+z^2) \frac{\partial W}{\partial z} + (z-x)W = 0.$$

Откуда

$$(1-2xz+z^2) \sum_{n=0}^{\infty} nP_n(x)z^{n-1} + (z-x) \sum_{n=0}^{\infty} P_n(x)z^n = 0 \Rightarrow$$

$$\sum_{n=0}^{\infty} nP_n(x)z^{n-1} - \sum_{n=0}^{\infty} 2nxP_n(x)z^n + \sum_{n=0}^{\infty} nP_n(x)z^{n+1} +$$

$$+ \sum_{n=0}^{\infty} P_n(x)z^{n+1} - \sum_{n=0}^{\infty} xP_n(x)z^n = 0 \Rightarrow$$

$$\sum_{\substack{n=0 \\ (n=1) \\ (n-1 \rightarrow n)}}^{\infty} P_n(x)nz^{n-1} - \sum_{n=0}^{\infty} (2n+1)xP_n(x)z^n + \sum_{\substack{n=0 \\ (n+1 \rightarrow n)}}^{\infty} (n+1)P_n(x)z^{n+1} = 0 \Rightarrow$$

$$\sum_{n=0}^{\infty} P_{n+1}(x)(n+1)z^n - \sum_{n=0}^{\infty} (2n+1)xP_n(x)z^n + \sum_{n=1}^{\infty} nP_{n-1}(x)z^n = 0.$$

Объединим в одну сумму в последнем соотношении слева, получим

$$[P_1(x) - xP_0(x)]z^0 + \sum_{n=1}^{\infty} [(n+1)P_{n+1}(x) - (2n+1)xP_n(x) + nP_{n-1}(x)]z^n = 0. \quad (4.90)$$

Равенство (4.90) возможно лишь тогда, когда коэффициенты при степенях z равны нулю. Откуда

$$P_1(x) - xP_0(x) \equiv 0,$$

так как $P_1(x) = x$, $P_0(x) = 1$,

$$(n+1)P_{n+1}(x) - (2n+1)xP_n(x) + nP_{n-1}(x) = 0, \quad n = 1, 2, 3, \dots \quad (4.91)$$

Формула (4.91) — требуемое рекуррентное соотношение.

Получим второе рекуррентное соотношение. Рассмотрим производную

$$\frac{\partial}{\partial z} [(z-x)W] = (z-x) \frac{\partial W}{\partial z} + W = W \left[1 - \frac{(x-z)^2}{1-2xz+z^2} \right] = \frac{(1-x^2)W}{1-2xz+z^2}. \quad (4.92)$$

С другой стороны,

$$\frac{\partial W}{\partial x} = \frac{z}{(1-2xz+z^2)\sqrt{1-2xz+z^2}} = \frac{z}{(1-2xz+z^2)} W. \quad (4.93)$$

Сравнивая (4.92) и (4.93), получим

$$\begin{aligned} \frac{1}{z} \frac{\partial W}{\partial x} &= \frac{1}{(1-x^2)} \frac{\partial}{\partial z} [(z-x)W] \Rightarrow \\ (1-x^2) \frac{\partial W}{\partial x} &= z \frac{\partial}{\partial z} [(z-x)W] \Rightarrow \\ (1-x^2) \frac{\partial W}{\partial x} &= z(z-x) \frac{\partial W}{\partial z} + zW. \end{aligned} \quad (4.94)$$

Подставим (4.89) в (4.94), получим цепочку равенств

$$\begin{aligned} (1-x^2) \sum_{n=0}^{\infty} P'_n(x) z^n &= z(z-x) \sum_{n=0}^{\infty} P_n(x) n z^{n-1} + z \sum_{n=0}^{\infty} P_n(x) z^n = \\ &= \sum_{n=0}^{\infty} P_n(x) n z^{n+1} - \sum_{n=0}^{\infty} x P_n(x) n z^n + \sum_{n=0}^{\infty} P_n(x) z^{n+1} = \\ &= \sum_{\substack{n=0 \\ (n+1 \rightarrow n)}}^{\infty} (n+1) P_n(x) z^{n+1} - \sum_{n=0}^{\infty} n x P_n(x) z^n = \\ &= \sum_{n=1}^{\infty} n P_{n-1}(x) z^n - \sum_{\substack{n=0 \\ (n=1)}}^{\infty} n x P_n(x) z^n = \sum_{n=1}^{\infty} n [P_{n-1}(x) - x P_n(x)] z^n. \end{aligned}$$

Откуда получаем второе рекуррентное соотношение

$$(1-x^2) P'_n(x) = n P_{n-1}(x) - n x P_n(x), \quad n = 1, 2, 3, \dots$$

Задача Штурма—Лиувилля, связанная с полиномами Лежандра

Рассмотрим следующую задачу:

$$[(1-x^2)X'(x)]' + \lambda X(x) = 0, \tag{4.95}$$

$$X(x)|_{x \rightarrow \pm 1} = O(1). \tag{4.96}$$

Докажем, что

$$\lambda = \lambda_n = n(n+1), \quad n = 0, 1, 2, \dots \tag{4.97}$$

— собственные значения;

$$X(x) = X_n(x) = P_n(x)$$

— собственные функции задачи (4.95), (4.96).

Подставим (4.97) в уравнение (4.95); получим уравнение Лежандра

$$[(1-x^2)X']' + (n+1)nX = 0. \tag{4.98}$$

Общий интеграл (4.98), как было установлено ранее, имеет вид

$$X(x) = X_n(x) = AP_n(x) + BQ_n(x). \tag{4.99}$$

Имеем

$$P_n(x)|_{x \rightarrow \pm 1} = O(1), \quad Q_n(x)|_{x \rightarrow \pm 1} \rightarrow \infty.$$

Следовательно, в (4.99) необходимо принять $B = 0$, чтобы удовлетворить (4.96). Таким образом, действительно, $X(x) = X_n(x) = P_n(x)$ — собственные функции задачи (4.95), (4.96), а $\lambda = \lambda_n = n(n+1)$, $n = 0, 1, 2, \dots$ — собственные значения этой задачи.

Более полная теория устанавливает, что других собственных функций и собственных значений нет.

Докажем, что полиномы Лежандра образуют ортогональную систему функций на отрезке $[-1, 1]$. Действительно, имеем

$$[(1-x^2)P_n']' + (n+1)nP_n = 0,$$

$$[(1-x^2)P_m']' + (m+1)mP_m = 0.$$

Первое соотношение умножаем на $P_m(x)$, а второе — на $P_n(x)$ и вычитаем одно из другого, получаем

$$P_n[(1-x^2)P_m']' - P_m[(1-x^2)P_n']' + [(m+1)m - (n+1)n]P_nP_m = 0 \Rightarrow$$

$$\frac{d}{dx}(1-x^2)[P_nP_m' - P_mP_n'] + [(m+1)m - (n+1)n]P_nP_m = 0.$$

Проинтегрируем последнее соотношение на отрезке $[-1, 1]$, получим

$$(1-x^2)[P_nP_m' - P_mP_n']|_{x=-1}^{x=1} + [(m+1)m - (n+1)n] \int_{-1}^1 P_nP_m dx = 0.$$

Откуда находим

$$\int_{-1}^1 P_m P_n dx = 0, \quad m \neq n.$$

Таким образом, справедлива формула

$$\int_{-1}^1 P_m(x) P_n(x) dx = \begin{cases} 0, & m \neq n, \\ \|P_n(x)\|^2, & m = n. \end{cases}$$

Вычисление нормы для полиномов Лежандра

Воспользуемся рекуррентным соотношением (4.91) и заменим в этом соотношении n на $(n-1)$. Будем иметь

$$nP_n(x) - (2n-1)xP_{n-1}(x) + (n-1)P_{n-2}(x) = 0, \quad n = 2, 3, \dots \quad (4.100)$$

Умножим соотношение (4.91) на $(2n-1)P_{n-1}$, а соотношение (4.100) — на $(2n+1)P_n$ и затем вычтем одно из другого. Получим

$$(2n-1)(n+1)P_{n-1}P_{n+1} + (2n-1)nP_{n-1}^2 - (2n+1)nP_n^2 - (2n+1)(n-1)P_nP_{n-2} = 0, \quad n = 2, 3, \dots \quad (4.101)$$

Проинтегрируем (4.101) на отрезке $[-1, 1]$; учитывая ортогональность полиномов, получим

$$(2n-1)n \int_{-1}^1 P_{n-1}^2 dx - (2n+1)n \int_{-1}^1 P_n^2 dx = 0, \quad n = 2, 3, \dots$$

Откуда находим

$$\int_{-1}^1 P_n^2 dx = \frac{2n-1}{2n+1} \int_{-1}^1 P_{n-1}^2 dx, \quad n = 2, 3, \dots \quad (4.102)$$

Имеем

$$\int_{-1}^1 P_0^2 dx = \int_{-1}^1 1 \cdot dx = 2,$$

$$\int_{-1}^1 P_1^2 dx = \int_{-1}^1 x^2 dx = \frac{2}{3},$$

далее по формуле (4.102)

$$\int_{-1}^1 P_2^2 dx = \frac{3}{5} \int_{-1}^1 P_1^2 dx = \frac{2}{5},$$

$$\int_{-1}^1 P_3^2 dx = \frac{5}{7} \int_{-1}^1 P_2^2 dx = \frac{2}{7},$$

и так далее. Таким образом,

$$\|P_n(x)\|^2 = \int_{-1}^1 P_n^2(x) dx = \frac{2}{2n+1}, \quad n = 0, 1, 2, 3, \dots$$

Доказательство завершается переходом по индукции.

Итак, можно записать

$$\int_{-1}^{+1} P_m(x)P_n(x) dx = \begin{cases} 0, & m \neq n, \\ \frac{2}{2n+1}, & m = n. \end{cases}$$

Рассмотрим теперь вопрос о разложении произвольной функции в ряд по полиномам Лежандра. Пусть задана функция $f(x)$, $x \in (-1, 1)$. Можно формально предположить, что

$$f(x) = \sum_{n=0}^{\infty} C_n P_n(x), \quad -1 < x < +1. \quad (4.103)$$

Тогда

$$C_n = \frac{\int_{-1}^{+1} f(x)P_n(x) dx}{\|P_n(x)\|^2} = \frac{2n+1}{2} \int_{-1}^{+1} f(x)P_n(x) dx.$$

Справедлива следующая теорема разложения.

ТЕОРЕМА. Пусть $f(x)$, $x \in (-1, 1)$ такая, что

1) $f(x)$ кусочно-непрерывна на $(-1, 1)$ и имеет конечное число максимумов и минимумов на любом $[\alpha, \beta] \subset (-1, 1)$;

2) интеграл $\int_{-1}^{+1} \frac{|f(x)|}{(1-x^2)^{1/4}} dx$ — ограничен.

Тогда ряд (4.103) сходится к функции $f(x)$ во всех точках, где $f(x)$ непрерывна. В точках разрыва ряд сходится к полусумме значений функции справа и слева от разрыва, то есть к числу

$$\frac{f(x+0) + f(x-0)}{2}.$$

Условия теоремы 1 и 2 являются достаточными.

Пример. Разложить функцию x^2 в ряд по полиномам Лежандра.

Имеем

$$f(x) = x^2 = \sum_{n=0}^2 C_n P_n(x) = C_0 P_0(x) + C_1 P_1(x) + C_2 P_2(x)$$

или

$$x^2 = C_0 + C_1 x + C_2 \frac{3x^2 - 1}{2}.$$

Сравнивая коэффициенты при одинаковых степенях x , получим

$$C_0 = \frac{1}{3}, \quad C_1 = 0, \quad C_2 = \frac{2}{3}.$$

Таким образом, будем иметь

$$x^2 = \frac{1}{3} P_0(x) + \frac{2}{3} P_2(x).$$

Приложение полиномов Лежандра в математической физике

В качестве простого примера рассмотрим задачу об обтекании шара потоком идеальной жидкости.

Как известно из гидродинамики, потенциал скоростей U идеальной жидкости удовлетворяет уравнению Лапласа

$$\Delta U = 0, \quad \vec{v} = \nabla U,$$

где \vec{v} — вектор скорости частицы жидкости.

Пусть жидкость движется относительно шара радиуса a со скоростью u в направлении отрицательной оси z (рис. 4.8).

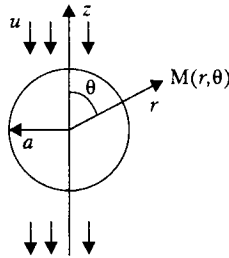


Рис. 4.8. Обтекание шара потоком жидкости

По определению потенциала скорости U , нормальная компонента скорости v_n прилегающей к поверхности шара частицы жидкости есть

$$v_n = \frac{\partial U}{\partial n}.$$

Введем сферическую систему координат по формулам

$$x = r \sin(\theta) \cos(\varphi),$$

$$y = r \sin(\theta) \sin(\varphi),$$

$$z = r \cos(\theta).$$

Представим потенциал скоростей в виде суммы

$$U = U_1 + U_2,$$

где U_1 — потенциал потока при отсутствии шара, U_2 — потенциал возмущенного потока. Ясно, что

$$U_1 = -uz = -ur \cos(\theta),$$

где r — радиус-вектор точки, θ — меридиональный угол. Для потенциала U_2 будем иметь следующую задачу:

$$\Delta U_2 = 0, \quad r > a, \tag{4.104}$$

$$\left. \frac{\partial U_2}{\partial r} \right|_{r=a} = - \left. \frac{\partial U_1}{\partial r} \right|_{r=a} = u \cos(\theta), \quad U_2|_{r \rightarrow \infty} = O(1). \tag{4.105}$$

Уравнение Лапласа в сферических координатах имеет вид

$$\frac{\partial}{\partial r} \left(r^2 \frac{\partial U_2}{\partial r} \right) + \frac{1}{\sin(\theta)} \frac{\partial}{\partial \theta} \left(\sin(\theta) \frac{\partial U_2}{\partial \theta} \right) + \frac{1}{\sin^2(\theta)} \frac{\partial^2 U_2}{\partial \varphi^2} = 0. \quad (4.106)$$

Задача (4.104), (4.105) является внешней задачей Неймана для уравнения Лапласа, записанной в сферической системе координат. Из соображений симметрии ясно, что U_2 не зависит от угла φ , то есть $U_2 = U_2(r, \theta)$. Поэтому можно отбросить последнее слагаемое в (4.106) слева и искать решение задачи в виде

$$U_2(r, \theta) = R(r)V(\theta).$$

Переменные в (4.106) разделяются, и мы получаем два уравнения

$$V'' + \operatorname{ctg} \theta V' + \lambda V = 0, \quad (4.107)$$

$$r^2 R'' + 2rR' - \lambda R = 0. \quad (4.108)$$

Уравнение (4.108) относится к типу уравнений Эйлера. Ищем его решение в виде $R(r) = r^k$; тогда характеристическое уравнение имеет вид

$$k(k+1) - \lambda = 0. \quad (4.109)$$

С другой стороны, решениями уравнения (4.107) являются полиномы Лежандра

$$V(\theta) = P_n(\cos(\theta)),$$

и при этом имеем $\lambda = \lambda_n = n(n+1)$. Действительно, сделаем замену независимой переменной в (4.107) по формуле $x = \cos(\theta)$, $-1 \leq x \leq 1$, и обозначим $y(x) = V(\theta)$. Тогда

$$\begin{aligned} \frac{dV}{d\theta} &= \frac{dy}{dx} \frac{dx}{d\theta} = -\sin(\theta) \frac{dy}{dx}; \\ \frac{d^2V}{d\theta^2} &= \frac{d}{d\theta} \left(-\sin(\theta) \frac{dy}{dx} \right) = -\cos(\theta) \frac{dy}{dx} - \sin(\theta) \frac{d^2y}{dx^2} \frac{dx}{d\theta} = \\ &= -\cos(\theta) \frac{dy}{dx} + \sin^2(\theta) \frac{d^2y}{dx^2}. \end{aligned}$$

Таким образом, вместо (4.107) будем иметь

$$\sin^2(\theta) \frac{d^2y}{dx^2} - 2 \cos(\theta) \frac{dy}{dx} + \lambda y = 0,$$

или, учитывая, что $\sin^2(\theta) = 1 - x^2$, $\cos(\theta) = x$,

$$(1 - x^2)y'' - 2xy' + \lambda y = 0. \quad (4.110)$$

Уравнение (4.110) — уравнение Лежандра; его решениями, ограниченными в точках $x = \pm 1$, являются полиномы Лежандра $P_n(x)$, причем $\lambda = n(n+1)$.

Следовательно, из (4.109) по теореме Виета находим $k_1 = n$, $k_2 = -(n+1)$.

Решение внешней задачи, ограниченное на бесконечности, ищется в виде ряда

$$U_2(r, \theta) = \sum_{n=0}^{\infty} D_n r^{-(n+1)} P_n(\cos(\theta)).$$

Подставим этот ряд в (4.105)

$$\left. \frac{\partial U_2}{\partial r} \right|_{r=a} = \sum_{n=0}^{\infty} D_n (-n-1) a^{-(n+2)} P_n(\cos(\theta)) = u \cos(\theta).$$

Учитывая, что $P_1(\cos(\theta)) = \cos(\theta)$, приходим к выводу

$$D_1 = -\frac{ua^3}{2}; \quad D_n = 0, \quad n \neq 1.$$

Поэтому искомое течение определяется потенциалом скорости

$$U_2 = -\frac{ua^3 \cos(\theta)}{2r^2}.$$

Таким образом, потенциал обтекания шара поступательным потоком

$$U = -u \left(r + \frac{a^3}{2r^2} \right) \cos(\theta).$$

Заметим, что из вида граничного условия (4.105) и значения первого полинома Лежандра можно было сразу догадаться, что решение имеет вид

$$U_2 = R(r) \cos(\theta).$$

Подробное исследование проведено с целью выработки навыков решения задач с более сложными граничными условиями в сферической системе координат.

Вопросы к главе 4

1. Какие функции называются специальными функциями? Приведите примеры специальных функций.
2. Сформулируйте определение бета-функций с помощью несобственного интеграла.
3. Перечислите основные свойства бета-функции.
4. Сформулируйте определение гамма-функции с помощью несобственного интеграла.
5. Запишите формулу, выражающую связь между бета- и гамма-функциями.
6. Перечислите основные свойства гамма-функции.
7. Запишите уравнение Бесселя индекса ν .
8. Как можно построить частное решение уравнения Бесселя?
9. Какова область сходимости ряда, определяющего бесселеву функцию первого рода?
10. Каков вид общего решения уравнения Бесселя?
11. Почему возникла необходимость введения бесселевых функций второго рода?
12. Установите зависимость, существующую между функциями Бесселя индекса n и $-n$.
13. Сформулируйте определение функции Вебера.
14. Как определяются цилиндрические функции третьего рода (функции Ханкеля)?
15. Получите представление функции Вебера с целым индексом в виде ряда.

16. Получите рекуррентные формулы для функций Бесселя.
17. Получите интегральное представление для функции Бесселя.
18. Приведите примеры использования интегрального представления Пуассона.
19. Какие из цилиндрических функций выражаются через элементарные функции?
20. Какие функции асимптотически определяют цилиндрические функции при больших по модулю значениях аргумента?
21. Что такое модифицированные цилиндрические функции?
22. Напишите уравнение, решениями которого являются модифицированные цилиндрические функции.
23. Сформулируйте задачу Штурма—Лиувилля, связанную с цилиндрическими функциями.
24. Что вы можете сказать об ортогональности системы бесселевых функций?
25. Дайте вывод формулы для нормы бесселевых функций с нулевым индексом.
26. Запишите ряд Фурье—Бесселя функции $f(x)$ и выражения его коэффициентов. С какими граничными условиями связан ряд Фурье—Бесселя?
27. Запишите ряд Дини функции $f(x)$ и выражения его коэффициентов. С какими граничными условиями связан ряд Дини?
28. Сформулируйте условия, при которых справедливы ряды Фурье—Бесселя и Дини.
29. Дайте решение задачи о колебаниях круглой мембраны.
30. Дайте решение задачи Дирихле для цилиндра. Что можно сказать о характере сходимости получающихся рядов?
31. Какие специальные функции называются сферическими функциями?
32. Напишите уравнение, решениями которого являются полиномы Лежандра.
33. Напишите уравнение, решениями которого являются сферические функции Лежандра.
34. Напишите формулу Родрига для полиномов Лежандра.
35. Как связаны между собой любые два решения уравнения Лежандра? Напишите формулу.
36. Как определяется функция Лежандра второго рода? Напишите формулу.
37. Каков вид общего решения уравнения Лежандра?
38. Как ведут себя полиномы Лежандра и функции Лежандра второго рода в особых точках?
39. Какая функция является производящей функцией для системы полиномов Лежандра?
40. Приведите примеры применения производящей функции для полиномов Лежандра.
41. Получите рекуррентные формулы для полиномов Лежандра.
42. Сформулируйте задачу Штурма—Лиувилля, связанную с полиномами Лежандра.

43. Что вы можете сказать об ортогональности системы полиномов Лежандра?
 44. Дайте вывод формулы для нормы полиномов Лежандра.
 45. Сформулируйте теорему разложения функции в ряд по полиномам Лежандра.
 46. Дайте решение задачи об обтекании шара потоком идеальной жидкости.

Задачи с примерами решения¹

1. Воспользовавшись уравнением для функции $J_0(x)$, вычислить интегралы

$$\int_0^x x J_0(x) dx, \quad \int_0^x x^3 J_0(x) dx.$$

2. Вычислить (выразить через элементарные функции)

$$I_{\pm 1/2}(x), \quad K_{\pm 1/2}(x), \quad Y_{\pm 1/2}(x), \quad H_{\pm 1/2}^{(1)}, \quad H_{\pm 1/2}^{(2)}, \quad J_{3/2}(x), \quad J_{5/2}(x).$$

3. Вычислить по формуле Родрига $P_n(x)$ при $n = 4, 5, 6, 7$.
 4. Записать общее решение уравнений

$$x^2 y'' + xy' + (x^2 - 9)y = 0;$$

$$x^2 y'' + xy' + (x^2 - 4)y = 0;$$

$$y'' + \frac{1}{x} y' + \left(1 - \frac{3}{5x^2}\right) y = 0.$$

5. Написать уравнение, решениями которого были бы функции

$$\sqrt{\frac{2}{\pi x}} \sin(x), \quad \sqrt{\frac{2}{\pi x}} \cos(x).$$

6. Написать интегральное представление Пуассона функции $J_{-2}(x)$.
 7. Найти температуру круглого бесконечного цилиндра радиуса a при условии, что на его поверхности поддерживается температура, равная нулю, а начальная температура равна

$$u|_{t=0} = U_0 \left(1 - \frac{r^2}{a^2}\right).$$

8. Изучить осесимметричные колебания круглой мембраны радиуса a , вызванные ударным импульсом P , приложенным в момент $t = 0$ и распределенным по площади круга радиуса ε .

Указание: начальные условия задачи имеют вид (ρ — поверхностная плотность мембраны)

¹ Часть задач, требующих применения специальных функций, помещена в конце глав 5 и 6.

$$u|_{t=0} = 0, \quad \left. \frac{\partial u}{\partial t} \right|_{t=0} = \begin{cases} v_0 = \frac{P}{\pi \varepsilon^2 \rho}, & 0 \leq r < \varepsilon, \\ 0, & \varepsilon < r \leq a. \end{cases}$$

9. Дать общее решение задачи о колебаниях кольцевой мембраны, закрепленной по окружностям $r = a$ и $r = b$, при произвольных начальных условиях

$$u|_{t=0} = f(r), \quad \left. \frac{\partial u}{\partial t} \right|_{t=0} = g(r).$$

10. Исследовать свободные упругие поперечные колебания круглой плиты радиуса a с жестко закрепленным краем при произвольных начальных условиях

$$u|_{t=0} = f(r), \quad \left. \frac{\partial u}{\partial t} \right|_{t=0} = g(r).$$

11. На круглую мембрану, закрепленную по краю, действует внешняя гармоническая сила $q(x, t) = A\rho \sin(\omega t)$, непрерывно распределенная по всей площади мембраны. Проверить, что вынужденные колебания мембраны выражаются равенством (R — радиус мембраны)

$$u = \frac{A}{\omega^2} \left[\frac{J_0\left(\frac{\omega}{v} r\right)}{J_0\left(\frac{\omega}{v} R\right)} - 1 \right] \sin(\omega t).$$

12. Разложить в ряд по собственным функциям задачи Штурма—Лиувилля

$$\frac{d}{dx} \left(x \frac{dy}{dx} \right) + \lambda xy = 0, \quad y|_{x=a} = 0, \quad y|_{x=0} = O(1)$$

следующие функции: а) $f(x) = 1$; б) $f(x) = a^2 - x^2$.

13. Найти закон выравнивания заданного осесимметричного начального распределения температуры $u(r, 0) = f(r)$ в бесконечном цилиндре радиуса $r = a$, боковая поверхность которого не пропускает тепло.
14. Цилиндр радиуса a нагрет до температуры T_0 и охлаждается с поверхности таким образом, что ее температура, начиная с момента времени $t = 0$, поддерживается постоянной и равной нулю. Найти закон охлаждения цилиндра, считая, что распределение температуры во всех поперечных сечениях одинаково.
15. Найти температуру круглого бесконечного цилиндра радиуса a при условии, что на его поверхности происходит конвективный теплообмен со средой, температура которой равна нулю, а начальная температура равна $u|_{t=0} = f(r)$, $0 \leq r \leq a$. Рассмотреть, в частности, случай, когда $f(r) = U_0 \equiv \text{const}$.
16. Цилиндр с радиусом R и высотой h имеет во все время опыта температуру нижнего основания и боковой поверхности, равную 0°C , а температура верхнего основания есть определенная функция от r . Найти стационарную температуру внутренних точек цилиндра.

Указание: для решения задачи необходимо отыскать такой интеграл уравнения Лапласа, который удовлетворял бы условиям $u|_{r=0} = O(1)$, $u|_{z=0} = 0$, $u|_{z=h} = f(r)$, $0 < r < R$, $u|_{r=R} = 0$.

17. Решить задачу 16 в предположении, что боковая поверхность цилиндра покрыта непроницаемым для теплоты чехлом.

Указание: третье из пограничных условий, указанных в задаче 16, заменить следующим: $\left. \frac{\partial u}{\partial r} \right|_{r=R} = 0$.

18. Решить задачу 16 в предположении, что боковая поверхность цилиндра свободно охлаждается в воздух, имеющий температуру 0°C .

Указание: пограничное условие на боковой поверхности имеет вид условий третьего рода $\left. \frac{\partial u}{\partial r} + h_1 u \right|_{r=R} = 0$.

19. Центр круглой мембраны отклонен при $t = 0$ на малую высоту h . Начальные скорости точек мембраны равны нулю. Исследовать колебания мембраны.

Указание: начальные условия имеют вид $u|_{t=0} = h \left(1 - \frac{r^2}{a^2} \right)$, $\left. \frac{\partial u}{\partial t} \right|_{t=0} = 0$.

20. Цилиндр, радиус основания которого R и высота h имеет температуру обоих оснований, равную 0°C , а температура боковой поверхности есть данная функция от z . Найти стационарную температуру внутренних точек цилиндра.

21. Разложить функцию $f(x)$ на интервале $(-1, 1)$ в ряд Фурье по полиномам Лежандра, если

$$f(x) = \begin{cases} -1, & -1 \leq x \leq 0, \\ 1, & 0 < x \leq 1. \end{cases}$$

Примеры решения типовых задач

Пример 1. Разложить функцию $f(x) = 1 - \frac{x^2}{b^2}$ на отрезке $[0, b]$ в ряд по собственным функциям $y_n(x) = J_0\left(\frac{\alpha_n x}{b}\right)$, где α_n — n -й по величине нуль функции $J_0(x)$.

Решение. Функции $y_n(x) = J_0\left(\frac{\alpha_n x}{b}\right)$ являются собственными функциями краевой задачи (4.51)–(4.52), рассмотренной в разделе «Задача Штурма–Лиувилля, связанная с цилиндрическими функциями». Эти функции ортогональны на отрезке $[0, b]$ с весом $\rho(x) = x$, причем, как мы знаем, квадрат нормы

$$\left\| J_0\left(\frac{\alpha_n x}{b}\right) \right\|^2 = \int_0^b x J_0^2\left(\frac{\alpha_n x}{b}\right) dx = \frac{b^2}{2} J_1^2(\alpha_n).$$

Находим коэффициенты разложения

$$f(x) = 1 - \frac{x^2}{b^2} = \sum_{n=1}^{\infty} C_n J_0\left(\frac{\alpha_n x}{b}\right)$$

по формуле

$$C_n = \frac{2}{b^2 J_1^2(\alpha_n)} \int_0^b x f(x) J_0\left(\frac{\alpha_n x}{b}\right) dx.$$

Интеграл, стоящий справа в последней формуле, мы уже вычисляли (раздел «Задача о колебаниях круглой мембраны», формула (4.70) и далее). Таким образом, будем иметь

$$C_n = \frac{8}{\alpha_n^3 J_1(\alpha_n)},$$

и, следовательно,

$$1 - \frac{x^2}{b^2} = 8 \sum_{n=1}^{\infty} \frac{J_0\left(\frac{\alpha_n x}{b}\right)}{\alpha_n^3 J_1(\alpha_n)}.$$

Продемонстрируем, как этот пример решается в Maple. Задаем уравнение:

```
> eq:=diff(x*diff(y(x),x),x)+lambda*x*y(x)=0:
```

$$eq := \left(\frac{d}{dx} y(x)\right) + x \left(\frac{d^2}{dx^2} y(x)\right) + \lambda x y(x) = 0$$

Находим общее решение этого уравнения:

```
> res:=dsolve(eq,y(x)):
```

$$res := y(x) = _C1 \text{ BesselJ}(0, \sqrt{\lambda} x) + _C2 \text{ BesselY}(0, \sqrt{\lambda} x)$$

Так как ограниченной в нуле является только функция Бесселя первого рода, то полагаем в найденном решении $_C2 = 0$

```
> subs(_C2=0,rhs(res)):
```

$$_C1 \text{ BesselJ}(0, \sqrt{\lambda} x)$$

Таким образом, уравнение для определения собственных значений будет таким

```
> eq1:=%/_C1=0:
```

$$eq1 := \text{BesselJ}(0, \sqrt{\lambda} x) = 0$$

Пусть $\alpha_n, n = 1, 2, \dots$ — последовательные положительные корни уравнения $J_0(x) = 0$, тогда собственные значения будут $\lambda_n = \left(\frac{\alpha_n}{b}\right)^2, n = 1, 2, \dots$ Таким образом, основное уравнение для определения собственных значений будет:

```
> eq1:=subs(lambda^(1/2)*x=alpha,eq1):
```

$$eq1 := \text{BesselJ}(0, \alpha) = 0$$

Определяем теперь собственные функции:

```
> Yn:=(x,n)->BesselJ(0,alpha[n]*x/b):
```

$$Yn := (x, n) \rightarrow \text{BesselJ}\left(0, \frac{\alpha_n x}{b}\right)$$

Сделаем проверку. Проверяем дифференциальное уравнение:

```
> y:='y':Yn(x,n):
> simplify(subs(lambda=(alpha[n]/b)^2,y(x)=%,eq)):
```

$y := y$

$$\text{BesselJ}\left(0, \frac{\alpha_n x}{b}\right)$$

$0 = 0$

Проверяем граничное условие:

```
> subs(alpha=alpha[n].eq1):simplify(Yn(b.n),{%})=0:
```

$$\text{BesselJ}(0, \alpha_n) = 0$$

$0 = 0$

Все в порядке.

Проверим ортогональность собственных функций на отрезке $[0, b]$ с весом $\rho(x) = x$:

```
> assume(n.posint):assume(m.posint):
> Int(x*Yn(x,n)*Yn(x,m),x=0..b):
> intJ:=simplify(value(%)):
```

$$\int_0^b x \text{BesselJ}\left(0, \frac{\alpha_n x}{b}\right) \text{BesselJ}\left(0, \frac{\alpha_m x}{b}\right) dx$$

$$\text{intJ} := \frac{b^2 (\alpha_m \text{BesselJ}(0, \alpha_n) \text{BesselJ}(1, \alpha_m) - \alpha_n \text{BesselJ}(1, \alpha_n) \text{BesselJ}(0, \alpha_m))}{-\alpha_n^2 + \alpha_m^2}$$

Упростим результат с учетом характеристического уравнения:

```
> e1:=subs(alpha=alpha[n].eq1):
> e2:=subs(alpha=alpha[m].eq1):simplify(intJ,{e1,e2}):
```

$$e1 := \text{BesselJ}(0, \alpha_n) = 0$$

$$e2 := \text{BesselJ}(0, \alpha_m) = 0$$

0

Вычисляем норму собственных функций:

```
> Norma:=Int(x*Yn(x,n)^2,x=0..b):
> Norma:=simplify(value(Norma),{e1}):
```

$$\text{Norma} := \int_0^b x \text{BesselJ}\left(0, \frac{\alpha_n x}{b}\right)^2 dx$$

$$\text{Norma} := \frac{1}{2} b^2 \text{BesselJ}(1, \alpha_n)^2$$

Приступим теперь к разложению заданной функции на отрезке $[0, b]$. Определим функцию в Maple:

```
> f:=x->1-x^2/b^2;
```

$$f := x \rightarrow 1 - \frac{x^2}{b^2}$$

Вычислим коэффициенты разложения:

```
> Cn:=Int(x*f(x)*Yn(x,n),x=0..b)/Norma:
```

$$C_n := \frac{2}{b^2 \text{BesselJ}(1, \alpha_{n-})^2} \int_0^b x \left(1 - \frac{x^2}{b^2}\right) \text{BesselJ}\left(0, \frac{\alpha_{n-} x}{b}\right) dx$$

```
> Cn:=simplify(value(Cn),{e1});
```

$$C_n := \frac{8}{\text{BesselJ}(1, \alpha_{n-}) \alpha_{n-}^3}$$

```
> C:=unapply(Cn,n):
```

$$C := n \rightarrow \frac{8}{\text{BesselJ}(1, \alpha_{n-}) \alpha_{n-}^3}$$

И, наконец, запишем формулу разложения в виде суммы первых N членов ряда:

```
> F:=(x,N,alpha)->sum(C(n)*Yn(x,n),n=1..N):
```

$$F := (x, N, \alpha) \rightarrow \sum_{n=1}^N C(n) Y_n(x, n)$$

Проверим на численном примере полученный результат. Вычислим, например, первые десять корней функции Бесселя:

```
> N:=10:alpha:=array(1..N):
> s:=BesselJZeros(0, 1..N):evalf(s):
> seq(alpha[i]=%[i],i=1..N):assign(%):
```

$\alpha_1 = 2.404825558$, $\alpha_2 = 5.520078110$, $\alpha_3 = 8.653727913$, $\alpha_4 = 11.79153444$, $\alpha_5 = 14.93091771$,

$\alpha_6 = 18.07106397$, $\alpha_7 = 21.21163663$, $\alpha_8 = 24.35247153$, $\alpha_9 = 27.49347913$, $\alpha_{10} = 30.63460647$

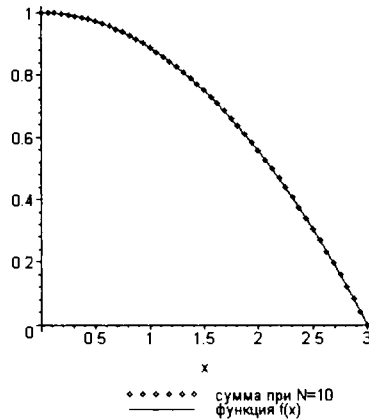
Зададим интервал разложения, например,

```
> b:=3:
```

```
b := 3
```

Построим графики функций:

```
> p1:=plot(f(x),x=0..b,color=black,legend='функция f(x)'):
> p2:=plot(F(x,N,alpha),x=0..b,color=black,style=point);
> legend=cat('сумма при N=',convert(N,string)):
> plots[display]({p1,p2}):
```



Пример 2. Решить уравнение колебаний круглой мембраны

$$\frac{1}{v^2} \frac{\partial^2 u}{\partial t^2} = \frac{\partial^2 u}{\partial r^2} + \frac{1}{r} \frac{\partial u}{\partial r} + \frac{1}{r^2} \frac{\partial^2 u}{\partial \varphi^2}$$

при краевом условии (мембрана закреплена по контуру)

$$u|_{r=b} = 0$$

и начальных условиях

$$u|_{t=0} = 0, \quad \left. \frac{\partial u}{\partial t} \right|_{t=0} = \left(1 - \frac{r^2}{b^2} \right).$$

Решение. Краевые и начальные условия не зависят от φ , можно ожидать, что и решение не будет зависеть от φ . Поэтому будем искать решение в виде $u(r, t) = R(r)T(t)$. Функции $R(r)$ являются при этом собственными функциями краевой задачи

$$r \frac{d^2 R}{dr^2} + \frac{dR}{dr} + \lambda r R = 0, \quad R(0) = O(1), \quad R(b) = 0.$$

Как было найдено в задаче (4.51)–(4.52), рассмотренной в разделе «Задача Штурма–Лиувилля, связанная с цилиндрическими функциями», собственные значения и собственные функции будут

$$\lambda_n = \left(\frac{\alpha_n}{b} \right)^2, \quad R_n(r) = J_0 \left(\frac{\alpha_n r}{b} \right), \quad n = 1, 2, \dots,$$

где α_n – n -й положительный корень уравнения $J_0(x) = 0$.

Функция $T(t)$ удовлетворяет уравнению

$$\frac{d^2 T}{dt^2} + \lambda v^2 T(t) = 0$$

при $\lambda = \lambda_n$, общее решение которого имеет вид

$$T_n(t) = A_n \cos\left(\frac{\alpha_n v}{b} t\right) + B_n \sin\left(\frac{\alpha_n v}{b} t\right).$$

Очевидно, $A_n = 0, \forall n$, так как при $t = 0$ должно быть $u(r, 0) = 0$. Таким образом, получаем решение задачи в виде

$$u(r, t) = \sum_{n=1}^{\infty} B_n \sin\left(\frac{\alpha_n v}{b} t\right) J_0\left(\frac{\alpha_n r}{b}\right),$$

причем коэффициенты разложения вычисляются по формуле (см. пример 1)

$$B_n = \frac{b}{v \alpha_n \left\| J_0\left(\frac{\alpha_n r}{b}\right) \right\|^2} \int_0^b r \left(1 - \frac{r^2}{b^2}\right) J_0\left(\frac{\alpha_n r}{b}\right) dr = \frac{b}{v \alpha_n} \frac{8}{\alpha_n^3 J_1(\alpha_n)}.$$

Таким образом, окончательно получаем

$$u(r, t) = \frac{8b}{v} \sum_{n=1}^{\infty} \frac{1}{\alpha_n^4 J_1(\alpha_n)} \sin\left(\frac{\alpha_n v}{b} t\right) J_0\left(\frac{\alpha_n r}{b}\right).$$

Пример 3. В качестве примера приложения полиномов Лежандра рассмотрим задачу о колебаниях однородной струны длиной l , закрепленной одним своим концом на неподвижной опоре и могущей свободно вращаться около точки опоры [13, с. 205 и далее]. Если мы пренебрежем силой тяжести и сопротивлением воздуха, то положение равновесия струны будет изображаться прямой линией, вращающейся в плоскости, проходящей через точку опоры, с постоянной угловой скоростью ω (рис. 4.9).

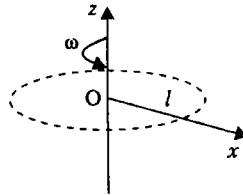


Рис. 4.9. Вращающаяся струна

Струна может колебаться около этого положения равновесия, если она будет из него выведена. При изучении колебаний мы можем отвлечься от равномерного движения линии равновесия и рассматривать только смещения u струны от линии равновесия. Смещение является функцией времени t и расстояния от точки опоры x : $u = u(x, t)$. При этом будем считать, что u перпендикулярно к плоскости вращения струны (параллельно оси Oz).

В случае вращающейся струны мы должны найти ускорение точки, представленное суммой двух векторов: одного постоянной длины x и другого (перпендикулярного к x) переменной длины u . Оба эти вектора вращаются с угловой скоростью ω . Ускорение точки будет $-\omega^2 x$ вдоль оси Ox и $\partial^2 u / \partial t^2$ вдоль оси Ou . Сила, действующая на элемент длины dx струны на расстоянии x от неподвижной опоры, равна $\rho dx \cdot \omega^2 x$, где ρ — плотность струны.

Натяжение в точке x будет определяться суммой сил, действующих на все элементы струны от точки x до наружного ее конца:

$$T(x) = \int_x^l \rho \omega^2 x \, dx = \frac{\rho \omega^2}{2} (l^2 - x^2).$$

Отсюда нетрудно получить и уравнение свободных колебаний вращающейся струны, а именно

$$\begin{aligned} \rho dx \frac{\partial^2 u}{\partial t^2} &= \left[\frac{\rho \omega^2}{2} (l^2 - x^2) \frac{\partial u}{\partial x} \right] \Big|_{x+dx} - \left[\frac{\rho \omega^2}{2} (l^2 - x^2) \frac{\partial u}{\partial x} \right] \Big|_x = \\ &= \frac{\rho \omega^2}{2} \frac{\partial}{\partial x} \left[(l^2 - x^2) \frac{\partial u}{\partial x} \right] dx \end{aligned}$$

или

$$\frac{\partial^2 u}{\partial t^2} = v^2 \frac{\partial}{\partial x} \left[(l^2 - x^2) \frac{\partial u}{\partial x} \right], \quad v^2 = \frac{\omega^2}{2}. \quad (4.111)$$

Мы решим поставленную задачу о малых колебаниях вращающейся струны, если найдем решение уравнения (4.111), удовлетворяющее граничному условию

$$u|_{x=0} = 0 \quad (4.112)$$

и начальным условиям

$$u|_{t=0} = f(x), \quad \frac{\partial u}{\partial t} \Big|_{t=0} = F(x). \quad (4.113)$$

Будем искать частные решения уравнения (4.111) в виде

$$u(x, t) = X(x)T(t).$$

Подставляя последнюю формулу в (4.111), имеем

$$\frac{T''}{v^2 T} = \frac{[(l^2 - x^2)X']'}{X}.$$

Обозначая обе части последнего равенства через $-\lambda$, получим два обыкновенных дифференциальных уравнения

$$[(l^2 - x^2)X']' + \lambda X = 0, \quad (4.114)$$

$$T'' + \lambda v^2 T = 0. \quad (4.115)$$

Удобно перейти к безразмерным координатам. Полагая $x = l\xi$, преобразуем уравнение (4.114) к виду

$$\frac{d}{d\xi} \left[(1 - \xi^2) \frac{dX}{d\xi} \right] + \lambda X = 0, \quad (4.116)$$

Уравнение (4.116) есть уравнение Лежандра.

По физическому смыслу смещение струны $u(x, t)$ должно оставаться ограниченным в интервале $[0, l]$. Мы знаем, что при $\lambda = n(n+1)$, где n — целое положительное число, уравнение Лежандра (4.116) в интервале $[-1, 1]$ имеет решение, ограниченное в точках $\xi = \pm 1$. Это решение есть полином Лежандра $P_n(\xi)$. Следовательно, возвращаясь к переменной x , мы можем утверждать, что

$$X(x) = P_n\left(\frac{x}{l}\right)$$

есть решение уравнения (4.114), ограниченное в точках $x = \pm l$ при $\lambda = n(n+1a)$.

Удовлетворяя условию (4.112), получим

$$P_n(0) = 0.$$

Последнее возможно, когда $n = 2k - 1$, где k — целое положительное число.

Таким образом, нетривиальные решения уравнения (4.114) при граничных условиях $X(0) = 0$, $X(l) = O(1)$ возможны лишь при значениях $\lambda_k = 2k(2k-1)$, $k = 1, 2, 3, \dots$ Этим собственным числам соответствуют собственные функции

$$X_k(x) = P_{2k-1}\left(\frac{x}{l}\right),$$

которые образуют ортогональную систему функций на отрезке $[0, l]$.

При $\lambda = \lambda_k$ общее решение уравнения (4.115) имеет вид

$$T_k(t) = A_k \cos(\sqrt{2k(2k-1)}vt) + B_k \sin(\sqrt{2k(2k-1)}vt).$$

Таким образом, совокупность частных решений исходного уравнения (4.111) имеет вид

$$u_k(x, t) = [A_k \cos(\sqrt{2k(2k-1)}vt) + B_k \sin(\sqrt{2k(2k-1)}vt)] P_{2k-1}\left(\frac{x}{l}\right).$$

Каждая из этих функций удовлетворяет уравнению (4.111) и граничному условию (4.112) при любых A_k и B_k . Для решения задачи составляем ряд

$$u(x, t) = \sum_{k=1}^{\infty} [A_k \cos(\sqrt{2k(2k-1)}vt) + B_k \sin(\sqrt{2k(2k-1)}vt)] P_{2k-1}\left(\frac{x}{l}\right) \quad (4.117)$$

и требуем, чтобы выполнялись начальные условия (4.113)

$$u(x, 0) = \sum_{k=1}^{\infty} A_k P_{2k-1}\left(\frac{x}{l}\right) = f(x), \quad (4.118)$$

$$\frac{\partial u(x, 0)}{\partial t} = \sum_{k=1}^{\infty} \sqrt{2k(2k-1)}v B_k P_{2k-1}\left(\frac{x}{l}\right) = F(x).$$

Предполагая, что ряд (4.118) сходится равномерно, мы можем определить коэффициенты разложения A_k , умножив обе части равенства (4.118) на $P_{2k-1}\left(\frac{x}{l}\right)$ и проинтегрировав по интервалу $[0, l]$. Тогда, принимая во внимание ортогональность собственных функций, получим

$$\int_0^l f(x) P_{2k-1}\left(\frac{x}{l}\right) dx = A_k \int_0^l P_{2k-1}^2\left(\frac{x}{l}\right) dx = \frac{l A_k}{2} \int_{-1}^1 P_{2k-1}^2(\xi) d\xi = \frac{l A_k}{4k-1}.$$

Откуда

$$A_k = \frac{4k-1}{l} \int_0^l f(x) P_{2k-1}\left(\frac{x}{l}\right) dx. \quad (4.119)$$

Аналогично найдем

$$B_k = \frac{4k-1}{vl\sqrt{2k(2k-1)}} \int_0^l f(x) P_{2k-1}\left(\frac{x}{l}\right) dx. \quad (4.120)$$

Таким образом, решение задачи дается рядом (4.117), где коэффициенты A_k и B_k определяются формулами (4.119) и (4.120).

Переписав решение (4.117) в виде

$$u(x, t) = \sum_{k=1}^{\infty} A_k \sin(\sqrt{2k(2k-1)}vt + \varphi_k) P_{2k-1}\left(\frac{x}{l}\right),$$

мы видим, что малые колебания вращающейся струны слагаются из гармонических колебаний. Частота колебаний ω_k k -го обертона выражается формулой

$$\omega_k = \sqrt{2k(2k-1)}v = \sqrt{k(2k-1)}\omega.$$

Отсюда следует, что частоты колебаний зависят от угловой скорости ω и не зависят от длины струны и ее плотности, пока плотность постоянна. При увеличении длины или плотности увеличивается масса струны, которая стремится понизить частоту колебаний; при этом также увеличивается натяжение, что должно вызывать повышение частоты. Эти два фактора компенсируют друг друга.

Пример 4. Исследовать упругие поперечные колебания круглой плиты радиуса a с закрепленным краем при произвольных начальных условиях

$$u|_{r=0} = f(r), \quad \frac{\partial u}{\partial t}\Big|_{r=0} = g(r).$$

Решение. Задача сводится к интегрированию уравнения колебаний плиты в полярных координатах

$$\frac{1}{r} \frac{\partial}{\partial r} \left\{ r \frac{\partial}{\partial r} \left[\frac{1}{r} \frac{\partial}{\partial r} \left(r \frac{\partial u}{\partial r} \right) \right] \right\} + \frac{1}{b^4} \frac{\partial^2 u}{\partial t^2} = 0, \quad b = \frac{D}{\rho h}, \quad 0 \leq r < a, \quad t > 0,$$

с заданными начальными условиями и с краевыми условиями

$$u|_{r=a} = 0, \quad \frac{\partial u}{\partial r}\Big|_{r=a} = 0.$$

Здесь D — цилиндрическая жесткость плиты, ρ — плотность материала плиты, h — толщина плиты.

Для решения задачи используем систему Maple.

```
> restart:with(linalg):
```

Задаем уравнение поперечных колебаний плиты в полярных координатах

```
> eq:=collect
> (laplacian(laplacian(u(r,t),[r,phi],coords=polar).
> [r,phi],coords=polar),r)+diff(u(r,t),t,t)/b^4=0;
```

$$eq := \left(\frac{\partial^4}{\partial r^4} u(r, t) \right) + \frac{2 \left(\frac{\partial^3}{\partial r^3} u(r, t) \right)}{r} - \frac{\frac{\partial^2}{\partial r^2} u(r, t)}{r^2} + \frac{\frac{\partial}{\partial r} u(r, t)}{r^3} + \frac{\frac{\partial^2}{\partial t^2} u(r, t)}{b^4} = 0$$

Задаем начальные и граничные условия

```
> init_c:=u(r,0)=f(r),D[2](u)(r,0)=g(r):
      init_c := u(r, 0) = f(r), D2(u)(r, 0) = g(r)
> bound_c:=u(a,t) = 0,D[1](u)(a,t)=0:
      bound_c := u(a, t) = 0, D1(u)(a, t) = 0
> ic1:=rhs(init_c[1]):ic2:=rhs(init_c[2]):dp:=rhs(eq):
      ic1 := f(r)
      ic2 := g(r)
      dp := 0
```

Разделяем переменные в исходном уравнении

```
> pde_sol:=pdsolve(eq,u(r,t),HINT=R(r)*T(t)):
pde_sol := (u(r, t) = R(r) T(t)) &where
```

$$\left[\left\{ \frac{d^2}{dt^2} T(t) = -T(t) b^4 _c1, \frac{d^4}{dr^4} R(r) = R(r) _c1 - \frac{2 \left(\frac{d^3}{dr^3} R(r) \right) r^2 - \left(\frac{d^2}{dr^2} R(r) \right) r + \left(\frac{d}{dr} R(r) \right)}{r^3} \right\} \right]$$

```
> eq1:=op(1,op(1,op(2,pde_sol))):
> eq2:=op(2,op(1,op(2,pde_sol))):
```

$$eq1 := \frac{d^4}{dr^4} R(r) = R(r) _c1 - \frac{2 \left(\frac{d^3}{dr^3} R(r) \right) r^2 - \left(\frac{d^2}{dr^2} R(r) \right) r + \left(\frac{d}{dr} R(r) \right)}{r^3}$$

$$eq2 := \frac{d^2}{dt^2} T(t) = -T(t) b^4 _c1$$

Формулируем соответствующую задачу Штурма—Лиувилля

```
> eq1:=subs(_c1]=lambda,eq1):s1:=R(a)=0:s2:=D(R)(a)=0:
```

$$eq1 := \frac{d^4}{dr^4} R(r) = R(r) \lambda - \frac{2 \left(\frac{d^3}{dr^3} R(r) \right) r^2 - \left(\frac{d^2}{dr^2} R(r) \right) r + \left(\frac{d}{dr} R(r) \right)}{r^3}$$

$$s1 := R(a) = 0$$

$$s2 := D(R)(a) = 0$$

Решаем эту задачу. Сначала находим общее решение уравнения Штурма—Лиувилля

```
> assume(lambda>0):res1:=dsolve(eq1,R(r)):
res1 := R(r) = _C1 BesselJ(0, lambda^(1/4) r) + _C2 BesselY(0, lambda^(1/4) r) + _C3 BesselI(0, lambda^(1/4) r)
      + _C4 BesselK(0, lambda^(1/4) r)
```

Выбираем ограниченное в нуле решение

```
> R:=unapply(subs(_C2=0,_C4=0,rhs(res1)),r):
      R := r -> _C1 BesselJ(0, lambda^(1/4) r) + _C3 BesselI(0, lambda^(1/4) r)
```

Формируем систему пограничных уравнений и находим ее определитель

> sist:={s1.s2}:

$$\begin{aligned} \text{sist} := \{ & _C1 \text{BesselJ}(0, \lambda \sim^{(1/4)} a) + _C3 \text{BesselI}(0, \lambda \sim^{(1/4)} a) = 0, \\ & -_C1 \text{BesselJ}(1, \lambda \sim^{(1/4)} a) \lambda \sim^{(1/4)} + _C3 \text{BesselI}(1, \lambda \sim^{(1/4)} a) \lambda \sim^{(1/4)} = 0 \} \end{aligned}$$

> genmatrix(sist, {_C1, _C3}):

$$\begin{bmatrix} -\text{BesselJ}(1, \lambda \sim^{(1/4)} a) \lambda \sim^{(1/4)} & \text{BesselI}(1, \lambda \sim^{(1/4)} a) \lambda \sim^{(1/4)} \\ \text{BesselJ}(0, \lambda \sim^{(1/4)} a) & \text{BesselI}(0, \lambda \sim^{(1/4)} a) \end{bmatrix}$$

> Delta:=det(%):

$$\begin{aligned} \Delta := & -\text{BesselJ}(1, \lambda \sim^{(1/4)} a) \lambda \sim^{(1/4)} \text{BesselI}(0, \lambda \sim^{(1/4)} a) \\ & - \text{BesselI}(1, \lambda \sim^{(1/4)} a) \lambda \sim^{(1/4)} \text{BesselJ}(0, \lambda \sim^{(1/4)} a) \end{aligned}$$

Пусть μ_k положительные корни уравнения $\Delta = 0$. Найдем соответствующие собственные функции

> sist[1]:_C3:=solve(sist[1],_C3):

$$_C1 \text{BesselJ}(0, \lambda \sim^{(1/4)} a) + _C3 \text{BesselI}(0, \lambda \sim^{(1/4)} a) = 0$$

$$_C3 := -\frac{_C1 \text{BesselJ}(0, \lambda \sim^{(1/4)} a)}{\text{BesselI}(0, \lambda \sim^{(1/4)} a)}$$

> simplify(-R(r)):

$$\frac{_C1 (-\text{BesselJ}(0, \lambda \sim^{(1/4)} r) \text{BesselI}(0, \lambda \sim^{(1/4)} a) + \text{BesselJ}(0, \lambda \sim^{(1/4)} a) \text{BesselI}(0, \lambda \sim^{(1/4)} r))}{\text{BesselI}(0, \lambda \sim^{(1/4)} a)}$$

> subs(lambda^(1/4)=mu[k]/a.op(2,%)):

$$-\text{BesselJ}\left(0, \frac{\mu_k r}{a}\right) \text{BesselI}(0, \mu_k) + \text{BesselJ}(0, \mu_k) \text{BesselI}\left(0, \frac{\mu_k r}{a}\right)$$

Таким образом, собственные функции и собственные значения задачи Штурма–Лиувилля есть

> ef:=unapply(-%,k,r):ev:=k->(mu[k]/a)^4:

$$ef := (k, r) \rightarrow \text{BesselJ}\left(0, \frac{\mu_k r}{a}\right) \text{BesselI}(0, \mu_k) - \text{BesselJ}(0, \mu_k) \text{BesselI}\left(0, \frac{\mu_k r}{a}\right)$$

$$ev := k \rightarrow \frac{\mu_k^4}{a^4}$$

Определим норму собственных функций

> assume(a>0):

> Norma:=int(r*ef(k,r)^2,r=0..a):

$$\text{Norma} := \int_0^a r \left(\text{BesselJ}\left(0, \frac{\mu_k r}{a}\right) \text{BesselI}(0, \mu_k) - \text{BesselJ}(0, \mu_k) \text{BesselI}\left(0, \frac{\mu_k r}{a}\right) \right)^2 dr$$

К сожалению, Maple не справился с вычислением этого интеграла. Попробуем упростить наши вычисления. Разобьем подынтегральную функцию на отдельные слагаемые и попытаемся вычислить интегралы от этих слагаемых по отдельности. Выпишем характеристическое уравнение (с его помощью мы будем упрощать вычисления)

```
> subs(lambda^(1/4)=mu[k]/a.Delta):
> q1:=simplify(-%*a/mu[k])=0:
```

$$\frac{\text{BesselJ}(1, \mu_k) \mu_k \text{BesselI}(0, \mu_k)}{a\sim} - \frac{\text{BesselI}(1, \mu_k) \mu_k \text{BesselJ}(0, \mu_k)}{a\sim}$$

$$q1 := \text{BesselJ}(1, \mu_k) \text{BesselI}(0, \mu_k) + \text{BesselI}(1, \mu_k) \text{BesselJ}(0, \mu_k) = 0$$

Раскрываем теперь выражение для квадрата собственной функции

```
> z:=expand(ef(k,r)^2):
```

$$z := \text{BesselJ}\left(0, \frac{\mu_k r}{a\sim}\right)^2 \text{BesselI}(0, \mu_k)^2 - 2 \text{BesselJ}\left(0, \frac{\mu_k r}{a\sim}\right) \text{BesselI}(0, \mu_k) \text{BesselJ}(0, \mu_k) \text{BesselI}\left(0, \frac{\mu_k r}{a\sim}\right) \\ + \text{BesselJ}(0, \mu_k)^2 \text{BesselI}\left(0, \frac{\mu_k r}{a\sim}\right)^2$$

Вычисляем интегралы от полученных трех слагаемых по отдельности

```
> N1:=int(r*op(1,z),r=0..a):
> N2:=int(r*op(2,z),r=0..a):
> N3:=int(r*op(3,z),r=0..a):
```

$$N1 := \frac{1}{2} \frac{a\sim^2 \text{BesselI}(0, \mu_k)^2 (\sqrt{\pi} \mu_k^2 \text{BesselJ}(0, \mu_k)^2 + \sqrt{\pi} \mu_k^2 \text{BesselJ}(1, \mu_k)^2)}{\mu_k^2 \sqrt{\pi}}$$

$$N2 := \int_0^{a\sim} -2 r \text{BesselJ}\left(0, \frac{\mu_k r}{a\sim}\right) \text{BesselI}(0, \mu_k) \text{BesselJ}(0, \mu_k) \text{BesselI}\left(0, \frac{\mu_k r}{a\sim}\right) dr$$

$$N3 := \frac{-\frac{1}{2} I a\sim^2 \text{BesselJ}(0, \mu_k)^2 (\sqrt{\pi} \mu_k \text{BesselI}(0, \mu_k)^2 I - \sqrt{\pi} \mu_k \text{BesselI}(1, \mu_k)^2 I)}{\sqrt{\pi} \mu_k}$$

Второй интеграл опять не удалось вычислить. Упростим полученные интегралы с учетом характеристического уравнения

```
> N1:=simplify(N1,{q1}):
```

$$N1 := \frac{1}{2} \text{BesselI}(0, \mu_k)^2 a\sim^2 \text{BesselJ}(0, \mu_k)^2 + \frac{1}{2} a\sim^2 \text{BesselI}(1, \mu_k)^2 \text{BesselJ}(0, \mu_k)^2$$

```
> N3:=simplify(N3,{q1}):
```

$$N3 := \frac{1}{2} \text{BesselI}(0, \mu_k)^2 a\sim^2 \text{BesselJ}(0, \mu_k)^2 - \frac{1}{2} a\sim^2 \text{BesselI}(1, \mu_k)^2 \text{BesselJ}(0, \mu_k)^2$$

```
> simplify(N1+N3,{q1}):
```

$$\text{Bessel}(0, \mu_k)^2 a^{-2} \text{BesselJ}(0, \mu_k)^2$$

> N2:=simplify(N2/Bessel(0,mu[k])/BesselJ(0,mu[k])/2):

$$N2 := - \int_0^{a\sim} r \text{BesselJ}\left(0, \frac{\mu_k r}{a\sim}\right) \text{Bessel}\left(0, \frac{\mu_k r}{a\sim}\right) dr$$

Второй интеграл по-прежнему неизвестен. Можно доказать, что этот интеграл будет равен нулю. Таким образом, норма определяется по формуле

> Norma:=simplify(N1+N3.{q1}):

$$\text{Norma} := \text{Bessel}(0, \mu_k)^2 a^{-2} \text{BesselJ}(0, \mu_k)^2$$

Решаем теперь второе уравнение

> subs(_c[1]=lambda,eq2):

$$\frac{d^2}{dt^2} T(t) = -T(t) b^4 \lambda\sim$$

> res2:=dsolve(%T(t)):

$$\text{res2} := T(t) = _C1 \sin(\sqrt{\lambda\sim} b^2 t) + _C2 \cos(\sqrt{\lambda\sim} b^2 t)$$

> T:=unapply(

> subs(lambda^(1/2)=(mu[k]/a)^2.

> _C1=C1(k), _C2=C2(k), rhs(res2)).k,t):

$$T := (k, t) \rightarrow C1(k) \sin\left(\frac{\mu_k^2 b^2 t}{a\sim^2}\right) + C2(k) \cos\left(\frac{\mu_k^2 b^2 t}{a\sim^2}\right)$$

Таким образом, решение нашей задачи строим в виде ряда

> spr:=Sum(T(k,t)*ef(k,r),k=1..infinity):

$$\text{spr} := \sum_{k=1}^{\infty} \left(C1(k) \sin\left(\frac{\mu_k^2 b^2 t}{a\sim^2}\right) + C2(k) \cos\left(\frac{\mu_k^2 b^2 t}{a\sim^2}\right) \right) \\ \left(-\text{BesselJ}\left(0, \frac{\mu_k r}{a\sim}\right) \text{BesselI}(0, \mu_k) + \text{BesselJ}(0, \mu_k) \text{Bessel}\left(0, \frac{\mu_k r}{a\sim}\right) \right)$$

Для определения коэффициентов разложения мы имеем задачу

> e1:=value(subs(t=0,spr))=ic1:

$$e1 := \sum_{k=1}^{\infty} C2(k) \left(-\text{BesselJ}\left(0, \frac{\mu_k r}{a\sim}\right) \text{BesselI}(0, \mu_k) + \text{BesselJ}(0, \mu_k) \text{Bessel}\left(0, \frac{\mu_k r}{a\sim}\right) \right) = f(r)$$

> diff(spr,t):e2:=value(subs(t=0,%))=ic2:

$$e2 := \sum_{k=1}^{\infty} \frac{C1(k) \mu_k^2 b^2 \left(-\text{BesselJ}\left(0, \frac{\mu_k r}{a\sim}\right) \text{BesselI}(0, \mu_k) + \text{BesselJ}(0, \mu_k) \text{Bessel}\left(0, \frac{\mu_k r}{a\sim}\right) \right)}{a\sim^2} = g(r)$$

Откуда находим

> C2:=unapply(int(ic1*r*ef(k,r),r=0..a)/Norma,k).

$$C2 := k \rightarrow \frac{1}{a^2 \text{Bessel}(0, \mu_k)^2 \text{BesselJ}(0, \mu_k)^2}$$

$$\int_0^{a\sim} f(r) r \left(-\text{BesselJ}\left(0, \frac{\mu_k r}{a\sim}\right) \text{Bessel}(0, \mu_k) + \text{BesselJ}(0, \mu_k) \text{Bessel}\left(0, \frac{\mu_k r}{a\sim}\right) \right) dr$$

> C1:=unapply(

> int(ic2*r*ef(k,r),r=0..a)*a^2/b^2/mu[k]^2/Norma,k):

$$C1 := k \rightarrow \frac{1}{b^2 \mu_k^2 \text{Bessel}(0, \mu_k)^2 \text{BesselJ}(0, \mu_k)^2}$$

$$\int_0^{a\sim} g(r) r \left(-\text{BesselJ}\left(0, \frac{\mu_k r}{a\sim}\right) \text{Bessel}(0, \mu_k) + \text{BesselJ}(0, \mu_k) \text{Bessel}\left(0, \frac{\mu_k r}{a\sim}\right) \right) dr$$

Окончательно получаем

> sol:=spr:

$$sol := \sum_{k=1}^{\infty} \left(\frac{\sin\left(\frac{\mu_k^2 b^2 t}{a^2}\right)}{b^2 \mu_k^2 \text{Bessel}(0, \mu_k)^2 \text{BesselJ}(0, \mu_k)^2} \right)$$

$$\int_0^{a\sim} g(r) r \left(-\text{BesselJ}\left(0, \frac{\mu_k r}{a\sim}\right) \text{Bessel}(0, \mu_k) + \text{BesselJ}(0, \mu_k) \text{Bessel}\left(0, \frac{\mu_k r}{a\sim}\right) \right) dr +$$

$$\frac{\cos\left(\frac{\mu_k^2 b^2 t}{a^2}\right)}{a^2 \text{Bessel}(0, \mu_k)^2 \text{BesselJ}(0, \mu_k)^2}$$

$$\left(\int_0^{a\sim} f(r) r \left(-\text{BesselJ}\left(0, \frac{\mu_k r}{a\sim}\right) \text{Bessel}(0, \mu_k) + \text{BesselJ}(0, \mu_k) \text{Bessel}\left(0, \frac{\mu_k r}{a\sim}\right) \right) dr \right)$$

$$\left(-\text{BesselJ}\left(0, \frac{\mu_k r}{a\sim}\right) \text{Bessel}(0, \mu_k) + \text{BesselJ}(0, \mu_k) \text{Bessel}\left(0, \frac{\mu_k r}{a\sim}\right) \right)$$

Итак, решение нашей задачи имеет вид

$$u(r,t) = \frac{1}{a^2} \sum_{n=1}^{\infty} \frac{R_{\mu_n}(r)}{I_0^2(\mu_n) J_0^2(\mu_n)} \left[\cos\left(\frac{\mu_n^2 b^2 t}{a^2}\right) \int_0^a r f(r) R_{\mu_n}(r) dr + \right.$$

$$+ \frac{a^2}{\mu_n^2 b^2} \sin\left(\frac{\mu_n^2 b^2 t}{a^2}\right) \int_0^a r g(r) R_{\mu_n}(r) dr \Bigg],$$

$$R_{\mu_n}(r) = I_0(\mu_n) J_0\left(\frac{\mu_n r}{a}\right) - J_0(\mu_n) I_0\left(\frac{\mu_n r}{a}\right),$$

где μ_n — положительные корни уравнения

$$I_1(\mu) J_0(\mu) + J_1(\mu) I_0(\mu) = 0.$$

Покажем теперь, как можно найти норму собственных функций. Значение интеграла

$$\int_0^a r R_{\mu_n}^2(r) dr$$

может быть найдено из соотношения

$$\int_0^a r R_{\mu_n}^2(r) dr = \frac{a^6}{4} \left\{ \left(\frac{d^2 R_{\mu_n}}{dr^2} \right)^2 - \frac{dR_{\mu_n}}{dr} \frac{d}{dr} \left[\frac{1}{r} \frac{d}{dr} \left(r \frac{dR_{\mu_n}}{dr} \right) \right] - \frac{1}{\mu_n} \frac{dR_{\mu_n}}{dr} \frac{d^2 R_{\mu_n}}{dr^2} - \frac{dR_{\mu_n}}{dr} \frac{d^3 R_{\mu_n}}{dr^3} \right\} \Bigg|_{x=a},$$

которое принимает вид

$$\int_0^a r R_{\mu_n}^2(r) dr = \frac{a^6}{4} \left(\frac{d^2 R_{\mu_n}}{dr^2} \right)^2 = a^2 I_0^2(\mu_n) J_0^2(\mu_n).$$

Указанное соотношение может быть получено с использованием уравнения, которому удовлетворяют функции, точно так же, как была получена формула (4.65). Читателю мы предоставляем возможность проделать все необходимые выкладки самостоятельно. Отметим, что, например, в системе аналитических вычислений Mathematica 4 норма наших собственных функций вычисляется.

5 Неоднородные задачи математической физики

До сих пор мы рассматривали *однородные задачи* математической физики с разделяющимися переменными: основное разрешающее уравнение задачи и обязательно дополнительные условия (начальные или граничные условия) по одной из переменных были однородными.

В этой главе мы приступаем к изучению методов решения *неоднородных задач* математической физики с разделяющимися переменными.

Неоднородные задачи характерны тем, что они описываются неоднородным уравнением и неоднородными дополнительными условиями — граничными или начальными условиями. Это означает, что правые части уравнений — не нули, а заданные функции. Левые части уравнений сохраняют структуру однородной задачи. Ясно, что к таким задачам метод Фурье разделения переменных неприменим.

Для решения неоднородных задач служат два метода:

- метод приведения к однородной задаче;
- метод Гринберга, или метод конечных интегральных преобразований.

Метод приведения к однородной задаче

Рассмотрим применение метода приведения к однородной задаче на примерах. Сущность метода заключается в том, что искомая функция представляется в виде суммы двух функций $u = u_1 + u_2$, причем одна из них подбирается так, чтобы уравнение для нее и граничные условия по одной из переменных были однородными. Этот метод требует применения искусственных приемов. Его целесообразно использовать в простых случаях, когда легко бывает выделить частное решение.

Задача о распределении температуры в бесконечной пластине

Рассмотрим бесконечную по координатам y и z пластину толщины a (рис. 5.1).

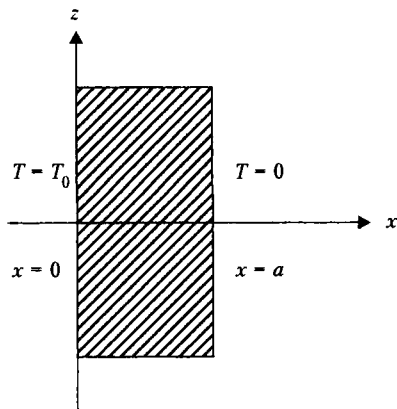


Рис. 5.1. Задача о распределении температуры в пластине

Пусть задано начальное распределение температуры; одна стенка пластины $x = 0$ поддерживается при постоянной температуре T_0 , другая $x = a$ — при нулевой температуре. Требуется найти закон распределения температуры в пластине.

Математическая формулировка задачи:

$$\frac{\partial^2 T}{\partial x^2} - \frac{\partial T}{\partial \tau} = 0, \quad 0 < x < a, \quad \tau = \frac{kt}{c\rho}, \quad \tau > 0, \quad (5.1)$$

$$T|_{x=0} = T_0, \quad T|_{x=a} = 0, \quad (5.2)$$

$$T|_{\tau=0} = \varphi(x). \quad (5.3)$$

Будем искать решение задачи (5.1)–(5.3) в виде

$$T = T_1(x) + T_2(x, \tau).$$

Функцию $T_1(x)$ выбираем так, чтобы она удовлетворяла уравнению (5.1) и граничным условиям (5.2). Тогда будем иметь следующую задачу для определения функции $T_1(x)$:

$$\frac{\partial^2 T_1}{\partial x^2} = 0, \quad T_1|_{x=0} = T_0, \quad T_1|_{x=a} = 0. \quad (5.4)$$

Решением задачи (5.4), очевидно, будет функция

$$T_1(x) = T_0 \left(1 - \frac{x}{a} \right),$$

которая описывает стационарное распределение температуры. (Проверьте!)

Для определения функции $T_2(x, \tau)$ будем иметь следующую *однородную* задачу:

$$\frac{\partial^2 T_2}{\partial x^2} - \frac{\partial T_2}{\partial \tau} = 0, \tag{5.5}$$

$$T_2|_{x=0} = 0, \quad T_2|_{x=a} = 0, \tag{5.6}$$

$$T_2|_{\tau=0} = \varphi(x) - T_1(x). \tag{5.7}$$

Здесь $\varphi(x) - T_1(x) = \varphi(x) - T_0\left(1 - \frac{x}{a}\right)$ – заданная функция. Задача (5.5)–(5.7) может быть решена методом Фурье разделения переменных.

Задача о нагревании бесконечного цилиндра

Через цилиндр (рис. 5.2) пропускается электрический ток, который выделяет тепло плотностью $Q = \text{const}$. Температура на поверхности цилиндра поддерживается равной нулю. Требуется найти закон распределения температуры в цилиндре.

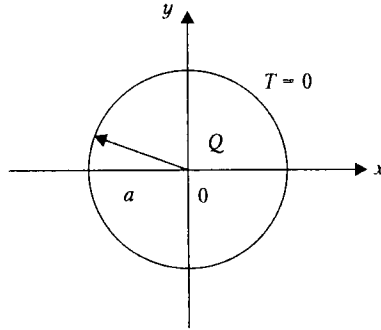


Рис. 5.2. Задача о нагревании цилиндра

Математическая формулировка задачи:

$$\frac{1}{r} \frac{\partial}{\partial r} \left(r \frac{\partial T}{\partial r} \right) - \frac{\partial T}{\partial \tau} = -\frac{Q}{k}, \quad 0 < r < a, \quad \tau > 0, \tag{5.8}$$

$$T|_{r \rightarrow 0} = O(1), \quad T|_{r=a} = 0, \tag{5.9}$$

$$T|_{\tau=0} = \varphi(r). \tag{5.10}$$

Здесь $\varphi(r)$ – заданное начальное распределение температуры.

Ищем решение задачи (5.8)–(5.10) в виде

$$T = T_1(r) + T_2(r, \tau),$$

где $T_1(r)$ – стационарное распределение температуры.

Требуем, чтобы функция $T_1(r)$ удовлетворяла уравнению (5.8) и граничным условиям (5.9). Тогда для определения $T_1(r)$ получаем следующую задачу:

$$\left. \begin{aligned} \frac{1}{r} \frac{\partial}{\partial r} \left(r \frac{\partial T_1}{\partial r} \right) &= -\frac{Q}{k}, \\ T_1|_{r \rightarrow 0} &\text{ – ограничена, } T_1|_{r=a} = 0. \end{aligned} \right\}$$

Откуда находим (проверьте!)

$$T_1 = \frac{Qa^2}{4k} \left(1 - \frac{r^2}{a^2} \right).$$

Для функции $T_2(r, \tau)$ будем иметь следующую *однородную* задачу:

$$\frac{1}{r} \frac{\partial}{\partial r} \left(r \frac{\partial T_2}{\partial r} \right) - \frac{\partial T_2}{\partial \tau} = -\frac{Q}{k}, \quad 0 < r < a, \quad \tau > 0, \quad (5.11)$$

$$T_2|_{r \rightarrow 0} - \text{ограничена}, \quad T_2|_{r=a} = 0, \quad (5.12)$$

$$T_2|_{\tau=0} = \varphi(r) - T_1(r). \quad (5.13)$$

Функция $\varphi(r) - T_1(r) = \varphi(r) - \frac{Qa^2}{4k} \left(1 - \frac{r^2}{a^2} \right)$ задана.

Задача (5.11)–(5.13) может быть решена методом Фурье.

Задача о вынужденных колебаниях круглой мембраны

Мембрана закреплена по контуру и колеблется под действием осесимметричной нагрузки (рис. 5.3)

$$q = q(r) \sin(\omega t).$$

Требуется установить закон вынужденных колебаний мембраны.

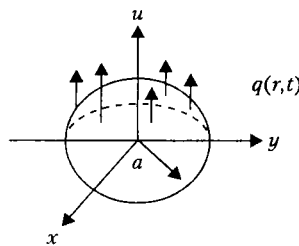


Рис. 5.3. Колебания круглой мембраны

Математическая постановка задачи: найти функцию $u(r, t)$, удовлетворяющую уравнению колебаний

$$\frac{1}{r} \frac{\partial}{\partial r} \left(r \frac{\partial u}{\partial r} \right) - \frac{1}{v^2} \frac{\partial^2 u}{\partial t^2} = -\frac{q(r)}{T_0} \sin(\omega t), \quad 0 < r < a, \quad t > 0, \quad v^2 = \frac{T_0}{\rho}, \quad (5.14)$$

где T_0 — натяжение, ρ — плотность мембраны; и дополнительным условиям

$$u|_{r \rightarrow 0} - \text{ограничена}, \quad u|_{r=a} = 0, \quad (5.15)$$

$$u|_{t=0} = \varphi(r), \quad \left. \frac{\partial u}{\partial t} \right|_{t=0} = \psi(r), \quad (5.16)$$

где $\varphi(r)$, $\psi(r)$ — заданные функции (начальное смещение и скорость).

Будем искать решение задачи (5.14)–(5.16) в форме $u = u_1 + u_2$, где $u_1 = A(r)\sin(\omega t)$, $u_2 = u_2(r, t)$. Функция u_1 — установившиеся гармонические колебания. Требуем, чтобы функция u_1 удовлетворяла уравнению (5.14). Тогда для определения функции $A(r)$ получаем следующее уравнение:

$$\frac{1}{r} \frac{d}{dr} \left(r \frac{dA(r)}{dr} \right) + \frac{\omega^2}{v^2} A(r) = -\frac{q(r)}{T_0}.$$

Кроме того, в соответствии с условиями (5.15) должны выполняться дополнительные условия

$$A|_{r \rightarrow 0} = O(1), \quad A|_{r=a} = 0.$$

Для функции $u_2 = u_2(r, t)$ однородная задача имеет вид

$$\frac{1}{r} \frac{\partial}{\partial r} \left(r \frac{\partial u_2}{\partial r} \right) - \frac{1}{v^2} \frac{\partial^2 u_2}{\partial t^2} = 0, \quad (5.17)$$

$$u_2|_{r \rightarrow 0} = O(1), \quad u_2|_{r=a} = 0, \quad (5.18)$$

$$u_2|_{t=0} = \varphi(r) - A(r)\sin(\omega t)|_{t=0} = \varphi(r), \quad (5.19)$$

$$\left. \frac{\partial u_2}{\partial t} \right|_{t=0} = \psi(r) - \left. \frac{\partial u_1}{\partial t} \right|_{t=0} = \psi(r) - \omega A(r). \quad (5.20)$$

Задача (5.17)–(5.20) может быть решена методом Фурье.

Задача Дирихле для прямоугольника

Требуется решить следующую задачу Дирихле для уравнения Лапласа в прямоугольнике

$$\frac{\partial^2 u}{\partial x^2} + \frac{\partial^2 u}{\partial y^2} = 0, \quad 0 < x < a, \quad 0 < y < b,$$

$$u|_{x=0} = f_0(y), \quad u|_{x=a} = f_a(y),$$

$$u|_{y=0} = \varphi_0(x), \quad u|_{y=b} = \varphi_b(x).$$

Ищем решение задачи в виде $u = u_1 + u_2$, где u_1 — решение задачи

$$\Delta u_1 = 0, \quad u_1|_{x=0} = 0, \quad u_1|_{x=a} = 0, \quad u_1|_{y=0} = \varphi_0(x), \quad u_1|_{y=b} = \varphi_b(x), \quad (5.21)$$

а u_2 — решение задачи

$$\Delta u_2 = 0, \quad u_2|_{x=0} = f_0(y), \quad u_2|_{x=a} = f_a(y), \quad u_2|_{y=0} = 0, \quad u_2|_{y=b} = 0. \quad (5.22)$$

Задачи (5.21) и (5.22) — однородные. Их решения могут быть найдены методом Фурье.

Ограничимся рассмотренными примерами. Настоятельно рекомендуем читателю в качестве упражнений решить полученные в этих примерах однородные задачи методом Фурье и тем самым довести до конца решение сформулированных ранее задач.

Метод Гринберга

Метод Гринберга, или метод конечных интегральных преобразований, является обобщением метода Фурье на случай неоднородного уравнения и неоднородных граничных условий.

Изложим идею метода на примере следующей задачи: найти функцию $u = u(x, y)$, удовлетворяющую следующим условиям.

Функция $u = u(x, y)$ удовлетворяет неоднородному дифференциальному уравнению в частных производных:

$$L_x(u) + M_y(u) = F(x, y), \quad a < x < b, \quad c < y < d, \quad (5.23)$$

где L_x и M_y — линейные дифференциальные операторы

$$L_x(u) = \frac{1}{r(x)} \left[\frac{\partial}{\partial x} \left(p(x) \frac{\partial u}{\partial x} \right) - q(x)u \right],$$

$$M_y(u) = A(y) \frac{\partial^2 u}{\partial y^2} + B(y) \frac{\partial u}{\partial y} + C(y)u.$$

Интервал (a, b) считаем конечным; функции $p(x)$, $p'(x)$, $q(x)$, $r(x)$ непрерывны в интервале $[a, b]$, причем $p(x) > 0$, $r(x) > 0$. Интервал (c, d) может быть конечным или бесконечным.

Кроме того, функция $u = u(x, y)$ удовлетворяет по переменной x условиям одного из следующих типов:

$$u|_{x=a} = f_a(y), \quad u|_{x=b} = f_b(y), \quad (5.24-I)$$

$$\frac{\partial u}{\partial x} \Big|_{x=a} = f_a(y), \quad \frac{\partial u}{\partial x} \Big|_{x=b} = f_b(y), \quad (5.24-II)$$

$$\frac{\partial u}{\partial x} - h_a u \Big|_{x=a} = f_a(y), \quad \frac{\partial u}{\partial x} + h_b u \Big|_{x=b} = f_b(y). \quad (5.24-III)$$

Далее выполняются некоторые условия по переменной y — такие же, как мы рассматривали при изучении метода Фурье. Например, если $A > 0$, то уравнение (5.23) — эллиптического типа и ставится одно из условий первого, второго или третьего рода, то есть

$$u|_{y=c} = \varphi_c(x), \quad u|_{x=d} = \varphi_d(x), \quad (5.25-I)$$

$$\frac{\partial u}{\partial y} \Big|_{y=c} = \varphi_c(x), \quad \frac{\partial u}{\partial y} \Big|_{y=d} = \varphi_d(x), \quad (5.25-II)$$

$$\frac{\partial u}{\partial y} - h_c u \Big|_{x=c} = \varphi_c(y), \quad \frac{\partial u}{\partial y} + h_d u \Big|_{x=d} = \varphi_d(y). \quad (5.25-III)$$

Если $A < 0$, то тип уравнения (5.23) — гиперболический; тогда $y \in (c, +\infty)$ и ставятся условия

$$u|_{y=c} = \varphi(x), \quad \frac{\partial u}{\partial y} \Big|_{y=c} = \psi(x); \quad (5.26)$$

если $A = 0$, то тип уравнения (5.23) — параболический; $y \in (c, +\infty)$ и ставится условие

$$u|_{y=c} = \varphi(x). \quad (5.27)$$

Рассмотрим следующую задачу Штурма—Лиувилля, связанную с нашей задачей: найти нетривиальные решения уравнения

$$L_x(X(x)) + \lambda X(x) = 0, \quad a < x < b,$$

удовлетворяющие однородным условиям первого, второго или третьего рода.

Или, в явном виде, найти нетривиальные решения уравнения

$$(pX')' + (\lambda r - q)X = 0, \quad (5.28)$$

подчиняющиеся граничным условиям

$$X|_{x=a} = 0, \quad X|_{x=b} = 0$$

либо

$$\left. \frac{\partial X}{\partial x} \right|_{x=a} = 0, \quad \left. \frac{\partial X}{\partial x} \right|_{x=b} = 0,$$

либо

$$\frac{\partial X}{\partial x} - h_a X|_{x=a} = 0, \quad \frac{\partial X}{\partial x} + h_b X|_{x=b} = 0.$$

При сделанных предположениях эта задача регулярна и имеет дискретный спектр собственных значений $\lambda = \lambda_n, n = 1, 2, 3, \dots$. Пусть $X = X_n(x)$ — собственные функции этой задачи.

Ссылаясь на общую теорию регулярной задачи Штурма—Лиувилля, можно заключить, что

$$\int_a^b r(x) X_n(x) X_m(x) dx = \begin{cases} 0, & m \neq n, \\ \|X_n(x)\|^2, & m = n, \end{cases}$$

и произвольную функцию можно разложить в ряд по собственным функциям этой задачи.

Идея метода Гринберга заключается в том, чтобы искать решение задачи (5.23)–(5.27) в виде ряда

$$u(x, y) = \sum_{n=1}^{\infty} C_n(y) X_n(x), \quad C_n(y) = \frac{\int_a^b r(x) u(x, y) X_n(x) dx}{\|X_n(x)\|^2} = \frac{u_n(y)}{\|X_n(x)\|^2}.$$

Покажем, что исходя из первоначальных уравнений задачи, можно получить уравнения для функции $u_n(y)$ (эта функция иногда называется *трансформантой* от функции $u(x, y)$). Для того чтобы показать это, умножаем уравнение (5.23) на $r(x)X_n(x)$ и интегрируем по интервалу $[a, b]$. Получим

$$\int_a^b X_n \left[\frac{\partial}{\partial x} \left(p \frac{\partial u}{\partial x} \right) - qu \right] dx + \int_a^b M_y(u) r(x) X_n(x) dx =$$

$$= \int_a^b F(x, y) r(x) X_n(x) dx. \quad (5.29)$$

Первый интеграл слева преобразуем по частям

$$\begin{aligned} \int_a^b X_n \left[\frac{\partial}{\partial x} \left(p \frac{\partial u}{\partial x} \right) \right] dx &= X_n p \frac{\partial u}{\partial x} \Big|_{x=a}^{x=b} - \int_a^b p \frac{\partial u}{\partial x} X_n' dx = \\ &= X_n p \frac{\partial u}{\partial x} \Big|_{x=a}^{x=b} - p X_n' u \Big|_{x=a}^{x=b} + \int_a^b u (p X_n')' dx. \end{aligned}$$

Теперь вместо формулы (5.29) будем иметь

$$\begin{aligned} p \left[X_n \frac{\partial u}{\partial x} - X_n' u \right] \Big|_{x=a}^{x=b} + \int_a^b u \underbrace{[(p X_n')]' - q X_n}_{=-\lambda_n r X_n} dx + \\ + M_y \left(\int_a^b r X_n u dx \right) = \underbrace{\int_a^b F(x, y) r X_n dx}_{=F_n(y)}. \end{aligned}$$

С учетом уравнения (5.28)

$$(p X_n')' - q X_n = -\lambda_n r X_n$$

и обозначения

$$\int_a^b F(x, y) r(x) X_n(x) dx = F_n(y)$$

получаем уравнение для трансформанты $u_n(y)$

$$M_y(u_n) - \lambda_n u_n = F_n(y) - p \left[X_n \frac{\partial u}{\partial x} - X_n' u \right] \Big|_{x=a}^{x=b}. \quad (5.30)$$

Уравнение (5.30) – обыкновенное дифференциальное уравнение относительно трансформанты $u_n(y)$. Здесь $F_n(y)$ – известная функция. Покажем, что функция

$$g_n(y) = -p \left[X_n \frac{\partial u}{\partial x} - X_n' u \right] \Big|_{x=a}^{x=b}$$

– тоже известная функция.

Для условий первого рода будем иметь

$$g_n(y) = p(b) X_n'(b) f_b(y) - p(a) X_n'(a) f_a(y)$$

– известная функция;

для условий второго рода

$$g_n(y) = -p(b) X_n(b) f_b(y) + p(a) X_n(a) f_a(y)$$

– известная функция;

для условий третьего рода

$$g_n(y) = -p(b) \left[X_n(b) \frac{\partial u}{\partial x} \Big|_{x=b} - X_n'(b) u \Big|_{x=b} \right] +$$

$$\begin{aligned}
 & + p(a) \left[X_n(a) \frac{\partial u}{\partial x} \Big|_{x=a} - X'_n(a) u \Big|_{x=a} \right] = \\
 & = -p(b) X_n(b) \left[\frac{\partial u}{\partial x} + h_b u \right] \Big|_{x=b} + p(a) X_n(a) \left[\frac{\partial u}{\partial x} - h_a u \right] \Big|_{x=a} = \\
 & = -p(b) X_n(b) f_b(y) + p(a) X_n(a) f_a(y)
 \end{aligned}$$

— известная функция.

Условия (5.25-I), (5.25-II), (5.25-III) можно трансформировать аналогичным образом. Например, для условий (5.25-I) будем иметь

$$\begin{aligned}
 u_n \Big|_{y=c} &= \int_a^b \varphi_c(x) r(x) X_n(x) dx = \varphi_{cn}, \\
 u_n \Big|_{y=d} &= \int_a^b \varphi_d(x) r(x) X_n(x) dx = \varphi_{dn}.
 \end{aligned} \tag{5.31}$$

Таким образом, решив задачу (5.30), (5.31), найдем функцию $u_n(y)$.

Окончательно получаем решение нашей задачи в виде ряда:

$$u = \sum_{n=1}^{\infty} \frac{u_n(y) X_n(x)}{\|X_n\|^2}. \tag{5.32}$$

Все сказанное ранее переносится на случай условий четвертого рода, а также на случай сингулярной задачи, если ее спектр дискретный.

Краткая схема решения задачи методом Гринберга

Приведем краткую схему, которой следует придерживаться при решении задач математической физики методом Гринберга.

1. Поставить задачу Штурма—Лиувилля, связанную с рассматриваемой задачей, и найти систему собственных значений и собственных функций.
2. Трансформировать исходное уравнение в частных производных в обыкновенное дифференциальное уравнение для трансформанты $u_n(y)$.
3. Преобразовать граничные условия по второй переменной в условия для трансформанты $u_n(y)$.
4. Найти трансформанту $u_n(y)$ и получить решение исходной задачи в виде разложения по собственным функциям задачи Штурма—Лиувилля.
5. Рассмотреть вопрос о сходимости полученного формального ряда и в случае необходимости улучшить ее.

Связь метода Гринберга с методом Фурье

Допустим, что в рассматриваемой задаче $F(x, y) = 0$; $f_a(y) = f_b(y) = 0$, то есть задача является однородной. Тогда, очевидно, $F_n(y) = 0$; $g_n(y) = 0$. Уравнение (5.30) принимает вид

$$M_y(u_n) - \lambda_n u_n = 0.$$

Последнее уравнение совпадает с уравнением (3.79). Таким образом, в этом случае функция $u_n(y)$ соответствует функции $Y_n(y)$, рассмотренной при изложении метода Фурье (раздел «Общее изложение метода Фурье для случая двух независимых переменных»), и ряд (5.32) совпадает с разложением, полученным методом Фурье.

Таким образом, если задача однородная, то она может быть решена как методом Фурье, так и методом Гринберга, причем применение метода Гринберга приводит к совершенно таким же результатам, что и применение метода Фурье. Если же задача неоднородная, то метод Фурье неприменим.

Замечания о сходимости рядов, полученных методом Гринберга

Рассматривается краевая задача для уравнения

$$L_x(u) + M_y(u) = F(x, y), \quad a < x < b, \quad c < y < d.$$

Реализуется одно из условий:

$$u|_{x=a} = f_a(y), \quad u|_{x=b} = f_b(y),$$

либо

$$\left. \frac{\partial u}{\partial x} \right|_{x=a} = f_a(y), \quad \left. \frac{\partial u}{\partial x} \right|_{x=b} = f_b(y),$$

либо

$$\frac{\partial u}{\partial x} - h_a u|_{x=a} = f_a(y), \quad \frac{\partial u}{\partial x} + h_b u|_{x=b} = f_b(y).$$

Будем искать решение в виде

$$u = \sum_{n=1}^{\infty} C_n(y) X_n(x), \quad (5.33)$$

где $X_n(x)$ — собственные функции, полученные из решения соответствующей задачи Штурма—Лиувилля для уравнения

$$L_x(X) + \lambda X = 0$$

при соответствующих однородных условиях первого, второго или третьего рода.

Рассмотрим сходимость ряда (5.33). Утверждается, что ряд (5.33) не сходится равномерно во всем замкнутом интервале $[a, b]$. Если $f_a(y) \neq 0$, $f_b(y) \neq 0$ (одна из них или обе), то имеет место неравномерная сходимость ряда.

Действительно, допустим, ряд (5.33) сходится вплоть до точки $x = a$. Тогда

$$\lim_{x \rightarrow a} u = \lim_{x \rightarrow a} \sum_{n=1}^{\infty} C_n(y) X_n(x) = \sum_{n=1}^{\infty} C_n(y) X_n(a) = 0.$$

Но это невозможно, так как $f_a(y) \neq 0$ для $[a, b]$. Для (a, b)

$$\lim_{x \rightarrow b} u = \lim_{x \rightarrow b} \sum_{n=1}^{\infty} C_n(y) X_n(x) = \sum_{n=1}^{\infty} C_n(y) X(b) = 0.$$

Последнее также невозможно, так как $f_b(y) \neq 0$ для $(a, b]$.

Таким образом, если граничные условия неоднородны, то имеет место неравномерная сходимость ряда (5.33).

Источником плохой сходимости рядов является попытка разложения функции, которая удовлетворяет неоднородным условиям, в ряд по функциям, удовлетворяющим однородным условиям. Обычно считается, что $u \in C^{(2)}((a, b))$, поэтому внутри интервала функция $u(x, y)$ достаточно гладкая.

Способы улучшения сходимости

Рассмотрим вспомогательную функцию $u^* \in C^{(2)}((a, b))$ и удовлетворяющую условиям

$$u^*|_{x=a} = f_a(y), \quad u^*|_{x=b} = f_b(y)$$

За исключением соответствия этим требованиям функция u^* может быть вполне произвольной.

Разложим функцию u^* в ряд типа (5.33) по собственным функциям $X_n(x)$:

$$u^* = \sum_{n=1}^{\infty} C_n^*(y) X_n(x), \quad a < x < b, \tag{5.34}$$

$$C_n^* = \frac{\int_a^b u^* r(x) X_n(x) dx}{\|X_n(x)\|^2}.$$

Ясно, что ряд (5.34) обладает такой же сходимостью, как и (5.33). Запишем так:

$$u = \sum_{n=1}^{\infty} C_n X_n(x) = \underbrace{\sum_{n=1}^{\infty} C_n^* X_n(x)}_{\text{медленно сходится}} + \underbrace{\sum_{n=1}^{\infty} (C_n - C_n^*) X_n(x)}_{\substack{=w \\ \text{хорошо сходится}}}. \tag{5.35}$$

Имеем

$$w = u - u^*, \quad w|_{x=a} = 0, \quad w|_{x=b} = 0.$$

Формула (5.35) дает улучшение сходимости, так как сумма ряда (5.34) нам известна (функция u^*), а второй ряд справа хорошо сходится, функция w удовлетворяет однородным условиям.

В случае условий первого рода функцию u^* можно взять линейной по x :

$$u^* = f_a(y) + \frac{x-a}{b-a} [f_b(y) - f_a(y)].$$

Для условий второго рода функцию u^* можно выбрать квадратичной по x :

$$u^* = f_a(y)(x-a) + \frac{(x-a)^2}{2(b-a)} [f_b(y) - f_a(y)].$$

Кроме предложенного способа можно пользоваться справочными таблицами. Рассмотрим пример. Пусть имеется ряд

$$u = \frac{2}{\pi} \sum_{n=1}^{\infty} \frac{(-1)^{n-1} n}{n^2 + 1} \sin(nx), \quad 0 < x < \pi.$$

Ряд, стоящий справа, обладает плохой сходимостью. Преобразуем

$$\frac{n}{n^2 + 1} = \frac{1}{n} + \frac{n}{n^2 + 1} - \frac{1}{n} = \frac{1}{n} + \frac{n^2 - n^2 - 1}{(n^2 + 1)n} = \frac{1}{n} - \frac{1}{n(n^2 + 1)}.$$

Таким образом,

$$u = \underbrace{\frac{2}{\pi} \sum_{n=1}^{\infty} \frac{(-1)^{n-1}}{n} \sin(nx)}_{=\frac{x}{\pi}, x \in (0, \pi)} - \underbrace{\frac{2}{\pi} \sum_{n=1}^{\infty} \frac{(-1)^{n-1}}{n(n^2 + 1)} \sin(nx)}_{\text{быстро сходится}}.$$

Первый ряд справа суммируется

$$\frac{x}{\pi} = \frac{2}{\pi} \sum_{n=1}^{\infty} \frac{(-1)^{n-1}}{n} \sin(nx), \quad x \in (0, \pi),$$

а второй — хорошо сходится.

Примеры задач математической физики, разрешимых с помощью метода Гринберга

Здесь мы рассмотрим технику применения метода Гринберга к решению некоторых задач, сформулированных в разделе «Метод приведения к однородной задаче».

Задача Дирихле для прямоугольника

Рассматривается следующая задача Дирихле для уравнения Лапласа в прямоугольнике:

$$\frac{\partial^2 u}{\partial x^2} + \frac{\partial^2 u}{\partial y^2} = 0, \quad 0 < x < a, \quad 0 < y < b, \quad (5.36)$$

$$u|_{x=0} = f_0(y), \quad u|_{x=a} = f_a(y), \quad (5.37)$$

$$u|_{y=0} = \varphi_0(x), \quad u|_{y=b} = \varphi_b(x). \quad (5.38)$$

Обозначим

$$L_x(u) = \frac{\partial^2 u}{\partial x^2}.$$

Сформулируем соответствующую задачу Штурма–Лиувилля:

$$L_x(X) + \lambda X = 0, \quad X(0) = 0, \quad X(a) = 0. \quad (5.39)$$

Как известно, собственные значения и собственные функции задачи (5.39) будут

$$\lambda_n = \frac{n^2 \pi^2}{a^2}, \quad X_n(x) = \sin\left(\frac{n\pi x}{a}\right), \quad n = 1, 2, \dots, \infty.$$

Ищем решение задачи (5.36)–(5.38) в виде

$$u(x, y) = \sum_{n=1}^{\infty} C_n(y) X_n(x).$$

причем

$$C_n(y) = \frac{\int_0^a u(x, y) X_n(x) dx}{\|X_n\|^2} = \frac{u_n(y)}{\|X_n\|^2} = \frac{2}{a} u_n(y).$$

Умножаем (5.36) на $X_n(x)$ и интегрируем по отрезку $[0, a]$:

$$\begin{aligned} \int_0^a \frac{\partial^2 u}{\partial x^2} X_n dx + \int_0^a \frac{\partial^2 u}{\partial y^2} X_n dx &= 0 \Rightarrow \\ \left(\frac{\partial u}{\partial x} X_n - u X_n' \right) \Big|_0^a + \int_0^a u X_n'' dx + \frac{d^2}{dy^2} \int_0^a u X_n dx &= 0 \Rightarrow \\ \frac{d^2 u_n}{dy^2} - \lambda_n u_n = f_a(y) \frac{n\pi}{a} (-1)^n - f_0(y) \frac{n\pi}{a} &\Rightarrow \\ \frac{d^2 u_n}{dy^2} - \frac{n^2 \pi^2}{a^2} u_n = \frac{n\pi}{a} [(-1)^n f_a(y) - f_0(y)] &\quad (5.40) \end{aligned}$$

Преобразуем граничные условия по y : умножаем (5.38) на $X_n(x)$ и интегрируем по отрезку $[0, a]$, получаем

$$u_n|_{y=0} = \int_0^a \varphi_0(x) X_n(x) dx = \varphi_{0n}, \quad u_n|_{y=b} = \int_0^a \varphi_b(x) X_n(x) dx = \varphi_{bn}. \quad (5.41)$$

Общее решение уравнения (5.40) имеет вид

$$u_n(y) = A_n \operatorname{ch}\left(\frac{n\pi}{a} y\right) + B_n \operatorname{sh}\left(\frac{n\pi}{a} y\right) + u_n^*(y),$$

где $u_n^*(y)$ — какое-нибудь частное решение (5.40).

Условия (5.41) позволяют найти A_n и B_n ; таким образом, будет определена функция $u_n(y)$. Тогда искомое решение задачи имеет вид

$$u(x, y) = \frac{2}{a} \sum_{n=1}^{\infty} u_n(y) \sin\left(\frac{n\pi}{a} x\right).$$

Рассмотрим специальный случай. Будем считать, что граничные условия имеют вид

$$\begin{aligned} f_0(y) &= 0; \quad f_a(y) = ay; \\ \varphi_0(x) &= 0; \quad \varphi_b(x) = bx. \end{aligned}$$

Будем иметь вместо уравнения (5.40) следующее уравнение:

$$\frac{d^2 u_n}{dy^2} - \frac{n^2 \pi^2}{a^2} u_n = \frac{n\pi}{a} (-1)^n ay. \quad (5.42)$$

Условия (5.41) при этом примут вид

$$u_n|_{y=0} = 0; \quad u_n|_{y=b} = \frac{(-1)^{n-1} a^2 b}{n\pi}. \quad (5.43)$$

Общее решение уравнения (5.42) мы можем записать в виде

$$u_n(y) = A_n \operatorname{ch}\left(\frac{n\pi}{a}y\right) + B_n \operatorname{sh}\left(\frac{n\pi}{a}y\right) + \frac{(-1)^{n-1}}{n\pi} a^2 y.$$

Из условий (5.43) находим $A_n = 0$ и $B_n = 0$ (проверьте!). Таким образом,

$$u_n(y) = \frac{(-1)^{n-1}}{n\pi} a^2 y.$$

Следовательно,

$$u(x, y) = \frac{2ay}{\pi} \sum_{n=1}^{\infty} \frac{(-1)^{n-1}}{n} \sin\left(\frac{n\pi x}{a}\right). \quad (5.44)$$

Ряд, стоящий справа в (5.44), суммируется, а именно, имеет место формула

$$\frac{2}{\pi} \sum_{n=1}^{\infty} \frac{(-1)^{n-1}}{n} \sin\left(\frac{n\pi x}{a}\right) = \frac{x}{a}, \quad 0 \leq x \leq a, \quad (5.45)$$

которая легко может быть получена разложением функции $f(x) = \frac{x}{a}$ в ряд Фурье по синусам на отрезке $[0, a]$ (проверьте!).

Таким образом, окончательно будем иметь

$$u(x, y) = xy. \quad (5.46)$$

Решение задачи методом приведения в рассматриваемом случае дает формулу (проверьте!)

$$u(x, y) = \frac{2ab}{\pi} \sum_{n=1}^{\infty} \frac{(-1)^{n-1}}{n} \frac{\operatorname{sh}\left(\frac{n\pi y}{a}\right)}{\operatorname{sh}\left(\frac{n\pi b}{a}\right)} \sin\left(\frac{n\pi x}{a}\right) + \frac{2ab}{\pi} \sum_{n=1}^{\infty} \frac{(-1)^{n-1}}{n} \frac{\operatorname{sh}\left(\frac{n\pi x}{b}\right)}{\operatorname{sh}\left(\frac{n\pi a}{b}\right)} \sin\left(\frac{n\pi y}{b}\right).$$

Отметим, что из формулы (5.44) следует

$$u(x, y) = y \Phi(x).$$

Подставив это решение в уравнение (5.36), определим $\Phi(x)$:

$$\Phi''(x)y = 0 \Rightarrow \Phi''(x) = 0 \Rightarrow \Phi(x) = Mx + N.$$

Таким образом,

$$u(x, y) = (Mx + N)y,$$

где M, N — константы. Из граничных условий для u находим $M = 1, N = 0$. Таким образом, решение (5.46) может быть получено и без использования формулы (5.45).

Задача о вынужденных колебаниях круглой мембраны

Рассмотрим следующую задачу: найти функцию $u(r, t)$, удовлетворяющую уравнению колебаний

$$\frac{1}{r} \frac{\partial}{\partial r} \left(r \frac{\partial u}{\partial r} \right) - \frac{1}{v^2} \frac{\partial^2 u}{\partial t^2} = -\frac{q(r)}{T_0} \sin(\omega t), \quad 0 < r < a, \quad t > 0, \quad v^2 = \frac{T_0}{\rho}, \quad (5.47)$$

где T_0 — натяжение, ρ — плотность мембраны; и дополнительным условиям

$$\begin{aligned} u|_{r \rightarrow 0} & - \text{ограничена}, \quad u|_{r=a} = 0, \\ u|_{t=0} & = \varphi(r), \quad \left. \frac{\partial u}{\partial t} \right|_{t=0} = \psi(r), \end{aligned}$$

где $\varphi(r)$, $\psi(r)$ — заданные функции (начальное смещение и скорость).

Обозначим оператор

$$L_r(u) = \frac{1}{r} \frac{\partial}{\partial r} \left(r \frac{\partial u}{\partial r} \right).$$

Сформулируем соответствующую задачу Штурма—Лиувилля:

$$\begin{aligned} L_r(R) + \lambda Rr & = 0 \Leftrightarrow (rR')' + \lambda Rr = 0, \quad 0 < r < a, \\ R|_{r \rightarrow 0} & - \text{ограничена}, \quad R(a) = 0. \end{aligned}$$

Как мы знаем, собственные значения и собственные функции этой задачи будут иметь вид

$$\lambda_n = \left(\frac{\gamma_n}{a} \right)^2, \quad R_n(r) = J_0 \left(\frac{\gamma_n r}{a} \right), \quad n = 1, 2, \dots, \infty,$$

где γ_n — положительные корни уравнения $J_0(\gamma) = 0$.

Далее, умножив уравнение (5.47) на $rR_n(r)$ и проинтегрировав по отрезку $[0, a]$, получим

$$\begin{aligned} \int_0^a R_n \frac{\partial}{\partial r} \left(r \frac{\partial u}{\partial r} \right) dr - \frac{1}{v^2} \int_0^a r R_n \frac{\partial^2 u}{\partial t^2} dr & = -\frac{1}{T_0} \int_0^a q(r, t) r R_n dr \Rightarrow \\ \left(R_n r \frac{\partial u}{\partial r} - R_n' r u \right) \Big|_0^a + \int_0^a u (r R_n')' dr - \frac{1}{v^2} \frac{d^2}{dt^2} \int_0^a r R_n u dr & = -\frac{1}{T_0} \int_0^a r R_n q(r, t) dr \Rightarrow \\ -\frac{1}{v^2} \frac{d^2 u_n}{dt^2} - \lambda_n u_n & = -\frac{1}{T_0} \int_0^a r R_n q(r, t) dr \Rightarrow \\ \frac{d^2 u_n}{dt^2} + \frac{\gamma_n^2 v^2}{a^2} u_n & = \frac{v^2 q_n(t)}{T_0}, \end{aligned} \quad (5.48)$$

где введены обозначения

$$\begin{aligned} u_n(t) & = \int_0^a r R_n(r) u(r, t) dr, \\ q_n(t) & = \int_0^a r R_n(r) q(r, t) dr. \end{aligned}$$

Преобразованные начальные условия имеют вид

$$u_n|_{t=0} = 0, \quad \left. \frac{du_n}{dt} \right|_{t=0} = 0. \quad (5.49)$$

Выпишем общее решение уравнения (5.48) в виде

$$u_n(t) = A_n \cos\left(\frac{\gamma_n v t}{a}\right) + B_n \sin\left(\frac{\gamma_n v t}{a}\right) + u_n^*(t),$$

где $u_n^*(t)$ — какое-нибудь частное решение уравнения (5.48). Учитывая, что

$$q(r, t) = q(r) \sin(\omega t),$$

получим

$$q_n(t) = \sin(\omega t) \int_0^a q(r) r R_n dr = q_n \sin(\omega t).$$

Следовательно, для частного решения уравнения (5.48) можно записать¹

$$u_n^*(t) = C_n \sin(\omega t). \quad (5.50)$$

Подставив (5.50) в (5.48), находим

$$-C_n \omega^2 + \frac{\gamma_n^2 v^2}{a^2} C_n = \frac{v^2}{T_0} q_n \Rightarrow C_n = \frac{v^2 q_n}{T_0} \frac{1}{\left[\left(\frac{\gamma_n v}{a}\right)^2 - \omega^2\right]}.$$

Тогда, обозначив $\omega_n = \frac{\gamma_n v}{a}$, получим

$$u_n(t) = A_n \cos(\omega_n t) + B_n \sin(\omega_n t) + \frac{v^2 q_n}{T_0} \frac{1}{[\omega_n^2 - \omega^2]} \sin(\omega t).$$

Из начальных условий (5.49) находим

$$A_n = 0, \quad B_n = -\frac{v^2 q_n}{T_0} \frac{\omega}{\omega_n (\omega_n^2 - \omega^2)}.$$

Таким образом,

$$u_n(t) = \frac{v^2 q_n}{T_0} \frac{\sin(\omega t) - \frac{\omega}{\omega_n} \sin(\omega_n t)}{\omega_n^2 - \omega^2},$$

где

$$q_n = \int_0^a r q(r) J_0\left(\gamma_n \frac{r}{a}\right) dr.$$

Решение задачи имеет вид

$$u(r, t) = \sum_{n=1}^{\infty} C_n R_n(r), \quad C_n = \frac{2u_n}{a^2 J_1^2(\gamma_n)}, \quad u_n = \int_0^a r R_n u dr.$$

Или явно,

¹ Здесь мы предполагаем, что $\omega \neq \omega_n, \forall n$, то есть случай резонанса не рассматриваем.

$$u(r, t) = \frac{2v^2}{a^2 T_0} \sum_{n=1}^{\infty} q_n \frac{\sin(\omega t) - \frac{\omega}{\omega_n} \sin(\omega_n t) J_0\left(\frac{\gamma_n r}{a}\right)}{\omega_n^2 - \omega^2} \frac{J_1\left(\frac{\gamma_n r}{a}\right)}{J_1^2(\gamma_n)}$$

Рассмотрим в качестве примера случай сосредоточенной в центре нагрузки $Q \sin(\omega t)$. Будем считать сосредоточенную нагрузку предельным случаем распределенной нагрузки. Тогда можно записать (рис. 5.4)

$$q_n \rightarrow J_0(0) \int_0^a q(r) r dr = J_0(0) \frac{Q}{2\pi} = \frac{Q}{2\pi}$$

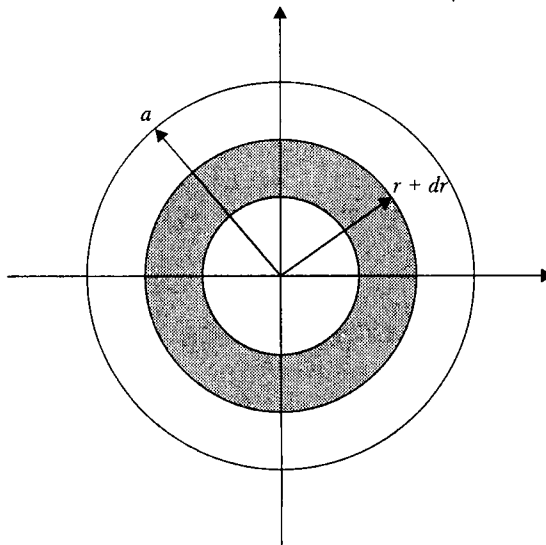


Рис. 5.4. К определению сосредоточенной нагрузки

В этом случае

$$u(r, t) = \frac{Qv^2}{\pi a^2 T_0} \sum_{n=1}^{\infty} \frac{\sin(\omega t) - \frac{\omega}{\omega_n} \sin(\omega_n t) J_0\left(\frac{\gamma_n r}{a}\right)}{\omega_n^2 - \omega^2} \frac{J_1\left(\frac{\gamma_n r}{a}\right)}{J_1^2(\gamma_n)}$$

Задачи с непрерывным спектром

В тех случаях, когда применение метода Фурье приводит к совокупности частных решений, непрерывно зависящих от некоторого параметра, изменяющегося в заданном промежутке, рассматриваемый вопрос относится к классу задач математической физики с непрерывным спектром. Особенность данного случая, который встречается, как правило, при рассмотрении задач для бесконечных областей, заключается в том, что искомое решение строится из найденных частных решений путем интегрирования по параметру, то есть представляется в форме разложения в интеграл по собственным функциям.

На рис. 5.5 приведена таблица, классифицирующая соответствующие задачи Штурма—Лиувилля.

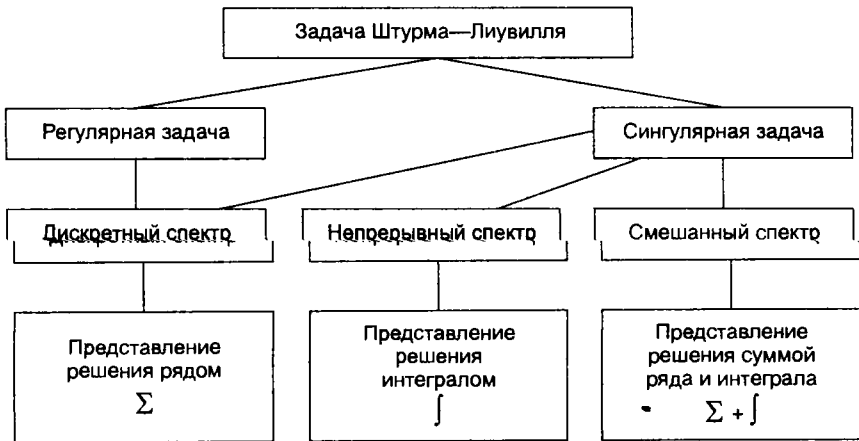


Рис. 5.5. Классификация задач Штурма—Лиувилля

Как нам уже известно, в случае регулярной задачи Штурма—Лиувилля мы имеем дискретный спектр, которому соответствует счетное множество собственных функций. В случае сингулярной задачи Штурма—Лиувилля спектр может быть непрерывным, дискретным или смешанным. Если спектр задачи непрерывный, то мы имеем дело с несчетным множеством собственных функций. В этом случае решение задачи получается в виде разложения в интеграл. Для определения коэффициентов такого разложения используются теоремы о разложении функции в интеграл.

Некоторые интегральные разложения, связанные с сингулярной задачей Штурма—Лиувилля

К числу наиболее простых и важных интегральных разложений, встречающихся в математической физике, относятся классическое разложение функции, заданной в промежутке $(-\infty, +\infty)$, в интеграл Фурье и его различные модификации (разложение функции, заданной в промежутке $(0, +\infty)$, в синус- и косинус-интеграл Фурье и другие разложения по тригонометрическим функциям), разложение функции, определенной в промежутке $(0, +\infty)$, в интеграл Ханкеля по цилиндрическим функциям и некоторые другие разложения.

I. Простейшие интегральные разложения связаны со следующей задачей Штурма—Лиувилля:

$$X'' + \lambda X = 0, \quad 0 < x < \infty, \quad (5.51)$$

$$\left. \begin{array}{l} \text{(I)} X(0) = 0, \quad \text{либо} \\ \text{(II)} X'(0) = 0, \quad \text{либо} \\ \text{(III)} X'(0) - hX(0) = 0 \quad (h > 0) \end{array} \right\} X|_{x \rightarrow \infty} - \text{ограничена.} \quad (5.52)$$

Найдем собственные значения и собственные функции задачи (5.51), (5.52).

Общий интеграл уравнения (5.51), очевидно, имеет вид

$$X(x) = A \cos(\sqrt{\lambda}x) + B \sin(\sqrt{\lambda}x), \lambda \neq 0.$$

Для условий первого рода

$$X(0) = 0 \Rightarrow A = 0 \Rightarrow$$

$$X = B \sin(\sqrt{\lambda}x), X|_{x \rightarrow \infty} - \text{ограничена} \Rightarrow \lambda > 0.$$

Таким образом, собственные значения будут

$$\lambda = \lambda_v = v^2, \quad 0 < v < \infty.$$

Собственные функции:

$$X = X_v(x) = \sin(vx).$$

Легко проверить, что $\lambda = 0$ не является собственным значением. Таким образом, окончательно получаем, что в случае условий первого рода спектр задачи непрерывный, $\lambda \in (0, +\infty)$.

Для условий второго рода ($\lambda \neq 0$) имеем

$$X'(0) = B\sqrt{\lambda} = 0 \Rightarrow B = 0; \quad X = A \cos(\sqrt{\lambda}x),$$

$$X|_{x \rightarrow \infty} - \text{ограничена} \Rightarrow \lambda > 0.$$

Таким образом, собственные значения будут

$$\lambda = \lambda_v = v^2, \quad 0 < v < \infty.$$

Собственные функции:

$$X = X_v(x) = \cos(vx).$$

Легко проверить, что число $\lambda = \lambda_0 = 0$ является собственным значением, которому соответствует собственная функция $X_0(x) = 1$.

Таким образом, в случае условий второго рода спектр задачи непрерывный, $\lambda \in [0, +\infty)$.

Для условий третьего рода ($\lambda \neq 0$)

$$B\sqrt{\lambda} - hA = 0 \Rightarrow B = A \frac{h}{\sqrt{\lambda}}.$$

Следовательно,

$$X(x) = A \left[\cos(\sqrt{\lambda}x) + \frac{h}{\sqrt{\lambda}} \sin(\sqrt{\lambda}x) \right].$$

Из условия ограниченности на бесконечности находим $\lambda > 0$. Итак, собственные значения и собственные функции будут

$$\lambda = \lambda_v = v^2, \quad 0 < v < \infty,$$

$$X_v(x) = A \left[\cos(vx) + \frac{h}{v} \sin(vx) \right].$$

Здесь A — произвольная константа. Удобно принять

$$A = \frac{v}{\sqrt{v^2 + h^2}}.$$

Тогда условия первого и второго рода получаются из условий третьего рода как частные случаи. Очевидно, $\lambda = 0$ не является собственным числом задачи (за исключением случая $h = 0$).

Таким образом, окончательно

$$X = X_\nu(x) = \frac{\nu \cos(\nu x) + h \sin(\nu x)}{\sqrt{\nu^2 + h^2}}$$

— собственные функции задачи. Спектр — непрерывный, $\lambda \in (0, +\infty)$.

Каждому из рассмотренных трех случаев соответствует своя теорема о разложении функции в интеграл.

Для условий первого рода это будет *синус-интеграл Фурье*:

$$f(x) = \int_0^{\infty} F(\nu) \sin(\nu x) d\nu, \quad 0 < x < +\infty, \quad (5.53-1a)$$

при этом

$$F(\nu) = \frac{2}{\pi} \int_0^{\infty} f(x) \sin(\nu x) dx. \quad (5.53-1b)$$

Для условий второго рода — *косинус-интеграл Фурье*:

$$f(x) = \int_0^{\infty} F(\nu) \cos(\nu x) d\nu, \quad 0 < x < +\infty, \quad (5.53-2a)$$

при этом

$$F(\nu) = \frac{2}{\pi} \int_0^{\infty} f(x) \cos(\nu x) dx. \quad (5.53-2b)$$

Для условий третьего рода — *обобщенный интеграл Фурье*:

$$f(x) = \int_0^{\infty} F(\nu) \frac{\nu \cos(\nu x) + h \sin(\nu x)}{\sqrt{\nu^2 + h^2}} d\nu, \quad 0 < x < +\infty, \quad (5.53-3a)$$

при этом

$$F(\nu) = \frac{2}{\pi} \int_0^{\infty} f(x) \frac{\nu \cos(\nu x) + h \sin(\nu x)}{\sqrt{\nu^2 + h^2}} dx. \quad (5.53-3b)$$

Сформулируем достаточные условия для применимости всех трех теорем — функция $f(x)$ должна удовлетворять условиям Дирихле в любом замкнутом промежутке на полуоси $(0, +\infty)$ и быть абсолютно интегрируемой на этой полуоси, то есть:

- $f(x)$ — кусочно-непрерывна на $(0, +\infty)$ и имеет конечное число максимумов и минимумов на $[\alpha, \beta] \subset (0, +\infty)$;
- $\int_0^{\infty} |f(x)| dx$ сходится.

В точках разрыва интеграл Фурье сходится к значению

$$\frac{1}{2}[f(x-0) + f(x+0)].$$

Второе из сформулированных условий допускает обращение функции $f(x)$ в бесконечность, если только несобственный интеграл сходится.

II. Рассмотрим следующую сингулярную задачу Штурма—Лиувилля:

$$\begin{aligned} X'' + \lambda X &= 0, \quad -\infty < x < +\infty, \\ X|_{x \rightarrow \pm\infty} &= O(1). \end{aligned}$$

Имеем

$$\begin{aligned} X(x) &= A \cos(\sqrt{\lambda}x) + B \sin(\sqrt{\lambda}x), \quad \lambda \neq 0, \\ X(x) &= A + Bx, \quad \lambda = 0. \end{aligned} \quad (5.54)$$

Очевидно, условие ограниченности будет выполнено, если принять $\lambda > 0$ ($B = 0$ для (5.54)). Таким образом, собственные значения формируют непрерывный спектр $\lambda \in [0, +\infty)$; обозначим

$$\lambda = \lambda_\nu = \nu^2, \quad 0 \leq \nu < +\infty.$$

Собственные функции будут

$$X(x) = X_\nu(x) = A \cos(\sqrt{\lambda}x) + B \sin(\sqrt{\lambda}x).$$

В этом случае теорема разложения имеет вид

$$f(x) = \int_0^\infty [M(\nu) \cos(\nu x) + N(\nu) \sin(\nu x)] d\nu, \quad -\infty < x < +\infty \quad (5.55a)$$

— обычный интеграл Фурье, где

$$\begin{aligned} M(\nu) &= \frac{1}{\pi} \int_{-\infty}^{+\infty} f(x) \cos(\nu x) dx, \\ N(\nu) &= \frac{1}{\pi} \int_{-\infty}^{+\infty} f(x) \sin(\nu x) dx. \end{aligned} \quad (5.55b)$$

Сформулируем достаточные условия для применимости теоремы разложения — функция $f(x)$ абсолютно интегрируема на всей оси и удовлетворяет условиям Дирихле в любом замкнутом промежутке, то есть

- $f(x)$ — кусочно-непрерывна на $(-\infty, +\infty)$ и имеет конечное число максимумов и минимумов $\forall x \in [\alpha, \beta] \subset (-\infty, +\infty)$;
- $\int_{-\infty}^{\infty} |f(x)| dx$ — сходится.

Можно записать интеграл Фурье в комплексной форме

$$f(x) = \int_{-\infty}^{+\infty} F(\nu) e^{-i\nu x} d\nu, \quad F(\nu) = \frac{1}{2\pi} \int_{-\infty}^{+\infty} f(x) e^{i\nu x} dx. \quad (5.56)$$

III. Рассмотрим следующую задачу:

$$(rR')' + \lambda rR = 0, \quad 0 < r < +\infty,$$

$$R|_{r \rightarrow 0} - \text{ограничена}; R|_{r \rightarrow +\infty} - \text{ограничена}.$$

Имеем

$$R(r) = AJ_0(\sqrt{\lambda}r) + BY_0(\sqrt{\lambda}r), \quad \lambda \neq 0,$$

$$R(r) = A + B \ln r, \quad \lambda = 0.$$

В обоих случаях $B = 0$, так как $R(0) = O(1)$. Условие $R(+\infty) = O(1)$ приводит к тому, что $\lambda > 0$. Таким образом, собственные значения будут

$$\lambda = \lambda_\nu = \nu^2, \quad 0 \leq \nu < \infty.$$

Собственные функции

$$R = R_\nu(r) = J_0(\nu r).$$

Спектр задачи непрерывный, $\lambda \in [0, +\infty)$.

Теоремой разложения в этом случае служит формула *интеграла Фурье–Бесселя*:

$$f(r) = \int_0^\infty F(\nu) J_0(\nu r) d\nu, \quad 0 < r < +\infty,$$

$$F(\nu) = \nu \int_0^\infty f(r) r J_0(\nu r) dr. \quad (5.57)$$

Сформулируем достаточные условия для применимости теоремы разложения: функция $\sqrt{r}f(r)$ абсолютно интегрируема в интервале $(0, +\infty)$ и удовлетворяет условиям Дирихле в любом замкнутом промежутке из этого интервала, то есть:

- $f(r)$ кусочно-непрерывна на $(0, +\infty)$ и имеет конечное число максимумов и минимумов $\forall r \in [\alpha, \beta] \subset (0, +\infty)$;
- $\int_0^\infty \sqrt{r} |f(r)| dr$ сходится.

Отметим [15], что имеет место аналогичная теорема для $J_p(\nu r)$, где $p > 1/2$. Соответствующее разложение называется *интегралом Ханкеля*.

Отметим в заключение, что приведенные формулы (5.53-1а), (5.53-1б), (5.53-2а), (5.53-2б), (5.53-3а), (5.53-3б), (5.55а), (5.55б) и (5.56) называются также *преобразованиями Фурье* (прямым и обратным). Формулы (5.57) представляют, соответственно, частный случай *преобразования Ханкеля*.

Примеры задач с непрерывным спектром

Здесь мы рассмотрим несколько примеров решения задач математической физики с непрерывным спектром, на которых продемонстрируем технику применения разложений в интеграл.

Задача об охлаждении полубесконечного тела

Начнем с рассмотрения задачи теплопроводности. Если мы имеем *линейный* поток тепла в полубесконечной среде $[0, +\infty)$, то есть изменением температуры относительно z и y можно пренебречь, и если источники тепла в среде отсутствуют, то дифференциальное уравнение теплопроводности примет следующий простой вид:

$$\frac{\partial^2 T}{\partial x^2} - \frac{\partial T}{\partial \tau} = 0, \quad 0 < x < +\infty, \quad \tau > 0, \quad \tau = \frac{kt}{c\rho}. \quad (5.58)$$

Предположим, что граница тела $x = 0$ поддерживается при нулевой температуре, а начальная температура задана в виде функции $\varphi(x)$. Тогда дополнительные условия будут

$$T|_{x=0} = 0, \quad T|_{x \rightarrow \infty} - \text{ограничена}, \quad (5.59)$$

$$T|_{\tau=0} = \varphi(x). \quad (5.60)$$

Будем искать решение в форме

$$T(x, \tau) = X(x)Y(\tau).$$

Разделяя переменные в уравнении (5.58), находим

$$X'' + \lambda X = 0, \quad (5.61)$$

$$Y' + \lambda Y = 0. \quad (5.62)$$

Кроме того, учитывая условия (5.59),

$$X(0) = 0, \quad X(\infty) - \text{ограничена}. \quad (5.63)$$

Таким образом, мы пришли к задаче Штурма—Лиувилля (5.61) и (5.63). Мы знаем, что $\lambda = \lambda_\nu = \nu^2, 0 < \nu < +\infty$ — собственные значения и $X = X_\nu(x) = \sin(\nu x)$ — собственные функции этой задачи. Спектр задачи — непрерывный: $\lambda \in (0, \infty)$.

Уравнение (5.62) принимает вид

$$Y' + \nu^2 Y = 0 \Rightarrow Y_\nu(\tau) = C_\nu e^{-\nu^2 \tau}.$$

Таким образом, совокупность частных решений нашей задачи имеет вид

$$T(x, \tau) = T_\nu(x, \tau) = C_\nu e^{-\nu^2 \tau} \sin(\nu x), \quad 0 < \nu < +\infty.$$

Применяя обобщенный принцип суперпозиции, составим интеграл

$$T(x, \tau) = \int_0^\infty C_\nu e^{-\nu^2 \tau} \sin(\nu x) d\nu. \quad (5.64)$$

Здесь мы предполагаем, что интеграл (5.64) сходится так, что можно переходить к пределу под знаком интеграла и дифференцировать. Тогда

$$T|_{\tau=0} = \varphi(x) = \int_0^\infty C_\nu \sin(\nu x) d\nu, \quad 0 < \nu < +\infty.$$

По теореме разложения в синус-интеграл Фурье и предполагая, что функция $\varphi(x)$ разлагается в синус-интеграл Фурье, находим

$$C_\nu = \frac{2}{\pi} \int_0^\infty \varphi(x) \sin(\nu x) dx. \quad (5.65)$$

Таким образом, мы получили формальное решение нашей задачи в виде формул (5.64) и (5.65). Сейчас следовало бы доказать, что все наши рассуждения законны и интеграл (5.64) действительно сходится к функции $T(x, \tau)$, удовлетворяющей уравнению (5.58) и начальному условию (5.60). Вместо этого мы представим решение задачи в другой форме, которая позволяет проще обосновать это решение и оказывается справедливой для более широкого класса функций.

Преобразование полученного решения

Объединяя формулы (5.64) и (5.65), можно записать

$$T(x, \tau) = \frac{2}{\pi} \int_0^\infty e^{-v^2 \tau} \sin(\nu x) d\nu \int_0^\infty \varphi(\xi) \sin(\nu \xi) d\xi. \quad (5.66)$$

Допустим, что можно переставить порядок интегрирования.

Тогда

$$\begin{aligned} T(x, \tau) &= \frac{2}{\pi} \int_0^\infty \varphi(\xi) d\xi \int_0^\infty e^{-v^2 \tau} \sin(\nu x) \sin(\nu \xi) d\nu = \\ &= \frac{1}{\pi} \int_0^\infty \varphi(\xi) d\xi \int_0^\infty e^{-v^2 \tau} [\cos(v(\xi - x)) - \cos(v(\xi + x))] d\nu. \end{aligned} \quad (5.67)$$

Воспользуемся известной формулой

$$\int_0^\infty e^{-a^2 x^2} \cos(bx) dx = \frac{\sqrt{\pi}}{2a} e^{-\frac{b^2}{4a^2}}, \quad a > 0, \quad -\infty < b < +\infty. \quad (5.68)$$

Тогда (5.67) можно переписать в виде

$$\begin{aligned} T(x, \tau) &= \frac{1}{\pi} \int_0^\infty \varphi(\xi) \left[\frac{\sqrt{\pi}}{2\sqrt{\tau}} e^{-\frac{(\xi-x)^2}{4\tau}} - \frac{\sqrt{\pi}}{2\sqrt{\tau}} e^{-\frac{(\xi+x)^2}{4\tau}} \right] d\xi = \\ &= \frac{1}{2\sqrt{\pi\tau}} \int_0^\infty \varphi(\xi) \left[e^{-\frac{(\xi-x)^2}{4\tau}} - e^{-\frac{(\xi+x)^2}{4\tau}} \right] d\xi. \end{aligned} \quad (5.69)$$

Проведенное преобразование решения (5.66) упрощает вычисления; формула (5.69) справедлива для более широкого класса функций: функция $\varphi(x)$ может быть уже и константой, в то время как в (5.66) это не имеет места.

Можно непосредственно проверить, что функция

$$K(x, \tau, \xi) = \frac{1}{2\sqrt{\pi\tau}} \left[e^{-\frac{(\xi-x)^2}{4\tau}} - e^{-\frac{(\xi+x)^2}{4\tau}} \right]$$

является решением уравнения (5.58) при любом ξ .

Пример. Пусть $\varphi(x) = T_0 = \text{const}$, тогда, в силу (5.69), имеем

$$T(x, \tau) = \frac{T_0}{2\sqrt{\pi\tau}} \int_0^{\infty} \left[e^{-\frac{(\xi-x)^2}{4\tau}} - e^{-\frac{(\xi+x)^2}{4\tau}} \right] d\xi.$$

Здесь в первом интеграле делаем замену

$$\frac{\xi-x}{2\sqrt{\tau}} = s, \quad d\xi = 2\sqrt{\tau} ds,$$

а во втором — замену

$$\frac{\xi+x}{2\sqrt{\tau}} = s, \quad d\xi = 2\sqrt{\tau} ds.$$

Тогда

$$\begin{aligned} T(x, \tau) &= \frac{T_0}{2\sqrt{\pi\tau}} 2\sqrt{\tau} \left[\int_{\frac{x}{2\sqrt{\tau}}}^{\infty} e^{-s^2} ds - \int_{\frac{x}{2\sqrt{\tau}}}^{\infty} e^{-s^2} ds \right] = \\ &= \frac{T_0}{\sqrt{\pi}} \int_{\frac{x}{2\sqrt{\tau}}}^{\frac{x}{2\sqrt{\tau}}} e^{-s^2} ds = \frac{2T_0}{\sqrt{\pi}} \int_0^{\frac{x}{2\sqrt{\tau}}} e^{-s^2} ds. \end{aligned}$$

Таким образом, решение рассматриваемой задачи выражается через интеграл вероятности

$$\Phi(x) = \frac{2}{\sqrt{\pi}} \int_0^x e^{-s^2} ds,$$

то есть

$$T(x, \tau) = T_0 \Phi\left(\frac{x}{2\sqrt{\tau}}\right). \quad (5.70)$$

Теперь, пользуясь известными свойствами интеграла вероятности, легко проверить граничные и начальные условия

$$T|_{x=0} = T_0 \Phi(0) = 0, \quad T|_{x \rightarrow \infty} = T_0 \Phi(\infty) = T_0, \quad T|_{\tau=0} = T_0 \Phi(\infty) = T_0.$$

Непосредственным дифференцированием можно убедиться, что решение (5.70) удовлетворяет также и уравнению (5.58).

Задача Дирихле для полуплоскости

Рассмотрим следующую задачу: найти функцию $u \in C^{(2)}$, удовлетворяющую уравнению Лапласа

$$\Delta u \equiv \frac{\partial^2 u}{\partial x^2} + \frac{\partial^2 u}{\partial y^2} = 0, \quad y > 0$$

и граничным условиям

$$u|_{y=0} = f(x), \quad u|_{\sqrt{x^2+y^2} \rightarrow \infty} \text{ — ограничена} \quad (5.71)$$

в области $y \geq 0, -\infty < x < +\infty$.

Ищем решение задачи в форме

$$u = X(x)Y(y).$$

Откуда, разделяя переменные, получаем

$$X'' + \lambda X = 0, \quad X|_{x \rightarrow \pm\infty} - \text{ограничена}, \quad (5.72)$$

$$Y' - \lambda Y = 0. \quad (5.73)$$

Собственные функции и собственные значения задачи (5.72) имеют вид:

$$\lambda = \lambda_\nu = \nu^2, \quad 0 \leq \nu < +\infty, \\ X(x) = X_\nu(x) = A_\nu \cos(\nu x) + B_\nu \sin(\nu x).$$

Из уравнения (5.73) при $\lambda = \lambda_\nu = \nu^2$ находим

$$Y_\nu(y) = C_\nu e^{-\nu y} + D_\nu e^{\nu y}.$$

Учитывая ограниченность на бесконечности, получаем $D_\nu = 0$. Таким образом, частное решение задачи имеет вид

$$u_\nu(x, y) = e^{-\nu y} [M_\nu \cos(\nu x) + N_\nu \sin(\nu x)], \quad 0 \leq \nu < +\infty.$$

Воспользуемся обобщенным принципом суперпозиции и составим интеграл

$$u(x, y) = \int_0^\infty e^{-\nu y} [M_\nu \cos(\nu x) + N_\nu \sin(\nu x)] d\nu. \quad (5.74)$$

Считая сходимость интеграла (5.74) достаточно «хорошей», можем записать

$$u|_{y=0} = f(x) = \int_0^\infty [M_\nu \cos(\nu x) + N_\nu \sin(\nu x)] d\nu.$$

Согласно теореме разложения и предполагая, что функция $f(x)$ разлагается в интеграл Фурье, запишем

$$M_\nu = \frac{1}{\pi} \int_{-\infty}^{+\infty} f(x) \cos(\nu x) dx, \\ N_\nu = \frac{1}{\pi} \int_{-\infty}^{+\infty} f(x) \sin(\nu x) dx. \quad (5.75)$$

Таким образом, получили формальное решение задачи в виде формул (5.74) и (5.75).

Преобразование полученного решения

Объединяя формулы (5.74) и (5.75) и предполагая возможной замену порядка интегрирования, запишем так:

$$u = \int_0^\infty e^{-\nu y} d\nu \left[\frac{\cos(\nu x)}{\pi} \int_{-\infty}^{+\infty} f(\xi) \cos(\nu \xi) d\xi + \frac{\sin(\nu x)}{\pi} \int_{-\infty}^{+\infty} f(\xi) \sin(\nu \xi) d\xi \right] =$$

$$\begin{aligned}
 &= \frac{1}{\pi} \int_0^{\infty} e^{-vy} dv \int_{-\infty}^{+\infty} f(\xi) \cos(v(\xi-x)) d\xi = \\
 &= \frac{1}{\pi} \int_{-\infty}^{+\infty} f(\xi) d\xi \int_0^{\infty} e^{-vy} \cos(v(\xi-x)) dv.
 \end{aligned}$$

Вспользуемся известной формулой

$$\int_0^{\infty} e^{-ax} \cos(bx) dx = \frac{a}{a^2 + b^2}, \quad a > 0, \quad -\infty < b < +\infty.$$

Тогда

$$u(x, y) = \frac{1}{\pi} \int_{-\infty}^{+\infty} f(\xi) \frac{y}{(\xi-x)^2 + y^2} d\xi. \tag{5.76}$$

Формула (5.76) упрощает вычисления и справедлива для более широкого класса функций. Легко убедиться непосредственной проверкой, что функция

$$K(x, y, \xi) = \frac{y}{(\xi-x)^2 + y^2}$$

удовлетворяет уравнению Лапласа при любом ξ . Убедимся в выполнении граничного условия (5.71). В формуле (5.76) предельный переход при $y \rightarrow 0$ неприемлем. Поэтому запишем так:

$$\begin{aligned}
 u(x, y) &= \frac{1}{\pi} \int_{-\infty}^{+\infty} \underbrace{\frac{y}{(\xi-x)^2 + y^2} [f(\xi) - f(x)]}_{\xrightarrow{y \rightarrow 0} 0} d\xi + \\
 &+ f(x) \underbrace{\frac{1}{\pi} \int_{-\infty}^{+\infty} \frac{y}{(\xi-x)^2 + y^2} d\xi}_{=1} \xrightarrow{y \rightarrow 0} f(x).
 \end{aligned}$$

Здесь первый интеграл справа стремится к нулю при $y \rightarrow 0$, а второй интеграл равен единице. Таким образом, $u|_{y \rightarrow 0} = f(x)$.

Пример. Рассмотрим следующую задачу: найти стационарное распределение температуры $u = u(x, y)$ в полубесконечном теле, ограниченном плоскостью $y = 0$, часть которой ($|x| < a$) находится при заданной температуре u_0 , остальная часть ($|x| > a$) — при температуре, равной нулю.

Ясно, что сформулированная задача является рассмотренной нами задачей Дирихле для полуплоскости в случае, когда

$$f(x) = \begin{cases} u_0, & |x| < a, \\ 0, & |x| > a. \end{cases}$$

Из (5.76) будем иметь

$$u = \frac{u_0}{\pi} \int_{-a}^a \frac{y}{(\xi-x)^2 + y^2} d\xi = \frac{u_0}{\pi} \operatorname{arctg} \left(\frac{(\xi-x)}{y} \right) \Bigg|_{\xi=-a}^{\xi=+a} =$$

$$= \frac{u_0}{\pi} \left[\underbrace{\operatorname{arctg} \left(\frac{a-x}{y} \right)}_{=\alpha_1} + \underbrace{\operatorname{arctg} \left(\frac{a+x}{y} \right)}_{=\alpha_2} \right] = \frac{u_0}{\pi} \varphi,$$

где $\varphi = \alpha_1 + \alpha_2$ — угол, под которым отрезок $-a \leq x \leq a$, $y = 0$ виден из точки $M(x, y)$ (рис. 5.6).

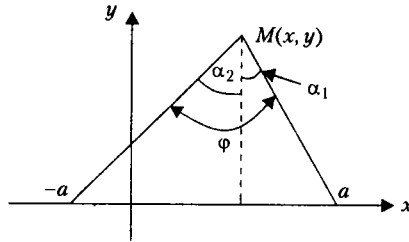


Рис. 5.6. Пример

Задача Дирихле для полупространства

Рассмотрим следующую задачу:

$$\Delta u = \frac{1}{r} \frac{\partial}{\partial r} \left(r \frac{\partial u}{\partial r} \right) + \frac{\partial^2 u}{\partial z^2} = 0, \quad 0 < r < \infty, \quad z > 0,$$

$$u|_{r \rightarrow 0} \text{ — ограничена, } u|_{\sqrt{r^2+z^2} \rightarrow \infty} \text{ — ограничена,}$$

$$u|_{z=0} = f(r). \quad (5.77)$$

Будем искать решение в виде

$$u(r, z) = R(r)Z(z).$$

Разделяя переменные, получим:

$$(rR')' + \lambda rR = 0. \quad (5.78)$$

$$R|_{r \rightarrow 0} \text{ — ограничена, } R|_{r \rightarrow \infty} \text{ — ограничена,} \quad (5.79)$$

$$Z'' - \lambda Z = 0. \quad (5.80)$$

Задача Штурма—Лиувилля для уравнения (5.78) с граничными условиями (5.79) имеет непрерывный спектр собственных значений:

$$\lambda \in [0, +\infty), \quad \lambda_\nu = \nu^2, \quad 0 \leq \nu < +\infty.$$

Собственные функции будут:

$$R_\nu(r) = J_0(\nu r).$$

Из уравнения (5.80) и условия ограниченности функции на бесконечности находим:

$$Z_\nu(z) = C_\nu e^{-\nu z} + D_\nu e^{\nu z}, \quad D_\nu = 0.$$

Таким образом, совокупность частных решений имеет вид

$$u_\nu(r, z) = C_\nu e^{-\nu z} J_0(\nu r), \quad 0 \leq \nu < \infty.$$

Чтобы удовлетворить условию (5.77), запишем разложение в интеграл

$$u(r, z) = \int_0^\infty C_\nu e^{-\nu z} J_0(\nu r) d\nu. \quad (5.81)$$

Предполагая возможным предельный переход под знаком интеграла при $z \rightarrow 0$, получим

$$u|_{z=0} = f(z) = \int_0^\infty C_\nu J_0(\nu r) d\nu.$$

Предполагая, что функция $f(z)$ разлагается в интеграл Фурье—Бесселя, находим

$$C_\nu = \nu \int_0^\infty f(r) r J_0(\nu r) dr. \quad (5.82)$$

Таким образом, получено формальное решение задачи в виде формул (5.81), (5.82).

Пример. В качестве примера использования полученного решения рассмотрим следующую задачу (рис. 5.7). Пусть массивное тело нагревается так, что на некотором круге радиуса a поддерживается постоянная температура $u = T_0$, а за пределами этого круга — температура $u = 0$. Требуется найти стационарное распределение температуры $u = u(r, z)$.

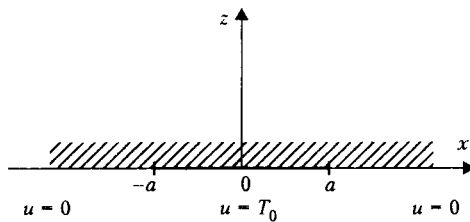


Рис. 5.7. Пример

Математическая формулировка задачи:

$$\begin{aligned} \Delta u &= 0, \quad 0 < r < \infty, \quad z > 0, \\ u|_{r \rightarrow 0} &\text{ — ограничена, } u|_{\sqrt{r^2 + z^2} \rightarrow \infty} \text{ — ограничена,} \\ u|_{z=0} = f(r) &= \begin{cases} T_0, & r < a, \\ 0, & r > a. \end{cases} \end{aligned}$$

Воспользуемся полученным решением (5.81), (5.82) и вычислим интеграл

$$C_\nu = \nu T_0 \int_0^a r J_0(\nu r) dr.$$

Имеем, учитывая уравнение Бесселя, которому удовлетворяет функция J_0 ,

$$\frac{d}{dr} \left[r \frac{dJ_0(vr)}{dr} \right] + v^2 r J_0(vr) = 0 \Rightarrow r J_0(vr) = -\frac{1}{v^2} [r J_0'(vr)]'.$$

Следовательно,

$$C_v = -\frac{T_0}{v} r J_0'(vr) \Big|_{r=0}^{r=a} = T_0 a J_1(va).$$

Соответственно, распределение температуры определяется формулой

$$u(r, z) = T_0 a \int_0^\infty e^{-vz} J_1(va) J_0(vr) dv.$$

Часто интерес представляет распределение температуры вдоль оси z . В этом случае

$$\begin{aligned} u|_{r=0} &= T_0 a \int_0^\infty e^{-vz} J_1(va) dv = -T_0 \int_0^\infty e^{-vz} dJ_0(va) = \\ &= -T_0 \left[e^{-vz} J_0(va) \Big|_{v=0}^{v=\infty} + z \int_0^\infty e^{-vz} J_0(va) dv \right] = T_0 \left[1 - \frac{z}{\sqrt{a^2 + z^2}} \right]. \end{aligned}$$

Таким образом, стационарное распределение температуры вдоль оси z дается формулой

$$u|_{r=0} = T_0 \left(1 - \frac{z}{\sqrt{a^2 + z^2}} \right).$$

Замечание о других краевых задачах

Плоские задачи решаются для областей следующего вида (рис. 5.8): а) *полуплоскость*; б) *полоса*. При этом рассматриваются уравнения $\Delta u = 0$ или $\Delta u + k^2 u = 0$ в области D . Граничные условия — первого, второго или третьего рода. Аппарат решения — разложение функции в интеграл Фурье по координате x .

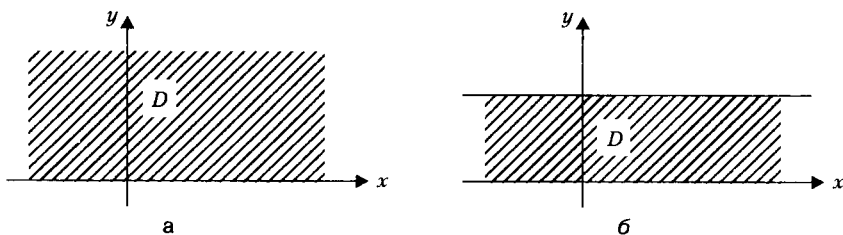


Рис. 5.8. Плоские задачи: а — полуплоскость, б — полоса

Пространственные задачи решаются для областей: а) *полупространство*; б) *слой*. При этом искомая функция удовлетворяет уравнению $\Delta u = 0$ или $\Delta u + k^2 u = 0$. Граничные условия — первого, второго или третьего рода. Решение ищется в виде разложения в интегралы Фурье–Бесселя.

Задача о радиальных колебаниях газа

Рассмотрим следующую задачу. Пусть задано начальное распределение плотности газа в пространстве. Требуется проследить дальнейшее распределение плотности — процесс выравнивания давления.

Будем рассматривать так называемые радиальные колебания газа, которые образуются в том случае, когда начальные условия зависят только от r — расстояния от колеблющейся частицы газа до начала координат.

Положение произвольной точки в пространстве в данном случае удобно характеризовать сферическими координатами (r, θ, φ) .

Математическая формулировка задачи:

$$\Delta u - \frac{1}{v^2} \frac{\partial^2 u}{\partial t^2} = 0 \Leftrightarrow \frac{1}{r^2} \frac{\partial}{\partial r} \left(r^2 \frac{\partial u}{\partial r} \right) - \frac{1}{v^2} \frac{\partial^2 u}{\partial t^2} = 0, \quad 0 < r < \infty, \quad t > 0,$$

$$u|_{t=0} = \varphi(r), \quad \left. \frac{\partial u}{\partial t} \right|_{t=0} = 0,$$

$$u|_{r \rightarrow 0} - \text{ограничена}, \quad u|_{r \rightarrow \infty} - \text{ограничена}.$$

Будем искать решение в виде

$$u(r, t) = R(r)T(t).$$

Разделяя переменные, получим

$$(r^2 R')' + \lambda r^2 R = 0. \quad (5.83)$$

$$T'' + \lambda v^2 T = 0. \quad (5.84)$$

Очевидно, необходимо потребовать

$$R|_{r \rightarrow 0} - \text{ограничена}, \quad R|_{r \rightarrow \infty} - \text{ограничена}, \quad (5.85)$$

Уравнение (5.83) можно записать так:

$$rR'' + 2R' + \lambda rR = 0 \Leftrightarrow (rR)'' + \lambda rR = 0.$$

Откуда

$$rR = A \cos(\sqrt{\lambda}r) + B \sin(\sqrt{\lambda}r), \quad \lambda \neq 0$$

или

$$rR = A + Br, \quad \lambda = 0.$$

Следовательно,

$$R = A \frac{\cos \sqrt{\lambda}r}{r} + B \frac{\sin \sqrt{\lambda}r}{r}, \quad \lambda \neq 0$$

или

$$R = \frac{A}{r} + B, \quad \lambda = 0.$$

Из граничных условий находим: $\lambda \in [0, +\infty)$. Спектр задачи непрерывный:

$$\lambda_\nu = \nu^2, \quad 0 \leq \nu < \infty$$

— собственные числа;

$$R_\nu(r) = B_\nu \frac{\sin(\sqrt{\lambda_\nu}r)}{r} = B_\nu \frac{\sin(\nu r)}{r}$$

— собственные функции задачи (5.83), (5.85).

Из уравнения (5.84) будем иметь

$$T_v(t) = C_v \cos(vvt) + D_v \sin(vvt),$$

и так как $\left. \frac{\partial u}{\partial t} \right|_{t=0} = 0$, то следует принять $D_v = 0$.

Итак, получаем совокупность частных решений

$$u_v = M_v \frac{\sin(vr)}{r} \cos(vvt), \quad 0 \leq v < \infty,$$

откуда находим

$$u(r, t) = \int_0^{\infty} M_v \frac{\sin(vr)}{r} \cos(vvt) dv.$$

Предполагая возможным предельный переход при $t \rightarrow 0$, получим

$$u|_{t=0} = \varphi(r) = \int_0^{\infty} M_v \frac{\sin(vr)}{r} dv, \quad 0 \leq r < \infty,$$

или, допуская, что функция $r\varphi(r)$ разлагается в синус-интеграл Фурье, находим

$$r\varphi(r) = \int_0^{\infty} M_v \sin(vr) dv \Rightarrow M_v = \frac{2}{\pi} \int_0^{\infty} r\varphi(r) \sin(vr) dv, \quad 0 \leq r < \infty. \quad (5.86)$$

Полученная форма решения часто неудобна из-за плохой сходимости интеграла, причиной которой является характер подынтегральных функций. Поэтому преобразуем полученное формальное решение.

Имеем

$$\begin{aligned} u &= \int_0^{\infty} M_v \frac{\sin(vr)}{r} \cos(vvt) dv = \\ &= \frac{1}{2r} \int_0^{\infty} M_v [\sin(v(r+vt)) + \sin(v(r-vt))] dv \Rightarrow \\ ru &= \frac{1}{2} \left\{ \int_0^{\infty} M_v \sin(v(r+vt)) dv + \int_0^{\infty} M_v \sin(v(r-vt)) dv \right\}. \end{aligned}$$

На основании формулы (5.86) можно записать ($0 \leq r+vt < \infty$)

$$ru = \frac{1}{2} \{ (r+vt)\varphi(r+vt) \pm |r-vt|\varphi(|r-vt|) \}.$$

Здесь выбираем знак «+» при $r > vt$ и «-» — при $r < vt$.

Таким образом, окончательно

$$u = \frac{1}{2r} \{ (r+vt)\varphi(r+vt) + (r-vt)\varphi(|r-vt|) \}. \quad (5.87)$$

В формуле (5.87) первое слагаемое — сферическая волна, идущая из бесконечности к началу координат; второе слагаемое — сферическая волна, распространяющаяся из начала координат.

Метод интегральных преобразований

Для решения задач математической физики с непрерывным спектром, наряду с описанным выше методом, во многих случаях может быть с успехом использован метод интегральных преобразований. Под интегральным преобразованием функции $f(x)$ понимается значение определенного интеграла, взятого по заданному промежутку¹ от произведения $f(x)$ на ядро преобразования, представляющее собой функцию переменной x и некоторого параметра, который может принимать произвольные значения в заданной вещественной или комплексной области.

Интегральные преобразования

Интегральные преобразования, встречающиеся в математической физике, могут быть условно разделены на «вещественные» и «комплексные» в зависимости от значений, принимаемых параметром преобразования.

Пусть задана некоторая функция $K(x, v)$, где $a < x < \infty$, $b < v < \infty$. Будем предполагать эту функцию непрерывной от x и v в указанной области. Пусть $f(x) \in A$ — функция вещественной переменной (A — некоторый класс функций). Если для каждой функции класса A интеграл

$$F(v) = \int_a^{\infty} K(x, v) f(x) dx \quad (5.88)$$

сходится, то в этом случае говорят, что определено *интегральное преобразование* $F(v)$ от функции $f(x)$ на классе A . При этом функция $K(x, v)$ называется *ядром* интегрального преобразования.

Во многих случаях существует обратная зависимость для (5.88). Она имеет вид

$$f(x) = \int_b^{\infty} M(x, v) F(v) dv. \quad (5.89)$$

Функция $M(x, v)$ называется *ядром обратного преобразования*. Формула (5.89) — обращение преобразования (5.88). Конкретная структура ядра $M(x, v)$ зависит от ядра $K(x, v)$ и пределов изменения переменных. Как правило, формула (5.89) имеет место в некотором классе B (не на всем классе A : $B \subset A$), то есть $f(x) \in B$. Обе формулы (5.88) и (5.89) можно объединить в одну

$$f(x) = \int_b^{\infty} M(x, v) dv \int_a^{\infty} K(y, v) f(y) dy, \quad f(x) \in B, \quad a < x < \infty. \quad (5.90)$$

¹ В задачах математической физики этот промежуток совпадает с интервалом изменения той переменной, по функциям которой ведется разложение.

Формула (5.90) — разложение функции $f(x)$ по функциям $M(x, v)$. Часто случается, что формулы (5.88) и (5.89) взаимны.

В разделе «Задачи с непрерывным спектром» мы уже встречались с интегральными преобразованиями Фурье и Ханкеля. К группе вещественных преобразований, общий вид которых может быть представлен в форме (5.88), относятся, например, следующие преобразования.

Синус-преобразование Фурье.

$$F(v) = \int_0^{\infty} f(x) \sin(vx) dx, \quad 0 < v < \infty. \quad (5.91)$$

Формула обращения синус-преобразования Фурье:

$$f(x) = \frac{2}{\pi} \int_0^{\infty} F(v) \sin(vx) dv, \quad 0 < x < \infty. \quad (5.92)$$

Здесь $K(x, v) = \sin(vx)$, $M(x, v) = 2 \sin(vx)/\pi$. Обратим внимание на то, что теперь, в отличие от формул (5.53-1а), (5.53-1б), числовой коэффициент $2/\pi$ стоит перед интегралом для функции $F(v)$. Положение этого коэффициента, вообще говоря, неважно. Иногда, чтобы сделать формулы типа (5.91) и (5.92) симметричными, ставится числовой коэффициент $\sqrt{2/\pi}$ перед обоими интегралами в этих формулах. Аналогичное замечание справедливо и для других преобразований.

В качестве класса A можно взять класс кусочно-непрерывных и абсолютно интегрируемых функций на $(0, +\infty)$. Класс B — класс таких же функций, но имеющих конечное число максимумов и минимумов на любом $[\alpha, \beta] \subset (0, +\infty)$.

Косинус-преобразование Фурье.

$$F(v) = \int_0^{\infty} f(x) \cos(vx) dx, \quad 0 < v < \infty. \quad (5.93)$$

Формула обращения

$$f(x) = \frac{2}{\pi} \int_0^{\infty} F(v) \cos(vx) dv, \quad 0 < x < \infty. \quad (5.94)$$

Обобщенное преобразование Фурье.

$$F(v) = \int_0^{\infty} f(x) \frac{v \cos(vx) + h \sin(vx)}{\sqrt{v^2 + h^2}} dx, \quad 0 < v < \infty. \quad (5.95)$$

Формула обращения

$$f(x) = \frac{2}{\pi} \int_0^{\infty} F(v) \frac{v \cos(vx) + h \sin(vx)}{\sqrt{v^2 + h^2}} dv, \quad 0 < x < \infty. \quad (5.96)$$

Классическое преобразование Фурье.

$$F(v) = \int_{-\infty}^{\infty} f(x) e^{ivx} dx, \quad -\infty < v < \infty. \quad (5.97)$$

Формула обращения:

$$f(x) = \frac{1}{2\pi} \int_{-\infty}^{\infty} F(v) e^{-ivx} dv, \quad -\infty < x < \infty. \quad (5.98)$$

Ядра классического преобразования Фурье имеют структуру

$$K(x, v) = e^{ivx}, \quad M(x, v) = \frac{1}{2\pi} e^{-ivx}.$$

Преобразование Фурье—Бесселя

$$F(v) = \int_a^{\infty} f(r) r J_0(vr) dr, \quad 0 < v < \infty. \quad (5.99)$$

Формула обращения

$$f(r) = \int_a^{\infty} F(v) v J_0(vr) dv, \quad 0 < r < \infty. \quad (5.100)$$

Здесь ядра имеют вид $K(r, v) = r J_0(vr)$, $M(x, v) = v J_0(vr)$. Класс функций, для которых справедливо преобразование, определяется теоремой разложения в интеграл Фурье—Бесселя.

Типичными представителями другой группы преобразований, которые могут быть представлены в виде

$$F(p) = \int_a^{\infty} K(x, p) f(x) dx$$

(a — заданное число, $p = \sigma + it$ — параметр, изменяющийся в некоторой области D плоскости комплексного переменного, K — ядро преобразования), являются:

- преобразование Лапласа: $K(x, p) = e^{-xp}$, $a = 0$, D — полуплоскость, лежащая правее некоторой прямой $\sigma = \sigma_1$, параллельной мнимой оси;
- преобразование Меллина: $K(x, p) = x^{p-1}$, $a = 0$, D — полоса, заключенная между параллельными прямыми $\sigma = \sigma_1$ и $\sigma = \sigma_2$.

С преобразованием Лапласа мы познакомимся в следующей главе.

С помощью интегральных преобразований можно решать неоднородные задачи математической физики по схеме метода Гринберга. Применение интегрального преобразования к дифференциальному уравнению в частных производных временно исключает одну из независимых переменных, вследствие чего интегрирование заданного дифференциального уравнения в частных производных сводится к интегрированию уравнения в частных производных, содержащих на единицу меньше независимых переменных, чем заданное уравнение. Если исходное уравнение с двумя независимыми переменными, то применение интегрального преобразования сводит задачу к интегрированию обыкновенного дифференциального уравнения.

Решение преобразованного таким образом уравнения является функцией от v и остальных переменных. После того как указанное решение получено, требуется «обратить» его, чтобы восстановить «утраченную» переменную. Этот процесс

обращения сводится, по существу, к решению одного из интегральных уравнений (5.91), (5.93), (5.95), (5.97), (5.99) относительно функции $f(x)$; функция $F(v)$ предполагается известной. Формальные решения этих интегральных уравнений даются соответственно формулами обращения (5.92), (5.94), (5.96), (5.98), (5.100).

Достоинствами метода интегральных преобразований являются возможность применения метода к однородным и неоднородным задачам, упрощение выкладок и разделение принципиальной и чисто вычислительной части решения, а также возможность построения операционного исчисления для данного ядра путем составления таблиц прямых и обратных преобразований различных часто встречающихся в приложениях функций.

Преобразование Фурье

Ввиду большой важности интегрального преобразования Фурье напомним здесь некоторые основные свойства этого преобразования.

Пусть $f(x)$ — произвольная функция, определенная на интервале $(-\infty, +\infty)$ и удовлетворяющая следующим условиям:

- 1) $f(x)$ — кусочно-непрерывна на $(-\infty, +\infty)$.
- 2) $f(x)$ абсолютно интегрируема на всей числовой оси, то есть $\int_{-\infty}^{+\infty} |f(x)| dx$ имеет конечное значение.

Будем говорить, что тогда $f(x) \in A$. При таких условиях функция $f(x)$ может быть представлена в виде разложения в интеграл Фурье

$$f(x) = \frac{1}{2\pi} \int_{-\infty}^{\infty} e^{-isx} ds \int_{-\infty}^{\infty} f(\xi) e^{is\xi} d\xi, \quad -\infty < x < +\infty,$$

причем в точке разрыва первого рода $x = c$ левая часть формулы должна быть заменена полусуммой $[f(c-0) + f(c+0)]/2$.

Преобразованием Фурье от функции $f(x)$ называется интеграл

$$\tilde{f}(s) = \int_{-\infty}^{\infty} f(x) e^{isx} dx, \quad -\infty < s < +\infty. \quad (5.101)$$

Для функций, удовлетворяющих перечисленным условиям, преобразование Фурье всегда существует. Действительно, интеграл

$$\int_{-\alpha}^{\beta} f(x) e^{isx} dx,$$

где α и β — любые конечные числа, всегда существует (интеграл Римана), кроме того, $|f(x) e^{isx}| = |f(x)|$. Поэтому интеграл (5.101) сходится.

Преобразование Фурье обладает следующими свойствами.

Если $f(x) = c_1 f_1(x) + c_2 f_2(x)$, где функции $f_1(x), f_2(x) \in A$, а c_1 и c_2 — константы, то $\tilde{f}(s) = c_1 \tilde{f}_1(s) + c_2 \tilde{f}_2(s)$ (свойство линейности преобразования Фурье).

Сверткой двух функций $f_1(x), f_2(x) \in A$ называется функция, определяемая по формуле $f(x) = \int_{-\infty}^{\infty} f_1(y)f_2(x-y)dy = \{f_1, f_2\}$; причем свертка коммутативна, то

есть $\{f_1, f_2\} = \{f_2, f_1\}$. Справедлива формула $\tilde{f}(s) = \tilde{f}_1(s)\tilde{f}_2(s)$,

$$\tilde{f}(s) \rightarrow 0 \text{ при } s \rightarrow \pm\infty.$$

Имеет место формула обращения, которая справедлива для функций $f(x) \in B$, удовлетворяющих условиям:

- 1) $f(x)$ — кусочно-непрерывна и имеет конечное число максимумов и минимумов в любом замкнутом промежутке $[a, b] \subset (-\infty, +\infty)$.
- 2) $f(x)$ абсолютно интегрируема на всей числовой оси, то есть $\int_{-\infty}^{+\infty} |f(x)| dx$ имеет конечное значение.

Формула обращения имеет вид (в точках непрерывности)

$$f(x) = \frac{1}{2\pi} \int_{-\infty}^{\infty} \tilde{f}(s) e^{-isx} ds, \quad -\infty < x < +\infty.$$

Неоднородные задачи с непрерывным спектром

Рассмотрим технику применения метода интегральных преобразований на примере следующей задачи: найти функцию $u = u(x, y)$, удовлетворяющую следующим условиям: уравнению

$$L_x(u) + M_y(u) = F(x, y), \quad a < x < \infty, \quad c < y < d,$$

где L_x, M_y — линейные дифференциальные операторы,

$$L_x(u) = \frac{1}{r(x)} \left[\frac{\partial}{\partial x} \left(p(x) \frac{\partial u}{\partial x} \right) - q(x)u \right],$$

$$M_y(u) = A(y) \frac{\partial^2 u}{\partial y^2} + B(y) \frac{\partial u}{\partial y} + C(y)u.$$

Если $x = a$ — регулярная граница, то удовлетворяются условия одного из следующих типов:

$$u|_{x=a} = f(y),$$

$$\frac{\partial u}{\partial x} \Big|_{x=a} = f(y),$$

$$\frac{\partial u}{\partial x} - hu \Big|_{x=a} = f(y), \quad h > 0.$$

На сингулярной границе выполняется условие $u|_{x \rightarrow \infty} = O(1)$.

Если $x = a$ — сингулярная граница, то $u|_{x \rightarrow a} = O(1), u|_{x \rightarrow \infty} = O(1)$. Далее выполняются некоторые условия по переменной y , которые зависят от типа уравнения.

Соответствующая задача Штурма—Лиувилля имеет вид

$$(pX')' + (\lambda r - q)X = 0.$$

Если $x = a$ — регулярная граница, то

$$X|_{x=a} = 0,$$

либо

$$\left. \frac{dX}{dx} \right|_{x=a} = 0,$$

либо

$$\left. \frac{dX}{dx} - hX \right|_{x=a} = 0$$

и

$$X|_{x \rightarrow \infty} = O(1).$$

Если $x = a$ — сингулярная граница, то

$$X|_{x \rightarrow a} = O(1), \quad X|_{x \rightarrow \infty} = O(1).$$

Будем считать, что сформулированная задача Штурма—Лиувилля имеет непрерывный спектр собственных значений, которые обозначим $\lambda = \lambda_\nu = \nu^2$; а собственные функции — $X = X_\nu(x)$, $0 < \nu < \infty$.

Поступим по аналогии с методом Гринберга:

$$\begin{aligned} \int_a^\infty X_\nu \left[\frac{\partial}{\partial x} \left(p(x) \frac{\partial u}{\partial x} \right) - q(x)u \right] dx + \int_a^\infty M_y(u) r X_\nu dx &= \int_a^\infty F(x, y) r X_\nu dx \Rightarrow \\ p \left(X_\nu \frac{\partial u}{\partial x} - X'_\nu u \right) \Big|_{x=a}^{x=\infty} + \int_a^\infty u \underbrace{[(pX'_\nu)' - qX_\nu]}_{=-\lambda_\nu r X_\nu} dx + M_y \left(\int_a^\infty u r X_\nu dx \right) &= \\ = \int_a^\infty \underbrace{F(x, y) r X_\nu dx}_{=\bar{F}_\nu(y)} dx. \end{aligned}$$

Введем в рассмотрение интегральное преобразование

$$\bar{u}_\nu = \int_a^\infty u r X_\nu dx. \quad (5.102)$$

Тогда наше уравнение будет иметь вид

$$M_y(\bar{u}_\nu) - \lambda_\nu \bar{u}_\nu = \bar{F}_\nu(y) - G_\nu(y), \quad (5.103)$$

где

$$G_\nu(y) = p \left(X_\nu \frac{\partial u}{\partial x} - X'_\nu u \right) \Big|_{x=a}^{x=\infty}. \quad (5.104)$$

Пусть $x = a$ — регулярная граница. Имеем

$$p \left(X_v \frac{\partial u}{\partial x} - X'_v u \right) \Big|_{x=a} = \begin{cases} -p(a)X'_v(a)f(y) & \text{для условий первого рода,} \\ p(a)X_v(a)f(y) & \text{для условий второго рода,} \\ p(a)X_v(a)f(y) & \text{для условий третьего рода.} \end{cases}$$

Таким образом, правая часть в формуле (5.104) при $x = a$ — известная функция. Наложим некоторые дополнительные условия при $x = \infty$. Будем считать, что

$$p \left(X_v \frac{\partial u}{\partial x} - X'_v u \right) \Big|_{x=\infty} = 0.$$

При таких условиях $G_v(y)$ — известная функция.

Если $x = a$ — сингулярная граница, то потребуем, чтобы

$$p \left(X_v \frac{\partial u}{\partial x} - X'_v u \right) \Big|_{x=a} = 0, \quad p \left(X_v \frac{\partial u}{\partial x} - X'_v u \right) \Big|_{x=\infty} = 0.$$

При таких дополнительных условиях метод интегральных преобразований применим. Для полной постановки задачи для уравнения (5.103) необходимо еще трансформировать условия по переменной y .

Решив уравнение (5.103) с соответствующими условиями по переменной y , найдем функцию \bar{u}_v . Затем функцию u найдем по формуле обращения

$$u(x, y) = \int_a^{\infty} M(x, v) \bar{u}_v(y) dv,$$

где $M(x, v)$ — ядро обратного преобразования для преобразования (5.102); ядро преобразования (5.102) имеет вид $K(x, v) = r(x)X_v(x)$.

Может оказаться так, что сформулированные дополнительные условия неприемлемы для рассматриваемой задачи. Тогда метод интегральных преобразований тоже неприменим.

Примеры решения неоднородных задач с непрерывным спектром

Здесь мы на нескольких примерах рассмотрим технику применения интегральных преобразований для решения неоднородных задач математической физики с непрерывным спектром.

Задача Дирихле для полуполосы

Рассмотрим задачу Дирихле для уравнения Лапласа в области, представляющей собой полуполосу $D = \{0 < x < \infty, 0 < y < b\}$ (рис. 5.9).

Требуется найти функцию $u \in C^{(2)}(D)$, удовлетворяющую условиям

$$\begin{aligned} \Delta u &= 0, \quad (x, y) \in D, \\ u|_{x=0} &= f(y), \quad u|_{x \rightarrow \infty} = O(1), \\ u|_{y=0} &= \varphi_0(x), \quad u|_{y=b} = \varphi_b(x). \end{aligned} \tag{5.105}$$

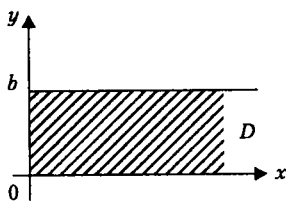


Рис. 5.9. Полуполоса

Соответствующая задача Штурма—Лиувилля имеет вид ($0 < x < \infty$):

$$X'' + \lambda X = 0, \quad X(0) = 0, \quad X|_{x \rightarrow \infty} = O(1). \quad (5.106)$$

Спектр задачи (5.106) непрерывный: $\lambda \in (0, +\infty)$. Собственные значения $\lambda = \lambda_\nu = \nu^2$, ($0 < \nu < \infty$); собственные функции $X_\nu(x) = \sin(\nu x)$.

В соответствии с общей теорией

$$\begin{aligned} \int_0^\infty \frac{\partial^2 u}{\partial x^2} \sin(\nu x) dx + \int_0^\infty \frac{\partial^2 u}{\partial y^2} \sin(\nu x) dx = 0 \Rightarrow \\ \left[\frac{\partial u}{\partial x} \sin(\nu x) - \nu u \cos(\nu x) \right]_{x=0}^{x=\infty} - \nu^2 \int_0^\infty u \sin(\nu x) dx + \\ + \frac{d^2}{dy^2} \left(\int_0^\infty u \sin(\nu x) dx \right) = 0. \end{aligned} \quad (5.107)$$

Потребуем, чтобы

$$u|_{x \rightarrow \infty} \rightarrow 0, \quad \frac{\partial u}{\partial x} \Big|_{x \rightarrow \infty} \rightarrow 0. \quad (5.108)$$

Условие (5.108) должно быть согласовано с поведением функций (5.105): $\varphi_0 \rightarrow 0$, $\varphi_b \rightarrow 0$ при $x \rightarrow \infty$. Теперь уравнение (5.107) примет вид

$$\frac{d^2 \bar{u}}{dy^2} - \nu^2 \bar{u} = -\nu f(y), \quad (5.109)$$

где

$$\bar{u} = \int_0^\infty u \sin(\nu x) dx.$$

Трансформируем условия (5.105):

$$\bar{u}|_{y=0} = \bar{\varphi}_0, \quad \bar{u}|_{y=b} = \bar{\varphi}_b, \quad (5.110)$$

где введены обозначения

$$\bar{\varphi}_0 = \int_0^\infty \varphi_0(x) \sin(\nu x) dx, \quad \bar{\varphi}_b = \int_0^\infty \varphi_b(x) \sin(\nu x) dx.$$

Решив уравнение (5.109) при условиях (5.110), найдем $\bar{u} = \bar{u}_\nu(y)$. Откуда, по формуле обращения,

$$u(x, y) = \frac{2}{\pi} \int_0^{\infty} \bar{u}_v(y) \sin(vx) dv.$$

Пример. Пусть $f(y) = u_0$, $\varphi_0(x) = 0$, $\varphi_b(x) = 0$. В этом случае уравнение (5.109) будет иметь вид

$$\frac{d^2 \bar{u}}{dy^2} - v^2 \bar{u} = -v u_0.$$

Откуда находим

$$\bar{u} = A \operatorname{sh}(vy) + B \operatorname{sh}(v(b-y)) + \frac{u_0}{v}.$$

Имеем далее

$$\bar{u}|_{y=0} = 0 \Rightarrow B \operatorname{sh}(vb) + \frac{u_0}{v} = 0,$$

$$\bar{u}|_{y=b} = 0 \Rightarrow A \operatorname{sh}(vb) + \frac{u_0}{v} = 0,$$

откуда

$$A = -\frac{u_0}{v \operatorname{sh}(vb)}, \quad B = -\frac{u_0}{v \operatorname{sh}(vb)}.$$

Таким образом,

$$\bar{u} = \frac{u_0}{v} \left\{ 1 - \frac{\operatorname{sh}(vy)}{\operatorname{sh}(vb)} - \frac{\operatorname{sh}(v(b-y))}{\operatorname{sh}(vb)} \right\},$$

откуда окончательно получаем

$$u = \frac{2u_0}{\pi} \int_0^{\infty} \left\{ 1 - \frac{\operatorname{sh}(vy)}{\operatorname{sh}(vb)} - \frac{\operatorname{sh}(v(b-y))}{\operatorname{sh}(vb)} \right\} \frac{\sin(vx)}{v} dv.$$

Задача об изгибе плиты

Рассмотрим пластину в виде бесконечной полосы ширины b (рис. 5.10). Будем считать, что края плиты жестко закреплены.

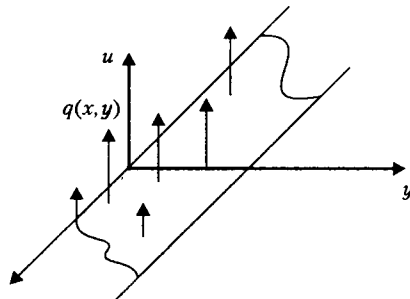


Рис. 5.10. Изгиб плиты

Известно, что прогиб такой пластины удовлетворяет следующему дифференциальному уравнению:

$$\Delta^2 u \equiv \frac{\partial^4 u}{\partial x^4} + 2 \frac{\partial^4 u}{\partial x^2 \partial y^2} + \frac{\partial^4 u}{\partial y^4} = \frac{q(x, y)}{D}, \quad -\infty < x < +\infty, \quad 0 < y < b. \quad (5.111)$$

Здесь $q(x, y)$ — плотность заданной распределенной нагрузки, действующей на плиту; D — так называемая цилиндрическая жесткость плиты. Уравнение (5.111) — уравнение Софи Жермен—Лагранжа

Сформулируем граничные условия:

$$u|_{x \rightarrow \pm\infty} = O(1), \quad \frac{\partial u}{\partial x} \Big|_{x \rightarrow \pm\infty} = O(1), \quad (5.112)$$

$$u|_{y=0, b} = 0, \quad \frac{\partial u}{\partial y} \Big|_{y=0, b} = 0. \quad (5.113)$$

Условия (5.112) означают, что прогиб и угол поворота на бесконечности ($x \rightarrow \pm\infty$) должны быть ограничены; условия (5.113) — условия закрепления кромок плиты (прогиб и угол поворота должны быть равны нулю).

Умножим уравнение (5.111) на e^{ivx} и проинтегрируем от $-\infty$ до $+\infty$. Обозначим

$$\bar{u} = \int_{-\infty}^{+\infty} u e^{ivx} dx.$$

Будем требовать, чтобы, в соответствии с (5.112), дополнительно выполнялись условия

$$u|_{x \rightarrow \pm\infty} \rightarrow 0, \quad \frac{\partial u}{\partial x} \Big|_{x \rightarrow \pm\infty} \rightarrow 0, \quad \frac{\partial^2 u}{\partial x^2} \Big|_{x \rightarrow \pm\infty} \rightarrow 0, \quad \frac{\partial^3 u}{\partial x^3} \Big|_{x \rightarrow \pm\infty} \rightarrow 0. \quad (5.114)$$

Это требование должно быть согласовано с поведением функции $q(x, y)$. После интегрирования получим

$$\begin{aligned} \int_{-\infty}^{+\infty} \frac{\partial^2 u}{\partial x^2} e^{ivx} dx &= \frac{\partial u}{\partial x} e^{ivx} \Big|_{x=-\infty}^{x=+\infty} - iv \int_{-\infty}^{+\infty} \frac{\partial u}{\partial x} e^{ivx} dx = \\ &= \left[\frac{\partial u}{\partial x} e^{ivx} - ive^{ivx} u \right] \Big|_{x=-\infty}^{x=+\infty} - v^2 \int_{-\infty}^{+\infty} u e^{ivx} dx = -v^2 \bar{u}, \\ \int_{-\infty}^{+\infty} \frac{\partial^4 u}{\partial x^4} e^{ivx} dx &= \frac{\partial^3 u}{\partial x^3} e^{ivx} \Big|_{x=-\infty}^{x=+\infty} - iv \int_{-\infty}^{+\infty} \frac{\partial^3 u}{\partial x^3} e^{ivx} dx = \\ &= \left[\frac{\partial^3 u}{\partial x^3} e^{ivx} - ive^{ivx} \frac{\partial^2 u}{\partial x^2} \right] \Big|_{x=-\infty}^{x=+\infty} - v^2 \int_{-\infty}^{+\infty} \frac{\partial^2 u}{\partial x^2} e^{ivx} dx = v^4 \bar{u}, \\ 2 \int_{-\infty}^{+\infty} \frac{\partial^4 u}{\partial x^2 \partial y^2} e^{ivx} dx &= 2 \frac{d^2}{dy^2} \int_{-\infty}^{+\infty} \frac{\partial^2 u}{\partial x^2} e^{ivx} dx = -2v^2 \frac{d^2 \bar{u}}{dy^2}, \\ \int_{-\infty}^{+\infty} \frac{\partial^4 u}{\partial y^4} e^{ivx} dx &= \frac{d^4}{dy^4} \int_{-\infty}^{+\infty} u e^{ivx} dx = \frac{d^4 \bar{u}}{dy^4}. \end{aligned}$$

Таким образом, вместо уравнения в частных производных (5.111) имеем обыкновенное дифференциальное уравнение

$$\frac{d^4 \bar{u}}{dy^4} - 2\nu^2 \frac{d^2 \bar{u}}{dy^2} + \nu^4 \bar{u} = \frac{\bar{q}_\nu(y)}{D}, \quad (5.115)$$

где введено обозначение

$$\bar{q}_\nu = \int_{-\infty}^{+\infty} q(x, y) e^{i\nu x} dx.$$

Условия (5.113) трансформируются в следующие условия:

$$\bar{u}|_{y=0, b} = 0, \quad \left. \frac{\partial \bar{u}}{\partial y} \right|_{y=0, b} = 0. \quad (5.116)$$

Решив уравнение (5.115) при условиях (5.116), мы найдем функцию $\bar{u} = \bar{u}_\nu(y)$, а тогда прогиб плиты определится по формуле

$$u(x, y) = \frac{1}{2\pi} \int_{-\infty}^{+\infty} \bar{u}_\nu(y) e^{-i\nu x} d\nu.$$

ПРИМЕЧАНИЕ

Дополнительные условия (5.114) физически означают, что на бесконечности прогибы, углы поворотов (первые производные от прогибов), изгибающие моменты (пропорциональны вторым производным от прогибов) и поперечные силы (пропорциональны третьим производным от прогибов) исчезающе малы. Такое требование представляется физически разумным, если, конечно, оно согласовано с поведением функции $q(x, y)$.

Вопросы к главе 5

1. Дайте характеристику неоднородных задач математической физики. Какие методы служат для решения неоднородных задач?
2. В чем заключается сущность метода приведения к однородной задаче? Приведите примеры.
3. Сформулируйте основную идею метода Гринберга.
4. Изложите применение метода Гринберга для уравнения второго порядка с двумя независимыми переменными.
5. Приведите краткую схему решения задачи методом Гринберга.
6. Как связаны между собой методы Гринберга и Фурье?
7. Дайте решение задачи Дирихле для прямоугольника методом приведения к однородной задаче.
8. Дайте решение задачи Дирихле для прямоугольника методом Гринберга.
9. Дайте решение задачи о вынужденных колебаниях круглой мембраны методом приведения к однородной задаче.
10. Дайте решение задачи о вынужденных колебаниях круглой мембраны методом Гринберга.

11. Что можно сказать о сходимости рядов, полученных при решении методом Гринберга?
12. Дайте классификацию задач Штурма—Лиувилля.
13. Приведите примеры интегральных разложений, связанных с сингулярной задачей Штурма—Лиувилля.
14. Сформулируйте теорему разложения функции в синус-интеграл Фурье. С какой краевой задачей связано это разложение?
15. Сформулируйте теорему разложения функции в косинус-интеграл Фурье. С какой краевой задачей связано это разложение?
16. Напишите формулы интегрального разложения, связанного с граничными условиями третьего рода на полуоси.
17. Сформулируйте теорему разложения в интеграл Фурье—Бесселя. С какой краевой задачей связано это разложение?
18. Дайте решение задачи об охлаждении полубесконечного тела.
19. Дайте решение задачи Дирихле для полуплоскости.
20. Дайте решение задачи Дирихле для полупространства.
21. Дайте решение задачи о радиальных колебаниях газа.
22. Сформулируйте понятие интегрального преобразования. Приведите примеры интегральных преобразований.
23. Напишите формулы прямого и обратного преобразования Фурье.
24. Напишите формулы прямого и обратного преобразования Фурье—Бесселя.
25. Напишите формулы прямого и обратного обобщенного преобразования Фурье.
26. Напишите формулы прямого и обратного синус-преобразования Фурье.
27. Напишите формулы прямого и обратного косинус-преобразования Фурье.
28. Изложите применение метода интегральных преобразований для уравнения второго порядка с двумя независимыми переменными.
29. Дайте решение задачи Дирихле для полуполосы.
30. Дайте решение задачи об изгибе плиты.

Задачи с примерами решения

1. Решить смешанную задачу для неоднородного уравнения гиперболического типа

$$\frac{\partial^2 u}{\partial t^2} = v^2 \frac{\partial^2 u}{\partial x^2} - G, \quad v^2 = \frac{T_0}{\rho};$$

$$u|_{t=0} = 0, \quad \left. \frac{\partial u}{\partial t} \right|_{t=0} = 0; \quad u|_{x=0} = 0, \quad u|_{x=l} = 0.$$

2. Решить смешанную задачу для неоднородного уравнения гиперболического типа

$$\frac{\partial^2 u}{\partial t^2} = v^2 \frac{\partial^2 u}{\partial x^2} + g, \quad v^2 = \frac{E}{\rho};$$

$$u|_{t=0} = 0, \quad \left. \frac{\partial u}{\partial t} \right|_{t=0} = 0; \quad u|_{x=0} = 0, \quad \left. \frac{\partial u}{\partial x} \right|_{x=l} = 0.$$

3. Решить смешанную задачу для неоднородного уравнения гиперболического типа

$$\frac{\partial^2 u}{\partial t^2} = \frac{\partial^2 u}{\partial x^2} + 2t, \quad 0 < x < 1, \quad t > 0;$$

$$u|_{t=0} = 0, \quad \left. \frac{\partial u}{\partial t} \right|_{t=0} = x; \quad u|_{x=0} = 0, \quad \left. \frac{\partial u}{\partial x} \right|_{x=1} = t.$$

4. Решить смешанную задачу для неоднородного уравнения параболического типа

$$\frac{\partial u}{\partial t} = \frac{\partial^2 u}{\partial x^2} + t(x+1), \quad 0 < x < 1, \quad t > 0;$$

$$u|_{t=0} = 0, \quad \left. \frac{\partial u}{\partial x} \right|_{x=0} = t^2, \quad u|_{x=1} = t^2.$$

5. Решить смешанную задачу для неоднородного уравнения гиперболического типа

$$\frac{\partial^2 u}{\partial t^2} = \frac{\partial^2 u}{\partial x^2} + 2b, \quad b = \text{const}, \quad 0 < x < l, \quad t > 0;$$

$$u|_{t=0} = 0, \quad \left. \frac{\partial u}{\partial t} \right|_{t=0} = 0; \quad u|_{x=0} = 0, \quad u|_{x=l} = 0.$$

6. Решить смешанную задачу для неоднородного уравнения гиперболического типа

$$\frac{\partial^2 u}{\partial t^2} = \frac{\partial^2 u}{\partial x^2} + \cos(t), \quad 0 < x < \pi, \quad t > 0;$$

$$u|_{t=0} = 0, \quad \left. \frac{\partial u}{\partial t} \right|_{t=0} = 0; \quad u|_{x=0} = 0, \quad u|_{x=\pi} = 0.$$

7. Решить задачу о колебаниях однородной струны ($0 < x < l$), закрепленной на концах $x = 0, x = l$, под действием внешней непрерывно распределенной силы с плотностью $p(x, t) = A\rho \sin(\omega t)$, $\omega \neq k\pi v/l$, $k = 1, 2, 3, \dots$ Начальные условия — нулевые.

8. Решить задачу о вынужденных поперечных колебаниях струны, закрепленной на одном конце $x = 0$ и подверженной на другом конце $x = l$ действию возмущающей силы, которая вызывает смещение, равное $A \sin(\omega t)$, где $\omega \neq k\pi v/l$, $k = 1, 2, 3, \dots$ Начальные условия — нулевые.

9. Решить смешанную задачу для уравнения гиперболического типа

$$\frac{\partial^2 u}{\partial t^2} = \frac{\partial^2 u}{\partial x^2}, \quad 0 < x < l, \quad t > 0;$$

$$u|_{t=0} = 0, \quad \left. \frac{\partial u}{\partial t} \right|_{t=0} = 0; \quad u|_{x=0} = 0, \quad u|_{x=l} = t.$$

10. Решить смешанную задачу для уравнения гиперболического типа

$$\frac{\partial^2 u}{\partial t^2} = \frac{\partial^2 u}{\partial x^2}, \quad 0 < x < 1, \quad t > 0;$$

$$u|_{t=0} = x + 1, \quad \left. \frac{\partial u}{\partial t} \right|_{t=0} = 0; \quad u|_{x=0} = t + 1, \quad u|_{x=1} = t^3 + 2.$$

11. Решить смешанную задачу для уравнения гиперболического типа

$$\frac{\partial^2 u}{\partial t^2} = a^2 \frac{\partial^2 u}{\partial x^2}, \quad 0 < x < l, \quad t > 0;$$

$$u|_{t=0} = 0, \quad \left. \frac{\partial u}{\partial t} \right|_{t=0} = 0; \quad u|_{x=0} = 0, \quad \left. \frac{\partial u}{\partial x} \right|_{x=l} = \frac{Q}{ES} = \text{const.}$$

12. Решить смешанную задачу для уравнения гиперболического типа

$$\frac{\partial^2 u}{\partial t^2} = a^2 \frac{\partial^2 u}{\partial x^2}, \quad 0 < x < l, \quad t > 0;$$

$$u|_{t=0} = 0, \quad \left. \frac{\partial u}{\partial t} \right|_{t=0} = 0; \quad u|_{x=0} = 0, \quad \left. \frac{\partial u}{\partial x} \right|_{x=l} = \frac{A \sin \omega t}{ES}.$$

13. Найти стационарное распределение температуры в брусе, сечение которого имеет форму криволинейного прямоугольника ($a \leq r \leq b$, $0 \leq \varphi \leq \alpha$) при следующих условиях:

$$u|_{r=a} = 0; \quad u|_{r=b} = T_0; \quad u|_{\varphi=0} = 0; \quad u|_{\varphi=\alpha} = T_0.$$

14. Решить смешанную задачу для уравнения гиперболического типа

$$\frac{\partial^2 u}{\partial t^2} = a^2 \frac{\partial^2 u}{\partial x^2} + Y(x, t), \quad 0 < x < l, \quad t > 0,$$

$$u|_{t=0} = f(x), \quad \left. \frac{\partial u}{\partial t} \right|_{t=0} = F(x); \quad u|_{x=0} = 0, \quad u|_{x=l} = 0.$$

15. Изучить вынужденные поперечные колебания струны, закрепленной на концах $x = 0$, $x = l$ и подверженной действию внешней возмущающей силы $F_0 \sin(\omega t)$, $\omega \neq k\pi v/l$, $k = 1, 2, 3, \dots$, сосредоточенной в точке $x = c$, $c \in (0, l)$, струны.

16. Решить краевую задачу

$$\frac{\partial u}{\partial t} = a^2 \frac{\partial^2 u}{\partial x^2}, \quad 0 < x, \quad t < +\infty, \quad u|_{x=0} = U_0, \quad u|_{t=0} = 0.$$

17. Решить краевую задачу

$$\frac{\partial u}{\partial t} = a^2 \frac{\partial^2 u}{\partial x^2}, \quad 0 < x, \quad t < +\infty, \quad u|_{x=0} = 0, \quad u|_{t=0} = \psi(x) = \begin{cases} U_0, & 0 < x < 1, \\ 0, & 1 < x < +\infty. \end{cases}$$

18. Решить краевую задачу

$$\frac{\partial u}{\partial t} = a^2 \frac{\partial^2 u}{\partial x^2}, \quad 0 < x, t < +\infty, \quad \left. \frac{\partial u}{\partial x} \right|_{x=0} = 0, \quad u|_{t=0} = f(x).$$

19. Решить краевую задачу

$$\frac{\partial u}{\partial t} = a^2 \frac{\partial^2 u}{\partial x^2}, \quad 0 < x, t < +\infty, \quad \left. \frac{\partial u}{\partial x} - hu \right|_{x=0} = 0, \quad u|_{t=0} = f(x), \quad h > 0.$$

20. Найти решение уравнения теплопроводности, если начальная температура имеет вид

$$u|_{t=0} = \psi(x) = \begin{cases} T_1, & x > 0, \\ T_2, & x < 0. \end{cases}$$

21. Найти какое-нибудь ограниченное решение уравнения теплопроводности в области $x > 0$, удовлетворяющее граничному условию $u(0, t) = A \cos(\omega t)$.

22. Решить краевую задачу

$$\frac{\partial u}{\partial t} = a^2 \frac{\partial^2 u}{\partial x^2}, \quad 0 < x, t < +\infty, \quad u|_{x=0} = f(t), \quad u|_{t=0} = 0.$$

23. Решить краевую задачу

$$\frac{\partial u}{\partial t} = a^2 \frac{\partial^2 u}{\partial x^2}, \quad 0 < x, t < +\infty, \quad \left. \frac{\partial u}{\partial x} \right|_{x=0} = f(t), \quad u|_{t=0} = 0.$$

24. Решить краевую задачу

$$\frac{\partial^2 u}{\partial t^2} = a^2 \frac{\partial^2 u}{\partial x^2}, \quad 0 < x < l, \quad t > 0, \\ u|_{x=0} = A, \quad u|_{x=l} = B, \quad u|_{t=0} = 0, \quad \left. \frac{\partial u}{\partial t} \right|_{t=0} = 0.$$

25. Решить краевую задачу

$$\frac{\partial^2 u}{\partial t^2} = a^2 \frac{\partial^2 u}{\partial x^2}, \quad 0 < x < l, \quad t > 0, \\ \left. \frac{\partial u}{\partial x} \right|_{x=0} = A, \quad \left. \frac{\partial u}{\partial x} \right|_{x=l} = B, \quad u|_{t=0} = 0, \quad \left. \frac{\partial u}{\partial t} \right|_{t=0} = 0.$$

26. Решить краевую задачу

$$\frac{1}{a^2} \frac{\partial^2 u}{\partial t^2} = \frac{\partial^2 u}{\partial x^2} + A, \quad 0 < x < l, \quad t > 0, \\ \left. \frac{\partial u}{\partial x} \right|_{x=0} = 0, \quad \left. \frac{\partial u}{\partial x} \right|_{x=l} = 0, \quad u|_{t=0} = 0, \quad \left. \frac{\partial u}{\partial t} \right|_{t=0} = 0.$$

27. Решить краевую задачу

$$\frac{1}{a^2} \frac{\partial^2 u}{\partial t^2} = \frac{\partial^2 u}{\partial x^2} + A \sin \omega t, \quad 0 < x < l, \quad t > 0, \\ \left. \frac{\partial u}{\partial x} \right|_{x=0} = 0, \quad u|_{x=l} = 0, \quad u|_{t=0} = 0, \quad \left. \frac{\partial u}{\partial t} \right|_{t=0} = 0.$$

28. Решить краевую задачу

$$\frac{1}{a^2} \frac{\partial^2 u}{\partial t^2} = \frac{\partial^2 u}{\partial x^2}, \quad 0 < x < l, \quad t > 0,$$

$$u|_{x=0} = A \cos \omega t, \quad \left. \frac{\partial u}{\partial x} \right|_{x=l} = 0, \quad u|_{t=0} = 0, \quad \left. \frac{\partial u}{\partial t} \right|_{t=0} = 0.$$

29. Решить краевую задачу в полукруге радиуса b

$$\frac{1}{a^2} \frac{\partial^2 u}{\partial t^2} = \Delta u, \quad 0 \leq \rho \leq b, \quad 0 \leq \varphi \leq \pi,$$

$$u(\rho, \varphi)|_{\rho=b} = b \sin \varphi, \quad u(\rho, 0) = u(\rho, \pi) = 0, \quad u|_{t=0} = 0, \quad \left. \frac{\partial u}{\partial t} \right|_{t=0} = 0.$$

30. Решить краевую задачу в круге радиуса b

$$\frac{1}{a^2} \frac{\partial^2 u}{\partial t^2} = \Delta u + A \sin \omega t,$$

$$u(\rho, \varphi)|_{\rho=b} = 0, \quad u|_{t=0} = 0, \quad \left. \frac{\partial u}{\partial t} \right|_{t=0} = 0.$$

31. Решить краевую задачу в полукруге радиуса b

$$\frac{1}{a^2} \frac{\partial^2 u}{\partial t^2} = \Delta u + \rho \sin \varphi \sin \omega t, \quad 0 \leq \rho \leq b, \quad 0 \leq \varphi \leq \pi;$$

$$\left. \frac{\partial u}{\partial n} \right|_{\Gamma} = 0, \quad u|_{t=0} = 0, \quad \left. \frac{\partial u}{\partial t} \right|_{t=0} = 0.$$

32. Решить краевую задачу в цилиндре радиуса b , высоты h

$$\frac{1}{a^2} \frac{\partial^2 u}{\partial t^2} = \Delta u, \quad u|_{t=0} = 0, \quad \left. \frac{\partial u}{\partial t} \right|_{t=0} = 0,$$

$$u(\rho, \varphi, z, t)|_{z=0} = A, \quad u(\rho, \varphi, z, t)|_{z=h} = B, \quad u(\rho, \varphi, z, t)|_{\rho=b} = 0.$$

33. Решить краевую задачу в цилиндре радиуса b , высоты h

$$\frac{1}{a^2} \frac{\partial u}{\partial t} = \Delta u, \quad u|_{t=0} = 0,$$

$$u|_{z=0} = 0, \quad u|_{z=h} = 0, \quad u|_{\rho=b} = kt \sin\left(\frac{\pi z}{h}\right).$$

34. Решить уравнение Пуассона в параллелепипеде $0 \leq x \leq a, 0 \leq y \leq b, 0 \leq z \leq c$

$$\Delta u = A,$$

$$u|_{x=0} = 0, \quad u|_{x=a} = C, \quad u|_{y=0} = 0, \quad u|_{y=b} = 0, \quad u|_{z=0} = 0, \quad u|_{z=c} = 0.$$

35. Решить уравнение Пуассона в цилиндре $0 \leq \rho \leq b, 0 \leq \varphi \leq 2\pi, 0 \leq z \leq h$

$$\Delta u = A,$$

$$\left. \frac{\partial u}{\partial \rho} \right|_{\rho=b} = 0, \quad u|_{z=0} = 0, \quad u|_{z=h} = \rho \cos \varphi.$$

Примеры решения типовых задач

Пример 1. Найти распределение температуры в пластине толщиной a , грань $x = 0$ которой излучает тепло в окружающую среду по закону Ньютона (температура окружающей среды равна нулю), а другая грань $x = a$ поддерживается при постоянной температуре T_0 , равной начальной температуре пластины.

Решение. Математическая формулировка задачи: требуется найти функцию $u(x, \tau)$, удовлетворяющую следующим условиям:

$$\begin{aligned} \frac{\partial u}{\partial \tau} - \frac{\partial^2 u}{\partial x^2} &= 0, \quad 0 < x < a, \quad \tau > 0, \\ \frac{\partial u}{\partial x} - hu \Big|_{x=0} &= 0, \quad u|_{x=a} = T_0, \quad u|_{\tau=0} = T_0, \quad h > 0. \end{aligned}$$

Здесь для простоты записи введено приведенное время $\tau = kt/(cp)$. Задача является неоднородной в граничных условиях.

Наметим план решения задачи. Можно искать решение задачи в виде суммы двух функций $u(x, \tau) = U(x) + w(x, \tau)$, причем функцию $U(x)$ выбрать так, чтобы она удовлетворяла исходному уравнению и неоднородным граничным условиям. Тогда для функции $w(x, \tau)$ получим однородную задачу, решение которой можно построить методом Фурье:

$$\begin{aligned} \frac{d^2 U}{dx^2} = 0, \quad \frac{dU}{dx} - hU \Big|_{x=0} &= 0, \quad U|_{x=a} = T_0 \Rightarrow U(x) = \frac{T_0(1 + hx)}{(1 + ha)}, \\ \frac{\partial w}{\partial \tau} - \frac{\partial^2 w}{\partial x^2} &= 0, \quad 0 < x < a, \quad \tau > 0, \\ \frac{\partial w}{\partial x} - hw \Big|_{x=0} &= 0, \quad w|_{x=a} = 0, \quad w|_{\tau=0} = T_0 - U(x). \end{aligned}$$

Можно поступить иначе. Будем ориентироваться на применение метода Гринберга. По-прежнему будем искать решение в виде $u(x, \tau) = U^*(x) + w^*(x, \tau)$, но теперь от функции $U^*(x)$ потребуем только, чтобы она удовлетворяла неоднородным граничным условиям, а в остальном она может быть произвольной. В этом случае в качестве функции $U^*(x)$ можно взять, например, такую функцию: $U^*(x) = T_0 x^2/a^2$. Тогда для функции $w^*(x, \tau)$ мы получаем следующую задачу:

$$\begin{aligned} \frac{\partial w^*}{\partial \tau} &= \frac{\partial^2 w^*}{\partial x^2} + \frac{2T_0}{a^2}, \quad 0 < x < a, \quad \tau > 0, \\ \frac{\partial w^*}{\partial x} - hw^* \Big|_{x=0} &= 0, \quad w^*|_{x=a} = 0, \quad w^*|_{\tau=0} = T_0 \left(1 - \frac{x^2}{a^2} \right). \end{aligned}$$

Реализуем, например, первую возможность с привлечением системы Maple. Построим сначала функцию $U(x)$:

```
> u:=(x,tau)->U(x)+w(x,tau):
      u := (x, tau) -> U(x) + w(x, tau)
> ode:=diff(U(x),x,x)=0:
```

```

ode :=  $\frac{d^2}{dx^2} U(x) = 0$ 
> dsolve(ode,U(x)):assign(%):U:=unapply(U(x),x,_C1,_C2):
      U := (x, _C1, _C2) →  ${}_C1 x + {}_C2$ 
> eq1:=D[1](U)(0,_C1,_C2)-h*U(0,_C1,_C2)=0:
> eq2:=U(a,_C1,_C2)=T0:
      eq1 :=  ${}_C1 - h {}_C2 = 0$ 
      eq2 :=  ${}_C1 a + {}_C2 = T0$ 
> solve({eq1,eq2},{_C1,_C2}):assign(%):
> factor(U(x,_C1,_C2)):U:=unapply(%x):
      {  ${}_C2 = \frac{T0}{h a + 1}, {}_C1 = \frac{h T0}{h a + 1}$  }
       $\frac{T0 (h x + 1)}{h a + 1}$ 
      U := x →  $\frac{T0 (h x + 1)}{h a + 1}$ 

```

Итак, функцию $U(x)$ мы построили:

$$U(x) = \frac{T_0(1 + hx)}{(1 + ha)}$$

Определим теперь дифференциальное уравнение для функции $w(x, \tau)$:

```

> eqW:=diff(w(x,tau),tau)-diff(w(x,tau),x,x)=0:
> 0<x,x<a,tau>0:

```

$$eqW := \left(\frac{\partial}{\partial \tau} w(x, \tau) \right) - \left(\frac{\partial^2}{\partial x^2} w(x, \tau) \right) = 0$$

$$0 < x, x < a, 0 < \tau$$

и выполним разделение переменных

```

> res:=pdsolve(eqW,HINT='*'):
res := (w(x, tau) =  ${}_F1(x) {}_F2(\tau)$ ) &where [ {  $\frac{d}{d\tau} {}_F2(\tau) = {}_C1 {}_F2(\tau), \frac{d^2}{dx^2} {}_F1(x) = {}_C1 {}_F1(x)$  } ]
> res1:=op(1,op(2,res)):
      res1 := {  $\frac{d}{d\tau} {}_F2(\tau) = {}_C1 {}_F2(\tau), \frac{d^2}{dx^2} {}_F1(x) = {}_C1 {}_F1(x)$  }
> s1:=res1[1];s2:=res1[2]:
      s1 :=  $\frac{d^2}{dx^2} {}_F1(x) = {}_C1 {}_F1(x)$ 
      s2 :=  $\frac{d}{d\tau} {}_F2(\tau) = {}_C1 {}_F2(\tau)$ 

```

Сформулируем соответствующую задачу Штурма—Лиувилля (параметр разделения, как обычно, обозначим λ):

```

> eq1:=lhs(s1)+lambda*_F1(x)=0:
> e1:=-_F1(a)=0: e2:=D(_F1)(0)-h*_F1(0)=0:

```

$$eq1 := \left(\frac{d^2}{dx^2} _F1(x) \right) + \lambda _F1(x) = 0$$

$$e1 := _F1(a) = 0$$

$$e2 := D(_F1)(0) - h _F1(0) = 0$$

Находим общее решение дифференциального уравнения Штурма—Лиувилля

```
> assume(lambda>0):dsolve(eq1, _F1(x)):
```

$$_F1(x) = _C3 \sin(\sqrt{\lambda} x) + _C4 \cos(\sqrt{\lambda} x)$$

Подставляем это решение в граничные условия и получаем уравнение для определения собственных значений — характеристическое уравнение

```
> _F1:=unapply(rhs(%),x):sist:={e1,e2}:
```

$$_F1 := x \rightarrow _C3 \sin(\sqrt{\lambda} x) + _C4 \cos(\sqrt{\lambda} x)$$

$$sist := \{ _C3 \sin(\sqrt{\lambda} a) + _C4 \cos(\sqrt{\lambda} a) = 0, _C3 \sqrt{\lambda} - h _C4 = 0 \}$$

```
> A:=linalg[genmatrix](sist, {_C3, _C4}):
```

$$A := \begin{bmatrix} \sin(\sqrt{\lambda} a) & \cos(\sqrt{\lambda} a) \\ \sqrt{\lambda} & -h \end{bmatrix}$$

```
> Delta:=convert(linalg[det](A), trig):
```

$$\Delta := -\sin(\sqrt{\lambda} a) h - \cos(\sqrt{\lambda} a) \sqrt{\lambda}$$

```
> ch:=expand(Delta/cos(sqrt(lambda)*a))=0:
```

$$ch := -\frac{\sin(\sqrt{\lambda} a) h}{\cos(\sqrt{\lambda} a)} - \sqrt{\lambda} = 0$$

```
> ch:=convert(lhs(ch), tan)=0:
```

$$ch := -\tan(\sqrt{\lambda} a) h - \sqrt{\lambda} = 0$$

```
> e_ch:=
```

```
> tan(sqrt(lambda)*a)=solve(ch, tan(sqrt(lambda)*a)):
```

$$e_ch := \tan(\sqrt{\lambda} a) = -\frac{\sqrt{\lambda}}{h}$$

Удобно ввести обозначение $\sqrt{\lambda} a = \mu$, тогда последнее уравнение переписывается в виде

```
> e_ch:=subs(sqrt(lambda)=mu/a, e_ch):
```

$$e_ch := \tan(\mu) = -\frac{\mu}{a h}$$

Пусть μ_n — положительные корни уравнения

$$\operatorname{tg}(\mu) = -\frac{\mu}{a h}.$$

Тогда собственные значения задачи будут

$$\lambda_n = \left(\frac{\mu_n}{a}\right)^2, \quad n = 1, 2, 3, \dots$$

> lambda:=n->(mu[n]/a)^2:

$$\lambda := n \rightarrow \frac{\mu_n^2}{a^2}$$

Определим теперь собственные функции

> _C3:=solve(e2,_C3):

$$_C3 := \frac{h_C4}{\sqrt{\lambda}}$$

> simplify(_F1(x)):

$$\frac{_C4 (h \sin(\sqrt{\lambda} x) + \cos(\sqrt{\lambda} x) \sqrt{\lambda})}{\sqrt{\lambda}}$$

> simplify(%/_C4*sqrt(lambda)):

$$h \sin(\sqrt{\lambda} x) + \cos(\sqrt{\lambda} x) \sqrt{\lambda}$$

> simplify(subs(lambda^(1/2)=mu[n]/a,%)):

$$\frac{h \sin\left(\frac{\mu_n x}{a}\right) a + \cos\left(\frac{\mu_n x}{a}\right) \mu_n}{a}$$

> simplify(%*a):

$$h \sin\left(\frac{\mu_n x}{a}\right) a + \cos\left(\frac{\mu_n x}{a}\right) \mu_n$$

> X:=unapply(%,x,n):

$$X := (x, n) \rightarrow h \sin\left(\frac{\mu_n x}{a}\right) a + \cos\left(\frac{\mu_n x}{a}\right) \mu_n$$

Таким образом, собственные функции будут

$$X_n(x) = ah \sin\left(\frac{\mu_n x}{a}\right) + \mu_n \cos\left(\frac{\mu_n x}{a}\right).$$

Проверим ортогональность найденных собственных функций и вычислим их норму

> In:=Int(X(x,n)*X(x,m),x=0..a):

> In:=expand(simplify(value(In))):

$$In := \int_0^a \left(h \sin\left(\frac{\mu_n x}{a}\right) a + \cos\left(\frac{\mu_n x}{a}\right) \mu_n \right) \left(h \sin\left(\frac{\mu_m x}{a}\right) a + \cos\left(\frac{\mu_m x}{a}\right) \mu_m \right) dx$$

$$\begin{aligned}
 In := & -\frac{a^3 h^2 \mu_n \cos(\mu_n) \sin(\mu_m)}{\mu_n^2 - \mu_m^2} - \frac{a \mu_n \mu_m^2 \cos(\mu_n) \sin(\mu_m)}{\mu_n^2 - \mu_m^2} + \frac{a^3 h^2 \mu_m \sin(\mu_n) \cos(\mu_m)}{\mu_n^2 - \mu_m^2} \\
 & + \frac{a^2 h \mu_n^2 \sin(\mu_n) \sin(\mu_m)}{\mu_n^2 - \mu_m^2} + \frac{a \mu_n^2 \mu_m \sin(\mu_n) \cos(\mu_m)}{\mu_n^2 - \mu_m^2} - \frac{a^2 h \mu_m^2 \sin(\mu_n) \sin(\mu_m)}{\mu_n^2 - \mu_m^2}
 \end{aligned}$$

Упростим полученный интеграл с учетом характеристического уравнения:

> In:=combine(subs(sin(mu[m])=-mu[m]/a/h*cos(mu[m])).

> sin(mu[n])=-mu[n]/a/h*cos(mu[n]).In);

$$In := 0$$

Вычислим норму

> norma:=Int(X(x,n)^2,x=0..a):

> norma:=value(norma):

> norma:=

> expand(subs(sin(mu[n])=-mu[n]/a/h*cos(mu[n]),norma));

$$norma := \int_0^a \left(h \sin\left(\frac{\mu_n x}{a}\right) a + \cos\left(\frac{\mu_n x}{a}\right) \mu_n \right)^2 dx$$

norma :=

$$\frac{1}{2} \frac{a (a^2 h^2 \cos(\mu_n) \sin(\mu_n) - \mu_n^3 - \mu_n^2 \cos(\mu_n) \sin(\mu_n) - h^2 a^2 \mu_n + 2 a \mu_n h \cos(\mu_n)^2 - 2 \mu_n h a)}{\mu_n}$$

$$norma := -\frac{1}{2} a^2 h \cos(\mu_n)^2 + \frac{1}{2} \mu_n^2 a - \frac{1}{2} \frac{\mu_n^2 \cos(\mu_n)^2}{h} + \frac{h^2 a^3}{2} + h a^2$$

Учтем известное тригонометрическое тождество $\cos^2(\mu_n) = \frac{1}{1 + \operatorname{tg}^2(\mu_n)}$ и, кроме

того, учтем еще, что из характеристического уравнения следует $\mu_n^2 = -h^2 a^2 - \mu_n^2$:

> norma:=

> simplify(subs(cos(mu[n])^2=a^2*h^2/(a^2*h^2+mu[n]^2).

> norma));

$$norma := \frac{1}{2} (\mu_n^2 + h^2 a^2 + h a) a$$

> norma:=unapply(norma,n):

$$norma := n \rightarrow \frac{1}{2} (\mu_n^2 + h^2 a^2 + h a) a$$

Итак, мы получили

$$\int_0^a X_n(x) X_m(x) dx = \begin{cases} 0, & m \neq n, \\ \frac{a}{2} (a^2 h^2 + ah + \mu_n^2), & m = n. \end{cases}$$

Рассмотрим теперь второе обыкновенное дифференциальное уравнение

$$> \text{eq2} := -\text{lhs}(s2) + \text{lambda}(n) * _F2(\text{tau}) = 0;$$

$$\text{eq2} := \left(\frac{d}{d\tau} - F2(\tau) \right) + \frac{\mu_n^2}{a^2} F2(\tau) = 0$$

Найдем общее решение этого уравнения

$$> \text{dsolve}(\text{eq2}, _F2(\text{tau}));$$

$$_F2(\tau) = _C4 e^{\left(-\frac{\mu_n^2 \tau}{a^2} \right)}$$

Таким образом, мы получили счетное множество частных решений нашей задачи

$$w_n(x, \tau) = C_n e^{-\frac{\mu_n^2 \tau}{a^2}} \left[ah \sin\left(\frac{\mu_n x}{a} \right) + \mu_n \cos\left(\frac{\mu_n x}{a} \right) \right], \quad n = 1, 2, 3, \dots$$

Каждая такая функция удовлетворяет уравнению и однородным граничным условиям, но, вообще говоря, не удовлетворяет начальным условиям. Как обычно, воспользуемся принципом суперпозиции и составим формальный ряд

$$w(x, \tau) = \sum_{n=1}^{\infty} C_n e^{-\frac{\mu_n^2 \tau}{a^2}} \left[ah \sin\left(\frac{\mu_n x}{a} \right) + \mu_n \cos\left(\frac{\mu_n x}{a} \right) \right].$$

$$> \text{spr} := \text{Sum}(C(k) * \exp(-\text{lambda}(k) * \text{tau}) * X(x, k), k=1.. \text{infinity});$$

$$\text{spr} := \sum_{k=1}^{\infty} C(k) e^{\left(-\frac{\mu_k^2 \tau}{a^2} \right)} \left(h \sin\left(\frac{\mu_k x}{a} \right) a + \cos\left(\frac{\mu_k x}{a} \right) \mu_k \right)$$

Перейдем к пределу при $\tau \rightarrow 0$ (считая это возможным), получим

$$w(x, 0) = T_0 - U(x) = \sum_{n=1}^{\infty} C_n \left[ah \sin\left(\frac{\mu_n x}{a} \right) + \mu_n \cos\left(\frac{\mu_n x}{a} \right) \right].$$

Откуда находим коэффициенты разложения

$$C_n = \frac{\int_0^a [T_0 - U(x)] X_n(x) dx}{\|X_n(x)\|^2}.$$

$$> Ck := \text{Int}((T0 - U(x)) * X(x, k), x=0..a) / \text{norma}(k); Ck := \text{value}(Ck);$$

$$Ck := \frac{2}{(\mu_k^2 + h^2 a^2 + h a) a} \int_0^a \left(T0 - \frac{T0(hx + 1)}{ha + 1} \right) \left(h \sin\left(\frac{\mu_k x}{a} \right) a + \cos\left(\frac{\mu_k x}{a} \right) \mu_k \right) dx$$

$$Ck := -\frac{2 a h T0 (h a \sin(\mu_k) + \mu_k \cos(\mu_k) - \mu_k h a - \mu_k)}{\mu_k^2 (h a + 1) (\mu_k^2 + h^2 a^2 + h a)}$$

Упростим полученный результат с помощью характеристического уравнения

> Ck:=simplify(subs(sin(mu[k])=-mu[k]/a/h*cos(mu[k]),Ck));

$$Ck := \frac{2 a h T_0}{\mu_k (\mu_k^2 + h^2 a^2 + h a)}$$

> C:=unapply(Ck,k):

$$C := k \rightarrow \frac{2 a h T_0}{\mu_k (\mu_k^2 + h^2 a^2 + h a)}$$

Итак, мы получили

$$C_n = \frac{2ahT_0}{\mu_n(\mu_n^2 + a^2h^2 + ah)}$$

Окончательно, решение нашей задачи дается формулой

$$w(x, \tau) = 2ahT_0 \sum_{n=1}^{\infty} \frac{e^{-\frac{\mu_n^2 \tau}{a^2}}}{\mu_n (\mu_n^2 + a^2 h^2 + ah)} \left[ah \sin\left(\frac{\mu_n x}{a}\right) + \mu_n \cos\left(\frac{\mu_n x}{a}\right) \right].$$

> sol:=spr:

$$sol := \sum_{k=1}^{\infty} \left(\frac{2 a h T_0 e^{-\left(\frac{\mu_k^2 \tau}{a^2}\right)} \left(h \sin\left(\frac{\mu_k x}{a}\right) a + \cos\left(\frac{\mu_k x}{a}\right) \mu_k \right)}{\mu_k (\mu_k^2 + h^2 a^2 + h a)} \right)$$

Заметим, что решение можно представить и в другой форме. А именно, собственные функции можно преобразовать по известной тригонометрической формуле

$$\alpha \sin(z) + \beta \cos(z) = \sqrt{\alpha^2 + \beta^2} \sin(z + \varphi), \quad \varphi = \operatorname{arctg}\left(\frac{\beta}{\alpha}\right).$$

В нашем случае с учетом характеристического уравнения будем иметь

$$\varphi = \operatorname{arctg}\left(\frac{\mu_n}{ah}\right) = -\mu_n,$$

и, таким образом, собственные функции будут

$$\tilde{X}_n(x) = \sin\left(\frac{\mu_n(x-a)}{a}\right).$$

Множитель перед синусом мы опускаем для простоты, так как собственные функции определяются с точностью до множителя. Определим эти функции в Maple

> X2:=(x,k)->sin(mu[k]*(x-a)/a);

$$X2 := (x, k) \rightarrow \sin\left(\frac{\mu_k (x - a)}{a}\right)$$

Вычислим норму этих функций

> norma2:=Int(X2(x,n)^2,x=0..a);

> norma2:=value(norma2):

$$\text{norma2} := \int_0^a \sin\left(\frac{\mu_n(x-a)}{a}\right)^2 dx$$

$$\text{norma2} := \frac{1}{2} \frac{a (\cos(\mu_n) \sin(\mu_n) - \mu_n)}{\mu_n}$$

Упростим с учетом характеристического уравнения

> norma2:=
> simplify(subs(sin(mu[n])=-mu[n]/a/h*cos(mu[n]),
> norma2));

$$\text{norma2} := \frac{1}{2} \frac{\cos(\mu_n)^2 + h a}{h}$$

И наконец, учтем отмеченное тригонометрическое тождество

> norma2:=
> simplify(subs(cos(mu[n])^2=a^2*h^2/(a^2*h^2+mu[n]^2),
> norma2));

$$\text{norma2} := \frac{1}{2} \frac{(\mu_n^2 + h^2 a^2 + h a) a}{h^2 a^2 + \mu_n^2}$$

> norma2:=unapply(norma2,n):

$$\text{norma2} := n \rightarrow \frac{1}{2} \frac{(\mu_n^2 + h^2 a^2 + h a) a}{h^2 a^2 + \mu_n^2}$$

Таким образом, решение задачи можно искать в виде разложения

$$w(x, \tau) = \sum_{n=1}^{\infty} C_n e^{-\frac{\mu_n^2 \tau}{a^2}} \sin\left(\frac{\mu_n(x-a)}{a}\right).$$

> spr2:=
> Sum(C2(k)*exp(-lambda(k)*tau)*X2(x,k),k=1..infinity);

$$\text{spr2} := \sum_{k=1}^{\infty} C2(k) e^{-\left(\frac{\mu_k^2 \tau}{a^2}\right)} \sin\left(\frac{\mu_k(x-a)}{a}\right)$$

Для коэффициентов разложения мы получим

> Ck2:=Int((T0-U(x))*X2(x,k).x=0..a)/norma2(k);
> Ck2:=value(Ck2);

$$Ck2 := \frac{2(h^2 a^2 + \mu_k^2)}{(\mu_k^2 + h^2 a^2 + h a) a} \int_0^a \left(T0 - \frac{T0(hx+1)}{ha+1} \right) \sin\left(\frac{\mu_k(x-a)}{a}\right) dx$$

$$Ck2 := \frac{2(-\sin(\mu_k) + \mu_k \cos(\mu_k)) a T0 h (h^2 a^2 + \mu_k^2)}{\mu_k^2 (h a + 1) (\mu_k^2 + h^2 a^2 + h a)}$$

> Ck2:=

> simplify(subs(sin(mu[k])=-mu[k]/a/h*cos(mu[k]),Ck2)):

$$Ck2 := \frac{2 \cos(\mu_k) T0 (h^2 a^2 + \mu_k^2)}{\mu_k (\mu_k^2 + h^2 a^2 + h a)}$$

> C2:=unapply(Ck2,k):

$$C2 := k \rightarrow \frac{2 \cos(\mu_k) T0 (h^2 a^2 + \mu_k^2)}{\mu_k (\mu_k^2 + h^2 a^2 + h a)}$$

И тогда решение будет иметь вид

> sol2:=spr2:

$$sol2 := \sum_{k=1}^{\infty} \left(\frac{2 \cos(\mu_k) (h^2 a^2 + \mu_k^2) T0 e^{\left(-\frac{\mu_k^2 \tau}{a^2}\right)} \sin\left(\frac{\mu_k (x-a)}{a}\right)}{\mu_k (\mu_k^2 + h^2 a^2 + h a)} \right)$$

Итак, другая форма представления решения

$$w(x, \tau) = 2T_0 \sum_{n=1}^{\infty} \frac{(\mu_n^2 + h^2 a^2) \cos(\mu_n)}{\mu_n (\mu_n^2 + h^2 a^2 + h a)} e^{-\frac{\mu_n^2 \tau}{a^2}} \sin\left(\frac{\mu_n (x-a)}{a}\right).$$

Читателю мы рекомендуем самостоятельно реализовать вторую возможность решения — в виде $u(x, \tau) = U^*(x) + w^*(x, \tau)$ с использованием метода Гринберга.

Пример 2. Решить краевую задачу в шаре радиуса b :

$$\frac{1}{a^2} \frac{\partial^2 u}{\partial t^2} = \Delta u, \quad u|_{t=0} = 0, \quad \frac{\partial u}{\partial t} \Big|_{t=0} = 0, \quad \frac{\partial u}{\partial r} \Big|_{r=b} = A \cos \theta \sin \omega t. \quad (5.117)$$

Решение. Поскольку ни одно из данных задачи не зависит от угла φ , можно ожидать, что искомая функция будет функцией трех переменных $u = u(r, \theta, t)$. Удобно освободиться от неоднородности в граничном условии. Будем искать решение задачи в виде

$$u(r, \theta, t) = Ar \cos \theta \sin \omega t + w(r, \theta, t). \quad (5.118)$$

Тогда для функции $w(r, \theta, t)$ получаем следующую задачу:

$$\frac{1}{a^2} \frac{\partial^2 w}{\partial t^2} = \Delta w + \frac{A\omega^2 r}{a^2} \cos \theta \sin \omega t, \quad (5.119)$$

$$w|_{t=0} = 0, \quad \frac{\partial w}{\partial t} \Big|_{t=0} = -A\omega r \cos \theta, \quad \frac{\partial w}{\partial r} \Big|_{r=b} = 0.$$

Таким образом, мы перешли от задачи (5.117) с неоднородным краевым условием к задаче (5.119) с однородным краевым условием. Теперь неоднородности появились в начальных условиях и в уравнении. Решение задачи (5.119) будем искать в виде

$$\psi(r, \theta, t) = w_1(r, t) \cos(\theta).$$

Тогда для функции $w_1(r, t)$ будем иметь следующую задачу:

$$\begin{aligned} \frac{1}{a^2} \frac{\partial^2 w_1}{\partial t^2} &= \Delta w_1 + \frac{A\omega^2 r}{a^2} \sin \omega t, \\ w_1|_{t=0} &= 0, \quad \left. \frac{\partial w_1}{\partial t} \right|_{t=0} = -A\omega r, \quad \left. \frac{\partial w_1}{\partial r} \right|_{r=b} = 0. \end{aligned} \quad (5.120)$$

Решение задачи (5.120) будем искать методом Гринберга, то есть в форме ряда

$$w_1(r, t) = \sum_{n=1}^{\infty} T_n(t) R_n(r), \quad (5.121)$$

где $R_n(r)$ – собственные функции соответствующей задачи Штурма–Лиувилля. Чтобы сформулировать эту задачу, рассмотрим однородное уравнение, соответствующее уравнению задачи (5.120) и произведем разделение переменных. Воспользуемся системой Maple для проведения всех выкладок. Задаем однородное уравнение задачи (5.120):

```
> PDE_2_0:=diff(w1(r,t),`$`(t,2))/a^2=
> (2*r*diff(w1(r,t),r)+r^2*diff(w1(r,t),`$`(r,2)))-
> 2*w1(r,t))/r^2:
```

$$PDE_2_0 := \frac{\frac{\partial^2}{\partial t^2} w1(r, t)}{a^2} = \frac{2r \left(\frac{\partial}{\partial r} w1(r, t) \right) + r^2 \left(\frac{\partial^2}{\partial r^2} w1(r, t) \right) - 2 w1(r, t)}{r^2}$$

Производим разделение переменных:

```
> res:=pdsolve(PDE_2_0,HINT=R(r)*T(t));
res := (w1(r, t) = R(r) T(t)) &where
```

$$\left[\left\{ \frac{d^2}{dr^2} R(r) = R(r) _c1 - \frac{2 \left(\left(\frac{d}{dr} R(r) \right) r - R(r) \right)}{r^2}, \frac{d^2}{dt^2} T(t) = T(t) a^2 _c1 \right\} \right]$$

и приходим к двум обыкновенным дифференциальным уравнениям:

```
> deT:=op(1,op(1,op(2,res)));
> deT:=lhs(deT)-subs(_c1]=-lambda,rhs(deT))=0;
```

$$deT := \frac{d^2}{dt^2} T(t) = T(t) a^2 _c1$$

$$deT := \left(\frac{d^2}{dt^2} T(t) \right) + T(t) a^2 \lambda = 0$$

```
> deR:=op(2,op(1,op(2,res)));
> deR:=
```

```
> collect(simplify((lhs(deR)-
> subs(_c[1]=-1*lambda,rhs(deR)))*r^2),R(r))=0:
```

$$deR := \frac{d^2}{dr^2} R(r) = R(r) - c_1 - \frac{2 \left(\left(\frac{d}{dr} R(r) \right) r - R(r) \right)}{r^2}$$

$$deR := (\lambda r^2 - 2) R(r) + \left(\frac{d^2}{dr^2} R(r) \right) r^2 + 2 \left(\frac{d}{dr} R(r) \right) r = 0$$

Таким образом, задача Штурма—Лиувилля заключается в определении ограниченных в нуле решений уравнения

$$r^2 \frac{d^2 R}{dr^2} + 2r \frac{dR}{dr} + (\lambda r^2 - 2) R = 0, \quad (5.122)$$

удовлетворяющих граничному условию

$$\left. \frac{dR}{dr} \right|_{r=b} = 0. \quad (5.123)$$

Найдем общее решение уравнения (5.122):

```
> assume(lambda>0):dsolve(deR,R(r)):
```

$$R(r) = \frac{-C1 e^{(\sqrt{\lambda} r)} (\sqrt{\lambda} I + \lambda r)}{r^2} + \frac{-C2 e^{(-1 \sqrt{\lambda} r)} (\sqrt{\lambda} I - \lambda r)}{r^2}$$

Работать с таким решением неудобно. Перейдем к вещественным функциям. В системе Maple 8 это проще всего сделать так. Замечаем, что наше уравнение (5.122) является частным случаем (при $n = 1$) уравнения

$$r^2 \frac{d^2 R}{dr^2} + 2r \frac{dR}{dr} + (\lambda r^2 - n(n+1)) R = 0. \quad (5.124)$$

Рассмотрим это уравнение:

```
> _DE:=
> r^2*diff(R(r),`$`(r,2))+2*r*diff(R(r),r)+
> (lambda*r^2-n*(n+1))*R(r)=0:
```

$$_DE := r^2 \left(\frac{d^2}{dr^2} R(r) \right) + 2 \left(\frac{d}{dr} R(r) \right) r + (\lambda r^2 - n(n+1)) R(r) = 0$$

```
> assume(n, posint):dsolve(_DE,R(r)):
```

$$R(r) = \frac{-C1 \text{BesselJ}\left(n + \frac{1}{2}, \sqrt{\lambda} r\right)}{\sqrt{r}} + \frac{-C2 \text{BesselY}\left(n + \frac{1}{2}, \sqrt{\lambda} r\right)}{\sqrt{r}}$$

```
> assign(%):R:=R(r):
```

$$R := \frac{-C1 \text{BesselJ}\left(n + \frac{1}{2}, \sqrt{\lambda} r\right)}{\sqrt{r}} + \frac{-C2 \text{BesselY}\left(n + \frac{1}{2}, \sqrt{\lambda} r\right)}{\sqrt{r}}$$

Таким образом, общее решение уравнения (5.124) имеет вид

$$R(r) = \frac{C_1}{\sqrt{r}} J_{n+\frac{1}{2}}(\sqrt{\lambda}r) + \frac{C_2}{\sqrt{r}} Y_{n+\frac{1}{2}}(\sqrt{\lambda}r).$$

Вернемся теперь к нашему случаю $n = 1$. Мы знаем, что функция Бесселя первого рода ограничена в нуле, а функция второго рода — нет. Проверим ограниченность нашего решения.

```
> RR:=subs(n=1,R);
> Limit(1/r^(1/2)*BesselJ(3/2,sqrt(lambda)*r),r=0)=
> limit(1/r^(1/2)*BesselJ(3/2,sqrt(lambda)*r),r=0);
> Limit(1/r^(1/2)*BesselY(3/2,sqrt(lambda)*r),r=0)=
> limit(1/r^(1/2)*BesselY(3/2,sqrt(lambda)*r),r=0);
```

$$RR := \frac{-C1 \operatorname{BesselJ}\left(\frac{3}{2}, \sqrt{\lambda} r\right)}{\sqrt{r}} + \frac{-C2 \operatorname{BesselY}\left(\frac{3}{2}, \sqrt{\lambda} r\right)}{\sqrt{r}}$$

$$\lim_{r \rightarrow 0} - \frac{\sqrt{2} (\cos(\sqrt{\lambda} r) \sqrt{\lambda} r - \sin(\sqrt{\lambda} r))}{r^{(3/2)} \sqrt{\pi} \sqrt{\sqrt{\lambda} r} \sqrt{\lambda}} = 0$$

$$\lim_{r \rightarrow 0} - \frac{\sqrt{2} (\sin(\sqrt{\lambda} r) \sqrt{\lambda} r + \cos(\sqrt{\lambda} r))}{r^{(3/2)} \sqrt{\pi} \sqrt{\sqrt{\lambda} r} \sqrt{\lambda}} = -\infty$$

Итак, в силу требования ограниченности функции в нуле, мы должны в нашем общем решении принять равной нулю константу $-C2$: $-C2 = 0$.

Следует отметить, что, например, система Maple 6 сразу выдает общее решение уравнения (5.122), выраженное через соответствующие вещественные элементарные функции, отвечающие функциям $J_{3/2}(\sqrt{\lambda}r)$ и $Y_{3/2}(\sqrt{\lambda}r)$.

Воспользуемся теперь краевым условием (5.123) и найдем собственные значения и собственные функции нашей задачи:

```
> RR:=subs(_C1=1,_C2=0,n=1,R);
> RR:=unapply(RR,r,lambda);
```

$$RR := \frac{\operatorname{BesselJ}\left(\frac{3}{2}, \sqrt{\lambda} r\right)}{\sqrt{r}}$$

$$RR := (r, \lambda) \rightarrow - \frac{\sqrt{2} (\cos(\sqrt{\lambda} r) \sqrt{\lambda} r - \sin(\sqrt{\lambda} r))}{r^{(3/2)} \sqrt{\pi} \sqrt{\sqrt{\lambda} r} \sqrt{\lambda}}$$

```
> eq:=simplify(diff(RR(r,lambda),r))=0;
> eq:=simplify(subs(r=b,lhs(eq)))=0;
```

$$eq := \frac{\sqrt{2} (2 \lambda r \cos(\sqrt{\lambda} r) - 2 \sin(\sqrt{\lambda} r) \sqrt{\lambda} + \sin(\sqrt{\lambda} r) \lambda^{(3/2)} r^2)}{r^3 \sqrt{\pi} \lambda^{(5/4)}} = 0$$

$$eq := \frac{\sqrt{2} (2 \lambda \sim b \cos(\sqrt{\lambda \sim} b) - 2 \sin(\sqrt{\lambda \sim} b) \sqrt{\lambda \sim} + \sin(\sqrt{\lambda \sim} b) \lambda \sim^{(3/2)} b^2)}{b^3 \sqrt{\pi} \lambda \sim^{(5/4)}} = 0$$

Таким образом, уравнение для определения собственных значений имеет вид (приравниваем нулю числитель последнего уравнения)

```
> eq1:=numer(lhs(eq))/sqrt(2)=0;
```

$$eq1 := 2 \lambda \sim b \cos(\sqrt{\lambda \sim} b) - 2 \sin(\sqrt{\lambda \sim} b) \sqrt{\lambda \sim} + \sin(\sqrt{\lambda \sim} b) \lambda \sim^{(3/2)} b^2 = 0$$

Удобно ввести обозначение $\sqrt{\lambda} = \frac{\mu}{b}$

```
> assume(mu>0,b>0):
```

```
> eq1:= .
```

```
> simplify(subs(sqrt(lambda)=mu/b,
```

```
> lambda=(mu/b)^2, lhs(eq1)))=0;
```

$$eq1 := \frac{\mu \sim (2 \mu \sim \cos(\mu \sim) - 2 \sin(\mu \sim) + \sin(\mu \sim) \mu \sim^2)}{b \sim} = 0$$

```
> eq1:=numer(lhs(eq1))/mu=0;char:=unapply(lhs(%),mu):
```

$$eq1 := 2 \mu \sim \cos(\mu \sim) - 2 \sin(\mu \sim) + \sin(\mu \sim) \mu \sim^2 = 0$$

$$char := \mu \sim \rightarrow 2 \mu \sim \cos(\mu \sim) - 2 \sin(\mu \sim) + \sin(\mu \sim) \mu \sim^2$$

Итак, получили характеристическое уравнение для определения собственных значений в виде

$$2\mu \cos(\mu) + (\mu^2 - 2)\sin(\mu) = 0. \quad (5.125)$$

Пусть $\mu = \mu_n$ — положительные корни уравнения (5.125) (нули функции $char(\mu)$).

Тогда собственные значения определяются по формуле $\lambda = \lambda_n = \left(\frac{\mu_n}{b}\right)^2$, $n = 1, 2, 3, \dots$,

а соответствующие собственные функции будут

$$R = R_n(r) = - \frac{\left[\cos\left(\frac{\mu_n r}{b}\right) \mu_n r - \sin\left(\frac{\mu_n r}{b}\right) b \right]}{r^2}.$$

```
> lambda:=n->(mu[n]/b)^2:
```

```
> assume(mu[n]>0):
```

```
> simplify(RR(r,lambda(n))):
```

$$\lambda := n \rightarrow \frac{\mu_n^2}{b^2}$$

$$- \frac{\left(\cos\left(\frac{\mu \sim_n r}{b \sim}\right) \mu \sim_n r - \sin\left(\frac{\mu \sim_n r}{b \sim}\right) b \sim \right) \sqrt{2} \sqrt{b \sim}}{r^2 \sqrt{\pi} \mu \sim_n^{(3/2)}}$$

Поскольку собственные функции определяются с точностью до множителя, то мы упростим найденные функции, отбросив ненужные множители

```
> R:=(r,n)->
> -(cos(mu[n]/b*r)*mu[n]*r-sin(mu[n]/b*r)*b)/r^2;
```

$$R := (r, n) \rightarrow - \frac{\cos\left(\frac{\mu_n r}{b}\right) \mu_n r - \sin\left(\frac{\mu_n r}{b}\right) b}{r^2}$$

Согласно общей теории эти собственные функции должны быть ортогональны на отрезке $[0, b]$ с весом r^2 . Проверим это:

```
> integral:=int(r^2*R(r,n)*R(r,m),r=0..b);
> eqm:=char(mu[m])=0;eqn:=char(mu[n])=0;
> simplify(integral,{eqn,eqm});
```

0

Вычислим теперь норму собственных функций:

```
> norma:=int(r^2*R(r,n)^2,r=0..b);
```

$$norma := \frac{1}{2} \mu_n \cos(\mu_n) \sin(\mu_n) b - b + b \cos^2(\mu_n) + \frac{1}{2} \mu_n^2 b$$

Таким образом, имеем

$$\int_0^b r^2 R_n(r) R_m(r) dr = \begin{cases} 0, & m \neq n, \\ \|R_n(r)\|^2, & m = n, \end{cases}$$

причем

$$\|R_n(r)\|^2 = \int_0^b r^2 R_n^2(r) dr = \frac{b}{2} \mu_n \cos(\mu_n) \sin(\mu_n) - b + b \cos^2(\mu_n) + \frac{b}{2} \mu_n^2.$$

Итак, решение задачи (5.120) ищем в виде ряда (5.121)

$$w_1(r, t) = \sum_{n=1}^{\infty} T_n(t) R_n(r).$$

В такой же ряд разлагаем правую часть уравнения (5.120), то есть функцию

$$F(r, t) = \frac{A\omega^2 r}{a^2} \sin(\omega t):$$

$$F(r, t) = \frac{A\omega^2 r}{a^2} \sin(\omega t) = \frac{A\omega^2}{a^2} \sin(\omega t) \sum_{n=1}^{\infty} C_n R_n(r), \quad (5.126)$$

причем

$$C_n = \frac{\int_0^b r^3 R_n(r) dr}{\|R_n(r)\|^2}.$$

Вычислим этот коэффициент:

```
> intF:=simplify(int(r^3*R(r,n),r=0..b));
```


$$\text{intF} := -\frac{b^3 (-3 \sin(\mu_{n-}) + \sin(\mu_{n-}) \mu_{n-}^2 + 3 \mu_{n-} \cos(\mu_{n-}))}{\mu_{n-}^2}$$

> Cn:=simplify(intF/norma.(eqn)):Cn:=factor(Cn);

$$Cn := \frac{2 \sin(\mu_{n-}) b^2 - 2 \mu_{n-} \cos(\mu_{n-}) b^2}{\mu_{n-}^4 - 2 \mu_{n-}^2 + 2 \mu_{n-} \cos(\mu_{n-}) \sin(\mu_{n-})}$$

$$Cn := \frac{2 b^2 (\sin(\mu_{n-}) - \mu_{n-} \cos(\mu_{n-}))}{\mu_{n-} (\mu_{n-}^3 - 2 \mu_{n-} + 2 \cos(\mu_{n-}) \sin(\mu_{n-}))}$$

> C:=(n)->

> 2*b^2*(sin(mu[n])-mu[n]*cos(mu[n]))/mu[n]/

> (mu[n]^3-2*mu[n]+2*cos(mu[n])*sin(mu[n]));

$$C := n \rightarrow \frac{2 b^2 (\sin(\mu_n) - \mu_n \cos(\mu_n))}{\mu_n (\mu_n^3 - 2 \mu_n + 2 \cos(\mu_n) \sin(\mu_n))}$$

Итак,

$$C_n = \frac{2b^2 [\sin(\mu_n) - \mu_n \cos(\mu_n)]}{\mu_n [\mu_n^3 - 2\mu_n + 2 \cos(\mu_n) \sin(\mu_n)]} \quad (5.127)$$

Подстановка формул (5.121) и (5.126) в уравнение (5.120) дает

$$\begin{aligned} \sum_{n=1}^{\infty} \frac{d^2 T_n(t)}{a^2 dt^2} R_n(r) - \sum_{n=1}^{\infty} T_n(t) \left[\frac{d^2 R_n(r)}{dr^2} + \frac{2}{r} \frac{dR_n(r)}{dr} - \frac{2}{r^2} R_n(r) \right] = \\ = \frac{A\omega^2}{a^2} \sin(\omega t) \sum_{n=1}^{\infty} C_n R_n(r). \end{aligned}$$

Выражение, стоящее в квадратных скобках во второй сумме слева в последней формуле, равно $-\lambda R_n(r)$ (в силу уравнения (5.122)):

$$\frac{d^2 R_n(r)}{dr^2} + \frac{2}{r} \frac{dR_n(r)}{dr} - \frac{2}{r^2} R_n(r) = -\lambda R_n(r).$$

А тогда

$$\sum_{n=1}^{\infty} \left[\frac{d^2 T_n(t)}{a^2 dt^2} + \lambda T_n(t) \right] R_n(r) = \frac{A\omega^2}{a^2} \sin(\omega t) \sum_{n=1}^{\infty} C_n R_n(r).$$

Откуда получаем уравнение для определения функции $T_n(t)$:

$$\frac{d^2 T_n(t)}{dt^2} + \lambda a^2 T_n(t) = C_n \frac{A\omega^2}{a^2} \sin(\omega t). \quad (5.128)$$

Решаем теперь полученное уравнение с учетом начального условия $T_n(0) = 0$

> DEt:=

> diff(T(t),t\$2)+lambda(n)*a^2*T(t)=

> _Cn*A*omega^2*sin(omega*t);

$$DEt := \left(\frac{d^2}{dt^2} T(t) \right) + \frac{\mu_n^2 a^2 T(t)}{b^2} = -C_n A \omega^2 \sin(\omega t)$$

> dsolve({DET.T(0)=0}.T(t));

$$T(t) = \sin\left(\frac{\mu_n a t}{b}\right) - C_2 - \frac{C_n A \omega^2 \sin(\omega t) b^2}{-\mu_n^2 a^2 + \omega^2 b^2}$$

Таким образом, решение уравнения (5.128) удовлетворяющее условию $T_n(0) = 0$, есть

$$T_n(t) = C_2 \sin\left(\frac{\mu_n a t}{b}\right) - \frac{C_n A \omega^2 b^2 \sin(\omega t)}{\omega^2 b^2 - \mu_n^2 a^2}.$$

Здесь мы предполагаем, что резонанса нет, то есть $\omega^2 b^2 \neq \mu_n^2 a^2, \forall n$. Остается определить константу C_2 . Для этого составляем ряд (5.121)

$$w_1(r, t) = \sum_{n=1}^{\infty} \left[C_2 \sin\left(\frac{\mu_n a t}{b}\right) - \frac{C_n A \omega^2 b^2 \sin(\omega t)}{\omega^2 b^2 - \mu_n^2 a^2} \right] R_n(r).$$

Вычисляем производную

$$\left. \frac{\partial w_1}{\partial t} \right|_{t=0} = -A\omega r = \sum_{n=1}^{\infty} \left[C_2 \frac{\mu_n a}{b} - \frac{C_n A \omega^3 b^2}{\omega^2 b^2 - \mu_n^2 a^2} \right] R_n(r).$$

Откуда находим

$$C_2 \frac{\mu_n a}{b} - \frac{C_n A \omega^3 b^2}{\omega^2 b^2 - \mu_n^2 a^2} = \frac{-A\omega \int_0^b r^3 R_n(r) dr}{\|R_n(r)\|^2}.$$

Или, учитывая уже полученную формулу,

$$C_2 \frac{\mu_n a}{b} - \frac{C_n A \omega^3 b^2}{\omega^2 b^2 - \mu_n^2 a^2} = -A\omega C_n.$$

Откуда находим коэффициент C_2 :

$$C_2 = \frac{C_n A \omega \mu_n a b}{(\omega^2 b^2 - \mu_n^2 a^2)}.$$

Итак, окончательно, мы получили

$$w_1(r, t) = \sum_{n=1}^{\infty} \frac{A\omega b C_n}{\mu_n^2 a^2 - \omega^2 b^2} \left[\mu_n a \sin\left(\frac{\mu_n a t}{b}\right) - \omega b \sin(\omega t) \right] R_n(r),$$

$$w(r, \theta, t) = \cos(\theta) \sum_{n=1}^{\infty} \frac{A\omega b C_n}{\mu_n^2 a^2 - \omega^2 b^2} \left[\mu_n a \sin\left(\frac{\mu_n a t}{b}\right) - \omega b \sin(\omega t) \right] R_n(r),$$

$$u(r, \theta, t) = Ar \cos(\theta) \sin(\omega t) +$$

$$+ \cos(\theta) \sum_{n=1}^{\infty} \frac{A\omega b C_n}{\mu_n^2 a^2 - \omega^2 b^2} \left[\mu_n a \sin\left(\frac{\mu_n a t}{b}\right) - \omega b \sin(\omega t) \right] R_n(r),$$

где C_n определяется по формуле (5.127).

Пример 3. Решить задачу

$$\frac{\partial u}{\partial t} - a^2 \frac{\partial^2 u}{\partial x^2} = 0, \quad u|_{t=0} = \varphi(x), \quad -\infty < x < \infty, \quad t > 0.$$

Решение. Переменная x меняется в бесконечных пределах, поэтому для решения данной задачи естественно попробовать применить преобразование Фурье по переменной x . Воспользуемся системой Maple. Определим задачу. Сначала загрузим необходимые нам команды

```
> with(inttrans, fourier, invfourier);
> with(student, changevar);
```

Задаем уравнение и начальные условия

```
> eq:=diff(u(x,t),t)-a^2*diff(u(x,t),x,x)=0; > ic:=u(x,0)=phi(x);
```

$$eq := \left(\frac{\partial}{\partial t} u(x, t) \right) - a^2 \left(\frac{\partial^2}{\partial x^2} u(x, t) \right) = 0$$

$$ic := u(x, 0) = \phi(x)$$

Применяем преобразование Фурье

```
> assume(a>0,t>0);
> fourier(eq, x, w);
```

$$a^{-2} w^2 \text{fourier}(u(x, t\sim), x, w) + \left(\frac{\partial}{\partial t\sim} \text{fourier}(u(x, t\sim), x, w) \right) = 0$$

Решаем полученное уравнение для трансформанты Фурье

```
> subs(fourier(u(x,t),x,w)=v(t),%);
```

$$a^{-2} w^2 v(t\sim) + \left(\frac{d}{dt\sim} v(t\sim) \right) = 0$$

```
> dsolve({%.v(0)=fourier(rhs(ic),x,w)}.v(t));
```

$$v(t\sim) = \text{fourier}(\phi(x), x, w) e^{(-a^{-2} w^2 t\sim)}$$

```
> subs(v(t)=fourier(u(x,t),x,w),%);
```

$$\text{fourier}(u(x, t\sim), x, w) = \text{fourier}(\phi(x), x, w) e^{(-a^{-2} w^2 t\sim)}$$

Находим обратное преобразование и упрощаем полученный результат

```
> invfourier(lhs(%.w,x)=invfourier(rhs(%.w,x));
```

$$u(x, t\sim) = \frac{1}{4} \left[\frac{1}{\pi^2} \int_{-\infty}^{\infty} \frac{2 \pi^{(3/2)} \phi(-UI) e^{\left(-\frac{(x+UI)^2}{4 a^{-2} t\sim} \right)}}{a\sim \sqrt{t\sim}} d_{-UI} \right]$$

> changevar(_U1=-xi,%xi):

$$u(x, t) = \frac{1}{4} \left(\frac{1}{\pi^2} \int_{-\infty}^{\infty} \frac{2\pi^{(3/2)} \phi(\xi) e^{\left(\frac{-x+\xi}{4a^2 t}\right)^2}}{a\sqrt{t}} d\xi \right)$$

> expand(%exp):

$$u(x, t) = \frac{1}{2} \left(\frac{1}{\sqrt{\pi} a\sqrt{t}} \int_{-\infty}^{\infty} \phi(\xi) e^{\left(\frac{-x+\xi}{4a^2 t}\right)^2} d\xi \right)$$

Итак, мы получили формальное решение нашей задачи в виде интеграла

$$u(x, t) = \frac{1}{2a\sqrt{\pi t}} \int_{-\infty}^{+\infty} \phi(\xi) e^{-\frac{(\xi-x)^2}{4a^2}} d\xi.$$

Пример 4. Решить задачу Дирихле для уравнения Лапласа для верхней полуплоскости.

Решение. Эта задача рассмотрена нами в разделе «Задача Дирихле для полуплоскости». Продемонстрируем ее решение в Maple с помощью преобразования Фурье. Переменная x меняется в бесконечных пределах, поэтому применяем преобразование Фурье по переменной x . Определим задачу:

> with(intrans, fourier, invfourier):
 > eq:=linalg[laplacian](u(x,y).[x,y])=0:
 > bc:=u(x,0)=phi(x):

$$eq := \left(\frac{\partial^2}{\partial x^2} u(x, y) \right) + \left(\frac{\partial^2}{\partial y^2} u(x, y) \right) = 0$$

$$bc := u(x, 0) = \phi(x)$$

Применяем преобразование Фурье:

> assume(y>0):
 > fourier(eq, x, w):

$$-w^2 \text{fourier}(u(x, y), x, w) + \left(\frac{\partial^2}{\partial y^2} \text{fourier}(u(x, y), x, w) \right) = 0$$

> subs(fourier(u(x,y),x,w)=v(y),%):

$$-w^2 v(y) + \left(\frac{d^2}{dy^2} v(y) \right) = 0$$

> dsolve({%v(0)=fourier(rhs(bc),x,w)},v(y)):

$$v(y) = (-C2 + \text{fourier}(\phi(x), x, w)) e^{(w,y)} + C2 e^{(-w,y)}$$

> v(y)=exp(-abs(w)*y)*fourier(phi(x),x,w):

$$v(y) = e^{(-|w|y)} \text{fourier}(\phi(x), x, w)$$

> invfourier(rhs(%),w,x):

$$\frac{1}{4} \left(\frac{1}{\pi^2} \int_{-\infty}^{\infty} \frac{4 \pi \phi(-UI) y \sim}{y \sim^2 + x^2 + 2 x _UI + _UI^2} d_UI \right)$$

> expand(%):

$$\frac{y \sim}{\pi} \int_{-\infty}^{\infty} \frac{\phi(-UI)}{y \sim^2 + x^2 + 2 x _UI + _UI^2} d_UI$$

> student[changevar](_UI=-xi,%,xi):

$$\frac{y \sim}{\pi} \int_{-\infty}^{\infty} \frac{\phi(\xi)}{y \sim^2 + x^2 - 2 x \xi + \xi^2} d\xi$$

> u(x,y)=student[completesquare](%,x):

$$u(x, y \sim) = \frac{y \sim}{\pi} \int_{-\infty}^{\infty} \frac{\phi(\xi)}{(x - \xi)^2 + y \sim^2} d\xi$$

Итак, получили формальное решение в виде интеграла

$$u(x, y) = \frac{y}{\pi} \int_{-\infty}^{+\infty} \frac{\varphi(\xi)}{(x - \xi)^2 + y^2} d\xi,$$

которое, как и следовало ожидать, совпадает с формулой (5.76).

Пример 5. Решить задачу

$$\frac{\partial^2 u}{\partial t^2} + \Delta^2 u = xye^t, \quad u|_{t=0} = 0, \quad \frac{\partial u}{\partial t}|_{t=0} = 0, \quad -\infty < x, y, z < \infty, \quad t > 0.$$

Решение. Продемонстрируем решение задачи в Maple с помощью преобразования Фурье. Переменные x, y, z меняются в бесконечных пределах, поэтому последовательно применяем преобразование Фурье по этим переменным.

Определим задачу:

> with(intrans, fourier, invfourier):

> with(linalg, laplacian):

> eq:=

> diff(u(x,y,z,t),t\$2)=

> -laplacian(laplacian(u(x,y,z,t),[x,y,z]),[x,y,z])+

> 6*x^2*y^2*z^2:

> ic:=u(x,y,z,0)=0:ict:=D[4](u)(x,y,z,0)=0:

$$eq := \frac{\partial^2}{\partial t^2} u(x, y, z, t) = - \left(\frac{\partial^4}{\partial x^4} u(x, y, z, t) \right) - 2 \left(\frac{\partial^4}{\partial y^2 \partial x^2} u(x, y, z, t) \right) - 2 \left(\frac{\partial^4}{\partial z^2 \partial x^2} u(x, y, z, t) \right) - \left(\frac{\partial^4}{\partial y^4} u(x, y, z, t) \right) - 2 \left(\frac{\partial^4}{\partial z^2 \partial y^2} u(x, y, z, t) \right) - \left(\frac{\partial^4}{\partial z^4} u(x, y, z, t) \right) + 6 x^2 y^2 z^2$$

$$ic := u(x, y, z, 0) = 0$$

$$ict := D_4(u)(x, y, z, 0) = 0$$

Применяем преобразование Фурье

> fourier(eq.x,w1):

$$\frac{\partial^2}{\partial t^2} \text{fourier}(u(x, y, z, t), x, w1) = -w1^4 \text{fourier}(u(x, y, z, t), x, w1) + 2 w1^2 \left(\frac{\partial^2}{\partial z^2} \text{fourier}(u(x, y, z, t), x, w1) \right) - \left(\frac{\partial^4}{\partial y^4} \text{fourier}(u(x, y, z, t), x, w1) \right) + 2 w1^2 \left(\frac{\partial^2}{\partial y^2} \text{fourier}(u(x, y, z, t), x, w1) \right) - \left(\frac{\partial^4}{\partial z^4} \text{fourier}(u(x, y, z, t), x, w1) \right) - 2 \left(\frac{\partial^4}{\partial z^2 \partial y^2} \text{fourier}(u(x, y, z, t), x, w1) \right) - 12 y^2 z^2 \pi \text{Dirac}(2, w1)$$

> fourier(%,y,w2):

$$\frac{\partial^2}{\partial t^2} \text{fourier}(\text{fourier}(u(x, y, z, t), x, w1), y, w2) = 2 w2^2 \left(\frac{\partial^2}{\partial z^2} \text{fourier}(\text{fourier}(u(x, y, z, t), x, w1), y, w2) \right) + 2 w1^2 \left(\frac{\partial^2}{\partial z^2} \text{fourier}(\text{fourier}(u(x, y, z, t), x, w1), y, w2) \right) - w2^4 \text{fourier}(\text{fourier}(u(x, y, z, t), x, w1), y, w2) + 24 z^2 \pi^2 \text{Dirac}(2, w1) \text{Dirac}(2, w2) - w1^4 \text{fourier}(\text{fourier}(u(x, y, z, t), x, w1), y, w2) - 2 w1^2 w2^2 \text{fourier}(\text{fourier}(u(x, y, z, t), x, w1), y, w2) - \left(\frac{\partial^4}{\partial z^4} \text{fourier}(\text{fourier}(u(x, y, z, t), x, w1), y, w2) \right)$$

> fourier(%,z,w3):

$$\frac{\partial^2}{\partial t^2} \text{fourier}(\text{fourier}(\text{fourier}(u(x, y, z, t), x, w1), y, w2), z, w3) = -\text{fourier}(\text{fourier}(\text{fourier}(u(x, y, z, t), x, w1), y, w2), z, w3) w2^4 - \text{fourier}(\text{fourier}(\text{fourier}(u(x, y, z, t), x, w1), y, w2), z, w3) w1^4 - 2 \text{fourier}(\text{fourier}(\text{fourier}(u(x, y, z, t), x, w1), y, w2), z, w3) w1^2 w2^2 - w3^4 \text{fourier}(\text{fourier}(\text{fourier}(u(x, y, z, t), x, w1), y, w2), z, w3) - 2 w3^2 \text{fourier}(\text{fourier}(\text{fourier}(u(x, y, z, t), x, w1), y, w2), z, w3) w2^2 - 2 w3^2 \text{fourier}(\text{fourier}(\text{fourier}(u(x, y, z, t), x, w1), y, w2), z, w3) w1^2 - 48 \pi^3 \text{Dirac}(2, w1) \text{Dirac}(2, w2) \text{Dirac}(2, w3)$$

Решаем полученное обыкновенное дифференциальное уравнение относительно трансформанты Фурье

> subs(fourier(fourier(fourier(u(x,y,z,t),x,w1),y,w2),z,w3)=s(t),%):
> u(x,y,z,t).x,w1).y,w2).z,w3)=s(t),%):

$$\frac{d^2}{dt^2} s(t) = -s(t) w2^4 - s(t) w1^4 - 2 s(t) w1^2 w2^2 - w3^4 s(t) - 2 w3^2 s(t) w2^2 - 2 w3^2 s(t) w1^2 - 48 \pi^3 \text{Dirac}(2, w1) \text{Dirac}(2, w2) \text{Dirac}(2, w3)$$

> dsolve({%.s(0)=0,D(s)(0)=0},s(t)):

$$s(t) = \frac{48 \cos((w1^2 + w2^2 + w3^2)t) \pi^3 \text{Dirac}(2, w1) \text{Dirac}(2, w2) \text{Dirac}(2, w3)}{w2^4 + w1^4 + 2 w1^2 w2^2 + w3^4 + 2 w3^2 w2^2 + 2 w3^2 w1^2} \\ - \frac{48 \pi^3 \text{Dirac}(2, w1) \text{Dirac}(2, w2) \text{Dirac}(2, w3)}{(w1^2 + w2^2 + w3^2)^2}$$

Последовательно вычисляем обратное преобразование

```
> invfourier(rhs(%),w3,z):
24 \pi^2 \text{Dirac}(2, w1) \text{Dirac}(2, w2) (z^2 w1^2 - w1^2 z^2 \cos((w1^2 + w2^2)t) - 2 w1^2 \sin((w1^2 + w2^2)t) t + z^2 w2^2
- z^2 \cos((w1^2 + w2^2)t) w2^2 - 2 \sin((w1^2 + w2^2)t) t w2^2 - 4 \cos((w1^2 + w2^2)t) + 4) / (w1^2 + w2^2)^3
> invfourier(% ,w2,y):
12 \pi (2 w1^4 t y^2 \sin(w1^2 t) + 16 \sin(w1^2 t) t w1^2 - 4 w1^4 t^2 \cos(w1^2 t) - 4 z^2 w1^2 + 4 z^2 \cos(w1^2 t) w1^2
+ z^2 w1^4 y^2 \cos(w1^2 t) + 2 z^2 w1^4 \sin(w1^2 t) t + 4 y^2 \cos(w1^2 t) w1^2 + 24 \cos(w1^2 t) - z^2 w1^4 y^2
- 4 y^2 w1^2 - 24) \text{Dirac}(2, w1) / w1^8
> invfourier(% ,w1,x):
-t^2 (2 z^2 t^2 + 2 y^2 t^2 + 2 x^2 t^2 - 3 x^2 y^2 z^2)
```

Итак, мы получили решение

```
> u(x,y,z,t)=collect(% ,t):
u(x, y, z, t) = (-2 z^2 - 2 y^2 - 2 x^2) t^4 + 3 x^2 y^2 z^2 t^2
```

Выполним проверку полученного решения

```
> u:=unapply(rhs(%), (x, y, z, t)):
> simplify(lhs(eq)-rhs(eq)):
> simplify(lhs(ict)-rhs(ict)):
> simplify(lhs(ict)-rhs(ict)):
0
0
0
```

Таким образом, решением данной задачи будет функция

$$u(x, y, z, t) = 3x^2 y^2 z^2 t^2 - 2(x^2 + y^2 + z^2) t^4.$$

Пример 6. Решить задачу

$$\frac{\partial^2 u}{\partial t^2} + \frac{\partial^4 u}{\partial x^4} = 0, \quad u|_{t=0} = \cos(x^2), \quad \frac{\partial u}{\partial t}|_{t=0} = 0, \quad -\infty < x < \infty, \quad 0 < t < \frac{1}{4}.$$

Решение. Продемонстрируем решение задачи в Maple с помощью косинус-преобразования Фурье по переменной x .

```
> eq:=diff(u(x,t),t$2)=-diff(u(x,t),x$4):
> ic:=u(x,0)=cos(x^2): ict:=D[2](u)(x,0)=0:
```

$$eq := \frac{\partial^2}{\partial t^2} u(x, t) = - \left(\frac{\partial^4}{\partial x^4} u(x, t) \right)$$

$$ic := u(x, 0) = \cos(x^2)$$

$$ict := D_2(u)(x, 0) = 0$$

```

> fouriercos(eq.x.w);

$$\frac{\partial^2}{\partial t^2} \text{fouriercos}(u(x,t), x, w) = -\frac{-\sqrt{2} D_{1,1,1}(u)(0,t) + w^2 \sqrt{2} D_1(u)(0,t) + w^4 \text{fouriercos}(u(x,t), x, w) \sqrt{\pi}}{\sqrt{\pi}}$$

> subs(fouriercos(u(x,t),x,w)=s(t),D[1,1,1](u)(0,t)=0);
> D[1](u)(0,t)=0, %);

$$\frac{d^2}{dt^2} s(t) = -w^4 s(t)$$

> dsolve(% , s(0)=
> fouriercos(rhs(ic),x,w),D(s)(0)=0},s(t));

$$s(t) = \left( \frac{1}{2} \cos\left(\frac{w^2}{4}\right) + \frac{1}{2} \sin\left(\frac{w^2}{4}\right) \right) \cos(w^2 t)$$

> expand(%);

$$s(t) = \frac{1}{2} \cos(w^2 t) \cos\left(\frac{w^2}{4}\right) + \frac{1}{2} \cos(w^2 t) \sin\left(\frac{w^2}{4}\right)$$

> combine(% , trig);

$$s(t) = \frac{1}{4} \cos\left(w^2 t - \frac{1}{4} w^2\right) + \frac{1}{4} \cos\left(w^2 t + \frac{1}{4} w^2\right) + \frac{1}{4} \sin\left(w^2 t + \frac{1}{4} w^2\right) - \frac{1}{4} \sin\left(w^2 t - \frac{1}{4} w^2\right)$$

> factor(%);

$$s(t) = \frac{1}{4} \cos\left(\frac{w^2(4t-1)}{4}\right) + \frac{1}{4} \cos\left(\frac{w^2(4t+1)}{4}\right) + \frac{1}{4} \sin\left(\frac{w^2(4t+1)}{4}\right) - \frac{1}{4} \sin\left(\frac{w^2(4t-1)}{4}\right)$$

> su:={4*t+1=a,4*t-1=-b};sui:=solve(su,{a,b});

$$su := \{4t - 1 = -b, 4t + 1 = a\}$$


$$sui := \{b = -4t + 1, a = 4t + 1\}$$

> subs(su,rhs(%%));

$$\frac{1}{4} \cos\left(-\frac{w^2 b}{4}\right) + \frac{1}{4} \cos\left(\frac{w^2 a}{4}\right) + \frac{1}{4} \sin\left(\frac{w^2 a}{4}\right) - \frac{1}{4} \sin\left(-\frac{w^2 b}{4}\right)$$

> simplify(%):assume(a>0,b>0);

$$\frac{1}{4} \cos\left(\frac{w^2 b}{4}\right) + \frac{1}{4} \cos\left(\frac{w^2 a}{4}\right) + \frac{1}{4} \sin\left(\frac{w^2 a}{4}\right) + \frac{1}{4} \sin\left(\frac{w^2 b}{4}\right)$$

> fouriercos(% , w,x);

$$\frac{1}{4} \frac{\sqrt{\frac{\pi}{b}} \left( \cos\left(\frac{x^2}{b}\right) + \sin\left(\frac{x^2}{b}\right) \right)}{\sqrt{\pi}} + \frac{1}{4} \frac{\sqrt{\frac{\pi}{a}} \left( \cos\left(\frac{x^2}{a}\right) + \sin\left(\frac{x^2}{a}\right) \right)}{\sqrt{\pi}} + \frac{1}{4} \frac{\sqrt{\frac{\pi}{a}} \left( \cos\left(\frac{x^2}{a}\right) - \sin\left(\frac{x^2}{a}\right) \right)}{\sqrt{\pi}} + \frac{1}{4} \frac{\sqrt{\frac{\pi}{b}} \left( \cos\left(\frac{x^2}{b}\right) - \sin\left(\frac{x^2}{b}\right) \right)}{\sqrt{\pi}}$$

> map(simplify.expand(%));

$$\frac{1}{2} \frac{\cos\left(\frac{x^2}{b}\right)}{\sqrt{b}} + \frac{1}{2} \frac{\cos\left(\frac{x^2}{a}\right)}{\sqrt{a}}$$


```

Итак, мы получили решение


```
> sol:=u(x,t)=subs(sui,%);
```

$$sol := u(x, t) = \frac{1}{2} \frac{\cos\left(\frac{x^2}{-4t+1}\right)}{\sqrt{-4t+1}} + \frac{1}{2} \frac{\cos\left(\frac{x^2}{4t+1}\right)}{\sqrt{4t+1}}$$

Выполним проверку:

```
> u:=unapply(rhs(sol).(x,t));
> simplify(lhs(eq)-rhs(eq));
> simplify(lhs(ict)-rhs(ict));
> simplify(lhs(ict)-rhs(ict));
```

0
0
0

Таким образом, решением данной задачи будет функция

$$u(x, t) = \frac{1}{2\sqrt{1+4t}} \cos\left(\frac{x^2}{1+4t}\right) + \frac{1}{2\sqrt{1-4t}} \cos\left(\frac{x^2}{1-4t}\right).$$

Пример 7. Пусть $u(x, t)$ — температура в некоторой одномерной области, причем начальная температура $u(x, 0) = f(x)$. Исследовать решения уравнения теплопроводности при различных начальных температурах: $f(x) = e^{-x^2}$ — гауссов начальный профиль; $f(x) = \theta(x+1) - \theta(x-1)$ — равномерное начальное распределение температуры на отрезке $[-1, 1]$, где $\theta(x)$ — единичная функция Хевисайда; $f(x) = (1-x)[\theta(x) - \theta(x-1)]$ — треугольный начальный профиль температуры.

Решение. Задача сводится к решению одномерного уравнения теплопроводности в бесконечной области

$$\frac{\partial u}{\partial t} - c^2 \frac{\partial^2 u}{\partial x^2} = 0, \quad u|_{t=0} = f(x), \quad u|_{x=-\infty} = u|_{x=+\infty} = 0, \quad -\infty < x < \infty, \quad t > 0.$$

Продемонстрируем решение задачи в Maple с помощью преобразования Фурье по переменной x .

```
> restart;
> assume(n, integer):with(plots):with(inttrans):
```

Задаем уравнение:

```
> alias(u=u(x,t),U=U(k,t));
> Eq:=diff(u,t) - c^2*diff(u,`$`(x,2));
```

$$Eq := \left(\frac{\partial}{\partial t} u\right) - c^2 \left(\frac{\partial^2}{\partial x^2} u\right)$$

Применяем преобразование Фурье:

```
> Eq2:=subs(fourier(u,x,k)=U, fourier(Eq,x,k));
```

$$Eq2 := \left(\frac{\partial}{\partial t} U\right) + c^2 k^2 U$$

```
> SU:=subs(_F1(k)=F(k).(dsolve(subs(Eq2),U)));
```

$$SU := U = F(k) e^{(-c^2 k^2 t)}$$

Вычисляем обратное преобразование:

```
> Su:= u=invfourier(subs(SU,U),k,x):
```

$$Su := u = \text{invfourier}(F(k) e^{(-c^2 k^2 t)}, k, x)$$

```
> convert(Su,int):
```

$$u = \frac{1}{2} \left(\frac{1}{\pi} \int_{-\infty}^{\infty} F(k) e^{(-c^2 k^2 t)} e^{(k x t)} dk \right)$$

Преобразуем полученное решение, подставив в него значение интеграла $F(k)$:

```
> assume(c>0):
> assume(k>0):assume(t>0):
> Su:=1/2/Pi*
> Int(Int(f(xi)*exp(-c^2*k^2*t-I*k*xi+I*k*x),
> k=-infinity..infinity).xi=-infinity..infinity):
```

$$Su := \frac{1}{2} \left(\frac{1}{\pi} \int_{-\infty}^{\infty} \int_{-\infty}^{\infty} f(\xi) e^{(-c^2 k^2 t - k \xi t + k x t)} dk d\xi \right)$$

Внутренний интеграл вычисляется:

```
> int_int:=int(exp(-c^2*k^2*t-I*k*xi+I*k*x),
> k=-infinity..infinity):
```

$$\text{int_int} := \frac{e^{\left(\frac{(-\xi + x)^2}{4 c^2 t} \right)} \sqrt{\pi}}{c \sqrt{t}}$$

и, таким образом,

```
> Su:=simplify(
> Int(f(xi)*simplify(int_int/(2*Pi)),
> xi=-infinity..infinity):
```

$$Su := \int_{-\infty}^{\infty} \frac{1}{2} \frac{f(\xi) e^{\left(\frac{(-\xi + x)^2}{4 c^2 t} \right)}}{c \sqrt{t} \sqrt{\pi}} d\xi$$

Можно представить решение и в другой форме

```
> simplify(student[changevar]
> (1/2/c/sqrt(t)*(xi-x)=z.Su, z):
```

$$\int_{-\infty}^{\infty} \frac{f(x + 2z) e^{-z^2}}{\sqrt{\pi}} dz$$

Нам удобнее будет первоначальная форма решения:

> u=%%;

$$u(x, t) = \int_{-\infty}^{\infty} \frac{1}{2} \frac{f(\xi) e^{-\frac{(-\xi+x)^2}{4c^2t}}}{c\sqrt{t}\sqrt{\pi}} d\xi$$

Итак, решение нашей задачи для достаточно произвольной интегрируемой функции имеет вид

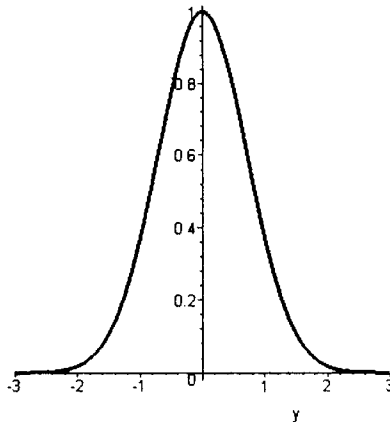
$$u(x, t) = \frac{1}{2c\sqrt{\pi t}} \int_{-\infty}^{\infty} f(\xi) e^{-\frac{(x-\xi)^2}{4c^2t}} d\xi.$$

Рассмотрим теперь конкретные начальные условия. Пусть начальная температура имеет вид (гауссов профиль) $f(x) = e^{-x^2}$:

> f1:=y->exp(-y^2):assume(t,positive):assume(c,positive):

$$f1 := y \rightarrow e^{-y^2}$$

> plot(f1(y),y=-3..3,thickness=3,color=black):



В этом случае мы можем вычислить интеграл точно:

> Su1:=simplify(value(subs(f=f1,Su))):

$$Su1 := \frac{e^{\left(-\frac{x^2}{4c^2t+1}\right)}}{\sqrt{4c^2t+1}}$$

Таким образом, наше решение имеет вид

$$u(x,t) = \frac{e^{-\frac{x^2}{4c^2t+1}}}{\sqrt{4c^2t+1}}$$

> u:=(x,t) -> exp(-x^2/(4*c^2*t+1))/(4*c^2*t+1)^(1/2):

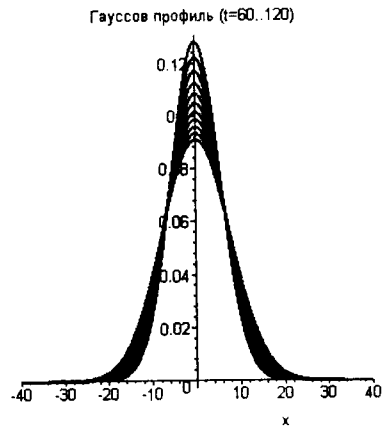
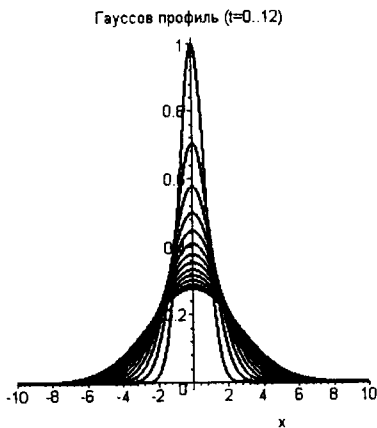
$$u(x, t) := (x, t) \rightarrow \frac{e^{\left(-\frac{x^2}{4c^2t+1}\right)}}{\sqrt{4c^2t+1}}$$

Интересно посмотреть на развитие процесса. Пусть $c = 1/2$:

> c:=1/2:

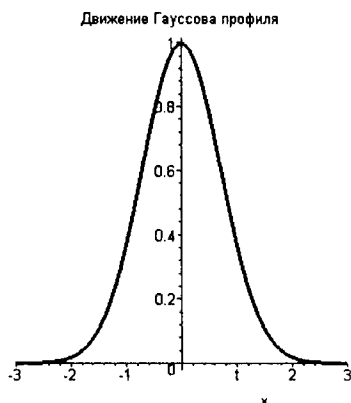
$$c := \frac{1}{2}$$

```
> p1:=seq(plot(u(x,i),x=-10..10,
> color=black,thickness=2),i=0..12):
> p2:=seq(plot(u(x,6*i),x=-40..40,
> color=black,thickness=2),i=10..20):
> display([p1].title="Гауссов профиль (t=0..12)");
⋮ display([p2].title="Гауссов профиль (t=60..120)");
```



Посмотрим развитие процесса в движении:

```
> animate(u(x,t),x=-3..3,t=0..20,color=black,thickness=3,
> numpoints=60,title="Движение Гауссова профиля");
```

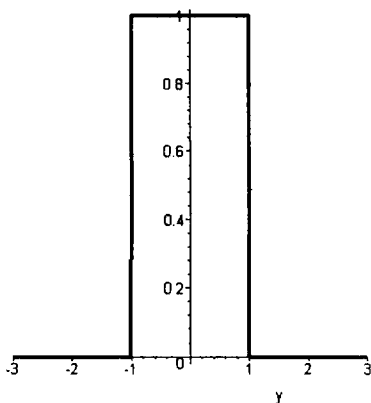


Возьмем теперь начальный профиль в виде $f(x) = \theta(x + 1) - \theta(x - 1)$:

> f2:=y->Heaviside(y+1)-Heaviside(y-1);

$f2 := y \rightarrow \text{Heaviside}(y + 1) - \text{Heaviside}(y - 1)$

> plot(f2(y),y=-3..3,thickness=3,color=black);



> subs(f=f2,Su);Sol_u:=simplify(value(subs(f=f2,Su))):

$$\int_{-\infty}^{\infty} \frac{1}{2} \frac{f2(\xi) e^{-\frac{(-\xi+x)^2}{4c^2t}}}{c\sqrt{t}\sqrt{\pi}} d\xi$$

$$Sol_u := \frac{1}{2} \operatorname{erf}\left(\frac{x+1}{2c\sqrt{t}}\right) - \frac{1}{2} \operatorname{erf}\left(\frac{x-1}{2c\sqrt{t}}\right)$$

Как видим, здесь опять интеграл вычисляется, и мы имеем решение в виде

$$u(x,t) = \frac{1}{2} \Phi\left(\frac{x+1}{2c\sqrt{t}}\right) - \frac{1}{2} \Phi\left(\frac{x-1}{2c\sqrt{t}}\right)$$

> u:=(x,t)->

```
> 1/2*erf((x+1)/2/c/sqrt(t))-1/2*erf((x-1)/2/c/sqrt(t));
```

$$u := (x, t) \rightarrow \frac{1}{2} \operatorname{erf}\left(\frac{1}{2} \frac{x+1}{c\sqrt{t}}\right) - \frac{1}{2} \operatorname{erf}\left(\frac{1}{2} \frac{x-1}{c\sqrt{t}}\right)$$

Посмотрим на развитие этого профиля:

```
> c:=1/2;
```

$$c := \frac{1}{2}$$

```
> p1:=seq(plot(u(x,i),x=-10..10,color=black,thickness=2),
```

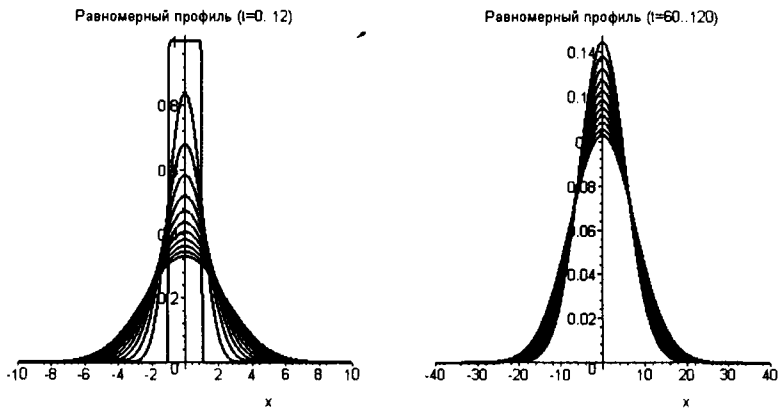
```
> i=0..12):
```

```
> p2:=seq(plot(u(x,6*i),x=-40..40,color=black,
```

```
> thickness=2),i=10..20):
```

```
> display([p1],title="Равномерный профиль (t=0..12)");
```

```
> display([p2],title="Равномерный профиль (t=60..120)");
```

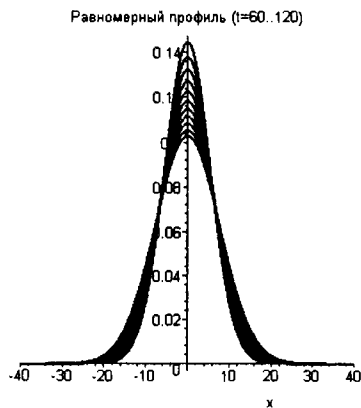


Посмотрим развитие процесса в движении:

```
> animate(u(x,t),x=-4..4,t=0..12,color=black,
```

```
> thickness=3,numpoints=60,
```

```
> title="Движение равномерного профиля");
```



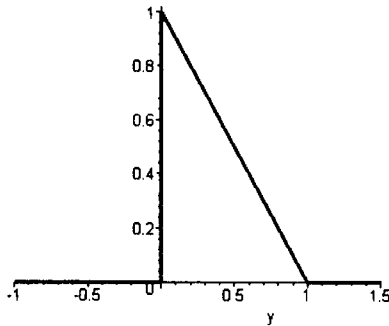
Мы видим, что процесс развивается быстро и выравнивает край прямоугольника; профили очень быстро приближаются к гауссову профилю.

Возьмем теперь асимметричный треугольный начальный профиль температуры $f(x) = (1-x)[\theta(x) - \theta(x-1)]$:

```
> f2:=y->(1-y)*(Heaviside(y)-Heaviside(y-1));
```

$$f2 := y \rightarrow (1 - y) (\text{Heaviside}(y) - \text{Heaviside}(y - 1))$$

```
> plot(f2(y),y=-1..1.5,thickness=3,color=black):
```



```
> Sol_u:=
> Int(1/2*((1-xi)*(Heaviside(xi)-Heaviside(xi-1)))*
> exp(-1/4*(xi-x)^2/c^2/t)/c/t^(1/2)/Pi^(1/2).
> xi = -infinity..infinity):
```

$$Sol_u := \int_{-\infty}^{\infty} \frac{1}{2} \frac{(1 - \xi) (\text{Heaviside}(\xi) - \text{Heaviside}(\xi - 1)) e^{\left(-\frac{(\xi-x)^2}{4c^2t}\right)}}{c \sqrt{t} \sqrt{\pi}} d\xi \dots$$

```
> Sol_u:=simplify(value(Sol_u)):
```

$$Sol_u := \frac{1}{2} \left(-\text{erf}\left(\frac{x}{2c\sqrt{t}}\right) \sqrt{\pi} + \text{erf}\left(\frac{-1+x}{2c\sqrt{t}}\right) \sqrt{\pi} + 2c\sqrt{t} e^{\left(-\frac{x^2}{4c^2t}\right)} + x \text{erf}\left(\frac{x}{2c\sqrt{t}}\right) \sqrt{\pi} - 2c\sqrt{t} e^{\left(-\frac{(-1+x)^2}{4c^2t}\right)} - x \text{erf}\left(\frac{-1+x}{2c\sqrt{t}}\right) \sqrt{\pi} \right) / \sqrt{\pi}$$

Таким образом, решение дается функцией

```
> u:=(x,t)->1/2*(erf(1/2*x/c/t^(1/2))*Pi^(1/2)-
> erf(1/2*(-1+x)/c/t^(1/2))*Pi^(1/2)-2*c*t^(1/2)*
> exp(-1/4*x^2/c^2/t)-x*erf(1/2*x/c/t^(1/2))*Pi^(1/2)+
> 2*c*t^(1/2)*exp(-1/4*(-1+x)^2/c^2/t)+
> x*erf(1/2*(-1+x)/c/t^(1/2))*Pi^(1/2))/Pi^(1/2);
```

$$u := (x, t) \rightarrow \frac{1}{2} \left(\operatorname{erf}\left(\frac{1}{2} \frac{x}{c\sqrt{t}}\right) \sqrt{\pi} - \operatorname{erf}\left(\frac{1}{2} \frac{x-1}{c\sqrt{t}}\right) \sqrt{\pi} - 2c\sqrt{t} e^{\left(-1/4 \frac{x^2}{c^2 t}\right)} - x \operatorname{erf}\left(\frac{1}{2} \frac{x}{c\sqrt{t}}\right) \sqrt{\pi} + 2c\sqrt{t} e^{\left(-1/4 \frac{(x-1)^2}{c^2 t}\right)} + x \operatorname{erf}\left(\frac{1}{2} \frac{x-1}{c\sqrt{t}}\right) \sqrt{\pi} \right) / \sqrt{\pi}$$

Посмотрим развитие этого профиля:

> c:=1/2:

$$c := \frac{1}{2}$$

> p1:=seq(plot(u(x,i),x=-10..10,color=black,thickness=2),

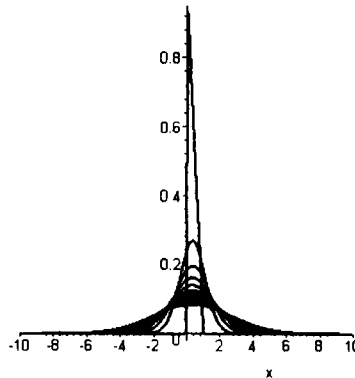
> i=0..120):

> p2:=seq(plot(u(x,i),x=-40..40,color=black,thickness=2),

> i=10..20):

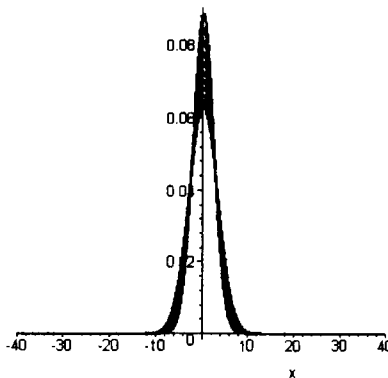
> plots[display]([p1].title="Эволюция треугольного асимметричного профиля (t=0..120)");

Эволюция треугольного асимметричного профиля (t=0..120)



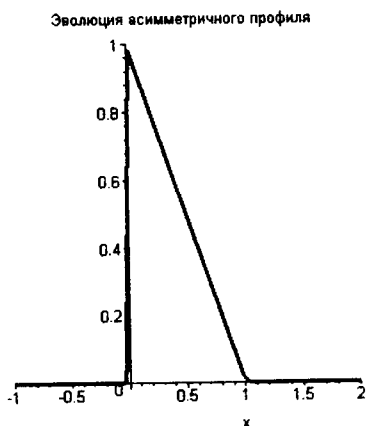
> plots[display]([p2].title="Эволюция треугольного асимметричного профиля (t=60..120)");

Эволюция треугольного асимметричного профиля (t=60..120)



Посмотрим развитие процесса в движении:

```
> plots[animate](u(x,t),x=-1..2,  
> t=0.000000000000000001..2,color=black,  
> thickness=3,numpoints=60,  
> title="Эволюция асимметричного профиля");
```



Здесь снова наблюдается быстрое сглаживание, обеспечиваемое экспонентой e^{-t^2} в интеграле. Решение имеет тенденцию быстро приближаться к гауссову профилю, центрированному вокруг среднего значения.

6 Преобразование Лапласа

Применение преобразования Лапласа к решению нестационарных задач математической физики в настоящее время получило всеобщее признание как наиболее эффективный метод рассмотрения проблем данного типа. В этой главе мы рассмотрим преобразование Лапласа, делая главный упор на приложения.

Определение преобразования Лапласа

Пусть задана некоторая функция $f(t)$, $t \in (0, +\infty)$. Рассмотрим интеграл (*интеграл Лапласа*)

$$\bar{f}(p) = \int_0^{+\infty} f(t) e^{-pt} dt, \quad (6.1)$$

где p — некоторое комплексное число, $\operatorname{Re}(p) > a$ (a — любое).

Если интеграл (6.1) сходится при некотором конкретном значении a для данной функции $f(t)$, то говорят, что этот интеграл определяет преобразование Лапласа от функции $f(t)$. В этом случае комплексная, вообще говоря, функция $f(t)$ действительного аргумента t называется *оригиналом*, или *начальной функцией*, а $\bar{f}(p)$ — *изображением*, или *трансформантой Лапласа*.

Для обозначения того, что $\bar{f}(p)$ служит изображением $f(t)$, будем применять символ \Leftrightarrow , то есть будем писать $f(t) \Leftrightarrow \bar{f}(p)$, $\operatorname{Re}(p) > a$.

Как мы знаем, преобразование Лапласа можно рассматривать как частный случай некоторого интегрального преобразования с ядром $K(p, t) = \exp(-pt)$. Например, преобразование Лапласа существует для следующих функций:

$$f(t) = t^2 \quad (a = 0); \quad f(t) = e^{2t} \quad (a = 2); \quad f(t) = t^{-1/2} \quad (a = 0).$$

Для функций

$$f(t) = e^{t^2}; \quad f(t) = \frac{1}{t}$$

преобразование Лапласа не существует (интеграл (6.1) расходится при любом p).

Введем в рассмотрение класс функций M , для которых преобразование Лапласа заведомо существует. Мы скажем, что $f(t) \in M$, если:

- функция $f(t)$ кусочно-непрерывна на $(0, +\infty)$;
- интеграл $\int_0^{+\infty} |f(t)| e^{-\alpha t} dt$ сходится при соответствующем значении α .

Докажем, что для функций класса M преобразование Лапласа всегда существует. Действительно, ясно, что интеграл

$$\int_a^A |f(t)| e^{-pt} dt$$

существует в обычном римановом смысле для $f(t) \in M$. Далее

$$|f(t) e^{-pt}| = |f(t)| e^{-t \operatorname{Re}(p)} \leq |f(t)| e^{-\alpha t}, \operatorname{Re}(p) \geq \alpha.$$

Таким образом, если $\operatorname{Re}(p) \geq \alpha$, то интеграл

$$\bar{f}(p) = \int_0^{+\infty} f(t) e^{-pt} dt$$

будет сходиться, то есть преобразование Лапласа определено. Число α не обязательно должно совпадать с числом a ($a \leq \alpha$). Сходимость в указанной области D будет абсолютной и равномерной (рис. 6.1).

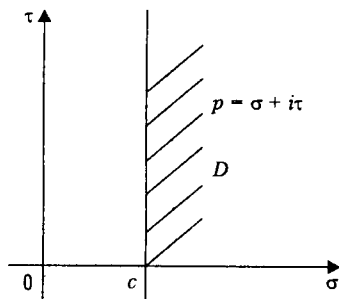


Рис. 6.1. Область регулярности D

ПРИМЕЧАНИЕ

Имея в виду прикладную цель нашего анализа, мы можем ограничить класс рассматриваемых функций кусочно-непрерывными функциями $f(t)$ вещественной переменной t , определенными при $t > 0$ и принимаемыми равными нулю при $t < 0$. Из класса кусочно-непрерывных функций мы выделяем подкласс функций, характеризуемых *определенным порядком роста* при весьма больших значениях аргумента t . Мы предполагаем, что можно указать такие независимые от t числа L и c , что каково бы ни было $t |f(t)| < L e^{ct}$, то есть при любом $t > 0$, модуль $f(t)$ растет медленнее, чем некоторая экспоненциальная функция.

Таким образом, функция $f(t)$ называется оригиналом, если она удовлетворяет следующим условиям:

- 1) $f(t)$ — дифференцируемая достаточное число раз на всей оси t , кроме точек, где она и ее производные претерпевают разрыв первого рода, причем число таких точек в конечном промежутке конечно;
- 2) для всех отрицательных t функция $f(t) = 0$;
- 3) $f(t)$ возрастает не быстрее показательной функции.

Преобразование Лапласа

$$\bar{f}(p) = \int_0^{+\infty} f(t) e^{-pt} dt, \operatorname{Re}(p) \geq c,$$

представляет собой функцию комплексного переменного p .

Имеет место теорема [22].

ТЕОРЕМА. Преобразование Лапласа есть функция комплексного переменного p , регулярная в полуплоскости $\operatorname{Re}(p) \geq c$ (во всякой конечной части этой полуплоскости).

Доказательство этого факта основано на следующей теореме.

ТЕОРЕМА. Пусть имеется интеграл

$$F(p) = \int_0^{+\infty} f(t, p) dt.$$

Пусть

- 1) функция $f(t, p)$ кусочно-непрерывна по переменной $t \in (0, +\infty)$ при фиксированном $p \in D$;
- 2) функция $f(t, p)$ регулярная функция по переменной $p \in D$ при фиксированном $t \in (0, +\infty)$;
- 3) интеграл

$$F(p) = \int_0^{+\infty} f(t, p) dt$$

сходится равномерно в D (D — некоторая область).

Тогда $F(p)$ регулярна в D .

В нашем случае $f(t, p) = f(t) \exp(-pt)$. Условия 1 и 2 теоремы выполнены для p из любой конечной части полуплоскости. Далее интеграл

$$F(p) = \int_0^{+\infty} f(t, p) dt$$

сходится равномерно в D . Таким образом, функция

$$F(p) = \int_0^{+\infty} f(t) e^{-pt} dt$$

регулярна в области $D = \{p: \operatorname{Re}(p) \geq c\}$.

За пределами области D , вообще говоря, интеграл (6.1) расходится. Пусть E — множество всех действительных значений p , для которых интеграл Лапласа сходится. Пусть $a = \inf E$ — нижняя грань множества E . Число a , очевидно, может быть конечным или $-\infty$. Таким образом, обязательно существует предельная линия $x = a$, называемая *абсциссой сходимости*, такая, что левее нее преобразование Лапласа не существует (интеграл расходится). Значения преобразования Лапласа в области вне области D находятся с помощью аналитического продолжения. При этом может получиться неоднозначная функция. Те точки, на которые нельзя аналитически продолжить функцию, называются особыми точками функции. Аналитическое продолжение преобразования Лапласа возможно только в случае, когда интеграл удается выразить через элементарные функции. Например, для функции $f(t) = 1$ будем иметь

$$\bar{f}(p) = \int_0^{+\infty} 1 \cdot e^{-pt} dt = \left. -\frac{e^{-pt}}{p} \right|_{t=0}^{t=+\infty} = \frac{1}{p}, \operatorname{Re}(p) > 0.$$

Эта функция дает аналитическое продолжение всюду, за исключением точки $O(0, 0)$. Следовательно, точка O — особая точка функции (в данном случае точка O — полюс первого порядка).

Имеет место следующая теорема (*принцип аналитического продолжения*)¹.

ТЕОРЕМА. Если исходная функция удовлетворяет какому-нибудь уравнению с аналитическими коэффициентами, то этому же уравнению удовлетворяет и аналитическое продолжение функции.

Рассмотрим некоторые примеры. Пусть $f(t) \in M$ и

$$\bar{f}(p) = \int_0^{+\infty} f(t) e^{-pt} dt, \operatorname{Re}(p) \geq c.$$

1. $f(t) = 1 \Rightarrow \bar{f}(p) = \int_0^{\infty} e^{-pt} dt = \frac{1}{p}, \operatorname{Re}(p) > 0.$

2. $\begin{cases} f(t) = e^{-\alpha t}, \alpha - \text{вещественное число} \Rightarrow \\ \bar{f}(p) = \int_0^{\infty} e^{-(p+\alpha)t} dt = \frac{1}{p+\alpha}, \operatorname{Re}(p) > -\alpha. \end{cases}$

3. $\begin{cases} f(t) = \cos(\beta t), \beta - \text{вещественное число} \Rightarrow \\ \bar{f}(p) = \int_0^{\infty} \cos(\beta t) e^{-pt} dt = \frac{p}{p^2 + \beta^2}, \operatorname{Re}(p) > 0. \end{cases}$

4. $\begin{cases} f(t) = \sin(\beta t), \beta - \text{вещественное число} \Rightarrow \\ \bar{f}(p) = \int_0^{\infty} \sin(\beta t) e^{-pt} dt = \frac{\beta}{p^2 + \beta^2}, \operatorname{Re}(p) > 0. \end{cases}$

5. $f(t) = t^{\nu}, \nu > -1 \Rightarrow \bar{f}(p) = \int_0^{\infty} t^{\nu} e^{-pt} dt = \int_0^{\infty} s^{\nu} e^{-s} ds \frac{1}{p^{\nu+1}} = \frac{\Gamma(\nu+1)}{p^{\nu+1}}.$

¹ Смирнов В.И. Курс высшей математики. Т. 3, ч. 2. — М.: ГИТТЛ, 1956. 675 с.

Здесь временно (при вычислении) предполагается, что $p > 0$ (если p – комплексное, то можно интегрировать по лучу). В силу свойств аналитического продолжения формула примера 5 верна для всей области $\text{Re}(p) > 0$ (здесь $p = 0$ – точка разветвления).

$$6. f(t) = t^n, \quad n = 0, 1, 2, \dots \Rightarrow \bar{f}(p) = \frac{n!}{p^{n+1}} \text{ (следствие 5).}$$

$$7. f(t) = \frac{1}{\sqrt{t}} = t^{-1/2} \Rightarrow \bar{f}(p) = \frac{\Gamma\left(\frac{1}{2}\right)}{p^{-1/2+1}} = \frac{\sqrt{\pi}}{\sqrt{p}} \text{ (следствие 5).}$$

$$8. \begin{cases} f(t) = J_0(\alpha t), \quad \alpha - \text{вещественное число} \Rightarrow \\ \bar{f}(p) = \int_0^{\infty} J_0(\alpha t) e^{-pt} dt = \frac{1}{\sqrt{p^2 + \alpha^2}}, \quad \text{Re}(p) > 0. \end{cases}$$

9. Функция с разрывом:

$$f(t) = \begin{cases} 1, & t < T \\ 0, & t > T \end{cases} \Rightarrow \bar{f}(p) = \int_0^{\infty} f(t) e^{-pt} dt = \int_0^T e^{-pt} dt = \frac{1 - e^{-pT}}{p}, \quad \forall p.$$

В примере 9 преобразование Лапласа – регулярная функция для всех значений p .

$$10. \begin{cases} f(t) = \text{sh}(\beta t), \quad \beta - \text{вещественное число} \Rightarrow \\ \bar{f}(p) = \int_0^{\infty} \text{sh}(\beta t) e^{-pt} dt = \frac{\beta}{p^2 - \beta^2}, \quad \text{Re}(p) > \beta. \end{cases}$$

$$11. \begin{cases} f(t) = \text{ch}(\beta t), \quad \beta - \text{вещественное число} \Rightarrow \\ \bar{f}(p) = \int_0^{\infty} \text{ch}(\beta t) e^{-pt} dt = \frac{p}{p^2 - \beta^2}, \quad \text{Re}(p) > \beta. \end{cases}$$

В приложении приведена сводная таблица наиболее часто встречающихся функций и их преобразований Лапласа.

ПРИМЕЧАНИЕ

В таблицах преобразований Лапласа неявно подразумевается, что функции $f(t)$ равны нулю при $t < 0$. Значения этих функций приводятся только при $t > 0$. Это обстоятельство может привести к серьезным ошибкам, если не обращать на него внимания.

Поведение преобразования Лапласа при больших по модулю значениях параметра ($|p| \rightarrow \infty$)

Докажем следующую теорему.

ТЕОРЕМА. Пусть $f(t) \in M$ и имеет место формула (6.1)

$$\bar{f}(p) = \int_0^{+\infty} f(t) e^{-pt} dt, \quad \text{Re}(p) \geq c. \quad (6.2)$$

Тогда

$$\bar{f}(p) \rightarrow 0 \text{ при } |p| \rightarrow \infty, |\arg(p)| \leq \frac{\pi}{2} - \delta, \delta > 0,$$

равномерно относительно $\arg(p)$ (то есть когда мы удаляемся по произвольному лучу (рис. 6.2)).

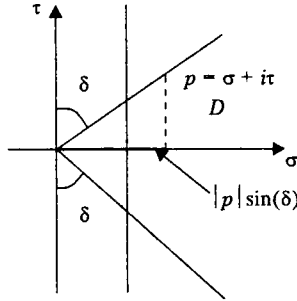


Рис. 6.2. К доказательству теоремы

Доказательство. Можно записать ($\text{Re}(p) \geq c$)

$$\begin{aligned} |\bar{f}(p)| &= \left| \int_0^{+\infty} f(t) e^{-pt} dt \right| \leq \int_0^{+\infty} |f(t)| e^{-\text{Re}(p)t} dt = \\ &= \underbrace{\int_0^{\alpha} |f(t)| e^{-\text{Re}(p)t} dt}_{=J_1} + \underbrace{\int_{\alpha}^A |f(t)| e^{-\text{Re}(p)t} dt}_{=J_2} + \underbrace{\int_A^{+\infty} |f(t)| e^{-\text{Re}(p)t} dt}_{=J_3}. \end{aligned}$$

Оценим каждый из интегралов J_1, J_2, J_3 . Возьмем произвольное число $\varepsilon > 0$ и выберем числа A и α так, чтобы выполнялись неравенства

$$J_1 \leq \int_0^{\alpha} |f(t)| e^{-\alpha} dt < \frac{\varepsilon}{3},$$

$$J_3 \leq \int_A^{+\infty} |f(t)| e^{-\alpha} dt < \frac{\varepsilon}{3}.$$

Функция $f(t)$ кусочно-непрерывна для $t \in [\alpha, A]$ (α, A — фиксированные числа). По теореме Вейерштрасса, можно утверждать, что найдется такое число L , что $|f(t)| \leq L$. Тогда

$$\begin{aligned} J_2 &\leq \int_{\alpha}^A |f(t)| e^{-\text{Re}(p)t} dt \leq L \int_{\alpha}^A e^{-\text{Re}(p)t} dt = L \frac{e^{-\text{Re}(p)\alpha} - e^{-\text{Re}(p)A}}{\text{Re}(p)} \leq \\ &\leq \frac{L}{\text{Re}(p)} \leq \frac{L}{|p| \sin(\delta)}, |\arg(p)| \leq \frac{\pi}{2} - \delta, \delta > 0. \end{aligned}$$

Взяв достаточно большое $|p|$, можно утверждать, что

$$\frac{L}{|p| \sin(\delta)} < \frac{\varepsilon}{3}$$

Таким образом,

$$|\bar{f}(p)| < \varepsilon, \quad |\arg(p)| \leq \frac{\pi}{2} - \delta, \quad \delta > 0.$$

Так как у нас ε — константа, не зависящая от p , то доказано, что

$$\bar{f}(p) \rightarrow 0 \text{ при } |p| \rightarrow \infty, \quad |\arg(p)| \leq \frac{\pi}{2} - \delta, \quad \delta > 0$$

равномерно. □

ПРИМЕЧАНИЕ

Если рассматривать всю область D , где определен интеграл (6.2), то можно утверждать лишь, что

$$|\bar{f}(p)| \leq \int_0^{+\infty} f(t) e^{-\alpha t} dt, \quad \text{— ограничен } \operatorname{Re}(p) \geq c,$$

то есть $|\bar{f}(p)| = O(1)$.

Свойства преобразования Лапласа

Мы не ставим своей целью подробное изложение всех свойств преобразования Лапласа. Рассмотрим только некоторые из этих свойств, которые понадобятся нам в приложениях. За подробной информацией мы отсылаем к соответствующей специальной литературе ([9], [10], [23])¹.

Будем предполагать, что все рассматриваемые функции принадлежат классу M .

Свойство 1. Пусть $f_1(t) \in M$, $f_2(t) \in M$, $F(t) = C_1 f_1(t) + C_2 f_2(t)$. Тогда

$$\bar{F}(p) = C_1 \bar{f}_1(p) + C_2 \bar{f}_2(p)$$

(свойство линейности).

Доказательство. Так как $f_1(t) \in M$, $f_2(t) \in M$, то существуют интегралы

$$\bar{f}_1(p) = \int_0^{+\infty} f_1(t) e^{-pt} dt, \quad \operatorname{Re}(p) \geq c_1, \quad (6.3)$$

$$\bar{f}_2(p) = \int_0^{+\infty} f_2(t) e^{-pt} dt, \quad \operatorname{Re}(p) \geq c_2. \quad (6.4)$$

Пусть $c = \max(c_1, c_2)$. Тогда

¹ См. также: *Лурье А.И.* Операционное исчисление и его приложения к задачам механики. — М.—Л.: ГИТТЛ, 1950; *Ершова В.В.* Импульсные функции. Функции комплексной переменной. Операционное исчисление. — Минск: Вышэйшая школа, 1976.

$$\begin{aligned}\bar{F}(p) &= \int_0^{+\infty} F(t)e^{-pt} dt = C_1 \int_0^{+\infty} f_1(t)e^{-pt} dt + C_2 \int_0^{+\infty} f_2(t)e^{-pt} dt = \\ &= C_1 \bar{f}_1(p) + C_2 \bar{f}_2(p), \operatorname{Re}(p) \geq c.\end{aligned}$$

Таким образом, свойство 1 доказано для всех $p: \operatorname{Re}(p) \geq c$. Это свойство верно всюду, где функции \bar{f}_1 и \bar{f}_2 остаются аналитическими функциями.

Пример. Пусть $f(t) = \cos^2(\beta t) = \frac{1}{2} + \frac{1}{2} \cos(2\beta t)$.

Имеем

$$1 \Leftrightarrow \frac{1}{p}, \quad \cos(\beta t) \Leftrightarrow \frac{p}{p^2 + \beta^2}.$$

Следовательно,

$$\bar{f} = \frac{1}{2p} + \frac{1}{2} \frac{p}{p^2 + 4\beta^2}.$$

Определение. Пусть $f_1(t) \in M, f_2(t) \in M$. Сверткой двух функций $f_1(t)$ и $f_2(t)$ называется интеграл

$$F(t) = \int_0^t f_1(\tau) f_2(t - \tau) d\tau = \{f_1(t), f_2(t)\}.$$

Нетрудно показать, что этот интеграл существует и $F(t)$ — непрерывная функция в интервале $(0, +\infty)$. Если заменить $\tau \rightarrow t - \tau$, то будем иметь

$$F(t) = -\int_t^0 f_1(t - \tau) f_2(\tau) d\tau = \int_0^t f_2(\tau) f_1(t - \tau) d\tau = \{f_2(t), f_1(t)\}.$$

Таким образом,

$$\{f_1(t), f_2(t)\} = \{f_2(t), f_1(t)\}$$

(свойство коммутативности свертки).

Свертка двух функций играет роль произведения в теории преобразования Лапласа. А именно, справедливо

Свойство 2. $\bar{F}(p) = \bar{f}_1(p) \bar{f}_2(p)$.

Доказательство. Рассмотрим интеграл

$$\bar{F}(p) = \int_0^{+\infty} F(t)e^{-pt} dt, \quad \operatorname{Re}(p) \geq c = \max(c_1, c_2),$$

где c_1 и c_2 — числа, определяемые формулами (6.3) и (6.4).

Имеем

$$\bar{F}(p) = \int_0^{\infty} e^{-pt} dt \int_0^t f_1(\tau) f_2(t - \tau) d\tau. \quad (6.5)$$

Заменим порядок интегрирования (пока формально) (рис. 6.3)

$$\begin{aligned}\bar{F}(p) &= \int_0^{\infty} f_1(\tau) d\tau \int_{\tau}^{\infty} f_2(t-\tau) e^{-pt} dt = \int_0^{\infty} f_1(\tau) d\tau \int_0^{\infty} f_2(s) e^{-p(s+\tau)} ds = \\ &= \int_0^{\infty} f_1(\tau) e^{-p\tau} d\tau \int_0^{\infty} f_2(s) e^{-ps} ds = \bar{f}_1 \bar{f}_2.\end{aligned}$$

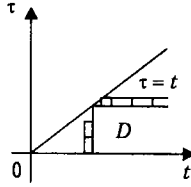


Рис. 6.3. Замена порядка интегрирования

Таким образом, формально свойство 2 доказано. Чтобы доказательство было строгим, нужно оправдать законность изменения порядка интегрирования. У нас интегралы несобственные, поэтому общая теорема о перестановке пределов интегрирования для непрерывных функций и конечных пределов интегрирования не применима. Воспользуемся следующей теоремой анализа.

ТЕОРЕМА. Пусть:

- 1) функция $f(x, y)$ — непрерывная функция от x и y , $x \in (a, +\infty)$, $y \in (b, +\infty)$;
- 2) сходится абсолютно один из интегралов

$$\int_b^{\infty} dy \int_a^{\infty} |f(x, y)| dx,$$

либо

$$\int_a^{\infty} dx \int_b^{\infty} |f(x, y)| dy.$$

Тогда справедлива формула

$$\int_b^{\infty} dy \int_a^{\infty} f(x, y) dx = \int_a^{\infty} dx \int_b^{\infty} f(x, y) dy.$$

Рассмотрим интеграл

$$\begin{aligned}\int_0^{\infty} |f_1(\tau)| d\tau \int_{\tau}^{\infty} |f_2(t-\tau)| e^{-pt} dt &\leq \int_0^{\infty} |f_1(\tau)| d\tau \int_{\tau}^{\infty} |f_2(t-\tau)| e^{-ct} dt = \\ &= \int_0^{\infty} |f_1(\tau)| e^{-c\tau} d\tau \int_0^{\infty} |f_2(s)| e^{-cs} ds \leq \int_0^{\infty} |f_1(\tau)| e^{-c_1\tau} d\tau \int_0^{\infty} |f_2(s)| e^{-c_2s} ds.\end{aligned}$$

Здесь учтено, что

$$|e^{-pt}| = e^{-t \operatorname{Re}(p)} \leq e^{-ct}, \quad \operatorname{Re}(p) \geq c,$$

и в равенстве сделана замена переменной $t - \tau = s$. Интегралы справа сходятся. значит, условия теоремы выполнены и справедлива перестановка пределов интегрирования в (6.5).

Свойство 3. Пусть

$$F(t) = \int_0^t f(\tau) d\tau, \quad f(t) \in M. \quad (6.6)$$

Легко видеть, что интеграл (6.6) существует и $F(t)$ — непрерывная функция от t . Утверждается, что

$$\bar{F}(p) = \frac{1}{p} \bar{f}(p). \quad (6.7)$$

Доказательство. Справедливость утверждения (6.7) следует из свойства 2. Действительно, примем $f_1(t) = f(t)$, $f_2(t) = 1$. Тогда будем иметь

$$\bar{f}_1 = \bar{f}, \bar{f}_2 = \frac{1}{p} \Rightarrow \bar{F} = \frac{1}{p} \bar{f}.$$

Свойство 4. Пусть

$$F(t) = f'(t), \quad f(t) \in M_1 \subset M.$$

Тогда

$$\bar{F}(p) = p\bar{f}(p) - f(0).$$

Здесь класс M_1 определяется следующими свойствами: $f(t) \in M_1$, если:

- функция $f(t)$ непрерывна на $[0, +\infty)$;
- функция $f'(t)$ кусочно-непрерывна на $(0, +\infty)$;
- интеграл $\int_0^{+\infty} |f(t)| e^{-ct} dt$ сходится при соответствующем значении c .
- $|f(t)| e^{-ct} \xrightarrow{t \rightarrow \infty} 0$.

Все эти условия являются достаточными.

Доказательство. Имеем цепочку равенств

$$\begin{aligned} \bar{F}(p) &= \int_0^{\infty} F(t) e^{-pt} dt = \int_0^{\infty} f'(t) e^{-pt} dt = \\ &= f(t) e^{-pt} \Big|_{t=0}^{t=\infty} + p \int_0^{\infty} f(t) e^{-pt} dt = -f(0) + p\bar{f}(p). \end{aligned}$$

Обоснование формальных преобразований: рассмотрим интеграл

$$\int_{\alpha}^A f'(t) e^{-pt} dt = f(A) e^{-pA} - f(\alpha) e^{-p\alpha} + p \int_{\alpha}^A f(t) e^{-pt} dt. \quad (6.8)$$

Справедливость формулы (6.8) вытекает из первых двух условий. Переходим к пределу при $\alpha \rightarrow 0$, $A \rightarrow \infty$. Тогда

$$\lim_{\alpha \rightarrow 0} f(\alpha) e^{-\alpha p} = f(0),$$

так как функция $f(t)$ непрерывна на $[0, +\infty)$; далее

$$|f(A) e^{-pA}| \leq |f(A)| e^{-cA}, \quad \operatorname{Re}(p) \geq c,$$

и в силу четвертого свойства класса M_1 ,

$$\lim_{\substack{A \rightarrow \infty \\ \operatorname{Re}(p) \geq c}} f(A) e^{-pA} = 0.$$

Далее, в силу первого и третьего свойств класса M_1

$$\lim_{\substack{A \rightarrow \infty \\ \alpha \rightarrow 0}} \int_{\alpha}^A f(t) e^{-pt} dt = \bar{f}, \quad \operatorname{Re}(p) \geq c.$$

Таким образом, из (6.8) получим

$$\lim_{\substack{A \rightarrow \infty \\ \alpha \rightarrow 0}} \int_{\alpha}^A f'(t) e^{-pt} dt = -f(0) + p\bar{f}.$$

Распространим результаты на случай функций, имеющих разрывы первого рода. Пусть функция $f(t)$ удовлетворяет всем поставленным ранее условиям, за исключением того, что в точке $t = c$ она имеет разрыв первого рода. Имеем

$$\begin{aligned} \bar{F}(p) &= \int_0^{\infty} f'(t) e^{-pt} dt = \int_0^c f'(t) e^{-pt} dt + \int_c^{\infty} f'(t) e^{-pt} dt = \\ &= f(t) e^{-pt} \Big|_{t=0}^{t=c} + p \int_0^c f(t) e^{-pt} dt + f(t) e^{-pt} \Big|_{t=c}^{t=\infty} + p \int_c^{\infty} f(t) e^{-pt} dt = \\ &= f(c-0) e^{-cp} - f(0) - f(c+0) e^{-cp} + p \int_0^{\infty} f(t) e^{-pt} dt. \end{aligned}$$

Таким образом, получаем

$$\bar{F}(p) = p \bar{f}(p) - f(0) + e^{-cp} [f(c-0) - f(c+0)]. \quad (6.9)$$

Если бы точек разрыва было больше (конечное число), то в формулу (6.9) вошла бы сумма скачков.

Свойство 5. Пусть

$$F(t) = f^{(n)}(t), \quad f(t) \in M_n \subset M.$$

Тогда

$$\bar{F}(p) = p^n \bar{f}(p) - p^{n-1} f(0) - p^{n-2} f'(0) - \dots - f^{(n-1)}(0).$$

Здесь класс M_n определяется следующими свойствами: $f(t) \in M_n$, если:

- функции $f(t), f'(t), \dots, f^{(n-1)}(t)$ непрерывны на $[0, +\infty)$;
- функция $f^{(n)}(t)$ кусочно-непрерывна на $(0, +\infty)$;
- интеграл $\int_0^{\infty} |f(t)| e^{-\alpha t} dt$ сходится при соответствующем значении c ;

$$\square |f(t)|e^{-\alpha t} \rightarrow 0, |f'(t)|e^{-\alpha t} \rightarrow 0, \dots, |f^{(n-1)}(t)|e^{-\alpha t} \rightarrow 0.$$

Доказательство свойства 5 проводится аналогично доказательству свойства 4.

Частный случай. Пусть

$$f(0) = f'(0) = \dots = f^{(n-1)}(0) = 0.$$

Тогда

$$\bar{F}(p) = p^n \bar{f}(p).$$

Пусть $f(t) \in M_1$ и $f(0) = 0$; тогда

$$f'(t) \rightleftharpoons p \bar{f}(p), \int_0^t f(\tau) d\tau \rightleftharpoons \frac{\bar{f}(p)}{p}.$$

Отметим еще без доказательств такие свойства:

Свойство 6. Изменение масштаба аргумента оригинала

$$f(\alpha t) \rightleftharpoons \bar{f}\left(\frac{p}{\alpha}\right), \alpha > 0.$$

Свойство 7. Теорема запаздывания

$$f(t - \tau) \rightleftharpoons e^{-p\tau} \bar{f}(p), \tau > 0.$$

Обращение преобразования Лапласа

Проблема обращения — это определение функции (оригинала) по ее преобразованию (изображению). При этом возникают два вопроса: 1) как построить обращение; 2) будет ли построенное обращение единственно? Вообще говоря, обращение преобразования Лапласа не единственно. Действительно, пусть $f(t), g(t) \in M$, и эти функции отличаются друг от друга в конечном числе точек, или, как говорят, $f(t) = g(t)$ почти всюду в интервале $(0, +\infty)$. Нетрудно видеть, что тогда $\bar{f} = \bar{g}$ (значение интеграла не меняется, если изменить подынтегральную функцию в конечном числе точек). Единственность обращения достигается, если усилить требования для функций. Именно, если функции $f(t)$ и $g(t)$ непрерывны в интервале $(0, +\infty)$, то из того, что $\bar{f} = \bar{g}$, вытекает равенство $f(t) = g(t)$ всюду в $(0, +\infty)$. Это утверждение известно как *теорема Лерха* [12].

Установим формулу обращения преобразования Лапласа. Пусть определено преобразование Лапласа

$$\bar{f}(p) = \int_0^{+\infty} f(t) e^{-pt} dt, f(t) \in M, \operatorname{Re}(p) \geq c.$$

Будем считать в дальнейшем, что $f(t) \in N \subset M$. Мы скажем, что $f(t) \in N$, если

- 1) функция $f(t)$ кусочно-непрерывна в интервале $(0, +\infty)$;
- 2) интеграл $\int_0^{+\infty} |f(t)| e^{-at} dt$ сходится при соответствующем выборе числа c ;
- 3) функция $f(t) e^{-at}$, $a > c$, имеет конечное число максимумов и минимумов на любом замкнутом промежутке $[\alpha, A] \subset (0, +\infty)$.

Формула обращения имеет вид

$$f(t) = \frac{1}{2\pi i} \int_{a-i\infty}^{a+i\infty} \bar{f}(p) e^{pt} dp. \quad (6.10)$$

Предполагается, что $a > c$, $t > 0$ — точки непрерывности. Здесь интеграл в (6.10) понимается в смысле главного значения, то есть

$$\int_{a-i\infty}^{a+i\infty} \bar{f}(p) e^{pt} dp = \lim_{T \rightarrow \infty} \int_{a-iT}^{a+iT} \bar{f}(p) e^{pt} dp.$$

Формула (6.10) называется *формулой Римана—Меллина*, а интеграл справа — *интегралом Римана—Меллина*.

Для доказательства формулы (6.10) рассмотрим интеграл

$$J_T = \frac{1}{2\pi i} \int_{a-iT}^{a+iT} \bar{f}(p) e^{pt} dp, \quad t > 0, \quad a > c. \quad (6.11)$$

Интеграл (6.11) имеет смысл, так как путь интегрирования находится в области, где функция $\bar{f}(p)$ регулярна (заштрихованная область D на рис. 6.4).

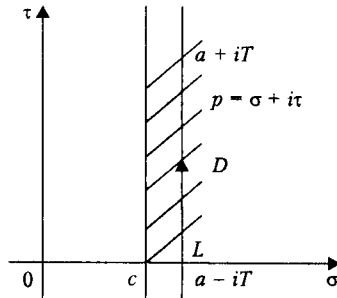


Рис. 6.4. Область регулярности D

Можно записать

$$J_T = \frac{1}{2\pi i} \int_{a-iT}^{a+iT} e^{pt} dp \int_0^{\infty} f(s) e^{-ps} ds.$$

Переменим порядок интегрирования (это возможно, так как внутренний интеграл сходится равномерно по отношению к p , внешний интеграл имеет конечные пределы интегрирования). Тогда

$$\begin{aligned} J_T &= \frac{1}{2\pi i} \int_0^{\infty} f(s) ds \int_{a-iT}^{a+iT} e^{p(t-s)} dp = \int_0^{\infty} f(s) ds \frac{1}{2\pi i} \left. \frac{e^{p(t-s)}}{t-s} \right|_{a-iT}^{a+iT} = \\ &= \frac{1}{\pi} \int_0^{\infty} f(s) e^{a(t-s)} \frac{\sin[T(t-s)]}{t-s} ds. \end{aligned}$$

Таким образом,

$$J_T = \frac{e^{at}}{\pi} \int_0^{\infty} f(s) e^{-as} \frac{\sin[T(t-s)]}{t-s} ds, \quad t > 0, \quad a > c.$$

Доказательство теоремы обращения сводится к вычислению предела от J_T при $T \rightarrow \infty$. Воспользуемся интегралом Дирихле

$$\lim_{T \rightarrow \infty} \frac{1}{\pi} \int_0^{\infty} F(s) \frac{\sin[T(t-s)]}{t-s} ds = F(t). \quad (6.12)$$

Формула (6.12) справедлива при следующих условиях:

- 1) функция $F(t)$ кусочно-непрерывна в интервале $(0, +\infty)$;
- 2) интеграл $\int_0^{+\infty} |F(t)| dt$ сходится ($t > 0$ — точки непрерывности);
- 3) функция $F(t)$ имеет конечное число максимумов и минимумов на любом замкнутом промежутке $[\alpha, A] \subset (0, +\infty)$.

В нашем случае примем $F(t) = f(t) \exp(-at)$. Тогда из условий 1, 2, 3 для функции $f(t)$ вытекают условия 1, 2, 3 для функции $F(t)$. Поэтому

$$\lim_{T \rightarrow \infty} J_T = e^{at} f(t) e^{-at} = f(t) \quad (t > 0 \text{ — точки непрерывности}).$$

Теорема доказана.

В дальнейшем формулу обращения будем писать в виде

$$f(t) = \frac{1}{2\pi i} \int_L \bar{f}(p) e^{pt} dp \quad (t > 0 \text{ — точки непрерывности}). \quad (6.13)$$

Данное доказательство позволяет утверждать, что значение интеграла обращения не зависит от a .

Если величина c известна, то путь интегрирования (прямая) должен быть проведен правее c . Если величина c не известна, то прямую интегрирования нужно провести правее всех особых точек функции $\bar{f}(p)$ (в области регулярности $\bar{f}(p)$).

В некоторых случаях важно найти значение интеграла (6.13) для $t < 0$. Можно показать, что при $t < 0$ интеграл (6.13) равен нулю. Таким образом, будем иметь

$$f(t) = \frac{1}{2\pi i} \int_L \bar{f}(p) e^{pt} dp = \begin{cases} f(t), & t > 0, \\ 0, & t < 0. \end{cases}$$

Иногда возникает следующая задача. Задана функция $F(p)$ комплексного переменного p . Требуется определить, при каких условиях эта функция может рассматриваться как преобразование Лапласа. Ответ на этот вопрос дают следующие достаточные условия:

- функция $F(p)$ — регулярная функция p при $\operatorname{Re}(p) > c$ (в конечной части этой области);
- $F(p) \approx \frac{M}{p^\alpha}$, $M = \text{const}$, $\alpha > 0$ ($\operatorname{Re}(p) > c$, $|p| \rightarrow \infty$).

Пример. Пусть даны функции

$$F_1(p) = \frac{p^2 + 1}{p^2 + p + 1}; \quad F_2(p) = \frac{1}{\sqrt{p}}.$$

Здесь $F_1(p)$ не является преобразованием Лапласа, так как $F_1(p) \rightarrow 1$ при $|p| \rightarrow \infty$; $F_2(p)$ — является преобразованием Лапласа.

Леммы Жордана

Чтобы получить удобное для вычисления контурных интегралов выражение, в большинстве случаев следует в них надлежащим образом деформировать путь интегрирования. При этом часто оказываются полезными следующие леммы Жордана [10].

ЛЕММА 1. Пусть c_n и C_n — дуги окружностей

$$|z - \sigma| = R_n, \quad -\frac{\pi}{2} \leq \arg(z - \sigma) \leq \frac{\pi}{2} \text{ и } \frac{\pi}{2} \leq \arg(z - \sigma) \leq \frac{3\pi}{2}.$$

Пусть $\lim_{n \rightarrow \infty} R_n = \infty$. Если функция $f(z)$ комплексного переменного z на дугах c_n и C_n равномерно относительно $\arg(z)$ стремится к нулю при $n \rightarrow \infty$, то

$$\lim_{n \rightarrow \infty} \int_{c_n} f(z) e^{tz} dz = 0 \text{ при } t < 0, \quad (6.14)$$

$$\lim_{n \rightarrow \infty} \int_{C_n} f(z) e^{tz} dz = 0 \text{ при } t > 0. \quad (6.15)$$

Доказательство. В силу равномерного (относительно $\arg(z)$) стремления функции $f(z)$ к нулю на дугах c_n и C_n существует достаточно большое число $N(\varepsilon)$ (зависящее только от ε , но не от z) такое, что при $n > N(\varepsilon)$ на дугах c_n и C_n имеем $|f(z)| < \varepsilon$.

Для любой точки $z = \sigma + R_n \exp(i\varphi)$, лежащей на этих дугах (рис. 6.5), в силу того, что $|i| = 1$ и $|\exp(i\varphi)| = 1$, будем иметь

$$|dz| = |iR_n e^{i\varphi} d\varphi| = R_n d\varphi,$$

$$|e^{tz}| = e^{t\sigma} e^{tR_n \cos(\varphi)}.$$

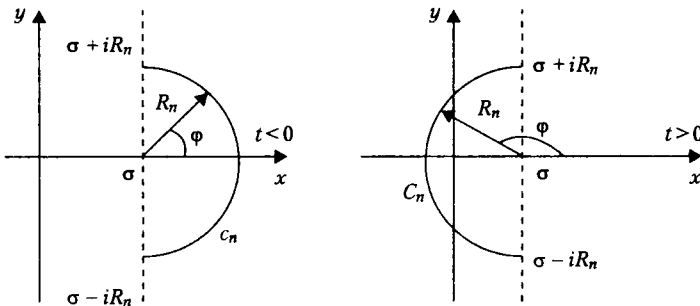


Рис. 6.5. К доказательству леммы 1

С помощью интегральной оценки

$$\left| \int_c f(z) dz \right| \leq \int_c |f(z)| |dz|$$

получим

$$\left| \int_{C_n} f(z) e^{tz} dz \right| < \varepsilon R_n e^{t\sigma} \int_{-\pi/2}^{\pi/2} e^{tR_n \cos(\varphi)} d\varphi = 2\varepsilon R_n e^{t\sigma} \int_0^{\pi/2} e^{tR_n \cos(\varphi)} d\varphi, \quad (6.16)$$

$$\left| \int_{C_n} f(z) e^{tz} dz \right| < \varepsilon R_n e^{t\sigma} \int_{\pi/2}^{3\pi/2} e^{tR_n \cos(\varphi)} d\varphi = 2\varepsilon R_n e^{t\sigma} \int_{\pi/2}^{\pi} e^{tR_n \cos(\varphi)} d\varphi. \quad (6.17)$$

Для оценки интеграла

$$\int_0^{\pi/2} e^{tR_n \cos(\varphi)} d\varphi \quad (t < 0),$$

входящего в (6.16), примем $\Psi = \frac{\pi}{2} - \varphi$. Тогда будем иметь

$$\int_0^{\pi/2} e^{tR_n \cos(\varphi)} d\varphi = \int_0^{\pi/2} e^{tR_n \sin(\Psi)} d\Psi, \quad t < 0. \quad (6.18)$$

Учитывая, что (рис. 6.6) в интервале $(0, \pi/2)$

$$\sin(\Psi) \geq \frac{2}{\pi} \Psi,$$

найдем

$$\int_0^{\pi/2} e^{tR_n \cos(\varphi)} d\varphi < \int_0^{\pi/2} e^{\frac{2tR_n}{\pi} \Psi} d\Psi.$$

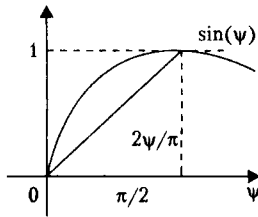


Рис. 6.6. К доказательству леммы 1

Отсюда следует, что при $t < 0$

$$\left| \int_{C_n} f(z) e^{tz} dz \right| < 2\varepsilon R_n e^{t\sigma} \int_0^{\pi/2} e^{\frac{2tR_n}{\pi} \Psi} d\Psi = \frac{\varepsilon\pi}{t} e^{t\sigma} (e^{tR_n} - 1) < \frac{\varepsilon\pi}{|t|} e^{t\sigma} < \frac{\varepsilon\pi}{|t|},$$

и так как ε произвольно, то из последнего неравенства вытекает справедливость (6.14).

Для оценки интеграла

$$\int_{\pi/2}^{\pi} e^{tR_n \cos(\varphi)} d\varphi, \quad t > 0,$$

входящего в (6.17), примем $\Psi = -\frac{\pi}{2} + \varphi$. Тогда будем иметь

$$\int_{\pi/2}^{\pi} e^{tR_n \cos(\varphi)} d\varphi = \int_0^{\pi/2} e^{-tR_n \sin(\Psi)} d\Psi = \int_0^{\pi/2} e^{(-t)R_n \sin(\Psi)} d\Psi,$$

то есть опять имеем интеграл (6.18). Поэтому при $t > 0$

$$\left| \int_{c_n} f(z) e^{tz} dz \right| < \frac{\varepsilon\pi}{t},$$

что в силу произвольности ε и доказывает справедливость (6.15). \square

В качестве примера покажем, что для функции

$$f(z) = \frac{a_m z^m + a_{m-1} z^{m-1} + \dots + a_0}{b_n z^n + b_{n-1} z^{n-1} + \dots + b_0},$$

где m и n — целые числа, $n \geq 0$, $m \geq 0$, $n - m = r > 0$, $a_m \neq 0$, $b_n \neq 0$, выполняются предположения леммы Жордана.

После замены переменной по формуле $z = \frac{1}{\zeta}$ будем иметь

$$f(z) = f\left(\frac{1}{\zeta}\right) = \varphi(\zeta) = \zeta^r \frac{a_m + a_{m-1}\zeta + \dots + a_0 \zeta^m}{b_n + b_{n-1}\zeta + \dots + b_0 \zeta^n} = \zeta^r \frac{P_m(\zeta)}{P_n(\zeta)}.$$

Так как $b_n \neq 0$, то в плоскости ζ существует замкнутый круг радиуса R_1 с центром в точке $\zeta = 0$, в котором нет ни одного нуля полинома $P_n(\zeta)$. Поэтому для всех ζ внутри этого круга

$$\left| \frac{P_m(\zeta)}{P_n(\zeta)} \right| < M \text{ при } |\zeta| < R_1$$

и, следовательно,

$$|\varphi(\zeta)| < |\zeta|^r M,$$

поэтому

$$|f(z)| \leq \frac{M}{|z|^r}.$$

Но это и означает, что функция $f(z)$ равномерно стремится к нулю при $z \rightarrow \infty$. При практическом применении леммы Жордана часто бывает удобно пользоваться следующей ее модификацией.

ЛЕММА 2. Пусть функция $f(z)$ комплексного переменного z на дугах окружностей (рис. 6.7)

$$\Gamma_R: |z| = R, \quad \frac{\pi}{2} - \varepsilon < \arg(z) < \frac{3\pi}{2} + \varepsilon$$

удовлетворяет неравенству

$$|f(z)| < \frac{M}{R^k},$$

где $R \geq R_0$, а M и $k > 0$ — некоторые константы, и $\varepsilon = \arcsin\left(\frac{\sigma}{R}\right)$; тогда

$$\lim_{R \rightarrow \infty} \int_{\Gamma_R} f(z) e^{zt} dz = 0, \quad t > 0.$$

Доказательство. Утверждение этой леммы следует из предыдущей леммы 1, если доказать, что

$$\lim_{R \rightarrow \infty} \left\{ \int_{C_R^+} f(z) e^{zt} dz + \int_{C_R^-} f(z) e^{zt} dz \right\} = 0, \quad t > 0,$$

где C_R^+ и C_R^- дуги AB и DE окружности $|z| = R$ (рис. 6.7).

Имеем:

$$\left| \int_{C_R^+} f(z) e^{zt} dz \right| \leq \int_{(\pi/2)-\varepsilon}^{\pi/2} |f(z)| e^{t \operatorname{Re}(z)} R d\varphi.$$

Но

$$|f(z)| < \frac{M}{R^k} \text{ и } \operatorname{Re}(z) \leq \sigma,$$

поэтому

$$\left| \int_{C_R^+} f(z) e^{zt} dz \right| \leq \frac{M}{R^k} e^{t\sigma} R\varepsilon = \frac{M}{R^k} e^{t\sigma} R \arcsin\left(\frac{\sigma}{R}\right).$$

При $R \rightarrow \infty$ имеем

$$\lim_{R \rightarrow \infty} R \arcsin\left(\frac{\sigma}{R}\right) = \sigma,$$

поэтому

$$\lim_{R \rightarrow \infty} \frac{M}{R^k} e^{t\sigma} \sigma = 0,$$

что и требовалось доказать. Подобным же образом можно доказать, что

$$\lim_{R \rightarrow \infty} \int_{C_R^-} f(z) e^{zt} dz = 0, \quad t > 0.$$

Отметим, что лемма верна для любого участка дуги Γ_R , а также верна, когда R возрастает не непрерывно, а дискретно

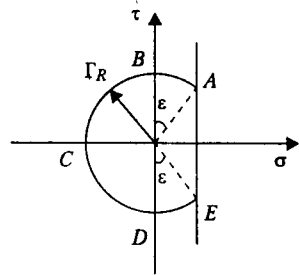


Рис. 6.7. К доказательству леммы 2

$$R_1 < R_2 < \dots < R_n < R_{n+1} < \dots$$

Лемма верна заведомо, если

$$|\bar{f}(p)|_{\Gamma_R} \leq \frac{M}{|p|^\alpha}, \quad \alpha > 0.$$

Действительно, в этом случае

$$|\bar{f}(p)|_{\Gamma_R} \leq \frac{M}{R^\alpha} \rightarrow 0$$

при $R \rightarrow \infty$ равномерно относительно $\arg(p)$.

Методы вычисления интеграла Римана—Меллина

Можно применять обычные методы теории функций комплексной переменной для вычисления интеграла Римана—Меллина

$$f(t) = \frac{1}{2\pi i} \int_L \bar{f}(p) e^{pt} dp \quad (t > 0 \text{ — точки непрерывности}). \quad (6.19)$$

Рассмотрим некоторые примеры.

1. Пусть функция $\bar{f}(p)$ — рациональная функция от p :

$$\bar{f}(p) = \frac{P(p)}{Q(p)}. \quad (6.20)$$

Можно считать, что степень числителя не выше степени знаменателя. Будем также считать, что $P(p)$ и $Q(p)$ не имеют общих множителей. Особые точки (6.20) — нули знаменателя. Пусть $p = p_k$ — корни многочлена $Q(p)$ ($k = 1, 2, \dots, N$). Эти точки являются полюсами подынтегрального выражения в (6.19).

Поступим следующим образом. Образует замкнутый контур L , состоящий из отрезка прямой AB , параллельной мнимой оси и отстоящей от нее на расстояние $\sigma > \sigma_0$ (σ_0 — действительная часть самой правой особой точки функции $\bar{f}(p)$), и дуги окружности Γ радиусом R с центром в начале координат (рис. 6.8).

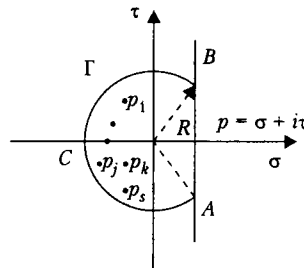


Рис. 6.8. Особые точки — полюсы рациональной функции

Справа от прямой $\operatorname{Re}(p) = \sigma > \sigma_0$ функция $\bar{f}(p)$ аналитична: все особые точки $\bar{f}(p)$ находятся левее этой прямой. Радиус окружности R подберем таким образом, чтобы все особые точки функции $\bar{f}(p)$ попали внутрь построенного замкнутого контура. Тогда на основании теоремы Коши о вычетах будем иметь

$$\begin{aligned} f(t) &= \frac{1}{2\pi i} \oint_L \bar{f}(p) e^{pt} dp = \frac{1}{2\pi i} \int_{ABCA} \bar{f}(p) e^{pt} dp = \\ &= \frac{1}{2\pi i} \int_{AB} \bar{f}(p) e^{pt} dp + \frac{1}{2\pi i} \int_{\Gamma} \bar{f}(p) e^{pt} dp = \sum_{k=1}^N \operatorname{res} [\bar{f}(p) e^{pt}]. \end{aligned} \quad (6.21)$$

Перейдем в (6.21) к пределу при $R \rightarrow \infty$. Мы знаем, что рациональная функция (6.20) удовлетворяет всем условиям леммы Жордана, поэтому будем иметь

$$\frac{1}{2\pi i} \int_{AB} \bar{f}(p) e^{pt} dp \xrightarrow{R \rightarrow \infty} f(t), \quad \frac{1}{2\pi i} \int_{\Gamma} \bar{f}(p) e^{pt} dp \xrightarrow{R \rightarrow \infty} 0.$$

Таким образом, получим

$$f(t) = \sum_{k=1}^N \operatorname{res} [\bar{f}(p) e^{pt}]. \quad (6.22)$$

Вычисление вычетов осуществляется по правилам теории функций комплексной переменной. Так, например, если $p = p_k$ — простой полюс, то

$$\operatorname{res} [\bar{f}(p) e^{pt}] = \lim_{p \rightarrow p_k} [\bar{f}(p) e^{pt} (p - p_k)],$$

если $p = p_k$ — полюс кратности n , то

$$\operatorname{res} [\bar{f}(p) e^{pt}] = \frac{1}{(n-1)!} \lim_{p \rightarrow p_k} \frac{d^{n-1}}{dp^{n-1}} [\bar{f}(p) e^{pt} (p - p_k)^n].$$

В случае, когда все полюсы простые, формула (6.22) упрощается. Именно, раскрывая предел по правилу Лопиталья, находим

$$\operatorname{res} [\bar{f}(p) e^{pt}] = \lim_{p \rightarrow p_k} \left[\frac{P(p) e^{pt}}{Q(p)} (p - p_k) \right] = \frac{P(p_k) e^{p_k t}}{Q'(p_k)}.$$

Таким образом, формула (6.22) принимает вид

$$f(t) = \sum_{k=1}^N \frac{P(p_k) e^{p_k t}}{Q'(p_k)}. \quad (6.23)$$

Формула (6.23) называется *разложением Хевисайда*.

2. Пусть функция $\bar{f}(p)$ — мероморфная функция, то есть однозначная функция комплексной переменной, не имеющая в ограниченной части плоскости комплексной переменной других особых точек, кроме полюсов. Мероморфная функция — отношение двух целых функций. Мероморфная функция является обобщением рациональной функции. Примером мероморфной функции является, скажем, функция

$$\bar{f}(p) = \frac{\operatorname{th}(p)}{p},$$

полюсами для которой будут точки $p = \pm \frac{2n+1}{2} \pi i$.

В этом случае строим последовательность кругов возрастающего радиуса

$$R_1 < R_2 < \dots < R_n < R_{n+1} < \dots$$

так, чтобы дуги не проходили через особые точки (рис. 6.9).

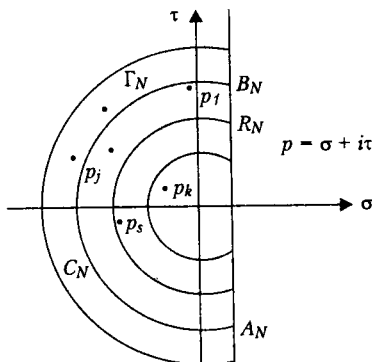


Рис. 6.9. Особые точки — полюсы мероморфной функции

Будем иметь

$$\begin{aligned} & \frac{1}{2\pi i} \int_{A_N B_N C_N A_N} \bar{f}(p) e^{pt} dp = \\ & = \frac{1}{2\pi i} \int_{A_N B_N} \bar{f}(p) e^{pt} dp + \frac{1}{2\pi i} \int_{\Gamma_N} \bar{f}(p) e^{pt} dp = \sum_{(p_k) \subset \Gamma_N} \operatorname{res} [f(p) e^{pt}]. \end{aligned} \quad (6.24)$$

Здесь запись $(p_k) \subset \Gamma_N$ означает, что суммирование осуществляется по всем особым точкам p_k , лежащим внутри дуги Γ_N . Предположим, что

$$\left| \bar{f}(p) \right| \Big|_{\Gamma_N} \xrightarrow{N \rightarrow \infty} 0$$

(равномерно на Γ_N). Тогда, по лемме Жордана,

$$\frac{1}{2\pi i} \int_{\Gamma_N} \bar{f}(p) e^{pt} dp \xrightarrow{N \rightarrow \infty} 0,$$

кроме того,

$$\frac{1}{2\pi i} \int_{A_N B_N} \bar{f}(p) e^{pt} dp \xrightarrow{N \rightarrow \infty} f(t).$$

Поэтому из (6.24) имеем

$$f(t) = \lim_{N \rightarrow \infty} \sum_{(p_k) \subset \Gamma_N} \operatorname{res} [f(p) e^{pt}].$$

3. Пусть функция $\bar{f}(p)$ — многозначная функция с точками разветвления $p = a_k$ ($k = 1, 2, \dots, n$), причем число точек конечно. Например,

$$\bar{f}(p) = \frac{1}{\sqrt{p}}, \quad p = 0 \text{ — точка разветвления;}$$

$$\bar{f}(p) = \frac{1}{\sqrt{p^2 + 1}}, \quad p = \pm i \text{ — точки разветвления.}$$

Пусть, кроме того, функция $\bar{f}(p)$ имеет еще особые точки — полюсы $p = b_s$ ($s = 1, 2, \dots, N$). В этом случае поступим так. Построим систему разрезов так, чтобы сделать выбранную ветвь функции $\bar{f}(p)$ однозначной. Обозначим γ_k , $k = 1, 2, \dots, n$ — контуры вокруг точек разветвления, включающие в себя окружность малого радиуса вокруг точки разветвления и берега разреза (рис. 6.10).

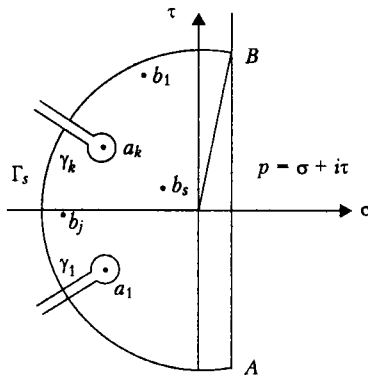


Рис. 6.10. Особые точки многозначной функции

Далее дополним контур интегрирования дугой окружности радиуса $R > \max |b_s|$. Обозначим Γ_s , ($s = 1, 2, \dots, N + 1$) дуги этой окружности между разрезами. Будем иметь

$$f(t) = \frac{1}{2\pi i} \oint_L \bar{f}(p) e^{pt} dp =$$

$$= \frac{1}{2\pi i} \int_{AB} \bar{f}(p) e^{pt} dp + \sum_{k=1}^n \frac{1}{2\pi i} \int_{\gamma_k} \bar{f}(p) e^{pt} dp + \sum_{s=1}^{N+1} \frac{1}{2\pi i} \int_{\Gamma_s} \bar{f}(p) e^{pt} dp =$$

$$= \sum_{s=1}^N \operatorname{res}_{p=b_s} [\bar{f}(p) e^{pt}].$$

Устремим $R \rightarrow \infty$. При этом будем предполагать, что

$$\bar{f}(p) \Big|_{\Gamma_s} \xrightarrow{R \rightarrow \infty} 0$$

равномерно на Γ_s . Получим

$$f(t) = \sum_{k=1}^n \operatorname{res}_{p=b_k} [\bar{f}(p) e^{pt}] - \sum_{k=1}^n \frac{1}{2\pi i} \int_{\gamma_k} \bar{f}(p) e^{pt} dp.$$

Специальные методы обращения

Существуют и специальные приемы, позволяющие часто получить результат без непосредственного вычисления интеграла. Перечислим некоторые из них:

1. Использование таблиц преобразований Лапласа.
2. Разложение изображения на сумму.
3. Разложение изображения на произведение.
4. Комбинированные — 2 и 3.

Приемы 2 и 3 предполагают также использование таблиц преобразований.

Рассмотрим примеры.

1. Разложение изображения на сумму. Пусть

$$\bar{f} = \sum_{k=1}^N C_k \bar{f}_k,$$

где $\bar{f}_k(p)$ — преобразования Лапласа от известных функций $f_k(t)$. Тогда на основании свойства линейности

$$f(t) = \sum_{k=1}^N C_k f_k(t).$$

Этот прием можно использовать и в случае, когда N — несобственное число, то есть $N = \infty$. Необходимым условием тогда является требование сходимости на прямой L ряда

$$\sum_{k=1}^{\infty} C_k \bar{f}_k.$$

Рассмотрим конкретные примеры.

Пример 1. Пусть

$$\bar{f}(p) = \frac{1}{p^2(p+1)}.$$

Представим $\bar{f}(p)$ как сумму простых дробей

$$\bar{f} = \frac{A}{p^2} + \frac{B}{p} + \frac{C}{p+1} \Rightarrow A = 1, C = 1, B = -1.$$

Таким образом,

$$\bar{f} = \frac{1}{p^2} - \frac{1}{p} + \frac{1}{p+1} \Rightarrow f(t) = t - 1 + e^{-t}.$$

Пример 2. Пусть

$$\bar{f} = \frac{1}{p^8 + 1}.$$

Имеем

$$\bar{f} = \frac{1}{p^8 \left(1 + \frac{1}{p^8} \right)}.$$

Выберем прямую интегрирования L так, чтобы $|p|_L > 1$ (рис. 6.11).

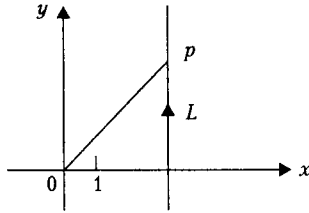


Рис. 6.11. Прямая интегрирования L

Тогда

$$\bar{f} = \frac{1}{p^8} \left(1 - \frac{1}{p^8} + \frac{1}{p^{16}} - \dots \right) = \frac{1}{p^8} - \frac{1}{p^{16}} + \frac{1}{p^{24}} - \dots \Rightarrow f(t) = \frac{t^7}{7!} - \frac{t^{15}}{15!} + \frac{t^{23}}{23!} - \dots$$

2. Разложение изображения на произведение. Допустим, что можно представить изображение в виде

$$\bar{f} = \bar{f}_1 \bar{f}_2,$$

где $\bar{f}_1(p)$ — преобразование Лапласа от функции $f_1(t)$, $\bar{f}_2(p)$ — преобразование Лапласа от функции $f_2(t)$. Отметим, что $\bar{f}_1(p)$ и $\bar{f}_2(p)$ должны убывать вдоль L .

Тогда

$$f(t) = \int_0^t f_1(\tau) f_2(t - \tau) d\tau.$$

Пример 3.

$$\bar{f} = \frac{1}{\sqrt{p(p-1)}} = \frac{1}{\sqrt{p}} \frac{1}{\sqrt{p-1}} = \bar{f}_1 \bar{f}_2, \quad \bar{f}_1 = \frac{1}{\sqrt{p}}, \quad \bar{f}_2 = \frac{1}{\sqrt{p-1}}.$$

Имеем

$$t^{-\frac{1}{2}} \Leftrightarrow \frac{\sqrt{\pi}}{\sqrt{p}} \Rightarrow f_1(t) = \frac{1}{\sqrt{\pi t}},$$

$$e^{-\alpha} \Leftrightarrow \frac{1}{p + \alpha} \Rightarrow f_2(t) = e^t.$$

Таким образом,

$$f(t) = \int_0^t \frac{1}{\sqrt{\pi \tau}} e^{t-\tau} d\tau = \frac{e^t}{\sqrt{\pi}} \int_0^t \frac{e^{-\tau}}{\sqrt{\tau}} d\tau = \frac{2e^t}{\sqrt{\pi}} \int_0^{\sqrt{t}} e^{-s^2} ds = e^t \Phi(\sqrt{t}).$$

3. Комбинированный способ. Здесь комбинируются способы разложения изображения на сумму и произведение.

Пример 4. Пусть

$$\bar{f} = \frac{\sqrt{p}}{p-1}.$$

Имеем

$$\bar{f} = \frac{p}{\sqrt{p(p-1)}} = \frac{1}{\sqrt{p}} + \frac{1}{\sqrt{p(p-1)}} = \bar{f}_1 + \bar{f}_1 \bar{f}_2,$$

где

$$\begin{aligned}\bar{f}_1 &= \frac{1}{\sqrt{p}} \Rightarrow f_1(t) = \frac{1}{\sqrt{\pi t}}, \\ \bar{f}_2 &= \frac{1}{p-1} \Rightarrow f_2(t) = e^t.\end{aligned}$$

С учетом решения примера 3 будем иметь

$$f(t) = \frac{1}{\sqrt{\pi t}} + e^t \Phi(\sqrt{t}).$$

Интегрирование линейных дифференциальных уравнений с постоянными коэффициентами и систем таких уравнений

Задача Коши для линейного дифференциального уравнения с постоянными коэффициентами

$$a_0 y^{(n)} + a_1 y^{(n-1)} + \dots + a_{n-1} y' + a_n y = f(t), \quad a_0 \neq 0. \quad (6.25)$$

состоит в нахождении решения $y = y(t)$ этого уравнения, удовлетворяющего заданным начальным условиям

$$y|_{t=t_0} = y_0, \quad y'|_{t=t_0} = y'_0, \quad \dots, \quad y^{(n-1)}|_{t=t_0} = y_0^{(n-1)}. \quad (6.26)$$

Операционным методом (то есть с помощью преобразования Лапласа) эта задача может быть решена в предположении, что функция $f(t)$ удовлетворяет условиям, определяющим оригинал, а следовательно, тем же условиям удовлетворяет и искомая функция $y(t)$ со своими производными до n -го порядка включительно и начальные условия заданы при $t_0 = 0$.

Пусть

$$\bar{y}(p) = \int_0^{+\infty} y(t) e^{-pt} dt, \quad \bar{f}(p) = \int_0^{+\infty} f(t) e^{-pt} dt. \quad (6.27)$$

Будем иметь

$$\begin{aligned}\int_0^{\infty} y'(t) e^{-pt} dt &= \bar{y}' = p\bar{y} - y_0, \\ \int_0^{\infty} y''(t) e^{-pt} dt &= \bar{y}'' = p^2\bar{y} - py_0 - y'_0, \\ &\vdots \\ \int_0^{\infty} y^{(n)}(t) e^{-pt} dt &= \bar{y}^{(n)} = p^n \bar{y} - p^{n-1} y_0 - p^{n-2} y'_0 - \dots - y_0^{(n-1)}.\end{aligned} \quad (6.28)$$

Пользуясь свойством линейности изображений и соотношениями (6.27) и (6.28), от уравнения (6.25) переходим к так называемому *операционному*, или *изображающему*, уравнению

$$\bar{y}(a_0 p^n + a_1 p^{n-1} + \dots + a_n) - Q_{n-1}(p) = \bar{f}$$

или

$$\bar{y} P_n(p) - Q_{n-1}(p) = \bar{f}. \quad (6.29)$$

где

$$P_n(p) = a_0 p^n + a_1 p^{n-1} + \dots + a_n$$

— *характеристический многочлен* степени n , $Q_{n-1}(p)$ — многочлен не выше $(n-1)$ -й степени относительно p , определяемый начальными значениями (6.26). Из (6.29) находим

$$\bar{y} = \frac{\bar{f} + Q_{n-1}(p)}{P_n(p)}. \quad (6.30)$$

Откуда

$$y(t) = \frac{1}{2\pi i} \int_L \bar{y}(p) e^{pt} dp,$$

причем прямая L проходит правее всех особых точек функции $\bar{y}(p)$.

Если начальные условия нулевые, то есть

$$y|_{t=0} = 0, \quad y'|_{t=0} = 0, \quad \dots, \quad y^{(n-1)}|_{t=0} = 0,$$

то в этом случае $Q_{n-1}(p) = 0$ и

$$y(p) = \frac{\bar{f}}{P_n(p)} \Rightarrow y(t) = \frac{1}{2\pi i} \int_L \frac{\bar{f}(p) e^{pt}}{P_n(p)} dp.$$

Преимущество операционного метода решения задачи Коши перед классическими методами состоит в том, что, во-первых, изображающее уравнение является линейным алгебраическим уравнением относительно $\bar{y}(p)$ и, следовательно, в математическом отношении более простым, чем исходное дифференциальное уравнение. Во-вторых, операционным методом сразу находится частное решение уравнения (6.25), удовлетворяющее заданным начальным условиям (6.26), и не надо искать общее решение этого уравнения.

Операционным методом можно найти и общее решение уравнения (6.25), для чего в начальных условиях (6.26) нужно принять

$$y_0 = C_1, \quad y'_0 = C_2, \quad \dots, \quad y_0^{(n-1)} = C_n.$$

Тогда оригинал, соответствующий изображению (6.30), будет содержать n произвольных постоянных.

Пример 1. Найти решение задачи Коши

$$y'' + 3y' + 2y = e^{-3t}; \quad y(0) = 1, \quad y'(0) = -1.$$

Решение. Пусть

$$\bar{y}(p) = \int_0^{+\infty} y(t) e^{-pt} dt,$$

тогда

$$\int_0^{\infty} y'(t) e^{-pt} dt = \bar{y}' = p\bar{y} - 1,$$

$$\int_0^{\infty} y''(t) e^{-pt} dt = \bar{y}'' = p^2\bar{y} - p + 1$$

и изображающее уравнение имеет вид

$$\bar{y}(p^2 + 3p + 2) = \frac{1}{p + 3} + p + 2.$$

Откуда находим

$$\bar{y} = \frac{1}{(p + 1)(p + 2)(p + 3)} + \frac{1}{p + 1}.$$

По формуле (6.23) находим решение задачи Коши

$$y(t) = \frac{e^{-t}}{2} - e^{-2t} + \frac{e^{-3t}}{2} + e^{-t} = \frac{3e^{-t}}{2} - e^{-2t} + \frac{e^{-3t}}{2}.$$

Пример 2. Найти решение задачи Коши

$$y'' + 4y = 2 \sin(2t); \quad y(0) = -1, \quad y'(0) = 0.$$

Решение. Пусть

$$\bar{y}(p) = \int_0^{+\infty} y(t) e^{-pt} dt,$$

тогда

$$\int_0^{\infty} y''(t) e^{-pt} dt = \bar{y}'' = p^2\bar{y} + p$$

и изображающее уравнение имеет вид

$$\bar{y}(p^2 + 4) = \frac{4}{p^2 + 4} - p.$$

Откуда находим

$$\bar{y} = \frac{4}{(p^2 + 4)^2} - \frac{p}{p^2 + 4}.$$

Правую часть последнего равенства приводить к общему знаменателю не имеет смысла, так как оригинал для второго слагаемого известен,

$$\frac{p}{p^2 + 4} \Leftrightarrow \cos(2t),$$

а оригинал для первого слагаемого

$$\frac{4}{(p^2 + 4)^2}$$

удобнее найти по теореме свертывания. Известно, что

$$\frac{2}{p^2 + 4} \Leftrightarrow \sin(2t),$$

поэтому

$$\frac{4}{(p^2 + 4)^2} = \frac{2}{(p^2 + 4)} \frac{2}{(p^2 + 4)} \Leftrightarrow \int_0^t \sin(2\tau) \sin(2(t - \tau)) d\tau.$$

Далее,

$$\begin{aligned} \int_0^t \sin(2\tau) \sin(2(t - \tau)) d\tau &= \frac{1}{2} \int_0^t [\cos(4\tau - 2t) - \cos(2t)] d\tau = \\ &= \frac{1}{2} \left[\frac{\sin(4\tau - 2t)}{4} - \tau \cos(2t) \right] \Big|_0^t = \frac{\sin(2t)}{4} - \frac{t}{2} \cos(2t). \end{aligned}$$

Таким образом,

$$y(t) = \frac{\sin(2t)}{4} - \frac{t}{2} \cos(2t) - \cos(2t) = \frac{\sin(2t)}{4} - \frac{t+2}{2} \cos(2t).$$

Системы обыкновенных дифференциальных уравнений с постоянными коэффициентами операционным методом решаются так же, как и одно уравнение. Отличие будет лишь в том, что вместо одного изображающего уравнения будем иметь систему таких уравнений, причем эта система в отношении изображений искомым функций будет линейной алгебраической системой. Всякую систему можно интегрировать в ее первоначальном виде, без каких бы то ни было предварительных преобразований.

Пример 3. Решить систему линейных дифференциальных уравнений

$$\begin{cases} x' + 3x + y = 0, \\ y' - x + y = 0 \end{cases}$$

при начальных условиях

$$x(0) = 1, \quad y(0) = 1.$$

Решение. Пусть

$$\bar{x}(p) = \int_0^{+\infty} x(t) e^{-pt} dt, \quad \bar{y}(p) = \int_0^{+\infty} y(t) e^{-pt} dt,$$

тогда, в силу начальных условий,

$$\int_0^{\infty} y'(t) e^{-pt} dt = \bar{y}' = p\bar{y} - 1, \quad \int_0^{\infty} x'(t) e^{-pt} dt = \bar{x}' = p\bar{x} - 1.$$

Изображающая система будет иметь вид

$$\begin{cases} (p+3)\bar{x} + \bar{y} = 1, \\ -\bar{x} + (p+1)\bar{y} = 1 \end{cases}$$

Решение ищем по формулам Крамера:

$$\Delta = \begin{vmatrix} p+3 & 1 \\ -1 & p+1 \end{vmatrix} = (p+2)^2, \quad \Delta_x = \begin{vmatrix} 1 & 1 \\ 1 & p+1 \end{vmatrix} = p,$$

$$\Delta_y = \begin{vmatrix} p+3 & 1 \\ -1 & 1 \end{vmatrix} = p+4,$$

тогда

$$\bar{x} = \frac{p}{(p+2)^2}, \quad \bar{y} = \frac{p+4}{(p+2)^2}.$$

Известно, что

$$\frac{p}{(p-a)^2} \Leftrightarrow (1+at)e^{at}, \quad \frac{1}{(p-a)^2} \Leftrightarrow te^{at}.$$

Следовательно,

$$\bar{x} = \frac{p}{(p+2)^2} \Rightarrow x(t) = (1-2t)e^{-2t},$$

$$\bar{y} = \frac{p+4}{(p+2)^2} = \frac{p}{(p+2)^2} + \frac{4}{(p+2)^2} \Rightarrow$$

$$y(t) = (1-2t)e^{-2t} + 4te^{-2t} = (1+2t)e^{-2t}.$$

Итак, решением нашей системы будут функции

$$x(t) = (1-2t)e^{-2t},$$

$$y(t) = (1+2t)e^{-2t}.$$

Операционным методом можно найти и общее решение системы обыкновенных дифференциальных уравнений. В этом случае соответствующие начальные значения берутся произвольными.

Интегрирование линейных дифференциальных уравнений с переменными коэффициентами

Рассмотрим уравнение

$$a_0(t)y^{(n)} + a_1(t)y^{(n-1)} + \dots + a_{n-1}(t)y' + a_n(t)y = f(t), \quad a_0 \neq 0.$$

Сразу же оговоримся, что в общем случае операционный метод здесь не применим. Однако в некоторых специальных случаях удается решить рассматриваемое уравнение с помощью преобразования Лапласа. Рассмотрим примеры.

Пример 1. Пусть требуется решить уравнение

$$tu'' + u' + tu = 0, \tag{6.31}$$

причем будем считать, что при $t=0$ сама функция $u(t)$ и ее первая производная ограничены. Умножим (6.31) на $\exp(-pt)$ и проинтегрируем от 0 до $+\infty$. Получим

$$\int_0^{+\infty} tu''e^{-pt} dt + \int_0^{+\infty} u'e^{-pt} dt + \int_0^{+\infty} tue^{-pt} dt = 0.$$

Обозначим

$$\bar{u} = \int_0^{+\infty} ue^{-pt} dt.$$

Имеем

$$\begin{aligned} \int_0^{+\infty} tue^{-pt} dt &= -\frac{d}{dp} \int_0^{+\infty} ue^{-pt} dt = -\frac{d\bar{u}}{dp}, \\ \int_0^{+\infty} u'e^{-pt} dt &= p\bar{u} - u|_{t=0}, \\ \int_0^{+\infty} tu''e^{-pt} dt &= -\frac{d}{dp} \int_0^{+\infty} u''e^{-pt} dt = -\frac{d\bar{u}''}{dp} = -\frac{d}{dp} [p^2\bar{u} - pu|_{t=0} - u'|_{t=0}] = \\ &= -p^2 \frac{d\bar{u}}{dp} - 2p\bar{u} + u|_{t=0}. \end{aligned}$$

Таким образом, вместо (6.31) получим

$$-p^2 \frac{d\bar{u}}{dp} - 2p\bar{u} + p\bar{u} - \frac{d\bar{u}}{dp} = 0 \Rightarrow (p^2 + 1) \frac{d\bar{u}}{dp} + p\bar{u} = 0. \quad (6.32)$$

Уравнение (6.32) проще исходного. Это уравнение первого порядка с разделяющимися переменными. Будем иметь

$$\frac{d\bar{u}}{\bar{u}} + \frac{pdp}{(p^2 + 1)} = 0 \Rightarrow \ln(\bar{u}) + \frac{1}{2} \ln(p^2 + 1) = \ln(C) \Rightarrow$$

$$\bar{u} = \frac{C}{\sqrt{p^2 + 1}}.$$

Примем $C = 1$, тогда

$$u(t) = \frac{1}{2\pi i} \int_L \frac{e^{pt} dp}{\sqrt{p^2 + 1}} \Rightarrow u(t) = J_0(t),$$

так как мы знаем, что

$$J_0(at) \Leftrightarrow \frac{1}{\sqrt{p^2 + a^2}}.$$

Пример 2. Пусть требуется решить уравнение ($n = 0, 1, 2, \dots$)

$$tu'' + (1-t)u' + nu = 0, \quad (6.33)$$

причем будем считать, что при $t = 0$ сама функция $u(t)$ и ее первая производная ограничены. Умножим (6.33) на $\exp(-pt)$ и проинтегрируем от 0 до $+\infty$. Получим

$$\int_0^{+\infty} tu''e^{-pt} dt + \int_0^{+\infty} u'e^{-pt} dt - \int_0^{+\infty} tu' e^{-pt} dt + n \int_0^{+\infty} ue^{-pt} dt = 0. \quad (6.34)$$

Имеем

$$\begin{aligned}\bar{u} &= \int_0^{+\infty} u e^{-pt} dt, \\ -\int_0^{+\infty} t u' e^{-pt} dt &= \frac{d}{dp} \int_0^{+\infty} u' e^{-pt} dt = \frac{d\bar{u}'}{dp} = \frac{d}{dp} [p\bar{u} - u|_{t=0}] = p \frac{d\bar{u}}{dp} + \bar{u}, \\ \int_0^{+\infty} t u'' e^{-pt} dt &= -\frac{d}{dp} \int_0^{+\infty} u'' e^{-pt} dt = -\frac{d\bar{u}''}{dp} = -p^2 \frac{d\bar{u}}{dp} - 2p\bar{u} + u|_{t=0}.\end{aligned}$$

Таким образом, вместо (6.34) получим

$$p(1-p) \frac{d\bar{u}}{dp} + (n+1-p)\bar{u} = 0.$$

Откуда

$$\begin{aligned}\frac{d\bar{u}}{\bar{u}} + \frac{(n+1-p)dp}{p(1-p)} &= 0 \Rightarrow \ln(\bar{u}) = \ln(C) + \int \frac{(n+1-p)dp}{p(1-p)} = \\ &= \ln(C) + \int \left(\frac{n}{p-1} - \frac{n+1}{p} \right) dp \Rightarrow \bar{u} = C \frac{(p-1)^n}{p^{n+1}} = C \frac{\left(1 - \frac{1}{p}\right)^n}{p}.\end{aligned}$$

Возьмем $C = 1$, тогда

$$\bar{u} = \frac{1}{p} \left(1 - \frac{1}{p}\right)^n.$$

Следовательно,

$$u(t) = \frac{1}{2\pi i} \int_L \frac{1}{p} \left(1 - \frac{1}{p}\right)^n e^{pt} dp.$$

Особые точки подынтегральной функции: $p = 0$ — полюс $(n+1)$ -го порядка. Таким образом,

$$\begin{aligned}u(t) &= \operatorname{res}_{p=0} \left(1 - \frac{1}{p}\right)^n \frac{e^{pt}}{p} = \frac{1}{n!} \lim_{p \rightarrow 0} \left\{ \left(1 - \frac{1}{p}\right)^n \frac{e^{pt}}{p} p^{n+1} \right\}^{(n)} = \\ &= \frac{1}{n!} \lim_{p \rightarrow 0} \frac{d^n}{dp^n} [(p-1)^n e^{pt}].\end{aligned}$$

Обозначим

$$p = 1 - \frac{x}{t} \Rightarrow dp = -\frac{dx}{t},$$

тогда

$$u(t) = \frac{1}{n!} \lim_{x \rightarrow t} \frac{d^n}{dx^n} \left[\frac{(-1)^n t^n x^n}{(-1)^n t^n} e^{t-x} \right] = \frac{e^t}{n!} \lim_{x \rightarrow t} \frac{d^n}{dx^n} (x^n e^{-x}) = \frac{e^t}{n!} \frac{d^n}{dt^n} (t^n e^{-t}),$$

($n = 0, 1, 2, \dots$). Полученное выражение есть полином степени n . Этот полином обозначается $L_n(t)$ и называется полиномом Лагеррра. Таким образом,

$$u(t) = L_n(t) \equiv \frac{e^t}{n!} \frac{d^n}{dt^n} (t^n e^{-t}), \quad n = 0, 1, 2, \dots,$$

$$L_0(t) = 1; \quad L_1(t) = 1 - t; \quad L_2(t) = 1 - 2t + \frac{t^2}{2}; \quad \dots$$

В заключение отметим, что метод преобразования Лапласа к нелинейным уравнениям не применим.

Интегрирование дифференциальных уравнений в частных производных

Пусть $u = u(x, t)$. Рассмотрим уравнение

$$L_x(u) - \frac{1}{v^2} \frac{\partial^2 u}{\partial t^2} - b \frac{\partial u}{\partial t} - cu = F(x, t), \quad 0 < x < l, \quad t > 0, \quad (6.35)$$

где

$$L_x(u) = \frac{1}{r} \left[\frac{\partial}{\partial x} \left(p \frac{\partial u}{\partial x} \right) - qu \right],$$

v, b, c — постоянные или вещественные функции от x ; p, p', q, r — непрерывные функции от x на $[0, l]$; $p, r > 0$. Уравнение (6.35) — гиперболического или параболического типа (в зависимости от v^2).

Пусть по переменной x выполняются граничные условия первого, второго или третьего рода, то есть либо

$$u|_{x=0} = f_0(t); \quad u|_{x=l} = f_l(t), \quad (6.36-1)$$

либо

$$\left. \frac{\partial u}{\partial x} \right|_{x=0} = f_0(t); \quad \left. \frac{\partial u}{\partial x} \right|_{x=l} = f_l(t), \quad (6.36-2)$$

либо

$$\left. \frac{\partial u}{\partial x} - h_0 u \right|_{x=0} = f_0(t); \quad \left. \frac{\partial u}{\partial x} + h_l u \right|_{x=l} = f_l(t). \quad (6.36-3)$$

Кроме того, поставлены начальные условия, например, для гиперболического уравнения условия имеют вид

$$u|_{t=0} = \varphi(x); \quad \left. \frac{\partial u}{\partial t} \right|_{t=0} = \psi(x).$$

Обозначим

$$\bar{u}(x, p) = \int_0^{\infty} u(x, t) e^{-pt} dt.$$

Умножим уравнение (6.35) на $\exp(-pt)$ и проинтегрируем от 0 до $+\infty$. Получим

$$\int_0^{\infty} L_x(u) e^{-pt} dt - \frac{1}{v^2} \int_0^{\infty} \frac{\partial^2 u}{\partial t^2} e^{-pt} dt - b \int_0^{\infty} \frac{\partial u}{\partial t} e^{-pt} dt - c \int_0^{\infty} u e^{-pt} dt = \int_0^{\infty} F(x, t) e^{-pt} dt.$$

Откуда

$$L_x(\bar{u}) - \frac{1}{v^2} \left[p^2 \bar{u} - pu|_{t=0} - \frac{\partial u}{\partial t} \Big|_{t=0} \right] - b[p\bar{u} - u|_{t=0}] - c\bar{u} = \bar{F}(x, p), \quad (6.37)$$

где

$$\bar{F}(x, p) = \int_0^{\infty} F(x, t) e^{-pt} dt.$$

Уравнение (6.37) можно переписать в виде

$$L_x(\bar{u}) - \left[\frac{p^2}{v^2} + bp + c \right] \bar{u} = g(x, p), \quad (6.38)$$

где

$$g(x, p) = \bar{F}(x, p) - \frac{p}{v^2} \varphi(x) - \frac{1}{v^2} \psi(x) - b\varphi(x)$$

— известная функция.

Граничные условия (6.36-1)–(6.36-3) соответственно трансформируются в следующие условия:

$$\bar{u}|_{x=0} = \bar{f}_0; \quad \bar{u}|_{x=l} = \bar{f}_l, \quad (6.39-1)$$

либо

$$\frac{\partial \bar{u}}{\partial x} \Big|_{x=0} = \bar{f}_0; \quad \frac{\partial \bar{u}}{\partial x} \Big|_{x=l} = \bar{f}_l, \quad (6.39-2)$$

либо

$$\frac{\partial \bar{u}}{\partial x} - h_0 \bar{u} \Big|_{x=0} = \bar{f}_0(p); \quad \frac{\partial \bar{u}}{\partial x} + h_l \bar{u} \Big|_{x=l} = \bar{f}_l(p). \quad (6.39-3)$$

Решая уравнение (6.38) с соответствующими условиями (6.39-1), (6.39-2) или (6.39-3), найдем $\bar{u} = \bar{u}(x, p)$. Тогда

$$u(x, t) = \frac{1}{2\pi i} \int_L \bar{u}(x, p) e^{pt} dp,$$

где прямая интегрирования L проходит правее всех особых точек подынтегральной функции.

Изложенный метод справедлив, если вместо условий (6.36) рассматриваются условия

$$\alpha_0 u + \beta_0 \frac{\partial u}{\partial x} + \gamma_0 \frac{\partial u}{\partial t} \Big|_{x=0} = f_0(t); \quad \alpha_1 u + \beta_1 \frac{\partial u}{\partial x} + \gamma_1 \frac{\partial u}{\partial t} \Big|_{x=l} = f_1(t),$$

где $\alpha_0, \beta_0, \gamma_0, \alpha_1, \beta_1, \gamma_1$ — некоторые константы.

В этом случае вместо (6.39) будем иметь

$$\alpha_0 \bar{u} + \beta_0 \frac{\partial \bar{u}}{\partial x} + \gamma_0 (p\bar{u} - u|_{t=0}) \Big|_{x=0} = \bar{f}_0; \quad \alpha_1 u + \beta_1 \frac{\partial u}{\partial x} + \gamma_1 (p\bar{u} - u|_{t=0}) \Big|_{x=l} = \bar{f}_1,$$

При этом величины

$$u|_{t=0, x=0}; \quad u|_{t=0, x=l}$$

должны быть заданы.

Отметим, что для уравнений эллиптического типа метод преобразования Лапласа, как правило, не применим, так как в задачах эллиптического типа почти никогда не заданы одновременно производная и функция на одной из границ. Кроме того, для успешного применения преобразования Лапласа необходимо, чтобы одна из переменных изменялась в бесконечном интервале $(0, +\infty)$. Задача для уравнения эллиптического типа (для бесконечной области), демонстрирующая исключение из этого правила, рассмотрена далее (см. «Примеры решения типовых задач», пример 2).

Построение метода преобразования Лапласа на случай большого числа независимых переменных

Пусть, например, $u = u(x, y, t)$. Рассмотрим уравнение

$$\Delta u - \frac{1}{v^2} \frac{\partial^2 u}{\partial t^2} - b \frac{\partial u}{\partial t} - cu = F(x, y, t), \quad (x, y) \in D, \quad t > 0, \quad (6.40)$$

где D — некоторая плоская область с границей Γ (Γ — простой самонепересекающийся контур),

$$\Delta u = \frac{\partial^2 u}{\partial x^2} + \frac{\partial^2 u}{\partial y^2}.$$

Станем рассматривать для определенности граничные условия третьего рода

$$\frac{\partial u}{\partial n} + hu \Big|_{\Gamma} = f(P, t), \quad h = h(P) \geq 0, \quad P \in \Gamma.$$

Кроме того, выполняются начальные условия

$$u|_{t=0} = \varphi(x); \quad \frac{\partial u}{\partial t} \Big|_{t=0} = \psi(x).$$

Применяя преобразование Лапласа к уравнению (6.40), получим

$$\Delta \bar{u} - \left[\frac{p^2}{v^2} + bp + c \right] \bar{u} = g(x, y, p), \quad (6.41)$$

где

$$g(x, y, p) = \bar{F}(x, y, p) - \frac{p}{v^2} \varphi(x, y) - \frac{1}{v^2} \psi(x, y) - b\varphi(x, y)$$

— известная функция.

Граничные условия преобразуются к виду

$$\left. \frac{\partial \bar{u}}{\partial n} + h\bar{u} \right|_{\Gamma} = \bar{f}(P, p). \quad (6.42)$$

Таким образом, если мы можем решить краевую задачу (6.41)–(6.42) и найти функцию $\bar{u} = \bar{u}(x, y, p)$, то

$$u(x, y, t) = \frac{1}{2\pi i} \int_L \bar{u}(x, y, p) e^{pt} dp.$$

Отметим, что краевую задачу (6.41)–(6.42) методом преобразования Лапласа решить нельзя, так как уравнение (6.41) эллиптического типа. Эта задача должна решаться независимо.

Приложение преобразования Лапласа к задачам математической физики

Задача о движении заряженной частицы в магнитном поле

Рассмотрим движение заряженной частицы массы m в однородном магнитном поле с напряженностью \vec{H} (рис. 6.12).

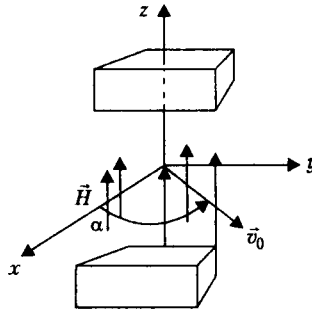


Рис. 6.12. Заряженная частица в магнитном поле

Уравнение движения частицы может быть записано в виде

$$m\dot{\vec{r}} = \vec{F} = \frac{e}{c} \vec{r} \times \vec{H},$$

где c — скорость света, e — заряд частицы. Здесь, как обычно в механике, точкой сверху обозначается производная по времени. В проекциях на оси координат будем иметь ($\vec{H} = H \vec{k}$)

$$\dot{x} = \frac{eH}{mc} \dot{y}; \quad \dot{y} = -\frac{eH}{mc} \dot{x}; \quad \dot{z} = 0.$$

Обозначим $\omega = \frac{eH}{mc}$, тогда уравнения движения в проекциях на оси принимают вид

$$\ddot{x} = \omega \dot{y}; \quad \ddot{y} = -\omega \dot{x}; \quad \ddot{z} = 0. \quad (6.43)$$

Поставим начальные условия. Будем считать, что

$$\begin{aligned} x|_{t=0} = 0, \quad y|_{t=0} = 0, \quad z|_{t=0} = 0, \\ \dot{x}|_{t=0} = v_0 \cos(\alpha), \quad \dot{y}|_{t=0} = v_0 \sin(\alpha), \quad \dot{z}|_{t=0} = 0. \end{aligned}$$

Легко видеть, что при таких условиях $z = 0$ при $t \geq 0$.

Применим преобразование Лапласа к первым двум уравнениям (6.43). Будем иметь

$$\begin{aligned} p^2 \bar{x} - px|_{t=0} - \dot{x}|_{t=0} &= \omega(p\bar{y} - y|_{t=0}), \\ p^2 \bar{y} - py|_{t=0} - \dot{y}|_{t=0} &= -\omega(p\bar{x} - x|_{t=0}). \end{aligned}$$

Откуда находим

$$p^2 \bar{x} - \omega p \bar{y} = v_0 \cos(\alpha), \quad p^2 \bar{y} + \omega p \bar{x} = v_0 \sin(\alpha). \quad (6.44)$$

Решая систему (6.44), находим

$$\bar{x} = \frac{v_0 \cos(\alpha)}{p^2 + \omega^2} + \frac{v_0 \omega \sin(\alpha)}{p(p^2 + \omega^2)}, \quad \bar{y} = \frac{v_0 \sin(\alpha)}{p^2 + \omega^2} - \frac{v_0 \omega \cos(\alpha)}{p(p^2 + \omega^2)}. \quad (6.45)$$

Заметим, что

$$\begin{aligned} \frac{1 - \cos(\omega t)}{\omega} &= \int_0^t \sin(\omega \tau) d\tau, \\ \sin(\omega t) &\Leftrightarrow \frac{\omega}{(\omega^2 + p^2)} \Rightarrow \int_0^t \sin(\omega \tau) d\tau \Leftrightarrow \frac{\omega}{p(\omega^2 + p^2)} \Rightarrow \\ &\frac{1 - \cos(\omega t)}{\omega} \Leftrightarrow \frac{\omega}{p(\omega^2 + p^2)}. \end{aligned}$$

Тогда из (6.45) получим

$$\begin{aligned} x &= \frac{v_0 \cos(\alpha)}{\omega} \sin(\omega t) + \frac{v_0 \sin(\alpha)}{\omega} (1 - \cos(\omega t)), \\ y &= \frac{v_0 \sin(\alpha)}{\omega} \sin(\omega t) - \frac{v_0 \cos(\alpha)}{\omega} (1 - \cos(\omega t)). \end{aligned}$$

Последнюю систему можно записать в виде

$$\begin{aligned} x - \frac{v_0 \sin(\alpha)}{\omega} &= \frac{v_0}{\omega} \sin(\omega t - \alpha), \\ y + \frac{v_0 \cos(\alpha)}{\omega} &= \frac{v_0}{\omega} \cos(\omega t - \alpha). \end{aligned}$$

Уравнение траектории частицы будет иметь вид

$$\left(x - \frac{v_0 \sin(\alpha)}{\omega}\right)^2 + \left(y + \frac{v_0 \cos(\alpha)}{\omega}\right)^2 = \left(\frac{v_0}{\omega}\right)^2.$$

Отсюда заключаем, что частица движется по окружности радиуса

$$R = \frac{v_0}{\omega} = \frac{v_0 mc}{eH}.$$

Задача о нагреве полубесконечного тела

Пусть тело занимает область $x > 0$ в пространстве (рис. 6.13). Начиная с момента времени $t = 0$, стенка $x = 0$ поддерживается при температуре, изменяющейся по заданному закону. Начальная температура тела равна нулю. Требуется найти распределение температуры в теле при $t > 0$.

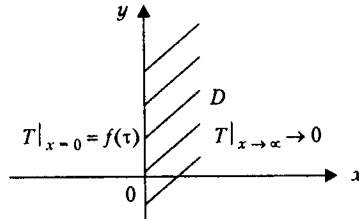


Рис. 6.13. Полубесконечное тело D

Математическая формулировка задачи:

$$\frac{\partial^2 T}{\partial x^2} - \frac{\partial T}{\partial \tau} = 0, \quad \tau = \frac{kt}{c\rho}, \quad 0 < x < \infty, \quad \tau > 0; \quad (6.46)$$

$$T|_{x=0} = f(\tau), \quad T|_{x \rightarrow \infty} \rightarrow 0, \quad (6.47)$$

$$T|_{\tau=0} = 0.$$

Для решения поставленной задачи воспользуемся преобразованием Лапласа. Обозначим

$$\bar{T}(x, p) = \int_0^{\infty} T(x, \tau) e^{-p\tau} d\tau.$$

Умножим (6.46) на $\exp(-p\tau)$ и проинтегрируем от 0 до $+\infty$. Получим

$$\frac{d^2 \bar{T}}{dx^2} - (p\bar{T} - \bar{T}|_{\tau=0}) = 0 \Rightarrow \frac{d^2 \bar{T}}{dx^2} - p\bar{T} = 0. \quad (6.48)$$

Условия (6.47) преобразуются в условия для функции $\bar{T}(x, p)$,

$$\bar{T}|_{x=0} = \bar{f}(p), \quad \bar{T}|_{x \rightarrow \infty} \rightarrow 0. \quad (6.49)$$

Из (6.48) находим

$$\bar{T}(x, p) = Ae^{-x\sqrt{p}} + Be^{x\sqrt{p}}.$$

Будем считать, что

$$\operatorname{Re}\sqrt{p}\Big|_L > 0,$$

тогда из условий (6.49) будем иметь $B = 0, A = \bar{f}$. Таким образом,

$$\begin{aligned} \bar{T}(x, p) &= \bar{f} e^{-x\sqrt{p}} \Rightarrow \\ T(x, \tau) &= \frac{1}{2\pi i} \int_L \bar{f} e^{p\tau - x\sqrt{p}} dp, \end{aligned} \quad (6.50)$$

где прямая L проходит правее всех особых точек.

Рассмотрим для определенности случай $f(\tau) = T_0 = \text{const}$. Тогда

$$\bar{f} = \frac{T_0}{p}.$$

Следовательно, из (6.50) находим

$$T(x, \tau) = \frac{T_0}{2\pi i} \int_L \frac{e^{p\tau - x\sqrt{p}}}{p} dp, \quad x > 0, \tau > 0. \quad (6.51)$$

Подынтегральная функция в (6.51) имеет одну особую точку $p = 0$ — точку разветвления (не полюс!). Примем

$$p = re^{i\varphi} \Rightarrow \sqrt{p} = \sqrt{r}e^{i\varphi/2}.$$

Если $-\pi < \varphi < \pi$, то $\operatorname{Re}(\sqrt{p}) > 0$ в разрезанной плоскости (рис. 6.14), в частности, и на прямой L :

$$\operatorname{Re}(\sqrt{p}) = \sqrt{r} \cos\left(\frac{\varphi}{2}\right) > 0, \quad -\pi < \varphi < \pi.$$

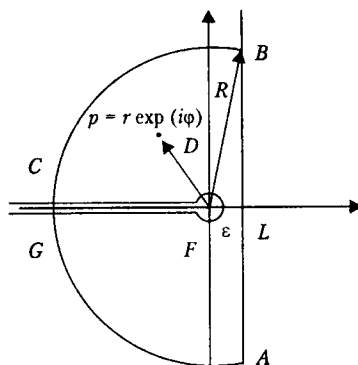


Рис. 6.14. Полюс $p = 0$

Таким образом, рассмотрим интеграл

$$\begin{aligned} \frac{1}{2\pi i} \int_{\cup ABCD \& FGA} \frac{e^{p\tau-x\sqrt{p}}}{p} dp &= \frac{1}{2\pi i} \int_{\cup AB} \frac{e^{p\tau-x\sqrt{p}}}{p} dp + \frac{1}{2\pi i} \int_{\cup BC} \frac{e^{p\tau-x\sqrt{p}}}{p} dp + \\ &+ \frac{1}{2\pi i} \int_{\cup CD} \frac{e^{p\tau-x\sqrt{p}}}{p} dp + \frac{1}{2\pi i} \int_{\cup DeF} \frac{e^{p\tau-x\sqrt{p}}}{p} dp + \frac{1}{2\pi i} \int_{\cup FG} \frac{e^{p\tau-x\sqrt{p}}}{p} dp + \\ &+ \frac{1}{2\pi i} \int_{\cup GA} \frac{e^{p\tau-x\sqrt{p}}}{p} dp = 0 \end{aligned}$$

(этот интеграл равен нулю в силу теоремы Коши, так как внутри контура нет особых точек). Будем иметь

$$\lim_{R \rightarrow \infty} \frac{1}{2\pi i} \int_{\cup AB} \frac{e^{p\tau-x\sqrt{p}}}{p} dp = \frac{1}{2\pi i} \int_L \frac{e^{p\tau-x\sqrt{p}}}{p} dp.$$

Далее легко видеть, что

$$\lim_{R \rightarrow \infty} \frac{1}{2\pi i} \int_{\cup BC} \frac{e^{p\tau-x\sqrt{p}}}{p} dp = \lim_{R \rightarrow \infty} \frac{1}{2\pi i} \int_{\cup GA} \frac{e^{p\tau-x\sqrt{p}}}{p} dp = 0.$$

Действительно,

$$\left| \frac{e^{-x\sqrt{p}}}{p} \right|_{\cup BC, \cup GA} \leq \frac{1}{R} \xrightarrow{R \rightarrow \infty} 0$$

равномерно, следовательно, условия Леммы Жордана выполнены на $\cup BC$ и $\cup GA$.
Далее

$$\begin{aligned} &\frac{1}{2\pi i} \int_L \frac{e^{p\tau-x\sqrt{p}}}{p} dp + \frac{1}{2\pi i} \int_{(-\infty, D)} \frac{e^{p\tau-x\sqrt{p}}}{p} dp + \\ &+ \frac{1}{2\pi i} \int_{\cup DeF} \frac{e^{p\tau-x\sqrt{p}}}{p} dp + \frac{1}{2\pi i} \int_{(F, -\infty)} \frac{e^{p\tau-x\sqrt{p}}}{p} dp = 0. \end{aligned} \quad (6.52)$$

Имеем $p = -r$ на $\cup CD$ и $\cup GF$. Тогда из (6.52)

$$\begin{aligned} &\frac{1}{2\pi i} \int_L \frac{e^{p\tau-x\sqrt{p}}}{p} dp + \frac{1}{2\pi i} \int_{\infty}^0 \frac{e^{-r\tau+ix\sqrt{r}}}{(-r)} d(-r) + \\ &+ \frac{1}{2\pi i} \int_{\cup DeF} \frac{e^{p\tau-x\sqrt{p}}}{p} dp + \frac{1}{2\pi i} \int_0^{\infty} \frac{e^{-\pi+ix\sqrt{r}}}{(-r)} d(-r) = 0. \end{aligned}$$

Или

$$\frac{1}{2\pi i} \int_L \frac{e^{p\tau-x\sqrt{p}}}{p} dp + \frac{1}{\pi} \int_0^{\infty} \frac{e^{-\pi}}{r} \sin(x\sqrt{r}) dr + \frac{1}{2\pi i} \int_{\cup DeF} \frac{e^{p\tau-x\sqrt{p}}}{p} dp = 0.$$

Далее

$$\frac{1}{2\pi i} \int_{\cup DeF} \frac{e^{p\tau-x\sqrt{p}}}{p} dp = \frac{1}{2\pi i} \int_{\cup DeF} \frac{dp}{p} + \frac{1}{2\pi i} \int_{\cup DeF} \frac{e^{p\tau-x\sqrt{p}} - 1}{p} dp = -1 + O(\sqrt{p}),$$

так как

$$\frac{e^{p\tau-x\sqrt{p}} - 1}{p} = \frac{1 + (p\tau - x\sqrt{p}) + \dots - 1}{p} = -\frac{x}{\sqrt{p}} + \dots$$

Таким образом, получаем

$$\frac{1}{2\pi i} \int_L \frac{e^{p\tau-x\sqrt{p}}}{p} dp + \frac{1}{\pi} \int_0^\infty \frac{e^{-p\tau}}{r} \sin(x\sqrt{r}) dr - 1 + O\sqrt{\rho} = 0.$$

Переходя к пределу при $\rho \rightarrow 0$, получим

$$\frac{1}{2\pi i} \int_L \frac{e^{p\tau-x\sqrt{p}}}{p} dp = 1 - \underbrace{\frac{1}{\pi} \int_0^\infty \frac{e^{-p\tau}}{r} \sin(x\sqrt{r}) dr}_{=J}. \quad (6.53)$$

Для вычисления интеграла, стоящего справа в (6.53), обозначим $\sqrt{r} = s$. Тогда

$$J = \frac{2}{\pi} \int_0^\infty \frac{e^{-s^2\tau}}{s} \sin(xs) ds \Rightarrow \frac{dJ}{dx} = \frac{2}{\pi} \int_0^\infty e^{-s^2\tau} \cos(xs) ds = \frac{1}{\sqrt{\pi\tau}} e^{-\frac{x^2}{4\tau}}. \quad (6.54)$$

Здесь мы воспользовались известной формулой

$$\int_0^\infty e^{-a^2x^2} \cos(bx) dx = \frac{\sqrt{\pi}}{2a} e^{-\frac{b^2}{4a^2}}.$$

Имеем $J|_{x=0} = 0$. Тогда из (6.54) находим

$$J = \int_0^x \frac{1}{\sqrt{\pi\tau}} e^{-\frac{s^2}{4\tau}} dx \stackrel{\left(\frac{x}{2\sqrt{\tau}}=y\right)}{=} \frac{2}{\sqrt{\pi}} \int_0^{\frac{x}{2\sqrt{\tau}}} e^{-y^2} dy = \Phi\left(\frac{x}{2\sqrt{\tau}}\right).$$

Таким образом, окончательно будем иметь

$$\frac{1}{2\pi i} \int_L \frac{e^{p\tau-x\sqrt{p}}}{p} dp = 1 - \Phi\left(\frac{x}{2\sqrt{\tau}}\right), \quad x > 0, \quad \tau > 0, \quad (6.55)$$

и, следовательно, решение задачи будет иметь вид

$$T = T_0 \left(1 - \Phi\left(\frac{x}{2\sqrt{\tau}}\right) \right). \quad (6.56)$$

Прямой подстановкой нетрудно убедиться, что формула (6.56) удовлетворяет уравнению (6.46), кроме того,

$$T|_{x \rightarrow 0} \rightarrow T_0 [1 - \Phi(0)] = T_0,$$

$$T|_{x \rightarrow +\infty} \rightarrow T_0 [1 - \Phi(+\infty)] = 0,$$

$$T|_{\tau \rightarrow 0} \rightarrow T_0 [1 - \Phi(+\infty)] = 0,$$

то есть выполняются все граничные и начальные условия задачи.

Задача о нагреве пластины конечной толщины

Определить распределение температуры в пластине толщины a , если, начиная с момента времени $t = 0$, стенка $x = 0$ поддерживается при температуре изменяющейся по заданному закону, а стенка $x = a$ поддерживается при нулевой температуре. Начальная температура пластины равна нулю (рис. 6.15).

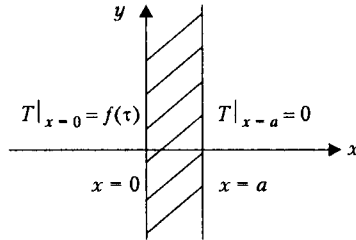


Рис. 6.15. Бесконечная пластина толщиной a

Математическая формулировка задачи:

$$\frac{\partial^2 T}{\partial x^2} - \frac{\partial T}{\partial \tau} = 0, \quad \tau = \frac{kt}{c\rho}, \quad 0 < x < a, \quad \tau > 0; \quad (6.57)$$

$$T|_{x=0} = f(\tau), \quad T|_{x=a} = 0, \quad (6.58)$$

$$T|_{\tau=0} = 0.$$

Для решения поставленной задачи воспользуемся преобразованием Лапласа. Обозначим

$$\bar{T}(x, p) = \int_0^{\infty} T(x, \tau) e^{-p\tau} d\tau.$$

Умножим (6.57) на $\exp(-p\tau)$ и проинтегрируем от 0 до $+\infty$. Получим

$$\frac{d^2 \bar{T}}{dx^2} - (p\bar{T} - \bar{T}|_{\tau=0}) = 0 \Rightarrow \frac{d^2 \bar{T}}{dx^2} - p\bar{T} = 0. \quad (6.59)$$

Условия (6.58) преобразуются в условия

$$\bar{T}|_{x=0} = \bar{f}(p), \quad \bar{T}|_{x=a} = 0. \quad (6.60)$$

Общее решение уравнения (6.59) удобно записать в виде

$$\bar{T} = A \operatorname{sh}(\sqrt{p}x) + B \operatorname{sh}(\sqrt{p}(a-x)).$$

Из условий (6.60) находим

$$A = 0, \quad B = \frac{\bar{f}}{\operatorname{sh}(\sqrt{p}a)}.$$

Таким образом, будем иметь

$$\bar{T} = \bar{f} \frac{\text{sh}(\sqrt{p}(a-x))}{\text{sh}(\sqrt{p}a)}$$

Следовательно,

$$T = \frac{1}{2\pi i} \int_L \bar{f}(p) \frac{\text{sh}(\sqrt{p}(a-x))}{\text{sh}(\sqrt{p}a)} e^{px} dp.$$

Прямая L расположена справа от мнимой оси правее всех особых точек подынтегральной функции.

В качестве примера рассмотрим случай, когда $f(\tau) = T_0 = \text{const}$. Тогда будем иметь

$$\begin{aligned} \bar{f}(p) &= \frac{T_0}{p} \Rightarrow \\ \bar{T} &= \frac{T_0}{2\pi i} \int_L \frac{\text{sh}(\sqrt{p}(a-x))}{\text{sh}(\sqrt{p}a)} \frac{e^{px}}{p} dp, \quad 0 < x < a, \quad \tau > 0. \end{aligned} \quad (6.61)$$

Рассмотрим два способа вычисления интеграла (6.61).

1. Применение теории вычетов. Подынтегральное выражение содержит \sqrt{p} . Заметим, что

$$\frac{\text{sh}(\sqrt{p}(a-x))}{\text{sh}(\sqrt{p}a)} = \frac{\sqrt{p}(a-x) + \frac{[\sqrt{p}(a-x)]^3}{3!} + \dots}{\sqrt{p}a + \frac{(\sqrt{p}a)^3}{3!} + \dots} = \frac{(a-x) + \frac{p(a-x)^3}{3!} + \dots}{a + \frac{pa^3}{3!} + \dots}$$

— однозначная функция, так как \sqrt{p} на самом деле выпадает из рассмотрения. Следовательно, подынтегральное выражение — однозначная функция p (нет точек ветвления). Из последней формулы следует также, что

$$\lim_{p \rightarrow 0} \frac{\text{sh}(\sqrt{p}(a-x))}{\text{sh}(\sqrt{p}a)} = \frac{a-x}{a}.$$

Особыми точками подынтегральной функции являются:

- 1) $p = 0$ — полюс первого порядка;
- 2) корни уравнения $\text{sh}(\sqrt{p}a) = 0$.

Корни уравнения $\text{sh}(\sqrt{p}a) = 0$, очевидно, имеют вид

$$\sqrt{p}a = ik\pi \Rightarrow p = p_k = -\left(\frac{k\pi}{a}\right)^2, \quad k = 1, 2, \dots$$

Таким образом особыми точками подынтегральной функции являются полюсы первого порядка: $p = 0, p_k = -\left(\frac{k\pi}{a}\right)^2, k = 1, 2, \dots$

Согласно общей теории, дополняем контур дугой круга радиуса R_N (рис. 6.16):

$$R_N = \frac{\left(N + \frac{1}{2}\right)^2 \pi^2}{a^2}.$$

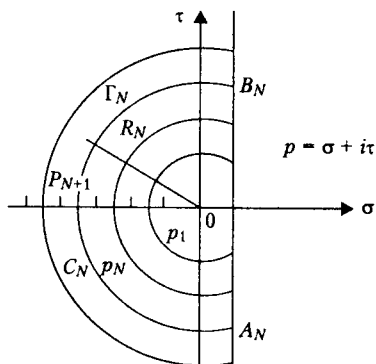


Рис. 6.16. Полюсы первого порядка $p_k = -\left(\frac{k\pi}{a}\right)^2, k = 0, 1, 2, \dots$

Будем иметь

$$\begin{aligned} \frac{1}{2\pi i} \int_{A_N B_N C_N A_N} \frac{\text{sh}(\sqrt{p}(a-x)) e^{px}}{\text{sh}(\sqrt{p}a) p} dp &= \frac{1}{2\pi i} \int_{A_N B_N} \frac{\text{sh}(\sqrt{p}(a-x)) e^{px}}{\text{sh}(\sqrt{p}a) p} dp + \\ &+ \frac{1}{2\pi i} \int_{B_N C_N A_N} \frac{\text{sh}(\sqrt{p}(a-x)) e^{px}}{\text{sh}(\sqrt{p}a) p} dp = \text{res } F(p) + \sum_{\substack{p=0 \\ k=1 \\ p=p_k}}^N \text{res } F(p), \end{aligned} \quad (6.62)$$

где

$$F(p) = \frac{\text{sh}(\sqrt{p}(a-x)) e^{px}}{\text{sh}(\sqrt{p}a) p}.$$

По лемме Жордана можно написать

$$\begin{aligned} \lim_{N \rightarrow \infty} \frac{1}{2\pi i} \int_{B_N C_N A_N} \frac{\text{sh}(\sqrt{p}(a-x)) e^{px}}{\text{sh}(\sqrt{p}a) p} dp &= 0 \Rightarrow \\ \lim_{N \rightarrow \infty} \frac{1}{2\pi i} \int_{A_N B_N} \frac{\text{sh}(\sqrt{p}(a-x)) e^{px}}{\text{sh}(\sqrt{p}a) p} dp &= \frac{1}{2\pi i} \int_L \frac{\text{sh}(\sqrt{p}(a-x)) e^{px}}{\text{sh}(\sqrt{p}a) p} dp. \end{aligned}$$

Действительно, имеем

$$\left| \frac{\text{sh}(\sqrt{p}(a-x))}{\text{sh}(\sqrt{p}a)} \right|_{\Gamma_N} \leq M \Rightarrow \left| \frac{\text{sh}(\sqrt{p}(a-x))}{\text{sh}(\sqrt{p}a)} \frac{1}{p} \right|_{\Gamma_N} \leq \frac{M}{R_N};$$

но

$$\frac{M}{R_N} \xrightarrow{N \rightarrow \infty} 0.$$

Модуль отношения гиперболических синусов ограничен на дуге Γ_N . Это следует из того, что на дуге Γ_N $p = R_N e^{i\varphi}$ и этот модуль можно вычислить. Переходя к пределу при $N \rightarrow \infty$ в (6.62), получим

$$\frac{1}{2\pi i} \int_L F(p) dp = \operatorname{res}_{p=0} F(p) + \sum_{k=1}^{\infty} \operatorname{res}_{p=p_k} F(p).$$

Имеем

$$\begin{aligned} \operatorname{res}_{p=0} F(p) &= \lim_{p \rightarrow 0} pF(p) = 1 - \frac{x}{a}, \\ \operatorname{res}_{p=p_k} F(p) &= \frac{\operatorname{sh}(\sqrt{p_k}(a-x))e^{p_k\tau}}{p_k \left[\operatorname{ch}(\sqrt{p_k}a) \frac{a}{2\sqrt{p_k}} \right]} = \\ &= \frac{2 \operatorname{sh}(k\pi i(a-x))e^{-\left(\frac{k^2\pi^2}{a^2}\tau\right)}}{k\pi i \operatorname{ch}(k\pi i)} = -\frac{2}{k\pi} \sin\left(\frac{k\pi}{a}x\right) e^{-\left(\frac{k^2\pi^2}{a^2}\tau\right)}. \end{aligned}$$

Таким образом, окончательно получаем

$$T = T_0 \left[1 - \frac{x}{a} - \frac{2}{\pi} \sum_{k=1}^{\infty} e^{-\left(\frac{k^2\pi^2}{a^2}\tau\right)} \frac{\sin\left(\frac{k\pi}{a}x\right)}{k} \right]. \quad (6.63)$$

2. Разложение в ряд. Имеем

$$\begin{aligned} \frac{\operatorname{sh}(\sqrt{p}(a-x))}{\operatorname{sh}(\sqrt{p}a)} &= \frac{e^{\sqrt{p}(a-x)} - e^{-\sqrt{p}(a-x)}}{e^{\sqrt{p}a} - e^{-\sqrt{p}a}} = \frac{e^{-x\sqrt{p}} - e^{-(2a-x)\sqrt{p}}}{1 - e^{-2a\sqrt{p}}} = \\ &= \left[e^{-x\sqrt{p}} - e^{-(2a-x)\sqrt{p}} \right] \sum_{k=0}^{\infty} e^{-2ak\sqrt{p}} = \sum_{k=0}^{\infty} \left[e^{-(2ak+x)\sqrt{p}} - e^{-(2ak+2a-x)\sqrt{p}} \right]. \end{aligned}$$

Подставим это разложение в комплексный интеграл (6.61) и почленно проинтегрируем. Получим

$$T = T_0 \sum_{k=0}^{\infty} \left[\frac{1}{2\pi i} \int_L \frac{e^{p\tau - (2ak+x)\sqrt{p}}}{p} dp - \frac{1}{2\pi i} \int_L \frac{e^{p\tau - (2ak+2a-x)\sqrt{p}}}{p} dp \right].$$

Согласно (6.55),

$$\frac{1}{2\pi i} \int_L \frac{e^{p\tau - x\sqrt{p}}}{p} dp = 1 - \Phi\left(\frac{x}{2\sqrt{\tau}}\right), \quad x > 0, \quad \tau > 0.$$

Таким образом, будем иметь

$$T = T_0 \sum_{k=0}^{\infty} \left\{ \left[1 - \Phi\left(\frac{2ak+x}{2\sqrt{\tau}}\right) \right] - \left[1 - \Phi\left(\frac{2ak+2a-x}{2\sqrt{\tau}}\right) \right] \right\}. \quad (6.64)$$

Проанализируем полученные решения. Решение в форме (6.63) — разложение по собственным функциям (метод Гринберга). Сходимость ряда (6.63) хорошая,

если большие отношения τ/a (большие времена, тонкие пластины). Решение в форме (6.64) удобно при малых отношениях τ/a (малые времена, толстые пластины). Таким образом, оба решения взаимно дополняют друг друга. Решение (6.64) позволяет проанализировать характер процесса. Имеем

$$T = T_0 \left[1 - \Phi \left(\frac{x}{2\sqrt{\tau}} \right) \right] - T_0 \left[1 - \Phi \left(\frac{2a-x}{2\sqrt{\tau}} \right) \right] + \\ + T_0 \left[1 - \Phi \left(\frac{2a+x}{2\sqrt{\tau}} \right) \right] - T_0 \left[1 - \Phi \left(\frac{4a-x}{2\sqrt{\tau}} \right) \right] + \dots$$

Первый член ряда — тепловая волна, распространяющаяся от стенки $x = 0$ вглубь тела. Если τ мало (начальные стадии процесса), то до определенного момента времени все члены малы и влияние второй стенки не сказывается, процесс носит характер тепловой волны, идущей в бесконечность. Второе слагаемое — отраженная тепловая волна, идущая от стенки $x = a$, и т. д. Члены ряда (6.64) — отраженные тепловые волны, идущие либо от стенки $x = 0$, либо от стенки $x = a$. Легко заметить, что (см. (6.56))

$$\lim_{a \rightarrow \infty} T = T_0 \left[1 - \Phi \left(\frac{x}{2\sqrt{\tau}} \right) \right].$$

Задача о продольных колебаниях полубесконечного стержня

Рассмотрим продольные колебания полубесконечного стержня, занимающего область $x \geq 0$ вещественной оси.

Математическая формулировка задачи: найти функцию $u = u(x, t)$, удовлетворяющую уравнению

$$\frac{\partial^2 u}{\partial x^2} - \frac{1}{v^2} \frac{\partial^2 u}{\partial t^2} = 0, \quad v = \sqrt{\frac{E}{\rho}}, \quad 0 < x < \infty, \quad t > 0, \quad (6.65)$$

граничным условиям

$$u|_{x=0} = f(t), \quad u|_{x \rightarrow \infty} = 0 \quad (6.66)$$

и начальным условиям

$$u|_{t=0} = 0, \quad \frac{\partial u}{\partial t} \Big|_{t=0} = 0.$$

Будем решать поставленную задачу с помощью преобразования Лапласа. Пусть

$$\bar{u}(x, p) = \int_0^{\infty} u(x, t) e^{-pt} dt.$$

Применим преобразование Лапласа к уравнению колебаний стержня (6.65) и граничным условиям (6.66). Будем иметь

$$\frac{d^2 \bar{u}}{dx^2} - \frac{p^2}{v^2} \bar{u} = 0, \quad (6.67)$$

$$\bar{u}|_{x=0} = \bar{f}(p), \quad \bar{u}|_{x \rightarrow \infty} \rightarrow 0. \quad (6.68)$$

Общее решение уравнения (6.67) имеет вид

$$\bar{u} = Ae^{-\frac{p}{v}x} + Be^{\frac{p}{v}x}.$$

Из граничных условий (6.68) находим

$$B = 0, \quad A = \bar{f}.$$

Таким образом, будем иметь

$$\bar{u} = \bar{f}(p)e^{-\frac{p}{v}x},$$

и, следовательно,

$$u(x, t) = \frac{1}{2i\pi} \int_L \bar{f}(p) e^{p\left(t - \frac{x}{v}\right)} dp, \quad x > 0, \quad t > 0. \quad (6.69)$$

Имеем формулу Римана–Меллина

$$\frac{1}{2i\pi} \int_L \bar{f}(p) e^{pt} dp = \begin{cases} f(t), & t > 0, \\ 0, & t < 0. \end{cases} \quad (6.70)$$

Поэтому формулу (6.69) можно переписать в виде

$$u(x, t) = \begin{cases} f\left(t - \frac{x}{v}\right), & t > \frac{x}{v}, \\ 0, & t < \frac{x}{v}. \end{cases}$$

Таким образом, процесс представляет собой бегущую волну, распространяющуюся со скоростью v от конца стержня $x = 0$.

Задача о продольных колебаниях конечного стержня

Рассмотрим теперь задачу о продольных колебаниях конечного стержня $0 \leq x \leq l$. Математическая формулировка задачи: найти функцию $u = u(x, t)$, удовлетворяющую уравнению

$$\frac{\partial^2 u}{\partial x^2} - \frac{1}{v^2} \frac{\partial^2 u}{\partial t^2} = 0, \quad v = \sqrt{\frac{E}{\rho}}, \quad 0 < x < l, \quad t > 0,$$

граничным условиям

$$u|_{x=0} = f(t), \quad u|_{x=l} = 0$$

и начальным условиям

$$u|_{t=0} = 0, \quad \frac{\partial u}{\partial t} \Big|_{t=0} = 0.$$

Будем решать поставленную задачу с помощью преобразования Лапласа. Пусть

$$\bar{u}(x, p) = \int_0^{\infty} u(x, t) e^{-pt} dt.$$

Рассуждая, как и в предыдущем случае полубесконечного стержня, мы приходим к задаче

$$\frac{d^2 \bar{u}}{dx^2} - \frac{p^2}{v^2} \bar{u} = 0.$$

$$\bar{u}|_{x=0} = \bar{f}(p), \quad \bar{u}|_{x=l} = 0.$$

Откуда находим

$$\bar{u}(x, p) = \bar{f}(p) \frac{\operatorname{sh}\left(\frac{p}{v}(l-x)\right)}{\operatorname{sh}\left(\frac{p}{v}x\right)},$$

и, следовательно,

$$u(x, t) = \frac{1}{2i\pi} \int_L \bar{f}(p) \frac{\operatorname{sh}\left(\frac{p}{v}(l-x)\right)}{\operatorname{sh}\left(\frac{p}{v}x\right)} e^{pt} dp. \quad (6.71)$$

При вычислении интеграла (6.71) воспользуемся разложением в ряд

$$\begin{aligned} \frac{\operatorname{sh}\left(\frac{p}{v}(l-x)\right)}{\operatorname{sh}\left(\frac{p}{v}l\right)} &= \frac{e^{\frac{p}{v}(l-x)} - e^{-\frac{p}{v}(l-x)}}{e^{\frac{p}{v}l} - e^{-\frac{p}{v}l}} = \frac{e^{-\frac{p}{v}x} - e^{-\frac{p}{v}(2l-x)}}{1 - e^{-\frac{2p}{v}l}} = \\ &= \left[e^{-\frac{p}{v}x} - e^{-\frac{p}{v}(2l-x)} \right] \sum_{k=0}^{\infty} e^{-\frac{2pk}{v}} = \sum_{k=0}^{\infty} \left[e^{-\frac{p}{v}(2lk+x)} - e^{-\frac{p}{v}(2lk+2l-x)} \right], \quad \left| e^{-\frac{2p}{v}l} \right| < 1. \end{aligned}$$

Подставляем это разложение в (6.71) (предполагается, что можно интегрировать почленно). Получим

$$u = \sum_{k=0}^{\infty} \left[\frac{1}{2\pi i} \int_L e^{p\left(t - \frac{2lk+x}{v}\right)} \bar{f}(p) dp - \frac{1}{2\pi i} \int_L e^{p\left(t - \frac{2lk+2l-x}{v}\right)} \bar{f}(p) dp \right]. \quad (6.72)$$

В силу формулы Римана—Меллина (6.70) заключаем, что каждый из рядов в (6.72) содержит конечное число членов (так как всегда найдется такое число k , при котором, по формуле (6.70) мы будем иметь нуль). Это снимает вопрос о сходимости.

Будем иметь:

$$\begin{aligned} 0 < t < \frac{x}{v} &\Rightarrow u = 0, \\ \frac{x}{v} < t < \frac{2l-x}{v} &\Rightarrow u(x, t) = f\left(t - \frac{x}{v}\right), \\ \frac{2l-x}{v} < t < \frac{2l+x}{v} &\Rightarrow u(x, t) = f\left(t - \frac{x}{v}\right) - f\left(t - \frac{2l-x}{v}\right), \end{aligned}$$

$$\frac{2l+x}{v} < t < \frac{4l-x}{v} \Rightarrow u(x,t) = f\left(t - \frac{x}{v}\right) - f\left(t - \frac{2l-x}{v}\right) + f\left(t - \frac{2l+x}{v}\right),$$

и т. д. Таким образом, решение для каждого интервала времени представляется в конечной форме. В стержне движутся плоские волны. Они отражаются от стенок и постепенно накладываются друг на друга.

Вопросы к главе 6

1. Преобразование какого вида называется преобразованием Лапласа?
2. Какая функция называется оригиналом и каковы его свойства? Приведите примеры функций, являющихся оригиналами. Приведите пример функции, которую нельзя назвать оригиналом. Почему?
3. Каким свойствам должна удовлетворять функция, чтобы для нее существовало преобразование Лапласа?
4. Какая существует связь между оригиналом и его изображением? Укажите область существования изображения и назовите его свойства.
5. В какой области изображение $\bar{f}(p)$ является регулярной функцией?
6. Сформулируйте свойства преобразования Лапласа.
7. В чем состоит свойство линейности преобразования Лапласа?
8. Как записать изображение $f^{(n)}(t)$, если известно изображение функции $f(t)$?
9. Какое изображение имеет функция $\int_0^t f(\tau) d\tau$, если $f(t) \Leftrightarrow \bar{f}(p)$?
10. Что называется сверткой двух функций?
11. Назовите прямое и обратное преобразования Лапласа.
12. Каково поведение преобразования Лапласа при больших по модулю значениях параметра? Сформулируйте соответствующую теорему.
13. В чем заключается проблема обращения преобразования Лапласа? Единственно ли обращение?
14. Сформулируйте леммы Жордана.
15. Как вычисляется интеграл Римана—Меллина в случае рациональной функции $\bar{f}(p)$?
16. Как вычисляется интеграл Римана—Меллина в случае, когда $\bar{f}(p)$ — мероморфная функция?
17. Как вычисляется интеграл Римана—Меллина в случае многозначной функции $\bar{f}(p)$ с конечным числом точек разветвления?
18. Приведите примеры специальных методов обращения преобразования Лапласа, позволяющих получить результат без непосредственного вычисления интеграла Римана—Меллина.
19. В чем состоит преимущество решения дифференциального уравнения операционным методом перед классическим методом?
20. Приведите схему решения дифференциального уравнения операционным методом. К каким последовательным шагам можно свести решение дифференциального уравнения операционным методом?

21. Как решаются системы обыкновенных дифференциальных уравнений методом Лапласа?
22. К каким дифференциальным уравнениям и системам уравнений применим метод преобразования Лапласа?
23. Можно ли использовать преобразование Лапласа для решения дифференциальных уравнений с переменными коэффициентами? Для решения нелинейных уравнений?
24. Изложите схему применения преобразования Лапласа для интегрирования дифференциальных уравнений в частных производных.
25. Какие типы уравнений в частных производных можно решать с применением преобразования Лапласа? К каким типам уравнений метод преобразования Лапласа не применим?
26. Дайте решение задачи о движении заряженной частицы в магнитном поле с помощью преобразования Лапласа.
27. Дайте решение задачи о нагреве полубесконечного тела с помощью преобразования Лапласа.
28. Дайте решение задачи о нагреве пластины конечной толщины с помощью преобразования Лапласа.
29. Дайте решение задачи о продольных колебаниях полубесконечного стержня с помощью преобразования Лапласа.
30. Дайте решение задачи о продольных колебаниях конечного стержня с помощью преобразования Лапласа.

Задачи с примерами решения

1. Найти изображение функции $f(t)$, если оно существует:

$$1) f(t) = \frac{e^{t^2}}{t^2}; \quad 2) f(t) = \sin^3(t); \quad 3) f(t) = \cos(2t) \sin(3t);$$

$$4) f(t) = te^{\alpha t} \sin(\beta t); \quad 5) f(t) = te^{\alpha t} \cos(\beta t); \quad 6) f(t) = te^{\alpha t} \operatorname{sh}(\beta t);$$

$$7) f(t) = te^{\alpha t} \operatorname{sh}(\beta t); \quad 8) f(t) = \frac{1}{t-2}; \quad 9) f(t) = \frac{e^{-\alpha t}}{\sqrt{t}};$$

$$10) f(t) = \sin(t) \operatorname{sh}(t); \quad 11) f(t) = \frac{e^{t(t^2 - 2t + 2)} - 2}{t^3}.$$

2. Найти оригинал функции $\bar{f}(p)$, если он существует:

$$1) \bar{f}(p) = \frac{p-1}{(p+1)^2}; \quad 2) \bar{f}(p) = \frac{p-1}{p^2-4p+6}; \quad 3) \bar{f}(p) = \frac{1}{p(p^2+\alpha^2)};$$

$$4) \bar{f}(p) = \frac{1}{(p^2+\alpha^2)^2}; \quad 5) \bar{f}(p) = \frac{p^2+2}{p^4+4}; \quad 6) \bar{f}(p) = \frac{1}{(p^2-4p+5)};$$

$$7) \bar{f}(p) = \frac{e^{-p}}{p^2(p^2-1)}; \quad 8) \bar{f}(p) = \frac{1}{1+p^{10}}; \quad 9) \bar{f}(p) = \frac{e^{-p} - e^{-2p}}{p};$$

$$10) \bar{f}(p) = \left(\frac{2}{p^3} + \frac{2}{p^2} + \frac{1}{p} \right) e^{-p}.$$

3. Найти оригинал $f(t)$, удовлетворяющий уравнению

$$f(t) + \int_0^t (t - \tau) f(\tau) d\tau = 1.$$

4. Решить дифференциальное уравнение:

1) $y'' + 3y' + 2y = 0$; $y(0) = 1$; $y'(0) = 0$.

2) $y'' + y = 1$; $y(0) = 0$; $y'(0) = 0$.

3) $y'' + 4y = \cos(3t)$; $y(0) = 2$; $y'(0) = 2$.

4) $y'' + y = t \cos(2t)$; $y(0) = 0$; $y'(0) = 0$.

5) $y'' - 4y = e^{2t}$; $y(0) = 1$; $y'(0) = 1$.

6) $y'' + 9y = \sin(3t)$; $y(0) = 0$; $y'(0) = 0$.

7) $y'' - 2y' + 2y = 1 + \theta(t - 1)$; $y(0) = 0$; $y'(0) = 0^1$.

8) $y^{(4)} - y = 1$; $y(0) = y'(0) = y''(0) = y'''(0) = 0$.

9) $y^{(4)} + 2y''' + 3y'' + 2y' + y = 0$; $y(0) = y_0$; $y'(0) = y''(0) = y'''(0) = 0$.

10) $y^{(4)} + y''' - 2y'' = 20t \sin(t)$; $y(0) = y'(0) = y''(0) = 0$, $y'''(0) = -1$.

5. Решить систему дифференциальных уравнений:

1) $y' - y + \frac{z}{4} = 0$; $4y - z' - z = 4e^t$; $y(0) = z(0) = 1$.

2) $x' = z - y$; $y' = z$; $z' = z - x$; $x(0) = y(0) = 0$; $z(0) = 1$.

3) $y' = 2y' + 4z + \cos(t)$; $z' = -y - 2z = \sin(t)$; $y(0) = -2$; $z(0) = 0$.

4) $x' = z + y$; $y' = 3x + z$; $z' = 3x + y$; $x(0) = 0$; $y(0) = 2$; $z(0) = 3$.

5) $y' = 2x - y - 2 \cos(t)$; $x' = 4x - 3y + \sin(t)$; $y(0) = 0$; $x(0) = 0$.

6) $x'' + 2y = 0$; $y'' - 2x = 0$; $x(0) = y(0) = 0$; $x'(0) = 0$; $y'(0) = 1$.

7) $y' + x' - y = e^t$; $2x' + y' + 2y = \cos(t)$; $y(0) = 0$; $x(0) = 0$.

8) $x' = -2x - 2y - 47$; $y' = -2x + y - 2z$; $z' = 5x + 2y + 7z$;

$x(0) = 1$; $y(0) = 2$; $z(0) = -1$.

9) $x' = -z + y$; $y' = z - 2x$; $z' = -y + 2x$; $x(0) = 1$; $y(0) = 0$; $z(0) = 0$.

10) $x' = z + y$; $y' = x + z$; $z' = x + y$; $x(0) = 1$; $y(0) = 0$; $z(0) = 0$.

6. Стержень подвешен вертикально и закреплён так, что смещение во всех точках равно нулю. В момент времени $t = 0$ стержень освобождается, оставаясь закреплённым в верхней точке. Определить колебания стержня под действием собственного веса. *Указание:* задача сводится к интегрированию уравнения

¹ Здесь $\theta(t - 1) = \begin{cases} 1, & t > 1, \\ 0, & t < 1 \end{cases}$ — единичная функция Хевисайда.

колебаний $\frac{\partial^2 u}{\partial t^2} = v^2 \frac{\partial^2 u}{\partial x^2} + g$ при следующих начальных и граничных условиях: $u|_{t=0} = 0$, $\left. \frac{\partial u}{\partial t} \right|_{t=0} = 0$, $u|_{x=0} = 0$, $\left. \frac{\partial u}{\partial x} \right|_{x=l} = 0$.

7. Температура $u = u(x, t)$ в тонком стержне удовлетворяет одномерному уравнению теплопроводности $\frac{\partial u}{\partial t} = a^2 \frac{\partial^2 u}{\partial x^2}$, где a^2 — постоянный коэффициент. Рассмотреть распределение температур в полуограниченном стержне $0 < x < \infty$, если на левом конце стержня происходит теплоизлучение в среду с нулевой температурой, начальная температура стержня $u_0 = \text{const}$. *Указание:* задача сводится к интегрированию уравнения теплопроводности при следующих начальных и граничных условиях: $u|_{t=0} = u_0$, $\left. \frac{\partial u}{\partial x} \right|_{x=0} = hu|_{x=0}$, $h > 0$ ¹.
8. Рассмотреть распределение температур в ограниченном стержне $0 < x < l$, левый конец которого теплоизолирован, а на правом поддерживается постоянная температура u_1 ; начальная температура u_0 также постоянна.
9. Материальная точка массы m совершает прямолинейное движение под действием возмущающей силы $a \sin(\omega t)$, восстанавливающей силы $mk^2 x$, пропорциональной смещению, и силы сопротивления $2mn\dot{x}$, пропорциональной скорости. Начальные отклонение и скорость равны, соответственно, x_0 и \dot{x}_0 . Найти движение точки в случае малого сопротивления ($k > n$). Считая $n = 0$, рассмотреть случай $\omega \neq k$ и резонансный случай $\omega = k$.
10. Конденсатор емкости C_0 , заряженный до потенциала V , разряжается в момент времени $t = 0$ на бесконечную линию без потерь ($R = g = 0$) с параметрами (L, C) . Найти распределение тока $I(x, t)$ в линии. *Указание:* граничные и начальные условия имеют вид $u|_{x=0} = Ve^{-t/\tau}$, $u|_{x \rightarrow \infty} = O(1)$, $u|_{t=0} = 0$, $I|_{t=0} = 0$, где $\tau = \rho C_0$ — постоянное время разряда, $\rho = \sqrt{L/C_0}$ — волновое сопротивление цепи.
11. Конец $x = 0$ полубесконечной линии, обладающей самоиндукцией L и емкостью C на единицу длины, присоединяется в момент времени $t = 0$ к источнику ЭДС $E = f(t)$. Найти напряжение $u(x, t)$ в каждой точке линии. *Указание:* граничные и начальные условия имеют вид $u|_{x=0} = f(t)$, $u|_{x \rightarrow \infty} = O(1)$, $u|_{t=0} = 0$, $I|_{t=0} = 0$.

Примеры решения типовых задач

Пример 1. К концу $x = 0$ полубесконечного кабеля (линия с параметрами R и C) подключается в момент времени $t = 0$ постоянная ЭДС E . Найти напряжение в каждой точке кабеля.

Решение. Выпишем основные уравнения с учетом того что $L = g = 0$:

¹ Задачи 7 и 8 рассмотрены в книге *Лавреитьев М. А. и Шабат Б. В. Методы теории функций комплексного переменного.* — М.: Физматгиз, 1958. 680 с.

$$\frac{\partial u}{\partial x} + RI = 0,$$

$$\frac{\partial I}{\partial x} + C \frac{\partial u}{\partial t} = 0.$$

Исключив ток, получим

$$-\frac{1}{R} \frac{\partial^2 u}{\partial x^2} + C \frac{\partial u}{\partial t} = 0 \Rightarrow \frac{\partial^2 u}{\partial x^2} - \frac{1}{v^2} \frac{\partial u}{\partial t} = 0, \quad v^2 = \frac{1}{RC}.$$

Поставим начальные и граничные условия

$$u|_{t=0} = 0, \quad u|_{x=0} = E, \quad u|_{x \rightarrow \infty} \rightarrow 0.$$

Подобная задача уже решена нами (см. «Задача о нагреве полубесконечного тела»).
Продemonстрируем решение этой задачи в Maple.

Определим уравнение и дополнительные условия:

```
> eq:=diff(u(x,t),x,x)-RC*diff(u(x,t),t)=0; x>0,t>0;
> bc:=u(0,t)=E; t>0;
> ic:=u(x,0)=0; x>0;
```

$$eq := \left(\frac{\partial^2}{\partial x^2} u(x, t) \right) - RC \left(\frac{\partial}{\partial t} u(x, t) \right) = 0$$

$$0 < x, 0 < t$$

$$bc := u(0, t) = E$$

$$0 < t$$

$$ic := u(x, 0) = 0$$

$$0 < x$$

Подключим необходимые программы из пакета `inttrans`:

```
> with(inttrans,laplace,invlaplace);
```

```
[laplace, invlaplace]
```

Применяем преобразование Лапласа к нашему уравнению и получаем обыкновенное дифференциальное уравнение относительно трансформанты Лапласа:

```
> laplace(eq,t,p):
```

$$\left(\frac{\partial^2}{\partial x^2} \text{laplace}(u(x, t), t, p) \right) - RC (p \text{laplace}(u(x, t), t, p) - u(x, 0)) = 0$$

```
> ode:=subs(laplace(u(x,t),t,p)=U(x),ic,%):
```

$$ode := \left(\frac{d^2}{dx^2} U(x) \right) - RC p U(x) = 0$$

Решаем полученное уравнение

```
> res:=dsolve(ode,U(x)):assign(res):U(x):
```

$$res := U(x) = _C1 e^{(\sqrt{RC} \sqrt{p} x)} + _C2 e^{(-\sqrt{RC} \sqrt{p} x)} \\ _C1 e^{(\sqrt{RC} \sqrt{p} x)} + _C2 e^{(-\sqrt{RC} \sqrt{p} x)}$$

Выбираем ограниченное на бесконечности решение:

> U:=subs(_C1=0,U(x));

$$U := _C2 e^{(-\sqrt{RC} \sqrt{p} x)}$$

Определяем вторую константу из граничного условия и тем самым полностью решаем задачу для трансформанты:

> subs(x=0,U)=E/p:solve(%,{_C2}):assign(%):U:

$$_C2 e^0 = \frac{E}{p}$$

$$\{ _C2 = \frac{E}{p} \}$$

$$\frac{E e^{(-\sqrt{RC} \sqrt{p} x)}}{p}$$

> U:=subs(U(x)=laplace(u(x,t),t,p),%):

$$U := \frac{E e^{(-\sqrt{RC} \sqrt{p} x)}}{p}$$

Находим теперь обратное преобразование Лапласа:

> invlaplace(U,p,t):

$$E \operatorname{erfc}\left(\frac{x \sqrt{RC}}{2 \sqrt{t}}\right)$$

Таким образом, окончательно получаем

$$u(x,t) = E \left[1 - \Phi\left(\frac{x \sqrt{RC}}{2 \sqrt{t}}\right) \right],$$

где $\Phi(x)$ — интеграл вероятности.

Пример 2. Решить следующую задачу:

$$9 \frac{\partial^2 u}{\partial x^2} + 4 \frac{\partial^2 u}{\partial t^2} = 36 e^{2x} \sin(3t), \quad x > 0, \quad t > 0,$$

$$u|_{t=0} = 0, \quad \frac{\partial u}{\partial t} \Big|_{t=0} = 3x e^{2x},$$

$$u|_{x=0} = 0, \quad \frac{\partial u}{\partial x} \Big|_{x=0} = \sin(3t).$$

Решение. Воспользуемся для решения нашей задачи системой Maple. Определим задачу:

> eq:=9*diff(u(x,t),x,x)+4*diff(u(x,t),t,t)=

> 36*exp(2*x)*sin(3*t): x>0,t>0:

> bc1:=u(0,t)=0: t>0:

> bc2:=0[1](u)(0,t)=sin(3*t): t>0:

> ic1:=u(x,0)=0: x>0:

> ic2:=0[2](u)(x,0)=3*x*exp(2*x): x>0:

$$eq := 9 \left(\frac{\partial^2}{\partial x^2} u(x,t) \right) + 4 \left(\frac{\partial^2}{\partial t^2} u(x,t) \right) = 36 e^{(2x)} \sin(3t)$$

$$\begin{aligned}
 &0 < x, 0 < t \\
 &bc1 := u(0, t) = 0 \\
 &0 < t \\
 &bc2 := D_1(u)(0, t) = \sin(3t) \\
 &0 < t \\
 &ic1 := u(x, 0) = 0 \\
 &0 < x \\
 &ic2 := D_2(u)(x, 0) = 3x e^{(2x)} \\
 &0 < x
 \end{aligned}$$

Подключим программы преобразования Лапласа и его обращения:

```
> with(inttrans, laplace, invlaplace);
      [laplace, invlaplace]
```

Применяем преобразование Лапласа к заданному уравнению и получаем обыкновенное дифференциальное уравнение для трансформанты

```
> laplace(eq, x, p):
```

$$9p(p \operatorname{laplace}(u(x, t), x, p) - u(0, t)) - 9D_1(u)(0, t) + 4\left(\frac{\partial^2}{\partial t^2} \operatorname{laplace}(u(x, t), x, p)\right) = \frac{36 \sin(3t)}{p-2}$$

```
> subs(laplace(u(x, t), x, p)=v(t), bc1, bc2, %):
```

$$9p^2 v(t) - 9 \sin(3t) + 4\left(\frac{d^2}{dt^2} v(t)\right) = \frac{36 \sin(3t)}{p-2}$$

Решаем полученное уравнение с учетом граничных условий для трансформанты

```
> dsolve({% .v(0)=laplace(rhs(ic1), x, p), D(v)(0)=
> laplace(rhs(ic2), x, p)}, {v(t)}):
```

$$v(t) = \frac{\sin(3t)}{(p-2)^2}$$

```
> subs(v(t)=laplace(u(x, t), x, p), %):
```

$$\operatorname{laplace}(u(x, t), x, p) = \frac{\sin(3t)}{(p-2)^2}$$

Вычисляем обратное преобразование и получаем решение нашей задачи

```
> invlaplace(%, p, x):
```

$$u(x, t) = \sin(3t) x e^{(2x)}$$

Итак, решение нашей задачи оказалось возможным представить в элементарных функциях

$$u(x, t) = x e^{2x} \sin(3t).$$

Выполним проверку решения:

```
> u:=unapply(rhs(%), (x, t)):
> simplify(rhs(eq)-lhs(eq)):
> if %<0 then combine(% , trig) else % fi:
> simplify(rhs(bc1)-lhs(bc1)):
```

```

> simplify(rhs(bc2)-lhs(bc2));
> simplify(rhs(ic1)-lhs(ic1));
> simplify(rhs(ic2)-lhs(ic2));
0
0
0
0
0

```

Все в порядке!

Пример 3. Решить следующую задачу:

$$\frac{\partial^2 u}{\partial x^2} - \frac{\partial u}{\partial t} + u = f(x), \quad x > 0, \quad t > 0,$$

$$u|_{x=0} = t, \quad \frac{\partial u}{\partial x}|_{x=0} = 0.$$

Решение. Воспользуемся для решения нашей задачи системой Maple. Определим задачу:

```

> restart;with(inttrans,laplace,invlaplace);
      [laplace, invlaplace ]
> eq:=diff(u(x,t),x,x)-diff(u(x,t),t)+u(x,t)=f(x);
> x>0,t>0;
eq := (∂²/∂x² u(x,t)) - (∂/∂t u(x,t)) + u(x,t) = f(x)
      0 < x, 0 < t
> bc:=u(0,t)=t;bcx:=D[1](u)(0,t)=0; t>0;
      bc := u(0,t) = t
      bcx := D₁(u)(0,t) = 0
      0 < t

```

Применяем преобразование Лапласа по переменной x . Построение решения:

```

> laplace(eq,x,p);
p (p laplace(u(x,t),x,p) - u(0,t)) - D₁(u)(0,t) - (∂/∂t laplace(u(x,t),x,p)) + laplace(u(x,t),x,p) =
laplace(f(x),x,p)
> subs(bc,bcx,laplace(u(x,t),x,p)=v(t),%);
p (p v(t) - t) - (d/dt v(t)) + v(t) = laplace(f(x),x,p)
> dsolve(%v(t));
v(t) = e^{((p²+1)t)} _C1 + \frac{e^{-(p²+1)t} (tp³ + pt + p + laplace(f(x),x,p)p² + laplace(f(x),x,p)) e^{(p²+1)t}}{(p²+1)²}

```


Находим обратное преобразование:

```
> invlaplace(rhs(%).p,x);
_C1 invlaplace(e^{((p^2+1)t)}, p, x) + \int_0^x f(U2) (\sin(x) \cos(U2) - \cos(x) \sin(U2)) d_U2 + \frac{1}{2} x \sin(x)
+ t \cos(x)
```

Из полученного решения необходимо исключить (за счет выбора произвольных постоянных) неограниченные члены:

```
> u(x,t)=subs(_C1=0,%);
u(x,t) = \int_0^x f(U2) (\sin(x) \cos(U2) - \cos(x) \sin(U2)) d_U2 + \frac{1}{2} x \sin(x) + t \cos(x)
```

Выполним проверку полученного решения:

```
> u:=unapply(rhs(%).(x,t));
> simplify(lhs(eq)-rhs(eq));
> simplify(lhs(bc)-rhs(bc));
> simplify(lhs(bcx)-rhs(bcx));
0
0
0
```

Все в порядке!

Таким образом, решение нашей задачи дается формулой

$$u(x,t) = \int_0^x f(\xi) \sin(x-\xi) d\xi + \frac{1}{2} x \sin(x) + t \cos(x).$$

Пример 4. Тело ограничено изнутри сферической поверхностью радиуса a , а снаружи не ограничено (рис. 6.17). Начальная температура тела равна нулю, а на сферической поверхности температура поддерживается постоянной, равной T_0 . Найти температуру тела в произвольный момент времени t .

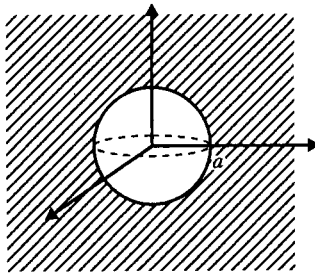


Рис. 6.17. К примеру 4

Решение. Воспользуемся для решения нашей задачи системой Maple. Определим задачу:

```
> v:=[r,theta,phi];
```

```

> eq:=simplify(linalg[laplacian]
> (u(r,tau),v,coords=spherical))-diff(u(r,tau),tau)=0:
> ic:=u(r,0)=0:
> bc:=u(a,tau)=T0:

```

$$v := [r, \theta, \phi]$$

$$eq := \frac{2 \left(\frac{\partial}{\partial r} u(r, \tau) \right) + r \left(\frac{\partial^2}{\partial r^2} u(r, \tau) \right)}{r} - \left(\frac{\partial}{\partial \tau} u(r, \tau) \right) = 0$$

$$ic := u(r, 0) = 0$$

$$bc := u(a, \tau) = T0$$

Здесь, как обычно, $\tau = kt/cp$ — приведенное время.

Применяем преобразование по переменной τ и получаем обыкновенное дифференциальное уравнение для трансформанты:

```

> with(inttrans.laplace,invlaplace):
      [laplace, invlaplace]
> laplace(eq,tau,p):
2 \left( \frac{\partial}{\partial r} \text{laplace}(u(r, \tau), \tau, p) \right) + r \left( \frac{\partial^2}{\partial r^2} \text{laplace}(u(r, \tau), \tau, p) \right)
-----
r
- p \text{laplace}(u(r, \tau), \tau, p) + u(r, 0) = 0
> ode:=subs(laplace(u(r,tau),tau,p)=R(r),ic,%):

```

$$ode := \frac{2 \left(\frac{d}{dr} R(r) \right) + r \left(\frac{d^2}{dr^2} R(r) \right)}{r} - p R(r) = 0$$

Ищем общее решение полученного уравнения:

```

> res:=dsolve(ode,R(r)):assign(res):R(r):
res := R(r) = \frac{-C1 \sinh(\sqrt{p} r)}{r} + \frac{-C2 \cosh(\sqrt{p} r)}{r}
          \frac{-C1 \sinh(\sqrt{p} r)}{r} + \frac{-C2 \cosh(\sqrt{p} r)}{r}

```

Наше решение должно быть ограничено на бесконечности, поэтому удобно перейти к экспонентам:

```

> subs(sinh((p^(1/2)*r))=
> exp(-p^(1/2)*r),cosh((p^(1/2)*r))=
> exp(p^(1/2)*r),%):
          \frac{-C1 e^{(-\sqrt{p} r)}}{r} + \frac{-C2 e^{(\sqrt{p} r)}}{r}

```

Теперь мы видим, что константу $_{C2}$ следует принять равной нулю.

```

> R:=subs(_C2=0,%):
          R := \frac{-C1 e^{(-\sqrt{p} r)}}{r}

```

Вторую константу находим из граничного условия, которое тоже предварительно нужно преобразовать по Лапласу:

> laplace(bc.tau,p):

$$\text{laplace}(u(a, \tau), \tau, p) = \frac{T0}{p}$$

> subs(laplace(u(a.tau).tau.p)=subs(r=a.R).%):

> solve(%,{_C1}):assign(%):R:

$$\frac{C1 e^{(-\sqrt{p} a)}}{a} = \frac{T0}{p}$$

$$\{ _C1 = \frac{T0 a}{e^{(-\sqrt{p} a)} p} \}$$

$$\frac{T0 a e^{(-\sqrt{p} r)}}{e^{(-\sqrt{p} a)} p r}$$

> R:=subs(R(r)=laplace(u(r.t).t.p),%):

$$R := \frac{T0 a e^{(-\sqrt{p} r)}}{e^{(-\sqrt{p} a)} p r}$$

Выполним теперь обратное преобразование Лапласа:

> Sol_u:=invlaplace(R.p.tau):

$$Sol_u := \frac{T0 a \left(\lim_{|U| \rightarrow 0^+} \text{erf}\left(\frac{-a+r}{2\sqrt{-UI}}\right) - \text{erf}\left(\frac{-a+r}{2\sqrt{\tau}}\right) \right)}{r}$$

Вычислим предел:

> assume(r>a):Sol_u:=value(Sol_u):

$$Sol_u := \frac{T0 a \left(1 - \text{erf}\left(\frac{-a+r}{2\sqrt{\tau}}\right) \right)}{r}$$

Выполним проверку полученного решения. Для удобства вычислений определим функцию — решение нашей задачи:

> u:=(r.tau)->T0*a/r*(1-erf(1/2*(-a+r)/tau^(1/2))):

$$u := (r, \tau) \rightarrow \frac{T0 a \left(1 - \text{erf}\left(\frac{1}{2} \frac{-a+r}{\sqrt{\tau}}\right) \right)}{r}$$

Проверим справедливость уравнения и граничных условий:

> simplify(rhs(eq)-lhs(eq)):

> simplify(rhs(bc)-lhs(bc)):

0

0

Таким образом, уравнение и граничное условие удовлетворяются. Проверим начальное условие:

> Limit(u(r,tau),tau=0,right):value(%):

$$\lim_{\tau \rightarrow 0^+} \frac{T_0 a \left(1 - \operatorname{erf}\left(\frac{-a + r}{2\sqrt{\tau}}\right) \right)}{r} = 0$$

Итак, решение нашей задачи определяется по формуле

$$u(r, \tau) = \frac{T_0 a}{r} \left[1 - \Phi\left(\frac{r-a}{2\sqrt{\tau}}\right) \right],$$

где $\Phi(x)$ — интеграл вероятности.

Пример 5. Два полубесконечных тела из различных материалов (рис. 6.18), одно из которых нагрето до температуры T_0 , а другое имеет температуру, равную нулю, приводятся в контакт своими плоскими границами начиная с момента времени $t = 0$. Найти закон выравнивания температур.

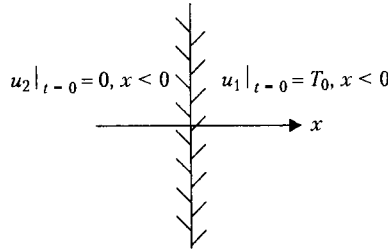


Рис. 6.18. К примеру 5

Решение. Задача сводится к решению следующих уравнений

$$\frac{\partial^2 u_1}{\partial x^2} - b_1 \frac{\partial u_1}{\partial t} = 0, \quad b_1 = \frac{c_1 \rho_1}{k_1}, \quad x > 0, \quad t > 0,$$

$$\frac{\partial^2 u_2}{\partial x^2} - b_2 \frac{\partial u_2}{\partial t} = 0, \quad b_2 = \frac{c_2 \rho_2}{k_2}, \quad x < 0, \quad t > 0,$$

при начальных

$$u_1|_{t=0} = T_0, \quad u_2|_{t=0} = 0$$

и граничных условиях

$$u_1|_{x=0} = u_2|_{x=0}, \quad k_1 \frac{\partial u_1}{\partial x} \Big|_{x=0} = k_2 \frac{\partial u_2}{\partial x} \Big|_{x=0}.$$

Воспользуемся для решения нашей задачи системой Maple. Определим задачу:

```
> eq1:=diff(u1(x,t),x$2)-b1*diff(u1(x,t),t)=0;
> eq2:=diff(u2(x,t),x$2)-b2*diff(u2(x,t),t)=0;
> ic1:=u1(x,0)=T[0];ic2:=u2(x,0)=0;
```

```
> bc1:=u1(0,t)=u2(0,t);
> bc2:=k1*D[1](u1)(0,t)=k2*D[1](u2)(0,t);
```

$$eq1 := \left(\frac{\partial^2}{\partial x^2} u1(x, t) \right) - b1 \left(\frac{\partial}{\partial t} u1(x, t) \right) = 0$$

$$eq2 := \left(\frac{\partial^2}{\partial x^2} u2(x, t) \right) - b2 \left(\frac{\partial}{\partial t} u2(x, t) \right) = 0$$

$$ic1 := u1(x, 0) = T_0$$

$$ic2 := u2(x, 0) = 0$$

$$bc1 := u1(0, t) = u2(0, t)$$

$$bc2 := k1 D_1(u1)(0, t) = k2 D_1(u2)(0, t)$$

Выполним преобразование Лапласа над заданными уравнениями:

```
> with(inttrans, laplace, invlaplace):
```

```
[laplace, invlaplace]
```

```
> p1:=laplace(eq1,t,p):p2:=laplace(eq2,t,p):
```

$$p1 := \left(\frac{\partial^2}{\partial x^2} \text{laplace}(u1(x, t), t, p) \right) - b1 (p \text{laplace}(u1(x, t), t, p) - u1(x, 0)) = 0$$

$$p2 := \left(\frac{\partial^2}{\partial x^2} \text{laplace}(u2(x, t), t, p) \right) - b2 (p \text{laplace}(u2(x, t), t, p) - u2(x, 0)) = 0$$

Получим уравнения для трансформант и найдем их общие решения:

```
> ode1:=subs(laplace(u1(x,t),t,p)=U1(x),ic1,p1):
```

```
> ode2:=subs(laplace(u2(x,t),t,p)=U2(x),ic2,p2):
```

$$ode1 := \left(\frac{d^2}{dx^2} U1(x) \right) - b1 (p U1(x) - T_0) = 0$$

$$ode2 := \left(\frac{d^2}{dx^2} U2(x) \right) - b2 p U2(x) = 0$$

```
> res1:=dsolve(ode1,U1(x)):res2:=dsolve(ode2,U2(x)):
```

$$res1 := U1(x) = e^{(\sqrt{b1} \sqrt{p} x)} _C2 + e^{(-\sqrt{b1} \sqrt{p} x)} _C1 + \frac{T_0}{p}$$

$$res2 := U2(x) = _C1 e^{(\sqrt{b2} \sqrt{p} x)} + _C2 e^{(-\sqrt{b2} \sqrt{p} x)}$$

Учтем ограниченность функций на бесконечности. Кроме того, удобно ввести новые обозначения для произвольных постоянных интегрирования (разные для разных функций). Одновременно вычислим производные, так как они понадобятся для определения оставшихся констант:

```
> assign(res1):U1(x):
```

```
> U1:=subs(_C2=0,_C1=A,%):dU1:=diff(U1,x):
```

$$e^{(\sqrt{b1} \sqrt{p} x)} _C2 + e^{(-\sqrt{b1} \sqrt{p} x)} _C1 + \frac{T_0}{p}$$

$$U1 := e^{(-\sqrt{b1} \sqrt{p} x)} A + \frac{T_0}{p}$$

$$dU1 := -\sqrt{b1} \sqrt{p} e^{(-\sqrt{b1} \sqrt{p} x)} A$$

> assign(res2):U2(x):

> U2:=subs(_C2=0, _C1=B, %):dU2:=diff(U2, x):

$$-C1 e^{(\sqrt{b2} \sqrt{p} x)} + \frac{C2}{\sqrt{b2} \sqrt{p}}$$

$$U2 := B e^{(\sqrt{b2} \sqrt{p} x)}$$

$$dU2 := B \sqrt{b2} \sqrt{p} e^{(\sqrt{b2} \sqrt{p} x)}$$

Получим теперь уравнения для определения констант A и B и решим их:

> pc1:=laplace(bc1,t,p):pc2:=laplace(bc2,t,p):

$$pc1 := \text{laplace}(u1(0, t), t, p) = \text{laplace}(u2(0, t), t, p)$$

$$pc2 := k1 \text{laplace}(D_1(u1))(0, t), t, p) = k2 \text{laplace}(D_1(u2))(0, t), t, p)$$

> e1:=subs(laplace(u1(0,t),t,p)=subs(x=0,U1).

> laplace(u2(0,t),t,p)=subs(x=0,U2),pc1):

> e2:=subs(laplace(D[1](u1)(0,t),t,p)=subs(x=0,dU1).

> laplace(D[1](u2)(0,t),t,p)=subs(x=0,dU2),pc2):

$$e1 := e^0 A + \frac{T_0}{p} = B e^0$$

$$e2 := -k1 \sqrt{b1} \sqrt{p} e^0 A = k2 B \sqrt{b2} \sqrt{p} e^0$$

> res_e:=solve({e1,e2},{A,B}):assign(res_e):U1;U2:

$$res_e := \left\{ B = \frac{T_0 k1 \sqrt{b1}}{p (k1 \sqrt{b1} + k2 \sqrt{b2})}, A = -\frac{k2 \sqrt{b2} T_0}{p (k1 \sqrt{b1} + k2 \sqrt{b2})} \right\}$$

$$-\frac{e^{(-\sqrt{b1} \sqrt{p} x)} k2 \sqrt{b2} T_0}{p (k1 \sqrt{b1} + k2 \sqrt{b2})} + \frac{T_0}{p}$$

$$\frac{T_0 k1 \sqrt{b1} e^{(\sqrt{b2} \sqrt{p} x)}}{p (k1 \sqrt{b1} + k2 \sqrt{b2})}$$

Итак, мы нашли трансформанты Лапласа:

> U1:=subs(U1(x)=laplace(u1(x,t),t,p),U1):

> U2:=subs(U2(x)=laplace(u2(x,t),t,p),U2):

$$U1 := -\frac{e^{(-\sqrt{b1} \sqrt{p} x)} k2 \sqrt{b2} T_0}{p (k1 \sqrt{b1} + k2 \sqrt{b2})} + \frac{T_0}{p}$$

$$U2 := \frac{T_0 k1 \sqrt{b1} e^{(\sqrt{b2} \sqrt{p} x)}}{p (k1 \sqrt{b1} + k2 \sqrt{b2})}$$

Выполним теперь обратное преобразование Лапласа и получим решение нашей задачи:

```
> assume(x>0):Sol_u1:=invlaplace(U1.p,t):x:='x':
> assume(x<0):Sol_u2:=invlaplace(U2.p,t):
```

$$Sol_u1 := -\frac{k2 \sqrt{b2} T_0 \operatorname{erfc}\left(\frac{x \sqrt{b1}}{2 \sqrt{t}}\right)}{k1 \sqrt{b1} + k2 \sqrt{b2}} + T_0$$

$$Sol_u2 := \frac{T_0 k1 \sqrt{b1} \operatorname{erfc}\left(-\frac{\sqrt{b2} x}{2 \sqrt{t}}\right)}{k1 \sqrt{b1} + k2 \sqrt{b2}}$$

Выполним проверку найденного решения. Для удобства вычислений определим функции — решения задачи:

```
> u1:=proc(x,t) options operator, arrow:
> -k2*b2^(1/2)*T[0]/(k1*b1^(1/2)+k2*b2^(1/2))*
> erfc(1/2*x*b1^(1/2)/t^(1/2))+T[0]
> end proc:
```

$$u1 := (x, t) \rightarrow -\frac{k2 \sqrt{b2} T_0 \operatorname{erfc}\left(\frac{1}{2} \frac{x \sqrt{b1}}{\sqrt{t}}\right)}{k1 \sqrt{b1} + k2 \sqrt{b2}} + T_0$$

```
> u2:= proc (x, t) options operator, arrow:
> T[0]*k1*b1^(1/2)/(k1*b1^(1/2)+k2*b2^(1/2))*
> erfc(-1/2*b2^(1/2)*x/t^(1/2))
> end proc:
```

$$u2 := (x, t) \rightarrow \frac{T_0 k1 \sqrt{b1} \operatorname{erfc}\left(\frac{1}{2} \frac{\sqrt{b2} x}{\sqrt{t}}\right)}{k1 \sqrt{b1} + k2 \sqrt{b2}}$$

Проверим справедливость уравнений:

```
> simplify(rhs(eq1)-lhs(eq1)):
> simplify(rhs(eq2)-lhs(eq2)):
```

0
0

Проверим справедливость граничных условий:

```
> simplify(rhs(bc1)-lhs(bc1)):simplify(rhs(bc2)-lhs(bc2)):
```

0
0

Проверим, наконец, справедливость начальных условий:

```
> assume(x>0):assume(b1>0):
> Limit(u1(x,t),t=0,right)=
> value(Limit(u1(x,t),t=0,right)):x:='x':
```

$$\lim_{t \rightarrow 0^+} -\frac{k2 \sqrt{b2} T_0 \operatorname{erfc}\left(\frac{x \sqrt{b1}}{2 \sqrt{t}}\right)}{k1 \sqrt{b1} + k2 \sqrt{b2}} + T_0 = T_0$$

$x := x$

```
> assume(x<0):assume(b2>0):
> Limit(u2(x,t),t=0,right)=
> value(Limit(u2(x,t),t=0,right)):
```

$$\lim_{t \rightarrow 0^+} \frac{T_0 k_1 \sqrt{b_1} \operatorname{erfc}\left(-\frac{\sqrt{b_2} x}{2\sqrt{t}}\right)}{k_1 \sqrt{b_1} + k_2 \sqrt{b_2}} = 0$$

Все в порядке. Итак, решение нашей задачи определяется формулами

$$u_1(x,t) = T_0 - \frac{T_0 k_2 \sqrt{b_2} \left[1 - \Phi\left(\frac{x\sqrt{b_1}}{2\sqrt{t}}\right) \right]}{k_1 \sqrt{b_1} + k_2 \sqrt{b_2}}, \quad x \geq 0, \quad t \geq 0,$$

$$u_2(x,t) = \frac{T_0 k_1 \sqrt{b_1} \left[1 + \Phi\left(\frac{x\sqrt{b_2}}{2\sqrt{t}}\right) \right]}{k_1 \sqrt{b_1} + k_2 \sqrt{b_2}}, \quad x \leq 0, \quad t \geq 0,$$

где $\Phi(x)$ — интеграл вероятности.

Пример 6. На границу полупространства $x > 0$ подается тепловой поток плотности q_0 . Начальная температура равна нулю. Найти температуру в каждой точке при $t > 0$.

Решение. Требуется найти решение уравнения теплопроводности

$$\frac{\partial^2 u}{\partial x^2} - \frac{\partial u}{\partial \tau} = 0, \quad \tau = \frac{kt}{c\rho}, \quad x > 0, \quad t > 0,$$

при начальных и граничных условиях

$$u|_{\tau=0} = 0, \quad k \frac{\partial u}{\partial x} \Big|_{x=0} = q_0.$$

Воспользуемся для решения нашей задачи системой Maple. Подключим пакет с командами, выполняющими преобразование Лапласа:

```
> with(inttrans,laplace,invlaplace):
```

```
[laplace, invlaplace]
```

Задаем задачу:

```
> eq:=diff(u(x,tau),x,x)=diff(u(x,tau),tau):
> bc:=-k*D[1](u)(0,tau)=q0:
> ic:=u(x,0)=0:
```

$$eq := \frac{\partial^2}{\partial x^2} u(x, \tau) = \frac{\partial}{\partial \tau} u(x, \tau)$$

$$bc := -k D_1(u)(0, \tau) = q_0$$

$$ic := u(r, 0) = 0$$

Выполняем преобразование Лапласа; решаем полученное обыкновенное дифференциальное уравнение для трансформанты и, таким образом, находим общее выражение для трансформанты:

> laplace(eq.tau,p):

$$\frac{\partial^2}{\partial x^2} \text{laplace}(u(x, \tau), \tau, p) = p \text{laplace}(u(x, \tau), \tau, p) - u(x, 0)$$

> ode:=subs(laplace(u(x,tau),tau,p)=U(x),ic,%):

$$ode := \frac{d^2}{dx^2} U(x) = p U(x)$$

> res:=dsolve(ode,U(x));assign(res):U(x):

$$res := U(x) = _C1 e^{(\sqrt{p} x)} + _C2 e^{(-\sqrt{p} x)} \\ _C1 e^{(\sqrt{p} x)} + _C2 e^{(-\sqrt{p} x)}$$

Учтем теперь ограниченность нашей функции на бесконечности и преобразуем граничное условие по Лапласу:

> U:=subs(_C1=0,%):laplace(bc,tau,p):

$$U := _C2 e^{(-\sqrt{p} x)}$$

$$-k \text{laplace}(D_1(u)(0, \tau), \tau, p) = \frac{q0}{p}$$

Получим уравнение по граничному условию и определим произвольную постоянную:

> subs(laplace(D[1](u)(0,tau),tau,p)=

> subs(x=0,diff(U,x)),%):

> solve(%,{_C2}):assign(%):U:

$$k _C2 \sqrt{p} e^0 = \frac{q0}{p}$$

$$\{ _C2 = \frac{q0}{k p^{(3/2)}} \}$$

$$\frac{q0 e^{(-\sqrt{p} x)}}{k p^{(3/2)}}$$

Таким образом, мы решили задачу для трансформанты:

> U:=%:

$$U := \frac{q0 e^{(-\sqrt{p} x)}}{k p^{(3/2)}}$$

Выполним теперь обратное преобразование Лапласа и найдем решение нашей задачи:

> invlaplace(U,p,tau):

$$\frac{q_0 \left(2 \sqrt{\frac{\tau}{\pi}} e^{\left(-\frac{x^2}{4\tau}\right)} - x \operatorname{erfc}\left(\frac{x}{2\sqrt{\tau}}\right) \right)}{k}$$

Выполним проверку найденного решения:

```
> u:=unapply(%,(x,tau));
> simplify(rhs(eq)-lhs(eq));
> simplify(rhs(bc)-lhs(bc));
```

$$u := (x, \tau) \rightarrow \frac{q_0 \left(2 \sqrt{\frac{\tau}{\pi}} e^{\left(-1/4 \frac{x^2}{\tau}\right)} - x \operatorname{erfc}\left(\frac{1}{2} \frac{x}{\sqrt{\tau}}\right) \right)}{k}$$

0
0

Таким образом, уравнение и граничные условия удовлетворяются. Проверим теперь начальное условие:

```
> assume(x>0):Limit(u(x,tau),tau=0,right):value(%);
```

$$\lim_{\tau \rightarrow 0^+} \frac{q_0 \left(2 \sqrt{\frac{\tau}{\pi}} e^{\left(-\frac{x^2}{4\tau}\right)} - x \operatorname{erfc}\left(\frac{x}{2\sqrt{\tau}}\right) \right)}{k}$$

0

Итак, решение нашей задачи имеет вид

$$u(x, \tau) = \frac{q_0}{k} \left\{ 2 \sqrt{\frac{\tau}{\pi}} e^{-\frac{x^2}{4\tau}} - x \left[1 - \Phi\left(\frac{x}{2\sqrt{\tau}}\right) \right] \right\},$$

где $\Phi(x)$ — интеграл вероятности.

Пример 7. Решить задачу для обыкновенного дифференциального уравнения:

$$\frac{d^2 y}{dt^2} + 5 \frac{dy}{dt} + 6y = 0, \quad t > 0,$$

$$y|_{t=0} = 0, \quad \left. \frac{dy}{dt} \right|_{t=0} = 1.$$

Решение. Воспользуемся для решения нашей задачи системой Maple. Здесь мы можем применить несколько способов решения нашей задачи. Прежде всего, определим задачу:

```
> del:=diff(y(t),t$2)+5*diff(y(t),t)+6*y(t)=0;
> ic:=y(0)=0;ic1:=D(y)(0)=1;
```

$$del := \left(\frac{d^2}{dt^2} y(t) \right) + 5 \left(\frac{d}{dt} y(t) \right) + 6 y(t) = 0$$

$$ic := y(0) = 0$$

$$ic1 := D(y)(0) = 1$$

Самый простой способ — решение задачи с помощью программы `dsolve` с указанием или без указания метода решения. Например, решим нашу задачу с помощью преобразования Лапласа, но всю работу поручим компьютеру:

```
> dsolve({del, ic, ic1}, y(t), method=laplace);
> assign(%):del;
```

$$y(t) = 2 e^{\left(-\frac{5t}{2}\right)} \sinh\left(\frac{t}{2}\right)$$

$$0 = 0$$

Здесь мы одновременно и проверили правильность результата.

Итак, решение нашей задачи дается формулой

$$y(t) = 2e^{-\frac{5t}{2}} \operatorname{sh}\left(\frac{t}{2}\right).$$

Можно решать задачу командой `dsolve` без указания метода решения:

```
> y:='y':dsolve({del, ic, ic1}, y(t));
> assign(%):del;
```

$$y := y$$

$$y(t) = -e^{(-3t)} + e^{(-2t)}$$

$$0 = 0$$

В этом случае мы получили решение в другой, эквивалентной форме

$$y(t) = -e^{-3t} + e^{-2t}.$$

Можно, наконец, «вручную» применить преобразование Лапласа:

```
> y:='y':laplace(del.t.p):
```

$$y := y$$

$$p(p \operatorname{laplace}(y(t), t, p) - y(0)) - D(y)(0) + 5p \operatorname{laplace}(y(t), t, p) - 5y(0) + 6 \operatorname{laplace}(y(t), t, p) = 0$$

```
> subs(ic, ic1, laplace(y(t), t, p)=Y.%):
```

$$p^2 Y - 1 + 5p Y + 6Y = 0$$

```
> solve(%, Y):
```

$$\frac{1}{p^2 + 5p + 6}$$

```
> invlaplace(%, p, t):
```

$$2 e^{\left(-\frac{5t}{2}\right)} \sinh\left(\frac{t}{2}\right)$$

Как и следовало ожидать, мы получили тот же результат.

Пример 8. Решить задачу для системы обыкновенных дифференциальных уравнений:

$$\frac{d^2 x}{dt^2} - 8x + \sqrt{6} \frac{dy}{dt} = 0, \quad \frac{d^2 y}{dt^2} + 2y - \sqrt{6} \frac{dx}{dt} = 0,$$

$$x|_{t=0} = 1, \quad \left. \frac{dx}{dt} \right|_{t=0} = 0, \quad y|_{t=0} = 0, \quad \left. \frac{dy}{dt} \right|_{t=0} = 0.$$

Решение. Воспользуемся для решения нашей задачи системой Maple:

```
> restart;
> ODE1:={diff(x(t),t$2)-8*x(t)+sqrt(6)*diff(y(t),t)=0};
> ODE2:={-sqrt(6)*diff(x(t),t)+diff(y(t),t$2)+2*y(t)=0};
```

$$ODE1 := \left\{ \left(\frac{d^2}{dt^2} x(t) \right) - 8 x(t) + \sqrt{6} \left(\frac{d}{dt} y(t) \right) = 0 \right\}$$

$$ODE2 := \left\{ -\sqrt{6} \left(\frac{d}{dt} x(t) \right) + \left(\frac{d^2}{dt^2} y(t) \right) + 2 y(t) = 0 \right\}$$

```
> sysODE:= ODE1 union ODE2;
> init:={x(0)=1,D(x)(0)=0,y(0)=0,D(y)(0)=0};
```

$$\text{sysODE} := \left\{ -\sqrt{6} \left(\frac{d}{dt} x(t) \right) + \left(\frac{d^2}{dt^2} y(t) \right) + 2 y(t) = 0, \left(\frac{d^2}{dt^2} x(t) \right) - 8 x(t) + \sqrt{6} \left(\frac{d}{dt} y(t) \right) = 0 \right\}$$

$$\text{init} := \{ x(0) = 1, D(x)(0) = 0, y(0) = 0, D(y)(0) = 0 \}$$

```
> dsolve(sysODE union init, {x(t),y(t)}, method=laplace);
> assign(%):x:=unapply(x(t),t);y:=unapply(y(t),t);
```

$$\{ x(t) = -\frac{1}{2} \cos(2t) + \frac{3}{2} \cosh(2t), y(t) = 8\sqrt{6} \left(-\frac{1}{16} \sin(2t) + \frac{1}{16} \sinh(2t) \right) \}$$

$$x := t \rightarrow -\frac{1}{2} \cos(2t) + \frac{3}{2} \cosh(2t)$$

$$y := t \rightarrow 8\sqrt{6} \left(-\frac{1}{16} \sin(2t) + \frac{1}{16} \sinh(2t) \right)$$

Проверим полученный результат:

```
> simplify(sysODE):simplify(ODE1):simplify(ODE2):
```

$$\{ 0 = 0 \}$$

$$\{ 0 = 0 \}$$

$$\{ 0 = 0 \}$$

```
> simplify(value(init)):
```

$$\{ 1 = 1, 0 = 0 \}$$

Итак, решение системы имеет вид

$$\begin{cases} x(t) = -\frac{1}{2} \sin(2t) + \frac{3}{2} \text{ch}(2t), \\ y(t) = -\frac{\sqrt{6}}{2} \cos(2t) + \frac{\sqrt{6}}{2} \text{sh}(2t). \end{cases}$$

7 Интегральные уравнения в математической физике

Интегральными уравнениями обычно называют уравнения, содержащие неизвестную функцию под знаком определенного интеграла, как одномерного, так и кратного. Теория интегральных уравнений составляет сейчас внушительный раздел математического анализа и имеет большое теоретическое и прикладное значение. Отдельные интегральные уравнения встречались уже в первой половине XIX в.; систематическая их теория была заложена на рубеже XIX и XX вв. в работах математиков В. Вольтерры (V. Volterra, 1860–1940), Э. И. Фредгольма (E. I. Fredholm, 1866–1927), Д. Гильберта (D. Hilbert, 1862–1943) и др.

Интегральные уравнения являются одним из наиболее плодотворных средств математического исследования как в чистом, так и в прикладном анализе. Это относится, в частности, к задачам теории механических колебаний и соответствующих областей техники и теоретической физики, где интегральные уравнения не только полезны, но зачастую даже совершенно необходимы для численных расчетов.

Цель настоящей главы — дать студентам и инженерам, имеющим дело с прикладной математикой, первоначальные сведения об интегральных уравнениях, делая упор, главным образом, на практической стороне вопроса. По этой причине от читателя требуется минимум математических знаний (твердые знания основ дифференциального и интегрального исчисления и элементов теории функций вполне достаточны).

Основные классы интегральных уравнений

Интегральные уравнения можно разделить на два больших класса: *линейные* и *нелинейные* интегральные уравнения. Примером линейного уравнения может служить следующее уравнение

$$\varphi(x) - \int_0^1 e^{xy} \varphi(y) dy = x - \frac{e^x}{x} + \frac{e^x - 1}{x^2}, \quad 0 \leq x \leq 1 \quad (7.1)$$

или уравнение

$$\int_0^{\infty} \sin(xy) \varphi(y) dy = f(x), \quad 0 \leq x < \infty. \quad (7.2)$$

Пример нелинейного уравнения:

$$\varphi(x) - \int_0^1 \frac{xy\varphi(y)}{1 + \varphi^2(y)} dy = f(x), \quad 0 \leq x \leq 1.$$

Таким образом, интегральное уравнение называется линейным, если в него неизвестная функция входит линейно.

Решить интегральное уравнение — значит найти такую функцию, которая обращает данное уравнение в верное тождество. Например, решением уравнения (7.1) является функция $\varphi(x) = x$. Действительно, имеем

$$\begin{aligned} \varphi(x) - \int_0^1 e^{-xy} \varphi(y) dy &= x - \int_0^1 e^{-xy} y dy = x - \frac{1}{x} \int_0^1 y d(e^{-xy}) = \\ &= x - \frac{1}{x} \left[ye^{-xy} \Big|_{y=0}^{y=1} - \int_0^1 e^{-xy} dy \right] = x - \frac{e^{-x}}{x} + \frac{e^{-x} - 1}{x^2}, \end{aligned}$$

что и требовалось доказать.

Уравнение (7.2) — синус-преобразование Фурье функции $\varphi(x)$. А тогда по формуле обращения будем иметь

$$\varphi(y) = \frac{2}{\pi} \int_0^{\infty} \sin(xy) f(x) dx, \quad 0 \leq y < \infty. \quad (7.3)$$

Таким образом, формула (7.3) дает решение уравнения (7.2).

Интегральные уравнения подразделяются на *уравнения первого рода* и *уравнения второго рода*. В уравнения первого рода неизвестная функция входит только под знаком интеграла. В уравнения второго рода неизвестная функция входит как под знаком интеграла, так и вне интеграла.

Уравнения первого и второго рода могут быть с постоянными пределами интегрирования, а могут иметь переменный верхний предел. Уравнения с постоянными пределами интегрирования называются *уравнениями Фредгольма*, а уравнения с переменным верхним пределом называются *уравнениями Вольтерры*¹.

Таким образом, линейное интегральное уравнение Фредгольма первого рода имеет вид

¹ В большинстве книг по интегральным уравнениям такие уравнения называются уравнениями Вольтерра (при произношении ударение ставится на букве «е»), то есть фамилия не склоняется. Однако по правилам русского языка иноязычные фамилии мужского рода должны склоняться. Фамилия Вито Вольтерра склоняется, например, в книгах: Большой энциклопедический словарь. Математика. — Москва: Большая Российская энциклопедия, 1998; *Верлань А. Ф., Сизиков В. С.* Интегральные уравнения: методы, алгоритмы, программы. Справ. пособие. — Киев: Наук. думка. 1986.

$$\int_a^b K(x, y) \varphi(y) dy = f(x), \quad a \leq x \leq b.$$

Линейное интегральное уравнение Фредгольма второго рода имеет вид

$$\varphi(x) - \int_a^b K(x, y) \varphi(y) dy = f(x), \quad a \leq x \leq b.$$

Линейное интегральное уравнение Вольтерры первого рода имеет вид

$$\int_a^x K(x, y) \varphi(y) dy = f(x), \quad a \leq x.$$

Линейное интегральное уравнение Вольтерры второго рода имеет вид

$$\varphi(x) - \int_a^x K(x, y) \varphi(y) dy = f(x), \quad a \leq x.$$

Во всех перечисленных уравнениях $\varphi(x)$ — неизвестная искомая функция; $f(x)$ — заданная функция, называемая *свободным членом* интегрального уравнения; $K(x, y)$ — заданная функция, называемая *ядром* интегрального уравнения.

Уравнения второго рода иногда записывают с параметром λ так:

$$\varphi(x) - \lambda \int_a^b K(x, y) \varphi(y) dy = f(x), \quad a \leq x \leq b \quad (7.4)$$

или

$$\varphi(x) - \lambda \int_a^x K(x, y) \varphi(y) dy = f(x), \quad a \leq x. \quad (7.5)$$

Тогда уравнения (7.4) или (7.5) представляют собой не одно уравнение, а семейство уравнений, зависящее от числового параметра. Параметр λ может быть отнесен к ядру уравнения.

Пределы интегрирования a, b могут быть как конечными, так и бесконечными.

В уравнениях Фредгольма обычно предполагают:

- 1) интервал (a, b) — конечен;
- 2) ядро $K(x, y)$ — непрерывно при $a \leq x \leq b, a \leq y \leq b$;
- 3) функция $f(x)$ — непрерывна на $[a, b]$.

В этом случае говорят, что уравнение является *регулярным*. Решение ищется в классе непрерывных функций. Если какое-либо из перечисленных условий нарушено, то уравнение называется *сингулярным*.

Часто накладываются следующие условия

$$\int_a^b \int_a^b |K(x, y)|^2 dx dy < +\infty, \quad (7.6)$$

$$\int_a^b |f(x)|^2 dx < +\infty.$$

Ядра, удовлетворяющие условию (7.6), называют *фредгольмовыми*. В таком случае решение ищется в классе функций, квадрат которых интегрируем.

Если $f(x) = 0$, то интегральное уравнение называется *однородным*, в противном случае оно называется *неоднородным*.

Уравнения Вольтерры более просты, чем уравнения Фредгольма; уравнения второго рода более просты, нежели уравнения первого рода.

Уравнение Вольтерры можно при некоторых ограничениях рассматривать как частный случай уравнения Фредгольма. Ядро $K(x, y)$ в уравнении (7.5) по смыслу задачи определено при $a \leq y \leq x$. Доопределим его при $y > x$, приняв $K(x, y) = 0$, $x < y \leq b$. Тогда уравнение (7.5) можно рассматривать как частный случай уравнения Фредгольма с ядром $K(x, y)$, определенным следующим образом

$$K(x, y) = \begin{cases} K(x, y), & y \leq x, \\ 0, & y > x. \end{cases}$$

При таком определении ядра $K(x, y)$ — интегральное уравнение Фредгольма

$$\varphi(x) - \lambda \int_a^b K(x, y) \varphi(y) dy = f(x)$$

тождественно уравнению Вольтерры (7.5).

Это простое замечание позволяет переносить результаты, полученные для уравнений Фредгольма, на уравнения Вольтерры как на частный случай фредгольмовых уравнений.

Однако уравнения Вольтерры обладают некоторыми свойствами, характерными именно для них.

Нелинейные уравнения настолько разнообразны, что даже их классификация затруднительна. Отметим только нелинейное *уравнение Урысона*

$$\varphi(x) = \int_a^b K(x, y, \varphi(y)) dy.$$

Функция $K(x, y, \varphi)$ обычно предполагается непрерывной при $a \leq x \leq b$, $a \leq y \leq b$; $-M \leq \varphi \leq M$, где $M > 0$ — достаточно большая постоянная.

Нелинейное уравнение Вольтерры

$$\varphi(x) = \int_a^x K(x, y, \varphi(y)) dy,$$

где функция $K(x, y, \varphi)$, например, непрерывна по совокупности аргументов x, y, φ в области $a \leq x \leq b$, $a \leq y \leq b$, $-M \leq \varphi \leq M$.

Мы будем заниматься исключительно линейными уравнениями.

Отметим еще уравнения, в которых интегрирование производится по некоторой поверхности S . В таком случае уравнение Фредгольма первого рода имеет вид

$$\iint_S K(M, N) \varphi(M) ds_M = f(N), \quad N \in S.$$

Здесь индекс M у дифференциала ds_M означает, что дифференцирование выполняется по координатам точки M .

Уравнение Фредгольма второго рода имеет вид

$$\varphi(N) - \iint_S K(M, N) \varphi(M) ds_M = f(N), \quad N \in S.$$

Пример. Распределение заряда по поверхности S проводника в соответствии с законом Кулона определяется уравнением

$$\frac{1}{4\pi\epsilon_0} \iint_S \frac{\sigma(M) ds_M}{|MN|} = V, \quad N \in S,$$

где $\sigma(M)$ — поверхностная плотность заряда, V — потенциал, ϵ_0 — электрическая постоянная.

Наконец, отметим уравнения, содержащие интегралы по контуру в плоскости комплексной переменной. Здесь характерны следующие интегральные уравнения:

$$\frac{1}{2\pi i} \int_{\Gamma} \frac{\varphi(y)}{y - z} dy = f(z), \quad z \in \Gamma, \quad (7.7)$$

$$\varphi(z) - \frac{1}{2\pi i} \int_{\Gamma} \frac{\varphi(y)}{y - z} dy = f(z), \quad z \in \Gamma. \quad (7.8)$$

Ядро $K(y, z) = \frac{1}{y - z}$. Интегралы в (7.7) и (7.8) понимаются в смысле главного значения.

Во всех рассмотренных примерах область изменения переменных x, y была одна и та же. Встречаются также уравнения вида

$$\left. \begin{aligned} \int_a^{\infty} K(x, y) \varphi(y) dy &= f(x), \quad a \leq x < c; \\ \int_a^{\infty} K(x, y) \rho(y) \varphi(y) dy &= g(x), \quad c < x < \infty. \end{aligned} \right\} \quad (7.9)$$

Здесь $K(x, y)$ — ядро; $f(x), g(x)$ — заданные функции; $\rho(y) \geq 0$ — заданная функция. Уравнения типа (7.9) называются *парными интегральными уравнениями*. Возникают такие уравнения при решении краевых задач математической физики со смешанными условиями.

Некоторые классы уравнений, допускающие явное решение при помощи специальных приемов

Уравнения Вольтерры второго рода с ядром, зависящим от разности

Уравнения вида

$$\varphi(x) - \lambda \int_a^x K(x-y)\varphi(y) dy = f(x), \quad a \leq x,$$

а также аналогичные уравнения первого рода

$$\int_a^x K(x-y)\varphi(y) dy = f(x), \quad a \leq x$$

представляют собой важный специальный класс интегральных уравнений Вольтерры, которые обычно называются *уравнениями типа свертки*, так как операция

$$\{K, \varphi\} = \int_a^x K(x-y)\varphi(y) dy$$

представляет собой свертку двух функций K и φ .

Замечим, что, не теряя общности, можно считать нижний предел интегрирования равным нулю: $a = 0$. Действительно, сделав замену переменной $x - a = \xi$, $y - a = \eta$, мы приходим к уравнению

$$\varphi(a + \xi) - \lambda \int_0^{\xi} K(\xi - \eta)\varphi(a + \eta) d\eta = f(\xi), \quad \xi \geq 0.$$

Далее мы будем рассматривать уравнения вида

$$\varphi(x) - \lambda \int_0^x K(x-y)\varphi(y) dy = f(x), \quad x \geq 0. \quad (7.10)$$

Основным средством изучения подобных уравнений служит преобразование Лапласа, поскольку это преобразование при некоторых ограничениях преобразует свертку в обыкновенное произведение. Таким образом, решение интегрального уравнения сводится к обращению преобразования Лапласа.

Применяем преобразование Лапласа к уравнению (7.10). В результате получим

$$\bar{\varphi} - \lambda \bar{K} \bar{\varphi} = \bar{f} \Rightarrow \bar{\varphi}(1 - \lambda \bar{K}) = \bar{f} \Rightarrow \bar{\varphi} = \frac{\bar{f}}{1 - \lambda \bar{K}}. \quad (7.11)$$

Здесь, как обычно, введены обозначения преобразований Лапласа функций

$$\bar{\varphi} = \int_0^{\infty} \varphi(x) e^{-px} dx, \quad \bar{K} = \int_0^{\infty} K(t) e^{-pt} dt, \quad \bar{f} = \int_0^{\infty} f(x) e^{-px} dx.$$

Таким образом, обращая уравнение (7.11), находим

$$\varphi(x) = \frac{1}{2\pi i} \int_L \frac{\bar{f}(p)}{1 - \lambda \bar{K}(p)} e^{px} dp,$$

где прямая L расположена правее особых точек подынтегральной функции.

Рассмотрим преобразование полученного решения. Запишем формулу (7.11) в виде

$$\bar{\varphi} = \frac{\bar{f}}{1 - \lambda \bar{K}} = \bar{f} \frac{(1 - \lambda \bar{K}) + \lambda \bar{K}}{1 - \lambda \bar{K}} = \bar{f} + \frac{\lambda \bar{K}}{1 - \lambda \bar{K}} \bar{f}.$$

Обозначим

$$\bar{R}_\lambda = \frac{\bar{K}}{1 - \lambda \bar{K}}.$$

Тогда

$$\bar{\varphi} = \bar{f} + \lambda \bar{R}_\lambda \bar{f}.$$

Будем рассматривать \bar{R}_λ как преобразование Лапласа некоторой функции

$$\bar{R}_\lambda = \int_0^\infty R_\lambda(t) e^{-pt} dt.$$

Тогда можно записать

$$\varphi(x) = f(x) + \lambda \int_0^x R_\lambda(x-y) f(y) dy. \quad (7.12)$$

Таким образом, если мы знаем функцию $R_\lambda(t)$, то формула (7.12) дает решение нашей задачи.

Имеем

$$R_\lambda(t) = \frac{1}{2\pi i} \int_L \frac{\bar{K}(p)}{1 - \lambda \bar{K}(p)} e^{pt} dp,$$

Функция $R_\lambda(x-y)$ называется *резольвентой интегрального уравнения* (7.10).

ПРИМЕЧАНИЕ

Функция $\bar{K}(p)$ — регулярна в области $\text{Re}(p) \geq c$, $\bar{K}(p) \rightarrow 0$ при $|p| \rightarrow \infty$ равномерно относительно $\text{arg}(p)$ в области $|\text{arg}(p)| \leq \frac{\pi}{2} - \delta$. Следовательно, $\bar{R}_\lambda = \frac{\bar{K}}{1 - \lambda \bar{K}}$ — регулярная функция, если $1 - \lambda \bar{K} \neq 0$, а это так при достаточно больших $\text{Re}(p)$.

Далее $\bar{R}_\lambda(p) \rightarrow 0$ при $|p| \rightarrow \infty$ равномерно относительно $\text{arg}(p)$ в области $|\text{arg}(p)| \leq \frac{\pi}{2} - \delta$.

Таким образом, \bar{R}_λ можно рассматривать как преобразование Лапласа от некоторой функции.

Рассмотрим примеры решений уравнений частного вида.

Пример 1. Рассмотрим уравнение

$$\varphi(x) - \lambda \int_0^x \sin(x-y) \varphi(y) dy = f(x), \quad x \geq 0.$$

Здесь ядро уравнения $K(t) = \sin(t)$. Находим преобразование Лапласа этого ядра $\bar{K} = 1/(p^2 + 1)$. Составляем выражение для функции $\bar{R}_\lambda(p)$ и находим оригинал $R_\lambda(t)$:

$$\bar{R}_\lambda = \frac{\bar{K}}{1 - \lambda \bar{K}} = \frac{1}{p^2 + 1 - \lambda} \Rightarrow R_\lambda(t) = \frac{\sin(t\sqrt{1-\lambda})}{\sqrt{1-\lambda}}.$$

Следовательно, решение нашего уравнения имеет вид

$$\varphi(x) = f(x) + \lambda \int_0^x \frac{\sin[(x-y)\sqrt{1-\lambda}]}{\sqrt{1-\lambda}} f(y) dy.$$

Это решение справедливо при любом λ . Оно представляет собой целую функцию от λ . Если $\lambda = 1$, то нужно раскрыть неопределенность с помощью разложения в ряд.

Пример 2. Рассмотрим уравнение

$$\varphi(x) - \lambda \int_0^x J_0(x-y)\varphi(y) dy = J_0(x), \quad x \geq 0.$$

Здесь ядро уравнения $K(t) = J_0(t)$. Имеем $\bar{K} = \bar{f} = 1/\sqrt{p^2 + 1}$.

Применяем преобразование Лапласа к нашему уравнению. Будем иметь

$$\bar{\varphi} = \frac{\bar{f}}{1 - \lambda \bar{K}} = \frac{1}{\sqrt{p^2 + 1} - \lambda}.$$

Рассмотрим частный случай, когда $\lambda = 1$. Будем иметь

$$\begin{aligned} \bar{\varphi} &= \frac{1}{\sqrt{p^2 + 1} - 1} = \frac{\sqrt{p^2 + 1} + 1}{p^2} = \frac{1}{p^2} + \frac{\sqrt{p^2 + 1}}{p^2} = \\ &= \frac{1}{p^2} + \frac{p^2 + 1}{p^2 \sqrt{p^2 + 1}} = \frac{1}{p^2} + \frac{1}{\sqrt{p^2 + 1}} + \frac{1}{p^2 \sqrt{p^2 + 1}} = \\ &= \bar{f}_1 + \bar{f}_2 + \bar{f}_1 \bar{f}_2, \end{aligned}$$

где введены обозначения

$$\bar{f}_1 = \frac{1}{p^2}, \quad \bar{f}_2 = \frac{1}{\sqrt{p^2 + 1}}.$$

Отсюда находим

$$f_1(x) = x, \quad f_2(x) = J_0(x).$$

Теперь можно записать решение нашего уравнения

$$\varphi(x) = x + J_0(x) + \int_0^x (x-y) J_0(y) dy.$$

Уравнения Вольтерры первого рода с ядром, зависящим от разности. Уравнения Абеля

Речь идет о решении уравнений вида

$$\int_0^x K(x-y)\varphi(y)dy = f(x), \quad x \geq 0. \quad (7.13)$$

Можно и в этом случае воспользоваться преобразованием Лапласа. Будем иметь

$$\overline{K}\overline{\varphi} = \overline{f} \Rightarrow \overline{\varphi} = \frac{\overline{f}}{\overline{K}}. \quad (7.14)$$

Откуда находим

$$\varphi(x) = \frac{1}{2\pi i} \int_L \frac{\overline{f}(p)}{\overline{K}(p)} e^{px} dp, \quad (7.15)$$

где прямая L расположена правее особых точек подынтегральной функции.

Может, однако, оказаться так, что $\overline{\varphi}$ не будет стремиться к нулю при $|p| \rightarrow \infty$. Тогда формула (7.15) теряет смысл. Отсюда вытекает дополнительное условие разрешимости с помощью преобразования Лапласа рассматриваемого уравнения (7.13)

$$\overline{\varphi}|_L = \frac{\overline{f}}{\overline{K}} \Big|_L \xrightarrow{|p| \rightarrow \infty} 0. \quad (7.16)$$

Выполнение условия (7.16) зависит от вида функций f и K . Таким образом, метод преобразования Лапласа не всегда применим к решению подобных уравнений.

Уравнение Абеля

Так называется уравнение вида

$$\int_0^x \frac{\varphi(y)}{(x-y)^\alpha} dy = f(x), \quad x \geq 0, \quad 0 < \alpha < 1. \quad (7.17)$$

Здесь ядро зависит от разности и имеет вид $K(t) = t^{-\alpha}$. Откуда находим $\overline{K} = \Gamma(1-\alpha)/p^{1-\alpha}$. Следовательно, согласно формуле (7.14), будем иметь

$$\overline{\varphi} = \frac{p^{1-\alpha} \overline{f}}{\Gamma(1-\alpha)}.$$

Так как $1-\alpha > 0$, то условие (7.16) принимает вид $p^{1-\alpha} \overline{f}|_L \rightarrow 0$ при $|p| \rightarrow \infty$. Будем считать, что это условие выполнено. Тогда

$$\varphi(x) = \frac{1}{\Gamma(1-\alpha)} \frac{1}{2\pi i} \int_L \overline{f}(p) p^{1-\alpha} e^{px} dp. \quad (7.18)$$

Перепишем формулу (7.18) в виде

$$\varphi(x) = \frac{1}{\Gamma(1-\alpha)} \frac{d}{dx} \frac{1}{2\pi i} \int_L \bar{f}(p) p^{-\alpha} e^{px} dp. \quad (7.19)$$

Теперь можно воспользоваться формулой для свертки. Примем $\bar{g} = 1/p^\alpha$. Тогда $g(x) = x^{-1+\alpha}/\Gamma(\alpha)$. Таким образом, из (7.19) находим

$$\varphi(x) = \frac{1}{\Gamma(\alpha)\Gamma(1-\alpha)} \frac{d}{dx} \int_0^x f(y)(x-y)^{-1+\alpha} dy.$$

Учитывая формулу

$$\Gamma(\alpha)\Gamma(1-\alpha) = \frac{\pi}{\sin(\pi\alpha)},$$

получим окончательно

$$\varphi(x) = \frac{\sin(\pi\alpha)}{\pi} \frac{d}{dx} \int_0^x \frac{f(y)}{(x-y)^{1-\alpha}} dy. \quad (7.20)$$

В частном случае при $\alpha = 1/2$ будем иметь уравнение

$$\int_0^x \frac{\varphi(y)}{\sqrt{x-y}} dy = f(x) \quad (7.21)$$

и, соответственно,

$$\varphi(x) = \frac{1}{\pi} \frac{d}{dx} \int_0^x \frac{f(y)}{\sqrt{x-y}} dy. \quad (7.22)$$

Формулы (7.17) и (7.20) (а также (7.21) и (7.22)) можно рассматривать как некоторое интегральное преобразование и его обращение.

Рассмотрим еще уравнение вида

$$\int_0^x \frac{\varphi(y)}{\sqrt{x^2 - y^2}} dy = f(x), \quad x \geq 0.$$

Это уравнение может быть сведено к уравнению Абеля. Действительно, сделаем замену переменных $x^2 = \xi, y^2 = \eta$. Будем иметь

$$\int_0^\xi \frac{\varphi(\sqrt{\eta})}{\sqrt{\xi-\eta}} \frac{d\eta}{2\sqrt{\eta}} = f(\sqrt{\xi}) \Rightarrow \int_0^\xi \frac{\varphi(\sqrt{\eta})}{2\sqrt{\eta}} \frac{d\eta}{\sqrt{\xi-\eta}} = f(\sqrt{\xi}).$$

Обозначим

$$\varphi^*(\eta) = \frac{\varphi(\sqrt{\eta})}{2\sqrt{\eta}}, \quad f^*(\xi) = f(\sqrt{\xi}).$$

Тогда будем иметь уравнение

$$\int_0^\xi \frac{\varphi^*(\eta)}{\sqrt{\xi-\eta}} d\eta = f^*(\xi),$$

совпадающее с уравнением (7.21). Его решение имеет вид

$$\frac{\varphi(\sqrt{\xi})}{2\sqrt{\xi}} = \frac{1}{\pi} \frac{d}{d\xi} \int_0^{\xi} \frac{f(\sqrt{\eta})}{\sqrt{\xi-\eta}} d\eta.$$

Возвращаясь к старым переменным, получим

$$\varphi(x) = \frac{2}{\pi} \frac{d}{dx} \int_0^x \frac{f(y)}{\sqrt{x^2-y^2}} dy.$$

Уравнения Фредгольма с ядром, зависящим от разности и пределами от $-\infty$ до $+\infty$

Рассмотрим уравнение следующего вида:

$$\varphi(x) - \lambda \int_{-\infty}^{+\infty} K(x-y)\varphi(y) dy = f(x), \quad -\infty < x < +\infty. \quad (7.23)$$

Это уравнение также относится к уравнениям типа свертки; здесь операция

$$\{K, \varphi\} = \int_{-\infty}^{+\infty} K(x-y)\varphi(y) dy$$

представляет собой свертку двух функций K и φ .

Поэтому для решения уравнения (7.23) удобно воспользоваться преобразованием Фурье. Умножим уравнение (7.23) на e^{isx} и проинтегрируем по интервалу $(-\infty, +\infty)$. Получим

$$\tilde{\varphi} - \lambda \tilde{K} \tilde{\varphi} = \tilde{f}. \quad (7.24)$$

Здесь введены обозначения

$$\tilde{K}(s) = \int_{-\infty}^{+\infty} K(t) e^{ist} dt,$$

$$\tilde{f}(s) = \int_{-\infty}^{+\infty} f(x) e^{isx} dx,$$

$$\tilde{\varphi}(s) = \int_{-\infty}^{+\infty} \varphi(x) e^{isx} dx.$$

Из уравнения (7.24) находим

$$\tilde{\varphi} = \frac{\tilde{f}}{1 - \lambda \tilde{K}}.$$

Отсюда по формуле обращения получим

$$\varphi(x) = \frac{1}{2\pi} \int_{-\infty}^{+\infty} \frac{\tilde{f}}{1 - \lambda \tilde{K}} e^{-isx} ds.$$

Так же как и в случае уравнения Вольтерры, здесь тоже иногда удобно пользоваться резольвентой. Можно записать

$$\tilde{\varphi} = \frac{\tilde{f}}{1 - \lambda \tilde{K}} = \tilde{f} + \lambda \tilde{f} \frac{\tilde{K}}{1 - \lambda \tilde{K}} = \tilde{f} + \lambda \tilde{f} \tilde{R}_\lambda,$$

где

$$\tilde{R}_\lambda = \frac{\tilde{K}}{1 - \lambda \tilde{K}}.$$

Будем рассматривать \tilde{R}_λ как преобразование Фурье некоторой функции

$$\begin{aligned} \tilde{R}_\lambda(s) &= \int_{-\infty}^{+\infty} R_\lambda(t) e^{ist} dt, \\ R_\lambda(t) &= \frac{1}{2\pi} \int_{-\infty}^{+\infty} \tilde{R}_\lambda(s) e^{-ist} ds. \end{aligned}$$

Тогда можно записать

$$\varphi(x) = f(x) + \lambda \int_{-\infty}^{+\infty} R_\lambda(x-y) f(y) dy. \quad (7.25)$$

Таким образом, если мы знаем функцию $R_\lambda(t)$, то формула (7.25) дает решение нашей задачи. Функция $R_\lambda(x-y)$ называется резольвентой интегрального уравнения (7.23).

Очевидно, для разрешимости уравнения (7.23) необходимо выполнение условия

$$1 - \lambda \tilde{K}(s) \neq 0, \quad -\infty < s < +\infty. \quad (7.26)$$

Такое условие не требовалось при рассмотрении уравнений Вольтерры второго рода (путь интегрирования в интеграле Римана–Меллина проходил правее всех особых точек подынтегральной функции, где $1 - \lambda \tilde{K}(p) \neq 0$).

Таким образом, из формулы (7.26) видно, что уравнение Фредгольма (7.23) разрешимо не при всех значениях параметра λ .

Пример. Рассмотрим уравнение

$$\varphi(x) - \lambda \int_{-\infty}^{+\infty} e^{-|x-y|} \varphi(y) dy = f(x), \quad -\infty < x < +\infty. \quad (7.27)$$

Здесь ядро имеет вид $K(t) = e^{-|t|}$. Имеем

$$\begin{aligned} \tilde{K}(s) &= \int_{-\infty}^{+\infty} K(t) e^{ist} dt = \int_{-\infty}^{+\infty} e^{-|t|} [\cos(st) + i \sin(st)] dt = \\ &= 2 \int_0^{+\infty} e^{-t} \cos(st) dt = \frac{2}{1+s^2} \quad (|t| = t, \quad t > 0). \end{aligned}$$

Отсюда находим

$$R_\lambda(t) = \frac{1}{2\pi} \int_{-\infty}^{+\infty} \frac{2e^{-is}}{s^2 + (1-2\lambda)} ds. \quad (7.28)$$

Условие разрешимости: $s^2 + (1-2\lambda) \neq 0 \Rightarrow \lambda < \frac{1}{2}$.

Из формулы (7.28)¹ находим

$$R_\lambda(t) = \frac{2}{\pi} \int_0^\infty \frac{\cos(st)}{s^2 + (1-2\lambda)} ds = e^{-|t|\sqrt{1-2\lambda}} \frac{1}{\sqrt{1-2\lambda}}.$$

Таким образом, резольвента интегрального уравнения (7.27) имеет вид

$$R_\lambda(x-y) = e^{-|x-y|\sqrt{1-2\lambda}} \frac{1}{\sqrt{1-2\lambda}}.$$

Решение уравнения (7.27) дается формулой

$$\varphi(x) = f(x) + \frac{\lambda}{\sqrt{1-2\lambda}} \int_{-\infty}^{+\infty} e^{-|x-y|\sqrt{1-2\lambda}} f(y) dy.$$

причем $\lambda < \frac{1}{2}$.

ПРИМЕЧАНИЕ

Относительно уравнений Фредгольма с ядром, зависящим от разности, но с другими пределами интегрирования можно высказать следующее. Рассмотрим уравнения вида

$$\varphi(x) - \lambda \int_0^{+\infty} K(x-y)\varphi(y) dy = f(x), \quad 0 \leq x < +\infty \quad (7.29)$$

или

$$\varphi(x) - \lambda \int_a^b K(x-y)\varphi(y) dy = f(x), \quad a \leq x \leq b, \quad (7.30)$$

где a, b — любые.

Уравнение (7.29) относится к классу уравнений, которые допускают решение в явном виде. Такое решение получается с помощью преобразования Фурье и методов теории функций комплексной переменной. Метод решения называется методом Винера—Хопфа. Уравнение (7.30), вообще говоря, не решается в явном виде.

Степень сложности решения интегрального уравнения зависит от структуры ядра, а также от пределов интегрирования.

Уравнения Фредгольма с ядрами, зависящими от суммы и произведения

Рассматриваются уравнения следующего вида:

¹ Здесь мы воспользовались формулой $\int_0^{+\infty} \frac{\cos(bx)}{x^2 + a^2} dx = \frac{\pi}{2a} e^{-ab}$, $a > 0$, $b > 0$.

$$\varphi(x) - \lambda \int_{-\infty}^{+\infty} K(x+y)\varphi(y) dy = f(x), \quad -\infty < x < +\infty, \quad (7.31)$$

$$\varphi(x) - \lambda \int_0^{+\infty} K(xy)\varphi(y) dy = f(x), \quad 0 \leq x < +\infty. \quad (7.32)$$

Покажем, что уравнение вида (7.31) решается с помощью преобразования Фурье. Применим преобразование Фурье к уравнению (7.31). Получим

$$\tilde{\varphi}(s) - \lambda \int_{-\infty}^{+\infty} e^{isx} dx \int_{-\infty}^{+\infty} K(x+y)\varphi(y) dy = \tilde{f}(s).$$

Можно записать

$$\int_{-\infty}^{+\infty} e^{isx} dx \int_{-\infty}^{+\infty} K(x+y)\varphi(y) dy = \int_{-\infty}^{+\infty} \varphi(y) dy \int_{-\infty}^{+\infty} K(x+y) e^{isx} dx.$$

Сделаем замену переменной по формуле $x+y=t$. Получим

$$\begin{aligned} \int_{-\infty}^{+\infty} \varphi(y) dy \int_{-\infty}^{+\infty} K(x+y) e^{isx} dx &= \int_{-\infty}^{+\infty} \varphi(y) dy \int_{-\infty}^{+\infty} K(t) e^{is(t-y)} dt = \\ &= \int_{-\infty}^{+\infty} \varphi(y) e^{-isy} dy \int_{-\infty}^{+\infty} K(t) e^{ist} dt = \tilde{\varphi}(-s) \tilde{K}(s). \end{aligned}$$

Таким образом, будем иметь уравнение для трансформанты Фурье

$$\tilde{\varphi}(s) - \lambda \tilde{\varphi}(-s) \tilde{K}(s) = \tilde{f}(s). \quad (7.33)$$

Соотношение (7.33) верно при всех $s \in (-\infty, +\infty)$. Заменяв s на $(-s)$, получим

$$\tilde{\varphi}(-s) - \lambda \tilde{\varphi}(s) \tilde{K}(-s) = \tilde{f}(-s). \quad (7.34)$$

Умножим теперь (7.34) на $\lambda \tilde{K}(s)$ и сложим результат с (7.33). Получим

$$\tilde{\varphi}(s) - \lambda^2 \tilde{\varphi}(s) \tilde{K}(s) \tilde{K}(-s) = \tilde{f}(s) + \lambda \tilde{f}(-s) \tilde{K}(s).$$

Откуда находим

$$\tilde{\varphi}(s) = \frac{\tilde{f}(s) + \lambda \tilde{f}(-s) \tilde{K}(s)}{1 - \lambda^2 \tilde{K}(s) \tilde{K}(-s)}. \quad (7.35)$$

Следовательно, решение уравнения (7.31) можно найти по формуле

$$\varphi(x) = \frac{1}{2\pi} \int_{-\infty}^{+\infty} \frac{\tilde{f}(s) + \lambda \tilde{f}(-s) \tilde{K}(s)}{1 - \lambda^2 \tilde{K}(s) \tilde{K}(-s)} e^{-isx} ds.$$

Здесь, конечно, также должно выполняться условие разрешимости

$$1 - \lambda^2 \tilde{K}(s) \tilde{K}(-s) \neq 0, \quad -\infty < s < +\infty.$$

Что касается уравнения (7.32), то отметим только, что с помощью соответствующей замены переменных оно может быть сведено к уравнению вида (7.31). Кроме того, уравнение вида (7.32) можно решать с помощью преобразования Меллина [23]

$$\hat{\varphi}(s) = \int_0^{+\infty} x^{s-1} \varphi(x) dx, \quad \varphi(x) = \frac{1}{2\pi i} \int_{c-i\infty}^{c+i\infty} x^{-s} \hat{\varphi}(s) ds.$$

Здесь предполагается, что интеграл

$$\int_0^{+\infty} x^{k-1} |\varphi(x)| dx$$

ограничен для некоторого $k > 0$ и $c > k$.

Интегральные уравнения Фредгольма с вырожденным ядром

Существует класс интегральных уравнений, которые легко сводятся к линейным алгебраическим уравнениям. Такими интегральными уравнениями являются уравнения с так называемыми *вырожденными ядрами*.

Рассмотрим уравнение общего вида

$$\varphi(x) - \lambda \int_a^b K(x, y) \varphi(y) dy = f(x), \quad a \leq x \leq b. \quad (7.36)$$

Мы скажем, что ядро этого уравнения вырождено, если его можно представить в виде

$$K(x, y) = \sum_{i=1}^N \alpha_i(x) \beta_i(y). \quad (7.37)$$

Здесь α_i и β_i — непрерывные функции; N — конечно.

Приведем примеры вырожденных ядер. Вырожденными ядрами будут функции

$$K(x, y) = (x + y)^2,$$

$$K(x, y) = \cos(x + y),$$

$$K(x, y) = \sin^3(x + y),$$

$$K(x, y) = P(x, y)$$

где $P(x, y)$ — произвольный полином. Наоборот, ядра

$$K(x, y) = e^{xy}$$

и

$$K(x, y) = \frac{1}{1 + (x + y)^2}$$

не являются вырожденными.

Уравнения с вырожденным ядром допускают явное решение. Более того, решение уравнения общего вида можно аппроксимировать решением уравнения с вырожденным ядром.

Рассмотрим уравнение (7.36) с вырожденным ядром (7.37). Будем считать, что функция $f(x)$ непрерывна, и предположим, что существует решение уравнения (7.36) в классе непрерывных функций. Подставим формулу (7.37) в уравнение (7.36). Получим

$$\varphi(x) - \lambda \int_a^b \left[\sum_{i=1}^N \alpha_i(x) \beta_i(y) \right] \varphi(y) dy = f(x) \Rightarrow$$

$$\varphi(x) - \lambda \sum_{i=1}^N \alpha_i(x) \int_a^b \beta_i(y) \varphi(y) dy = f(x).$$

Обозначим константы

$$C_i = \int_a^b \beta_i(y) \varphi(y) dy.$$

Тогда

$$\varphi(x) - \lambda \sum_{i=1}^N \alpha_i(x) C_i = f(x). \quad (7.38)$$

Отметим, что в формуле (7.38) функция $f(x)$ задана, $\alpha_i(x)$ — известные функции. Таким образом, задача сводится к определению числовых коэффициентов C_i . Если константы C_i найдены, то решение нашей задачи определяется по формуле

$$\varphi(x) = f(x) + \lambda \sum_{i=1}^N C_i \alpha_i(x).$$

Ясно, что функция $\varphi(x)$ непрерывна на отрезке $[a, b]$.

Чтобы найти коэффициенты C_i , умножим уравнение (7.38) на функции $\beta_k(x)$ и проинтегрируем от a до b . Получим

$$\int_a^b \varphi(x) \beta_k(x) dx - \lambda \sum_{i=1}^N C_i \int_a^b \alpha_i(x) \beta_k(x) dx = \int_a^b f(x) \beta_k(x) dx. \quad (7.39)$$

Обозначим числовые константы

$$C_k = \int_a^b \varphi(x) \beta_k(x) dx, \quad \alpha_{ik} = \int_a^b \alpha_i(x) \beta_k(x) dx, \quad f_k = \int_a^b f(x) \beta_k(x) dx. \quad (7.40)$$

Тогда из уравнения (7.39) получим

$$C_k - \lambda \sum_{i=1}^N \alpha_{ik} C_i = f_k, \quad k = 1, 2, \dots, N. \quad (7.41)$$

Совокупность уравнений (7.41) — система N линейных уравнений относительно N неизвестных C_i . Образует определитель системы (7.41)

$$D(\lambda) = \begin{vmatrix} 1 - \lambda\alpha_{11} & -\lambda\alpha_{21} & \cdots & -\lambda\alpha_{N1} \\ -\lambda\alpha_{12} & 1 - \lambda\alpha_{22} & \cdots & -\lambda\alpha_{N2} \\ \cdots & \cdots & \cdots & \cdots \\ -\lambda\alpha_{1N} & -\lambda\alpha_{2N} & \cdots & 1 - \lambda\alpha_{NN} \end{vmatrix}.$$

Ясно, что определитель $D(\lambda)$ — полином степени $n \leq N$ относительно λ . Рассмотрим уравнение

$$D(\lambda) = 0. \quad (7.42)$$

Это уравнение будет иметь n корней. Обозначим корни уравнения (7.42) через λ_s , $s = 1, 2, \dots, n$.

1. Пусть параметр λ в уравнении (7.36) не совпадает ни с одним из корней уравнения (7.42), то есть $\lambda \neq \lambda_s$, $s = 1, 2, \dots, n$. Это означает, что $D(\lambda) \neq 0$; система (7.41) разрешима и имеет единственное решение. Это решение может быть записано в виде (формулы Крамера)

$$C_i = \frac{D_i(\lambda)}{D(\lambda)}, \quad i = 1, 2, \dots, N,$$

где определители $D_i(\lambda)$ получаются из определителя $D(\lambda)$ заменой i -го столбца столбцом свободных членов $(f_1, f_2, \dots, f_N)^T$

$$D_i(\lambda) = \begin{vmatrix} 1 - \lambda\alpha_{11} & -\lambda\alpha_{21} & \cdots & f_1 & \cdots & -\lambda\alpha_{N1} \\ -\lambda\alpha_{12} & 1 - \lambda\alpha_{22} & \cdots & f_2 & \cdots & -\lambda\alpha_{N2} \\ \cdots & \cdots & \cdots & \cdots & \cdots & \cdots \\ -\lambda\alpha_{1N} & -\lambda\alpha_{2N} & \cdots & f_N & \cdots & 1 - \lambda\alpha_{NN} \end{vmatrix}.$$

Заметим, что определители $D_i(\lambda)$ — полиномы относительно λ .

Таким образом, в этом случае решение нашей задачи может быть записано в виде

$$\varphi(x) = f(x) + \lambda \sum_{i=1}^N \frac{D_i(\lambda)}{D(\lambda)} \alpha_i(x). \quad (7.43)$$

Итак, если $\lambda \neq \lambda_s$, $s = 1, 2, \dots, n$, где λ_s — корни уравнения (7.42), то интегральное уравнение (7.36) с вырожденным ядром (7.37) имеет решение, и притом единственное, которое задается формулой (7.43).

Преобразуем полученное решение (7.43). Для этого разложим определитель $D_i(\lambda)$ по элементам i -го столбца

$$D_i(\lambda) = \sum_{k=1}^N (-1)^{i+k} D_{ik}(\lambda) f_k, \quad (7.44)$$

где $D_{ik}(\lambda)$ — миноры соответствующего элемента определителя $D_i(\lambda)$. Подставим (7.44) в (7.43), получим

$$\varphi(x) = f(x) + \lambda \sum_{i=1}^N \sum_{k=1}^N (-1)^{i+k} \frac{D_{ik}(\lambda)}{D(\lambda)} f_k \alpha_i(x). \quad (7.45)$$

Теперь в формулу (7.45) вместо констант f_k подставим интеграл (7.40) и поменяем знаки сумм и интеграла (суммы конечные). Получим

$$\varphi(x) = f(x) + \lambda \int_a^b f(y) dy \underbrace{\sum_{i=1}^N \sum_{k=1}^N (-1)^{i+k} \frac{D_{ik}(\lambda)}{D(\lambda)} \alpha_i(x) \beta_k(y)}_{R_\lambda(x,y)}.$$

Обозначим

$$R_\lambda(x,y) = \sum_{i=1}^N \sum_{k=1}^N (-1)^{i+k} \frac{D_{ik}(\lambda)}{D(\lambda)} \alpha_i(x) \beta_k(y).$$

Тогда решение нашей задачи можно записать в виде

$$\varphi(x) = f(x) + \lambda \int_a^b R_\lambda(x,y) f(y) dy, \quad \lambda \neq \lambda_s.$$

Очевидно, полученное решение — непрерывная функция в $[a, b]$.

Выражение для резольвенты $R_\lambda(x,y)$ можно записать так:

$$R_\lambda(x,y) = \sum_{i=1}^N \frac{\alpha_i(x)}{D(\lambda)} \sum_{k=1}^N (-1)^{i+k} D_{ik}(\lambda) \beta_k(y) =$$

$$= \frac{1}{D(\lambda)} \sum_{i=1}^N \alpha_i(x) \begin{vmatrix} 1 - \lambda \alpha_{11} & -\lambda \alpha_{21} & \cdots & \beta_1(y) \cdots & -\lambda \alpha_{N1} \\ -\lambda \alpha_{12} & 1 - \lambda \alpha_{22} & \cdots & \beta_2(y) \cdots & -\lambda \alpha_{N2} \\ \cdots & \cdots & \cdots & \cdots & \cdots \\ -\lambda \alpha_{1N} & -\lambda \alpha_{2N} & \cdots & \beta_N(y) \cdots & 1 - \lambda \alpha_{NN} \end{vmatrix}. \quad (7.46)$$

Формула (7.46) совпадает по структуре с формулой (7.37).

2. Пусть параметр λ в уравнении (7.36) совпадает с одним из корней уравнения (7.42), то есть $\lambda = \lambda_s$. Это означает, что $D(\lambda) = 0$; система (7.41) не разрешима при произвольных правых частях. Поэтому интегральное уравнение (7.36) не разрешимо при произвольной функции $f(x)$. Если же $D_i(\lambda_s) = 0$, $D(\lambda_s) = 0$, то система (7.41) имеет бесчисленное множество решений. Интегральное уравнение (7.36) также будет иметь бесконечное множество решений.

Окончательно результат можно сформулировать в виде следующей теоремы.

ТЕОРЕМА. *Интегральное уравнение (7.36) с вырожденным ядром (7.37) имеет единственное решение, если параметр λ отличен от корней характеристического уравнения $D(\lambda) = 0$; не имеет решений или имеет бесчисленное множество решений, если параметр λ совпадает с каким-нибудь из корней уравнения $D(\lambda) = 0$.*

Случай бесконечного множества решений реализуется, когда числитель и знаменатель в формулах Крамера обращаются в нуль, в частности, когда $f_k = 0$, $k = 1, 2, \dots, N$, то есть система (7.41) — однородная. Равенство $f_k = 0$ означает, что либо $f(x) = 0$, либо $f(x) \neq 0$, но $f(x)$ ортогональна ко всем функциям $\beta_k(x)$ на отрезке $[a, b]$.

Примеры

Пример 1. Рассмотрим уравнение

$$\varphi(x) - \lambda \int_0^1 xy \varphi(y) dy = f(x), \quad 0 \leq x \leq 1. \quad (7.47)$$

Здесь ядро $K(x, y) = xy$ — вырожденное.

Имеем

$$\varphi(x) - \lambda \underbrace{\int_0^1 y \varphi(y) dy}_{C_1} = f(x) \Rightarrow \varphi(x) = f(x) + \lambda C_1 x, \quad (7.48)$$

$$C_1 = \int_0^1 y \varphi(y) dy.$$

Умножим (7.48) на x и проинтегрируем от 0 до 1. Получим

$$\int_0^1 x \varphi(x) dx = \int_0^1 x f(x) dx + \lambda C_1 \int_0^1 x^2 dx \Rightarrow$$

$$C_1 \left(1 - \frac{\lambda}{3}\right) = \int_0^1 x f(x) dx = f_1. \quad (7.49)$$

Характеристическое уравнение в нашем случае имеет вид $D(\lambda) = 1 - \frac{\lambda}{3}$.

1. Пусть $\lambda \neq 3$. Тогда $D(\lambda) \neq 0$ и, следовательно,

$$C_1 = \frac{f_1}{1 - \frac{\lambda}{3}}$$

Отсюда находим

$$\varphi(x) = f(x) + \frac{f_1}{1 - \frac{\lambda}{3}} \lambda x, \quad \lambda \neq 3$$

или

$$\varphi(x) = f(x) + \frac{\lambda x}{1 - \frac{\lambda}{3}} \int_0^1 y f(y) dy \Rightarrow$$

$$\varphi(x) = f(x) + \lambda \int_0^1 \frac{xy}{1 - \frac{\lambda}{3}} f(y) dy.$$

Здесь резольвента $R_\lambda(x, y) = \frac{xy}{1 - \frac{\lambda}{3}}, \lambda \neq 3$.

2. Пусть теперь $\lambda = 3$. Тогда, если $f_1 \neq 0$, то уравнение (7.49) не имеет решений. Если же

$$f_1 = \int_0^1 xf(x) dx = 0,$$

то уравнение (7.49) — верное тождество, C_1 — произвольно; решение интегрального уравнения (7.47) будет иметь вид

$$\varphi(x) = f(x) + \lambda C_1 x.$$

Пример 2. Рассмотрим уравнение

$$\varphi(x) - \lambda \int_0^1 (x+y)\varphi(y) dy = f(x), \quad 0 \leq x \leq 1. \quad (7.50)$$

Здесь ядро $K(x, y) = x + y$ — вырожденное.

Имеем

$$\begin{aligned} \varphi(x) - \lambda x \underbrace{\int_0^1 \varphi(y) dy}_{C_1} - \lambda \underbrace{\int_0^1 y\varphi(y) dy}_{C_2} &= f(x) \Rightarrow \\ \varphi(x) - \lambda C_1 x - \lambda C_2 &= f(x), \\ C_1 &= \int_0^1 \varphi(y) dy, \quad C_2 = \int_0^1 y\varphi(y) dy. \end{aligned} \quad (7.51)$$

Проинтегрируем уравнение (7.51) от 0 до 1. Получим

$$\underbrace{\int_0^1 \varphi(x) dx}_{=C_1} - \lambda C_1 \int_0^1 x dx - \lambda C_2 \int_0^1 dx = \underbrace{\int_0^1 f(x) dx}_{=f_1}. \quad (7.52)$$

Умножим (7.51) на x и проинтегрируем от 0 до 1. Получим

$$\underbrace{\int_0^1 x\varphi(x) dx}_{=C_2} - \lambda C_1 \int_0^1 x^2 dx - \lambda C_2 \int_0^1 x dx = \underbrace{\int_0^1 xf(x) dx}_{=f_2}.$$

Таким образом, мы будем иметь систему линейных алгебраических уравнений относительно констант C_1 и C_2

$$C_1 \left(1 - \frac{\lambda}{2}\right) - \lambda C_2 = f_1, \quad -\frac{\lambda}{3} C_1 + C_2 \left(1 - \frac{\lambda}{2}\right) = f_2. \quad (7.53)$$

Здесь введены обозначения

$$f_1 = \int_0^1 f(x) dx, \quad f_2 = \int_0^1 xf(x) dx.$$

Определитель системы (7.53) равен

$$D(\lambda) = \begin{vmatrix} 1 - \frac{\lambda}{2} & -\lambda \\ -\frac{\lambda}{3} & 1 - \frac{\lambda}{2} \end{vmatrix} = 1 - \lambda - \frac{\lambda^2}{12}.$$

Вычислим также определители

$$D_1(\lambda) = \begin{vmatrix} f_1 & -\lambda \\ f_2 & 1 - \frac{\lambda}{2} \end{vmatrix} = \left(1 - \frac{\lambda}{2}\right)f_1 + \lambda f_2.$$

$$D_2(\lambda) = \begin{vmatrix} 1 - \frac{\lambda}{2} & f_1 \\ -\frac{\lambda}{3} & f_2 \end{vmatrix} = \left(1 - \frac{\lambda}{2}\right)f_2 + \frac{\lambda}{3}f_1.$$

Найдем корни характеристического уравнения

$$D(\lambda) = 1 - \lambda - \frac{\lambda^2}{12} = 0 \Rightarrow \lambda_{1,2} = -6 \pm 4\sqrt{3}.$$

1. Пусть $\lambda \neq \lambda_{1,2}$. Тогда $D(\lambda) \neq 0$ и, следовательно, система (7.53) однозначно разрешима

$$C_1 = \frac{D_1}{D} = \frac{\left(1 - \frac{\lambda}{2}\right)f_1 + \lambda f_2}{D}, \quad C_2 = \frac{D_2}{D} = \frac{\left(1 - \frac{\lambda}{2}\right)f_2 + \frac{\lambda}{3}f_1}{D}.$$

Решение нашей задачи будет иметь вид

$$\varphi(x) = f(x) + \lambda \frac{\left(1 - \frac{\lambda}{2}\right)f_1 x + \lambda f_2 x + \left(1 - \frac{\lambda}{2}\right)f_2 + \frac{\lambda}{3}f_1}{D(\lambda)}$$

или, окончательно,

$$\varphi(x) = f(x) + \lambda \int_0^1 \frac{\lambda xy + \left(1 - \frac{\lambda}{2}\right)(x+y) + \frac{\lambda}{3}}{1 - \lambda - \frac{\lambda^2}{12}} f(y) dy, \quad \lambda \neq \lambda_{1,2}.$$

Резольвента уравнения (7.50)

$$R_\lambda(x, y) = \frac{\lambda xy + \left(1 - \frac{\lambda}{2}\right)(x+y) + \frac{\lambda}{3}}{1 - \lambda - \frac{\lambda^2}{12}}.$$

Видим, что решение уравнения (7.50) и его резольвента — суть рациональные функции от параметра λ .

2. Пусть теперь $\lambda = \lambda_1$ или $\lambda = \lambda_2$. Тогда при произвольной функции $f(x)$ решений нет. Рассмотрим случай, когда $f_1 = f_2 = 0$, то есть

$$f_1 = \int_0^1 f(x) dx = 0, \quad f_2 = \int_0^1 xf(x) dx = 0.$$

В этом случае система (7.53) будет иметь вид

$$C_1 \left(1 - \frac{\lambda}{2}\right) - \lambda C_2 = 0, \quad -\frac{\lambda}{3} C_1 + C_2 \left(1 - \frac{\lambda}{2}\right) = 0. \quad (7.54)$$

Из первого уравнения системы (7.54) находим

$$\lambda_{1,2} C_2 = C_1 \left(1 - \frac{\lambda_{1,2}}{2}\right). \quad (7.55)$$

Подставим соотношение (7.55) в формулу (7.51); получим

$$\varphi(x) = f(x) + \lambda_{1,2} C_1 x + C_1 \left(1 - \frac{\lambda_{1,2}}{2}\right),$$

или окончательно решение принимает вид

$$\varphi(x) = f(x) + C_1 \left[\lambda_{1,2} x + 1 - \frac{\lambda_{1,2}}{2} \right],$$

где C_1 — произвольно.

Таким образом, в этом случае будем иметь бесчисленное множество решений.

Общее решение уравнения Вольтерры разложением в ряд по степеням параметра λ

Рассматривается уравнение

$$\varphi(x) - \lambda \int_a^x K(x, y) \varphi(y) dy = f(x), \quad a \leq x. \quad (7.56)$$

Будем предполагать, что:

- 1) функция $f(x)$ непрерывна в $[a, +\infty)$;
- 2) функция $K(x, y)$ непрерывна для $x \in [a, +\infty)$, $y \in [a, +\infty)$.

Решение уравнения (7.56) будем искать в виде

$$\varphi(x) = \sum_{n=0}^{\infty} C_n(x) \lambda^n. \quad (7.57)$$

Для определения неизвестных функций $C_n(x)$ подставим разложение (7.57) в интегральное уравнение (7.56); получим

$$\sum_{n=0}^{\infty} C_n(x) \lambda^n - \lambda \int_a^x K(x, y) \sum_{n=0}^{\infty} C_n(y) \lambda^n dy = f(x). \quad (7.58)$$

Считая возможным изменение порядка суммирования и интегрирования, запишем уравнение (7.58) так:

$$\sum_{n=0}^{\infty} C_n(x) \lambda^n - \sum_{n=0}^{\infty} \lambda^{n+1} \int_a^x K(x, y) C_n(y) dy = f(x). \quad (7.59)$$

Заменим теперь индекс суммирования во второй сумме в (7.59) $n + 1$ на n , получим

$$\sum_{n=0}^{\infty} C_n(x) \lambda^n - \sum_{n=1}^{\infty} \lambda^n \int_a^x K(x, y) C_{n-1}(y) dy = f(x) \Rightarrow$$

$$C_0(x) \lambda^0 + \sum_{n=1}^{\infty} \left[C_n(x) - \int_a^x K(x, y) C_{n-1}(y) dy \right] \lambda^n = f(x) \Rightarrow$$

$$C_0(x) = f(x), \quad (7.60)$$

$$C_n(x) = \int_a^x K(x, y) C_{n-1}(y) dy, \quad n = 1, 2, 3, \dots \quad (7.61)$$

Таким образом, мы получили рекуррентные формулы (7.60), (7.61) для вычисления коэффициентов $C_n(x)$ разложения (7.57).

Для обоснования полученного решения предположим, что $x \in [a, b] \subset [a, +\infty)$. В этом интервале функции $f(x)$ и $K(x, y)$, ($y \in [a, b]$) имеют верхние грани. Таким образом, можно записать $|f(x)| \leq F$, $|K(x, y)| \leq M$.

Заметим, что при вычислении по формулам (7.61) под знаком интеграла — непрерывные функции. Следовательно, все $C_n(x)$ будут непрерывны на отрезке $[a, b]$. Таким образом, коэффициенты ряда (7.57) — непрерывные функции.

Имеем

$$|C_0(x)| \leq F,$$

$$|C_1(x)| = \left| \int_a^x K(x, y) C_0(y) dy \right| \leq \int_a^x |K(x, y)| |C_0(y)| dy \leq MF \int_a^x dy = MF(x - a),$$

$$|C_2(x)| = \left| \int_a^x K(x, y) C_1(y) dy \right| \leq M^2 F \frac{(x - a)^2}{1 \cdot 2}.$$

По индукции получаем

$$|C_n(x)| \leq M^n F \frac{(x - a)^n}{n!}, \quad n = 0, 1, 2, \dots$$

Можно усилить последнее неравенство, записав так:

$$|C_n(x)| \leq M^n F \frac{(b - a)^n}{n!}, \quad n = 0, 1, 2, \dots$$

Отсюда

$$\sum_{n=0}^{\infty} |C_n(x) \lambda^n| \leq \sum_{n=0}^{\infty} \frac{M^n F (b - a)^n |\lambda|^n}{n!} = Fe^{M(b-a)|\lambda|}. \quad (7.62)$$

Таким образом, ряд (7.57) мажорируется сходящимся рядом, поэтому ряд (7.57) сходится при всех значениях параметра λ . Формула (7.62) доказывает не только сходимость ряда (7.57), но и его равномерную сходимость по переменной x во всем интервале $[a, b]$. Члены ряда (7.57) — непрерывные функции от x . Следовательно, по второй теореме Вейерштрасса, сумма ряда (7.57) — непрерывная функция от x . Таким образом, функция $\varphi(x)$ непрерывна в $[a, b]$, а так как b — любое, то функция $\varphi(x)$ непрерывна в $[a, +\infty)$.

Покажем теперь, что полученная функция $\varphi(x)$ удовлетворяет нашему уравнению (7.56). Имеем

$$\begin{aligned} \varphi(x) - \lambda \int_a^x K(x, y) \varphi(y) dy &= \\ &= \sum_{n=0}^{\infty} C_n(x) \lambda^n - \lambda \int_a^x K(x, y) \sum_{n=0}^{\infty} C_n(y) \lambda^n dy = \\ &= \sum_{n=0}^{\infty} C_n(x) \lambda^n - \sum_{n=0}^{\infty} \lambda^{n+1} \int_a^x K(x, y) C_n(y) dy = \\ &= \sum_{n=0}^{\infty} C_n(x) \lambda^n - \sum_{n=1}^{\infty} \lambda^n \int_a^x K(x, y) C_{n-1}(y) dy = \\ &= \underbrace{C_0(x) \lambda^0}_{=f(x)} + \sum_{n=1}^{\infty} \underbrace{\left[C_n(x) - \int_a^x K(x, y) C_{n-1}(y) dy \right]}_{=0} \lambda^n \equiv f(x). \end{aligned}$$

Таким образом, функция $\varphi(x)$ — решение уравнения (7.56), непрерывное в $[a, +\infty)$. Итак, мы фактически доказали следующую теорему.

ТЕОРЕМА. *Интегральное уравнение Вольтерры с непрерывным ядром и непрерывной правой частью допускает непрерывное решение при любых значениях параметра λ . Это решение представляется рядом по степеням параметра λ , причем коэффициенты ряда выражаются рекуррентными формулами. Решение является непрерывной функцией от x и целой функцией параметра λ .*

Докажем теперь теорему о единственности решения.

ТЕОРЕМА. *Интегральное уравнение Вольтерры с непрерывным ядром и непрерывной правой частью допускает единственное непрерывное решение.*

Доказательство. Рассмотрим уравнение Вольтерры

$$\varphi(x) - \lambda \int_a^x K(x, y) \varphi(y) dy = f(x), \quad a \leq x. \quad (7.63)$$

Допустим, что уравнение (7.63) имеет два решения в классе непрерывных функций. Обозначим эти решения $\varphi_1(x)$ и $\varphi_2(x)$, причем $\varphi_1, \varphi_2 \in C([a, +\infty))$. Рассмотрим разность $\psi(x) = \varphi_1(x) - \varphi_2(x)$. Ясно, что $\psi \in C([a, +\infty))$ и функция $\psi(x)$ удовлетворяет однородному уравнению

$$\psi(x) - \lambda \int_a^x K(x, y) \psi(y) dy = 0, \quad a \leq x. \quad (7.64)$$

Очевидно, что $\psi(x) = 0$ есть решение уравнения (7.64). Покажем, что других решений уравнения (7.64) не существует.

Допустим, что $x \in [a, b] \subset [a, +\infty)$, b — любое. Тогда в $[a, b]$ мы имеем

$$|\psi(x)| \leq N.$$

С учетом уравнения (7.64) можно написать

$$\psi(x) = \lambda \int_a^x K(x, y) \psi(y) dy. \quad (7.65)$$

Откуда

$$|\psi(x)| \leq |\lambda| \int_a^x |K(x, y)| |\psi(y)| dy \leq |\lambda| \int_a^x MN dy = |\lambda| MN \frac{x-a}{1}. \quad (7.66)$$

Здесь $|K(x, y)| \leq M$, $y \in [a, b]$.

Из уравнения (7.65) с учетом неравенства (7.66) имеем

$$|\psi(x)| \leq |\lambda| \int_a^x M |\lambda| MN \frac{y-a}{1} dy = |\lambda|^2 M^2 N \frac{(x-a)^2}{1 \cdot 2}$$

и т. д. Таким образом, мы можем написать

$$|\psi(x)| \leq |\lambda|^n M^n N \frac{(x-a)^n}{n!}.$$

Доказательство последнего неравенства завершается по индукции.

Итак, для любого n мы имеем оценку

$$|\psi(x)| \leq N \frac{[|\lambda| M(b-a)]^n}{n!}, \quad (7.67)$$

причем левая часть неравенства (7.67) от n не зависит. Отсюда следует, что $\psi(x) \equiv 0$ для $x \in [a, b]$, а так как b — любое, то $\psi(x) \equiv 0$ в $[a, +\infty)$. Следовательно, $\varphi_1(x) = \varphi_2(x)$. \square

СЛЕДСТВИЕ. Однородное уравнение Вольтерры имеет только одно непрерывное решение $\varphi(x) \equiv 0$.

Пример. Рассмотрим уравнение

$$\varphi(x) - \lambda \int_0^x y \varphi(y) dy = 1, \quad x \geq 0.$$

Согласно общей теории, ищем решение в виде (7.57)

$$\varphi(x) = \sum_{n=0}^{\infty} C_n(x) \lambda^n, \quad |\lambda| < \infty.$$

Имеем $f(x) = 1 \Rightarrow C_0(x) = 1$,

$$C_n(x) = \int_a^x y C_{n-1}(y) dy, \quad n = 1, 2, 3, \dots$$

Таким образом,

$$C_1(x) = \int_a^x y dy = \frac{x^2}{2},$$

$$C_2(x) = \int_a^x y \frac{y^2}{2} dy = \frac{x^4}{2 \cdot 4},$$

$$C_3(x) = \int_a^x y \frac{y^4}{2 \cdot 4} dy = \frac{x^6}{2 \cdot 4 \cdot 6}$$

и т. д.,

$$C_n(x) = \frac{x^{2n}}{2 \cdot 4 \cdot 6 \cdots (2n)} = \frac{x^{2n}}{2^n n!}, \quad n = 0, 1, 2, \dots$$

Отсюда находим решение нашей задачи

$$\varphi(x) = \sum_{n=0}^{\infty} \frac{\left(\frac{\lambda x^2}{2}\right)^n}{n!} = e^{\frac{\lambda x^2}{2}}.$$

Общее решение уравнения Фредгольма разложением в ряд по степеням параметра λ

Рассматривается уравнение

$$\varphi(x) - \lambda \int_a^b K(x, y) \varphi(y) dy = f(x), \quad a \leq x \leq b. \quad (7.68)$$

Предполагается, что интервал $[a, b]$ — конечен, функция $f(x)$ — непрерывна на $[a, b]$, функция $K(x, y)$ непрерывна для $x \in [a, b]$, $y \in [a, b]$.

Будем строить решение уравнения (7.68) в виде

$$\varphi(x) = \sum_{n=0}^{\infty} C_n(x) \lambda^n. \quad (7.69)$$

Преобразованиями, аналогичными проделанным преобразованиям в разделе «Общее решение уравнения Вольтерры разложением в ряд по степеням параметра λ » при построении решения уравнения Вольтерры, получим

$$C_0(x) = f(x), \quad (7.70)$$

$$C_n(x) = \int_a^b K(x, y) C_{n-1}(y) dy, \quad n = 1, 2, 3, \dots \quad (7.71)$$

Таким образом, и в случае уравнения Фредгольма мы получили рекуррентные формулы (7.70), (7.71) для вычисления коэффициентов $C_n(x)$ разложения (7.69).

Можно считать, что в интервале $[a, b]$ функции $f(x)$ и $K(x, y)$, ($y \in [a, b]$) имеют верхние грани. Таким образом, можно записать $|f(x)| \leq F$, $|K(x, y)| \leq M$.

Заметим также, что при вычислении по формулам (7.71) под знаком интеграла — непрерывные функции. Следовательно, все $C_n(x)$ будут непрерывны на отрезке $[a, b]$. Таким образом, коэффициенты ряда (7.69) — непрерывные функции.

Имеем

$$|C_0(x)| \leq F,$$

$$|C_1(x)| \leq \int_a^b |K(x,y)| |C_0(y)| dy \leq MF(b-a),$$

$$|C_2(x)| \leq \int_a^b |K(x,y)| |C_1(y)| dy \leq M^2 F(b-a)^2.$$

По индукции получаем

$$|C_n(x)| \leq F[M(b-a)]^n, \quad n = 0, 1, 2, \dots$$

Имеем далее

$$\sum_{n=0}^{\infty} |C_n(x)\lambda^n| \leq F \sum_{n=0}^{\infty} [M(b-a)|\lambda|^n] = \frac{F}{1 - M(b-a)|\lambda|} \quad (7.72)$$

при условии, что

$$|\lambda| < \frac{1}{M(b-a)}. \quad (7.73)$$

Если условие (7.73) не выполняется, то мажорирующий ряд в (7.72) расходится и ничего нельзя сказать о сходимости ряда (7.69). Если же условие (7.73) выполнено, то формула (7.69) дает решение уравнения (7.68). Действительно, тогда ряд (7.69) сходится равномерно на отрезке $[a, b]$, следовательно, $\varphi(x) \in C([a, b])$, и легко заметить, что функция $\varphi(x)$ удовлетворяет уравнению (7.68).

Таким образом, можно сформулировать теорему.

ТЕОРЕМА. *Интегральное уравнение Фредгольма с непрерывным ядром и непрерывной правой частью допускает решение в виде ряда по степеням параметра λ , сходящегося при достаточно малых λ . Это решение является непрерывной функцией от x в $[a, b]$ и регулярной функцией параметра λ в круге сходимости.*

Можно показать, что при ограничениях, наложенных на λ , полученное решение уравнения Фредгольма единственно в классе непрерывных функций.

Примеры

Пример 1. Рассмотрим уравнение

$$\varphi(x) - \lambda \int_0^1 e^{-xy} \varphi(y) dy = 1, \quad 0 \leq x \leq 1.$$

Ядро нашего уравнения $K(x,y) = e^{-xy}$. Согласно общей теории ищем решение в виде (7.69)

$$\varphi(x) = \sum_{n=0}^{\infty} C_n(x)\lambda^n.$$

Имеем $M = e$, $b - a = 1$. Поэтому ряд сходится при условии, что $|\lambda| < \frac{1}{e}$. Далее

$$f(x) = 1 \Rightarrow C_0(x) = 1,$$

$$C_n(x) = \int_0^1 e^{-xy} C_{n-1}(y) dy, \quad n = 1, 2, 3, \dots$$

Отсюда находим

$$C_1(x) = \int_0^1 e^{xy} dy = \frac{e^x - 1}{x},$$

$$C_2(x) = \int_0^1 e^{xy} \frac{e^y - 1}{y} dy.$$

Последний интеграл не выражается через элементарные функции. Таким образом, мы имеем

$$\varphi(x) = 1 + \frac{e^x - 1}{x} \lambda + \dots, \quad |\lambda| < \frac{1}{e}.$$

В частности, если $\lambda = 1$, то рассматриваемый метод теоретически не годится.

Пример 2. Рассмотрим уравнение

$$\varphi(x) - \lambda \int_0^1 xy \varphi(y) dy = 1, \quad 0 \leq x \leq 1.$$

Ядро нашего уравнения $K(x, y) = xy$ является вырожденным.

Ищем решение уравнения в виде ряда

$$\varphi(x) = \sum_{n=0}^{\infty} C_n(x) \lambda^n. \quad (7.74)$$

Имеем $M = 1$, $b - a = 1$. Поэтому ряд сходится, если $|\lambda| < 1$. Далее,

$$f(x) = 1 \Rightarrow C_0(x) = 1,$$

$$C_n(x) = \int_0^1 xy C_{n-1}(y) dy, \quad n = 1, 2, 3, \dots$$

Отсюда находим

$$C_1(x) = \int_0^1 xy dy = \frac{x}{2},$$

$$C_2(x) = \int_0^1 xy \frac{y}{2} dy = \frac{x}{2 \cdot 3},$$

$$C_3(x) = \int_0^1 xy \frac{y}{2 \cdot 3} dy = \frac{x}{2 \cdot 3^2},$$

и т. д. По индукции получаем

$$C_n(x) = \frac{x}{2 \cdot 3^{n-1}}, \quad n = 1, 2, 3, \dots$$

Таким образом,

$$\varphi(x) = 1 + \sum_{n=1}^{\infty} \frac{\lambda^n x}{2 \cdot 3^{n-1}} = 1 + \frac{3x}{2} \frac{\frac{\lambda}{3}}{1 - \frac{\lambda}{3}} = 1 + \frac{\lambda x}{2 \left(1 - \frac{\lambda}{3}\right)}. \quad (7.75)$$

Полученное решение (7.75) — рациональная функция от λ с особенностью в точке $\lambda = 3$. Таким образом, ряд (7.74) сходится в круге радиуса $\rho = 3$, в то время как по общей теории радиус сходимости $\rho = 1$. Действительный радиус сходимости равен расстоянию от начала координат до ближайшей особой точки (в данном случае — точки $\lambda = 3$).

Уравнения Фредгольма всегда имеют особые точки. Эти точки ограничивают радиус сходимости ряда. Для вырожденных ядер радиус сходимости $\rho = \min|\lambda_s|$, λ_s — корни характеристического уравнения $D(\lambda) = 0$.

В то же время уравнения Вольтерры дают решения как целые функции параметра λ .

Замечание о решении уравнения Фредгольма при произвольном значении параметра λ

Вновь вернемся к уравнению (7.68)

$$\varphi(x) - \lambda \int_a^b K(x, y) \varphi(y) dy = f(x), \quad a \leq x \leq b.$$

Согласно изложенному ранее

$$\varphi(x) = \sum_{n=0}^{\infty} C_n(x) \lambda^n, \quad |\lambda| < \rho, \quad (7.76)$$

$$C_0(x) = f(x),$$

$$C_n(x) = \int_a^b K(x, y) C_{n-1}(y) dy, \quad n = 1, 2, 3, \dots$$

Здесь радиус сходимости ρ не известен.

Можно показать, что решение уравнения (7.68) может быть представлено в виде отношения степенных рядов

$$\varphi(x) = \frac{\sum_{n=0}^{\infty} a_n(x) \lambda^n}{\sum_{n=0}^{\infty} b_n(x) \lambda^n}, \quad (7.77)$$

причем ряды

$$\sum_{n=0}^{\infty} a_n(x) \lambda^n$$

и

$$\sum_{n=0}^{\infty} b_n(x) \lambda^n$$

сходятся на всей плоскости $|\lambda| < \infty$, $b_0(x) \neq 0$, $\lambda \neq \lambda_s$, где λ_s — нули функции

$$g(\lambda) = \sum_{n=0}^{\infty} b_n(x) \lambda^n.$$

Таким образом, решение уравнения Фредгольма — мероморфная функция с полюсами λ_s .

Если λ мало, то функция (7.77) может быть приведена к виду (7.76) делением рядов. При этом радиус сходимости ряда (7.76) $\rho = \min|\lambda_s|$, λ_s — нули (особые точки) функции $g(\lambda)$.

Для уравнения с вырожденным ядром ряды в (7.77) обрываются на конечном числе слагаемых, и решение есть рациональная функция от λ .

Общее понятие резольвенты для уравнений Фредгольма

Рассмотрим уравнение

$$\varphi(x) - \lambda \int_a^b K(x, y) \varphi(y) dy = f(x), \quad a \leq x \leq b. \quad (7.78)$$

Мы скажем, что функция $R_\lambda(x, y)$ есть резольвента уравнения (7.78), если решение уравнения (7.78) может быть представлено в виде

$$\varphi(x) = f(x) + \lambda \int_a^b R_\lambda(x, y) f(y) dy. \quad (7.79)$$

Получим условия для функции $R_\lambda(x, y)$, при которых функция (7.79) является решением уравнения (7.78). Для этого в (7.79) заменим переменную интегрирования y на t

$$\varphi(x) = f(x) + \lambda \int_a^b R_\lambda(x, t) f(t) dt.$$

Далее заменим x на y

$$\varphi(y) = f(y) + \lambda \int_a^b R_\lambda(y, t) f(t) dt.$$

Будем иметь

$$\begin{aligned} \varphi(x) - \lambda \int_a^b K(x, y) \varphi(y) dy &= f(x) + \lambda \int_a^b R_\lambda(x, t) f(t) dt - \\ &- \lambda \int_a^b K(x, y) dy \left\{ f(y) + \lambda \int_a^b R_\lambda(y, t) f(t) dt \right\} = \\ &= \left\{ f(x) - \lambda \int_a^b K(x, y) f(y) dy \right\} + \\ &+ \lambda \int_a^b f(t) dt \left\{ R_\lambda(x, t) - \lambda \int_a^b K(x, y) R_\lambda(y, t) dy \right\}. \end{aligned}$$

Потребуем, чтобы

$$R_\lambda(x, t) - \lambda \int_a^b K(x, y) R_\lambda(y, t) dy = K(x, t), \quad a \leq x \leq b, \quad a \leq t \leq b. \quad (7.80)$$

Тогда

$$\begin{aligned} \varphi(x) - \lambda \int_a^b K(x, y) \varphi(y) dy &= f(x) - \lambda \int_a^b K(x, y) f(y) dy + \\ &+ \lambda \int_a^b K(x, t) f(t) dt \equiv f(x). \end{aligned}$$

Таким образом, при условии (7.80) выражение (7.79) удовлетворяет уравнению (7.78).

Видим, что отыскание резольвенты сводится к решению уравнения (7.80). Но это последнее уравнение есть частный случай исходного уравнения (7.77) при $\varphi(x) = R_\lambda(x, t)$, $f(x) = K(x, t)$. Из уравнения (7.80) ясно, что резольвента определяется исключительно структурой ядра и не зависит от правой части уравнения (7.78).

Однородные уравнения Фредгольма

Уравнение называется однородным, если правая часть этого уравнения тождественно равна нулю. Таким образом, однородное уравнение имеет вид

$$\varphi(x) - \lambda \int_a^b K(x, y) \varphi(y) dy = 0, \quad a \leq x \leq b. \quad (7.81)$$

Очевидно, уравнение (7.81) всегда имеет тривиальное решение $\varphi(x) = 0$.

Всякое нетривиальное решение уравнения (7.81), непрерывное на отрезке $[a, b]$, будем называть *собственной функцией* этого уравнения. Те значения параметра λ , при которых существует нетривиальное решение интегрального уравнения (7.81), называются *собственными значениями* этого уравнения.

Данному собственному значению может отвечать одна или несколько линейно независимых собственных функций. Множество всех собственных значений образует *спектр* данного интегрального уравнения. Число линейно независимых собственных функций, отвечающих данному собственному значению, называется *рангом* этого собственного значения. Решение однородного уравнения определено с точностью до произвольной константы. Следовательно, собственные функции интегрального уравнения определены с точностью до произвольного множителя. Часто выбирают постоянный множитель так, чтобы

$$\|\varphi\|^2 = \int_a^b |\varphi(x)|^2 dx = 1.$$

Если $\lambda = \lambda_0$ — собственное значение ранга r интегрального уравнения (7.81), то этому значению отвечают соответствующие линейно независимые собственные функции $\varphi_1(x), \varphi_2(x), \dots, \varphi_r(x)$. Тогда, очевидно, и функция

$$\varphi(x) = \sum_{i=1}^r C_i \varphi_i(x)$$

есть также собственная функция интегрального уравнения (7.81).

Решить однородное интегральное уравнение — значит, найти совокупность собственных функций данного уравнения (полную систему).

Определение собственных значений и собственных функций для некоторых интегральных уравнений

Рассмотрим определение собственных значений и собственных функций интегральных уравнений на примерах.

Пример 1. Рассмотрим уравнение

$$\varphi(x) - \lambda \int_0^{\pi} \sin(x) \cos(y) \varphi(y) dy = 0, \quad 0 \leq x \leq \pi.$$

Ядро этого уравнения $K(x, y) = \sin(x) \cos(y)$ — вырожденное. Имеем

$$\varphi(x) = \lambda \sin(x) \underbrace{\int_0^{\pi} \cos(y) \varphi(y) dy}_{=C} = C \lambda \sin(x).$$

Отсюда находим

$$\underbrace{\int_0^{\pi} \varphi(x) \cos(x) dx}_{=C} = \lambda C \int_0^{\pi} \sin(x) \cos(x) dx \Rightarrow$$

$$C = \frac{\lambda C}{2} [\sin^2(x)]_{x=0}^{x=\pi} = 0.$$

Таким образом, $\varphi(x) = 0$, то есть данное уравнение имеет только тривиальное решение; собственных значений и собственных функций у него нет. Спектр уравнения — пустое множество.

Пример 2. Рассмотрим уравнение

$$\varphi(x) - \lambda \int_0^1 (x + y) \varphi(y) dy = 0, \quad 0 \leq x \leq 1.$$

Ядро этого уравнения $K(x, y) = (x + y)$ — вырожденное. Имеем

$$\varphi(x) - \lambda x \underbrace{\int_0^{\pi} \varphi(y) dy}_{=C_1} - \lambda \underbrace{\int_0^{\pi} y \varphi(y) dy}_{=C_2} = 0 \Rightarrow$$

$$\varphi(x) - \lambda x C_1 - \lambda C_2 = 0.$$

Отсюда находим

$$\int_0^1 \varphi(x) dx - \lambda C_1 \int_0^1 x dx - \lambda C_2 \int_0^1 dx = 0,$$

$$\int_0^1 x \varphi(x) dx - \lambda C_1 \int_0^1 x^2 dx - \lambda C_2 \int_0^1 x dx = 0,$$

или

$$\left(1 - \frac{\lambda}{2}\right)C_1 - \lambda C_2 = 0, \quad -\frac{\lambda}{3}C_1 + \left(1 - \frac{\lambda}{2}\right)C_2 = 0.$$

Для того чтобы последняя система имела нетривиальное решение, необходимо и достаточно, чтобы ее определитель был равен нулю. Таким образом, собственные значения нашего интегрального уравнения совпадают с решениями уравнения

$$D(\lambda) = 1 - \lambda - \frac{\lambda^2}{12} = 0.$$

Будем иметь: $\lambda_{1,2} = -6 \pm 4\sqrt{3}$ — собственные значения интегрального уравнения; соответствующие им собственные функции

$$\varphi_1(x) = C \left[\lambda_1 x + 1 - \frac{\lambda_1}{2} \right], \quad \varphi_2(x) = C \left[\lambda_2 x + 1 - \frac{\lambda_2}{2} \right],$$

C — произвольно.

Таким образом, рассматриваемое интегральное уравнение имеет два собственных значения; каждое из них ранга единица ($r = 1$). Спектр данного уравнения — конечное множество, состоящее из двух элементов.

Пример 3. Рассмотрим общее уравнение Фредгольма

$$\varphi(x) - \lambda \int_a^b K(x, y) \varphi(y) dy = 0, \quad a \leq x \leq b, \quad (7.82)$$

где $K(x, y)$ — произвольное вырожденное ядро

$$K(x, y) = \sum_{i=1}^N \alpha_i(x) \beta_i(y).$$

Имеем

$$\varphi(x) - \lambda \sum_{i=1}^N \alpha_i(x) \underbrace{\int_a^b \varphi(y) \beta_i(y) dy}_{=C_i} = 0$$

или

$$\varphi(x) - \lambda \sum_{i=1}^N C_i \alpha_i(x) = 0.$$

Отсюда находим

$$\underbrace{\int_a^b \varphi(x) \beta_k(x) dx}_{=C_k} - \lambda \sum_{i=1}^N C_i \underbrace{\int_a^b \alpha_i(x) \beta_k(y) dy}_{=\alpha_{ik}} = 0$$

или

$$C_k - \lambda \sum_{i=1}^N \alpha_{ik} C_i = 0, \quad k = 1, 2, \dots, N. \quad (7.83)$$

Для того чтобы система (7.83) имела нетривиальное решение, необходимо и достаточно, чтобы ее определитель был равен нулю, то есть

$$D(\lambda) = \begin{vmatrix} 1 - \lambda\alpha_{11} & -\lambda\alpha_{21} & \cdots & -\lambda\alpha_{N1} \\ -\lambda\alpha_{12} & 1 - \lambda\alpha_{22} & \cdots & -\lambda\alpha_{N2} \\ \cdots & \cdots & \cdots & \cdots \\ -\lambda\alpha_{1N} & -\lambda\alpha_{2N} & \cdots & 1 - \lambda\alpha_{NN} \end{vmatrix} = 0. \quad (7.84)$$

Пусть $\lambda_1, \lambda_2, \dots, \lambda_n$ ($n \leq N$) — решения уравнения (7.84). Каждому такому значению $\lambda = \lambda_i$ соответствует нетривиальное решение интегрального уравнения (7.82). Корни уравнения (7.84) — собственные значения интегрального уравнения (7.82); соответствующие им функции — собственные функции интегрального уравнения (7.82).

Итак, в случае интегрального уравнения Фредгольма с вырожденным ядром спектр уравнения — конечное множество. Собственные значения интегрального уравнения совпадают с корнями определителя (7.84).

Пример 4. Рассмотрим уравнение

$$\varphi(x) - \lambda \int_0^1 K(x, y) \varphi(y) dy = 0, \quad 0 \leq x \leq 1, \quad (7.85)$$

где ядро $K(x, y)$ имеет вид

$$K(x, y) = \begin{cases} y(1-x), & y \leq x; \\ x(1-y), & x \leq y. \end{cases}$$

В целом, ядро не является вырожденным; оно непрерывно, но не аналитическое. Такие ядра называются *ядрами типа функции Грина*.

Перепишем наше уравнение (7.85) в виде

$$\varphi(x) - \lambda \int_0^x y(1-x) \varphi(y) dy - \lambda \int_x^1 x(1-y) \varphi(y) dy = 0. \quad (7.86)$$

Продифференцируем уравнение (7.86) по x (дифференцирование законно, если вообще существует непрерывное решение). При этом воспользуемся известной формулой дифференцирования

$$\frac{d}{dx} \int_{\alpha(x)}^{\beta(x)} f(x, y) dy = \int_{\alpha(x)}^{\beta(x)} \frac{\partial f}{\partial x} dy + \beta'(x) f(x, \beta) - \alpha'(x) f(x, \alpha).$$

Будем иметь

$$\begin{aligned} \varphi'(x) + \lambda \int_0^x y \varphi(y) dy - \lambda x(1-x) \varphi(x) - \\ - \lambda \int_x^1 (1-y) \varphi(y) dy + \lambda x(1-x) \varphi(x) = 0 \end{aligned}$$

или

$$\varphi'(x) + \lambda \int_0^x y \varphi(y) dy - \lambda \int_x^1 (1-y) \varphi(y) dy = 0.$$

Продифференцируем еще раз

$$\begin{aligned}\varphi''(x) + \lambda x \varphi(x) + \lambda(1-x)\varphi(x) &= 0 \Rightarrow \\ \varphi''(x) + \lambda \varphi(x) &= 0.\end{aligned}\quad (7.87)$$

Далее, имеем из уравнения (7.86)

$$\varphi(0) = 0, \varphi(1) = 0. \quad (7.88)$$

Таким образом, видим, что данное интегральное уравнение (7.85) сводится к задаче Штурма—Лиувилля (7.87), (7.88). Следовательно, собственные значения и собственные функции нашего интегрального уравнения (7.85) совпадают с собственными значениями и собственными функциями задачи Штурма—Лиувилля (7.87), (7.88).

Мы знаем, что $\lambda_n = n^2 \pi^2$, $n = 1, 2, 3, \dots$ — собственные значения и $\varphi_n(x) = \sin(n\pi x)$ — собственные функции задачи (7.87), (7.88). Таким образом, данное интегральное уравнение имеет бесконечное множество собственных значений. Спектр уравнения — счетное множество без точек сгущения. Такой спектр, как мы знаем, называется дискретным.

Пример 5. Рассмотрим уравнение

$$\varphi(x) - \lambda \int_{-\infty}^{+\infty} e^{-|x-y|} \varphi(y) dy = 0, \quad -\infty < x < +\infty, \quad (7.89)$$

где ядро $K(x, y)$ имеет вид

$$K(x, y) = e^{-|x-y|} = \begin{cases} e^{y-x}, & y \leq x; \\ e^{x-y}, & x \leq y. \end{cases} \quad (7.90)$$

Ядро (7.90) также является ядром типа функции Грина. Уравнение (7.89) — сингулярное интегральное уравнение.

Имеем

$$\varphi(x) - \lambda \int_{-\infty}^x e^{y-x} \varphi(y) dy - \lambda \int_x^{+\infty} e^{x-y} \varphi(y) dy = 0. \quad (7.91)$$

Если существует непрерывное решение, ограниченное на бесконечности, то можно дифференцировать. Будем иметь тогда

$$\begin{aligned}\varphi'(x) + \lambda \int_{-\infty}^x e^{y-x} \varphi(y) dy - \lambda \varphi(x) - \\ - \lambda \int_x^{+\infty} e^{x-y} \varphi(y) dy + \lambda \varphi(x) &= 0 \Rightarrow \\ \varphi'(x) + \lambda \int_{-\infty}^x e^{y-x} \varphi(y) dy - \lambda \int_x^{+\infty} e^{x-y} \varphi(y) dy &= 0.\end{aligned}$$

Далее,

$$\varphi''(x) - \lambda \int_{-\infty}^x e^{y-x} \varphi(y) dy + \lambda \varphi(x) - \lambda \int_x^{+\infty} e^{x-y} \varphi(y) dy + \lambda \varphi(x) = 0$$

или, с учетом (7.91),

$$\varphi''(x) + (2\lambda - 1)\varphi(x) = 0. \quad (7.92)$$

Кроме того, решение должно быть ограничено на бесконечности

$$\varphi(x)|_{x \rightarrow \pm\infty} = O(1). \quad (7.93)$$

Таким образом, данное интегральное уравнение (7.89) эквивалентно задаче Штурма—Лиувилля (7.92), (7.93).

Общее решение уравнения (7.92) имеет вид

$$\varphi(x) = C_1 \cos(x\sqrt{2\lambda - 1}) + C_2 \sin(x\sqrt{2\lambda - 1}).$$

В силу ограниченности на бесконечности получаем $\lambda \geq 1/2$. Таким образом, спектр задачи — непрерывный: $\lambda \in [1/2, +\infty)$. При этом собственные функции будут

$$\varphi_1^\lambda(x) = \cos(x\sqrt{2\lambda - 1}), \quad \varphi_2^\lambda(x) = \sin(x\sqrt{2\lambda - 1}). \quad (7.94)$$

Итак, спектр нашего интегрального уравнения (7.89) — бесконечное несчетное множество (непрерывный). Каждому собственному значению $\lambda \in [1/2, +\infty)$ отвечают две линейно независимые собственные функции (7.94). Все собственные значения имеют ранг $r = 2$, за исключением собственного значения $\lambda = 1/2$, которое имеет ранг $r = 1$; ему отвечает одна собственная функция $\varphi_1^0(x) = 1$.

Подводя итог рассмотренным примерам, мы можем сделать вывод о том, что спектр интегральных уравнений Фредгольма может быть самым разным.

Все уравнения Вольтерры имеют своим спектром пустое множество.

Альтернатива Фредгольма

Альтернатива Фредгольма устанавливает связь между разрешимостью однородного и неоднородного уравнений Фредгольма.

Рассмотрим уравнения

$$\varphi(x) - \lambda \int_a^b K(x, y)\varphi(y) dy = f(x), \quad a \leq x \leq b, \quad (7.95)$$

$$\varphi(x) - \lambda \int_a^b K(x, y)\varphi(y) dy = 0, \quad a \leq x \leq b. \quad (7.96)$$

Будем предполагать, что функции $f(x)$ и $K(x, y)$ непрерывны в $[a, b]$, $y \in [a, b]$, интервал $[a, b]$ — конечен.

Грубо говоря, можно сформулировать следующую альтернативу: если одно из уравнений (7.95) или (7.96) разрешимо, то другое уравнение — не разрешимо. Такая ситуация называется *альтернативой Фредгольма*.

Рассмотрим специальный случай. Допустим, что $K(x, y)$ — вырожденное ядро

$$K(x, y) = \sum_{i=1}^N \alpha_i(x) \beta_i(y).$$

Мы знаем, что в случае вырожденного ядра спектр интегрального уравнения — конечное множество и собственные значения совпадают с корнями уравнения

$$D(\lambda) = \begin{vmatrix} 1 - \lambda \alpha_{11} & -\lambda \alpha_{21} & \cdots & -\lambda \alpha_{N1} \\ -\lambda \alpha_{12} & 1 - \lambda \alpha_{22} & \cdots & -\lambda \alpha_{N2} \\ \cdots & \cdots & \cdots & \cdots \\ -\lambda \alpha_{1N} & -\lambda \alpha_{2N} & \cdots & 1 - \lambda \alpha_{NN} \end{vmatrix} = 0. \quad (7.97)$$

Пусть $\lambda = \lambda_s$, $s = 1, 2, \dots, n$ ($n \leq N$) — собственные значения уравнения (7.96). Приведем точную формулировку альтернативы Фредгольма для случая вырожденных ядер:

Если $\lambda \neq \lambda_s$, то уравнение (7.95) имеет решение, и притом единственное, в классе непрерывных функций. Уравнение (7.96) не имеет решения, кроме тривиального $\varphi(x) \equiv 0$.

Если $\lambda = \lambda_s$, то уравнение (7.95) не имеет решения (кроме как для специальных правых частей $f(x)$; в этом случае — не единственное). Уравнение (7.96) имеет решение (собственная функция или набор собственных функций, если ранг $r > 1$).

Справедливость сформулированной альтернативы следует из теории, рассмотренной ранее. В общем случае произвольных (невырожденных) ядер формулировка альтернативы сохраняется, за исключением того, что теперь уже λ_s не являются корнями определителя (7.97), а являются просто собственными значениями интегрального уравнения.

Интегральные уравнения Фредгольма с симметричным ядром

Теория линейного интегрального уравнения с параметром λ

$$\varphi(x) - \lambda \int_a^b K(x, y) \varphi(y) dy = f(x), \quad a \leq x \leq b, \quad (7.98)$$

развита Фредгольмом, элементы которой мы рассмотрели ранее, основывалась на предположениях, что ядро $K(x, y)$:

- 1) вещественно,
- 2) непрерывно,
- 3) тождественно не равно нулю в области $R = \{a \leq x \leq b, a \leq y \leq b\}$.

4) В теории Гильберта—Шмидта делается еще четвертое предположение, что ядро симметрично:

$$K(x, y) = K(y, x).$$

Примеры симметричных ядер: $K(x, y) = (y + x)^2$, $K(x, y) = e^{xy}$, $K(x, y) = e^{|x-y|}$.

Конечно, все результаты теории Фредгольма полностью сохраняются и здесь. Но кроме того, из дополнительного условия 4 вытекает целый ряд новых результатов.

Краткий обзор теории уравнений с симметричным ядром

Параллельно с уравнением (7.98) будем рассматривать однородное уравнение

$$\varphi(x) - \lambda \int_a^b K(x, y) \varphi(y) dy = f(x), \quad a \leq x \leq b. \quad (7.99)$$

Предполагаем, что ядро $K(x, y)$ — вещественная непрерывная функция от x и y , $a \leq x \leq b$, $a \leq y \leq b$, $f(x)$ — непрерывная функция от x и $K(x, y) = K(y, x)$.

Основные результаты сформулируем в виде теорем.

ТЕОРЕМА 1. *Интегральное уравнение с симметричным ядром имеет по крайней мере одно собственное значение.*

ТЕОРЕМА 2. *Все собственные значения интегрального уравнения с симметричным ядром вещественны.*

ТЕОРЕМА 3. *За исключением случая, когда ядро вырождено, имеется бесконечное множество собственных значений, образующих дискретный спектр.*

ТЕОРЕМА 4. *Ранг собственных значений интегральных уравнений с симметричным ядром всегда конечен.*

ТЕОРЕМА 5. *Собственные функции интегрального уравнения с симметричным ядром, отвечающие различным собственным значениям, ортогональны на отрезке $[a, b]$ с весом, равным единице.*

ТЕОРЕМА 6. *Пусть $\varphi_1(x), \varphi_2(x), \dots, \varphi_n(x), \dots$ — полная ортонормальная система собственных функций уравнения (7.99), причем такая, что*

- *собственному значению λ_1 отвечают собственные функции $\varphi_1, \varphi_2, \dots, \varphi_{r_1}$;*
- *собственному значению λ_2 отвечают собственные функции $\varphi_{r_1+1}, \varphi_{r_1+2}, \dots, \varphi_{r_2}$ и т. д.;*

$$|\lambda_1| < |\lambda_2| < \dots$$

Тогда, если произвольная функция $g(x)$ может быть представлена в форме

$$g(x) = \int_a^b K(x, y) \mu(y) dy,$$

где $\mu(x)$ есть функция, непрерывная в интервале $[a, b]$, то

она может быть разложена в ряд по собственным функциям

$$g(x) = \sum_{n=1}^{\infty} C_n \varphi_n(x),$$

причем

$$C_n = \int_a^b g(x) \varphi_n(x) dx.$$

Указанный ряд сходится равномерно и абсолютно на отрезке $[a, b]$.

ТЕОРЕМА 7. Справедлива формула Шмидта

$$\varphi(x) = f(x) + \lambda \sum_{n=1}^{\infty} \frac{f_n \varphi_n(x)}{\lambda - \lambda_n},$$

где

$$f_n = \int_a^b f(x) \varphi_n(x) dx, \quad \lambda \neq \lambda_n.$$

Приближенные методы решения интегральных уравнений

В практических проблемах физики и техники часто встречаются задачи, где точное решение либо не может быть найдено, либо имеет настолько сложное строение, что им трудно пользоваться при расчетах. В таких случаях приходится прибегать к приближенным методам решения задач математической физики. Здесь мы рассмотрим некоторые приемы приближенного исследования интегральных уравнений.

Сведение интегрального уравнения к уравнению с вырожденным ядром

Возможность удобного решения уравнений с вырожденным ядром приводит, естественно, к мысли о том, чтобы при решении уравнения с любым ядром заменить это ядро приближенно на вырожденное и решить соответствующее ему уравнение вместо данного уравнения.

Пусть мы имеем интегральное уравнение

$$\varphi(x) - \lambda \int_a^b K(x, y) \varphi(y) dy = f(x), \quad a \leq x \leq b \quad (7.100)$$

с произвольным (невырожденным) непрерывным ядром $K(x, y)$ и непрерывной правой частью $f(x)$.

Образует некоторое вырожденное ядро $H(x, y)$

$$H(x, y) = \sum_{k=1}^N \alpha_k(x) \beta_k(y),$$

которое подберем так, чтобы

$$|K(x, y) - H(x, y)| < \varepsilon, \quad a \leq x \leq b, \quad a \leq y \leq b.$$

Тогда можно считать (с некоторым приближением) $K(x, y) \cong H(x, y)$. Будем иметь вместо уравнения (7.100)

$$\varphi(x) - \lambda \int_a^b H(x, y) \varphi(y) dy = f(x), \quad a \leq x \leq b. \quad (7.101)$$

Пусть $\tilde{\varphi}(x)$ есть решение уравнения (7.101). Можно ожидать, что решение $\varphi(x)$ уравнения (7.100) такое, что $|\varphi(x) - \tilde{\varphi}(x)| < \delta$ и $\varphi(x) \cong \tilde{\varphi}(x)$ (δ зависит от ε и определяется ε).

Таким образом, — это можно строго показать [11]¹, — если построить достаточно близкое к ядру $K(x, y)$ вырожденное ядро $H(x, y)$, то, решив уравнение с вырожденным ядром $H(x, y)$, мы получим решение, близкое к решению уравнения с ядром $K(x, y)$ при той же правой части. Более того, если мы построим последовательность $\{H_n(x, y)\}$ вырожденных ядер, равномерно сходящуюся к ядру $K(x, y)$, то последовательность $\{\varphi_n(x)\}$ решений уравнений с ядрами $H_n(x, y)$ будет равномерно сходиться к решению $\varphi(x)$ уравнения (7.100) с ядром $K(x, y)$.

Способы построения вырожденных ядер, близких к данному ядру $K(x, y)$, могут быть самыми различными. Если ядро $K(x, y)$ непрерывно, то, по теореме Вейерштрасса, эту функцию можно аппроксимировать полиномом с заданной степенью точности, то есть существует такой полином $P(x, y)$, что

$$|K(x, y) - P(x, y)| < \varepsilon, \quad a \leq x \leq b, \quad a \leq y \leq b.$$

Практически этот способ мало пригоден. Обычно ядро разлагается в ряд того или иного типа и за аппроксимирующую функцию выбирают отрезок этого ряда. Например, если ядро $K(x, y)$ разлагается в ряд

$$K(x, y) = \sum_{m=0}^{\infty} \alpha_m(x) \beta_m(y), \quad a \leq x \leq b, \quad a \leq y \leq b,$$

то

$$H(x, y) = \sum_{m=0}^{N-1} \alpha_m(x) \beta_m(y),$$

причем

$$|K(x, y) - H(x, y)| = \left| \sum_{m=N}^{\infty} \alpha_m(x) \beta_m(y) \right| \xrightarrow{N \rightarrow \infty} 0.$$

Чем больше N , тем точнее аппроксимация, но сложнее решение уравнения с вырожденным ядром.

¹ См. также *Краснов М. Л.* Интегральные уравнения (Введение в теорию). — М.: Наука, 1975. 304 с.

На практике обычно ядро $K(x, y)$ приближают частичными суммами степенного (ряд Тейлора) или тригонометрического (ряд Фурье) ряда, если ядро $K(x, y)$ разлагается в равномерно сходящийся в прямоугольнике $\{a \leq x \leq b, a \leq y \leq b\}$ степенной или тригонометрический ряд. Можно также приближать ядро $K(x, y)$ алгебраическими или тригонометрическими интерполяционными полиномами.

Пример. Рассмотрим интегральное уравнение

$$\varphi(x) - \lambda \int_0^\pi \frac{\varphi(y)}{1 - \varepsilon^2 \cos(x) \cos(y)} dy = f(x), \quad 0 \leq x \leq \pi, \quad 0 \leq \varepsilon^2 < 1.$$

Разлагаем ядро этого уравнения в ряд

$$\begin{aligned} K(x, y) &= \frac{1}{1 - \varepsilon^2 \cos(x) \cos(y)} = \\ &= 1 + \varepsilon^2 \cos(x) \cos(y) + \varepsilon^4 \cos^2(x) \cos^2(y) + \dots \end{aligned}$$

В качестве аппроксимирующего ядра берем отрезок этого ряда в виде

$$H(x, y) = 1 + \varepsilon^2 \cos(x) \cos(y).$$

Тогда

$$|K(x, y) - H(x, y)| \leq O(\varepsilon^4).$$

Более того, можно оценить погрешность аппроксимации

$$\begin{aligned} &\left| K(x, y) - \sum_{m=0}^{N-1} \varepsilon^{2m} \cos^m(x) \cos^m(y) \right| = \\ &= \left| \sum_{m=N}^{\infty} \varepsilon^{2m} \cos^m(x) \cos^m(y) \right| \leq \sum_{m=N}^{\infty} \varepsilon^{2m} = \frac{\varepsilon^{2N}}{1 - \varepsilon^2}. \end{aligned}$$

Мы предоставляем читателю возможность самостоятельно довести решение уравнения до конца.

Сведение интегрального уравнения к системе линейных алгебраических уравнений

Пусть дано интегральное уравнение второго рода

$$\varphi(x) - \lambda \int_a^b K(x, y) \varphi(y) dy = f(x), \quad a \leq x \leq b \quad (7.102)$$

Входящий в это равенство интеграл мы можем с помощью любой из квадратурных формул приближенно заменить некоторым простым выражением, не содержащим знака интеграла. Разобьем отрезок $[a, b]$ точками $\xi_0 = a, \xi_1, \xi_2, \dots, \xi_N = b$ на части; тогда, например, с помощью формулы трапеций определенный интеграл представляется в виде

$$\int_a^b g(x) dx = \left[\frac{1}{2} g(\xi_0) + \sum_{m=1}^{N-1} g(\xi_m) + \frac{1}{2} g(\xi_N) \right] h, \quad h = \frac{b-a}{N}.$$

В таком случае наше интегральное уравнение (7.102) заменяется следующим уравнением:

$$\varphi(x) - \lambda h \left[\frac{1}{2} K(x, \xi_0) \varphi(\xi_0) + \sum_{m=1}^{N-1} K(x, \xi_m) \varphi(\xi_m) + \frac{1}{2} K(x, \xi_N) \varphi(\xi_N) \right] = f(x). \quad (7.103)$$

В этой формуле неизвестными являются значения функции φ в узловых точках деления, то есть значения $\varphi(\xi_0)$, $\varphi(\xi_1)$, $\varphi(\xi_2)$, ..., $\varphi(\xi_N)$.

Равенство (7.103) справедливо во всех точках интервала $[a, b]$. Тогда, приняв $x = \xi_n$, получим

$$\varphi(\xi_n) - \lambda h \left[\frac{1}{2} K(\xi_n, \xi_0) \varphi(\xi_0) + \sum_{m=1}^{N-1} K(\xi_n, \xi_m) \varphi(\xi_m) + \frac{1}{2} K(\xi_n, \xi_N) \varphi(\xi_N) \right] = f(\xi_n), \quad n = 0, 1, 2, 3, \dots, N. \quad (7.104)$$

Таким образом, мы пришли к системе $N + 1$ уравнений с $N + 1$ неизвестными — значениями искомой функции в узловых точках $\varphi(\xi_0)$, $\varphi(\xi_1)$, $\varphi(\xi_2)$, ..., $\varphi(\xi_N)$.

Очевидно, что точность результата, полученного при замене интегрального уравнения (7.102) системой линейных уравнений (7.104), будет тем выше, чем меньшую погрешность мы совершаем, заменяя интеграл суммой. Точные оценки погрешности, получающейся при применении этого метода, и некоторые рекомендации по выбору той или иной квадратурной формулы можно найти, например, в книге [11].

Приложения интегральных уравнений в математической физике

Интегральные уравнения имеют обширную область приложений в математической физике. Отметим, например, приложения в статической теории упругости, в задачах обтекания в гидродинамике, в теории колебаний, в задачах об устойчивости сжатых стержней и во многих других задачах.

Сведение задачи Штурма—Лиувилля к интегральному уравнению

Рассмотрим регулярную задачу Штурма—Лиувилля для уравнения

$$[p(x)X'(x)]' + [\lambda r(x) - q(x)]X(x) = 0, \quad a < x < b$$

с граничными условиями первого, второго или третьего рода.

Такая задача всегда может быть сведена к решению интегрального уравнения с симметричным ядром. Собственные функции и собственные значения обеих проблем совпадают.

Для простоты преобразований будем считать, что $q(x) = 0$, и рассмотрим граничные условия первого рода. Будем иметь следующую задачу:

$$[p(x)X'(x)]' + \lambda r(x)X(x) = 0, \quad a < x < b, \quad (7.105)$$

$$X(a) = 0, \quad X(b) = 0. \quad (7.106)$$

Преобразуем уравнение (7.105) так

$$[p(x)X'(x)]' = -f(x), \quad f(x) = \lambda r(x)X(x), \quad (7.107)$$

где будем считать (временно) функцию $f(x)$ известной.

Проинтегрировав (7.107), получим

$$p(x)X'(x) = -\int_a^x f(y) dy + M, \quad M = \text{const.}$$

Отсюда

$$X'(x) = -\frac{1}{p(x)} \int_a^x f(y) dy + \frac{M}{p(x)}, \quad p(x) > 0, \quad r(x) > 0.$$

Проинтегрируем еще раз:

$$X(x) = M \int_a^x \frac{dz}{p(z)} - \int_a^x \frac{dz}{p(z)} \int_a^z f(y) dy + N, \quad N = \text{const.}$$

Переставим порядок интегрирования, получим

$$X(x) = M \int_a^x \frac{dz}{p(z)} - \int_a^x f(y) dy \int_y^x \frac{dz}{p(z)} dz + N. \quad (7.108)$$

Обозначим

$$\omega(x) = \int_a^x \frac{dz}{p(z)}, \quad x \in [a, b].$$

Тогда формулу (7.108) можно переписать так:

$$X(x) = M\omega(x) - \int_a^x f(y)[\omega(x) - \omega(y)] dy + N. \quad (7.109)$$

Константы M и N выбираем так, чтобы выполнялись условия (7.106). Имеем

$$X(a) = 0 \Rightarrow N = 0,$$

$$X(b) = 0 \Rightarrow M\omega(b) - \int_a^b f(y)[\omega(b) - \omega(y)] dy = 0.$$

Ясно, что $\omega(b) > 0$, а тогда находим

$$M = \frac{1}{\omega(b)} \int_a^b f(y)[\omega(b) - \omega(y)] dy.$$

Формула (7.109) принимает вид

$$X(x) = \frac{\omega(x)}{\omega(b)} \int_a^b f(y)[\omega(b) - \omega(y)] dy - \int_a^x f(y)[\omega(x) - \omega(y)] dy.$$

Перепишем эту формулу в виде

$$X(x) = \frac{1}{\omega(b)} \left\{ \omega(x) \int_a^x f(y) [\omega(b) - \omega(y)] dy + \right. \\ \left. + \omega(x) \int_x^b f(y) [\omega(b) - \omega(y)] dy - \right. \\ \left. - \omega(b) \int_a^x f(y) [\omega(x) - \omega(y)] dy, \right.$$

или

$$X(x) = \frac{1}{\omega(b)} \left\{ \int_a^x \omega(y) [\omega(b) - \omega(x)] f(y) dy + \right. \\ \left. + \int_x^b \omega(x) [\omega(b) - \omega(y)] f(y) dy \right\},$$

или

$$X(x) = \int_a^b G(x, y) f(y) dy, \quad a \leq x \leq b, \quad (7.110)$$

причем

$$G(x, y) = \begin{cases} \frac{\omega(y) [\omega(b) - \omega(x)]}{\omega(b)}, & y \leq x, \\ \frac{\omega(x) [\omega(b) - \omega(y)]}{\omega(b)}, & x \leq y. \end{cases}$$

Функция $G(x, y)$ — известная функция. Эта функция называется функцией Грина данной задачи (7.105), (7.106). Функция Грина непрерывна в области $\{a \leq x \leq b, a \leq y \leq b\}$, но не является аналитической (производные при $y = x$ не совпадают). Кроме того, очевидно, $G(x, y) = G(y, x)$.

Имеем далее

$$f(x) = \lambda r(x) X(x).$$

Таким образом, (7.110) принимает вид

$$X(x) - \lambda \int_a^b G(x, y) r(y) X(y) dy = 0, \quad a \leq x \leq b.$$

Последнее уравнение можно переписать так:

$$\varphi(x) - \lambda \int_a^b K(x, y) \varphi(y) dy = 0, \quad a \leq x \leq b, \quad (7.111)$$

где введены обозначения

$$\sqrt{r(x)} X(x) = \varphi(x), \\ \sqrt{r(x) r(y)} G(x, y) = K(x, y).$$

Интегральное уравнение (7.111) — очевидно, уравнение с симметричным ядром $K(x, y) = K(y, x)$. Таким образом, наша задача свелась к однородному интегральному уравнению Фредгольма с симметричным ядром. Аналогичные выкладки можно проделать для условий второго и третьего рода, а также при $q(x) \neq 0$. Отметим еще, что сингулярная задача Штурма—Лиувилля сводится к сингулярному интегральному уравнению.

Пример. Рассмотрим следующую задачу Штурма—Лиувилля

$$X''(x) + \lambda X(x) = 0, \quad 0 < x < l,$$

$$X(0) = 0, \quad X(l) = 0.$$

Сведем эту задачу к интегральному уравнению. Воспользуемся полученными ранее результатами. Имеем $a = 0$, $b = l$, $p(x) = 1$, $q(x) = 0$, $r(x) = 1$; далее

$$\omega(x) = \int_0^x dz = x, \quad \omega(b) = \omega(l) = l,$$

$$G(x, y) = \begin{cases} \frac{y(l-x)}{l}, & y \leq x, \\ \frac{x(l-y)}{l}, & x \leq y. \end{cases}$$

Кроме того, $\varphi(x) = X(x)$, $K(x, y) = G(x, y)$. Таким образом, окончательно получаем следующее интегральное уравнение:

$$X(x) - \lambda \int_0^l K(x, y) X(y) dy = 0, \quad 0 \leq x \leq l,$$

где

$$K(x, y) = \begin{cases} \frac{y(l-x)}{l}, & y \leq x, \\ \frac{x(l-y)}{l}, & x \leq y. \end{cases}$$

Сведение плоской задачи гидродинамики к интегральному уравнению Фредгольма

Пусть цилиндрическое тело помещено в плоскопараллельный поток идеальной несжимаемой жидкости. Требуется найти скорость установившегося потока в каждой точке пространства.

Удобно представить вектор скорости как сумму двух векторов $\vec{v} = \vec{v}_0 + \vec{v}_1$, где \vec{v}_0 — скорость невозмущенного потока (при отсутствии тела), \vec{v}_1 — возмущение. Соответствующие потенциалы обозначим u_0 и u_1 , так что $\vec{v}_0 = -\nabla u_0$, $\vec{v}_1 = -\nabla u_1$. Потенциал невозмущенного потока, очевидно, есть линейная функция координат x и y : $u_0 = -v_x^0 x - v_y^0 y + \text{const}$, где v_x^0 и v_y^0 — проекции вектора скорости \vec{v}_0 на оси координат x и y соответственно. Потенциал u_1 удовлетворяет следующей краевой задаче для уравнения Лапласа:

$$\Delta u_1 \equiv \frac{\partial^2 u_1}{\partial x^2} + \frac{\partial^2 u_1}{\partial y^2} = 0, \quad N(x, y) \in D, \quad (7.112)$$

где область D — внешность цилиндра;

$$\left. \frac{\partial u_1}{\partial n} \right|_{\Gamma} = v_n^0(P), \quad P \in \Gamma, \quad (7.113)$$

$$u_1 \Big|_{|ON| \rightarrow \infty} = 0,$$

где $v_n^0(P)$ — нормальная к контуру цилиндра Γ составляющая вектора скорости \vec{v}_0 , $N(x, y) \in D$ — некоторая точка в пространстве, $O(0, 0)$ — начало координат в центре цилиндра (рис 7.1).

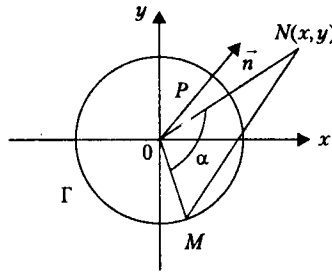


Рис. 7.1. Обтекание цилиндра

Будем искать решение нашей задачи $u_1 = u_1(x, y) = u_1(N)$ в виде

$$u_1(N) = - \int_{\Gamma} \mu(M) \ln|MN| ds_M, \quad (7.114)$$

где M — некоторая произвольная точка на контуре Γ , $\mu(M)$ — некоторая непрерывная неизвестная функция от положения точки $M(x_M, y_M)$. При этом будем предполагать, что

$$\int_{\Gamma} \mu(M) ds_M = 0. \quad (7.115)$$

Интеграл вида (7.114) называется *логарифмическим потенциалом простого слоя*. Функция $\mu(M)$ — плотность этого слоя. Можно утверждать, что (7.114) существует и является непрерывной функцией от точки N , более того, $u_1(N) \in C^{(2)}(D)$. Далее

$$\Delta u_1 = - \int_{\Gamma} \mu(M) \Delta \ln|MN| ds_M, \quad N \in D,$$

но $\Delta \ln|MN| = 0$. Таким образом, $\Delta u_1 = 0$ в области D , то есть уравнение (7.112) выполнено независимо от вида функции $\mu(M)$.

Проверим справедливость условия на бесконечности. Имеем

$$|MN| = \sqrt{|OM|^2 + |ON|^2 - 2|OM||ON|\cos(\alpha)},$$

где α — угол между векторами \vec{OM} и \vec{ON} (см. рис. 7.1).

Учитывая, что $|ON| \rightarrow \infty$, $|OM|$ — ограничено, можно преобразовать, разлагая в ряд

$$\begin{aligned} |MN| &= |ON| \sqrt{1 - 2 \frac{|OM|}{|ON|} \cos(\alpha) + \frac{|OM|^2}{|ON|^2}} = \\ &= |ON| \left\{ 1 - \frac{|OM|}{|ON|} \cos(\alpha) + \dots \right\}_{|ON| \rightarrow \infty}. \end{aligned}$$

Поэтому

$$\ln|MN| = \ln|ON| + \ln \left\{ 1 - \frac{|OM|}{|ON|} \cos(\alpha) + \dots \right\}_{|ON| \rightarrow \infty} = \ln|ON| - \frac{|OM|}{|ON|} \cos(\alpha) + \dots.$$

Таким образом, при условии, что $|ON| \rightarrow \infty$,

$$\begin{aligned} u_1(N) &= \underbrace{-\ln|ON| \int_{\Gamma} \mu(M) ds_M}_{=0} + \frac{1}{|ON|} \int_{\Gamma} \mu(M) |OM| \cos(\alpha) ds_M + \dots = \\ &= O\left(\frac{1}{|ON|}\right) \xrightarrow{|ON| \rightarrow \infty} 0, \end{aligned}$$

так как первый интеграл справа равен нулю в силу формулы (7.115).

Остается подобрать функцию $\mu(M)$ так, чтобы выполнялось условие (7.113).

Имеем

$$\begin{aligned} \frac{\partial u_1}{\partial n} &= - \int_{\Gamma} \mu(M) \frac{\partial}{\partial n} \ln|MN| ds_M, \\ |MN| &= \sqrt{(x - x_M)^2 + (y - y_M)^2}, \\ \frac{\partial}{\partial n} \ln|MN| &= \frac{\partial}{\partial x} (\ln|MN|) \cos(\widehat{\vec{n}}, x) + \frac{\partial}{\partial y} (\ln|MN|) \cos(\widehat{\vec{n}}, y) = \\ &= \frac{(x - x_M) \cos(\widehat{\vec{n}}, x) + (y - y_M) \cos(\widehat{\vec{n}}, y)}{|MN|^2} = \\ &= \frac{\cos(\widehat{\vec{MN}}, x) \cos(\widehat{\vec{n}}, x) + \cos(\widehat{\vec{MN}}, y) \cos(\widehat{\vec{n}}, y)}{|MN|} = \frac{\cos(\widehat{\vec{MN}}, \vec{n})}{|MN|}. \end{aligned}$$

Поэтому

$$\frac{\partial u_1}{\partial n} = - \int_{\Gamma} \mu(M) \frac{\cos(\widehat{\vec{MN}}, \vec{n})}{|MN|} ds_M.$$

Отсюда

$$\frac{\partial u_1}{\partial n} \Big|_P = \lim_{N \rightarrow P} \frac{\partial u_1}{\partial n} = - \lim_{N \rightarrow P} \int_{\Gamma} \mu(M) \frac{\cos(\widehat{\vec{MN}}, \vec{n})}{|MN|} ds_M.$$

При замене точки N на точку P (на контуре) интеграл превращается в несобственный, но, тем не менее, предел существует. Вычисления дают

$$\left. \frac{\partial u_1}{\partial n} \right|_P = - \int_{\Gamma} \mu(M) \frac{\cos(\widehat{MP}, \vec{n})}{|MP|} ds_M - \pi \mu(P). \quad (7.167)$$

Строгое доказательство этого факта дано в теории потенциала [13], [26].

Получаем, таким образом,

$$- \int_{\Gamma} \mu(M) \frac{\cos(\widehat{MP}, \vec{n})}{|MP|} ds_M - \pi \mu(P) = v_n^0(P)$$

или

$$\mu(P) + \frac{1}{\pi} \int_{\Gamma} \mu(M) \frac{\cos(\widehat{MP}, \vec{n})}{|MP|} ds_M = - \frac{v_n^0(P)}{\pi}, \quad P \in \Gamma. \quad (7.116)$$

Таким образом, плотность $\mu(P)$ — решение интегрального уравнения (7.116) с ядром

$$K(M, P) = \frac{\cos(\widehat{MP}, \vec{n})}{|MP|} \quad (7.117)$$

и параметром $\lambda = -1/\pi$.

Можно показать для широкого класса контуров, что $\lambda = -1/\pi$ не является собственным значением однородного уравнения, соответствующего уравнению (7.116), и, следовательно, уравнение (7.116) разрешимо (по альтернативе Фредгольма), при этом оказывается выполнимым условие разрешимости (7.115).

Пример. Рассмотрим случай обтекания круглого цилиндра, когда Γ есть круг радиуса a (рис. 7.2).

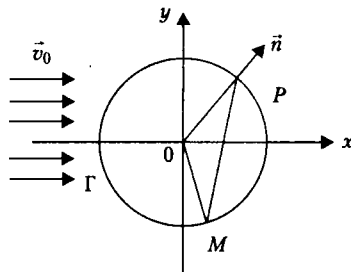


Рис. 7.2. Обтекание круглого цилиндра

В этом случае $|OM| = a$, $|MP| = 2a \cos(\widehat{MP}, \vec{n})$, следовательно,

$$K(M, P) = \frac{\cos(\widehat{MP}, \vec{n})}{|MP|} = \frac{1}{2a}.$$

Далее

$$v_n^0(P) = |\vec{v}_0| \cos(\widehat{OP}, x).$$

Таким образом, интегральное уравнение будет иметь вид

$$\mu(P) + \frac{1}{2\pi a} \int_{\Gamma} \mu(M) ds_M = -\frac{|\vec{v}_0| \cos(\widehat{OP}, x)}{\pi}.$$

Но в силу формулы (7.115) интеграл слева равен нулю. Итак, мы получили

$$\mu(P) = -\frac{|\vec{v}_0| \cos(\widehat{OP}, x)}{\pi}.$$

Вопросы к главе 7

1. Какие уравнения называются интегральными? Приведите примеры.
2. Что называется решением интегрального уравнения?
3. Приведите общий вид интегрального уравнения Фредгольма первого рода.
4. Приведите общий вид интегрального уравнения Фредгольма второго рода.
5. Приведите общий вид интегрального уравнения Вольтерры первого рода.
6. Приведите общий вид интегрального уравнения Вольтерры второго рода.
7. Что называется ядром интегрального уравнения?
8. Что называется правой частью интегрального уравнения?
9. Какие требования обычно накладываются на ядро и правую часть интегрального уравнения? В каком классе функций ищется решение интегрального уравнения?
10. Какое интегральное уравнение называется регулярным? Сингулярным?
11. Приведите пример интегрального уравнения, в котором интегрирование производится по поверхности.
12. Приведите примеры интегральных уравнений, содержащих интегралы по контуру в плоскости комплексной переменной.
13. Какое интегральное уравнение называется линейным? Нелинейным? Приведите примеры.
14. Дайте решение интегрального уравнения Вольтерры второго рода с ядром, зависящим от разности.
15. Дайте решение интегрального уравнения Вольтерры первого рода с ядром, зависящим от разности. Какое дополнительное условие разрешимости должно выполняться в этом случае?
16. Какое уравнение называется уравнением Абеля? Дайте решение этого уравнения.

17. Как решаются интегральные уравнения Фредгольма с ядром, зависящим от разности, и с бесконечными пределами интегрирования? Какое условие разрешимости должно выполняться в этом случае?
18. Как решаются интегральные уравнения Фредгольма с ядром, зависящим от суммы, и с бесконечными пределами интегрирования? Какое условие разрешимости должно выполняться в этом случае?
19. Какое ядро называется вырожденным? Приведите примеры.
20. Изложите метод решения интегральных уравнений Фредгольма с вырожденным ядром.
21. Дайте общее решение уравнения Вольтерры разложением в ряд по степеням параметра.
22. Сформулируйте и докажите теорему единственности решения интегрального уравнения Вольтерры.
23. Дайте общее решение уравнения Фредгольма разложением в ряд по степеням параметра.
24. Что называется резольвентой интегрального уравнения?
25. Как определяется резольвента интегрального уравнения Фредгольма?
26. Какие интегральные уравнения называются однородными? Неоднородными?
27. Что такое собственные функции интегрального уравнения?
28. Что такое собственные значения интегрального уравнения?
29. Что называется спектром интегрального уравнения?
30. Что такое ранг собственного значения?
31. Укажите связь между разрешимостью однородного и неоднородного интегральных уравнений Фредгольма.
32. Сформулируйте альтернативу Фредгольма.
33. Какое ядро называется симметричным? Приведите примеры.
34. Сформулируйте основные теоремы теории интегральных уравнений с симметричным ядром.
35. Изложите метод сведения интегрального уравнения к уравнению с вырожденным ядром. Приведите пример.
36. Изложите метод сведения интегрального уравнения к системе линейных алгебраических уравнений.
37. Сведите регулярную задачу Штурма—Лиувилля к интегральному уравнению с симметричным ядром.
38. Сведите плоскую задачу гидродинамики к интегральному уравнению Фредгольма.

Задачи с примерами решения

1. Проверить, что данные функции являются решениями соответствующих интегральных уравнений:

$$1) \varphi(x) = \frac{x}{(1+x^2)^{5/2}}; \quad \varphi(x) = \frac{3x+2x^2}{3(1+x^2)^2} - \int_0^x \frac{3x+2x^2-y}{(1+x^2)^2} \varphi(y) dy.$$

$$2) \begin{cases} \varphi(x) = e^x [\cos(e^x) - e^x \sin(e^x)]; \\ \varphi(x) = (1 - xe^{2x}) \cos(1) - e^{2x} \sin(1) + \int_0^x [1 - (x-y)e^{2x}] \varphi(y) dy. \end{cases}$$

$$3) \varphi(x) = xe^x; \quad \varphi(x) = e^x \sin(x) + 2 \int_0^x \cos(x-y) \varphi(y) dy.$$

$$4) \varphi(x) = x - \frac{x^3}{6}; \quad \varphi(x) = x - \int_0^x \operatorname{sh}(x-y) \varphi(y) dy.$$

$$5) \varphi(x) = \frac{1}{\pi\sqrt{x}}; \quad \int_0^x \frac{\varphi(y)}{\sqrt{x-y}} dy = 1.$$

2. Решить уравнение

$$\varphi(x) = \frac{5x}{6} + \frac{1}{2} \int_0^1 xy \varphi(y) dy.$$

3. Решить уравнение

$$\varphi(x) = 3x - 2 + 3 \int_0^2 xy \varphi(y) dy.$$

4. Решить уравнение

$$\varphi(x) = 3x - 2 + 3 \int_0^1 xy \varphi(y) dy.$$

5. При каких значениях параметра λ система имеет нетривиальное решение

$$\begin{cases} \varphi(x) = \lambda \int_0^1 (x-y) \psi(y) dy, \\ \psi(x) = \lambda \int_0^1 (y-x) \varphi(y) dy. \end{cases}$$

6. Найти собственные значения и собственные функции уравнения

$$\varphi(x) = \lambda \int_0^1 (x^2 + y^2) \varphi(y) dy.$$

7. Найти собственные значения и собственные функции уравнения

$$\varphi(x) = \lambda \int_0^1 \left[3xy + 1 - \frac{3}{2}(x+y) \right] \varphi(y) dy.$$

8. Найти собственные значения и собственные функции уравнения

$$\varphi(x) = \lambda \int_0^{\pi/2} \sin(x+y) \varphi(y) dy.$$

9. Решить уравнение

$$\varphi(x) - \frac{\pi^2}{4} \int_0^{\pi/2} K(x, y) \varphi(y) dy = \frac{x}{2}, \quad K(x, y) = \begin{cases} \frac{x}{2}(2-y), & 0 \leq x < y, \\ \frac{y}{2}(2-x), & y \leq x. \end{cases}$$

10. Найти собственные значения и собственные функции уравнения

$$\varphi(x) = \lambda \int_0^{\pi} K(x, y) \varphi(y) dy, \quad K(x, y) = \begin{cases} \cos(y) \sin(x), & y < x, \\ \cos(x) \sin(y), & x < y. \end{cases}$$

11. Решить уравнение

$$\varphi(x) - 4 \int_0^{\pi/2} \sin^2(x) \varphi(y) dy = 2x - \pi.$$

12. Решить уравнение

$$\varphi(x) - \lambda \int_0^{\pi/2} \sin(x) \cos(y) \varphi(y) dy = \sin(x).$$

13. Решить уравнение

$$\varphi(x) - \lambda \int_0^{\pi} \sin(x-y) \varphi(y) dy = \cos(x).$$

14. Решить уравнение

$$\varphi(x) - \lambda \int_{-\pi}^{\pi} [x \cos(y) + y^2 \sin(x) + \cos(x) \sin(y)] \varphi(y) dy = x.$$

15. Решить уравнение

$$\varphi(x) = e^x - \int_0^x e^{x-y} \varphi(y) dy.$$

16. Решить уравнение

$$\varphi(x) = x - \int_0^x e^{x-y} \varphi(y) dy.$$

17. Решить уравнение

$$\varphi(x) = e^{2x} + \int_0^x e^{y-x} \varphi(y) dy.$$

18. Решить уравнение

$$\varphi(x) = 1 + x + \int_0^x e^{-2(x-y)} \varphi(y) dy.$$

19. Решить уравнение

$$\varphi(x) = x + \int_0^x \sin(x-y) \varphi(y) dy.$$

20. Решить уравнение

$$\varphi(x) = x - \int_0^x \operatorname{sh}(x-y) \varphi(y) dy.$$

21. Решить уравнение

$$\varphi(x) = e^x + 2 \int_0^x \cos(x-y) \varphi(y) dy.$$

22. Решить уравнение

$$\varphi(x) = 1 + 2 \int_0^x \cos(x-y) \varphi(y) dy.$$

23. Решить уравнение

$$\varphi(x) = \cos(x) + \int_0^x \varphi(y) dy.$$

24. Решить уравнение

$$\int_0^x e^{x-y} \varphi(y) dy = \operatorname{sh}(x).$$

25. Решить уравнение

$$\int_0^x e^{2(x-y)} \varphi(y) dy = \sin(x).$$

26. Решить систему уравнений

$$\begin{cases} \varphi_1(x) = e^{2x} + \int_0^x \varphi_2(y) dy, \\ \varphi_2(x) = 1 - \int_0^x e^{2(x-y)} \varphi_1(y) dy. \end{cases}$$

27. Решить систему уравнений

$$\begin{cases} \varphi_1(x) = e^x + \int_0^x \varphi_1(y) dy - \int_0^x e^{x-y} \varphi_2(y) dy, \\ \varphi_2(x) = -x - \int_0^x (x-y) \varphi_1(y) dy + \int_0^x \varphi_2(y) dy. \end{cases}$$

28. Решить систему уравнений

$$\begin{cases} \varphi_1(x) = e^x - \int_0^x \varphi_1(y) dy + 4 \int_0^x e^{x-y} \varphi_2(y) dy, \\ \varphi_2(x) = 1 - \int_0^x e^{y-x} \varphi_1(y) dy + \int_0^x \varphi_2(y) dy. \end{cases}$$

29. Решить систему уравнений

$$\begin{cases} \varphi_1(x) = x + \int_0^x \varphi_2(y) dy, \\ \varphi_2(x) = 1 - \int_0^x \varphi_1(y) dy, \\ \varphi_3(x) = \sin(x) + \frac{1}{2} \int_0^x (x-y) \varphi_1(y) dy. \end{cases}$$

30. Решить систему уравнений

$$\begin{cases} \varphi_1(x) = 1 - \int_0^x \varphi_2(y) dy, \\ \varphi_2(x) = \cos(x) - 1 + \int_0^x \varphi_3(y) dy, \\ \varphi_3(x) = \cos(x) + \int_0^x \varphi_1(y) dy. \end{cases}$$

Примеры решения типовых задач

Пример 1. Решить уравнение

$$\varphi(x) = x^2 + 2 \int_0^1 (1 + 3xy) \varphi(y) dy.$$

Решение. Данное уравнение является уравнением с вырожденным ядром. Перепишем его в виде

$$\varphi(x) = x^2 + 2 \int_0^1 \varphi(y) dy + 6x \int_0^1 y \varphi(y) dy.$$

Обозначим

$$C_1 = \int_0^1 \varphi(y) dy,$$

$$C_2 = \int_0^1 y \varphi(y) dy.$$

Тогда наше уравнение примет вид

$$\varphi(x) = x^2 + 2C_1 + 6xC_2.$$

Сначала проинтегрируем последнее уравнение, затем умножим его на x и опять проинтегрируем. Получим два уравнения относительно констант C_1 и C_2 :

$$\int_0^1 \varphi(x) dx = \int_0^1 x^2 dx + 2C_1 \int_0^1 dx + 6C_2 \int_0^1 x dx \Rightarrow C_1 = \frac{1}{3} + 2C_1 + 6C_2 \frac{1}{2},$$

$$\int_0^1 x \varphi(x) dx = \int_0^1 x^3 dx + 2C_1 \int_0^1 x dx + 6C_2 \int_0^1 x^2 dx \Rightarrow C_2 = \frac{1}{4} + 2C_1 \frac{1}{2} + 6C_2 \frac{1}{3}.$$

Остается только решить полученные уравнения относительно C_1 и C_2 . Все это удобно выполнить на компьютере в системе Maple. Задаем уравнение

```
> restart;
> with(Student[Calculus1]);
> eq:=phi(x)=x^2+2*int((1+3*x*y)*phi(y),y=0..1);
```

$$eq := \phi(x) = x^2 + 2 \int_0^1 (1 + 3xy) \phi(y) dy$$

Вводим обозначения констант C_1 и C_2

```
> phi(x)=
> x^2+2*int(phi(y),y=0..1)+6*x*int(y*phi(y),y=0..1);
```

$$\phi(x) = x^2 + 2 \int_0^1 \phi(y) dy + 6x \int_0^1 y \phi(y) dy$$

```
> sol:=
> subs(int(phi(y),y=0..1)=C1,int(y*phi(y),y=0..1)=C2,%);
```

$$sol := \phi(x) = x^2 + 2 C1 + 6 x C2$$

Формируем систему уравнений относительно констант C_1 и C_2

```
> e1:=
int(lhs(sol),x=0..1)=rhs(Rule[+](Int(rhs(sol),x=0..1)));
```

$$e1 := \int_0^1 \phi(x) dx = \int_0^1 x^2 dx + \int_0^1 2 C1 dx + \int_0^1 6 x C2 dx$$

```
> e2:=int(x*lhs(sol),x=0..1)=
rhs(Rule[+](Int(expand(x*rhs(sol)),x=0..1)));
```

$$e2 := \int_0^1 x \phi(x) dx = \int_0^1 x^3 dx + \int_0^1 2 x C1 dx + \int_0^1 6 x^2 C2 dx$$

```
> e1:=subs(int(phi(x),x=0..1)=C1,lhs(e1))=value(rhs(e1));
e2:=subs(int(x*phi(x),x=0..1)=C2,lhs(e2))=value(rhs(e2));
```

$$e1 := C1 = \frac{1}{3} + 2 C1 + 3 C2$$

$$e2 := C2 = \frac{1}{4} + C1 + 2 C2$$

Решаем полученную систему

```
> res:=solve({e1,e2},{C1,C2});assign(res);
```

$$res := \{ C2 = \frac{-1}{24}, C1 = \frac{-5}{24} \}$$

```
> sol;
```

$$\phi(x) = x^2 - \frac{5}{12} - \frac{1}{4} x$$

```
> phi:=unapply(rhs(%),x);
```

$$\phi := x \rightarrow x^2 - \frac{5}{12} - \frac{1}{4}x$$

Делаем проверку полученного решения

> simplify(lhs(eq)-rhs(eq)):

0

Итак, решением нашего уравнения будет функция

$$\varphi(x) = x^2 - \frac{1}{4}x - \frac{5}{12}.$$

Пример 2. Решить уравнение

$$\varphi(x) - 4 \int_0^{\pi/2} \sin^2(x) \varphi(y) dy = 2x - \pi.$$

Решение. Решаем в Maple:

> restart;

> with(Student[Calculus1]):

> eq:=phi(x)-4*int(sin(x)^2*phi(y),y=0..Pi/2)=2*x-Pi:

phi(x)-4*sin(x)^2*int(phi(y),y=0..Pi/2)=2*x-Pi:

$$eq := \phi(x) - 4 \int_0^{\frac{\pi}{2}} \sin^2(x) \phi(y) dy = 2x - \pi$$

$$\phi(x) - 4 \sin^2(x) \int_0^{\frac{\pi}{2}} \phi(y) dy = 2x - \pi$$

> eqn:=subs(int(phi(y),y=0..Pi/2)=C,%):

$$eqn := \phi(x) - 4 \sin^2(x) C = 2x - \pi$$

> Rule['+'](Int(lhs(%),x=0..Pi/2)):

$$\int_0^{\frac{\pi}{2}} \phi(x) - 4 \sin^2(x) C dx = \int_0^{\frac{\pi}{2}} \phi(x) dx + \int_0^{\frac{\pi}{2}} -4 \sin^2(x) C dx$$

> value(subs(Int(phi(x),x=0..Pi/2)=C,rhs(%)))=

simplify(int(rhs(eqn),x=0..Pi/2)):

$$C - \pi C = -\frac{\pi^2}{4}$$

> res:=solve(%C):C:=%:

$$res := \frac{\pi^2}{4(-1 + \pi)}$$

$$C := \frac{\pi^2}{4(-1 + \pi)}$$

> solve(eqn,phi(x)):

$$\frac{\sin(x)^2 \pi^2 - 2x + 2x\pi + \pi - \pi^2}{-1 + \pi}$$

```
> collect(%, sin);
```

$$\frac{\sin(x)^2 \pi^2}{-1 + \pi} + \frac{-\pi^2 - 2x + 2x\pi + \pi}{-1 + \pi}$$

```
> op(1,%) + normal(op(2, %));
```

$$\frac{\sin(x)^2 \pi^2}{-1 + \pi} + 2x - \pi$$

```
> phi:=unapply(%, x);
```

$$\phi := x \rightarrow \frac{\sin(x)^2 \pi^2}{-1 + \pi} + 2x - \pi$$

```
> simplify(eq);
```

$$2x - \pi = 2x - \pi$$

Итак, решением интегрального уравнения будет функция

$$\varphi(x) = \frac{\pi^2 \sin^2(x)}{\pi - 1} + 2x - \pi.$$

Пример 3. Найти собственные значения и собственные функции однородного интегрального уравнения с вырожденным ядром

$$\varphi(x) = \lambda \int_0^1 (x^2 + y^2) \varphi(y) dy.$$

Решение. Решаем в Maple:

```
> restart;
```

```
> eq:=-phi(x)=lambda*int((x^2+y^2)*phi(y),y=0..1);
```

```
phi(x)=lambda*x^2*int(phi(y),y=0..1)+
```

```
lambda*int(y^2*phi(y),y=0..1);
```

$$eq := \phi(x) = \lambda \int_0^1 (x^2 + y^2) \phi(y) dy$$

$$\phi(x) = \lambda x^2 \int_0^1 \phi(y) dy + \lambda \int_0^1 \phi(y) y^2 dy$$

```
> eqn:=
```

```
subs(int(phi(y),y=0..1)=C1,int(y^2*phi(y),y=0..1)=C2,%);
```

$$eqn := \phi(x) = \lambda x^2 C1 + \lambda C2$$

```
> eqn1:=int(lhs(eqn),x=0..1)=int(rhs(eqn),x=0..1);
```

```
eqn2:=int(x^2*lhs(eqn),x=0..1)=int(x^2*rhs(eqn),x=0..1);
```

$$eqn1 := \int_0^1 \phi(x) dx = \frac{1}{3} \lambda C1 + \lambda C2$$

$$eqn2 := \int_0^1 x^2 \phi(x) dx = \frac{1}{5} \lambda C1 + \frac{1}{3} \lambda C2$$

```
> eqn1:=subs(int(phi(x),x=0..1)=C1,eqn1);
```

```
eqn2:=subs(int(x^2*phi(x),x=0..1)=C2,eqn2);
```

$$\text{eqn1} := C1 = \frac{1}{3} \lambda C1 + \lambda C2$$

$$\text{eqn2} := C2 = \frac{1}{5} \lambda C1 + \frac{1}{3} \lambda C2$$

> A:=linalg[genmatrix]({eqn1,eqn2},{C1,C2}):

$$A := \begin{bmatrix} -\frac{\lambda}{5} & 1 - \frac{\lambda}{3} \\ 1 - \frac{\lambda}{3} & -\lambda \end{bmatrix}$$

> Delta:=linalg[det](A):

$$\Delta := \frac{4}{45} \lambda^2 - 1 + \frac{2}{3} \lambda$$

> res:=solve(Delta,lambda):

$$\text{res} := -\frac{15}{4} + \frac{9\sqrt{5}}{4}, -\frac{15}{4} - \frac{9\sqrt{5}}{4}$$

Итак, мы нашли собственные значения интегрального уравнения. Обозначим их μ_1 и μ_2 :

> mu[1]:=res[1];mu[2]:=res[2]:

$$\mu_1 := -\frac{15}{4} + \frac{9\sqrt{5}}{4}$$

$$\mu_2 := -\frac{15}{4} - \frac{9\sqrt{5}}{4}$$

Найдем теперь собственные функции:

> e1:=subs(lambda=mu[1],eqn1):

e2:=subs(lambda=mu[1],eqn2):

solve({e1,e2},{C1,C2}):

assign(%):

$$e1 := C1 = \frac{\left(-\frac{15}{4} + \frac{9\sqrt{5}}{4}\right) C1}{3} + \left(-\frac{15}{4} + \frac{9\sqrt{5}}{4}\right) C2$$

$$e2 := C2 = \frac{\left(-\frac{15}{4} + \frac{9\sqrt{5}}{4}\right) C1}{5} + \frac{\left(-\frac{15}{4} + \frac{9\sqrt{5}}{4}\right) C2}{3}$$

$$\{C2 = C2, C1 = C2 \sqrt{5}\}$$

> factor(eqn):

$$\phi(x) = \frac{\sqrt{5} (\sqrt{5} + 5x^2) \lambda C2}{5}$$

> C1:='C1':C2:='C2':

e1:=subs(lambda=mu[2],eqn1):

e2:=subs(lambda=mu[2],eqn2):

```
solve({e1,e2},{C1,C2});
assign(%):
```

$$e1 := C1 = \frac{\left(-\frac{15}{4} - \frac{9\sqrt{5}}{4}\right) C1}{3} + \left(-\frac{15}{4} - \frac{9\sqrt{5}}{4}\right) C2$$

$$e2 := C2 = \frac{\left(-\frac{15}{4} - \frac{9\sqrt{5}}{4}\right) C1}{5} + \frac{\left(-\frac{15}{4} - \frac{9\sqrt{5}}{4}\right) C2}{3}$$

$$\{C2 = C2, C1 = -C2\sqrt{5}\}$$

```
> factor(eq):
```

$$\phi(x) = \frac{\sqrt{5}(\sqrt{5} - 5x^2)\lambda C2}{5}$$

Итак, собственные функции (обозначим их $\psi_1(x)$ и $\psi_2(x)$; они определяются с точностью до произвольного множителя):

```
> psi[1]:=x->5*x^2+5^(1/2);
```

```
> psi[2]:=x->-5*x^2+5^(1/2);
```

$$\psi_1 := x \rightarrow 5x^2 + \sqrt{5}$$

$$\psi_2 := x \rightarrow -5x^2 + \sqrt{5}$$

Выполним проверку полученного результата:

```
> simplify(subs(phi(x)=psi[1](x),lhs(eq))-subs(lambda=mu[1],phi(y)=psi[1](y),rhs(eq)));
```

$$0$$

```
> simplify(subs(phi(x)=psi[2](x),lhs(eq))-subs(lambda=mu[2],phi(y)=psi[2](y),rhs(eq)));
```

$$0$$

Пример 4. Решить интегральное уравнение Вольтерры

$$\phi(x) = e^{-x} + \int_0^x \sin(x-y)\phi(y) dy.$$

Решение. Ядро данного уравнения зависит от разности, поэтому решаем его с помощью преобразования Лапласа. Выполним все выкладки в Maple. Определим уравнение

```
> restart;with(inttrans,laplace,invlaplace):
```

```
> eq:=phi(x)=exp(-x)+int(sin(x-y)*phi(y),y=0..x):
```

$$eq := \phi(x) = e^{(-x)} + \int_0^x \sin(x-y)\phi(y) dy$$

Применяем преобразование Лапласа и получаем уравнение для трансформанты Лапласа

```
> laplace(eq,x,p):
```

$$\text{laplace}(\phi(x), x, p) = \frac{1}{1+p} + \frac{\text{laplace}(\phi(x), x, p)}{p^2 + 1}$$

```
> subs(laplace(phi(x),x,p)=Phi,%):
```

$$\Phi = \frac{1}{1+p} + \frac{\Phi}{p^2 + 1}$$

Решаем уравнение для трансформанты

```
> solve(%Phi):
```

$$\frac{p^2 + 1}{(1+p)p^2}$$

Вычисляем обратное преобразование

```
> invlaplace(%p,x):
```

$$2e^{-x} + x - 1$$

```
> phi:=unapply(%x):
```

$$\phi := x \rightarrow 2e^{-x} + x - 1$$

Делаем проверку

```
> simplify(lhs(eq)-rhs(eq)):
```

0

Итак, решением нашего уравнения будет функция

$$\varphi(x) = 2e^{-x} + x - 1.$$

Удобно все такие вычисления автоматизировать. Для этого разработаем процедуру решения интегрального уравнения Вольтерры с ядром, зависящим от разности. Процедура может иметь, например, следующий вид:

```
> Volterra:=proc(eq,phi)
print(`Решаемое интегральное уравнение: `):print(eq):
inttrans[laplace](eq,x,p):
print(`Уравнение для трансформанты Лапласа: `):
subs(laplace(phi(x),x,p)=Phi,%):
print(%):
solve(%Phi):
print(`Решение уравнения для трансформанты Лапласа: `):
print(%):
inttrans[invlaplace](%,p,x):
print(`Решение задачи: `):
phi:=unapply(%x):
end proc:
```

Параметрами процедуры Volterra являются решаемое уравнение eq (входной параметр) и искомая функция phi (выходной параметр). Процедура очень проста и не нуждается в дополнительных комментариях. Проверим работу процедуры на уравнениях. Зададим несколько уравнений

```
> eq1:=int(exp(2*(x-xi))*phi(xi),xi=0..x)=x^2*exp(x):
> eq2:=int(cos(x-xi))*phi(xi),xi=0..x)=x+x^2:
```



```

> eq3:=phi(x)=1+1/2*int(sin(2*(x-xi))*phi(xi),xi=0..x):
> eq4:=
phi(x)=1-2*x-4*x^2+3*int(phi(xi),xi=0..x)+
6*int((x-xi)*phi(xi),xi=0..x)-
4*int((x-xi)^2*phi(xi),xi=0..x):
> eq5:=
phi(x)=x^2/2+int((x-xi)*exp(x-xi)*phi(xi),xi=0..x):
> eq6:=
phi(x)=x+2*int((x-xi)*phi(xi),xi=0..x)-
2*int(sin(x-xi)*phi(xi),xi=0..x):
> eq7:=int(BesselJ(0,(x-xi))*phi(xi),xi=0..x)=sin(x):

```

$$eq1 := \int_0^x e^{(2x-2\xi)} \phi(\xi) d\xi = x^2 e^x$$

$$eq2 := \int_0^x \cos(x-\xi) \phi(\xi) d\xi = x + x^2$$

$$eq3 := \phi(x) = 1 + \frac{1}{2} \int_0^x \sin(2x-2\xi) \phi(\xi) d\xi$$

$$eq4 := \phi(x) = 1 - 2x - 4x^2 + 3 \int_0^x \phi(\xi) d\xi + 6 \int_0^x (x-\xi) \phi(\xi) d\xi - 4 \int_0^x (x-\xi)^2 \phi(\xi) d\xi$$

$$eq5 := \phi(x) = \frac{x^2}{2} + \int_0^x (x-\xi) e^{(x-\xi)} \phi(\xi) d\xi$$

$$eq6 := \phi(x) = x + 2 \int_0^x (x-\xi) \phi(\xi) d\xi - 2 \int_0^x \sin(x-\xi) \phi(\xi) d\xi$$

$$eq7 := \int_0^x \text{BesselJ}(0, x-\xi) \phi(\xi) d\xi = \sin(x)$$

Решим эти уравнения:

```

> phi:='phi':k:=1:
Volterra(eq||k,phi):
print('Проверка:'):
simplify(convert(lhs(eq||k)-rhs(eq||k),exp)):
k:=1

```

Решаемое интегральное уравнение:

$$\int_0^x e^{(2x-2\xi)} \phi(\xi) d\xi = x^2 e^x$$

Уравнение для трансформанты Лапласа:

$$\frac{\Phi}{2\left(\frac{p}{2}-1\right)} = \frac{2}{(p-1)^3}$$

Решение уравнения для трансформанты Лапласа:

$$\frac{2(p-2)}{(p-1)^3}$$

Решение задачи:

$$x \rightarrow -(-2x + x^2)e^x$$

Проверка:

$$0$$

```
> phi:='phi':k:=2;
Volterra(eq||k,phi):
print(`Проверка:`);
simplify(convert(lhs(eq||k)-rhs(eq||k),exp)):
k:=2
```

Решаемое интегральное уравнение:

$$\int_0^x \cos(x-\xi) \phi(\xi) d\xi = x + x^2$$

Уравнение для трансформанты Лапласа:

$$\frac{\Phi p}{p^2+1} = \frac{1}{p^2} + \frac{2}{p^3}$$

Решение уравнения для трансформанты Лапласа:

$$\frac{(p+2)(p^2+1)}{p^4}$$

Решение задачи:

$$x \rightarrow \frac{1}{3}x^3 + 2x + 1 + \frac{1}{2}x^2$$

Проверка:

$$0$$

```
> phi:='phi':k:=3;
Volterra(eq||k,phi):
print(`Проверка:`);
simplify(convert(lhs(eq||k)-rhs(eq||k),exp)):
k:=3
```

Решаемое интегральное уравнение:

$$\phi(x) = 1 + \frac{1}{2} \int_0^x \sin(2x-2\xi) \phi(\xi) d\xi$$

Уравнение для трансформанты Лапласа:

$$\Phi = \frac{1}{p} + \frac{\Phi}{4 \left(\frac{p^2}{4} + 1 \right)}$$

Решение уравнения для трансформанты Лапласа:

$$\frac{p^2 + 4}{p(p^2 + 3)}$$

Решение задачи:

$$x \rightarrow -\frac{1}{3} \cos(\sqrt{3} x) + \frac{4}{3}$$

Проверка:
0

```
> phi:='phi':k:=4;
Volterra(eq||k,phi);
print('Проверка:');
simplify(convert(lhs(eq||k)-rhs(eq||k),exp));
k:=4
```

Решаемое интегральное уравнение:

$$\phi(x) = 1 - 2x - 4x^2 + 3 \int_0^x \phi(\xi) d\xi + 6 \int_0^x (x - \xi) \phi(\xi) d\xi - 4 \int_0^x (x - \xi)^2 \phi(\xi) d\xi$$

Уравнение для трансформанты Лапласа:

$$\Phi = \frac{1}{p} - \frac{2}{p^2} - \frac{8}{p^3} + \frac{3\Phi}{p} + \frac{6\Phi}{p^2} - \frac{8\Phi}{p^3}$$

Решение уравнения для трансформанты Лапласа:

$$\frac{1}{p-1}$$

Решение задачи:

exp

Проверка:

0

```
> phi:='phi':k:=5;
Volterra(eq||k,phi);
print('Проверка:');
simplify(convert(lhs(eq||k)-rhs(eq||k),exp));
k:=5
```

Решаемое интегральное уравнение:

$$\phi(x) = \frac{x^2}{2} + \int_0^x (x - \xi) e^{(x-\xi)} \phi(\xi) d\xi$$

Уравнение для трансформанты Лапласа:

$$\Phi = \frac{1}{p^3} + \frac{\Phi}{(p-1)^2}$$

Решение уравнения для трансформанты Лапласа:

$$\frac{(p-1)^2}{p^4(p-2)}$$

Решение задачи:

$$x \rightarrow -\frac{1}{12}x^3 - \frac{1}{8}x + \frac{3}{8}x^2 + \frac{1}{8}e^x \sinh(x)$$

Проверка:

$$0$$

```
> phi:='phi':k:=6;
Volterra(eq||k,phi):
print('Проверка:');
simplify(convert(lhs(eq||k)-rhs(eq||k),exp)):
k:=6
```

Решаемое интегральное уравнение:

$$\phi(x) = x + 2 \int_0^x (x - \xi) \phi(\xi) d\xi - 2 \int_0^x \sin(x - \xi) \phi(\xi) d\xi$$

Уравнение для трансформанты Лапласа:

$$\Phi = \frac{1}{p^2} + \frac{2\Phi}{p^2} - \frac{2\Phi}{p^2 + 1}$$

Решение уравнения для трансформанты Лапласа:

$$\frac{p^2 + 1}{p^4 + p^2 - 2}$$

Решение задачи:

$$x \rightarrow \frac{1}{6}\sqrt{2} \sin(\sqrt{2}x) + \frac{2}{3} \sinh(x)$$

Проверка:

$$0$$

```
> phi:='phi':k:=7;
Volterra(eq||k,phi):
print('Проверка:');
simplify(convert(lhs(eq||k)-rhs(eq||k),exp)):
k:=7
```

Решаемое интегральное уравнение:

$$\int_0^x \text{BesselJ}(0, x - \xi) \phi(\xi) d\xi = \sin(x)$$

Уравнение для трансформанты Лапласа:

$$\frac{\Phi}{\sqrt{p^2 + 1}} = \frac{1}{p^2 + 1}$$

Решение уравнения для трансформанты Лапласа:

$$\frac{1}{\sqrt{p^2 + 1}}$$

Решение задачи:

$$x \rightarrow \text{BesselJ}(0, x)$$

Проверка:

$$\int_0^x \text{BesselJ}(0, x - \xi) \text{BesselJ}(0, \xi) d\xi - \sin(x)$$

Последняя строка, конечно, не является подтверждением правильности полученного результата (здесь Maple не смог вычислить интеграл от произведения бesselевых функций). Однако справедлива формула¹

$$\int_0^x J_0(x - \xi) J_0(\xi) = \sin(x).$$

Пример 5. Решить систему интегральных уравнений Вольтерры

$$\varphi(x) = 1 + \int_0^x (x - y) \psi(y) dy, \quad \psi(x) = x + \int_0^x (x - y) \varphi(y) dy.$$

Решение. Ядра уравнений системы зависят от разности, поэтому решаем эту систему с помощью преобразования Лапласа. Выполним все выкладки в Maple. Определим систему уравнений

```
> restart;with(inttrans.laplace,invlaplace):
> eq1:=phi(x)=1+int((x-y)*psi(y),y=0..x):
> eq2:=psi(x)=x+int((x-y)*phi(y),y=0..x):
```

$$eq1 := \phi(x) = 1 + \int_0^x (x - y) \psi(y) dy$$

$$eq2 := \psi(x) = x + \int_0^x (x - y) \phi(y) dy$$

Применим преобразование Лапласа к данной системе интегральных уравнений и сформируем систему уравнений для трансформант

```
> p1:=laplace(eq1,x,p):p2:=laplace(eq2,x,p):
```

$$p1 := \text{laplace}(\phi(x), x, p) = \frac{1}{p} + \frac{\text{laplace}(\psi(x), x, p)}{p^2}$$

$$p2 := \text{laplace}(\psi(x), x, p) = \frac{1}{p^2} + \frac{\text{laplace}(\phi(x), x, p)}{p^2}$$

```
> el:=
```

¹ См. Справочник по специальным функциям / Под ред. М. Абрамовица и И. Стигана. — М.: Наука, 1979. 831 с.

```
> subs(laplace(phi(x),x,p)=U,laplace(psi(x),x,p)=V,p1);
> e2:=
> subs(laplace(phi(x),x,p)=U,laplace(psi(x),x,p)=V,p2):
```

$$e1 := U = \frac{1}{p} + \frac{V}{p^2}$$

$$e2 := V = \frac{1}{p^2} + \frac{U}{p^2}$$

Решаем полученную систему и находим оригиналы

```
> solve({e1,e2},{U,V}):assign(%):
```

$$\left\{ U = \frac{p^2 - p + 1}{p^3 - p^2 + p - 1}, V = \frac{p}{p^3 - p^2 + p - 1} \right\}$$

```
> U:phi:=invlaplace(%p,x):V:psi:=invlaplace(%p,x):
```

$$\frac{p^2 - p + 1}{p^3 - p^2 + p - 1}$$

$$\phi := \frac{1}{2} \cos(x) - \frac{1}{2} \sin(x) + \frac{1}{2} e^x$$

$$\frac{p}{p^3 - p^2 + p - 1}$$

$$\psi := -\frac{1}{2} \cos(x) + \frac{1}{2} \sin(x) + \frac{1}{2} e^x$$

Выполним проверку полученного решения

```
> phi:=unapply(phi,x):psi:=unapply(psi,x):
```

$$\phi := x \rightarrow \frac{1}{2} \cos(x) - \frac{1}{2} \sin(x) + \frac{1}{2} e^x$$

$$\psi := x \rightarrow -\frac{1}{2} \cos(x) + \frac{1}{2} \sin(x) + \frac{1}{2} e^x$$

```
> simplify(lhs(eq1)-rhs(eq1)):simplify(lhs(eq2)-rhs(eq2)):
```

0

0

Итак, решение системы имеет вид

$$\varphi(x) = \frac{1}{2} \cos(x) - \frac{1}{2} \sin(x) + \frac{1}{2} e^x, \quad \psi(x) = -\frac{1}{2} \cos(x) + \frac{1}{2} \sin(x) + \frac{1}{2} e^x.$$

Здесь, так же как и для одного интегрального уравнения, удобно автоматизировать выкладки, приводящие к решению задачи. Поэтому разработаем процедуру решения системы интегральных уравнений Вольтерры с ядрами, зависящими от разности:

```
> restart:with(inttrans.laplace,invlaplace):
```

[laplace, invlaplace]

```

> sysVolterra:=proc(eq.y.N)
local i,j,Y,p,e,eqns,var,res:
var:={};eqns:={};
print('Решаемая система интегральных уравнений:');
for i from 1 to N do print(eq||i) end do;
for i from 1 to N do p||i:=laplace(eq||i,x,p) end do;
print('Уравнения для трансформант Лапласа:');
for i from 1 to N do
e||i:=subs(seq(laplace(y||j(x),x,p)=Y||j,j=1..N),p||i);
end do;
for i from 1 to N do
var:=var union {Y||i};
eqns:=eqns union {e||i};
end do;
res:=solve(eqns,var):assign(res);
print('Решение уравнений для трансформант Лапласа:');
print(res);
print('Решение задачи:');
for i from 1 to N do
Y||i:y||i:=invlaplace(%p,x);
y||i:=unapply(y||i,x);
print(y||i(x));
end do;
end proc:

```

Параметрами процедуры `sysVolterra` являются: решаемая система уравнений `eq` (входной параметр), `N` — количество уравнений в системе и искомые функции `y` (выходной параметр). Процедура также очень проста и не нуждается в дополнительных комментариях. Проверим работу процедуры на системах уравнений. Зададим несколько систем уравнений

```

> eq1:=y1(x)=1-int(y2(xi),xi=0..x);
> eq2:=y2(x)=cos(x)-1+int(y3(xi),xi=0..x);
> eq3:=y3(x)=cos(x)+int(y1(xi),xi=0..x);

```

$$eq1 := y1(x) = 1 - \int_0^x y2(\xi) d\xi$$

$$eq2 := y2(x) = \cos(x) - 1 + \int_0^x y3(\xi) d\xi$$

$$eq3 := y3(x) = \cos(x) + \int_0^x y1(\xi) d\xi$$

```
> sysVolterra(eq.y.3):
```

Решаемая система интегральных уравнений:

$$y1(x) = 1 - \int_0^x y2(\xi) d\xi$$

$$y2(x) = \cos(x) - 1 + \int_0^x y3(\xi) d\xi$$

$$y_3(x) = \cos(x) + \int_0^x y_1(\xi) d\xi$$

Уравнения для трансформант Лапласа:

$$Y_1 = \frac{1}{p} - \frac{Y_2}{p}$$

$$Y_2 = \frac{p}{p^2 + 1} - \frac{1}{p} + \frac{Y_3}{p}$$

$$Y_3 = \frac{p}{p^2 + 1} + \frac{Y_1}{p}$$

Решение уравнений для трансформант Лапласа:

$$\left\{ Y_3 = \frac{p+1}{p^2+1}, Y_2 = \frac{1}{p^2+1}, Y_1 = \frac{p}{p^2+1} \right\}$$

Решение задачи:

$$\cos(x)$$

$$\sin(x)$$

$$\cos(x) + \sin(x)$$

> eq1:=y1(x)=x+1+int(y3(xi),xi=0..x);

> eq2:=y2(x)=-x+int((x-xi)*y1(xi),xi=0..x);

> eq3:=y3(x)=cos(x)-1-int(y1(xi),xi=0..x);

$$eq1 := y_1(x) = x + 1 + \int_0^x y_3(\xi) d\xi$$

$$eq2 := y_2(x) = -x + \int_0^x (x - \xi) y_1(\xi) d\xi$$

$$eq3 := y_3(x) = \cos(x) - 1 - \int_0^x y_1(\xi) d\xi$$

> sysVolterra(eq,y,3);

Решаемая система интегральных уравнений:

$$y_1(x) = x + 1 + \int_0^x y_3(\xi) d\xi$$

$$y_2(x) = -x + \int_0^x (x - \xi) y_1(\xi) d\xi$$

$$y_3(x) = \cos(x) - 1 - \int_0^x y_1(\xi) d\xi$$

Уравнения для трансформант Лапласа:

$$Y1 = \frac{1}{p^2} + \frac{1}{p} + \frac{Y3}{p}$$

$$Y2 = -\frac{1}{p^2} + \frac{Y1}{p^2}$$

$$Y3 = \frac{p}{p^2+1} - \frac{1}{p} - \frac{Y1}{p}$$

Решение уравнений для трансформант Лапласа:

$$\left\{ Y3 = -\frac{1+2p^2+p^3+p}{p(p^4+2p^2+1)}, Y2 = -\frac{-p+p^4+p^2+1-p^3}{p^2(p^4+2p^2+1)}, Y1 = \frac{p(1+p+p^2)}{p^4+2p^2+1} \right\}$$

Решение задачи:

$$\left(\frac{x}{2} + 1\right) \cos(x) + \frac{1}{2} \sin(x)$$

$$-x + 1 + \left(-\frac{x}{2} - 1\right) \cos(x) + \frac{1}{2} \sin(x)$$

$$-1 + \cos(x) + \left(-\frac{x}{2} - 1\right) \sin(x)$$

Выполним проверку полученного решения

```
> print('Проверка:');
> for k from 1 to 3 do
> simplify(convert(lhs(eq||k)-rhs(eq||k),exp));
> end do;
```

Проверка:

0
0
0

С помощью преобразования Лапласа можно успешно решать и задачи Коши для интегро-дифференциальных уравнений Вольтерры с ядром, зависящим от разности. *Интегро-дифференциальное уравнение* — уравнение, содержащее неизвестную функцию как под знаком интеграла, так и под знаком производной. Рассмотрим несколько примеров.

Пример 6. Решить интегро-дифференциальное уравнение Вольтерры

$$y''(x) + \int_0^x e^{2(x-y)} y'(y) dy = e^{2x}, \quad y(0) = y'(0) = 0.$$

Решение. Ядро уравнения зависит от разности, поэтому решаем его с помощью преобразования Лапласа в системе Maple. Определим задачу

```
> restart;with(inttrans,laplace,invlaplace):
> eq:=diff(y(x),x$2)+
> int(exp(2*(x-xi))*diff(y(xi),xi),xi=0..x)=exp(2*x):
```

> ic1:=y(0)=0; ic2:=D(y)(0)=0;

$$eq := \left(\frac{d^2}{dx^2} y(x) \right) + \int_0^x e^{(2x-2\xi)} \left(\frac{d}{d\xi} y(\xi) \right) d\xi = e^{(2x)}$$

$$ic1 := y(0) = 0$$

$$ic2 := D(y)(0) = 0$$

Применяем преобразование Лапласа и формируем уравнение для трансформанты

> req:=laplace(eq,x,p):

$$preq := p(p \operatorname{laplace}(y(x), x, p) - y(0)) - D(y)(0) + \frac{1}{2} \frac{p \operatorname{laplace}(y(x), x, p) - y(0)}{\frac{p}{2} - 1} = \frac{1}{p-2}$$

> subs(ic1, ic2, laplace(y(x), x, p)=Y, %):

$$p^2 Y + \frac{p Y}{2 \left(\frac{p}{2} - 1 \right)} = \frac{1}{p-2}$$

Решаем полученное уравнение относительно трансформанты

> solve(% , Y):

$$\frac{1}{p(p^2 - 2p + 1)}$$

Находим обратное преобразование

> invlaplace(% , p, x):

$$1 + (x-1)e^x$$

> y:=unapply(% , x):

$$y := x \rightarrow 1 + (x-1)e^x$$

Выполним проверку полученного решения

> simplify(lhs(eq)-rhs(eq)):

> simplify(lhs(ic1)-rhs(ic1)):

> simplify(lhs(ic2)-rhs(ic2)):

0

0

0

Итак, решение нашего уравнения имеет вид

$$y(x) = 1 + (x-1)e^x.$$

Пример 7. Решить интегро-дифференциальное уравнение Вольтерры

$$y''(x) - 2y'(x) + y(x) + 2 \int_0^x \cos(x-\xi) y''(\xi) d\xi +$$

$$+2 \int_0^x \sin(x - \xi) y'(\xi) d\xi = \cos(x), \quad y(0) = y'(0) = 0.$$

Решение. Определим задачу в Maple:

```
> restart;with(inttrans,laplace,invlaplace);
      [laplace, invlaplace]
```

```
> eq:=diff(y(x),x$2)-2*diff(y(x),x)+y(x)+
2*int(cos(x-xi)*diff(y(xi),xi$2),xi=0..x)+
2*int(sin(x-xi)*diff(y(xi),xi),xi=0..x)=cos(x);
ic1:=y(0)=0;ic2:=D(y)(0)=0;
```

$$eq := \left(\frac{d^2}{dx^2} y(x) \right) - 2 \left(\frac{d}{dx} y(x) \right) + y(x) + 2 \int_0^x \cos(x - \xi) \left(\frac{d^2}{d\xi^2} y(\xi) \right) d\xi + 2 \int_0^x \sin(x - \xi) \left(\frac{d}{d\xi} y(\xi) \right) d\xi = \cos(x)$$

$$ic1 := y(0) = 0$$

$$ic2 := D(y)(0) = 0$$

Решаем:

```
> laplace(eq,x,p);
```

$$p(p \operatorname{laplace}(y(x), x, p) - y(0)) - D(y)(0) - 2p \operatorname{laplace}(y(x), x, p) + 2y(0) + \operatorname{laplace}(y(x), x, p) + \frac{2(p(p \operatorname{laplace}(y(x), x, p) - y(0)) - D(y)(0))p}{p^2 + 1} + \frac{2(p \operatorname{laplace}(y(x), x, p) - y(0))}{p^2 + 1} = \frac{p}{p^2 + 1}$$

```
> subs(ic1,ic2,laplace(y(x),x,p)=Y,%);
```

$$p^2 Y - 2p Y + Y + \frac{2p^3 Y}{p^2 + 1} + \frac{2p Y}{p^2 + 1} = \frac{p}{p^2 + 1}$$

```
> solve(% ,Y);
```

$$\frac{p}{(p^2 + 1)^2}$$

```
> invlaplace(% ,p,x);
```

$$\frac{1}{2} x \sin(x)$$

```
> y:=unapply(% ,x);
```

$$y := x \rightarrow \frac{1}{2} x \sin(x)$$

Проверяем полученное решение:

```
> simplify(convert(lhs(eq)-rhs(eq),exp));
```

```
> simplify(lhs(ic1)-rhs(ic1));
```

```
> simplify(lhs(ic2)-rhs(ic2));
```

0

0

0

Итак, решение нашей задачи

$$y(x) = \frac{1}{2} x \sin(x).$$

Пример 8. Решить интегро-дифференциальное уравнение Вольтерры

$$y''(x) + y(x) + \int_0^x \operatorname{sh}(x - \xi) y(\xi) d\xi + \int_0^x \operatorname{ch}(x - \xi) y'(\xi) d\xi = \operatorname{ch}(x), \quad y(0) = -1, \quad y'(0) = 1.$$

Решение. Определяем задачу:

```
> restart;with(inttrans,laplace,invlaplace):
```

```
[laplace, invlaplace]
```

```
> eq:=diff(y(x),x$2)+y(x)+
```

```
> int(sinh(x-xi)*y(xi),xi=0..x)+
```

```
> int(cosh(x-xi)*diff(y(xi),xi),xi=0..x)=cosh(x);
```

```
> ic1:=y(0)=-1;ic2:=D(y)(0)=1;
```

$$eq := \left(\frac{d^2}{dx^2} y(x) \right) + y(x) + \int_0^x \sinh(x - \xi) y(\xi) d\xi + \int_0^x \cosh(x - \xi) \left(\frac{d}{d\xi} y(\xi) \right) d\xi = \cosh(x)$$

$$ic1 := y(0) = -1$$

$$ic2 := D(y)(0) = 1$$

Решаем:

```
> laplace(eq,x,p):
```

$$p(p \operatorname{laplace}(y(x), x, p) - y(0)) - D(y)(0) + \operatorname{laplace}(y(x), x, p) + \frac{\operatorname{laplace}(y(x), x, p)}{p^2 - 1}$$

$$+ \frac{(p \operatorname{laplace}(y(x), x, p) - y(0)) p}{p^2 - 1} = \frac{p}{p^2 - 1}$$

```
> subs(ic1,ic2,laplace(y(x),x,p)=Y,%):
```

$$p(p Y + 1) - 1 + Y + \frac{Y}{p^2 - 1} + \frac{(p Y + 1) p}{p^2 - 1} = \frac{p}{p^2 - 1}$$

```
> solve(%Y):
```

$$-\frac{(p-1)(p^2-1)}{p^2(p^2+1)}$$

```
> invlaplace(%p,x):
```

$$-2 \cos(x) + 2 \sin(x) - x + 1$$

```
> y:=unapply(%x):
```

$$y := x \rightarrow -2 \cos(x) + 2 \sin(x) - x + 1$$

Проверяем решение:

```
> simplify(convert(lhs(eq)-rhs(eq).exp)):
> simplify(lhs(ic1)-rhs(ic1)):
> simplify(lhs(ic2)-rhs(ic2)):
```

0

0

0

Итак, решением является функция

$$y(x) = -2 \cos(x) + 2 \sin(x) - x + 1.$$

Пример 9. Решить интегральное уравнение

$$\varphi(x) = f(x) + \lambda \int_{-\infty}^{+\infty} e^{-|x-\xi|} \varphi(\xi) d\xi \quad \left(\lambda < \frac{1}{2} \right),$$

где

$$f(x) = \begin{cases} e^{-x}, & x > 0, \\ 0, & x < 0. \end{cases}$$

Решение. Данное уравнение в бесконечных пределах с ядром, зависящим от разности. Поэтому для его решения применяем преобразование Фурье. Определим задачу в Maple:

```
> restart;with(inttrans,fourier,invfourier):
```

```
[fourier, invfourier]
```

```
> f:=piecewise(x > 0,exp(-x),0 < x,0):
```

```
> convert(f,Heaviside):
```

$$f := \begin{cases} e^{-x} & 0 < x \\ 0 & 0 < x \end{cases}$$

$$e^{(-x)} \text{Heaviside}(x)$$

```
> f:=unapply(% ,x):
```

$$f := x \rightarrow e^{(-x)} \text{Heaviside}(x)$$

```
> assume(lambda<1/2):
```

```
eq:=y(x)=f(x)+
```

```
lambda*int(exp(-abs(x-s))*y(s),s=-infinity..infinity):
```

$$eq := y(x) = e^{(-x)} \text{Heaviside}(x) + \lambda \int_{-\infty}^{\infty} e^{(-|x+s|)} y(s) ds$$

Применяем преобразование Фурье и находим трансформанту Фурье

```
> fe:=fourier(eq,x,omega):
```

$$fe := \text{fourier}(y(x), x, \omega) = \frac{2 \lambda \sim \text{fourier}(y(x), x, \omega)}{1 + \omega^2} + \frac{1}{1 + \omega I}$$

```
> subs(fourier(y(x), x, omega)=Y, fe);
> solve(%, {Y}); assign(%);
```

$$Y = \frac{2\lambda \sim Y}{1 + \omega^2} + \frac{1}{1 + \omega I}$$

$$\left\{ Y = -\frac{1 + \omega^2}{-1 - \omega I - \omega^2 - \omega^3 I + 2\lambda \sim + 2I\lambda \sim \omega} \right\}$$

Вычисляем обратное преобразование

```
> y:=invfourier(Y, omega, x); convert(y, piecewise):
```

$$y := \frac{\frac{1}{2} e^{(-\sqrt{1-2\lambda \sim} x)} (1 + \sqrt{1-2\lambda \sim}) \text{Heaviside}(x) - \frac{1}{2} e^{(\sqrt{1-2\lambda \sim} x)} (-1 + \sqrt{1-2\lambda \sim}) \text{Heaviside}(-x)}{\sqrt{1-2\lambda \sim}}$$

$$\left\{ \begin{array}{ll} \frac{\frac{1}{2} e^{(\sqrt{1-2\lambda \sim} x)} (-1 + \sqrt{1-2\lambda \sim})}{\sqrt{1-2\lambda \sim}} & x < 0 \\ \frac{(1 + \sqrt{1-2\lambda \sim}) \text{undefined} - (-1 + \sqrt{1-2\lambda \sim}) \text{undefined}}{\sqrt{1-2\lambda \sim}} & x = 0 \\ \frac{\frac{1}{2} e^{(-\sqrt{1-2\lambda \sim} x)} (1 + \sqrt{1-2\lambda \sim})}{\sqrt{1-2\lambda \sim}} & 0 < x \end{array} \right.$$

Итак, решением нашего уравнения является функция

$$y(x) = \frac{e^{-x\sqrt{1-2\lambda}} (1 + \sqrt{1-2\lambda}) \theta(x) + e^{x\sqrt{1-2\lambda}} (1 - \sqrt{1-2\lambda}) \theta(-x)}{2\sqrt{1-2\lambda}},$$

где $\theta(x)$ — единичная функция Хевисайда, причем $\theta(-x) = 1 - \theta(x)$.
Это решение может быть записано и в другой форме

$$y(x) = \begin{cases} \frac{e^{x\sqrt{1-2\lambda}} (1 - \sqrt{1-2\lambda})}{2\sqrt{1-2\lambda}}, & x < 0, \\ \frac{e^{-x\sqrt{1-2\lambda}} (1 + \sqrt{1-2\lambda})}{2\sqrt{1-2\lambda}}, & x > 0. \end{cases}$$

Выполним проверку решения

```
> y:=simplify(y); y:=collect(y, exp):
```

$$y := \frac{1}{2} \frac{(1 - \text{Heaviside}(x) - \sqrt{1-2\lambda \sim} + \text{Heaviside}(x) \sqrt{1-2\lambda \sim}) e^{(\sqrt{1-2\lambda \sim} x)}}{\sqrt{1-2\lambda \sim}} + \frac{1}{2} \frac{(\text{Heaviside}(x) + \text{Heaviside}(x) \sqrt{1-2\lambda \sim}) e^{(-\sqrt{1-2\lambda \sim} x)}}{\sqrt{1-2\lambda \sim}}$$

> y:=unapply(y,x):

$$y := x \rightarrow \frac{1}{2} \frac{(1 - \text{Heaviside}(x) - \sqrt{1 - 2\lambda}) + \text{Heaviside}(x) \sqrt{1 - 2\lambda}}{\sqrt{1 - 2\lambda}} e^{(\sqrt{1 - 2\lambda} x)} + \frac{1}{2} \frac{(\text{Heaviside}(x) + \text{Heaviside}(x) \sqrt{1 - 2\lambda}) e^{(-\sqrt{1 - 2\lambda} x)}}{\sqrt{1 - 2\lambda}}$$

> simplify(lhs(eq)-rhs(eq)):

$$0$$

Все в порядке!

С помощью преобразования Лапласа можно решить и некоторые нелинейные интегральные уравнения.

Пример 10. Решить нелинейное интегральное уравнение

$$\int_0^x \varphi(\xi) \varphi(x - \xi) d\xi = \frac{x^3}{6}.$$

Решение. Все необходимые преобразования выполняем в Maple.

> restart;with(inttrans,laplace,invlaplace);

[laplace, invlaplace]

> eq:=int(phi(y)*phi(x-y),y=0..x)=x^3/6;

$$eq := \int_0^x \phi(y) \phi(x - y) dy = \frac{x^3}{6}$$

> laplace(eq,x,p):

$$\text{laplace}(\phi(x), x, p)^2 = \frac{1}{p^4}$$

> subs(laplace(phi(x),x,p)=Phi,%):

$$\Phi^2 = \frac{1}{p^4}$$

> solve(%Phi):

$$-\frac{1}{p^2}, \frac{1}{p^2}$$

Решение не единственно!

> phi1:=invlaplace(%[1],p,x);phi2:=invlaplace(%[2],p,x):

$$\phi 1 := -x$$

$$\phi 2 := x$$

> phi1:=unapply(phi1,x);phi2:=unapply(phi2,x):

$$\phi 1 := x \rightarrow -x$$

$$\phi 2 := x \rightarrow x$$

Выполним проверку решений

```
> simplify(value(subs(phi=phi1,lhs(eq)-rhs(eq))));
```

```
> simplify(value(subs(phi=phi2,lhs(eq)-rhs(eq))));
```

0

0

Итак, данному уравнению удовлетворяют две функции

$$\varphi = \varphi_1(x) = x, \quad \varphi = \varphi_2(x) = -x.$$

8 Элементы вариационного исчисления

Вариационное исчисление является разделом математики, в котором изучается свойство стационарности функции от функций, то есть *функционала*¹. Таким образом, цель вариационного исчисления состоит не в отыскании экстремума функции конечного числа переменных, а в нахождении среди множества допустимых функций такой, которая придает заданному функционалу стационарное значение.

Вариационное исчисление имеет обширную область приложений в математической физике благодаря тому, что физическая система часто ведет себя таким образом, что некоторый функционал, зависящий от ее поведения, принимает стационарное значение. Иначе говоря, уравнения, описывающие физические явления, часто являются условиями стационарности некоторой вариационной задачи. Типичным примером является принцип Ферма в оптике. Он состоит в том, что луч света между двумя точками проходит по пути, который требует наименьшего времени. Отсюда непосредственно следует вывод, что в любой *однородной* среде свет распространяется по прямой линии.

Механика также является одним из разделов математической физики, в котором широко применяются вариационные методы. В частности, вариационные принципы механики выражают столь общие свойства различных механических систем, что из них как следствия получаются уравнения движения данной системы.

Примеры вариационных задач

Вариационное исчисление, основанное в XVIII в. Л. Эйлером и Лагранжем, было значительно развито в трудах математиков XIX в.

Исторически первой задачей, известной в глубокой древности и отнесенной впоследствии к задачам вариационного исчисления, явилась так называемая задача

¹ Термин «функционал» введен в 1903 г. Адамаром.

Дидоны. Старинная легенда повествует: Дидона (Элисса) — сестра царя Тира, царица одного из государств Древней Греции. Преследуемая царем соседнего государства, Дидона бежала в Северную Африку, где попросила у местного населения участок земли, который можно охватить шкурой вола. Столь ничтожная просьба была удовлетворена. Дидона разрешила шкуру вола на узкие ремешки-полоски и, связав их друг с другом в одну нить, охватила изрядный участок земли, примыкающий к Средиземному морю. На этом участке Дидона основала в 825 г. до н. э. знаменитый город Карфаген.

Античные ученые заинтересовались математической стороной этой легенды: как надо расположить нить, чтобы охватить ею участок наибольшей площади? Эта задача имеет ряд вариантов. Рассмотрим один из них.

Задача Дидоны

Пусть концы нити (кривая заданной длины l) расположены в точках $A(a, 0)$ и $B(b, 0)$ на оси Ox (на берегу моря (рис. 8.1)).

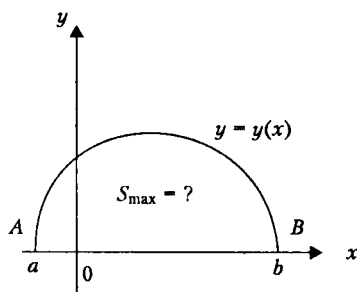


Рис. 8.1. Задача Дидоны

Задача сводится к нахождению максимума интеграла

$$S = \int_a^b y(x) dx \rightarrow \max,$$

где $y(x)$ — уравнение кривой (сухопутной границы участка), при граничных условиях

$$y(a) = 0, \quad y(b) = 0 \quad (8.1)$$

и при заданном значении длины нити

$$l = \int_a^b \sqrt{1 + y'^2(x)} dx. \quad (8.2)$$

Таким образом, задача состоит в подборе функции $y(x)$, которая удовлетворяла бы граничным условиям (8.1) и ограничивала бы наибольшую площадь. В этой задаче на кривые, проходящие через точки $A(a, 0)$ и $B(b, 0)$, накладывается дополнительное условие (8.2), а именно: все кривые должны иметь одинаковую длину $l = \text{const}$.

Уже тогда, в глубокой древности, было обнаружено, что искомой формой нити является дуга окружности. Если концы линии закреплены на береговой линии (оси Ox), то решением задачи будет сегмент круга. Если же один из концов может скользить по береговой линии, то решение задачи Дидоны — полукруг.

Впоследствии вариационные задачи с заданным постоянным периметром стали называться *изопериметрическими задачами*. Общие методы решения изопериметрических задач были разработаны Л.Эйлером. К простейшим изопериметрическим задачам относятся нахождение треугольников и многоугольников *заданного периметра*, имеющих наибольшую площадь; и вообще, нахождение замкнутой *кривой данной длины* и ограничивающей наибольшую площадь.

Другая знаменитая задача, которая привела к зарождению вариационного исчисления, была предложена в 1696 г. И. Бернулли и решена различными способами И. Бернулли, Я. Бернулли, Г. Лейбницем, И. Ньютоном и Г. Лопиталем. Это — задача о брахистохроне.

Задача о брахистохроне

Брахистохрона (от греческого βραχίστοζ — кратчайший, χρόνος — время) — кривая наиболее быстрого спуска, то есть та из возможных кривых, соединяющих две точки A и B (не лежащие на одной вертикальной прямой), вдоль которой тяжелый шарик, скатывающийся без трения под действием одной только силы тяжести, в кратчайшее время проходит путь от точки A до точки B .

Рассмотрим постановку задачи о брахистохроне. Под влиянием сил тяжести материальная точка $M(x, y)$ скатывается по некоторой кривой линии $y = y(x)$ без начальной скорости ($v_0 = 0$) и без трения из точки A в точку B за некоторое время T . Удобно поместить точку A в начало координат. Ось Ox направим горизонтально вправо, а ось Oy — вертикально вниз (рис. 8.2).

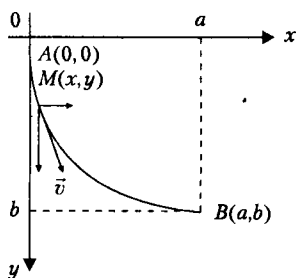


Рис. 8.2. Задача о брахистохроне

Легко видеть, что линией быстрого ската не будет прямая, соединяющая точки A и B , хотя она и является кратчайшим расстоянием между точками A и B , так как при движении по прямой скорость движения будет нарастать сравнительно медленно; если же мы возьмем кривую, более круто спускающуюся около точки A вниз, то хотя путь и удлинится, но значительная часть пути будет пройдена с большей скоростью. Оказалось, что линией быстрого ската является циклоида.

Как выбрать путь скатывания $y(x)$, чтобы время T в пути от точки $A(0, 0)$ до точки $B(a, b)$ было минимальным? В силу закона сохранения энергии должно выполняться равенство

$$mgy = \frac{mv^2}{2},$$

где m — масса материальной точки $M(x, y)$; g — ускорение свободного падения. Откуда находим

$$v = \sqrt{2gy}, \quad (8.3)$$

то есть скорость v пропорциональна корню квадратному из высоты падения. Горизонтальная составляющая скорости движения точки $M(x, y)$ определяется как

$$\frac{dx}{dt} = \frac{dx}{dl} \cdot \frac{dl}{dt} = \frac{dx}{dl} \cdot v, \quad (8.4)$$

где dl — дифференциал дуги

$$dl = \sqrt{(dx)^2 + (dy)^2} = \sqrt{1 + \left(\frac{dy}{dx}\right)^2} dx. \quad (8.5)$$

Учитывая (8.3) и (8.5), перепишем формулу (8.4) в виде

$$\begin{aligned} \frac{dx}{dt} = \frac{dx}{dl} \cdot v &= \sqrt{2gy} \frac{dx}{\sqrt{1 + \left(\frac{dy}{dx}\right)^2} dx} = \frac{\sqrt{2gy}}{\sqrt{1 + \left(\frac{dy}{dx}\right)^2}} \Rightarrow \\ dt &= \frac{\sqrt{1 + \left(\frac{dy}{dx}\right)^2}}{\sqrt{2gy}} dx. \end{aligned}$$

Время скатывания материальной точки $M(x, y)$ из положения A в положение B будет

$$T = \int_0^T dt = \int_0^a \frac{\sqrt{1 + \left(\frac{dy}{dx}\right)^2}}{\sqrt{2gy}} dx. \quad (8.6)$$

В формуле (8.6) функция $y(x)$ не задана. Задача, таким образом, сводится к выбору функции $y = y(x)$, которая удовлетворяла бы граничным условиям

$$y(0) = 0, \quad y(a) = b$$

и минимизировала значение интеграла (8.6), дающего полное время скатывания материальной точки по кривой AB .

Приведем еще ряд примеров вариационных задач.

Задача о геодезических линиях

Требуется определить линию наименьшей длины, соединяющую две заданные точки на некоторой поверхности (рис. 8.3).

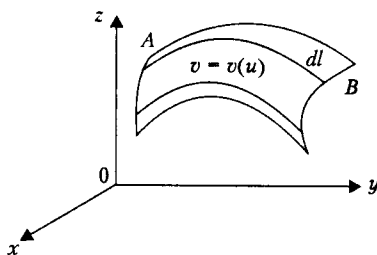


Рис. 8.3. Задача о геодезических линиях

Такие кратчайшие линии называются *геодезическими*. Мы имеем типичную задачу на так называемый *связанный*, или *условный*, *экстремум*. Пусть уравнение поверхности задано в параметрической форме

$$\left. \begin{aligned} x &= x(u, v), \\ y &= y(u, v), \\ z &= z(u, v). \end{aligned} \right\}$$

Требуется соединить точки A и B кратчайшей кривой. Элемент дуги AB будет

$$\begin{aligned} dl &= \sqrt{(dx)^2 + (dy)^2 + (dz)^2} = \\ &= \sqrt{\left(\frac{\partial x}{\partial u} du + \frac{\partial x}{\partial v} dv\right)^2 + \left(\frac{\partial y}{\partial u} du + \frac{\partial y}{\partial v} dv\right)^2 + \left(\frac{\partial z}{\partial u} du + \frac{\partial z}{\partial v} dv\right)^2} = \\ &= \sqrt{Edu^2 + 2Fdudv + Gdv^2}, \end{aligned}$$

где

$$E = \left(\frac{\partial x}{\partial u}\right)^2 + \left(\frac{\partial y}{\partial u}\right)^2 + \left(\frac{\partial z}{\partial u}\right)^2,$$

$$G = \left(\frac{\partial x}{\partial v}\right)^2 + \left(\frac{\partial y}{\partial v}\right)^2 + \left(\frac{\partial z}{\partial v}\right)^2,$$

$$F = \frac{\partial x}{\partial u} \frac{\partial x}{\partial v} + \frac{\partial y}{\partial u} \frac{\partial y}{\partial v} + \frac{\partial z}{\partial u} \frac{\partial z}{\partial v}.$$

Будем считать, что $v = v(u)$, тогда длина кривой AB

$$l = l[v(u)] = \int_{u_A}^{u_B} \sqrt{E + 2F \frac{dv}{du} + G \left(\frac{dv}{du}\right)^2} du \rightarrow \min,$$

причем $v(u) \in C^{(1)}$ и $v(u_A) = v_A, v(u_B) = v_B$.

Задача о распространении света в неоднородной среде

Рассмотрим еще одну задачу, сходную с задачей о брахистохроне. Пусть свет распространяется в оптически неоднородной среде со скоростью v . Для простоты допустим, что траектория лежит в плоскости (x, y) и что скорость не зависит от z : $v = v(x, y)$. Тогда уравнение траектории можно написать в виде $y = y(x)$, причем $y(x)$ удовлетворяет крайним условиям $y(a) = y_a, y(b) = y_b$. Требуется найти форму лучей света, идущих из точки A в точку B (рис. 8.4).

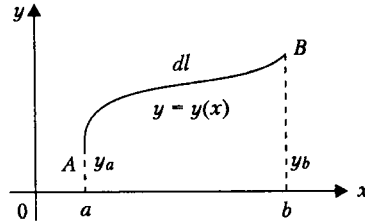


Рис. 8.4. Задача о распространении света

По известному принципу Ферма, траектория светового луча обладает тем свойством, что, распространяясь по этой траектории, свет придет из точки A в точку B в кратчайшее время.

Имеем $v = \frac{dl}{dt}$ — скорость; время движения света в соответствии с принципом Ферма должно быть минимально, то есть

$$T[y(x)] = \int_{AB} \frac{dt}{v} = \int_a^b \frac{\sqrt{1 + \left(\frac{dy}{dx}\right)^2}}{v(x, y)} dx \rightarrow \min,$$

причем $y(x) \in C^{(1)}$ и $y(a) = y_a, y(b) = y_b$.

Если скорость световой волны одинакова во всех точках среды, то время распространения пропорционально расстоянию вдоль луча и, следовательно, стационарно, если луч — прямая линия. Если же скорость пропорциональна, например, \sqrt{y} , то время распространения пропорционально интегралу

$$T[y(x)] = \int_{AB} \frac{dt}{\sqrt{y}},$$

и чтобы сделать его стационарным, требуется в точности тот же анализ, что и в задаче о брахистохроне. Таким образом, луч есть циклоида. Этот пример выглядит искусственным, однако в действительности он соответствует распространению упругих волн в почве при взрывах¹.

¹ Джеффрис Г., Свирлс Б. Методы математической физики. Вып. 2. — М.: Мир, 1970. 352 с.

Задача об изгибе стержня

Пусть для определенности концы стержня жестко защемлены и стержень в недеформированном состоянии занимает отрезок $[0, l]$ оси Ox . Как известно, потенциальная энергия упругого стержня выражается следующим интегралом:

$$U[y(x)] = \int_0^l \left[\frac{EJ}{2} \left(\frac{d^2 y}{dx^2} \right)^2 - q(x)y(x) \right] dx, \quad y(x) \in C^{(2)},$$

где E — модуль Юнга, J — момент инерции поперечного сечения стержня, $q(x)$ — заданная поперечная нагрузка.

В положении равновесия стержень принимает такую форму, что его потенциальная энергия минимальна.

Таким образом, мы приходим к следующей вариационной задаче: найти функцию $y = y(x)$ такую, что

$$U[y(x)] \rightarrow \min,$$

$$y(0) = 0, y(l) = 0, y'(0) = 0, y'(l) = 0.$$

Понятие функционала

Для задач, рассмотренных в разделе «Примеры вариационных задач», характерны два обстоятельства. Во-первых, это задачи на экстремум, то есть задачи, в которых речь идет о максимуме или минимуме некоторой числовой величины. Например, в задаче Дидоны такой величиной является площадь, а в задаче о брахистохроне — время. Во-вторых, искомыми в этих задачах являются одна или несколько функций (кривых или поверхностей).

Переменные величины, экстремумом которых мы интересовались в приведенных ранее примерах, называются *функционалами*. Мы говорим, что нам задан функционал, если каждой функции (кривой или поверхности) из некоторого класса функций поставлено в соответствие определенное число.

Таким образом, если каждой функции $y = y(x)$, принадлежащей некоторому функциональному классу A , ставится в соответствие числовое значение J , то говорят, что J есть функционал, определенный на классе A , и пишут

$$J = J[y(x)], \quad y(x) \in A.$$

Те функции $y = y(x)$, от выбора которых зависит функционал $J[y]$, называются *функциональными аргументами*. Как правило, в качестве класса A функций мы будем использовать классы функций $C, C^{(1)}, C^{(2)}, \dots, C^{(k)}$.

Приведем примеры функционалов.

1. Рассмотрим на плоскости всевозможные спрямляемые кривые. Каждой такой кривой соответствует определенное число — ее длина. Таким образом, длина кривой представляет собой функционал, определенный на множестве спрямляемых кривых.

2. Рассмотрим на плоскости всевозможные пути, соединяющие две данные точки A и B . Пусть некоторое тело может двигаться по любому из этих путей, имея в каждой точке (x, y) определенную скорость $v(x, y)$. Мы получим функционал, поставив в соответствие каждому пути то время, за которое рассматриваемое тело проходит этот путь.
3. Пусть $y = y(x)$ — произвольная, непрерывно дифференцируемая функция, определенная на отрезке $[a, b]$. Определим на множестве всех таких функций функционал $J[y]$ равенством

$$J[y(x)] = \int_a^b \left(\frac{dy(x)}{dx} \right)^2 dx.$$

4. Рассмотрим более общий пример. Пусть $F(x, y, z)$ — некоторая непрерывная функция трех переменных. Выражение

$$J[y(x)] = \int_a^b F(x, y(x), y'(x)) dx,$$

где $y(x)$ пробегает совокупность всевозможных непрерывно дифференцируемых функций, определенных на отрезке $[a, b]$, представляет собой функционал. Выбирая ту или иную функцию F , мы будем получать различные функционалы, например, если $F(x, y, z) = \sqrt{1 + z^2}$, то $J[y]$ — длина кривой $y = y(x)$ (пример 1), а при $F(x, y, z) = z^2$ получаем предыдущий пример 3.

5. Функционал может выражаться и кратным интегралом. Так, например, функционалом является потенциальная энергия изгибаемой мембраны, занимающей некоторую область D на плоскости Oxy в недеформированном состоянии (T — натяжение мембраны, $q(x, y)$ — заданная поперечная нагрузка),

$$U[u(x, y)] = \iint_D \left\{ \frac{T}{2} \left[\left(\frac{\partial u}{\partial x} \right)^2 + \left(\frac{\partial u}{\partial y} \right)^2 \right] - q(x, y)u(x, y) \right\} dx dy.$$

Основной задачей вариационного исчисления является разыскание наибольших и наименьших значений функционалов от линий и поверхностей, выражаемых некоторыми определенными интегралами.

Эта задача аналогична задаче дифференциального исчисления об отыскании наибольших и наименьших значений некоторой функции, которая непосредственно связана с задачей разыскания экстремумов функции, а именно: разыскиваются такие значения независимых переменных, при которых функция принимает наибольшее или наименьшее значение по сравнению со всеми достаточно близкими значениями.

Аналогичным образом мы будем рассматривать задачу и для функционалов. Если функционал для некоторой линии или поверхности имеет значение не меньше (или не большее), чем для всех близких к ней линий или поверхностей, то говорят, что для этой линии или поверхности функционал имеет экстремум. Далее мы уточним постановку задачи и определим понятие близости для линий и поверхностей, которые играют роль независимых переменных обычного дифференциального исчисления.

Мы знаем, что для нахождения тех значений x , при которых функция $f(x)$ достигает экстремума, нам необходимо решить уравнение $f'(x) = 0$. В вариационном исчислении доказывается, что линия $y = y(x)$ или поверхность $z = z(x, y)$, дающая экстремум некоторому функционалу, должна удовлетворять некоторому дифференциальному уравнению. Удовлетворение этому уравнению представляет собой необходимое условие экстремума функционала, совершенно так же, как равенство $f'(x) = 0$ является необходимым условием того, чтобы заданная функция $f(x)$ имела экстремум при некотором значении x .

Основные леммы вариационного исчисления

Для вывода упомянутых в предыдущем пункте дифференциальных уравнений, представляющих собой необходимые условия экстремума функционала, нам понадобятся леммы, которые мы здесь и рассмотрим [22].

ЛЕММА 1. Если интеграл

$$\int_{x_0}^{x_1} f(x)\eta(x) dx,$$

где $f(x)$ — фиксированная непрерывная в промежутке $[x_0, x_1]$ функция, обращается в нуль для всякой функции $\eta(x)$, непрерывной вместе со своей производной и равной нулю на концах, $\eta(x_0) = \eta(x_1) = 0$, то $f(x)$ тождественно равна нулю в промежутке $[x_0, x_1]$.

Доказываем от обратного. Пусть в некоторой точке $x = \xi$ внутри промежутка функция $f(x)$ отлична от нуля. Например, $f(x) > 0$. Вследствие непрерывности $f(x)$ будет положительной и в некотором промежутке $[\xi_1, \xi_2]$, содержащем точку ξ внутри и лежащем внутри $[x_0, x_1]$. Определим функцию $\eta(x)$ следующим образом:

$$\eta(x) = \begin{cases} 0, & x_0 \leq x \leq \xi_1, \\ (x - \xi_1)^2(x - \xi_2)^2, & \xi_1 \leq x \leq \xi_2, \\ 0, & \xi_2 \leq x \leq x_1. \end{cases}$$

Функция $\eta(x)$ удовлетворяет всем условиям леммы. Действительно, $\eta(x_0) = \eta(x_1) = 0$. Произведение $(x - \xi_1)^2(x - \xi_2)^2$ и его производная по x обращаются в нуль при $x = \xi_1$ и $x = \xi_2$. Вне промежутка $[\xi_1, \xi_2]$ $\eta(x) \equiv 0$. Отсюда вытекает непрерывность функции и ее производной во всем промежутке $[x_0, x_1]$.

Теперь наш интеграл можно переписать в виде

$$\int_{\xi_1}^{\xi_2} f(x)(x - \xi_1)^2(x - \xi_2)^2 dx,$$

откуда следует, что он имеет положительное значение, так как подынтегральная функция непрерывна и положительна внутри промежутка интегрирования. Но по условию леммы интеграл должен быть равен нулю. Это противоречие и доказывает лемму.

Приведем аналогичную лемму для двойного интеграла.

ЛЕММА 2. Если интеграл

$$\iint_B f(x, y) \eta(x, y) dx dy,$$

где $f(x, y)$ — фиксированная непрерывная в области B функция, обращается в нуль для всякой функции $\eta(x, y)$, непрерывной вместе со своими частными производными первого порядка в B и равной нулю на контуре l области B , то $f(x, y)$ тождественно равна нулю в области B .

Доказательство этой леммы аналогично доказательству леммы 1: функция $\eta(x, y)$ строится для некоторого круга радиуса ρ , в котором функция $f(x, y)$ будет положительной. Тогда двойной интеграл сведется к интегралу по упомянутому кругу от положительной непрерывной функции и будет положительным, что противоречит условию леммы.

Обе леммы останутся справедливыми, если мы наложим на функцию η более жесткие ограничения, например, потребуем, чтобы она имела непрерывные производные до некоторого порядка n и чтобы на концах промежутка $[x_0, x_1]$, а в случае двойного интеграла — на контуре l , она обращалась в нуль вместе с производными до порядка $(n-1)$. Доказательство останется прежним, и достаточно будет лишь, например, в лемме 1 в формуле для η показатель степени 2 заменить на $(n+1)$.

ЛЕММА 3. Если функция $g(x)$ непрерывна в промежутке $[x_0, x_1]$ и

$$\int_{x_0}^{x_1} g(x) \eta'(x) dx = 0 \quad (8.7)$$

для всякой функции $\eta(x)$, непрерывной вместе со своей производной в $[x_0, x_1]$ и равной нулю на концах, $\eta(x_0) = \eta(x_1) = 0$, то $g(x)$ — постоянная функция.

Действительно, обозначив

$$c = \frac{1}{x_1 - x_0} \int_{x_0}^{x_1} g(x) dx,$$

мы получим

$$\int_{x_0}^{x_1} [g(x) - c] dx = 0. \quad (8.8)$$

Определим функцию $\eta(x)$ следующим образом:

$$\eta(x) = \int_{x_0}^x [g(t) - c] dt.$$

Очевидно, эта функция удовлетворяет всем условиям леммы. Тогда наш интеграл (8.7) можно переписать так:

$$\int_{x_0}^{x_1} g(x) \eta'(x) dx = \int_{x_0}^{x_1} g(x) [g(x) - c] dx = 0.$$

Умножая обе части равенства (8.8) на c и вычитая из последнего равенства, получим

$$\int_{x_0}^{x_1} [g(x) - c]^2 dx = 0,$$

откуда $g(x) \equiv c$.

ЛЕММА 4. Если функции $a(x)$ и $b(x)$ непрерывны в промежутке $[x_0, x_1]$ и

$$\int_{x_0}^{x_1} [a(x)\eta(x) + b(x)\eta'(x)] dx = 0 \quad (8.9)$$

для всякой функции $\eta(x)$, удовлетворяющей тем же условиям, что и в лемме 3, то $b(x)$ имеет непрерывную производную $b'(x) \equiv a(x)$ в $[x_0, x_1]$.

Действительно, обозначив

$$A(x) = \int_{x_0}^x a(t) dt,$$

получим, интегрируя по частям,

$$\int_{x_0}^{x_1} a(x)\eta(x) dx = - \int_{x_0}^{x_1} A(x)\eta'(x) dx,$$

и равенство (8.9) переписывается в виде

$$\int_{x_0}^{x_1} [-A(x) + b(x)]\eta'(x) dx = 0,$$

и в силу леммы 3

$$b(x) = \int_{x_0}^x a(t) dt + \text{const},$$

то есть $b'(x) = a(x)$.

Простейшая вариационная задача. Метод Эйлера

Рассмотрим простейший функционал

$$J[y(x)] = \int_{x_0}^{x_1} F(x, y(x), y'(x)) dx, \quad (8.10)$$

где F — заданная функция трех аргументов. Мы будем считать ее непрерывной вместе с производными второго порядка в некоторой области B плоскости (x, y) и при любых значениях аргумента y' . Функционал J получит определенное численное значение, если мы фиксируем функцию $y = y(x)$ или, что то же, кривую $y = y(x)$, которую всегда считаем лежащей внутри области B .

Примем, что значения функции $y(x)$ на концах промежутка интегрирования заданы:

$$y(x_0) = y_0, \quad y(x_1) = y_1. \quad (8.11)$$

Будем считать, что искомая функция $y(x)$ имеет непрерывную производную в $[x_0, x_1]$, то есть $y(x) \in C^{(1)}([x_0, x_1])$. Назовем ε -окрестностью кривой $y = y(x)$ всевозможные кривые $y_1(x)$, которые во всем промежутке $[x_0, x_1]$ удовлетворяют неравенству

$$|y_1(x) - y(x)| \leq \varepsilon.$$

В этом случае иногда говорят о близости (ε -близости) функций (кривых) нулевого порядка. Это — близость в смысле нормы $\|y\|$ пространства C непрерывных функций, определенных на некотором отрезке $[x_0, x_1]$, то есть

$$\|y\| = \max_{x_0 \leq x \leq x_1} |y(x)|.$$

Таким образом, в пространстве C мы считаем функцию $y_1(x)$ отстоящей от функции $y(x)$ не больше чем на ε , если ее график целиком лежит внутри полосы шириной 2ε (по вертикали), окружающей график функции $y(x)$ (рис. 8.5).

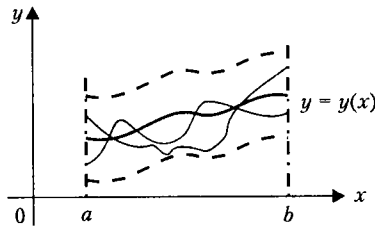


Рис. 8.5. Близость по норме пространства C

Во многих случаях более естественно считать близкими только те кривые, которые близки по ординатам и по направлениям касательных в соответствующих точках. Это равносильно требованию, чтобы для близких кривых не только модуль разности $y(x) - y_1(x)$ был бы мал, но, кроме того, был бы мал и модуль разности $y'(x) - y_1'(x)$. В таком случае близость кривых понимается в смысле нормы $\|y\|_1$ пространства $C^{(1)}$, состоящего из всех функций, определенных на некотором отрезке $[x_0, x_1]$ и непрерывных на этом отрезке вместе со своей первой производной, то есть

$$\|y\|_1 = \max_{x_0 \leq x \leq x_1} |y(x)| + \max_{x_0 \leq x \leq x_1} |y'(x)|.$$

Таким образом, близость функций в пространстве $C^{(1)}$ означает, что близки как сами функции, так и их первые производные.

Иногда же оказывается необходимым считать близкими только такие функции, для которых малы модули каждой из разностей $y(x) - y_1(x)$, $y'(x) - y_1'(x)$, ..., $y^{(k)}(x) - y_1^{(k)}(x)$. Это — близость в смысле нормы $\|y\|_k$ пространства $C^{(k)}$ функций, определенных на некотором отрезке $[x_0, x_1]$ и имеющих непрерывные производные до k -го порядка включительно, где k — некоторое целое фиксированное число

$$\|y\|_k = \sum_{j=0}^k \max_{x_0 \leq x \leq x_1} |y^{(j)}(x)|.$$

Близость функций в пространстве $C^{(k)}$ означает, следовательно, близость значений как самих функций, так и их производных до k -го порядка включительно. В связи с этим можно говорить о близости кривых в смысле близости нулевого порядка, первого порядка или k -го порядка.

Определение. Говорят, что функционал J достигает *относительного экстремума* для кривой $y(x)$, лежащей внутри упомянутой области B , принадлежащей классу $C^{(1)}$ и удовлетворяющей условию (8.11), если величина этого функционала для $y(x)$ не меньше (не больше) его величины для любых других кривых класса $C^{(1)}$, находящихся в некоторой ε -близости к $y(x)$ и удовлетворяющих условию (8.11).

Это понятие относительного экстремума совершенно аналогично понятию максимума и минимума функции. Наряду с понятием относительного экстремума можно ввести и понятие *абсолютного экстремума*. Пусть имеется некоторый класс A функций $y(x)$, для которых интеграл (8.10) существует. Говорят, что функционал J достигает в классе A абсолютного экстремума для кривой $y(x)$, если величина этого функционала для $y(x)$ не меньше (или не больше) его величины для всех других кривых класса A .

Мы будем заниматься только относительным экстремумом и для краткости относительный экстремум будем называть просто экстремумом.

ПРИМЕЧАНИЕ

Мы будем рассматривать функционалы, определенные на некотором множестве дифференцируемых функций. Сами эти функции мы можем считать элементами пространства C или пространства $C^{(1)}$. В соответствии с этими двумя возможностями говорят, что функционал $J[y]$ достигает при $y = y_0$ *слабого экстремума*, если существует такое $\varepsilon > 0$, что $J[y] - J[y_0]$ сохраняет постоянный знак для всех тех $y \in C^{(1)}$, для которых функционал $J[y]$ определен и $\|y - y_0\| < \varepsilon$ (близость в смысле нормы пространства $C^{(1)}$). Будем называть значение $J[y_0]$ *сильным экстремумом*, если оно является экстремальным по отношению ко всем тем $y(x)$, которые принадлежат области определения функционала $J[y]$ и удовлетворяют условию $\|y - y_0\| < \varepsilon$ (то есть близки к y_0 в смысле нормы пространства C).

Выведем необходимые условия, которым должна подчиняться функция $y(x)$ для того, чтобы функционал J имел экстремум. Задачу будем решать методом Эйлера. Возьмем любую функцию $\eta(x)$, равную нулю на концах промежутка интегрирования, и наряду с функцией $y(x)$, которая должна давать экстремум функционалу J , образуем новую функцию сравнения $\bar{y}(x) = y(x) + \varepsilon\eta(x)$, где ε — малый численный параметр. Эта новая функция удовлетворяет тем же граничным (предельным) условиям, что и $y(x)$.

Составим разность

$$J[\bar{y}(x)] - J[y(x)] = J[y(x) + \varepsilon\eta(x)] - J[y(x)].$$

Эта разность есть функция от ε , и она стремится к нулю при $\varepsilon \rightarrow 0$. Разложим эту функцию в ряд Тейлора

$$J[y(x) + \varepsilon\eta(x)] - J[y(x)] = \left[\frac{dJ[y(x) + \varepsilon\eta(x)]}{d\varepsilon} \right]_{\varepsilon=0} \varepsilon + O(\varepsilon^2). \quad (8.12)$$

Для того чтобы функционал J достигал экстремума при $y = y(x)$, необходимо, чтобы разность (8.12) имела определенный (постоянный) знак. Поэтому необходимое условие экстремума будет

$$\left[\frac{dJ[y(x) + \varepsilon\eta(x)]}{d\varepsilon} \right]_{\varepsilon=0} = 0. \quad (8.13)$$

Действительно, если это не так, то при достаточно малых значениях ε знак выражения, стоящего в правой части (8.12), определяется знаком первого (главного) члена. Следовательно, если (8.13) не выполняется, то выражение, стоящее в правой части (8.12), может быть как положительным, так и отрицательным при сколь угодно малых значениях ε , то есть экстремум в этом случае невозможен.

Реализуем условие (8.13)

$$\begin{aligned} \left[\frac{dJ[y(x) + \varepsilon\eta(x)]}{d\varepsilon} \right]_{\varepsilon=0} &= \left[\frac{d}{d\varepsilon} \int_{x_0}^{x_1} F(x, y + \varepsilon\eta, y' + \varepsilon\eta') dx \right]_{\varepsilon=0} = \\ &= \int_{x_0}^{x_1} \left[\frac{\partial F}{\partial y} \eta + \frac{\partial F}{\partial y'} \eta' \right] dx = \underbrace{\frac{\partial F}{\partial y'} \eta}_{=0} \Big|_{x=x_0}^{x=x_1} + \int_{x_0}^{x_1} \left[\frac{\partial F}{\partial y} - \frac{d}{dx} \frac{\partial F}{\partial y'} \right] \eta dx = 0. \end{aligned} \quad (8.14)$$

Отсюда в силу леммы 1 мы можем утверждать, что функция $y = y(x)$, дающая экстремум интегралу (8.10), должна удовлетворять дифференциальному уравнению

$$\frac{\partial F}{\partial y} - \frac{d}{dx} \frac{\partial F}{\partial y'} = 0. \quad (8.15)$$

Можно показать [22], что если вдоль исследуемой линии $y = y(x)$ производная $\partial^2 F / \partial y'^2 \neq 0$, то функция $y = y(x)$ имеет непрерывную вторую производную y'' и тем самым уравнение (8.15) может быть переписано в виде

$$\frac{\partial^2 F}{\partial y'^2} y'' + \frac{\partial^2 F}{\partial y \partial y'} y' + \frac{\partial^2 F}{\partial x \partial y'} - \frac{\partial F}{\partial y} = 0. \quad (8.16)$$

Уравнение (8.15) было дано Л. Эйлером и называется обычно *уравнением Эйлера* данной задачи. Уравнение (8.16) представляет собой уравнение второго порядка, и его общий интеграл содержит две произвольные постоянные, которые определяются из двух предельных условий (8.11).

Интегральные кривые уравнения Эйлера называются *экстремальми*. Таким образом, экстремаль — это та кривая, на которой *может* достигаться экстремум функционала (8.10). Так как уравнение Эйлера дополняется не начальными, а граничными условиями, то теорема Коши о существовании и единственности решения дифференциального уравнения здесь неприменима. Иными словами, экстремаль не обязательно существует, а если существует, то не обязательно единственна. Всё зависит от вида уравнения Эйлера (8.15) и разрешимости системы уравнений для граничных условий (8.11).

Уравнение (8.15) дает необходимое, но, вообще говоря, недостаточное условие экстремума. Для того чтобы выяснить, есть экстремум или нет, нужно исследо-

вать знак разности (8.12) либо выписать явно в правой части (8.12) вторые члены и получить некие общие неравенства, при которых можно определенно сказать о знаке разности (8.12).

В ряде случаев, однако, уже одно уравнение Эйлера дает исчерпывающее решение задачи. Действительно, часто само существование экстремума бывает ясно из физического или геометрического смысла задачи (например, задачи о брахистохроне, о кратчайшем расстоянии между двумя точками и т. п.). Если при этом существует лишь единственная экстремаль, удовлетворяющая граничным условиям задачи, то именно она и будет непременно той кривой, которая реализует искомый экстремум.

Пусть $y(x)$ — решение нашей задачи об экстремуме функционала (8.10) при условиях (8.11), $\bar{y}(x) = y(x) + \varepsilon\eta(x)$, $(\eta(x_0) = \eta(x_1) = 0)$ — функция сравнения.

Приращением, или *вариацией*, δy аргумента $y(x)$ функционала $J[y(x)]$ называется разность между двумя функциями, $\delta y = \bar{y} - y = \varepsilon\eta$.

Вариацией (или *первой вариацией*) δJ функционала $J[y(x)]$ называется выражение

$$\delta J = \varepsilon \left[\frac{dJ[y(x) + \varepsilon\eta(x)]}{d\varepsilon} \right]_{\varepsilon=0}.$$

Таким образом, вариация функционала — главная часть приращения функционала.

Необходимое условие экстремума функционала (8.10) (при условиях (8.11)) можно записать в виде

$$\delta J = 0. \tag{8.17}$$

Принимая во внимание (8.14), можем написать

$$\delta J = \underbrace{\frac{\partial F}{\partial y'}}_{=0} \eta \varepsilon \Big|_{x=x_0}^{x=x_1} + \int_{x_0}^{x_1} \left[\frac{\partial F}{\partial y} - \frac{d}{dx} \frac{\partial F}{\partial y'} \right] \eta \varepsilon dx$$

или

$$\delta J = \underbrace{\frac{\partial F}{\partial y'}}_{=0} \delta y \Big|_{x=x_0}^{x=x_1} + \int_{x_0}^{x_1} \left[\frac{\partial F}{\partial y} - \frac{d}{dx} \frac{\partial F}{\partial y'} \right] \delta y dx, \tag{8.18}$$

причем внеинтегральное слагаемое в (8.18) равно нулю, если значения функции на границе фиксированы ($\delta y = 0$ на границе).

Условие (8.17) иногда называют *условием стационарности* функционала (8.10). Таким образом, всякое решение уравнения Эйлера (8.16), экстремаль для функционала (8.10), придает этому функционалу *стационарное* значение, то есть $\delta J = 0$.

Методы интегрирования уравнения Эйлера

Уравнение Эйлера, полученное нами в предыдущем разделе, играет фундаментальную роль во всем вариационном исчислении. Как уже отмечалось, оно пред-

ставляет собой, вообще говоря, нелинейное дифференциальное уравнение второго порядка. Укажем некоторые частные случаи, в которых это уравнение может быть сведено к уравнению первого порядка или даже полностью проинтегрировано в квадратурах.

I. Подынтегральная функция не зависит явно от y . Предположим, что рассматриваемый функционал имеет вид

$$J[y(x)] = \int_{x_0}^{x_1} F(x, y'(x)) dx.$$

В этом случае уравнение Эйлера имеет вид

$$\frac{d}{dx} \frac{\partial F}{\partial y'} = 0$$

и имеет, очевидно, первый интеграл

$$\frac{\partial F}{\partial y'} = C_1.$$

Это — уравнение первого порядка, не содержащее y . Решив его относительно y' , получаем соотношение вида

$$y' = f(x, C_1),$$

откуда y находится квадратурой

$$y(x) = \int f(x, C_1) dx + C_2.$$

II. Подынтегральная функция не зависит явно от x , то есть

$$J[y(x)] = \int_{x_0}^{x_1} F(y(x), y'(x)) dx.$$

В этом случае имеется первый интеграл

$$F - y' \frac{\partial F}{\partial y'} = C_1. \quad (8.19)$$

Действительно, имеем

$$\frac{\partial F}{\partial y} - \frac{d}{dx} \frac{\partial F}{\partial y'} = \frac{\partial F}{\partial y} - \left[\frac{\partial^2 F}{\partial y'^2} y'' + \frac{\partial^2 F}{\partial y \partial y'} y' + \frac{\partial^2 F}{\partial x \partial y'} \right] = \frac{\partial F}{\partial y} - \frac{\partial^2 F}{\partial y'^2} y'' - \frac{\partial^2 F}{\partial y \partial y'} y'.$$

С другой стороны,

$$\begin{aligned} & \frac{d}{dx} \left(F - y' \frac{\partial F}{\partial y'} \right) = \\ & = y' \frac{\partial F}{\partial y} + y'' \frac{\partial F}{\partial y'} - y'' \frac{\partial F}{\partial y'} - \frac{\partial^2 F}{\partial y \partial y'} y'^2 - \frac{\partial^2 F}{\partial y'^2} y' y'' = \\ & = -y' \left(\frac{\partial^2 F}{\partial y \partial y'} y' + \frac{\partial^2 F}{\partial y'^2} y'' - \frac{\partial F}{\partial y} \right). \end{aligned}$$

Таким образом,

$$\frac{\partial F}{\partial y} - \frac{d}{dx} \frac{\partial F}{\partial y'} = y' \frac{d}{dx} \left(F - y' \frac{\partial F}{\partial y'} \right).$$

В силу уравнения Эйлера

$$\frac{d}{dx} \left(F - y' \frac{\partial F}{\partial y'} \right) = 0,$$

то есть мы действительно имеем интеграл (8.19).

Решив уравнение (8.19) относительно y' , получаем соотношение вида

$$y' = f(y, C_1),$$

откуда находим

$$\frac{dy}{f(y, C_1)} = dx \Rightarrow x = \int \frac{dy}{f(y, C_1)} + C_2.$$

III. Если F не зависит от y' , то уравнение Эйлера принимает вид

$$\frac{\partial}{\partial y} F(x, y) = 0,$$

то есть представляет собой не дифференциальное, а конечное уравнение. Решение этого конечного уравнения не содержит элементов произвола и поэтому, вообще говоря, не удовлетворяет граничным условиям $y(x_0) = y_0$ и $y(x_1) = y_1$. Следовательно, решение рассматриваемой вариационной задачи, вообще говоря, не существует.

IV. Если F зависит лишь от y' , то уравнение Эйлера принимает вид

$$\frac{\partial^2 F}{\partial y'^2} y'' = 0.$$

Отсюда $y'' = 0$ или $\partial^2 F / \partial y'^2 = 0$.

Если $y'' = 0$, то $y = C_1 x + C_2$ — двухпараметрическое семейство прямых линий.

Если же уравнение $\partial^2 F / \partial y'^2 = 0$ имеет один или несколько действительных корней $y' = k$, то $y = kx + C$, и мы получаем однопараметрическое семейство прямых, содержащееся в полученном ранее двухпараметрическом семействе $y = C_1 x + C_2$. Таким образом, в данном случае экстремальными являются всевозможные прямые.

Примеры решения вариационных задач

Теперь мы уже можем решить некоторые из сформулированных ранее задач. Рассмотрим решения двух таких задач.

Задача о брахистохроне

Задача сводится к минимизации функционала

$$J[y] = \frac{1}{\sqrt{2g}} \int_0^a \frac{\sqrt{1 + \left(\frac{dy}{dx}\right)^2}}{\sqrt{y}} dx \rightarrow \min, \quad y(0) = 0, \quad y(a) = b.$$

Этот функционал принадлежит к простейшему виду; его подынтегральная функция не зависит явно от x . Следовательно, уравнение Эйлера имеет первый интеграл в виде (8.19). Раскрывая производную после упрощений, будем иметь

$$\frac{1}{\sqrt{y(1+y'^2)}} = C \Rightarrow y(1+y'^2) = C_1.$$

Введем параметр t , полагая $y' = \operatorname{ctg}(t/2)$; тогда получим

$$y = \frac{C_1}{[1 + \operatorname{ctg}^2(t/2)]} = C_1 \sin^2(t/2) = \frac{C_1}{2} [1 - \cos(t)];$$

$$dx = \frac{dy}{y'} = \frac{C_1 \sin(t/2) \cos(t/2) dt}{\operatorname{ctg}(t/2)} = C_1 \sin^2(t/2) dt = \frac{C_1}{2} [1 - \cos(t)] dt;$$

$$x = \frac{C_1}{2} [t - \sin(t)] + C_2.$$

Следовательно, в параметрической форме уравнение искомой линии имеет вид

$$x - C_2 = \frac{C_1}{2} [t - \sin(t)], \quad y = \frac{C_1}{2} [1 - \cos(t)].$$

Если принять во внимание, что $C_2 = 0$, так как при $y = 0, x = 0$, то мы получим семейство циклоид в обычной форме

$$x = \frac{C_1}{2} (t - \sin(t)), \quad y = \frac{C_1}{2} (1 - \cos(t)),$$

где $C_1/2$ — радиус катящегося круга, который определяется из условия прохождения циклоиды через точку $B(a, b)$. Итак, брахистохронной является циклоида.

Задача о распространении света в неоднородной среде

Задача сводится к минимизации функционала

$$J[y(x)] = \int_a^b \frac{\sqrt{1 + \left(\frac{dy}{dx}\right)^2}}{v(x, y)} dx \rightarrow \min,$$

причем $y(x) \in C^{(1)}$ и $y(a) = y_a, y(b) = y_b$.

Будем считать, что скорость света выражается формулой $v = ky$. В этом случае, как и в предыдущем, подынтегральная функция не зависит явно от x . Будем считать, что $k = 1$, то есть

$$F(y, y') = \frac{\sqrt{1 + y'^2}}{y}.$$

Следовательно, уравнение Эйлера имеет первый интеграл в виде (8.19). Раскрывая производную после упрощений, будем иметь

$$\begin{aligned} \frac{1}{y\sqrt{1+y'^2}} = C &\Rightarrow 1+y'^2 = \frac{1}{C_1^2 y^2} \Rightarrow \\ y' = \frac{\sqrt{1-C_1^2 y^2}}{C_1 y} &\Rightarrow dx = \frac{C_1 y}{\sqrt{1-C_1^2 y^2}} dy \Rightarrow \\ x = \int \frac{C_1 y}{\sqrt{1-C_1^2 y^2}} dy + C_2 &= -\frac{\sqrt{1-C_1^2 y^2}}{C_1} + C_2 \Rightarrow \\ (x-C_2)^2 = \frac{1-C_1^2 y^2}{C_1^2} &\Rightarrow (x-C_2)^2 + y^2 = \frac{1}{C_1^2}. \end{aligned}$$

Таким образом, искомая кривая — окружность, причем центр этой окружности лежит на оси Ox . Можно графически найти эту окружность, не вычисляя констант (рис. 8.6).

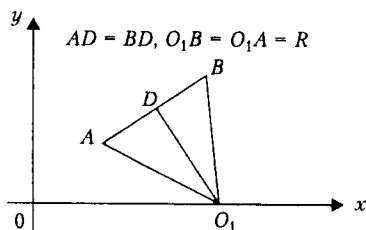


Рис. 8.6. Определение центра окружности

Для этого соединяем точки A и B отрезком прямой, затем из середины отрезка AB опускаем перпендикуляр на ось Ox . Точка пересечения O_1 этого перпендикуляра с осью Ox и будет центром искомой окружности.

Задача со свободной вариацией на границе

При рассмотрении экстремума функционала (8.10) мы принимали в качестве предельных условий закрепление искомой кривой на ее концах, то есть условия (8.11). Возможен и другой вид предельных условий, который мы сейчас и рассмотрим.

Пусть мы ищем экстремум функционала

$$J[y(x)] = \int_{x_0}^{x_1} F(x, y(x), y'(x)) dx, \quad (8.20)$$

причем значения функции на границе (то есть в точках $x = x_0$ и $x = x_1$) не заданы. Будем предполагать, что концы искомой кривой находятся на прямых $x = x_0$

и $x = x_1$, параллельных оси y (рис. 8.7). Мы покажем сейчас, что на таких свободных концах также должны быть выполнены некоторые предельные условия, которые непосредственно получаются из условия экстремума интеграла (8.20).

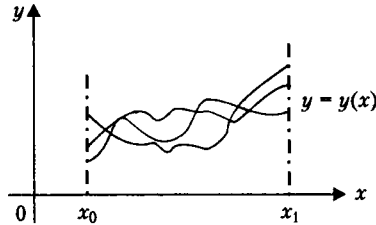


Рис. 8.7. Задача со свободными концами

Действительно, если некоторая кривая дает экстремум интегралу (8.20) по сравнению со всеми близкими кривыми со свободными концами, то тем более она дает экстремум интегралу (8.20) при условии закрепления этих концов. Но тогда эта кривая, как мы показали ранее, должна удовлетворять уравнению Эйлера

$$\frac{\partial F}{\partial y} - \frac{d}{dx} \frac{\partial F}{\partial y'} = 0,$$

то есть быть экстремалью функционала (8.20). Обратимся теперь к общему выражению первой вариации функционала (8.20)

$$\delta J = \frac{\partial F}{\partial y'} \delta y \Big|_{x=x_0}^{x=x_1} + \int_{x_0}^{x_1} \left[\frac{\partial F}{\partial y} - \frac{d}{dx} \frac{\partial F}{\partial y'} \right] \delta y \, dx, \quad (\delta y = \varepsilon \eta).$$

Как и ранее эта первая вариация должна обращаться в нуль. Член, содержащий интеграл, равен нулю, поскольку функция $y = y(x)$, как мы только что показали, должна и в этом случае удовлетворять уравнению Эйлера. Таким образом, равенство нулю первой вариации приводит нас к равенству

$$\frac{\partial F}{\partial y'} \delta y \Big|_{x=x_0}^{x=x_1} = 0, \quad (\delta y = \varepsilon \eta). \quad (8.21)$$

Так как на свободном конце η может быть произвольным, то из (8.21) следует

$$\frac{\partial F}{\partial y'} \Big|_{x=x_0} = 0, \quad \frac{\partial F}{\partial y'} \Big|_{x=x_1} = 0. \quad (8.22)$$

Решая уравнение Эйлера, мы получим $y = y(x, C_1, C_2)$, а затем из (8.22) найдем $y = y(x)$. Предельные условия (8.22) называются обычно *естественными предельными*, или *граничными условиями*.

Обобщением рассмотренной задачи является задача со свободными концами, которые могут перемещаться вдоль некоторых фиксированных кривых Γ_1 и Γ_2 (рис. 8.8).

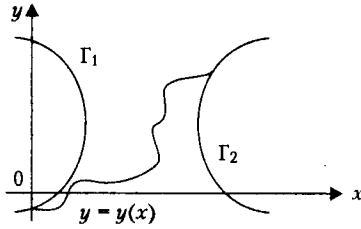


Рис. 8.8. Обобщение задачи со свободными концами

Результатом решения этой задачи будет:

1. Искомая функция $y = y(x)$ должна удовлетворять уравнению Эйлера.
2. Функция $y = y(x)$ должна удовлетворять некоторым дополнительным условиям — условиям трансверсальности. Геометрически эти условия означают, что кривая $y = y(x)$ пересекает кривые Γ_1 и Γ_2 под определенными углами.

Для вывода условий трансверсальности дадим сначала обобщение формулы для вариации функционала (8.20). В отличие от простейшей задачи, будем считать, что концы тех кривых, на которых определен этот функционал, могут сдвигаться произвольным образом. Раньше мы считали, что близкие кривые $\bar{y}(x) = y(x) + \epsilon \eta(x)$, где ϵ — малый численный параметр, отличаются от основной кривой $y(x)$ добавлением слагаемого $\epsilon \eta(x)$. Сейчас мы будем считать, что близкие кривые $\bar{y}(x) = y(x, \epsilon)$ содержат параметр ϵ произвольным образом, причем при $\epsilon = 0$ получается основная кривая $y(x) = y(x, 0)$, для которой мы и вычисляем вариацию интеграла.

Итак, рассмотрим интеграл (8.20) и введем в этот интеграл измененную близкую кривую, считая, что и пределы интегрирования зависят от ϵ

$$J[y(x, \epsilon)] = \int_{x_0(\epsilon)}^{x_1(\epsilon)} F(x, y(x, \epsilon), y'(x, \epsilon)) dx, \tag{8.23}$$

причем при $\epsilon = 0$ мы имеем функцию и пределы, входящие в интеграл (8.20)

$$y(x, 0) = y(x), \quad x_1(0) = x_1, \quad x_0(0) = x_0.$$

В соответствии с общим определением вариации как произведения производной по ϵ при $\epsilon = 0$ на ϵ , можно написать

$$\delta x_0 = \left. \frac{dx_0(\epsilon)}{d\epsilon} \right|_{\epsilon=0} \epsilon; \quad \delta x_1 = \left. \frac{dx_1(\epsilon)}{d\epsilon} \right|_{\epsilon=0} \epsilon; \quad \delta y = \left. \frac{\partial y(x, \epsilon)}{\partial \epsilon} \right|_{\epsilon=0} \epsilon;$$

$$\delta y' = \left. \frac{\partial}{\partial \epsilon} \left[\frac{dy(x, \epsilon)}{dx} \right] \right|_{\epsilon=0} \epsilon = \frac{d}{dx} \left[\left. \frac{\partial y(x, \epsilon)}{\partial \epsilon} \right] \right|_{\epsilon=0} \epsilon = \frac{d}{dx} \delta y,$$

причем мы считаем, что $y(x, \epsilon)$ имеет непрерывные производные до второго порядка. Беря от интеграла (8.23) производную по ϵ , полагая в ней $\epsilon = 0$ и умножая на ϵ , получим следующее выражение первой вариации интеграла:

$$\delta J = F(x_1, y_1, y'_1) \delta x_1 - F(x_0, y_0, y'_0) \delta x_0 + \\ + \int_{x_0}^{x_1} \left[\frac{\partial F(x, y, y')}{\partial y} \delta y + \frac{\partial F(x, y, y')}{\partial y'} \delta y' \right] dx,$$

или

$$\delta J = F(x, y, y') \delta x \Big|_{x=x_0}^{x=x_1} + \int_{x_0}^{x_1} \left[\frac{\partial F(x, y, y')}{\partial y} \delta y + \frac{\partial F(x, y, y')}{\partial y'} \delta y' \right] dx.$$

Преобразуем, как и ранее, второе слагаемое в интеграле, интегрируя по частям

$$\int_{x_0}^{x_1} \frac{\partial F(x, y, y')}{\partial y'} \delta y' dx = \int_{x_0}^{x_1} \frac{\partial F(x, y, y')}{\partial y'} \frac{d}{dx} \delta y dx = \\ = \frac{\partial F(x_1, y_1, y'_1)}{\partial y'} (\delta y)_1 - \frac{\partial F(x_0, y_0, y'_0)}{\partial y'} (\delta y)_0 - \int_{x_0}^{x_1} \delta y \frac{d}{dx} \frac{\partial F(x, y, y')}{\partial y'} dx, \quad (8.24)$$

где $(\delta y)_1$ и $(\delta y)_0$ — граничные значения вариации функции y :

$$(\delta y)_i = \frac{\partial y(x_i, \varepsilon)}{\partial \varepsilon} \Big|_{\varepsilon=0} \quad \varepsilon \quad (i=0,1). \quad (8.25)$$

Найдем теперь первую вариацию ординат концов кривой. Очевидно, $y_1 = y[x_1(\varepsilon), \varepsilon]$, и при изменении ε будут меняться оба аргумента функции y , так что первая вариация δy_1 ординаты y_1 будет

$$\delta y_1 = \frac{d}{d\varepsilon} [y(x_1(\varepsilon), \varepsilon)] \Big|_{\varepsilon=0} \quad \varepsilon = \\ = \left[\frac{\partial y}{\partial x_1} \frac{dx_1}{d\varepsilon} \right] \Big|_{\varepsilon=0} \quad \varepsilon + \left[\frac{\partial y}{\partial \varepsilon} \right] \Big|_{\varepsilon=0} \quad \varepsilon = y'_1 \delta x_1 + (\delta y)_1, \quad (8.26)$$

где y'_1 — угловой коэффициент касательной на правом конце кривой. Аналогично для вариации δy_0 ординаты левого конца кривой будем иметь

$$\delta y_0 = y'_0 \delta x_0 + \delta y \Big|_{x=x_0}. \quad (8.27)$$

Подстановка в (8.24) вместо $(\delta y)_1$ и $(\delta y)_0$ их значений из уравнений (8.26) и (8.27) даст нам следующее окончательное выражение для первой вариации интеграла (8.20):

$$\delta J = \left[F(x_1, y_1, y'_1) - y'_1 \frac{\partial F(x_1, y_1, y'_1)}{\partial y'} \right] \delta x_1 + \frac{\partial F(x_1, y_1, y'_1)}{\partial y'} \delta y_1 - \\ - \left[F(x_0, y_0, y'_0) - y'_0 \frac{\partial F(x_0, y_0, y'_0)}{\partial y'} \right] \delta x_0 - \frac{\partial F(x_0, y_0, y'_0)}{\partial y'} \delta y_0 + \\ + \int_{x_0}^{x_1} \left[\frac{\partial F(x, y, y')}{\partial y} - \frac{d}{dx} \left(\frac{\partial F(x, y, y')}{\partial y'} \right) \right] \delta y dx,$$

или

$$\delta J = \left[\left(F(x, y, y') - y' \frac{\partial F(x, y, y')}{\partial y'} \right) \delta x + \frac{\partial F(x, y, y')}{\partial y'} \delta y \right]_{x=x_0}^{x=x_1} + \int_{x_0}^{x_1} \left[\frac{\partial F(x, y, y')}{\partial y} - \frac{d}{dx} \left(\frac{\partial F(x, y, y')}{\partial y'} \right) \right] \delta y dx.$$

Выясним геометрически разницу между величинами δy_1 и $(\delta y)_1$, входящими в формулу (8.26). Координаты правого конца кривых сравнения $y = f(x, \varepsilon)$ будут: $x_1(\varepsilon)$ и $y_1(\varepsilon) = f[x_1(\varepsilon), \varepsilon]$. При изменении ε правый конец опишет некоторую линию. Начальным значением ε является значение $\varepsilon = 0$, так что сама величина ε является приращением этого параметра от начального значения $\varepsilon = 0$. Согласно (8.26), δy_1 есть дифференциал функции $y_1(\varepsilon) = f[x_1(\varepsilon), \varepsilon]$ по отношению к переменной ε , то есть δy_1 есть главная часть приращения ординаты $y_1(\varepsilon)$ правого конца. На рис. 8.9 это приращение изображается отрезком CD . Согласно (8.25), $(\delta y)_1$ есть дифференциал функции $f[x_1(0), \varepsilon]$, причем в первом аргументе $x_1(\varepsilon)$ мы полагаем $\varepsilon = 0$ до вычисления дифференциала. Таким образом, $(\delta y)_1$ есть главная часть приращения ординаты на конце $x_1(0)$ при переходе с основной кривой $y(x)$ на кривую сравнения $y = f(x, \varepsilon)$. На рис. 8.9 это приращение изображается отрезком AB .

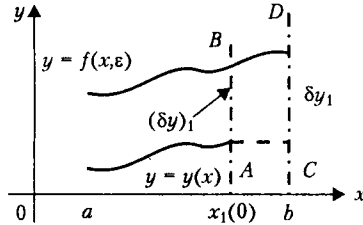


Рис. 8.9. Геометрический смысл вариаций $(\delta y)_1$ и δy_1

Получим теперь условия трансверсальности. Будем предполагать, что концы экстремали могут перемещаться вдоль некоторых фиксированных кривых Γ_1 и Γ_2 (рис. 8.8). Рассуждая, как и раньше, мы докажем, что если некоторая кривая $y(x)$ дает экстремум интегралу, то она должна удовлетворять уравнению Эйлера, то есть быть экстремалью. Первая вариация должна обращаться в нуль: слагаемое, содержащее знак интеграла, будет равно нулю в силу уравнения Эйлера. Таким образом, равенство нулю первой вариации приводит нас к следующему условию:

$$\left[\left(F - y' \frac{\partial F}{\partial y'} \right) \delta x + \frac{\partial F}{\partial y'} \delta y \right]_{x=x_1} - \left[\left(F - y' \frac{\partial F}{\partial y'} \right) \delta x + \frac{\partial F}{\partial y'} \delta y \right]_{x=x_0} = 0.$$

Обозначим через $\bar{y}' = \frac{\delta y}{\delta x}$ угловой коэффициент касательной к кривым Γ_1 и Γ_2 .

Тогда последнее условие можно переписать в виде

$$\left[\left(F - y' \frac{\partial F}{\partial y'} \right) + \frac{\partial F}{\partial y'} \bar{y}' \right] \Bigg|_{x=x_1} \delta x_1 - \left[\left(F - y' \frac{\partial F}{\partial y'} \right) + \frac{\partial F}{\partial y'} \bar{y}' \right] \Bigg|_{x=x_0} \delta x_0 = 0.$$

Так как δx_0 и δx_1 — произвольные независимые приращения, то из последнего равенства получаем

$$\left[(\bar{y}' - y') \frac{\partial F}{\partial y'} + F \right] \Bigg|_{x=x_1} = 0,$$

$$\left[(\bar{y}' - y') \frac{\partial F}{\partial y'} + F \right] \Bigg|_{x=x_0} = 0.$$

Эти граничные условия и называются условиями трансверсальности.

Вариационная задача для функционалов, содержащих производные высших порядков

Рассмотрим теперь случай, когда интеграл содержит производные искомой функции выше первого порядка

$$J[y(x)] = \int_{x_0}^{x_1} F(x, y, y', \dots, y^{(n)}) dx. \quad (8.28)$$

Как мы это уже делали раньше, построим близкую кривую $\bar{y}(x) = y(x) + \varepsilon \eta(x)$, подставим в интеграл (8.28), продифференцируем по ε и примем $\varepsilon = 0$. Таким образом, мы получим

$$\delta J = \varepsilon \left[\frac{dJ[y(x) + \varepsilon \eta(x)]}{d\varepsilon} \right] \Bigg|_{\varepsilon=0} \Rightarrow$$

$$\delta J = \int_{x_0}^{x_1} \left[\frac{\partial F}{\partial y} \eta(x) + \frac{\partial F}{\partial y'} \eta'(x) + \dots + \frac{\partial F}{\partial y^{(n)}} \eta^{(n)}(x) \right] dx.$$

Преобразуем все слагаемые правой части, кроме первого, интегрируя несколько раз по частям

$$\int_{x_0}^{x_1} \frac{\partial F}{\partial y^{(k)}} \eta^{(k)}(x) dx =$$

$$= \left[\frac{\partial F}{\partial y^{(k)}} \eta^{(k-1)}(x) - \frac{d}{dx} \frac{\partial F}{\partial y^{(k)}} \eta^{(k-2)}(x) + \dots + (-1)^{k-1} \frac{d^{k-1}}{dx^{k-1}} \frac{\partial F}{\partial y^{(k)}} \eta(x) \right] \Bigg|_{x=x_0}^{x=x_1} +$$

$$+ (-1)^k \int_{x_0}^{x_1} \frac{d^k}{dx^k} \left(\frac{\partial F}{\partial y^{(k)}} \right) \eta(x) dx.$$

Мы считаем, что $\eta(x)$ и ее производные до порядка $(n-1)$ обращаются в нуль на концах. Вследствие этого внеинтегральные члены пропадут; приравнявая нулю первую вариацию, получим условие

$$\delta J = \int_{x_0}^{x_1} \left[\frac{\partial F}{\partial y} - \frac{d}{dx} \frac{\partial F}{\partial y'} + \dots + (-1)^n \frac{d^n}{dx^n} \frac{\partial F}{\partial y^{(n)}} \right] \eta(x) dx = 0,$$

которое приводит нас к следующему уравнению Эйлера:

$$\frac{\partial F}{\partial y} - \frac{d}{dx} \frac{\partial F}{\partial y'} + \dots + (-1)^n \frac{d^n}{dx^n} \frac{\partial F}{\partial y^{(n)}} = 0.$$

Это есть дифференциальное уравнение порядка $2n$. Его общий интеграл содержит $2n$ произвольных постоянных, и мы должны иметь еще $2n$ предельных условий. В простейшем случае эти условия сводятся к заданию функции и ее производных до порядка $(n-1)$ на концах промежутка. Из этих предельных условий и вытекает, что аналогичные величины для $\eta(x)$ должны обращаться в нуль. Отметим еще, что мы считали непрерывными все те функции, которые входят в предыдущие формулы, так что, например, мы считаем, что искомая функция $y(x)$ имеет непрерывные производные порядка $2n$, то есть принадлежит классу $C^{(2n)}$.

Пример. Решение задачи об изгибе балки

Рассмотрим решение задачи об изгибе прямолинейного стержня. Будем считать, что концы стержня жестко защемлены и стержень в недеформированном состоянии занимает отрезок $[0, l]$ оси Ox . В положении равновесия стержень принимает такую форму, что его потенциальная энергия минимальна. Таким образом, мы приходим к следующей вариационной задаче: найти функцию $y = y(x)$ (прогиб стержня) такую, что

$$U[y(x)] = \int_0^l \left[\frac{EJ}{2} \left(\frac{d^2 y}{dx^2} \right)^2 - q(x)y(x) \right] dx, \quad y(x) \in C^{(2)},$$

$$U[y(x)] \rightarrow \min,$$

$$y(0) = 0, \quad y(l) = 0, \quad y'(0) = 0, \quad y'(l) = 0,$$

где E — модуль Юнга, J — момент инерции поперечного сечения стержня, $q(x)$ — заданная поперечная нагрузка.

В рассматриваемом случае подынтегральная функция

$$F = \frac{EJ}{2} \left(\frac{d^2 y}{dx^2} \right)^2 - q(x)y(x),$$

и, следовательно, уравнение Эйлера имеет вид

$$\frac{\partial F}{\partial y} - \frac{d}{dx} \left(\frac{\partial F}{\partial y'} \right) + \frac{d^2}{dx^2} \left(\frac{\partial F}{\partial y''} \right) = 0.$$

Вычисляя производные, входящие в уравнение Эйлера, получим

$$-q(x) + EJ \frac{d^4 y}{dx^4} = 0 \Rightarrow EJ \frac{d^4 y}{dx^4} = q(x).$$

Последнее уравнение — известное уравнение изгиба балки. Это — линейное уравнение, оно легко интегрируется. Общее решение этого уравнения может быть записано в виде

$$EJy(x) = A + Bx + C \frac{x^2}{2} + D \frac{x^3}{6} + \int_0^x q(\xi) \frac{(x-\xi)^3}{6} d\xi. \quad (8.29)$$

Такая форма представления решения была дана еще Л. Эйлером в 1778 г. Формула (8.29) легко может быть получена методом Лагранжа вариации произвольных постоянных. Представление общего интеграла основного уравнения изгиба балок в виде (8.29) вносит значительное упрощение в расчеты, придает единообразную форму этим расчетам, применимую во всех случаях, причем нет необходимости прибегать ни к теореме трех моментов, ни к началу наименьшей работы, когда имеет место многократная статическая неопределенность.

Постоянные A , B , C и D легко находятся из граничных условий, причем две из них почти всегда равны нулю. Дело в том, что эти постоянные имеют вполне определенный физический смысл:

$$A = EJy(0), \quad B = EJy'(0), \quad C = EJy''(0), \quad D = EJy'''(0).$$

Поэтому, например, в случае заземленных концов балки мы имеем $A = 0$, $B = 0$, и остается определить только две константы C и D из граничных условий $y(l) = 0$, $y'(l) = 0$ на другом конце балки.

Вариационная задача для функционалов, зависящих от нескольких функциональных аргументов

Рассмотрим функционал вида

$$J[y_1(x), y_2(x), \dots, y_n(x)] = \int_{x_0}^{x_1} F(x, y_1, y_2, \dots, y_n, y_1', y_2', \dots, y_n') dx, \quad (8.30)$$

причем

$$y_i(x_0) = y_{i,0}, \quad y_i(x_1) = y_{i,1}, \quad i = 1, 2, \dots, n. \quad (8.31)$$

Будем считать, что функция F непрерывна по всем аргументам и имеет производные первого и второго порядков; $y_i(x) \in C^{(2)}$.

Предположим, что система функций

$$y_1(x), y_2(x), \dots, y_n(x)$$

доставляет экстремум функционалу (8.30). Образует функции сравнения

$$\bar{y}_i(x) = y_i(x) + \varepsilon_i \eta_i(x), \quad i = 1, 2, \dots, n,$$

причем

$$\eta_i(x) \in C^{(2)}, \quad \eta_i(x_0) = 0, \quad \eta_i(x_1) = 0, \quad i = 1, 2, \dots, n.$$

Образует разность

$$\begin{aligned} & \mathcal{L}[\bar{y}_1, \bar{y}_2, \dots, \bar{y}_n] - \mathcal{L}[y_1, y_2, \dots, y_n] = \\ & = \sum_{i=1}^n \left. \frac{\partial \mathcal{L}[\bar{y}_1, \bar{y}_2, \dots, \bar{y}_n]}{\partial \varepsilon_i} \right|_{\varepsilon_1 = \varepsilon_2 = \dots = \varepsilon_n = 0} \varepsilon_i + O\left(\sum_{i=1}^n \varepsilon_i^2\right). \end{aligned} \quad (8.32)$$

При достаточно малых ε_i знак (8.32) определяется первым слагаемым. Таким образом, необходимым условием экстремума будет

$$\left. \frac{\partial \mathcal{L}[\bar{y}_1, \bar{y}_2, \dots, \bar{y}_n]}{\partial \varepsilon_i} \right|_{\varepsilon_1 = \varepsilon_2 = \dots = \varepsilon_n = 0} = 0, \quad i = 1, 2, \dots, n,$$

или

$$\int_{x_0}^{x_1} \left[\frac{\partial F}{\partial y_i} \eta_i + \frac{\partial F}{\partial y'_i} \eta'_i \right] dx = 0, \quad i = 1, 2, \dots, n,$$

или

$$\underbrace{\frac{\partial F}{\partial y'_i} \eta_i}_{=0} \Big|_{x=x_0}^{x=x_1} + \int_{x_0}^{x_1} \left[\frac{\partial F}{\partial y_i} - \frac{d}{dx} \frac{\partial F}{\partial y'_i} \right] \eta_i dx = 0, \quad i = 1, 2, \dots, n.$$

В силу произвольности η_i получаем систему уравнений Эйлера

$$\frac{\partial F}{\partial y_i} - \frac{d}{dx} \frac{\partial F}{\partial y'_i} = 0, \quad i = 1, 2, \dots, n. \quad (8.33)$$

Это — система n уравнений второго порядка. Кроме уравнений (8.33) мы имеем еще предельные условия (8.31).

Первая вариация функционала (8.30) имеет вид

$$\begin{aligned} \delta J &= \sum_{i=1}^n \left. \frac{\partial \mathcal{L}[\bar{y}_1, \bar{y}_2, \dots, \bar{y}_n]}{\partial \varepsilon_i} \right|_{\varepsilon_1 = \varepsilon_2 = \dots = \varepsilon_n = 0} \varepsilon_i = \\ &= \sum_{i=1}^n \frac{\partial F}{\partial y'_i} \delta y_i \Big|_{x=x_0}^{x=x_1} + \int_{x_0}^{x_1} \sum_{i=1}^n \left[\frac{\partial F}{\partial y_i} - \frac{d}{dx} \frac{\partial F}{\partial y'_i} \right] \delta y_i dx, \quad (\delta y_i = \varepsilon_i \eta_i(x)). \end{aligned}$$

Пример. Вывод уравнений Лагранжа

Рассмотрим материальную систему, состояние которой характеризуется обобщенными координатами q_i и обобщенными скоростями \dot{q}_i

$$q_i = q_i(t), \quad \dot{q}_i = \dot{q}_i(t), \quad i = 1, 2, \dots, n.$$

Пусть

$$T = T(t, q_1, q_2, \dots, q_n, \dot{q}_1, \dot{q}_2, \dots, \dot{q}_n)$$

— кинетическая энергия,

$$U = U(t, q_1, q_2, \dots, q_n)$$

— потенциальная энергия нашей системы.

Образуем интеграл действия

$$J[q_1, q_2, \dots, q_n] = \int_{t_0}^{t_1} (T - U) dt. \quad (8.34)$$

В соответствии с принципом Остроградского—Гамильтона, движение системы за промежуток времени (t_0, t_1) описывается теми функциями, которые доставляют минимум интегралу (8.34).

Необходимые условия экстремума интеграла (8.34) имеют вид $(F = T - U)$

$$\frac{\partial F}{\partial q_i} - \frac{d}{dt} \left(\frac{\partial F}{\partial \dot{q}_i} \right) = 0, \quad i = 1, 2, \dots, n.$$

Или, окончательно,

$$\frac{d}{dt} \left(\frac{\partial T}{\partial \dot{q}_i} \right) - \frac{\partial T}{\partial q_i} = -\frac{\partial U}{\partial q_i}, \quad i = 1, 2, \dots, n. \quad (8.35)$$

Уравнения (8.35) известны в аналитической механике как уравнения Лагранжа (второго рода).

Если силы, действующие на точки системы, консервативны, то обобщенная сила Q_i , соответствующая обобщенной координате q_i , равна взятой с обратным знаком производной от потенциальной энергии по обобщенной координате [3]

$$Q_i = -\frac{\partial U}{\partial q_i},$$

и уравнения Лагранжа принимают вид

$$\frac{d}{dt} \left(\frac{\partial T}{\partial \dot{q}_i} \right) - \frac{\partial T}{\partial q_i} = Q_i, \quad i = 1, 2, \dots, n.$$

Изопериметрическая задача

Поставим следующую задачу: среди всех кривых $y = y(x)$, для которых интеграл

$$K[y(x)] = \int_{x_0}^{x_1} G(x, y, y') dx = a, \quad (8.36)$$

имеет заданное значение a , определить ту, которая дает экстремум интегралу

$$J[y(x)] = \int_{x_0}^{x_1} F(x, y, y') dx, \quad (8.37)$$

причем

$$y(x_0) = y_0, \quad y(x_1) = y_1. \quad (8.38)$$

Сформулированная задача относится к *изопериметрическим задачам*. Это название происходит от основной из задач указанного типа, а именно, от задачи нахождения замкнутой кривой, которая при заданной длине a ограничивает наибольшую площадь (окружность).

Будем, как обычно, предполагать, что $y(x) \in C^{(2)}$ и функции F и G имеют непрерывные производные первого и второго порядков. Рассуждаем стандартным образом. Пусть $y = y(x)$ — искомое решение задачи. Образует функции сравнения

$$\bar{y}(x) = y(x) + \varepsilon_1 \eta_1(x) + \varepsilon_2 \eta_2(x),$$

где $\varepsilon_1, \varepsilon_2$ — произвольные малые параметры, η_1, η_2 — произвольные функции, причем

$$\eta_i(x) \in C^{(2)}, \quad \eta_i(x_0) = 0, \quad \eta_i(x_1) = 0, \quad i = 1, 2.$$

Ясно, что функция $\bar{y}(x) \in C^{(2)}$ и удовлетворяет условиям (8.38).

Образует разность $J[\bar{y}] - J[y]$. Эта разность является функцией двух переменных ε_1 и ε_2 . Разлагаем ее в ряд Тейлора

$$J[\bar{y}] - J[y] = \left. \frac{\partial J[\bar{y}]}{\partial \varepsilon_1} \right|_{\varepsilon_1 = \varepsilon_2 = 0} \varepsilon_1 + \left. \frac{\partial J[\bar{y}]}{\partial \varepsilon_2} \right|_{\varepsilon_1 = \varepsilon_2 = 0} \varepsilon_2 + O(\varepsilon_1^2 + \varepsilon_2^2).$$

Отсюда получаем необходимое условие экстремума функционала (8.37)

$$\left. \frac{\partial J[\bar{y}]}{\partial \varepsilon_1} \right|_{\varepsilon_1 = \varepsilon_2 = 0} \varepsilon_1 + \left. \frac{\partial J[\bar{y}]}{\partial \varepsilon_2} \right|_{\varepsilon_1 = \varepsilon_2 = 0} \varepsilon_2 = 0. \quad (8.39)$$

Здесь ε_1 и ε_2 зависимы между собой, поэтому нельзя утверждать равенства нулю каждого слагаемого.

С другой стороны, в силу условия (8.36) должно выполняться равенство

$$K[\bar{y}] - K[y] = 0.$$

Разложив эту разность в ряд Тейлора, получим

$$\left. \frac{\partial K[\bar{y}]}{\partial \varepsilon_1} \right|_{\varepsilon_1 = \varepsilon_2 = 0} \varepsilon_1 + \left. \frac{\partial K[\bar{y}]}{\partial \varepsilon_2} \right|_{\varepsilon_1 = \varepsilon_2 = 0} \varepsilon_2 = 0. \quad (8.40)$$

Равенство (8.40) устанавливает связь между ε_1 и ε_2 .

Вспользуемся методом неопределенных множителей Лагранжа. Умножим (8.40) на λ и сложим с (8.39)

$$\left. \frac{\partial}{\partial \varepsilon_1} \{J[\bar{y}] + \lambda K[\bar{y}]\} \right|_{\varepsilon_1 = \varepsilon_2 = 0} \varepsilon_1 + \left. \frac{\partial}{\partial \varepsilon_2} \{J[\bar{y}] + \lambda K[\bar{y}]\} \right|_{\varepsilon_1 = \varepsilon_2 = 0} \varepsilon_2 = 0. \quad (8.41)$$

Выберем λ так, чтобы одна из производных в (8.41) обратилась в нуль. Получим

$$\left. \frac{\partial}{\partial \varepsilon_1} \{J[\bar{y}] + \lambda K[\bar{y}]\} \right|_{\varepsilon_1 = \varepsilon_2 = 0} = 0. \quad (8.42)$$

Тогда, в силу произвольности ε_2 ,

$$\left. \frac{\partial}{\partial \varepsilon_2} \{J[\bar{y}] + \lambda K[\bar{y}]\} \right|_{\varepsilon_1 = \varepsilon_2 = 0} = 0. \quad (8.43)$$

Равенства (8.42) и (8.43) можно трактовать как условия экстремума для функционала

$$L[y] = J[y] + \lambda K[y] = \int_{x_0}^{x_1} \{F(x, y, y') + \lambda G(x, y, y')\}. \quad (8.44)$$

Таким образом, для того чтобы решить изопериметрическую задачу, необходимо составить функционал $L[y]$ и для него решать задачу на экстремум по обычным правилам. Для функционала $L[y]$ имеем уравнение Эйлера

$$\frac{\partial}{\partial y} (F + \lambda G) - \frac{d}{dx} \left[\frac{\partial}{\partial y'} (F + \lambda G) \right] = 0.$$

Интеграл этого уравнения $y = y(x, C_1, C_2, \lambda)$ содержит неопределенные постоянные C_1, C_2, λ , которые определяются из условий (8.36) и (8.38).

Таким образом, задача на условный экстремум для функционала (8.37) (при дополнительном условии (8.36)) свелась к задаче на безусловный экстремум для функционала (8.44).

ПРИМЕЧАНИЕ

Если окажется, что

$$\frac{\partial G}{\partial y} - \frac{d}{dx} \left(\frac{\partial G}{\partial y'} \right) \equiv 0,$$

то способ неопределенных множителей Лагранжа не подходит, так как невозможно будет определить параметр λ .

Справедлива теорема Эйлера [22]: если кривая $y = y(x)$ дает экстремум функционалу (8.37) при условии (8.36) и при обычных предельных условиях (8.38), и если $y = y(x)$ не является экстремалью функционала (8.36), то существует такая постоянная λ , что кривая $y = y(x)$ есть экстремаль функционала (8.44).

Пример. Задача о провисании каната

Заданы две точки $A(x_0, y_0)$ и $B(x_1, y_1)$. Требуется определить форму каната заданной длины l , закрепленного в точках A и B и свободно провисающего под действием силы тяжести (рис. 8.10).

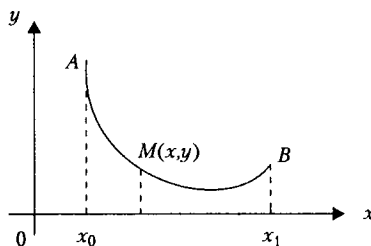


Рис. 8.10. Задача о провисании каната

Пусть ρ — линейная плотность материала каната. Тогда масса элемента дуги каната со средней точкой $M(x, y)$ будет

$$dm = \rho dl = \rho \sqrt{1 + (y')^2} dx.$$

Потенциальная энергия элемента дуги

$$dU = \rho g y \sqrt{1 + (y')^2} dx.$$

Потенциальная энергия всей системы

$$U = \rho g \int_{x_0}^{x_1} y \sqrt{1 + (y')^2} dx.$$

В силу принципа минимума потенциальной энергии мы приходим, таким образом, к задаче отыскания минимума функционала

$$J[y(x)] = \int_{x_0}^{x_1} y \sqrt{1 + (y')^2} dx \rightarrow \min.$$

С другой стороны, длина каната $l = \text{const}$, поэтому имеем дополнительное условие

$$K[y(x)] = \int_{x_0}^{x_1} \sqrt{1 + (y')^2} dx = l,$$

и кроме того, предельные условия

$$y(x_0) = y_0, \quad y(x_1) = y_1.$$

В соответствии с общей теорией составим функционал $L[y]$

$$L[y(x)] = \int_{x_0}^{x_1} (\lambda + y) \sqrt{1 + (y')^2} dx \rightarrow \min.$$

Здесь подинтегральная функция $F = F(y, y')$, поэтому первый интеграл уравнения Эйлера имеет вид

$$F - y' \frac{\partial F}{\partial y'} = C_1.$$

Отсюда находим

$$\begin{aligned} (\lambda + y) \sqrt{1 + (y')^2} - \frac{(\lambda + y) y'}{\sqrt{1 + (y')^2}} &= C_1 \Rightarrow \\ \frac{(\lambda + y)}{\sqrt{1 + (y')^2}} &= C_1 \Rightarrow y' = \sqrt{\left(\frac{\lambda + y}{C_1}\right)^2 - 1} \Rightarrow \\ x &= \int \frac{dy}{\sqrt{\left(\frac{\lambda + y}{C_1}\right)^2 - 1}} + C_2. \end{aligned}$$

Обозначим

$$\frac{\lambda + y}{C_1} = \operatorname{ch}(t),$$

тогда

$$x = C_1 t + C_2 \Rightarrow t = \frac{x - C_2}{C_1}.$$

Следовательно,

$$y + \lambda = C_1 \operatorname{ch}\left(\frac{x - C_2}{C_1}\right).$$

Последнее уравнение определяет кривую, которая называется *цепной линией*. Таким образом, искомая кривая — дуга цепной линии.

Решение вариационной задачи, функционал которой представляется кратным интегралом

Приведем теперь вывод необходимого условия экстремума для кратного интеграла. Впервые эти условия были указаны М. В. Остроградским. Ход рассуждений для одномерного интеграла \int и для кратных интегралов \iint , \iiint одинаков. Станем рассматривать двойной интеграл

$$J[u(x, y)] = \iint_B F(x, y, u, u_x, u_y) dx dy, \quad (8.45)$$

где $u_x \equiv \partial u / \partial x$, $u_y \equiv \partial u / \partial y$ — частные производные функции $u(x, y)$, а B — некоторая конечная область плоскости Oxy . Будем считать, что функция $F(x, y, u, p, q)$ имеет непрерывные производные до второго порядка, если точка (x, y, u) находится внутри некоторой трехмерной области D , а p и q — любые ($p = u_x$, $q = u_y$). Будем искать поверхность $u = u(x, y)$, лежащую внутри D , с границей λ , однозначно проецирующуюся на плоскость Oxy в виде области B с границей Γ , дающую экстремум функционалу (8.45). Иными словами, ищется функция $u(x, y)$ в области B , дающая экстремум функционалу (8.45) и принимающая заданные значения на Γ

$$u|_{\Gamma} = f(P).$$

Пусть $u = u(x, y)$ — решение задачи. Будем предполагать, что функция $u(x, y)$ имеет непрерывные производные до второго порядка в области B , то есть $u \in C^{(2)}$. Образует функцию сравнения

$$\bar{u} = \bar{u}(x, y) = u(x, y) + \varepsilon \eta(x, y),$$

причем $\eta(x, y) \in C^{(2)}$, $\eta|_{\Gamma} = 0$. Тогда $\bar{u}(x, y) \in C^{(2)}$, $\bar{u}|_{\Gamma} = 0$.

Образует разность $J[\bar{u}] - J[u]$. Эта разность является функцией ε . Разлагаем ее в ряд Тейлора

$$J[\bar{u}] - J[u] = \left. \frac{\partial J[\bar{u}]}{\partial \varepsilon} \right|_{\varepsilon=0} \varepsilon + O(\varepsilon^2).$$

Отсюда получаем необходимое условие экстремума функционала (8.45)

$$\left. \frac{\partial J[\bar{u}]}{\partial \varepsilon} \right|_{\varepsilon=0} = 0.$$

Или, вычислив производную, получим

$$\iint_B \left[\frac{\partial F}{\partial u} \eta + \frac{\partial F}{\partial u_x} \eta_x + \frac{\partial F}{\partial u_y} \eta_y \right] dx dy = 0. \quad (8.46)$$

Исключим частные производные $\eta_x \equiv \partial\eta/\partial x$, $\eta_y \equiv \partial\eta/\partial y$. Для этого введем функцию η под знак производной

$$\begin{aligned} \iint_B \left[\frac{\partial F}{\partial u} \eta + \frac{\partial}{\partial x} \left(\eta \frac{\partial F}{\partial u_x} \right) + \frac{\partial}{\partial y} \left(\eta \frac{\partial F}{\partial u_y} \right) - \eta \frac{\partial}{\partial x} \left(\frac{\partial F}{\partial u_x} \right) - \eta \frac{\partial}{\partial y} \left(\frac{\partial F}{\partial u_y} \right) \right] dx dy = 0 \Rightarrow \\ \iint_B \left[\frac{\partial F}{\partial u} - \frac{\partial}{\partial x} \left(\frac{\partial F}{\partial u_x} \right) - \frac{\partial}{\partial y} \left(\frac{\partial F}{\partial u_y} \right) \right] \eta dx dy + \\ + \iint_B \left[\frac{\partial}{\partial x} \left(\eta \frac{\partial F}{\partial u_x} \right) + \frac{\partial}{\partial y} \left(\eta \frac{\partial F}{\partial u_y} \right) \right] dx dy = 0. \end{aligned} \quad (8.47)$$

Преобразуем второй интеграл в (8.47), пользуясь известной формулой Остроградского—Грина

$$\iint_B \left(\frac{\partial Q}{\partial x} - \frac{\partial P}{\partial y} \right) dx dy = \int_{\Gamma} P(x, y) dx + Q(x, y) dy.$$

Получим

$$\iint_B \left[\frac{\partial}{\partial x} \left(\eta \frac{\partial F}{\partial u_x} \right) + \frac{\partial}{\partial y} \left(\eta \frac{\partial F}{\partial u_y} \right) \right] dx dy = \int_{\Gamma} \left(\eta \frac{\partial F}{\partial u_x} dy - \eta \frac{\partial F}{\partial u_y} dx \right).$$

Таким образом, мы будем иметь следующее выражение для первой вариации функционала (8.45) ($\delta u = \varepsilon\eta(x, y)$)

$$\delta J = \int_{\Gamma} \delta u \left(\frac{\partial F}{\partial u_x} dy - \frac{\partial F}{\partial u_y} dx \right) + \iint_B \left[\frac{\partial F}{\partial u} - \frac{\partial}{\partial x} \left(\frac{\partial F}{\partial u_x} \right) - \frac{\partial}{\partial y} \left(\frac{\partial F}{\partial u_y} \right) \right] \delta u dx dy, \quad (8.48)$$

причем из (8.46) следует, что для экстремума необходимо, чтобы эта первая вариация обращалась в нуль. Или, принимая во внимание, что $\eta|_{\Gamma} = 0$, мы можем утверждать, что двойной интеграл, стоящий в правой части (8.48), должен быть равен нулю. Отсюда мы получаем для искомой функции $u(x, y)$, дающей экстремум функционалу (8.45), следующее уравнение Остроградского—Эйлера

$$\frac{\partial F}{\partial u} - \frac{\partial}{\partial x} \left(\frac{\partial F}{\partial u_x} \right) - \frac{\partial}{\partial y} \left(\frac{\partial F}{\partial u_y} \right) = 0. \quad (8.49)$$

Уравнение (8.49) — дифференциальное уравнение второго порядка в частных производных, которое должно быть удовлетворено внутри области V . Граничным условием является задание функции u на контуре Γ .

В случае кратного интеграла, зависящего от нескольких функций, мы будем иметь систему таких уравнений. В случае тройного интеграла и функции $u(x, y, z)$, зависящей от трех независимых переменных, получается уравнение следующего вида:

$$\frac{\partial F}{\partial u} - \frac{\partial}{\partial x} \left(\frac{\partial F}{\partial u_x} \right) - \frac{\partial}{\partial y} \left(\frac{\partial F}{\partial u_y} \right) - \frac{\partial}{\partial z} \left(\frac{\partial F}{\partial u_z} \right) = 0.$$

Если под знак интеграла входят производные функции $u(x, y)$ до порядка n , то уравнение Остроградского—Эйлера будет иметь вид

$$\begin{aligned} & \frac{\partial F}{\partial u} - \frac{\partial}{\partial x} \left(\frac{\partial F}{\partial u_x} \right) - \frac{\partial}{\partial y} \left(\frac{\partial F}{\partial u_y} \right) - \frac{\partial}{\partial z} \left(\frac{\partial F}{\partial u_z} \right) + \\ & + \frac{\partial^2}{\partial x^2} \left(\frac{\partial F}{\partial u_{xx}} \right) + \frac{\partial^2}{\partial x \partial y} \left(\frac{\partial F}{\partial u_{xy}} \right) + \frac{\partial^2}{\partial y^2} \left(\frac{\partial F}{\partial u_{yy}} \right) + \\ & + \dots + (-1)^n \frac{\partial^n}{\partial y^n} \left(\frac{\partial F}{\partial u_{yy\dots y}} \right) = 0 \end{aligned}$$

Пример. Связь задачи Дирихле с вариационной задачей

Рассмотрим следующую вариационную задачу: найти функцию $u(x, y)$, доставляющую минимум функционалу

$$J[u(x, y)] = \frac{1}{2} \iint_B \left[\left(\frac{\partial u}{\partial x} \right)^2 + \left(\frac{\partial u}{\partial y} \right)^2 \right] dx dy \quad (8.50)$$

и принимающую заданные значения на границе Γ

$$u|_{\Gamma} = f(P).$$

Составим соответствующее уравнение Остроградского—Эйлера. Имеем

$$F = \frac{1}{2} \left[\left(\frac{\partial u}{\partial x} \right)^2 + \left(\frac{\partial u}{\partial y} \right)^2 \right], \quad \frac{\partial F}{\partial u} = 0, \quad \frac{\partial F}{\partial u_x} = \frac{\partial u}{\partial x}, \quad \frac{\partial F}{\partial u_y} = \frac{\partial u}{\partial y}.$$

Следовательно, уравнение Остроградского—Эйлера имеет вид

$$\frac{\partial^2 u}{\partial x^2} + \frac{\partial^2 u}{\partial y^2} = 0.$$

Таким образом, необходимым условием экстремума функционала (8.50) является условие, чтобы функция $u(x, y)$ была решением задачи Дирихле для уравнения Лапласа

$$\frac{\partial^2 u}{\partial x^2} + \frac{\partial^2 u}{\partial y^2} = 0, \quad u|_{\Gamma} = f(P).$$

Покажем достаточность этого условия. Для этого рассмотрим разность

$$\begin{aligned}
 J[\bar{u}] - J[u] &= \frac{1}{2} \iint_B [(u_x + \varepsilon \eta_x)^2 + (u_y + \varepsilon \eta_y)^2 - u_x^2 - u_y^2] dx dy = \\
 &= \varepsilon \iint_B [u_x \eta_x + u_y \eta_y] dx dy + \frac{\varepsilon^2}{2} \iint_B [\eta_x^2 + \eta_y^2] dx dy = \\
 &= \varepsilon \iint_B \left[\frac{\partial}{\partial x} (u_x \eta) + \frac{\partial}{\partial y} (u_y \eta) \right] dx dy - \varepsilon \iint_B \underbrace{[u_{xx} + u_{yy}] \eta}_{=0} dx dy + \\
 &\quad + \frac{\varepsilon^2}{2} \iint_B [\eta_x^2 + \eta_y^2] dx dy = \\
 &= \varepsilon \int_{\Gamma} \eta (u_x dy - u_y dx) + \frac{\varepsilon^2}{2} \iint_B [\eta_x^2 + \eta_y^2] dx dy = \\
 &= \frac{\varepsilon^2}{2} \iint_B [\eta_x^2 + \eta_y^2] dx dy > 0,
 \end{aligned}$$

то есть мы действительно имеем минимум.

Видим, что краевые задачи для дифференциальных уравнений можно сводить к вариационным задачам, если существуют независимые методы решения последних.

Обобщением рассмотренной вариационной задачи на случай многих независимых переменных является следующая задача. Пусть

$$J[u(x)] = \int_{\Omega} \sum_{k=1}^m \left(\frac{\partial u}{\partial x_k} \right)^2 dx, \quad u|_{\Gamma} = g(x), \quad x = (x_1, x_2, \dots, x_m).$$

Дифференциальное уравнение Остроградского—Эйлера для этого функционала, как нетрудно проверить, имеет вид

$$\sum_{k=1}^m \frac{\partial^2 u}{\partial x_k^2} = 0,$$

или, короче, $\Delta u = 0$. Это уравнение надо интегрировать при граничных условиях $u|_{\Gamma} = g(x)$.

Пусть теперь

$$J[u(x)] = \int_{\Omega} \sum_{k=1}^m \left[\left(\frac{\partial u}{\partial x_k} \right)^2 - 2f(x)u(x) \right] dx, \quad u|_{\Gamma} = 0, \quad x = (x_1, x_2, \dots, x_m).$$

Как нетрудно проверить, в этом случае уравнение Остроградского—Эйлера приводится к виду $\Delta u = -f(x)$; его нужно интегрировать при граничном условии $u|_{\Gamma} = 0$.

Вторая вариация

До сих пор мы занимались исследованием только первой вариации для функционалов различных типов. Равенство нулю первой вариации давало нам необходи-

мое условие того, что данная линия или поверхность сообщает экстремум соответствующему функционалу. Это необходимое условие аналогично известному факту из дифференциального исчисления, что для того, чтобы некоторая функция нескольких переменных достигала в некоторой точке экстремума, необходимо, чтобы в этой точке ее полный дифференциал первого порядка обращался в нуль. В дифференциальном исчислении мы имеем в некоторых случаях и достаточные условия, для формулировки которых нам необходимы уже частные производные второго порядка от исследуемой функции. В вариационном исчислении установление достаточных условий представляется гораздо более трудной задачей. Здесь мы рассмотрим только простейший функционал

$$J = \int_{x_0}^{x_1} F(x, y, y') dx \quad (8.51)$$

в случае закрепленных концов.

Рассмотрим, как и ранее, близкие кривые $\bar{y}(x) = y(x) + \varepsilon\eta(x)$ и определим вторую вариацию функционала (8.51), как тот член в разложении $J[\bar{y}]$ по степеням ε , который содержит ε^2 , то есть примем

$$\delta^2 J = \frac{\varepsilon^2}{2} \left[\frac{d^2 J[\bar{y}]}{d\varepsilon^2} \right]_{\varepsilon=0}.$$

Это приводит нас непосредственно к следующей формуле:

$$\delta^2 J = \frac{\varepsilon^2}{2} \int_{x_0}^{x_1} \left(\frac{\partial^2 F}{\partial y^2} \eta^2 + 2 \frac{\partial^2 F}{\partial y \partial y'} \eta \eta' + \frac{\partial^2 F}{\partial y'^2} \eta'^2 \right) dx.$$

Так как

$$2 \frac{\partial^2 F}{\partial y \partial y'} \eta \eta' = \frac{\partial^2 F}{\partial y \partial y'} \frac{d(\eta^2)}{dx},$$

то, предполагая наличие соответствующих производных у функции F , интегрируя по частям и принимая во внимание, что $\eta(x_0) = \eta(x_1) = 0$, получим

$$\delta^2 J = \frac{\varepsilon^2}{2} \int_{x_0}^{x_1} \left\{ \left[\frac{\partial^2 F}{\partial y^2} - \frac{d}{dx} \left(\frac{\partial^2 F}{\partial y \partial y'} \right) \right] \eta^2 + \frac{\partial^2 F}{\partial y'^2} \eta'^2 \right\} dx. \quad (8.52)$$

Мы считаем, что необходимое условие экстремума выполнено, то есть что кривая $y(x)$ является экстремалью. Будем для определенности говорить о минимуме интеграла (8.51). Функция $J[\bar{y}]$ как функция от ε должна иметь минимум при $\varepsilon = 0$. Следовательно, необходимым условием минимума является условие, чтобы $\delta^2 J \geq 0$ при любом выборе $\eta(x)$. Покажем, что отсюда непосредственно вытекает, что вдоль нашей кривой должно выполняться неравенство

$$\frac{\partial^2 F}{\partial y'^2} \geq 0. \quad (8.53)$$

Действительно, допустим, что при некотором значении $x = c$ мы имеем на нашей кривой обратное неравенство $\partial^2 F / \partial y'^2 < 0$. В силу предполагаемой непрерывно-

сти функции $\partial^2 F / \partial y'^2$ это неравенство будет справедливо и в некотором достаточно малом промежутке $[c - \varepsilon, c + \varepsilon]$.

Определим теперь функцию $\eta(x)$ так, чтобы она обращалась в нуль вне упомянутого промежутка и на его концах, имела все необходимые производные, была достаточно малой по модулю на этом промежутке, но совершала бы там достаточно быстрые колебания. При таком выборе функции $\eta(x)$ интеграл (8.52) сведется к интегралу по промежутку $[c - \varepsilon, c + \varepsilon]$, в котором функция $\partial^2 F / \partial y'^2$ имеет, по предположению, отрицательные значения. Под знаком интеграла главным будет слагаемое, содержащее $\eta'^2(x)$, и величина интеграла окажется отрицательной, что противоречит указанному ранее необходимому условию минимума интеграла (8.51).

Итак, для того чтобы экстремаль $y(x)$ давала минимум интегралу (8.51), необходимо, чтобы вдоль этой экстремали выполнялось условие (8.53).

Аналогичным образом, для того чтобы экстремаль $y(x)$ давала максимум интегралу (8.51), необходимо, чтобы вдоль этой экстремали выполнялось условие

$$\frac{\partial^2 F}{\partial y'^2} \leq 0.$$

Полученное условие называется обычно *условием Лежандра*.

Прямые методы решения вариационных задач

В настоящее время широкое развитие получили иные методы подхода к решению задач на экстремум — методы, которые обходят применение дифференциальных уравнений. В основе этих методов лежит идея построить искомую функцию, дающую экстремум функционала, при помощи некоторого предельного процесса, исходя непосредственно из вида того интеграла, экстремум которого ищется.

Данная задача представляется гораздо более трудной, чем соответствующая задача на экстремум функции из дифференциального исчисления. В последнем случае, согласно теореме Вейерштрасса о непрерывных функциях, мы знаем, что всякая функция, непрерывная в замкнутой области, принимает в некоторой точке этой области свое наибольшее или наименьшее значение. В случае задач вариационного исчисления мы уже не имеем такой теоремы, и, таким образом, ставится под вопрос само существование решения задачи.

Пусть $J[y(x)]$ есть некоторый функционал от искомой функции $y(x)$, и мы ищем эту функцию так, чтобы функционал J имел наименьшее значение в некотором классе D функций $y(x)$. При любом выборе функции $y(x)$ из класса D функционал J получает определенное значение. Используя все функции класса D , мы получим, таким образом, бесчисленное множество чисел — значений функционала J . Пусть d — точная нижняя граница этого множества чисел. Мы не знаем заранее, существует ли в классе D функция $y(x)$, которая дает нашему функционалу это наименьшее значение d . Но в силу определения точной нижней границы числового множества мы можем, во всяком случае, найти такую последовательность $y_n(x)$ функций из класса D , что числа $J[y_n(x)]$ имеют своим пределом d

при неограниченном возрастании n . Последовательность функций $y_n(x)$ называется обычно *минимизирующей последовательностью* [18].

Одной из возможностей осуществления прямых методов вариационного исчисления является следующий прием: дается способ построения минимизирующих последовательностей с таким расчетом, чтобы из построенной минимизирующей последовательности путем некоторого предельного перехода получалась бы искомая функция, дающая наименьшее значение нашему функционалу. Если удастся довести таким путем задачу до конца, то этот прием приводит к решению краевой задачи для дифференциального уравнения, которое выражает необходимое условие экстремума исследуемого функционала. Такой метод применим не только для доказательства существования решения, но и для построения практически удобного способа его приближенного вычисления. На этом принципе основан метод Ритца решения вариационных задач. Обобщение метода Ритца на случай дифференциальных уравнений, не связанных с вариационным исчислением, было дано Б. Г. Галеркиным. Исследование сходимости методов Ритца и Галеркина и вопрос об оценке погрешности содержатся в книге Л. В. Канторовича и В. И. Крылова [11], а также в упомянутой ранее книге С. Г. Михлина [18]. Теоретическое обоснование прямых методов в связи с теоремами существования соответствующих экстремальных функций и исследованием их свойств изложено в монографии С. Л. Соболева [24].

Метод Ритца

Основная идея метода Ритца заключается в следующем. Пусть поставлена вариационная задача для функционала

$$J[y(x)] = \int_a^b F(x, y, y') dx \rightarrow \min, \quad (8.54)$$

$$y(a) = y_a, \quad y(b) = y_b.$$

Будем предполагать функцию F непрерывной по всем аргументам и $y(x) \in C^{(1)}$ (более жесткие условия не требуются).

Для решения поставленной задачи зададимся последовательностью функций

$$\varphi_0(x), \varphi_1(x), \varphi_2(x), \dots, \varphi_n(x), \dots, \quad (8.55)$$

которые выберем так, чтобы

$$\begin{aligned} \varphi_k(x) &\in C^{(1)}, \quad (k = 0, 1, 2, \dots), \\ \varphi_k(a) &= \varphi_k(b) = 0, \quad (k = 1, 2, \dots), \\ \varphi_0(a) &= y_a, \quad \varphi_0(b) = y_b. \end{aligned}$$

Будем предполагать, что решение $y(x)$ может быть представлено в виде ряда

$$y(x) = \sum_{n=0}^{\infty} C_n \varphi_n(x), \quad (8.56)$$

причем $C_0 = 1$ (по крайней мере, можно аппроксимировать функцию $y(x)$ отрезком этого ряда с наперед заданной точностью).

Сначала будем искать экстремум для функций

$$y_N = \sum_{n=0}^N C_n \varphi_n(x), \quad (8.57)$$

где N — фиксированное число. Ясно, что $y_N(x) \in C^{(1)}$, $y_N(a) = y_a$, $y_N(b) = y_b$.

Выберем коэффициенты C_n так, чтобы функция $y_N(x)$ доставляла минимум функционалу J , то есть

$$J[y_N(x)] = \int_a^b F\left(x, \sum_{n=0}^N C_n \varphi_n(x), \sum_{n=0}^N C_n \varphi_n'(x)\right) dx \rightarrow \min.$$

В нашем интеграле все функции заданы. Выполнив интегрирование, мы получим вполне определенную функцию $\Phi(C_1, C_2, \dots, C_N)$. Мы хотим выбрать числа C_1, C_2, \dots, C_N так, чтобы функция Φ принимала минимальное значение. Таким образом, задача свелась к отысканию экстремума функции N переменных. Необходимым условием экстремума нашей функции Φ будет

$$\frac{\partial \Phi}{\partial C_n} = 0, \quad n = 1, 2, \dots, N. \quad (8.58)$$

Формула (8.58) — система уравнений, вообще говоря, трансцендентных (не дифференциальных) относительно неизвестных C_1, C_2, \dots, C_N .

Решив уравнения (8.58), найдем коэффициенты $C_n = C_n^N$ ($n = 1, 2, \dots, N$), которые определяют решение экстремальной задачи $y_N(x)$. Беря разные N , построим минимизирующую последовательность $y_1(x), y_2(x), \dots, y_N(x)$. Может случиться так, что эта последовательность сходится к некоторой предельной функции, которая и является решением исходной задачи: $y(x) = \lim_{N \rightarrow \infty} y_N(x)$.

То обстоятельство, что функция $y(x)$ зависит только от одной переменной x , не играет, очевидно, никакой роли: вычислительный процесс развивается точно так же и в том случае, когда функция y зависит от любого числа переменных; соответствующий интеграл J будет кратным.

Решение задачи существенно упрощается, когда F — квадратичная функция переменных y и y' . Легко видеть, что в этом случае приходится решать систему линейных алгебраических уравнений.

Если мы приняли за конечный результат $y_N(x)$ при некотором значении N , то правильность полученного результата можно оценить, сравнивая значения y_N для различных значений N . Можно также сравнивать результаты при различном выборе функций φ_n .

Скажем несколько слов о выборе системы функций (8.55). Эти функции обычно называют *координатными* или *базисными* функциями. Мы предполагаем, что имеет место разложение (8.56) или, по крайней мере, можно аппроксимировать функцию $y(x)$ отрезком этого ряда с наперед заданной точностью. Иными словами, любая допустимая функция может быть сколь угодно точно аппроксимирована вместе со своей производной посредством функций семейства (8.55). Это — так называемое *условие полноты* системы функций (8.55). Условие полноты является достаточным условием для того, чтобы последовательность функций (8.57) была минимизирующей. Второе требование, которому должны удовлетворять функции системы (8.55), — это их линейная независимость. Тре-

бование линейной независимости функций является условием однозначной разрешимости системы уравнений (8.58). Конечно, кроме всего прочего, функции должны быть допустимыми, то есть, в частности, удовлетворять всем граничным условиям задачи. Чаще всего, если не учитывается конкретный вид функционала (8.54), берутся системы функций

$$\varphi_k(x) = x^{k-1}(x-a)(x-b), \quad k = 1, 2, 3, \dots$$

или

$$\varphi_k(x) = \sin \left[\frac{k\pi(x-a)}{(b-a)} \right], \quad k = 1, 2, 3, \dots;$$

можно проверить, что каждая из этих систем линейно независима и полная в пространстве $C^{(1)}$. Подробно эти вопросы обсуждаются в книгах [11] и [18].

Приложения вариационного исчисления в математической физике

Как мы уже говорили, вариационное исчисление имеет обширную область приложений в математической физике.

Вариационное исчисление применяется: для вывода уравнений математической физики, исходя из минимальных принципов; для решения задач математической физики, точного или приближенного, путем сведения этих задач к вариационным и применения соответствующих вариационных методов.

Вариационное исчисление имеет приложение к теории задачи Штурма—Лиувилля — доказательство свойств собственных значений и собственных функций и приближенное их вычисление; приложение к получению точных оценок различных физических величин; приложение к теории оптимального управления.

Рассмотрим некоторые из приложений вариационного исчисления в математической физике.

Задача о стационарном распределении температуры в брусе прямоугольного сечения

Будем предполагать, что по проводнику с прямоугольным сечением протекает электрический ток, выделяя при этом тепло Q . Поверхность проводника поддерживается при нулевой температуре. Требуется определить стационарное распределение температуры в проводнике.

Сформулируем задачу: требуется найти функцию $T(x, y)$, удовлетворяющую в открытом прямоугольнике $-a < x < a, -b < y < b$ стационарному уравнению теплопроводности

$$\frac{\partial^2 T}{\partial x^2} + \frac{\partial^2 T}{\partial y^2} = -\frac{Q}{k} \quad (8.59)$$

и граничным условиям

$$T|_{x=\pm a} = 0, \quad T|_{y=\pm b} = 0.$$

Задача решается точно методом Гринберга. Решим эту задачу вариационным методом. Сформулируем соответствующую вариационную задачу. Рассмотрим функционал

$$J[T(x, y)] = \iint_D F(x, y, T, T_x, T_y) dx dy,$$

где область D — рассматриваемый прямоугольник; $T_x \equiv \partial T / \partial x$, $T_y \equiv \partial T / \partial y$. Уравнение Остроградского—Эйлера для этого функционала имеет вид

$$\frac{\partial F}{\partial T} - \frac{\partial}{\partial x} \left(\frac{\partial F}{\partial T_x} \right) - \frac{\partial}{\partial y} \left(\frac{\partial F}{\partial T_y} \right) = 0. \tag{8.60}$$

Для сравнения запишем уравнение (8.59) в виде

$$-\frac{Q}{k} - \frac{\partial}{\partial x} \left(\frac{\partial T}{\partial x} \right) - \frac{\partial}{\partial y} \left(\frac{\partial T}{\partial y} \right) = 0. \tag{8.61}$$

Сравнивая уравнения (8.60) и (8.61), видим, что в качестве функции F можно взять следующую функцию:

$$F = \frac{1}{2} \left(\frac{\partial T}{\partial x} \right)^2 + \frac{1}{2} \left(\frac{\partial T}{\partial y} \right)^2 - \frac{Q}{k} T.$$

Таким образом, мы приходим к следующей вариационной задаче (эквивалентность не доказываем): найти функцию $T(x, y)$, доставляющую экстремум функционалу

$$J[T(x, y)] = \int_{-a}^a \int_{-b}^b \left[\frac{1}{2} \left(\frac{\partial T}{\partial x} \right)^2 + \frac{1}{2} \left(\frac{\partial T}{\partial y} \right)^2 - \frac{Q}{k} T \right] dx dy \rightarrow \text{extremum},$$

причем

$$T|_{x=\pm a} = 0, \quad T|_{y=\pm b} = 0. \tag{8.62}$$

Построим решение вариационной задачи в форме

$$T = \left(1 - \frac{x^2}{a^2} \right) \left(1 - \frac{y^2}{b^2} \right) \left(C_0 + C_1 \frac{x^2}{a^2} + D_1 \frac{y^2}{b^2} + \dots \right). \tag{8.63}$$

Выражение (8.63) удовлетворяет граничным условиям (8.62) и является функцией, симметричной относительно x и y . Это выражение хорошо передает характер зависимости температуры от координат x и y .

Далее будем считать, что

$$T \approx C_0 \left(1 - \frac{x^2}{a^2} \right) \left(1 - \frac{y^2}{b^2} \right).$$

Отсюда находим

$$T_x = -\frac{2x}{a^2} C_0 \left(1 - \frac{y^2}{b^2} \right), \quad T_y = -\frac{2y}{b^2} C_0 \left(1 - \frac{x^2}{a^2} \right).$$

Тогда

$$\begin{aligned} J[T(x, y)] = & \int_{-a}^a \int_{-b}^b \left[\frac{2x^2 C_0^2}{a^4} \left(1 - \frac{y^2}{b^2}\right)^2 + \frac{2y^2 C_0^2}{b^4} \left(1 - \frac{x^2}{a^2}\right)^2 \right] dx dy - \\ & - \int_{-a}^a \int_{-b}^b \frac{QC_0}{k} \left(1 - \frac{x^2}{a^2}\right) \left(1 - \frac{y^2}{b^2}\right) dx dy. \end{aligned}$$

Обозначим для удобства $\xi = x/a$, $\eta = y/b$; в силу симметрии области D будем иметь

$$\begin{aligned} J[T] = & 4ab \int_0^1 \int_0^1 \left[\frac{2C_0^2}{a^2} \xi^2 (1 - \eta^2)^2 + \frac{2C_0^2}{b^2} \eta^2 (1 - \xi^2)^2 \right] d\xi d\eta - \\ & - 4ab \int_0^1 \int_0^1 \frac{QC_0}{k} (1 - \xi^2)(1 - \eta^2) d\xi d\eta = \Phi(C_0), \end{aligned}$$

где $\Phi(C_0)$ — квадратичная функция от C_0 . Вычисления дают

$$\begin{aligned} \int_0^1 \int_0^1 \xi^2 (1 - \eta^2)^2 d\xi d\eta = & \int_0^1 \int_0^1 \eta^2 (1 - \xi^2)^2 d\xi d\eta = \frac{8}{45}, \\ \int_0^1 \int_0^1 (1 - \xi^2)(1 - \eta^2) d\xi d\eta = & \frac{4}{9}. \end{aligned}$$

В итоге получим

$$\Phi(C_0) = \frac{64}{45} ab \left[\frac{a^2 + b^2}{a^2 b^2} C_0^2 - \frac{5Q}{4k} C_0 \right].$$

Для определения C_0 будем иметь

$$\Phi'(C_0) = 0 \Rightarrow 2 \frac{a^2 + b^2}{a^2 b^2} C_0 - \frac{5Q}{4k} = 0 \Rightarrow C_0 = \frac{5Qa^2 b^2}{8k(a^2 + b^2)}.$$

Таким образом, приближенное решение задачи имеет вид

$$T \approx \frac{5Qa^2 b^2}{8k(a^2 + b^2)} \left(1 - \frac{x^2}{a^2}\right) \left(1 - \frac{y^2}{b^2}\right).$$

Для сравнения полученного решения с точным решением вычислим температуру на оси проводника при $a = b$

$$T|_{x=y=0} \approx \frac{5Qa^2 b^2}{8k(a^2 + b^2)} \Big|_{a=b} = \frac{5Qa^2}{16k} \approx 0,312 \frac{Qa^2}{k}.$$

Точное решение задачи при $a = b$ имеет вид

$$T|_{x=y=0} = \frac{Qa^2}{2k} \left[1 - \frac{32}{\pi^3} \sum_{n=0}^{\infty} \frac{(-1)^n}{(2n+1)^3 \operatorname{ch}\left(\frac{2n+1}{2} \pi\right)} \right] \approx 0,295 \frac{Qa^2}{k}.$$

Вывод уравнения колебаний струны

Получим вариационным методом уравнение плоских малых поперечных колебаний струны, натянутой силой τ между точками $x = 0$ и $x = l$ оси x . Напомним, что *струной* считается одномерная среда, работающая только на растяжение, но не на изгиб, то есть не сопротивляющаяся изгибу.

Будем считать, что сила натяжения τ в процессе колебаний не меняется. Это оправданно, если колебания малы по амплитуде. Будем также считать, что каждая точка x струны в процессе колебаний смещается перпендикулярно оси x ; обозначим ординату этой точки в момент времени t через $u(x, t)$. Функция $u(x, t)$ и определяет закон колебаний, ее график в фиксированный момент времени представляет форму струны в этот момент.

Потенциальная энергия струны выражается интегралом

$$U = \tau \int_0^l \sqrt{1 + \left(\frac{\partial u}{\partial x}\right)^2} dx - l$$

(струна есть одномерная механическая система, потенциальная энергия каждого участка которой пропорциональна его удлинению по сравнению с положением равновесия). Разлагая радикал в ряд и отбрасывая в предположении малости $|u|$ члены с $(u_x)^4$, получим

$$U = \tau \int_0^l \left\{ 1 + \frac{1}{2} \left(\frac{\partial u}{\partial x}\right)^2 + \dots \right\} dx - l = \frac{\tau}{2} \int_0^l \left(\frac{\partial u}{\partial x}\right)^2 dx.$$

Кинетическая энергия струны как сумма кинетических энергий ее частиц выражается интегралом

$$T = \int_0^l \frac{\rho}{2} \left(\frac{\partial u}{\partial t}\right)^2 dx,$$

где ρ — линейная плотность струны (будем считать ρ постоянным, то есть струну однородной).

Составим интеграл действия

$$J[u(x, t)] = \int_{t_1}^{t_2} (T - U) dt = \frac{1}{2} \int_{t_1}^{t_2} \int_0^l \left[\rho \left(\frac{\partial u}{\partial t}\right)^2 - \tau \left(\frac{\partial u}{\partial x}\right)^2 \right] dx dt.$$

Согласно принципу Остроградского—Гамильтона, этот интеграл должен принимать экстремальное значение, то есть должно выполняться соответствующее уравнение Остроградского—Эйлера. Обозначим

$$F = \frac{1}{2} \left[\rho \left(\frac{\partial u}{\partial t}\right)^2 - \tau \left(\frac{\partial u}{\partial x}\right)^2 \right].$$

Уравнение Остроградского—Эйлера имеет вид

$$\frac{\partial F}{\partial u} - \frac{\partial}{\partial x} \left(\frac{\partial F}{\partial u_x} \right) - \frac{\partial}{\partial t} \left(\frac{\partial F}{\partial u_t} \right) = 0.$$

Вычисляя производные, окончательно получаем известное уравнение свободных колебаний струны

$$\rho \frac{\partial^2 u}{\partial t^2} - \tau \frac{\partial^2 u}{\partial x^2} = 0.$$

Задача об установившихся колебаниях мембраны

Как мы знаем, уравнение свободных колебаний мембраны имеет вид

$$\frac{\partial^2 u}{\partial x^2} + \frac{\partial^2 u}{\partial y^2} - \frac{1}{v^2} \frac{\partial^2 u}{\partial t^2} = 0,$$

где v — скорость распространения колебаний.

Будем интересоваться установившимися колебаниями. Полагаем $u = we^{i\omega t}$; тогда для амплитуды колебаний получим

$$\frac{\partial^2 w}{\partial x^2} + \frac{\partial^2 w}{\partial y^2} + \frac{\omega^2}{v^2} w = 0, \quad (8.64)$$

при этом, очевидно, $w|_{\Gamma} = 0, w \neq 0$.

Сведем нашу задачу к эквивалентной вариационной задаче. Рассмотрим функционал

$$J[w(x, y)] = \iint_D F(x, y, w, w_x, w_y) dx dy, \quad (8.65)$$

где D — плоская область с границей Γ , занимаемая мембраной в исходном состоянии.

Уравнение Остроградского—Эйлера для функционала (8.65) имеет вид

$$\frac{\partial F}{\partial w} - \frac{\partial}{\partial x} \left(\frac{\partial F}{\partial w_x} \right) - \frac{\partial}{\partial y} \left(\frac{\partial F}{\partial w_y} \right) = 0. \quad (8.66)$$

Сравнивая уравнения (8.66) и (8.64), видим, что в качестве функции F можно взять следующую функцию:

$$F = \frac{1}{2} \left(\frac{\partial w}{\partial x} \right)^2 + \frac{1}{2} \left(\frac{\partial w}{\partial y} \right)^2 - \frac{\omega^2}{2v^2} w^2.$$

Таким образом, мы приходим к следующей вариационной задаче (эквивалентность не доказываем): найти функцию $w(x, y)$, доставляющую экстремум функционала

$$J[w(x, y)] = \frac{1}{2} \iint_D \left[\left(\frac{\partial w}{\partial x} \right)^2 + \left(\frac{\partial w}{\partial y} \right)^2 - \frac{\omega^2}{v^2} w^2 \right] dx dy \rightarrow \text{extremum}, \quad (8.67)$$

причем $w|_{\Gamma} = 0, w \neq 0$.

В качестве примера предположим, что контур Γ — эллипс с полуосями a и b . Будем искать решение вариационной задачи в форме

$$w = \left(1 - \frac{x^2}{a^2} - \frac{y^2}{b^2} \right) \left(C_0 + C_1 \frac{x^2}{a^2} + D_1 \frac{y^2}{b^2} + \dots \right). \quad (8.68)$$

Ограничимся каким-нибудь конечным числом слагаемых в формуле (8.68). Если подставить (8.68) в (8.67) и выполнить интегрирование, то получим

$$J[w(x, y)] = \Phi(C_0, C_1, D_1, \dots).$$

Приравняв соответствующие производные нулю, мы приходим к однородной линейной алгебраической системе для определения коэффициентов C_0, C_1, D_1, \dots . Приравнявая к нулю определитель этой системы, мы получим частотное уравнение (опредетель системы, очевидно, зависит от ω) для определения частот ω .

Сравнение с точным решением показывает, что при удержании только одного коэффициента C_0 первая частота получается точно, вторая частота — хуже, но с увеличением числа коэффициентов в формуле (8.68) ее значения улучшаются. Читателю мы рекомендуем самостоятельно проделать все необходимые выкладки и убедиться в этом.

Вопросы к главе 8

1. Какие задачи решает вариационное исчисление? Приведите примеры вариационных задач.
2. Что называется функционалом? Приведите примеры функционалов.
3. В чем состоит основная задача вариационного исчисления? Сформулируйте аналогичную задачу дифференциального исчисления.
4. Сформулируйте основные леммы вариационного исчисления.
5. Сформулируйте простейшую вариационную задачу. Как она решается?
6. Что называется ε -окрестностью кривой $y = y(x)$ в смысле близости нулевого порядка?
7. Что называется ε -окрестностью кривой $y = y(x)$ в смысле близости первого порядка?
8. Что называется ε -окрестностью кривой $y = y(x)$ в смысле близости k -го порядка?
9. Какие пространства функций используются в вариационном исчислении? Какие функции принадлежат классу C ? Как определяется норма в классе функций C ?
10. Какие функции принадлежат классу $C^{(1)}$? Как определяется норма в классе функций $C^{(1)}$?
11. Какие функции принадлежат классу $C^{(k)}$? Как определяется норма в классе функций $C^{(k)}$?
12. Дайте определение экстремума функционала.
13. Что такое сильный экстремум функционала?
14. Дайте определение слабого экстремума функционала.

15. Напишите уравнение Эйлера в случае простейшей вариационной задачи. Какой порядок имеет это уравнение?
16. Что такое экстремаль? Что можно сказать о существовании и единственности экстремали?
17. Сформулируйте необходимое условие экстремума в случае простейшей вариационной задачи.
18. Что называется вариацией δy аргумента $y(x)$ функционала $J[y(x)]$?
19. Что называется вариацией δJ функционала $J[y(x)]$? Сформулируйте необходимое условие экстремума функционала с использованием вариации.
20. Какое условие называют условием стационарности функционала?
21. Напишите формулу для вариации функционала в случае простейшей вариационной задачи.
22. Укажите частные случаи, в которых уравнение Эйлера может быть сведено к уравнению первого порядка или даже полностью проинтегрировано в квадратурах.
23. Сформулируйте задачу о брахистохроне и дайте ее решение.
24. Сформулируйте задачу о прохождении света в неоднородной среде и дайте ее решение.
25. Сформулируйте вариационную задачу со свободной вариацией на границе.
26. Приведите необходимые условия экстремума функционала в задаче со свободными концами. Какие условия называются естественными граничными условиями?
27. Дайте обобщение вариационной задачи со свободной вариацией на границе. Что такое условия трансверсальности?
28. Дайте обобщение формулы для вариации функционала на случай задачи со свободными концами.
29. Сформулируйте вариационную задачу для функционалов, содержащих производные высших порядков.
30. Напишите уравнение Эйлера для функционалов, содержащих производные высших порядков.
31. Дайте решение задачи об изгибе балки вариационным методом.
32. Сформулируйте вариационную задачу для функционалов, зависящих от нескольких функциональных аргументов.
33. Напишите уравнение Эйлера для функционалов, зависящих от нескольких функциональных аргументов.
34. Напишите формулу для вариации функционала, зависящего от нескольких функциональных аргументов.
35. Дайте вывод уравнений Лагранжа вариационным методом.
36. Сформулируйте изопериметрическую задачу. Как решается такая задача?
37. Дайте решение задачи о провисании каната. Что такое цепная линия?

38. Сформулируйте вариационную задачу, функционал которой представляется кратным интегралом.
39. Напишите выражение для вариации функционала, представляемого двойным интегралом.
40. Напишите уравнение Остроградского—Эйлера для функционала, представляемого двойным интегралом.
41. Укажите связь задачи Дирихле для уравнения Лапласа с вариационной задачей.
42. Что такое вторая вариация функционала? Напишите формулу для вычисления второй вариации функционала в простейшем случае.
43. Сформулируйте достаточные условия Лежандра экстремума функционала.
44. Какие методы называются прямыми методами вариационного исчисления?
45. Что такое минимизирующая последовательность?
46. Изложите основную идею метода Рунге.
47. Что такое координатные (или базисные) функции? Каким условиям они должны удовлетворять?
48. Что такое условие полноты системы функций?
49. Какие функции называются линейно независимыми?
50. Приведите наиболее часто используемые системы координатных функций.
51. Дайте точное решение методом Гринберга задачи о стационарном распределении температуры в бруске прямоугольного сечения.
52. Дайте приближенное решение вариационным методом задачи о стационарном распределении температуры в бруске прямоугольного сечения и сравните его с точным решением.
53. Дайте вывод уравнения малых колебаний струны вариационным методом.
54. Дайте вывод уравнения продольных колебаний стержня вариационным методом.
55. Дайте вывод уравнения малых поперечных колебаний мембраны вариационным методом.

Задачи с примерами решения¹

1. Для следующих функционалов найти экстремали, построить их графики и исследовать на выполнение достаточных условий экстремума:

$$1) J[y] = \int_{-1}^1 (y'^2 + 4y^2 - 8xy + 2x^2) dx; \quad y(-1) = 3; \quad y(1) = 1;$$

$$2) J[y] = \int_{-1}^1 (y'^2 - 4y^2 + 2xy - x^2) dx; \quad y(-1) = 2; \quad y(1) = 4;$$

¹ Большинство примеров взято из электронной М-книги (www.exponenta.ru): *Иглин С.П.* Вариационное исчисление с применением Matlab: Учебное пособие и варианты индивидуальных заданий для студентов всех форм обучения. — Харьков: НТУ ХПИ, 2000.

$$3) J[y] = \int_{-1}^1 (y'^2 + 4y^2 + 4x^2y + x \cos x) dx; \quad y(-1) = 2; \quad y(1) = 0,5;$$

$$4) J[y] = \int_0^2 (y'^2 - 4y' \sin 2x - x^2) dx; \quad y(0) = 1; \quad y(2) = -1;$$

$$5) J[y] = \int_1^3 (y'^2 - y' \ln x + 2x) dx; \quad y(3) = -1; \quad y(1) = 2;$$

$$6) J[y] = \int_{0,5}^{1,5} (y' + y'^2 \sin 2x - \cos 2x) dx; \quad y(0,5) = 1; \quad y(1,5) = 2;$$

$$7) J[y] = \int_1^2 (y' + xy'^2 - x^2 y') dx; \quad y(1) = 2; \quad y(2) = -1;$$

$$8) J[y] = \int_0^2 (y' + y'^2 + x^2 y'^2) dx; \quad y(0) = 1; \quad y(2) = -2;$$

$$9) J[y] = \int_2^4 \left(y'^2 + \frac{2y'}{1-x^2} + e^{3x} \right) dx; \quad y(2) = -1; \quad y(4) = 2;$$

$$10) J[y] = \int_{-1}^1 (y'^2 + 2y'e^x \sin x - e^x \cos x) dx; \quad y(-1) = 2; \quad y(1) = 3.$$

2. Для следующих функционалов найти экстремали и построить их графики:

$$1) J[y, z] = \int_0^{\pi/2} (y'^2 + z'^2 + 2yz) dx; \quad \begin{cases} y(0) = 0; \quad y\left(\frac{\pi}{2}\right) = 1; \\ z(0) = 0; \quad z\left(\frac{\pi}{2}\right) = -1; \end{cases}$$

$$2) J[y, z] = \int_0^2 (2y'z' + y^2 - z^2 + 2ze^x) dx; \quad \begin{cases} y(0) = 1; \quad y(2) = -1; \\ z(0) = -2; \quad z(2) = 1; \end{cases}$$

$$3) J[y, z] = \int_0^2 (2y'z' - y^2 + z^2 + 2y \sin x) dx; \quad \begin{cases} y(0) = 1; \quad y(2) = -1; \\ z(0) = -2; \quad z(2) = 1; \end{cases}$$

$$4) J[y, z] = \int_{-1}^1 ((y+z)^2 - y'^2 - z'^2 + 2xz) dx; \quad \begin{cases} y(-1) = 2; \quad y(1) = 0; \\ z(-1) = 0; \quad z(1) = 2; \end{cases}$$

$$5) J[y, z] = \int_0^1 ((y-z)^2 + y'^2 - z'^2 + 2z \cos x) dx; \quad \begin{cases} y(0) = 0; \quad y(1) = 1; \\ z(0) = 1; \quad z(1) = 0; \end{cases}$$

$$6) J[y, z] = \int_0^2 (y^2 + 4yz + z^2 - y'^2 - z'^2 + ze^{3x}) dx; \quad \begin{cases} y(0) = 1; \quad y(2) = -1; \\ z(0) = -2; \quad z(2) = 1; \end{cases}$$

$$7) J[y, z] = \int_{-2}^2 (2y'z' + y^2 + z^2 + 2ye^{-x}) dx; \quad \begin{cases} y(-2) = 0; \quad y(2) = 3; \\ z(-2) = 2; \quad z(2) = 1; \end{cases}$$

$$8) J[y, z] = \int_{-2}^2 (y^2 + z^2 - 2y'z' + 2ze^{-x}) dx; \begin{cases} y(-2) = 0; & y(2) = 3; \\ z(-2) = 2; & z(2) = 1; \end{cases}$$

$$9) J[y, z] = \int_{-1}^2 (2y'z' + y^2 - z^2 + 2z \sin x) dx; \begin{cases} y(-1) = 2; & y(2) = 0; \\ z(-1) = 0; & z(2) = 2; \end{cases}$$

$$10) J[y, z] = \int_0^2 ((y+z)^2 - y'^2 - z'^2 + 2ye^{2x}) dx; \begin{cases} y(0) = 1; & y(2) = -1; \\ z(0) = -2; & z(2) = 1. \end{cases}$$

3. Для следующих функционалов найти экстремаль и построить ее график:

$$1) J[y] = \int_0^1 (y''^2 - 2y'^2 + y^2 - 2ye^x) dx; \begin{cases} y(0) = 2; & y'(0) = 1; \\ y(1) = 0; & y'(1) = -1; \end{cases}$$

$$2) J[y] = \int_{-1}^1 (y''^2 + 4y'y'' + y'^2 + 2ye^{-x}) dx; \begin{cases} y(-1) = 1; & y'(-1) = -1; \\ y(1) = 2; & y'(1) = 1; \end{cases}$$

$$3) J[y] = \int_0^2 (y''^2 - 2y'^2 + y^2 + 2ye^x) dx; \begin{cases} y(0) = 1; & y'(0) = 0; \\ y(2) = 4; & y'(2) = -1; \end{cases}$$

$$4) J[y] = \int_0^2 (y''^2 - y'^2 + 2ye^{-x}) dx; \begin{cases} y(0) = 1; & y'(0) = 0; \\ y(2) = 4; & y'(2) = -1; \end{cases}$$

$$5) J[y] = \int_0^1 (y''^2 - y'^2 + 2ye^x) dx; \begin{cases} y(0) = 2; & y'(0) = 1; \\ y(1) = 0; & y'(1) = -1; \end{cases}$$

$$6) J[y] = \int_{-1}^1 (y''^2 - y^2 + 2y \cos x) dx; \begin{cases} y(-1) = 1; & y'(-1) = -1; \\ y(1) = 2; & y'(1) = 1; \end{cases}$$

$$7) J[y] = \int_0^2 (y''^2 - 4y'y'' + y'^2 + 4ye^{-x}) dx; \begin{cases} y(0) = 1; & y'(0) = 0; \\ y(2) = 4; & y'(2) = -1; \end{cases}$$

$$8) J[y] = \int_{-1}^1 (y''^2 - 2y'^2 + y^2 + 2y \sin x) dx; \begin{cases} y(-1) = 1; & y'(-1) = -1; \\ y(1) = 2; & y'(1) = 1; \end{cases}$$

$$9) J[y] = \int_0^1 (y''^2 - y'^2 + 4yy' + 2ye^{-x}) dx; \begin{cases} y(0) = 3; & y'(0) = 0; \\ y(1) = 1; & y'(1) = 1; \end{cases}$$

$$10) J[y] = \int_0^1 (y''^2 - y'^2 - 4ye^{-x}) dx; \begin{cases} y(0) = 2; & y'(0) = 1; \\ y(1) = 0; & y'(1) = -1. \end{cases}$$

4. Для функционала

$$J[y] = \int_{x_0}^{x_1} F(x, y, y', y'') dx$$

получить естественное граничное условие, если заданы все граничные условия на левом конце интервала — $y(x_0) = y_0$; $y'(x_0) = y'_0$, а на правом конце $x = x_1$ задано только значение функции $y(x_1) = y_1$.

5. Решить задачу 4, если на правом конце $x = x_1$ задано только значение производной $y'(x_1) = y'_1$.
6. Решить задачу 4, если на правом конце $x = x_1$ не заданы граничные условия.
7. Для примеров 1 найти экстремали, если граничные условия на правом конце не заданы. Сравнить полученные решения с решениями примеров 1.
8. Решить примеры 1 методом Рунге. Полученные приближенные решения сравнить с точными решениями этих примеров.
9. Для следующих функционалов получить дифференциальное уравнение Остроградского—Эйлера; построить приближенное решение задачи методом Рунге; исследовать сходимость полученного приближенного решения:

$$1) J[z] = \iint_D (z_x^2 + z_y^2 + 2xyz) dx dy; \quad D: \begin{cases} 0 \leq x \leq 2; \\ 0 \leq y \leq 1; \end{cases} \quad z|_c = \frac{x^2}{50} + \frac{y^2}{100}.$$

$$2) J[z] = \iint_D (z_x^2 + 3z_y^2 + 2yz) dx dy; \quad D: \begin{cases} 0 \leq x \leq 2; \\ 0 \leq y \leq 1; \end{cases} \quad z|_c = \frac{x^2}{100} + \frac{y}{50}.$$

$$3) J[z] = \iint_D (z_x^2 + 5z_y^2 + 2yz \sin x) dx dy; \quad D: \begin{cases} 0 \leq x \leq 2; \\ 0 \leq y \leq 1; \end{cases} \quad z|_c = \frac{x^2}{200} - \frac{y}{100}.$$

$$4) J[z] = \iint_D (3z_x^2 + z_y^2 + 2xz \cos y) dx dy; \quad D: \begin{cases} 0 \leq x \leq 2; \\ -1 \leq y \leq 1; \end{cases} \quad z|_c = \frac{x^2}{200} - \frac{y}{100}.$$

$$5) J[z] = \iint_D (5z_x^2 + z_y^2 + 2xyz) dx dy; \quad D: \begin{cases} 0 \leq x \leq 2; \\ -1 \leq y \leq 1; \end{cases} \quad z|_c = \frac{x + y^2}{200}.$$

$$6) J[z] = \iint_D (2z_x^2 - z_y^2 + 2xyz) dx dy; \quad D: \begin{cases} 0 \leq x \leq 2; \\ 0 \leq y \leq 1; \end{cases} \quad z|_c = \frac{x^2 + y^2}{100}.$$

$$7) J[z] = \iint_D (z_x^2 + 2z_y^2 + z^2 + 2xz \cos y) dx dy; \quad D: \begin{cases} 0 \leq x \leq 2; \\ -1 \leq y \leq 1; \end{cases} \quad z|_c = \frac{x^2}{100} - \frac{y}{60}.$$

$$8) J[z] = \iint_D (z_x^2 - 3z_y^2 + 2yz \cos x) dx dy; \quad D: \begin{cases} -1 \leq x \leq 1; \\ 0 \leq y \leq 1; \end{cases} \quad z|_c = \frac{x^2}{100} + \frac{y}{50}.$$

$$9) J[z] = \iint_D (2z_x^2 - 3z_y^2 + 2x^2 yz) dx dy; \quad D: \begin{cases} 0 \leq x \leq 2; \\ 0 \leq y \leq 2; \end{cases} \quad z|_c = \frac{x}{50} + \frac{y^2}{80}.$$

$$10) J[z] = \iint_D (z_x^2 + 4z_y^2 + z^2 + 2xyz) dx dy; \quad D: \begin{cases} 0 \leq x \leq 2; \\ -1 \leq y \leq 1; \end{cases} \quad z|_c = \frac{x + y^2}{100}.$$

Примеры решения типовых задач

Пример 1. Найти экстремаль функционала

$$J[y] = \int_{-1}^1 (x^2 + y^2 + y'^2) dx; \quad \begin{cases} y(-1) = 1; \\ y(1) = 2. \end{cases}$$

Исследовать найденную экстремаль на достаточные условия и построить ее график.

Решение. В этом примере подынтегральная функция имеет вид

$$F(x, y, y') = x^2 + y^2 + y'^2.$$

Составим уравнение Эйлера в виде (8.16) и решим его при заданных граничных условиях. Затем построим график найденной экстремали. Попутно исследуем выполнение достаточных условий экстремума — для этого проверим знак второй производной $F_{y'y'}$.

Реализацию намеченного алгоритма решения поставленной задачи выполним в системе аналитических вычислений Maple. Определим подынтегральную функцию как функцию трех переменных:

```
> restart;
> F := (x, y, y1) -> x^2 + y^2 + y1^2;
```

$$F := (x, y, y1) \rightarrow x^2 + y^2 + y1^2$$

Составим уравнение Эйлера. Для этого вычислим все необходимые производные функции F : F_y , F_{yy} , F_{xy} , $F_{y'y'}$:

```
> dFdy := diff(F(x, y, y1), y); dFdy1 := diff(F(x, y, y1), y1);
> d_dFdy1_dx := diff(dFdy1, x); d_dFdy1_dy := diff(dFdy1, y);
> d_Fdy1_dy1 := diff(dFdy1, y1);
```

$$dFdy := 2y$$

$$dFdy1 := 2y1$$

$$d_dFdy1_dx := 0$$

$$d_dFdy1_dy := 0$$

$$d_Fdy1_dy1 := 2$$

Составим теперь дифференциальное уравнение Эйлера:

```
> eq := dFdy - d_dFdy1_dx - d_dFdy1_dy * y1 - d_Fdy1_dy1 * y2 = 0;
```

$$eq := 2y - 2y2 = 0$$

```
> eq := simplify(lhs(eq)/2) = 0;
```

```
> eq := subs(y = y(x), y2 = diff(y(x), x)^2), lhs(eq)) = 0;
```

$$eq := y - y2 = 0$$

$$eq := y(x) - \left(\frac{d^2}{dx^2} y(x) \right) = 0$$

Решим уравнение Эйлера с заданными граничными условиями:

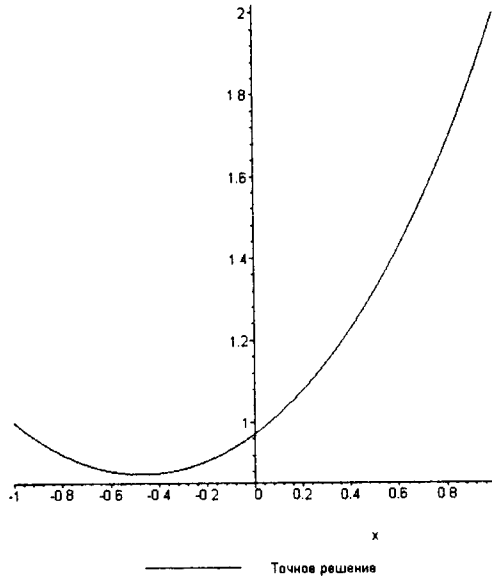
```
> res := dsolve({eq, y(-1) = 1, y(1) = 2}, y(x));
> assign(res): y := evalf(y(x));
```

$$res := y(x) = \frac{e(e^2 - 2)e^{(-x)}}{-1 + e^4} + \frac{e(2e^2 - 1)e^x}{-1 + e^4}$$

$$y := 0.2733111731 e^{(-1 \cdot x)} + 0.6987702374 e^x$$

Построим график полученного решения:

```
> py:=plot(y,x=-1..1,title='Пример №1',legend='Точное решение',color=black):
> plots[display]({py}):
```



Так как $F_{y'y'} = 2 > 0$ и это условие выполняется для любых $y(x)$ и $y'(x)$, то в соответствии с достаточным условием Лежандра найденная экстремаль доставляет сильный минимум нашему функционалу.

При решении этого примера мы составили уравнение Эйлера «вручную» согласно формуле (8.16). В системе Maple 8 в случае простейшей вариационной задачи уравнение Эйлера можно получить автоматически с помощью процедуры EulerLagrange из пакета VariationalCalculus. Для этого подключаем пакет

```
> with(VariationalCalculus):
[ ConjugateEquation , Convex, EulerLagrange , Jacobi, Weierstrass ]
```

Определяем подынтегральную функцию нашего функционала

```
> y:='y':f:=x^2+y(x)^2+diff(y(x),x)^2:
```

$$f := x^2 + y(x)^2 + \left(\frac{d}{dx} y(x) \right)^2$$

и получаем уравнение Эйлера с помощью указанной процедуры

```
> EulerLagrange( f, x, y(x)):
```

$$\left\{ 2 y(x) - 2 \left(\frac{d^2}{dx^2} y(x) \right) \right\}$$

Далее решение ничем не отличается от рассмотренного ранее решения

```
> res1:=dsolve({op(%)=0,y(-1)=1,y(1)=2},y(x));
> assign(res1):y:=evalf(y(x));
```

$$res1 := y(x) = \frac{e(e^2 - 2)e^{-x}}{e^4 - 1} + \frac{e(2e^2 - 1)e^x}{e^4 - 1}$$

$$y := 0.2733111731 e^{(-1..x)} + 0.6987702374 e^x$$

То есть, как и должно быть, получили тот же результат!

Пример 2. Найти экстремаль функционала

$$J[y] = \int_1^3 y^2 y'^2 dx; \quad \begin{cases} y(1) = 4; \\ y(3) = 3. \end{cases}$$

Исследовать найденную экстремаль на достаточные условия и построить ее график.

Решение. В этом примере подынтегральная функция имеет вид

$$F(y, y') = y^2 y'^2,$$

то есть не зависит явно от x . В этом случае мы имеем первый интеграл уравнения Эйлера в виде (8.19). Однако, используя систему Maple, мы можем решать задачу по общей схеме, как в примере 1.

Определим подынтегральную функцию как функцию двух переменных:

```
> restart:
> F:=(x,y,y1)->y^2*y1^2;
```

$$F := (x, y, y1) \rightarrow y^2 y1^2$$

Составим уравнение Эйлера:

```
> dFdy:=diff(F(x,y,y1),y):dFdy1:=diff(F(x,y,y1),y1);
> d_dFdy1_dx:=diff(dFdy1,x):d_dFdy1_dy:=diff(dFdy1,y);
> d_Fdy1_dy1:=diff(dFdy1,y1);
```

$$dFdy := 2 y y1^2$$

$$dFdy1 := 2 y^2 y1$$

$$d_dFdy1_dx := 0$$

$$d_dFdy1_dy := 4 y y1$$

$$d_Fdy1_dy1 := 2 y^2$$

```
> eq:=dFdy-d_dFdy1_dx-d_dFdy1_dy*y1-d_Fdy1_dy1*y2=0;
```

$$eq := -2 y y1^2 - 2 y^2 y2 = 0$$

```
> eq:=simplify(lhs(eq)/2)=0;
```

```
> eq:=
```

```
subs(y=y(x),y1=diff(y(x),x),y2=diff(y(x),x$2),lhs(eq))=0;
```

$$eq := -y y1^2 - y^2 y2 = 0$$

$$eq := -y(x) \left(\frac{d}{dx} y(x) \right)^2 - y(x)^2 \left(\frac{d^2}{dx^2} y(x) \right) = 0$$

Решим уравнение Эйлера с заданными граничными условиями:

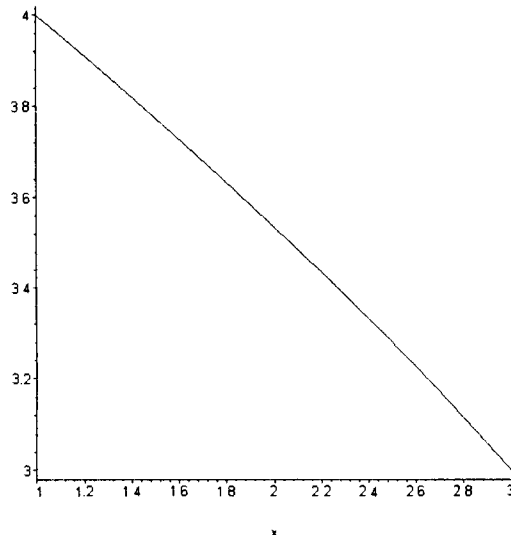
```
> res:=dsolve({eq,y(1)=4,y(3)=3},y(x));
> assign(res):y:=evalf(y(x));
```

$$res := y(x) = \sqrt{-\frac{7x}{2} + \frac{39}{2}}$$

$$y := \sqrt{-3.500000000x + 19.50000000}$$

Построим график полученного решения:

```
> py:=plot(y,x=1..3,title="Пример №2",legend="Точное решение",color=black);
> plots[display]({py});
```



Пример №2

Так как $F_{y'y'} = 2y^2 > 0$, имеем сильный минимум.

Рекомендуем читателю выполнить все расчеты, используя первый интеграл уравнения Эйлера в виде (8.19).

Покажем решение примера с помощью процедуры EulerLagrange из пакета VariationalCalculus:

```
> y:='y':f:=y(x)^2*diff(y(x),x)^2;
```

$$f := y(x)^2 \left(\frac{d}{dx} y(x) \right)^2$$

```
> EulerLagrange( f, x, y(x));
```

$$\left\{ -y(x)^2 \left(\frac{d}{dx} y(x) \right)^2 = K_1, -2y(x) \left(\frac{d}{dx} y(x) \right)^2 - 2y(x)^2 \left(\frac{d^2}{dx^2} y(x) \right) \right\}$$

Обратим внимание на то, что Maple, кроме дифференциального уравнения Эйлера в общей форме (8.16), выдает также и первый интеграл этого уравнения в форме (8.19), то есть

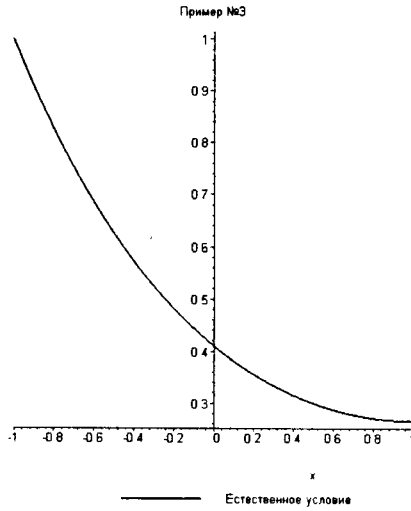
$$-\left[y(x) \frac{dy}{dx} \right]^2 = K_1.$$

Далее решение выполняется по стандартной схеме.

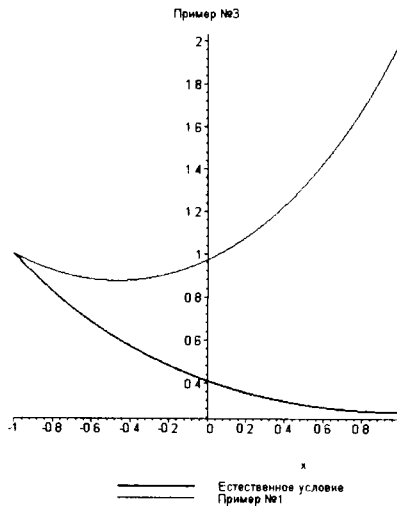
Пример 3. Найти экстремаль функционала, рассмотренного в примере 1, при том же самом граничном условии на левом конце, если граничное условие на правом конце не задано. Сравнить решение с решением задачи примера 1.

Решение: Если граничное условие на правом конце не задано, мы имеем задачу со свободной вариацией. Следовательно, на этом конце должно выполняться естественное граничное условие типа (8.22). Решение задачи реализуем в Maple:

```
> restart;
> F:=(x,yn,yn1)->x^2+yn^2+yn1^2;
      F := (x, yn, yn1) → x2 + yn2 + yn12
> dFdy_n:=diff(F(x,yn,yn1),yn);
> dFdy1_n:=diff(F(x,yn,yn1),yn1);
> d_dFdy1_dx_n:=diff(dFdy1_n,x);
> d_dFdy1_dy_n:=diff(dFdy1_n,yn);
> d_dFdy1_dyl_n:=diff(dFdy1_n,yn1);
      dFdy_n := 2 yn
      dFdy1_n := 2 yn1
      d_dFdy1_dx_n := 0
      d_dFdy1_dy_n := 0
      d_dFdy1_dyl_n := 2
> eq:=dFdy_n-d_dFdy1_dx_n-d_dFdy1_dy_n*yn1-d_dFdy1_dyl_n*yn2=0;
      eq := 2 yn - 2 yn2 = 0
> eq:=simplify(lhs(eq)/2)=0;
> eq:=subs(yn=yn(x),yn2=diff(yn(x),x$2),lhs(eq))=0;
      eq := yn - yn2 = 0
      eq := yn(x) - \left( \frac{d^2}{dx^2} yn(x) \right) = 0
> bound2:=subs(yn1=0(yn)(1),dFdy1_n)=0;
      bound2 := 2 D(yn)(1) = 0
> res:=dsolve({eq,yn(-1)=1} union {bound2},yn(x));
> assign(res);yn:=evalf(yn(x));
      res := yn(x) = \frac{e e^x}{1 + e^4} + \frac{e^3 e^{(-x)}}{1 + e^4}
      yn := 0.04889158769e^x + 0.3612626842e^{(-1.x)}
> py_nat:=plot(yn,x=-1..1,title=`Пример №3`,legend=`Естественное
условие`,color=black,thickness=2);
plots[display]({py_nat});
```



```
> plots[display]({py_nat,py});
```



Пример 4. Найти экстремали функционала

$$J[y, z] = \int_{-2}^2 (y'^2 + z'^2 + 2yz) dx; \quad \begin{cases} y(-2) = 1; \\ y(2) = 0; \end{cases} \quad \begin{cases} z(-2) = 0; \\ z(2) = 2. \end{cases}$$

Построить графики этих экстремалей.

Решение. Определяем подынтегральную функцию:

```
> restart:
```

```
> F:=(y.z.y1.z1)->y1^2+z1^2+2*y*z:
```

$$F := (y, z, y1, z1) \rightarrow y1^2 + z1^2 + 2 y z$$

Вычисляем все необходимые частные производные для того, чтобы составить систему дифференциальных уравнений Эйлера:

```
> dFy:=diff(F(y,z,y1,z1),y):dFz:=diff(F(y,z,y1,z1),z):
> dFy1:=diff(F(y,z,y1,z1),y1):dFz1:=diff(F(y,z,y1,z1),z1):
> d2Fy1_x:=diff(dFy1,x):d2Fz1_x:=diff(dFz1,x):
> d2Fy1_y:=diff(dFy1,y):d2Fz1_z:=diff(dFz1,z):
> d2Fy1_y1:=diff(dFy1,y1):d2Fz1_z1:=diff(dFz1,z1):
      dFy := 2 z
      dFz := 2 y
      dFy1 := 2 y1
      dFz1 := 2 z1
      d2Fy1_x := 0
      d2Fz1_x := 0
      d2Fy1_y := 0
      d2Fz1_z := 0
      d2Fy1_y1 := 2
      d2Fz1_z1 := 2
```

Составляем систему уравнений Эйлера:

```
> eq_y:=dFy-d2Fy1_x-d2Fy1_y*y1-d2Fy1_y1*y2=0:
> eq_z:=dFz-d2Fz1_x-d2Fz1_z*z1-d2Fz1_z1*z2=0:
      eq_y := 2 z - 2 y2 = 0
      eq_z := 2 y - 2 z2 = 0
> eq_y:=simplify(lhs(eq_y)/2)=0:
> eq_y:=subs(y=y(x),z=z(x),y2=diff(y(x),x$2),lhs(eq_y))=0:
> eq_z:=simplify(lhs(eq_z)/2)=0:
> eq_z:=subs(y=y(x),z=z(x),z2=diff(z(x),x$2),lhs(eq_z))=0:
      eq_y := z - y2 = 0
      eq_y := z(x) - \left( \frac{d^2}{dx^2} y(x) \right) = 0
      eq_z := y - z2 = 0
      eq_z := y(x) - \left( \frac{d^2}{dx^2} z(x) \right) = 0
```

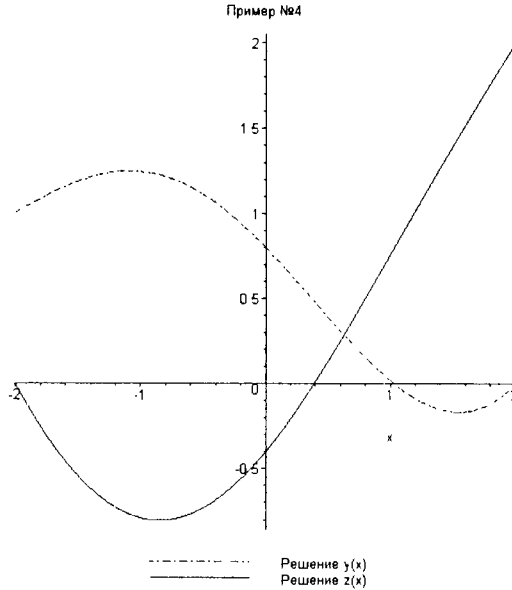
Решаем полученную систему уравнений Эйлера при заданных граничных условиях:

```
> res:=dsolve({eq_y,eq_z,y(-2)=1,y(2)=0,z(-2)=0,z(2)=2},{y(x),z(x)}):
> assign(res):y:=evalf(y(x)):z:=evalf(z(x)):
res := { y(x) = \frac{1}{2} \frac{e^2 (e^4 - 2) e^{-x}}{-1 + e^8} - \frac{1}{2} \frac{e^2 (-2 e^4 + (e^4)^2 - e^8 + 1) e^x}{-1 + e^8} - \frac{3 \sin(x)}{4 \sin(2)} + \frac{1 \cos(2) \cos(x)}{4 \sin(2)^2 - 1},
      z(x) = \frac{1}{2} \frac{e^2 (e^4 - 2) e^{-x}}{-1 + e^8} - \frac{1}{2} \frac{e^2 (-2 e^4 + (e^4)^2 - e^8 + 1) e^x}{-1 + e^8} + \frac{3 \sin(x)}{4 \sin(2)} - \frac{1 \cos(2) \cos(x)}{4 \sin(2)^2 - 1} }
y := 0.06521076520e^{(-1..x)} + 0.1341409064e^x - 0.8248126275 \sin(x) + 0.6007494902 \cos(x)
```

$$z := 0.06521076520e^{(-1 \cdot x)} + 0.1341409064e^x + 0.8248126275 \sin(x) - 0.6007494902 \cos(x)$$

Строим графики найденных экстремалей:

```
> py:=plot(y,x=-2..2,title='Пример №4',legend='Решение y(x)',color=black,linestyle=4):
pz:=plot(z,x=-2..2,title='Пример №4',legend='Решение z(x)',color=black):
plots[display]({py,pz}):
```



Здесь также для получения системы уравнений Эйлера можно воспользоваться процедурой EulerLagrange из пакета VariationalCalculus:

```
> F:=diff(y(x),x)^2+diff(z(x),x)^2+2*y(x)*z(x):
```

$$F := \left(\frac{d}{dx} y(x) \right)^2 + \left(\frac{d}{dx} z(x) \right)^2 + 2 y(x) z(x)$$

```
> EulerLagrange( F, x, [y(x),z(x)]):
```

$$\left\{ 2 z(x) - 2 \left(\frac{d^2}{dx^2} y(x) \right), 2 y(x) - 2 \left(\frac{d^2}{dx^2} z(x) \right), - \left(\frac{d}{dx} y(x) \right)^2 - \left(\frac{d}{dx} z(x) \right)^2 + 2 y(x) z(x) = K_1 \right\}$$

```
> e1:=simplify(op(1,%)/2)=0:e2:=simplify(op(2,%)/2)=0:
```

$$e1 := z(x) - \left(\frac{d^2}{dx^2} y(x) \right) = 0$$

$$e2 := y(x) - \left(\frac{d^2}{dx^2} z(x) \right) = 0$$

Далее решение выполняется по стандартной схеме.

Пример 5. Найти экстремаль функционала при заданных граничных условиях

$$J[y] = \int_{-1}^1 (y''^2 - 2y'^2 + 4yy' + y^2 - 2y \sin x) dx; \quad \begin{cases} y(-1) = 1; & y(1) = 2; \\ y'(-1) = -1; & y'(1) = -1. \end{cases}$$

Построить график.

Решение. Определяем подинтегральную функцию

> restart;

> F:=y2^2-2*y1^2+4*y*y1+y^2-2*y*sin(x);

$$F := y^2 - 2y1^2 + 4y y1 + y^2 - 2y \sin(x)$$

Вычисляем частные производные:

> dFy:=diff(F,y);

dFy:=subs(y=y(x),y1=diff(y(x),x),y2=diff(y(x),x\$2),dFy);

$$dFy := 4y1 + 2y - 2 \sin(x)$$

$$dFy := 4 \left(\frac{d}{dx} y(x) \right) + 2y(x) - 2 \sin(x)$$

> dFy1:=diff(F,y1);

dFy1:=subs(y=y(x),y1=diff(y(x),x),y2=diff(y(x),x\$2),dFy1);

> dFy1_x:=diff(dFy1,x);

$$dFy1 := -4y1 + 4y$$

$$dFy1 := -4 \left(\frac{d}{dx} y(x) \right) + 4y(x)$$

$$dFy1_x := -4 \left(\frac{d^2}{dx^2} y(x) \right) + 4 \left(\frac{d}{dx} y(x) \right)$$

> dFy2:=diff(F,y2);

dFy2:=subs(y=y(x),y1=diff(y(x),x),y2=diff(y(x),x\$2),dFy2);

> dFy2_x2:=diff(dFy2,x\$2);

$$dFy2 := 2y2$$

$$dFy2 := 2 \left(\frac{d^2}{dx^2} y(x) \right)$$

$$dFy2_x2 := 2 \left(\frac{d^4}{dx^4} y(x) \right)$$

Составляем уравнение Эйлера:

> eq:=dFy-dFy1_x+dFy2_x2=0;

$$eq := 2y(x) - 2 \sin(x) + 4 \left(\frac{d^2}{dx^2} y(x) \right) + 2 \left(\frac{d^4}{dx^4} y(x) \right) = 0$$

Решаем полученное уравнение при заданных граничных условиях:

> res:=dsolve({eq,y(-1)=1,y(1)=2,D(y)(-1)=-1,D(y)(1)=-1},y(x));

assign(res):y:=simplify(evalf(y(x))):

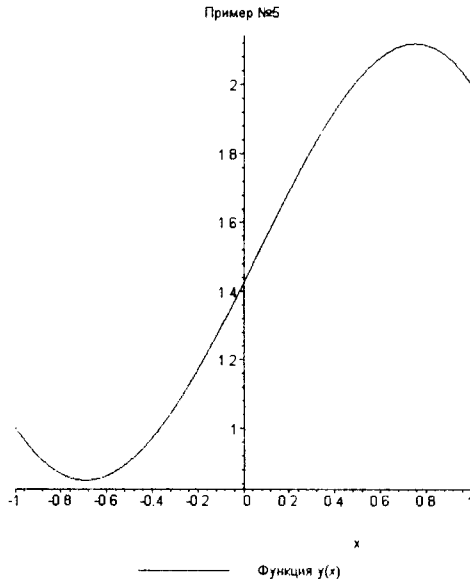
$$\begin{aligned}
 res := y(x) = & \left(\frac{1}{8} - \frac{x^2}{8} \right) \sin(x) - \frac{1}{4} \cos(x) x - \frac{1}{4} \frac{(\cos(1) \sin(1) + 2 \sin(1) - 6 \cos(1)) \sin(x)}{-1 + \cos(1) \sin(1)} \\
 & - \frac{3}{2} \frac{(-\sin(1)^3 + \cos(1) \sin(1)^2 - \cos(1)) \cos(x)}{1 - \sin(1)^2 + \sin(1)^4} - \frac{3}{2} \frac{\sin(1) (-1 + \cos(1) \sin(1)) \sin(x) x}{1 - \sin(1)^2 + \sin(1)^4} \\
 & + \frac{1}{4} \frac{(\sin(1)^2 + \cos(1) \sin(1) - 4 \sin(1) - 1 - 2 \cos(1)) \cos(x) x}{-1 + \cos(1) \sin(1)}
 \end{aligned}$$

Строим график:

```

> pic_y:=plot(y,x=-1..1,title='Пример №5',legend='Функция y(x)',color=black):
plots[display]({pic_y}):

```



Пример 6. Методом Рунге найти экстремаль функционала из примера 1

$$\mathcal{J}[y] = \int_{-1}^1 (x^2 + y^2 + y'^2) dx; \quad \begin{cases} y(-1) = 1; \\ y(1) = 2; \end{cases}$$

сравнить полученное приближенное решение с точным решением; построить их графики.

Решение. Выбираем базисные функции и определяем аппроксимирующую функцию. При этом рассмотрим два варианта базисных функций, удовлетворяющих однородным граничным условиям, — систему полиномов и систему синусов:

```

> phi0:=x->y1+(y2-y1)*(x-x1)/(x2-x1);
> phi:= (x,n)->sin(n*Pi*(x-x1)/(x2-x1));
> Us:=proc(x,N)option operator,arrow; local n;
> phi0(x)+sum(a[n]*phi(x,n), 'n'=1..N);
> end proc;

```

```

> Up:=proc(x,N)option operator,arrow; local n;
> phi0(x)+(x-x1)*(x-x2)*sum(a[n]*x^n, 'n'=0..N);
> end proc;

```

$$\phi_0 := x \rightarrow y1 + \frac{(y2 - y1)(x - x1)}{x2 - x1}$$

$$\phi := (x, n) \rightarrow \sin\left(\frac{n \pi (x - x1)}{x2 - x1}\right)$$

$$Us := (x, N) \rightarrow \text{local } n; \phi_0(x) + \left(\sum_{n=1}^N a_n \phi(x, n)\right)$$

$$Up := (x, N) \rightarrow \text{local } n; \phi_0(x) + (x - x1)(x - x2) \left(\sum_{n=0}^N a_n x^n\right)$$

Разработаем процедуру для составления и решения системы уравнений метода Рунца:

```

> Ritz:=proc(F,u,i0,N,a)
> local Fu,eqns,var,eq,i,res;global x1,x2;
> Fu:=simplify(int(subs(y(x)=u,F),x=x1..x2));
eqns:={};var:={};
> for i from i0 to N do
> var:=var union {a[i]};
> eq[i]:=diff(Fu,a[i])=0;
> eqns:=eqns union {eq[i]};
> od;
> res:=solve(eqns,var);
> assign(res);
> end proc;

```

Процедура очень проста и не требует дополнительных комментариев. Приступим теперь к решению нашей задачи. Определяем подынтегральную функцию

```
> F:=x^2+y(x)^2+diff(y(x),x)^2;
```

$$F := x^2 + y(x)^2 + \left(\frac{d}{dx} y(x)\right)^2$$

Вводим граничные точки:

```
> x1:=-1;x2:=1;y1:=1;y2:=2;
```

```
x1 := -1
```

```
x2 := 1
```

```
y1 := 1
```

```
y2 := 2
```

Зададимся числом базисных функций в представлении аппроксимирующей функции и решим задачу с использованием системы синусов в качестве базисных функций:

```

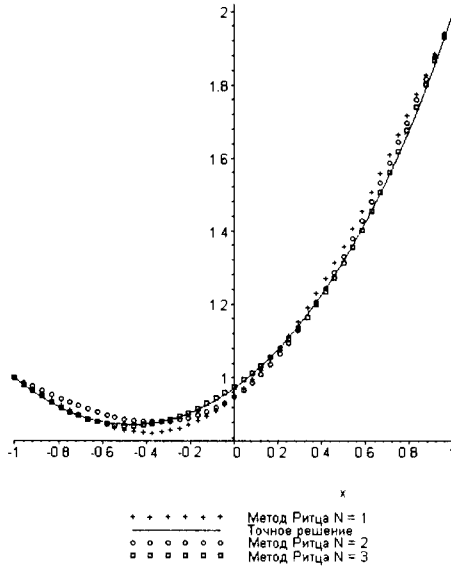
> N:=3;c1:='cross':c2:='circle':c3:='box':
> for j from 1 to N do

```

```

> a:=array(1..j):u:=Us(x,j):
> Ritz(F,u,1,j,a):
> pUs_||j:=
plot(Us(x,j),x=-1..1,color=black,style=point,symbol=c||j,
legend=cat('Метод Ритца N = ',convert(j,string))):
> end do:
> plots[display]({pUs_1,pUs_2,pUs_3,py}):

```



```
> Us(x,1):Us(x,2):Us(x,3):
```

$$\frac{3}{2} + \frac{x}{2} - \frac{24 \sin\left(\frac{\pi(x+1)}{2}\right)}{\pi(\pi^2+4)}$$

$$\frac{3}{2} + \frac{x}{2} - \frac{24 \sin\left(\frac{\pi(x+1)}{2}\right)}{\pi(\pi^2+4)} + \frac{\sin(\pi(x+1))}{\pi(1+\pi^2)}$$

$$\frac{3}{2} + \frac{x}{2} - \frac{24 \sin\left(\frac{\pi(x+1)}{2}\right)}{\pi(\pi^2+4)} + \frac{\sin(\pi(x+1))}{\pi(1+\pi^2)} - \frac{8 \sin\left(\frac{3\pi(x+1)}{2}\right)}{\pi(4+9\pi^2)}$$

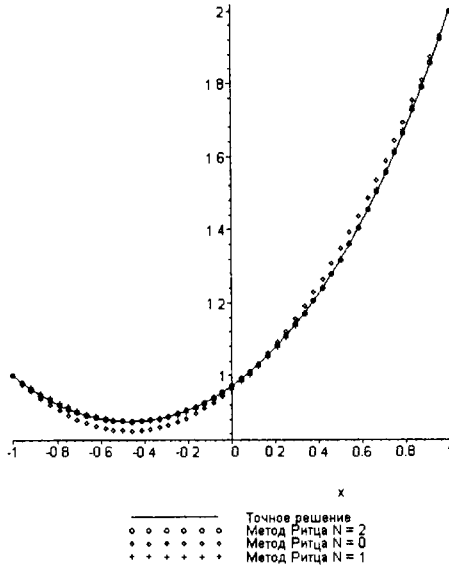
Решим эту же задачу с помощью полиномиальной аппроксимации

```

> N:=2:c1:=`cross`:c2:=`circle`:c0:=`diamond`:
for j from 0 to N do
a:=array(0..j):u:=Up(x,j):
Ritz(F,u,0,j,a):
pUp_||j:=plot(Up(x,j),x=-1..1,color=black,style=point,symbol=c||j,
legend=cat('Метод Ритца N = ',convert(j,string))):

```

```
end do;
> plots[display]({pUp_0.pUp_1.pUp_2.py});
```



```
> Up(x,0);Up(x,1);Up(x,2);
```

$$\frac{3}{2} + \frac{x}{2} + \frac{777(x+1)(x-1)}{1472}$$

$$\frac{3}{2} + \frac{x}{2} + (x+1)(x-1) \left(\frac{777}{1472} + \frac{7x}{92} \right)$$

$$\frac{3}{2} + \frac{x}{2} + (x+1)(x-1) \left(\frac{777}{1472} + \frac{7}{92}x + \frac{63}{1472}x^2 \right)$$

Пример 7. Методом Рунга найти экстремаль функционала

$$J[z] = \iint_D \left(z_x^2 - 2z_y^2 + 2yz \left(\sin \pi x + \frac{x}{5} \right) \right) dx dy,$$

где область интегрирования и граничная функция имеют вид

$$D: \begin{cases} 0 \leq x \leq 1; \\ 0 \leq y \leq 2; \end{cases} \quad z|_C = \frac{x}{10} + \frac{y^2}{50}.$$

Решение. Выбираем базисные функции и определяем аппроксимирующую функцию:

```
> restart;
> phi0:=(x,y)->x/10+y^2/50;
> phi:=(x,y,i,j)->sin(i*Pi*(x-x1)/(x2-x1))*sin(j*Pi*(y-y1)/(y2-y1));
```

```
> u:=proc(x,y,M,N)option operator,arrow; local n,m;
phi0(x,y)+sum(sum(a[m,n]*phi(x,y,m,n), 'm'=1..M), 'n'=1..N);
> end proc;
```

$$\phi 0 := (x, y) \rightarrow \frac{1}{10} x + \frac{1}{50} y^2$$

$$\phi := (x, y, i, j) \rightarrow \sin\left(\frac{i \pi (x - x1)}{x2 - x1}\right) \sin\left(\frac{j \pi (y - y1)}{y2 - y1}\right)$$

$$u := (x, y, M, N) \rightarrow \text{local } n, m; \phi 0(x, y) + \left(\sum_{n'=1}^N \left(\sum_{m'=1}^M a_{m',n'} \phi(x, y, m', n') \right) \right)$$

Разрабатываем процедуру для автоматического составления и решения уравнений метода Рунге для нашего функционала:

```
> Ritz:=proc(F,M,N,a)local Fu,eqns,var,eq,i,j,res;
> Fu:=simplify(int(int(F,x=0..1),y=0..2));
> eqns:={}:var:={}:
> for i from 1 to M do
> for j from 1 to N do
> var:=var union {a[i,j]};
> eq[i,j]:=diff(Fu,a[i,j])=0;
> eqns:=eqns union {eq[i,j]};
> od;od;
> res:=solve(eqns,var);
> assign(res);
> end proc;
```

Вводим граничные точки:

```
> x1:=0;x2:=1;y1:=0;y2:=2;
x1 := 0
x2 := 1
y1 := 0
y2 := 2
```

Задаем подынтегральную функцию

```
> F:=diff(u(x,y),x)^2-2*diff(u(x,y),y)^2+2*y*u(x,y)*(sin(Pi*x)+x/5);
```

$$F := \left(\frac{\partial}{\partial x} u(x, y) \right)^2 - 2 \left(\frac{\partial}{\partial y} u(x, y) \right)^2 + 2 y u(x, y) \left(\sin(\pi x) + \frac{x}{5} \right)$$

Задаем количество базисных функций для аппроксимации решения и решаем задачу:

```
> M:=2;N:=2;a:=array(1..M,1..N);
> F2:=subs(u(x,y)=U(x,y,M,N),F):Ritz(F2,M,N,a);
```

$M := 2$

$$N := 2$$

$$F2 := \left(\frac{\partial}{\partial x} \left(\frac{x}{10} + \frac{y^2}{50} + a_{1,1} \sin(\pi x) \sin\left(\frac{\pi y}{2}\right) + a_{2,1} \sin(2\pi x) \sin\left(\frac{\pi y}{2}\right) + a_{1,2} \sin(\pi x) \sin(\pi y) + a_{2,2} \sin(2\pi x) \sin(\pi y) \right) \right)^2 - 2 \left(\frac{\partial}{\partial y} \left(\frac{x}{10} + \frac{y^2}{50} + a_{1,1} \sin(\pi x) \sin\left(\frac{\pi y}{2}\right) + a_{2,1} \sin(2\pi x) \sin\left(\frac{\pi y}{2}\right) + a_{1,2} \sin(\pi x) \sin(\pi y) + a_{2,2} \sin(2\pi x) \sin(\pi y) \right) \right)^2 + 2y \left(\frac{x}{10} + \frac{y^2}{50} + a_{1,1} \sin(\pi x) \sin\left(\frac{\pi y}{2}\right) + a_{2,1} \sin(2\pi x) \sin\left(\frac{\pi y}{2}\right) + a_{1,2} \sin(\pi x) \sin(\pi y) + a_{2,2} \sin(2\pi x) \sin(\pi y) \right) \left(\sin(\pi x) + \frac{x}{5} \right)$$

$$> z := U(x, y, M, N) : z := \text{evalf}(z):$$

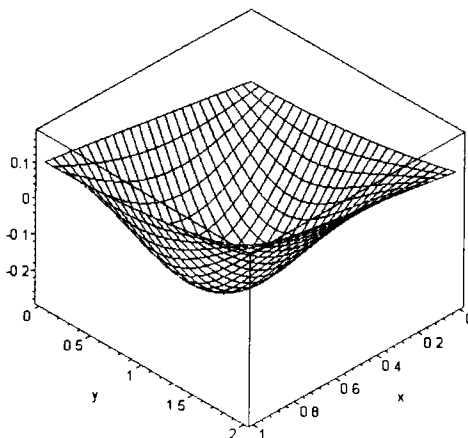
$$z := \frac{x}{10} + \frac{y^2}{50} - \frac{8}{25} \frac{(18 + 25\pi) \sin(\pi x) \sin\left(\frac{\pi y}{2}\right)}{\pi^4} + \frac{8}{35} \frac{\sin(2\pi x) \sin\left(\frac{\pi y}{2}\right)}{\pi^4} - \frac{2(5\pi + 2) \sin(\pi x) \sin(\pi y)}{5\pi^4} - \frac{1 \sin(2\pi x) \sin(\pi y)}{5\pi^4}$$

$$z := 0.1000000000x + 0.02000000000y^2 - 0.3171443332 \sin(3.141592654x) \sin(1.570796327y) + 0.002346510229 \sin(6.283185308x) \sin(1.570796327y) - 0.07271585464 \sin(3.141592654x) \sin(3.141592654y) - 0.002053196450 \sin(6.283185308x) \sin(3.141592654y)$$

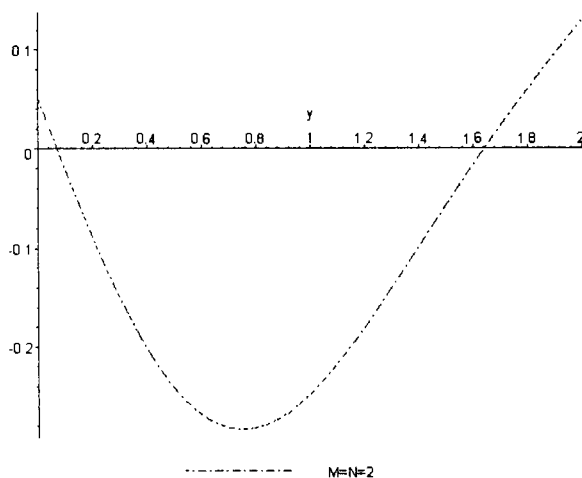
Построим график найденной экстремали в виде пространственной поверхности и в сечении при $x = 0,5$:

```
> plot3d(U(x,y,M,N),x=0..1,y=0..2,title=cat(`Аппроксимация M = N =`,
`.convert(M,string)`)):
```

Аппроксимация M = N = 2



```
> p1|M:=  
plot(U(0.5,y,M,N),y=0..2,color=black,linestyle=4,legend=cat('M=N=',convert(M,string))):  
plots[display]({p2}):
```



Рекомендуем читателю выполнить все расчеты, удерживая большее количество базисных функций в аппроксимации решения, и исследовать сходимость получаемых решений.

Приложение

Таблица 1. Оригиналы и их изображения

$f(t) = \frac{1}{2\pi i} \int_{c-i\infty}^{c+i\infty} \bar{f}(p) e^{pt} dp$	$\bar{f}(p) = \int_0^{\infty} f(t) e^{-pt} dt$
$\theta(t) = \begin{cases} 1, & t > 0 \\ 0, & t < 0 \end{cases}$	$\frac{1}{p}$
$e^{-\alpha t}$	$\frac{1}{p + \alpha}$
$\cos(\beta t)$	$\frac{p}{p^2 + \beta^2}$
$\sin(\beta t)$	$\frac{\beta}{p^2 + \beta^2}$
t^ν	$\frac{\Gamma(\nu + 1)}{p^{\nu+1}}$
$\sin(at) \operatorname{sh}(at)$	$\frac{2a^2 p}{p^4 + 4a^4}$
$\frac{1}{\sqrt{t}}$	$\sqrt{\frac{\pi}{p}}$
$J_0(\alpha t)$	$\frac{1}{\sqrt{p^2 + \alpha^2}}$
$\begin{cases} 1, & t < T \\ 0, & t > T \end{cases}$	$\frac{1 - e^{-pT}}{p}$
$\sin(at) \operatorname{ch}(at)$	$\frac{a(p^2 + 2a^2)}{p^3 + 4a^4}$

$\text{sh}(at)$	$\frac{a}{p^2 - a^2}$
$\text{ch}(at)$	$\frac{p}{p^2 - a^2}$
$\frac{1}{2a} (\sin(at) - at \cos(at))$	$\frac{a^2}{(p^2 + a^2)^2}$
$\frac{t}{2a} \sin(at)$	$\frac{p}{(p^2 + a^2)^2}$
$\cos(at) \text{ch}(at)$	$\frac{p^3}{p^4 + 4a^4}$
$e^{-\lambda t} \cos(\omega t)$	$\frac{p + \lambda}{(p + \lambda)^2 + \omega^2}$
$e^{-\lambda t} \sin(\omega t)$	$\frac{\omega}{(p + \lambda)^2 + \omega^2}$
$\frac{1}{\sqrt{\pi t}} e^{-\frac{a^2}{4t}}$	$\frac{e^{-a\sqrt{p}}}{\sqrt{p}}$
$\cos(at) \text{sh}(at)$	$\frac{a(p^2 - 2a^2)}{p^4 + 4a^4}$
$\text{ch}(at)$	$\frac{p}{p^2 - a^2}$
$1 - \Phi\left(\frac{a}{2\sqrt{t}}\right)$	$\frac{e^{-a\sqrt{p}}}{p}$
$\frac{\text{ch}(2\sqrt{t})}{\sqrt{\pi t}}$	$\frac{1}{e^p \sqrt{p}}$
$\frac{\text{sh}(2\sqrt{t})}{\sqrt{\pi}}$	$\frac{1}{p\sqrt{p}}$
$J_0(a\sqrt{t})$	$\frac{e^{-\frac{a^2}{4p}}}{p}$
$\frac{1 + 2at}{\sqrt{\pi t}}$	$\frac{p + a}{p\sqrt{p}}$
$\frac{e^{-at}}{\sqrt{\pi t}}$	$\frac{1}{\sqrt{p + a}}$

Литература

1. *Арсенин В. Я.* Математическая физика. Основные уравнения и специальные функции. — М.: Физматгиз, 1966. 368 с.
2. *Будак Б. М., Самарский А. А., Тихонов А. Н.* Сборник задач по математической физике. — М.: ГИТТЛ, 1956. 684 с.
3. *Бутенин Н. В.* Введение в аналитическую механику. — М.: Наука, 1971. 264 с.
4. *Владимиров В. С.* Уравнения математической физики. — 4-е изд. — М.: Наука, 1981. 512 с.
5. Сборник задач по уравнениям математической физики, / 2-е изд. *Владимиров В. С., Михайлов В. П., Ваширин А. А.* и др. — М.: Наука, 1982. 256 с.
6. *Гельфанд И. М., Фомин С. В.* Вариационное исчисление. — М.: Физматгиз, 1961. 228 с.
7. *Говорухин В., Цибулин В.* Компьютер в математическом исследовании: Учебный курс. — СПб.: Питер, 2001. 624 с.
8. *Гюнтер Н. М., Кузьмин Р. О.* Сборник задач по высшей математике. Т. 3. — М.-Л.: ГИТТЛ, 1951. 268 с.
9. *Дёч Г.* Руководство к практическому применению преобразования Лапласа и Z-преобразования. — М.: Наука, 1971. 288 с.
10. *Диткин В. А., Прудников А. П.* Операционное исчисление. — М.: Высш. шк., 1966. 408 с.
11. *Капторович Л. В., Крылов В. И.* Приближенные методы высшего анализа. — М.-Л.: ГИТТЛ, 1950. 696 с.
12. *Карслоу Х., Егер Д.* Операционные методы в прикладной математике. — М.: ИЛ, 1948. 292 с.
13. *Кошляков Н. С., Глинер Э. Б., Смирнов М. М.* Уравнения в частных производных математической физики. — М.: Высш. шк., 1970. 712 с.
14. *Кручкович Г. И., Мордасова Г. М.* и др. Сборник задач и упражнений по специальным главам высшей математики. — М.: Высш. шк., 1970. 512 с.
15. *Лебедев Н. Н.* Специальные функции и их приложения. — М.-Л.: Физматгиз, 1963. 360 с.

16. *Ловитт У. В.* Линейные интегральные уравнения. — М.: ГИТТЛ, 1957. 268 с.
17. *Матросов А. В.* Maple 6. Решение задач высшей математики и механики. — СПб.: БХВ-Петербург, 2001. 528 с.
18. *Михлин С. Г.* Вариационные методы в математической физике. — М.: ГИТТЛ, 1957. 476 с.
19. *Очан Ю. С.* Методы математической физики. — М.: Высшая школа, 1965, 384 с.
20. *Петровский И. Г.* Лекции по теории интегральных уравнений. — М.-Л.: ГИТТЛ, 1951. 128 с.
21. *Петровский И. Г.* Лекции об уравнениях с частными производными. — М.: Физматгиз, 1961. 400 с.
22. *Смирнов В. И.* Курс высшей математики. Т. 4, ч. 1. — М.: Наука, 1974. 336 с.
23. *Сnedдон И.* Преобразования Фурье. — М.: ИЛ, 1955. 668 с.
24. *Соболев С. Л.* Некоторые применения функционального анализа в математической физике. — М.: Наука, 1988. 334 с.
25. *Соболев С. Л.* Уравнения математической физики. — М.: Наука, 1966. 444 с.
26. *Тихонов А. Н., Самарский А. А.* Уравнения математической физики. — 5-е изд. — М.: Наука, 1977. 736 с.
27. *Траптер К. Дж.* Интегральные преобразования в математической физике. — М.: ГИТТЛ, 1956. 204 с.
28. *Трикоми Ф.* Интегральные уравнения. — М.: ИЛ, 1960. 300 с.
29. *Трикоми Ф.* Дифференциальные уравнения. — М.: ИЛ, 1962. 352 с.
30. *Эльсгольц Л. Э.* Дифференциальные уравнения и вариационное исчисление. — М.: Наука, 1965. 424 с.

Алфавитный указатель

А

абсцисса сходимости, 322, 325
альтернатива Фредгольма, 425

Б

бета-функция, 171

В

вариация
 функционала, 479
вариация (приращение)
 аргумента, 479
волновое уравнение
 двумерное, 33
 одномерное, 28
 трехмерное, 38
высшие трансцендентные функции, 170

Г

гамма-функция, 174
гармонические красивые задачи, 59
гиперболическое уравнение
 каноническая форма, 54
граница области, 15
граничное условие
 второго рода, 58
 первого рода, 58
 третьего рода, 58
граничные условия, 30, 56
 второго рода, 108
 первого рода, 108
 третьего рода, 108
 четвертого рода, 108

Е

евклидово пространство
 длина (норма), 15
 расстояние, 15
 скалярное произведение, 15

емкость, 36
естественные граничные условия, 484

З

задача
 Дирихле, 58
 Кони
 для гиперболического
 уравнения, 57
 для параболического уравнения, 57
 Неймана, 58
 Штурма–Лиувилля, 107
 регулярная, 107
 сингулярная, 107
задача Кони, 57
закон
 Гаука, 30
 Нерста, 40
 Фурье, 38

И

изображение (трансформанта
 Лапласа), 322
интеграл
 вероятности, 176
 Дирихле, 322, 335
 Лапласа, 322
 Пуассона, 104
 Римана–Меллина, 322, 334
 Фурье, 263
 в комплексной форме, 263
 Фурье–Бесселя, 264
интегральное представление
 Пуассона, 191
интегральное преобразование, 275
интегральное уравнение
 линейное, 389
 нелинейное, 389
 с вырожденным ядром, 403

интегральные уравнения
 первого рода, 390
 второго рода, 390
 Вольтерры, 390
 Фредгольма, 390
 интегро-дифференциальное уравнение, 457

К

квадратичная форма
 канонический вид, 48
 уравнения, 46
 квазилинейное дифференциальное
 уравнение, 46
 класс корректности, 60
 классические решения, 60
 координатные (базисные)
 функции, 503
 корректно поставленная задача
 (по Адамару), 60
 косинус-интеграл Фурье, 262
 косинус-преобразование Фурье, 276
 коэффициенты Лямэ, 23
 краевая задача, 57
 первого, второго и третьего рода, 58
 для эллиптического уравнения, 57
 криволинейная система координат, 21
 криволинейные координаты, 22

Л

линейное дифференциальное
 уравнение, 26, 51, 93
 неоднородное, 93
 однородное, 93
 логарифмический потенциал
 простого слоя, 434

М

мероморфная функция, 322, 341
 метод
 разделения переменных, 92
 Стеклова—Лиувилля—Фубини, 114
 функций Грина, 92
 Фурье, 92
 минимизирующая
 последовательность, 502
 множество
 замкнутое, 15
 замыкание, 15
 компакт, 15
 ограниченное, 15
 открытое, 15
 связанное, 15

модифицированные цилиндрические
 функции, 196

Н

начальные условия, 30, 56
 неоднородные задачи математической
 физики, 243
 норма системы функций, 119

О

область, 15
 обобщенное преобразование
 Фурье, 276
 обобщенный интеграл Фурье, 262
 однородные задачи математической
 физики, 243
 окрестность множества, 15
 оператор
 Гамильтона (символический
 вектор набла), 18
 Лапласа (лапласиан), 17
 оператор-градиент, 16
 оператор-дивергенция, 17
 оператор-ротор (вихрь), 17
 определитель
 квадратичной формы, 47
 определяющее уравнение
 соотношение упругости, 30
 оригинал (начальная функция), 322
 ортогональная система
 координат, 22
 функций, 119
 ортонормированная система
 функций, 119
 открытый шар, 15

П

параболическое уравнение
 каноническая форма, 55
 параметр разделения, 95
 парные интегральные
 уравнения, 393
 полиномы Лежандра, 211
 постоянная Эйлера—Маскерони, 176
 преобразование
 Фурье, 276
 Фурье—Бесселя, 277
 принцип
 аналитического
 продолжения, 322, 325
 суперпозиции (наложения), 93
 продольная деформация стержня, 29

Р

- разложение Хевисайда, 322, 341
- ранг, собственное значение, 419
- регулярное интегральное уравнение, 391
- резольвента интегрального уравнения, 395, 400
- резольвента уравнения Фредгольма, 418
- ряд
 - Дини, 205
 - Фурье—Бесселя, 205

С

- самоиндукция, 36
- сингулярное интегральное уравнение, 391
- синус-интеграл Фурье, 262
- синус-преобразование Фурье, 276
- система функций, нормированная в точке, 112
- смешанная задача, 57
 - для гиперболического уравнения, 59
 - для параболического уравнения, 59
- собственная функция
 - задачи Штурма—Лиувилля, 109
 - интегральное уравнение, 419
- собственное значение
 - интегральное уравнение, 419
- собственные значения
 - задачи Штурма—Лиувилля, 109
 - краевой задачи, 98
- собственные функции краевой задачи, 98
- спектр
 - задачи Штурма—Лиувилля, 109
 - дискретный, 119
 - непрерывный, 119
 - смешанный, 119
 - интегральное уравнение, 419
- сферические
 - координаты, 24
 - функции, 211
 - Лежандра, 211

Т

- телеграфное уравнение, 35
- точка множества
 - внутренняя, 15
 - предельная, 15
- трансформанта, 249

У

- уравнение
 - Бесселя, 179
 - Гельмгольца, 41
 - гиперболическое, 47
 - диффузии, 38, 40
 - квазилинейное дифференциально, 46
 - колебаний, 26
 - Лапласа, 41
 - линейное дифференциально, 51
 - малых поперечных колебаний мембраны, 32
 - струны, 28
 - стержня, 28
 - параболическое, 47
 - поперечных колебаний балки, 45
 - Пуассона, 41
 - равновесия мембраны, 35
 - свободных колебаний мембраны, 34
 - Софи Жермен—Лагранжа, 46, 284
 - теплопроводности, 39
 - Фурье, 39
 - характеристическое, 53
 - Эйлера, 478
 - эллиптическое, 47
- уравнения
 - с разделяющимися переменными, 95
 - Вольтерры типа свертки, 394
 - Лагранжа, 492
- условие
 - Лежандра, 501
 - периодичности, 108
 - разрешимости задачи Неймана, 58
 - согласования, 32
 - стационарности функционала, 479
 - трансверсальности, 485
- утечка, 36

Ф

- формула
 - Грина, 20
 - Даламбера, 71
 - Остроградского, 19
 - Римана—Меллина, 322, 334
 - Родрига, 212
- фундаментальная система решений Штурма—Лиувилля, 112
- функционал, 471
- функция
 - Бесселя
 - второго рода, 184
 - первого рода, 181

функция (*продолжение*)

Вебера, 184

Грина, 432

Лежандра второго рода, 213

Макдональда, 196

Неймана, 184

Х

характеристики дифференциального уравнения, 53

характеристический многочлен, 322, 347

характеристическое уравнение, 53

Ц

целая функция, 111

цепная линия, 496

цилиндрическая функция
второго рода, 184

цилиндрические (или бесселевы)
функции, 179

цилиндрические координаты, 23

цилиндрические функции третьего рода
функции Ханкеля, 185

Э

экстремаль, 478

эллиптическое уравнение
каноническая форма, 55

Я

ядро

интегрального

преобразования, 275

интегрального уравнения, 391

обратного преобразования, 275

типа функции Грина, 422

Д. П. Голоскоков

УРАВНЕНИЯ МАТЕМАТИЧЕСКОЙ ФИЗИКИ

Решение задач в системе Maple

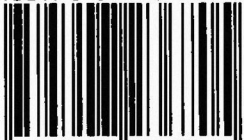
УЧЕБНИК / ДЛЯ ВУЗОВ

Учебник содержит классическое изложение основных разделов математической физики, иллюстрируемое большим количеством подробно разобранных примеров и задач.

Особенностью предлагаемого курса является широкое использование системы аналитических вычислений Maple при решении учебных задач математической физики. В книге приводится также значительное количество задач для самостоятельного решения и примеры решения задач в системе Maple с текстами программ, что позволяет использовать ее для практических и лабораторных занятий.

Учебник может быть рекомендован студентам и аспирантам технических университетов и высших технических учебных заведений физико-математических и инженерно-физических специальностей.

ISBN 5-94723-670-2



9 785947 236705

 **ПИТЕР**[®]
WWW.PITER.COM



Голоскоков

Дмитрий Петрович — кандидат физико-математических наук, доктор технических наук, профессор кафедры прикладной математики Санкт-Петербургского государственного университета водных коммуникаций.

Темы, рассмотренные в книге:

- классические методы интегрирования дифференциальных уравнений в частных производных второго порядка;
- метод интегральных преобразований в конечных и бесконечных пределах;
- элементы вариационного исчисления и теории интегральных уравнений.

Посетите наш web-магазин: <http://www.piter.com>